

Высшее Водное-Морское Инженерное ордена Ленина Училище
имени Ф. Э. Дзержинского

Н. С. СОЛЮМЕНКО и Ю. П. РУМИНЦЕВ

042 66

100

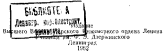
СТРОИТЕЛЬНАЯ МЕХАНИКА ПОДВОДНЫХ ЛОДОК

Под редакцией
доктора технических наук профессора
В. Л. БЕЛЮНА

Университет
Научно-техническая Водное-морских учебных
заведений в коллекции рабочих для курсантов
ВВИМОЛУ им. Ф. Э. Дзержинского

ЧО

390139
Отдел учебников



ПРЕДИСЛОВИЕ

Настоящая книга является учебником по строительной механике подводных лодок. В основу учебника положены работы создателей строительной механики подводных лодок проф. И. Г. Бубнова, проф. Н. Ф. Напкинца, акад. Ю. А. Штепанского, проф. В. В. Половцова, проф. В. Ф. Сегала, а также других отечественных и зарубежных ученых.

Строительная механика подводных лодок базируется на основных результатах теории тонких оболочек, поэтому в учебнике изложены основы теории тонких оболочек, без знания которых невозможно изучение курса.

Учебник состоит из десяти глав. В главе I изложены основы теории тонких оболочек, в том числе в бесконечной теории. Глава II посвящена теории устойчивости тонких оболочек, причем излагается также классическая теория устойчивости. В главе III рассмотрены усилия, действующие на прочный корпус, а также даны рекомендации по выбору расчетных усилий. Наибольшей же объему является IV глава «Расчет верхних элементов прочного корпуса». Здесь изложены методы определения напряжений и обивки, шпангоутов и ребер жесткости прочного корпуса, а также методы расчета устойчивости обшивки и шпангоутов.

Остальные главы учебника посвящены расчетам прочности и устойчивости других конструкций корпуса. В главе V рассмотрены методы расчета круговых, эллиптических и овальных рубок. Главы VI и VII посвящены расчетам прочности подкрепных деревьев, причем в главе VI рассмотрены сферические деревья, а в главе VII — власные. Большое внимание уделено в учебнике изложению методов расчета составных шпангоутов, а также шпангоутов некругового сечения (главы VIII и IX). Последняя глава учебника (глава X) «Расчеты местной прочности» посвящена изложению методов расчета прочности корпуса в районах парусов и в районах выкружек гребных валов.

Одним из направлений в учебнике является углубленное физическое описание явлений, методами решения практических задач, описание примененных методов и доказаний, а также пределом правдоподобия полученных результатов.

При написании учебника авторы широко использовали литературу, приведенную в конце книги.

Введение и главы I, II, III, IV, VI и X написаны кандидатом технических наук доцентом Н. С. Соломенко, а главы V, VII, VIII и IX — кандидатом технических наук доцентом Ю. Н. Румянцевым.

Авторы выражают благодарность доктору технических наук В. С. Чуриковскому и доктору технических наук В. С. Каланину, сделавшим ряд ценных замечаний.

Авторы

ВВЕДЕНИЕ

Строительной механикой подводных лодок изучают силу, действующую на корпус подводной лодки, напряженное состояние и устойчивость корпуса, а также допустимые пределы возникающих в нем напряжений и деформаций. На основе этого изучения строительная механика подводных лодок дает практические методы расчета прочности и устойчивости корпуса.

Широкое применение в строительной механике подводных лодок получили оболочки как упругие тела, обладающие высокой прочностью при сравнительно малом весе.

Прочный корпус подводной лодки представляет собой замкнутую конструкцию антитрещинную оболочку, состоящую из квадратических, конических и овальных участков. Конструкция инстери легкого корпуса, прямых наружных и внутренних шпангоутов, сферических конических и многосечевых переборок и рубок является либо изотропными, либо конструктивно анизотропными оболочками. Поэтому естественно, что строительная механика подводных лодок базируется на достижениях теории упругих оболочек как одного из основных разделов теории упругости.

Необходимо отметить, что вследствие высокой прочности и относительной легкости, кроме судостроения, оболочки широко применяются в преборостроении, аэрокосмостроении, котло- и турбостроении и многих других областях техники.

Главной задачей практического расчета заключается в проверке достаточности прочности конструкции. Конечно, в ряде случаев назначение замкненно замыкаемых размеры скелетной конструкции, можно обеспечить достаточную прочность в ее приближении к расчету, однако такая конструкция будет перегруженной, а следовательно, нерациональной и дорогой. Поэтому целью расчета в конечном счете является создание рациональной конструкции, обладающей наряду с необходимой прочностью возможно меньшим весом. Требование минимального веса особенно важно для подводного судостроения.

Задача создания рациональной конструкции включает в себя решение трех важнейших проблем:

1. Проблемы внешних усилий, действующих на конструкцию.
2. Проблемы определения внутренних усилий и обеспечения устойчивости конструкции при заданных внешних силах.
3. Проблемы норм прочности.

Каждая из указанных проблем однаково важна, або ошибка в опасную сторону, допущенная при определении внешних сил или внутренних усилий в конструкции, равно как и ошибка при назначении

формы прочности, может привести к катастрофическим последствиям. Последнее очень важно иметь в виду, так как разрушение прочного корпуса приводит к гибели подводной лодки вместе с личным составом, и они находящимися. Только правильное решение всех трех проблем позволяет создать рациональные конструкции корпуса подводных лодок.

Особое место в строительной механике подводных лодок занимает проблема устойчивости упругого равновесия прочного корпуса и других прочных конструкций. Помимо три наводнения на глубинах прочный корпус подводной лодки загружается внешним гидростатическим давлением, обеспечение неизменной формы упругого равновесия является первостепенной задачей. потеря устойчивости исходной формы равновесия прочного корпуса вследствие превышения действующими усилиями критической величины приводит к его разрушению. Этим обостряется то особое внимание, которое уделяется вопросам устойчивости в строительной механике подводных лодок.

Большое внимание необходимо уделять проблеме норм прочности. При определении норм для спасных и допускаемых напряжений, а также показателей устойчивости конструкций корпуса должно быть по возможности учтено все многообразие факторов, определяющих прочность и устойчивость корпуса. В частности, необходимо учитывать степень точности определения величин и характера принимаемых расчетных усилий, возможность используемых расчетных методов, возможное влияние на прочность технологии сборки и сварки корпусных конструкций, возможные отклонения механических характеристик материалов от их спецификационных значений и другие важные факторы.

Проблема норм прочности излагается в общей постановке в чисто учебных целях, поэтому конкретные нормы допускаемых напряжений и запасов устойчивости обобщены и занесены в учебники не приводятся.

Причём не перейти к изложению материала, целесообразно кратко остановиться на истории развития строительной механики подводных лодок, а также на основных работах, положенных в основу этой науки.

Основоположником науки строительная механика подводных лодок является создатель русской школы строительной механики корабля профессор И. Г. Бубнов (1872—1919 гг.), который не только разработал методы расчета прочности и устойчивости корпуса первых отечественных подводных лодок, но и принял непосредственное участие в проектировании корпусов этих лодок.

Широкое применение в расчетной практике получила работа И. Г. Бубнова «Критическое давление для тонкостенной трубы, наполненной ребрами», опубликованная в «Вестнике морских инженеров» в 1916 г. В этой работе даны ярким практическим формулам для определения критического давления, так и числу волн при потере устойчивости обшивки.

И. Г. Бубнову принадлежит идея создания первой подводной лодки чисто боевого назначения — подводной лодки «Барс». Необходимо отметить, что подводные лодки, созданные под руководством И. Г. Бубнова и при его непосредственном участии, были по тему времени довольно совершенны и долгое время находились на вооружении отечественного флота.

Со смертью И. Г. Бубнова заканчивается первый период развития строительной механики подводных лодок.

Последний раздел строительной механики подводных лодок относится к периоду, начавшемуся после Великой Октябрьской социалистической

ческой репутацией. Этот раздел с именем проф. П. Ф. Папковича, академика Ю. А. Шиманского, проф. В. В. Новожилова, проф. В. Ф. Сегала.

Профессор П. Ф. Папкович (1887—1948 гг.) на базе современных достижений общей теории упругости и теории тонких оболочек решил ряд важных задач строительной механики подводных лодок. Работы П. Ф. Папковича «О напряжениях в цилиндрической оболочке прочного корпуса подводных лодок» 1928 г., «Расчетные формулы для проверки устойчивости цилиндрической оболочки прочного корпуса подводных лодок» 1930 г., «К вопросу об погиббе кругового бойльца в цилиндрической оболочке, вызываемом начальным отступлением от ее правильной формы» 1933 г., «О напряжениях в шлангутах цилиндрической оболочки» 1935 г. и другие широко используются в расчетной практике. Выполненные исследования позволили П. Ф. Папковичу дать простые расчетные схемы определения напряжений в обшивке и шлангутах прочного корпуса, а также расчетные формулы для определения критического давления обшивки, удобные для практического использования.

Большая часть работ П. Ф. Папковича по строительной механике подводных лодок вошли в его классическую монографию «Строительная механика корабля», ч. I, т. II. Необходимо отметить, что П. Ф. Папкович принимал непосредственное участие в проектировании и постройке первых советских подводных лодок.

Большой вклад в строительную механику подводных лодок внес академик Ю. А. Шиманский (1893—1962 гг.). В работе Ю. А. Шиманского «Нагрузки тонких цилиндрических оболочек, подкрепленных ребрами конечной жесткости» 1933 г., «Влияние парусообразной плавки в ходе и цилиндрической оболочки на ее прочность» 1933 г., «Устойчивость тонких цилиндрических оболочек в изогнутых пластинах» 1938 г., разработаны важные вопросы строительной механики подводных лодок.

Ю. А. Шиманский впервые обратил внимание на влияние отклонений от правильной круговой формы на величину критического давления и провел большую экспериментальную работу по определению поправочных коэффициентов к теоретическим формулам устойчивости.

В 1936 году Ю. А. Шиманским был написан первый курс по строительной механике подводных лодок. В 1948 г. имели и свет монография Ю. А. Шиманского «Строительная механика подводных лодок», в которой даются теоретические решения и практические методы расчета конструкций корпуса подводных лодок. Ю. А. Шиманский был инициатором и руководителем многочисленных экспериментальных исследований прочности и устойчивости оболочек, принял активное участие в разработке справочников, норм и других руководящих материалов.

Важное значение для развития строительной механики подводных лодок имеют работы проф. В. В. Новожилова. Заводческая монография В. В. Новожилова «Теория тонких оболочек», изданный в 1947 и 1951 гг., дает пособие наложению общей и бесконечностной теории оболочек, теории цилиндрических оболочек и оболочек вращения. В. В. Новожиловым разработана общая теория устойчивости упругих тонких оболочек.

Крупный ученый-теоретик В. В. Новожилов уделял много внимания разработке вопросов строительной механики подводных лодок. Первая работа В. В. Новожилова по строительной механике подводных лодок «Расчет прочности эллиптических шлангутов подводных лодок» была опубликована в 1935 г.

Исследования В. В. Новожилова по определению кратковременной нагрузки цилиндрических оболочек, подкрепленных упругими ребрами, напряженного состояния овальных башмачерных рубок подводных лодок, влияния поперечных переборок на напряженное состояние конструкций прочного корпуса и другие широко используются в расчетной практике.

Большое значение имеют работы В. Ф. Сегала по разработке многих практических методов строительной механики подводных лодок, исследование влияние начальной посадки на напряженное состояние обшивки и шпангоутов, исследование прочности цилиндрических оболочек в районе сферических переборок, а также по исследованию прочности криволинейных рам, образующих набор членами прочного корпуса.

В настоящее время над разработкой проблем строительной механики подводных лодок плодотворно трудятся ученики и последователи П. Ф. Панковича, Ю. А. Шуминского, В. В. Новожилова и В. Ф. Сегала.

ОВОЗНАЧЕНИЯ, ПРИНЯТЫЕ В КНИГЕ

- x, y, z — прямоугольные координаты;
 a_1, a_2 — криволинейные координаты поверхности;
 e_1, e_2, e_3 — единичные векторы (орты), направленные по касательным к координатным линиям a_1 и a_2 и нормали к срединной поверхности;
 A_1, A_2 — параметры Линея;
 R_1, R_2 — главные радиусы кривизны поверхности в рассматриваемой точке;
 ds_1, ds_2 — прращение дуг координатных линий a_1 и a_2 , соответствующие приращениям da_1 и da_2 ;
 u, v, w — проекции перемещения точки срединной поверхности из направления e_1, e_2, e_3 ;
 $\epsilon_1, \epsilon_2, \epsilon$ — относительные удлинения в сдвиг срединной поверхности;
 $\kappa_1, \kappa_2, \kappa$ — изменения кривизны и кручение срединной поверхности;
 b — толщина оболочки;
 σ_{11}, σ_{22} — нормальные напряжения в площадках, перпендикулярных к срединной поверхности;
 σ_{12}, σ_{21} — касательные напряжения в тех же площадках, действующие в направлении координатных линий a_2 и a_1 ;
 τ_{13}, τ_{23} — касательные напряжения в тех же площадках, действующие в направлении нормали к срединной поверхности;
 T_1, T_2, T_{12} — нормальные, касательные и перерезывающие усилия;
 F_{11}, F_{12}, N_1, N_2 — в тех же площадках, отнесенные к единице длины срединной поверхности;
 M_1, M_2 — изгибающие и крутизные моменты в тех же площадках;
 M_{12}, M_{21} — отнесенный к единице длины срединной поверхности;
 $\varphi_1, \varphi_2, \varphi_3$ — проекции вектора поверхностной нагрузки q на направления e_1, e_2 и e_3 ;
 E — модуль продольной упругости;
 G — модуль упругости при сдвиге;
 ν — коэффициент Пуассона;
 E_{sp} — приведенный модуль упругости;
 $D = \frac{E^2}{3(1-\nu^2)}$ — цилиндрическая жесткость;
 V — потенциальная энергия деформации;
 U — работа внешних сил;
 dV — элементарный объем;
 α — объемное расширение;

- x, ϕ — криволинейные координаты круговой цилиндрической оболочки;
- r — радиус круговой цилиндрической оболочки;
- l — длина неподкрепленной цилиндрической оболочки (шпанги);
- L — длина цилиндрической оболочки, подкрепленной ребрами жесткости;
- p — интенсивность равномерно распределенного давления, нормального к поверхности цилиндрической оболочки;
- P_{cr}^t — теоретическое значение критического давления;
- P_{cr} — действительное критическое давление;
- n — число волн, образующихся по периметру оболочки при потере устойчивости;
- m — число полуволн во длине оболочки, образующихся при потере устойчивости;
- F — площадь сечения шлангоута;
- f — площадь сечения промежуточного ребра жесткости;
- I — момент инерции шлангоута вместе с присоединенным пакетом оболочек (обшивки);
- k — глубина погружения.

ГЛАВА I

ОСНОВЫ ТЕОРИИ ТОНКИХ ОБОЛОЧЕК

§ 1. Основные определения, гипотезы и допущения

В настоящей главе рассматриваются основы теории тонких оболочек, выполненные на однородного, изотропного и идеально упругого материала. Понятие о таком материале включает:

а) однородность материала, т. е. одинаковые его свойства в любых произвольно выбранных объемах тела;

б) изотропность материала, т. е. одинаковую зависимость между напряжениями и деформациями в любых произвольно выбранных направлениях;

в) идеальную упругость материала, т. е. линейную зависимость между напряжениями и деформациями.

Хотя идеально упругих материалов в природе не существует, тем не менее почти все металлы до нагрузок, при которых наступает отклонение от линейного закона изменения деформаций от напряжений, можно рассматривать как идеально упругие материалы. Погрешность, связанная с таким рассмотрением, невелика и практическая с ним считаться не сле-дует. Следовательно, область рассмотрения деформации оболочек ограничивается такими нагрузками, при которых наступают отклонения от закона Гука.

Прежде чем перейти к изложению последующих гипотез и допущений, необходимо дать определение оболочек как упругих тел.

Оболочками называются тела, ограниченные криволинейными поверхностьюми, расстояние между которыми мало в сравнении с прочими размерами тела.

Различают замкнутые и незамкнутые оболочки. Если оболочка не имеет никаких других границ, кроме упомянутых выше двух поверхностей, то такая оболочка называется замкнутой. Если, кроме упомянутых двух поверхности, оболочка имеет еще и торцевые поверхности, то такая оболочка называется незамкнутой.

Геометрическое место точек, равноудаленных от обеих криволинейных поверхностей, называется средней поверхностью оболочки.

Отрезок перпендикуляра к средней поверхности оболочки между двумя ограничивающими оболочку криволинейными поверхностями называется галванкой оболочки и обозначается через δ , как показано на рис. 1. Здесь $ABCD$ — наружная криволинейная поверх-

кость; $A'B'C'D'$ — внутренняя криволинейная поверхность, $abcd$ — срединная поверхность.

Если толщина оболочки не меняется, то такая оболочка называется оболочкой постоянной толщины в отличие от оболочек переменной толщины, у которых толщина δ не является постоянной.

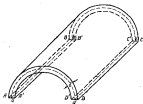


Рис. 1

Наибольший практический интерес представляют оболочки постоянной толщины, которые и будут предметом дальнейшего рассмотрения.

Срединная поверхность, толщина оболочки и граничный контур полностью определяют оболочку с геометрической симметрии, и, поскольку они заданы, геометрия оболочки однозначно будет определена.

Рассматривают такие и толстые оболочки. При рассмотрении первых из

них используются гипотезы Кирогоффа—Лиля, то есть предполагается, что

а) прямолинейные полокки оболочки, перпендикулярные к срединной поверхности до деформации, остаются прямолинейными и перпендикулярными к деформированной срединной поверхности, сохраняя при этом свою длину;

б) нормальными напряжениями в площадках, параллельных срединной поверхности, можно пренебречь в сравнении с напряжениями в других площадках.

Гипотезы Кирогоффа—Лиля иногда называют гипотезами прямых нормалей, хотя последнее определение не является полным. Как показали В. В. Новожилов и Р. М. Финкельштейн,^{*} погрешность от использования гипотезы Кирогоффа—Лиля равна погрешности от пренебрежения отношением толщины оболочки b к радиусу ее кривизны r в сравнении с единицей. Допускаем для инженерного расчета относительную погрешность порядка пяти процентов, в категории тонких оболочек будем относить оболочки, у которых наибольшее отношение толщины к радиусу кривизны не превышает $1/50$. Если это условие не соблюдено, то такие оболочки будем относить к категории толстых оболочек.

Теория расчета толстых оболочек существенно сложнее такой для тонких оболочек, так как принятые гипотезы Кирогоффа—Лиля для толстых оболочек решают с нею задачу о деформации оболочки как тела трех измерений в исследование деформаций ее срединной поверхности.

Однако в строительной механике подобных задач используются исключительно тонкие оболочки. Поэтому в учебнике рассматривается только теория тонких оболочек. Наконец, рассматриваемая ниже общая

* В. В. Новожилов, Р. М. Финкельштейн. О погрешности гипотезы Кирогоффа в теории оболочек. ПММ, Т. VII, 1943.

теория дается в геометрических линейной постановке, так как предполагается, что перемещения точек оболочки весьма небольши и сравнимы с ее размерами.

При изучении материала необходимо всегда помнить о тех допущениях и гипотезах, которые приняты в качестве исходных, чтобы избежать возможных ошибок при распространении приведенных в учебнике результатов на расчетные случаи, в которых принятые гипотезы и допущения не могут быть использованы.

§ 2. Криволинейные координаты поверхности

Как будет показано ниже, перемещения любой точки оболочки, не лежащей на срединной поверхности, можно легко определить, зная перемещения срединной поверхности оболочки и отстояние этой точки от срединной поверхности. То же относится к деформациим оболочки и к напряжениям, пропорциональным этим деформациям.

Таким образом, для определения деформированного или напряженного состояния оболочки необходимо прежде всего знать деформированное или напряженное состояние ее срединной поверхности.

Поскольку по определению срединная поверхность оболочки является криволинейной поверхностью, поскольку для изучения геометрии деформации срединной поверхности необходимо изучать теорию поверхностей. Подробное изучение теории поверхностей выходит за рамки настоящего курса, поэтому ограничимся лишь изложением некоторых основных свойств поверхностей, необходимых для дальнейшего изложения.

Известно, что кривую в пространстве трех измерений можно задать либо векторным равенством

$$\mathbf{r} = \mathbf{r}(s), \quad (1.1)$$

либо тремя скалярными уравнениями

$$\left. \begin{array}{l} x = x(s) \\ y = y(s) \\ z = z(s) \end{array} \right\}, \quad (2.1)$$

В уравнении (1.1) \mathbf{r} — радиус-вектор кривой, s — произвольный параметр. Три скалярных равенства (2.1) есть не что иное, как проекции векторного равенства (1.1) на оси декартовой системы координат X , Y , Z . Таким образом, x , y , z есть проекции вектора \mathbf{r} на оси X , Y , Z соответственно.

По аналогии всякую поверхность в пространстве трех измерений можно задать либо векторным равенством

$$\mathbf{R} = \mathbf{R}(s_1, s_2), \quad (3.1)$$

либо тремя скалярными уравнениями

$$\left. \begin{array}{l} x = x(s_1, s_2) \\ y = y(s_1, s_2) \\ z = z(s_1, s_2) \end{array} \right\}, \quad (4.1)$$

В векторном равенстве (3.1) вектор \mathbf{R} — радиус-вектор поверхности, s_1 и s_2 — некоторые произвольные параметры. Три скалярных

ур-ния (4.1) есть проекции векторного равенства (3.1) на координатные оси X, Y, Z , из чего следуют, что x, y и z — проекции вектора \mathbf{A} на координатные оси.

Если поверхность является плоской, то $x(\alpha_1, \alpha_2)$, $y(\alpha_1, \alpha_2)$ и $z(\alpha_1, \alpha_2)$ — некоторые непрерывные функции параметров α_1 и α_2 .

Ограничим область изменения параметров α_1 и α_2 таким образом, чтобы каждой точке поверхности соответствовала только одна вполне определенная пара значений α_1 и α_2 . Тогда параметры α_1 и α_2 будут криволинейными координатами рассматриваемой поверхности.

Рассмотрим участок поверхности произвольной формы (рис. 2). Накосы на эту поверхность соответственно кривых α_1 и α_2 . Увидим, что самой себе кривые α_1 и α_2 образуют на поверхности сетку. Каждой точке поверхности соответствует одна вполне определенная пара значений α_1 и α_2 , т. е. любая точка поверхности может рассматриваться как точка пересечения двух линий α_1 и α_2 .

В каждой точке плоской поверхности можно пройти две линии, кривизна которых достигает максимума и минимума. Эти линии на поверхности называются линиями главной кривизны.

Для каждой поверхности можно выбрать бесчисленное множество криволинейных координат. Однако наиболее удобной для использования является такая система криволинейных координат α_1 и α_2 .

Для каждой поверхности можно выбрать бесчисленное множество криволинейных координат. Одним из наиболее удобных для использования является такая система криволинейных координат α_1 и α_2 .

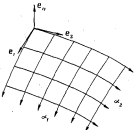


Рис. 2

диктует, когда координатные линии α_1 и α_2 будут одновременно линиями главной кривизны поверхности.

Из теории поверхностей известно, что линии главной кривизны на поверхности взаимно ортогональны. Все дальнейшие выкладки будут относиться только к системе ортогональных криволинейных координат α_1 и α_2 .

Проведя в любой точке поверхности касательные к линиям α_1 и α_2 , а также нормаль к поверхности, мы получим треугольник e_1, e_2 и e_n . В общем случае направление векторов e_1, e_2 и e_n при переходе от одной точки поверхности к другой будет изменяться. Это обстоятельство необходимо учитывать при рассмотрении геометрии оболочек.

§ 3. Правила дифференцирования векторов по криволинейным координатам α_1 и α_2

Пусть параметр α_1 получит приращение $d\alpha_1$, и при этом параметр α_2 остался неизменным. В этом случае конец вектора $\mathbf{A}(\alpha_1, \alpha_2)$ переместится вдоль координатной линии α_1 (рис. 3).

Приращение вектора $\mathbf{A}(\alpha_1, \alpha_2)$ при приращении криволинейной координаты α_1 равно $\frac{\partial \mathbf{A}}{\partial \alpha_1} d\alpha_1$. При этом вектор $\frac{\partial \mathbf{A}}{\partial \alpha_1}$ будет касательен к коор-

длиной линии a_1 . Аналогично приращение вектора $R(x_1, x_2)$ при приращении координаты x_1 равно $\frac{\partial R}{\partial x_1} dx_1$, причем вектор $\frac{\partial R}{\partial x_1}$ будет касательен к координатной линии a_1 .

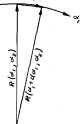
В общем случае, когда имеет место приращение обеих координат x_1 и x_2 , полное приращение вектора $R(x_1, x_2)$ равно

$$ds = \frac{\partial R}{\partial x_1} dx_1 + \frac{\partial R}{\partial x_2} dx_2. \quad (5. I)$$

$$\frac{\partial R}{\partial x_1} dx_1,$$

квадрат длины вектора ds представляется в виде скалярного произведения вектора ds на самого себя, т. е.

$$(ds)^2 = \left(\frac{\partial R}{\partial x_1} \right)^2 dx_1^2 + 2 \left(\frac{\partial R}{\partial x_1} \cdot \frac{\partial R}{\partial x_2} \right) dx_1 dx_2 + \\ + \left(\frac{\partial R}{\partial x_2} \right)^2 dx_2^2. \quad (6. I)$$



В равенстве (6. I) символ (\cdot) означает скалярное произведение двух векторов, а символ $(\cdot)^2$ — скалярное произведение вектора на самого себя.

Введем обозначения:

$$\left. \begin{aligned} \left(\frac{\partial R}{\partial x_1} \right)^2 &= A_1^2 \\ \left(\frac{\partial R}{\partial x_2} \right)^2 &= A_2^2 \end{aligned} \right\}, \quad (7. I)$$

Рис. 3

где A_1 и A_2 носят название параметров Ламе поверхности или коэффициентов первой квадратичной формы (6. I).

Так как x, y, z — проекции вектора R на координатные оси X, Y, Z , то будем иметь следующие очевидные равенства:

$$\left. \begin{aligned} A_1^2 &= \left(\frac{\partial x}{\partial x_1} \right)^2 + \left(\frac{\partial y}{\partial x_1} \right)^2 + \left(\frac{\partial z}{\partial x_1} \right)^2 \\ A_2^2 &= \left(\frac{\partial x}{\partial x_2} \right)^2 + \left(\frac{\partial y}{\partial x_2} \right)^2 + \left(\frac{\partial z}{\partial x_2} \right)^2 \end{aligned} \right\}. \quad (8. I)$$

В силу ортогональности криволинейных координат скалярное произведение $\left(\frac{\partial R}{\partial x_1} \cdot \frac{\partial R}{\partial x_2} \right)$ равно нулю. Следовательно,

$$(ds)^2 = A_1^2 dx_1^2 + A_2^2 dx_2^2. \quad (9. I)$$

В частном случае, когда приращение получает одни координаты x_1 , будем иметь

$$ds_1 = A_1 dx_1. \quad (10. I)$$

Если приращение будет получать координаты x_2 , то

$$ds_2 = A_2 dx_2. \quad (11. I)$$

В равенствах (10. I) и (11. I) ds_1 и ds_2 — приращения дуг координатных линий, соответствующие приращению криволинейных координат δx_1 и δx_2 .

Ранее мы отметили, что вектор $\frac{\partial \mathbf{R}}{\partial x_1}$ касается к координатной линии x_1 , а вектор $\frac{\partial \mathbf{R}}{\partial x_2}$ — к координатной линии x_2 . Из ф-ла (7. I) следует, что длина вектора $\frac{\partial \mathbf{R}}{\partial x_1}$ равна A_1 , а длина вектора $\frac{\partial \mathbf{R}}{\partial x_2}$ равна A_2 . Поэтому единичные векторы (орты), касательные к координатным линиям x_1 и x_2 , соответственно будут

$$\begin{aligned} \mathbf{e}_1 &= \frac{1}{A_1} \cdot \frac{\partial \mathbf{R}}{\partial x_1}, \\ \mathbf{e}_2 &= \frac{1}{A_2} \cdot \frac{\partial \mathbf{R}}{\partial x_2}. \end{aligned} \quad (12. I)$$

Единичный вектор нормали к поверхности равен векторному произведению двух векторов \mathbf{e}_1 и \mathbf{e}_2 , т. е.

$$\mathbf{e}_n = \mathbf{e}_1 \times \mathbf{e}_2, \quad (13. I)$$

где символ \times означает векторное произведение двух векторов. Ортогональный триад \mathbf{e}_1 , \mathbf{e}_2 , \mathbf{e}_n показан на рис. 2.

В дальнейшем все векторы перемещений, напряжений и соответствующих им усилий и моментов представим в виде

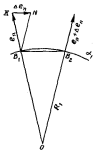


Рис. 4

$$\mathbf{T} = T_{x_1} \cdot \mathbf{e}_1 + T_{x_2} \cdot \mathbf{e}_2 + T_n \mathbf{e}_n \quad (14. I)$$

где T_{x_1} , T_{x_2} , T_n — проекции вектора \mathbf{T} на направления \mathbf{e}_1 , \mathbf{e}_2 и \mathbf{e}_n . Поэтому для возможности выполнения дифференцирования векторов перемещений и напряжений необходимо, прежде всего, исследовать правила дифференцирования единичных векторов \mathbf{e}_1 , \mathbf{e}_2 и \mathbf{e}_n по криволинейным координатам x_1 и x_2 .

Определим производную вектора \mathbf{e}_n по x_1 , т. е. $\frac{d\mathbf{e}_n}{dx_1}$. Для этого рассмотрим на координатной линии x_1 две близкие точки B_1 и B_2 и проведем в каждой из них нормальный орт \mathbf{e}_n (рис. 4). Направленные векторы \mathbf{e}_n и $\mathbf{e}_n + \delta \mathbf{e}_n$ пересекаются в точке O . Так как линия x_1 есть линия главного кривизны, то отрезок OB_2 равен главному радиусу кривизны R_1 .

На рисунке 4 видно, что приращение вектора \mathbf{e}_n при переходе от точки B_1 к точке B_2 параллельно отрезку B_1B_2 и в пределе, когда отстояние точки B_2 от B_1 бесконечно мало, это приращение будет параллельно орту \mathbf{e}_1 .

На подобия треугольников B_1KN и OB_1B_2 следует $\frac{|B_1N|}{|e_1|} = \frac{R_1}{R_2}$.
Нодный вектор e_2 равен единице, то есть $|e_2| = 1$. Длина же отрезка B_1B_2
будет равна $|B_1B_2| = A_1 \frac{\partial e_2}{\partial e_1}$. Следовательно,

$$|A_1 \frac{\partial e_2}{\partial e_1}| = \frac{A_1}{R_1} |de_1|$$

или

$$\frac{|A_1 \frac{\partial e_2}{\partial e_1}|}{|de_1|} = \frac{A_1}{R_1}. \quad (15.1)$$

Из формулы (15.1) видно, что модуль вектора производной $\frac{\partial e_2}{\partial e_1}$
равен $\frac{A_1}{R_1}$. Направление вектора $\frac{\partial e_2}{\partial e_1}$, как мы установили ранее, па-
раллельно орту e_1 , поэтому производная вектора e_2 по e_1 есть вектор

$$\frac{\partial e_2}{\partial e_1} = \frac{A_1}{R_1} e_1. \quad (16.1)$$

Аналогично производная $\frac{\partial e_2}{\partial e_2}$ есть вектор

$$\frac{\partial e_2}{\partial e_2} = \frac{A_1}{R_2} e_2, \quad (17.1)$$

где R_2 — второй главный радиус кривизны в рассматриваемой точке.

Таким образом мы установили, что производная вектора e_2 по коор-
динате e_1 касательна к координатной линии e_1 , следовательно, проекции
вектора $\frac{\partial e_2}{\partial e_1}$ на направления e_1 и e_2 будут равны нулю. По аналогии
производные вектора e_2 по координате e_2 касательна к координатной
линии e_2 . В этом случае проекции вектора $\frac{\partial e_2}{\partial e_2}$ на направления e_1 и e_2
также будут равны нулю. Окончательно получим

$$\left. \begin{aligned} \frac{\partial e_2}{\partial e_1} &= \frac{A_1}{R_1} e_1 + 0 + 0 \\ \frac{\partial e_2}{\partial e_2} &= 0 + \frac{A_1}{R_2} e_2 + 0 \end{aligned} \right\}. \quad (18.1)$$

Прежде чем определить величину и направление остальных произ-
водных, выведем одно вспомогательное равенство.

Из формулы (12.1) следует:

$$\frac{\partial R}{\partial e_1} = A_1 e_1,$$

$$\frac{\partial R}{\partial e_2} = A_2 e_2.$$

Используя эти выражения, из тождества $\frac{\partial R}{\partial e_1 \partial e_2} = \frac{\partial R}{\partial e_2 \partial e_1}$ получаем

$$\frac{\partial A_1 e_1}{\partial e_2} = \frac{\partial A_2 e_2}{\partial e_1}, \quad (19.1)$$

или

$$\frac{\partial A_1}{\partial e_2} e_1 + A_1 \frac{\partial e_1}{\partial e_2} = \frac{\partial A_2}{\partial e_1} e_2 + A_2 \frac{\partial e_2}{\partial e_1}. \quad (20.1)$$

Перейдем теперь к определению производной $\frac{d\mathbf{e}_1}{dx_1}$. Проекция этого вектора на направление \mathbf{e}_1 равна нулю, поскольку длина вектора \mathbf{e}_1 остается постоянной, и, следовательно, проекция вектора \mathbf{e}_1 будет ему перпендикулярна. Таким образом, $(\mathbf{e}_1 \cdot \frac{d\mathbf{e}_1}{dx_1}) = 0$.

Аналогично вектор $\frac{d\mathbf{e}_1}{dx_2}$ перпендикулярен вектору \mathbf{e}_1 , поэтому $(\mathbf{e}_1 \cdot \frac{d\mathbf{e}_1}{dx_2}) = 0$.

Проекция вектора $\frac{d\mathbf{e}_1}{dx_1}$ на направление \mathbf{e}_2 будет равна

$$\left(\mathbf{e}_2 \cdot \frac{d\mathbf{e}_1}{dx_1}\right) = \frac{\partial (\mathbf{e}_2 \cdot \mathbf{e}_1)}{\partial x_1} = \left(\mathbf{e}_2 \cdot \frac{d\mathbf{e}_1}{dx_1}\right).$$

Поскольку векторы \mathbf{e}_1 и \mathbf{e}_2 взаимно перпендикулярны, их скалярное произведение равно нулю, то есть $(\mathbf{e}_2 \cdot \mathbf{e}_1) = 0$. Таким образом,

$$\left(\mathbf{e}_2 \cdot \frac{d\mathbf{e}_1}{dx_1}\right) = - \left(\mathbf{e}_1 \cdot \frac{d\mathbf{e}_2}{dx_1}\right). \quad (21.1)$$

Определив производную $\frac{d\mathbf{e}_2}{dx_1}$ из вспомогательного равенства (20.1)

$$\frac{d\mathbf{e}_2}{dx_1} = \frac{1}{A_2} \cdot \frac{dA_1}{dx_1} \mathbf{e}_1 + \frac{A_1}{A_2} \cdot \frac{d\mathbf{e}_1}{dx_1} = \frac{1}{A_2} \cdot \frac{dA_1}{dx_1} \mathbf{e}_1$$

и подставив ее в ур-ние (21.1), получим

$$\begin{aligned} \left(\mathbf{e}_2 \cdot \frac{d\mathbf{e}_1}{dx_1}\right) &= - \left(\mathbf{e}_1 \cdot \frac{d\mathbf{e}_2}{dx_1}\right) = - \frac{1}{A_2} \cdot \frac{dA_1}{dx_1} (\mathbf{e}_1 \cdot \mathbf{e}_1) - \frac{A_1}{A_2} \left(\mathbf{e}_1 \cdot \frac{d\mathbf{e}_2}{dx_1}\right) + \\ &\quad + \frac{1}{A_2} \cdot \frac{dA_1}{dx_1} (\mathbf{e}_1 \cdot \mathbf{e}_2). \end{aligned}$$

Но скалярное произведение $(\mathbf{e}_1 \cdot \mathbf{e}_1) = 1$, а скалярные произведения $\left(\mathbf{e}_1 \cdot \frac{d\mathbf{e}_2}{dx_1}\right)$ и $(\mathbf{e}_1 \cdot \mathbf{e}_2)$ равны нулю. Следовательно, проекция вектора $\frac{d\mathbf{e}_1}{dx_1}$ на направление \mathbf{e}_2 равна

$$\left(\mathbf{e}_2 \cdot \frac{d\mathbf{e}_1}{dx_1}\right) = - \frac{1}{A_2} \cdot \frac{dA_1}{dx_1}. \quad (22.1)$$

Проекция производной $\frac{d\mathbf{e}_1}{dx_1}$ на направление \mathbf{e}_3 будет

$$\left(\mathbf{e}_3 \cdot \frac{d\mathbf{e}_1}{dx_1}\right) = \frac{\partial (\mathbf{e}_3 \cdot \mathbf{e}_1)}{\partial x_1} = \left(\mathbf{e}_1 \cdot \frac{d\mathbf{e}_3}{dx_1}\right) = - \frac{A_1}{B_1} (\mathbf{e}_1 \cdot \mathbf{e}_3) = - \frac{A_1}{B_1}. \quad (23.1)$$

Таким образом, все три проекции вектора $\frac{d\mathbf{e}_1}{dx_1}$ на направления \mathbf{e}_1 , \mathbf{e}_2 и \mathbf{e}_3 определены. Окончательно вектор $\frac{d\mathbf{e}_1}{dx_1}$ может быть представлен в виде

$$\frac{d\mathbf{e}_1}{dx_1} = 0 = \frac{1}{A_2} \cdot \frac{dA_1}{dx_1} \mathbf{e}_1 - \frac{A_1}{B_1} \mathbf{e}_3. \quad (24.1)$$

По аналогии

$$\frac{d\mathbf{e}_2}{dx_2} = - \frac{1}{A_2} \cdot \frac{dA_2}{dx_1} \mathbf{e}_1 + 0 = \frac{A_2}{B_2} \mathbf{e}_2. \quad (25.1)$$

Определим проекции производной $\frac{\partial \mathbf{e}_1}{\partial x_1}$ на направление \mathbf{e}_1 , \mathbf{e}_2 и \mathbf{e}_3 . По соображениям, высказанным ранее, проекция $\frac{\partial \mathbf{e}_1}{\partial x_1}$ на направление \mathbf{e}_1 равна нулю. Проекция $\frac{\partial \mathbf{e}_1}{\partial x_1}$ на направление \mathbf{e}_2 равна $\left(\mathbf{e}_2 \cdot \frac{\partial \mathbf{e}_1}{\partial x_1}\right)$. Из тождества (20. I) получим

$$\frac{\partial \mathbf{e}_1}{\partial x_1} = \frac{1}{A_1} \cdot \frac{\partial A_2}{\partial x_1} \mathbf{e}_2 + \frac{A_2}{A_1} \cdot \frac{\partial \mathbf{e}_2}{\partial x_1} = \frac{1}{A_1} \cdot \frac{\partial A_2}{\partial x_1} \mathbf{e}_2$$

Из

$$\left(\mathbf{e}_2 \cdot \frac{\partial \mathbf{e}_1}{\partial x_1}\right) = \frac{1}{A_1} \cdot \frac{\partial A_2}{\partial x_1} (\mathbf{e}_2 \cdot \mathbf{e}_2) + \frac{A_2}{A_1} \left(\mathbf{e}_2 \cdot \frac{\partial \mathbf{e}_2}{\partial x_1}\right) = \frac{1}{A_1} \cdot \frac{\partial A_2}{\partial x_1} (\mathbf{e}_2 \cdot \mathbf{e}_2) = \frac{1}{A_1} \cdot \frac{\partial A_2}{\partial x_1}.$$

Проекция $\frac{\partial \mathbf{e}_1}{\partial x_1}$ на вектор \mathbf{e}_3 будет

$$\left(\mathbf{e}_3 \cdot \frac{\partial \mathbf{e}_1}{\partial x_1}\right) = \frac{\partial(\mathbf{e}_3 \cdot \mathbf{e}_1)}{\partial x_1} - \left(\mathbf{e}_1 \cdot \frac{\partial \mathbf{e}_3}{\partial x_1}\right) = -\left(\mathbf{e}_1 \cdot \frac{\partial \mathbf{e}_3}{\partial x_1}\right).$$

Но из ф-лы (18. I) имеем $\frac{\partial \mathbf{e}_3}{\partial x_1} = \frac{A_3}{B_3} \mathbf{e}_2$. Тогда

$$\left(\mathbf{e}_3 \cdot \frac{\partial \mathbf{e}_1}{\partial x_1}\right) = -\frac{A_3}{B_3} (\mathbf{e}_1 \cdot \mathbf{e}_2) = 0.$$

Таким образом, проекция вектора $\frac{\partial \mathbf{e}_1}{\partial x_1}$ на направление \mathbf{e}_3 равна нулю. Мы получили все три проекции вектора $\frac{\partial \mathbf{e}_1}{\partial x_1}$ на направления \mathbf{e}_1 , \mathbf{e}_2 и \mathbf{e}_3 .

Следовательно, вектор $\frac{\partial \mathbf{e}_1}{\partial x_1}$ определяется по выражению

$$\frac{\partial \mathbf{e}_1}{\partial x_1} = 0 + \frac{1}{A_1} \cdot \frac{\partial A_2}{\partial x_1} \mathbf{e}_2 + 0. \quad (26. I)$$

Аналогично

$$\frac{\partial \mathbf{e}_2}{\partial x_1} = \frac{1}{A_2} \cdot \frac{\partial A_3}{\partial x_1} \mathbf{e}_1 + 0 + 0. \quad (27. I)$$

Все производные единичных векторов \mathbf{e}_1 , \mathbf{e}_2 и \mathbf{e}_3 по координатам x_1 и x_2 получены. В заключение приводим окончательные формулы, определяющие упомянутые производные:

$$\left. \begin{aligned} \frac{\partial \mathbf{e}_1}{\partial x_1} &= 0 - \frac{1}{A_1} \cdot \frac{\partial A_2}{\partial x_1} \mathbf{e}_1 - \frac{A_2}{B_1} \mathbf{e}_2 \\ \frac{\partial \mathbf{e}_1}{\partial x_2} &= 0 + \frac{1}{A_1} \cdot \frac{\partial A_2}{\partial x_2} \mathbf{e}_2 + 0 \\ \frac{\partial \mathbf{e}_2}{\partial x_1} &= \frac{1}{A_2} \cdot \frac{\partial A_3}{\partial x_1} \mathbf{e}_1 + 0 + 0 \\ \frac{\partial \mathbf{e}_2}{\partial x_2} &= -\frac{1}{A_1} \cdot \frac{\partial A_2}{\partial x_2} \mathbf{e}_1 + 0 - \frac{A_3}{B_2} \mathbf{e}_3 \\ \frac{\partial \mathbf{e}_3}{\partial x_1} &= \frac{A_3}{B_3} \mathbf{e}_2 + 0 + 0 \\ \frac{\partial \mathbf{e}_3}{\partial x_2} &= 0 + \frac{A_1}{B_3} \mathbf{e}_1 + 0 \end{aligned} \right\} \quad (28. I)$$

§ 4. Условия Коддици—Гаусса

Задание параметров Ламе еще не определяет никакой поверхности. Для определения поверхности должны быть заданы еще главные радиусы кривизны, то есть для определения любой поверхности плоской формы необходимо и достаточно задание как параметров Ламе, так и главных радиусов кривизны.

Отметим, однако, что все указанные четыре величины (параметры Ламе A_1 и A_2 и главные радиусы кривизны R_1 и R_2) не могут быть заданы произвольно. Они должны удовлетворять дифференциальным зависимостям, именуемым в теории поверхностей условиями Коддици—Гаусса.

Для получения этих дифференциальных зависимостей рассмотрим тождество

$$\frac{\partial^2 e_2}{\partial u_1 \partial u_2} = \frac{\partial^2 e_1}{\partial u_2 \partial u_1}$$

или

$$\frac{\partial}{\partial u_2} \left(\frac{\partial e_2}{\partial u_1} \right) = \frac{\partial}{\partial u_1} \left(\frac{\partial e_1}{\partial u_2} \right).$$

Подставив в последнее равенство значения $\frac{\partial e_2}{\partial u_1}$ и $\frac{\partial e_1}{\partial u_2}$ из системы (28. I), получим

$$\frac{\partial}{\partial u_2} \left(\frac{A_1}{R_1} e_1 \right) = \frac{\partial}{\partial u_1} \left(\frac{A_2}{R_2} e_2 \right)$$

или

$$\frac{\partial}{\partial u_1} \left(\frac{A_1}{R_1} \right) e_1 + \frac{A_1}{R_1} \cdot \frac{\partial e_1}{\partial u_2} = \frac{\partial}{\partial u_2} \left(\frac{A_2}{R_2} \right) e_2 + \frac{A_2}{R_2} \cdot \frac{\partial e_2}{\partial u_1}. \quad (29. I)$$

Подставив в равенство (29. I) значения векторов $\frac{\partial e_1}{\partial u_2}$ и $\frac{\partial e_2}{\partial u_1}$, согласно (28. I) и сделав приведение подобных членов, получим

$$\left[\frac{\partial}{\partial u_2} \left(\frac{A_1}{R_1} \right) - \frac{1}{R_2} \cdot \frac{\partial A_2}{\partial u_2} \right] e_1 - \left[\frac{\partial}{\partial u_1} \left(\frac{A_2}{R_2} \right) - \frac{1}{R_1} \cdot \frac{\partial A_1}{\partial u_1} \right] e_2 = 0. \quad (30. I)$$

Но так как равенство (30. I) является тождеством, а единичные векторы e_1 и e_2 не равны нулю, то необходимо, чтобы выражения, стоящие в обеих квадратных скобках, были равны нулю, то есть

$$\left. \begin{aligned} \frac{\partial}{\partial u_2} \left(\frac{A_1}{R_1} \right) - \frac{1}{R_2} \cdot \frac{\partial A_2}{\partial u_2} &= 0 \\ \frac{\partial}{\partial u_1} \left(\frac{A_2}{R_2} \right) - \frac{1}{R_1} \cdot \frac{\partial A_1}{\partial u_1} &= 0 \end{aligned} \right\} \quad (31. I)$$

или окончательно

$$\left. \begin{aligned} \frac{\partial}{\partial u_2} \left(\frac{A_1}{R_1} \right) &= \frac{1}{R_2} \cdot \frac{\partial A_2}{\partial u_2} \\ \frac{\partial}{\partial u_1} \left(\frac{A_2}{R_2} \right) &= \frac{1}{R_1} \cdot \frac{\partial A_1}{\partial u_1} \end{aligned} \right\}, \quad (32. I)$$

Полученные дифференциальные соотношения (32. I) между параметрами Ламе поверхности и главными радиусами ее кривизны называются условиями Коддици.

Рассмотрим тождество

$$\frac{\partial \mathbf{e}_1}{\partial x_2 \partial x_1} = \frac{\partial \mathbf{e}_1}{\partial x_1 \partial x_2}$$

или

$$\frac{\partial}{\partial x_2} \left(\frac{\partial \mathbf{e}_1}{\partial x_1} \right) = \frac{\partial}{\partial x_1} \left(\frac{\partial \mathbf{e}_1}{\partial x_2} \right). \quad (33.1)$$

Подставив в тождество (33.1) значения векторов $\frac{\partial \mathbf{e}_1}{\partial x_1}$ и $\frac{\partial \mathbf{e}_1}{\partial x_2}$ из системы (28.1), получим

$$\frac{\partial}{\partial x_2} \left(-\frac{1}{A_1} \cdot \frac{\partial A_1}{\partial x_2} \mathbf{e}_2 - \frac{A_1}{R_1} \mathbf{e}_3 \right) = \frac{\partial}{\partial x_1} \left(\frac{1}{A_1} \cdot \frac{\partial A_1}{\partial x_1} \mathbf{e}_2 \right)$$

или

$$\begin{aligned} \frac{\partial}{\partial x_2} \left(-\frac{1}{A_1} \cdot \frac{\partial A_1}{\partial x_2} \right) \mathbf{e}_2 - \frac{1}{A_1} \cdot \frac{\partial A_1}{\partial x_2} \cdot \frac{\partial \mathbf{e}_2}{\partial x_2} - \frac{\partial}{\partial x_2} \left(\frac{A_1}{R_1} \right) \mathbf{e}_3 - \frac{A_1}{R_1} \cdot \frac{\partial \mathbf{e}_3}{\partial x_2} = \\ = \frac{\partial}{\partial x_1} \left(\frac{1}{A_1} \cdot \frac{\partial A_1}{\partial x_1} \right) \mathbf{e}_2 + \frac{1}{A_1} \cdot \frac{\partial A_1}{\partial x_1} \cdot \frac{\partial \mathbf{e}_2}{\partial x_1}. \end{aligned}$$

Подставив в получившееся тождество значения векторов $\frac{\partial \mathbf{e}_2}{\partial x_1}$, $\frac{\partial \mathbf{e}_2}{\partial x_2}$ и $\frac{\partial \mathbf{e}_3}{\partial x_1}$ из системы (28.1), будем иметь

$$\begin{aligned} \frac{\partial}{\partial x_2} \left(-\frac{1}{A_1} \cdot \frac{\partial A_1}{\partial x_2} \right) \mathbf{e}_2 - \frac{1}{A_1} \cdot \frac{\partial A_1}{\partial x_2} \left(-\frac{1}{A_2} \cdot \frac{\partial A_2}{\partial x_1} \mathbf{e}_1 - \frac{A_2}{R_2} \mathbf{e}_3 \right) - \frac{\partial}{\partial x_2} \left(\frac{A_1}{R_1} \right) \mathbf{e}_3 = \\ = -\frac{A_1}{R_1} \cdot \frac{A_2}{R_2} \mathbf{e}_1 - \frac{\partial}{\partial x_1} \left(\frac{1}{A_1} \cdot \frac{\partial A_1}{\partial x_1} \right) \mathbf{e}_2 + \frac{1}{A_1} \cdot \frac{\partial A_1}{\partial x_1} \left(\frac{1}{A_2} \cdot \frac{\partial A_2}{\partial x_1} \right) \mathbf{e}_1, \end{aligned}$$

или после приведения подобных членов

$$\begin{aligned} \left[-\frac{\partial}{\partial x_2} \left(\frac{1}{A_1} \cdot \frac{\partial A_1}{\partial x_2} \right) - \frac{\partial}{\partial x_1} \left(\frac{1}{A_1} \cdot \frac{\partial A_1}{\partial x_1} \right) - \frac{A_1}{R_1} \cdot \frac{A_2}{R_2} \right] \mathbf{e}_2 + \\ + \left[-\frac{\partial}{\partial x_2} \left(\frac{A_1}{R_1} \right) + \frac{1}{R_2} \cdot \frac{\partial A_2}{\partial x_2} \right] \mathbf{e}_3 = 0. \quad (34.1) \end{aligned}$$

Так как ур-ние (34.1) является тождеством, а векторы \mathbf{e}_2 и \mathbf{e}_3 не равны нулю, то для удовлетворения тождества (34.1) необходимо, чтобы выражения, стоящие в обеих квадратных скобках, были равны нулю. Получим

$$\begin{aligned} \frac{\partial}{\partial x_2} \left(\frac{1}{A_1} \cdot \frac{\partial A_1}{\partial x_2} \right) + \frac{\partial}{\partial x_1} \left(\frac{1}{A_1} \cdot \frac{\partial A_1}{\partial x_1} \right) + \frac{A_1}{R_1} \cdot \frac{A_2}{R_2} = 0, \\ -\frac{\partial}{\partial x_2} \left(\frac{A_1}{R_1} \right) + \frac{1}{R_2} \cdot \frac{\partial A_2}{\partial x_2} = 0. \end{aligned}$$

Второе из полученных дифференциальных соотношений совпадает с одним из выведенных ранее в ф-лах (32.1) и, следовательно, не является новым.

Остается первое дифференциальное соотношение

$$\frac{\partial}{\partial x_1} \left(\frac{1}{A_1} \cdot \frac{\partial A_1}{\partial x_1} \right) + \frac{\partial}{\partial x_2} \left(\frac{1}{A_1} \cdot \frac{\partial A_1}{\partial x_2} \right) = -\frac{A_1 A_2}{R_1 R_2}. \quad (35.1)$$

Дифференциальное соотношение (35.1) называется условием Гаусса.

Можно показать, что из тождества $\frac{\partial \varphi_2}{\partial x_2 \partial x_3} = \frac{\partial \varphi_3}{\partial x_3 \partial x_1}$ также получим условие (36.1) и (32.1), т. е. никаких новых к выведенным ранее дифференциальным соотношениям мы не получим.

Таким образом, условия Коддачи и условия Гаусса имеют вид:

$$\left| \begin{array}{l} \frac{\partial}{\partial x_2} \left(\frac{A_3}{R_3} \right) = \frac{1}{R_3} \cdot \frac{\partial A_3}{\partial x_2} \\ \frac{\partial}{\partial x_3} \left(\frac{A_1}{R_1} \right) = \frac{1}{R_1} \cdot \frac{\partial A_1}{\partial x_3} \\ \frac{\partial}{\partial x_1} \left(\frac{1}{R_1} \cdot \frac{\partial A_2}{\partial x_1} \right) + \frac{\partial}{\partial x_2} \left(\frac{1}{R_2} \cdot \frac{\partial A_3}{\partial x_2} \right) = - \frac{A_3 A_2}{R_1 R_2} \end{array} \right|. \quad (36.1)$$

Из изложенного можно сделать заключение, что параметры A_1 и A_2 и радиусы R_1 и R_2 можно рассматривать как параметры Лине поверхности и главные радиусы ее кривизны лишь в том случае, если они удовлетворяют дифференциальным соотношениям Коддачи—Гаусса. Удовлетворение этим соотношениям обеспечивает неразрывность или сплошность поверхности. Если же параметры A_1 и A_2 и радиусы R_1 и R_2 не удовлетворяют указанным условиям, то они не определяют никакой поверхности.

§ 5. Перемещения оболочки

Под действием внешних усилий, приложенных к оболочке, последняя деформируется, т. е. изменяет свою форму и размеры. В данном параграфе мы ограничимся лишь чисто геометрической стороной вопроса, т. е. не будем интересоваться усилиями, которые вызывают те или иные перемещения, и сосредоточим свое внимание на рассмотрении перемещений оболочки.

Перемещения любой точки упругого тела определяются вектором перемещений. Под вектором перемещений будем понимать такой вектор, начало которого находится в рассматриваемой точке до деформации, а конец — в рассматриваемой точке после деформации. Длина вектора перемещений разна длине отрезка, соединяющего положение точки до и после деформации. Вектор перемещений точки срединной поверхности в дальнейшем обозначим через K . Как и ранее, все векторы будем проектировать на направления, касательные к линии x_1 и x_2 и нормаль к срединной поверхности оболочки. Тогда вектор K может быть представлен в виде

$$K = u e_x + v e_y + w e_z \quad (37.1)$$

Покажем, что перемещения любой точки оболочки, не лежащей на срединной поверхности и отстоящей от нее на расстояние a , могут быть легко определены, если известны перемещения соответствующей точки срединной поверхности (имеется в виду точка срединной поверхности, лежащая за единицей перпендикулярно с рассматриваемой точкой).

Пусть точка B_0 срединной поверхности оболочки с координатами x_0 , y_0 переместилась в новое положение B_1 (рис. 5). При этом вектор перемещений K есть вектор, соединяющий точку B_0 с точкой B_1 в направлении к сторону последней.

Вектор перемещения точек срединной поверхности есть функция координат x_0 и y_0 . Прожекции этого вектора на x и y будут, очевидно, также функциями координат x_0 , y_0 .

Восстановим в точке B_0 перпендикуляр к срединной поверхности оболочки и рассмотрим точку B'_0 , отстоящую от срединной поверхности на расстоянии x . После деформации точка B'_0 переместится в новое положение B'_1 .

Вектор перемещения точки, отстоящей от срединной поверхности на расстоянии x , обозначим через K_x . Проекции вектора K_x на направления e_1 , e_2 и e_3 , обозначим v_x , w_x и u_x .

Вектор K_x , так же как и его проекции v_x , w_x , u_x , является функцией x_1 , x_2 , x_3 при этом

$$K_x = v_x e_1 + w_x e_2 + u_x e_3. \quad (38. I)$$

Необходимо выразить вектор K_x через вектор K и отстояние x . Так как точка B'_0 лежит на перпендикуляре к срединной поверхности, то

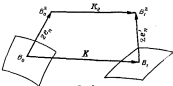


Рис. 5

вектор $B_0 B'_0$ равен ze_x . Согласно гипотезам Кархгоффа—Лиеля, расстояние точек от срединной поверхности в процессе деформации не меняется, следовательно, длина отрезка $B_0 B'_1$ также будет равна x .

Согласно этим же гипотезам, точки, лежащие на перпендикуляре к срединной поверхности до деформации, остаются на перпендикуляре к деформированной срединной поверхности.

Обозначим единичный вектор нормали к деформированной срединной поверхности через e_x' . Тогда вектор $B_0 B'_1$ будет равен ze_x' .

Составим векторное равенство

$$ze_x + K_x = K + ze_x', \quad (39. I)$$

откуда искомый вектор K_x определяется по выражению

$$K_x = K + z(e_x' - e_x). \quad (40. I)$$

Ранее мы указали, что орт e_x равен векторному произведению ортов e_1 и e_2 , т. е. $e_x = e_1 \times e_2$. После деформации координатные линии a_1 и a_2 уже не будут ортогональны. Однако, с допустимой для практики точностью, можно принять

$$e_x' = e_1' \times e_2', \quad (41. I)$$

где e_1' и e_2' — единичные векторы, касательные к координатным линиям после деформации.

В § 3 настоящей главы было отмечено, что если \mathbf{R} — радиус-вектор, определяющий некоторую поверхность, а A_1 и A_2 — параметры Лине этой поверхности, то единичные орты, касательные к линиям a_1 и a_2 , будут соответственно равны

$$\left. \begin{aligned} \mathbf{e}_1 &= \frac{1}{A_1} \cdot \frac{\partial \mathbf{R}}{\partial a_1} \\ \mathbf{e}_2 &= \frac{1}{A_2} \cdot \frac{\partial \mathbf{R}}{\partial a_2} \end{aligned} \right\}. \quad (42.1)$$

Так как при деформации точки срединной поверхности получили перемещение \mathbf{K} , то радиус-вектор, определяющий деформированную срединную поверхность, равен

$$\mathbf{L} = \mathbf{R} + \mathbf{K}$$

или

$$\mathbf{L} = \mathbf{R} + u \mathbf{e}_1 + v \mathbf{e}_2 + w \mathbf{e}_3. \quad (43.1)$$

Для деформированной срединной поверхности получим

$$\left. \begin{aligned} \mathbf{e}_1' &= \frac{1}{A_1'} \cdot \frac{\partial \mathbf{L}}{\partial a_1} \\ \mathbf{e}_2' &= \frac{1}{A_2'} \cdot \frac{\partial \mathbf{L}}{\partial a_2} \end{aligned} \right\}. \quad (44.1)$$

Поскольку \mathbf{e}_1' и \mathbf{e}_2' — единичные векторы, то очевидно, что A_1' — длина вектора $\frac{\partial \mathbf{L}}{\partial a_1}$, а A_2' — длина вектора $\frac{\partial \mathbf{L}}{\partial a_2}$.

Квадрат длины вектора $\frac{\partial \mathbf{L}}{\partial a_1}$ развл склярному произведению вектора $\frac{\partial \mathbf{L}}{\partial a_1}$ на самого себя. Следовательно,

$$(A_1')^2 = \left(\frac{\partial \mathbf{L}}{\partial a_1} \cdot \frac{\partial \mathbf{L}}{\partial a_1} \right). \quad (45.1)$$

Определим вектор $\frac{\partial \mathbf{L}}{\partial a_1}$, пользуясь выражением для \mathbf{L} , согласно равенству (43.1). Получим

$$\frac{\partial \mathbf{L}}{\partial a_1} = \frac{\partial \mathbf{R}}{\partial a_1} + u \frac{\partial \mathbf{e}_1}{\partial a_1} + v \frac{\partial \mathbf{e}_2}{\partial a_1} + w \frac{\partial \mathbf{e}_3}{\partial a_1} + \frac{\partial u}{\partial a_1} \mathbf{e}_1 + v \frac{\partial v}{\partial a_1} \mathbf{e}_2 + w \frac{\partial w}{\partial a_1} \mathbf{e}_3.$$

Подставив в получившее выражение значение производных векторов $\frac{\partial \mathbf{e}_1}{\partial a_1}$, $\frac{\partial \mathbf{e}_2}{\partial a_1}$ и $\frac{\partial \mathbf{e}_3}{\partial a_1}$ согласно равенствам (28.1) и учитывая, что $\frac{\partial \mathbf{R}}{\partial a_1} = A_1 \mathbf{e}_1$, окончательно получим

$$\begin{aligned} \frac{\partial \mathbf{L}}{\partial a_1} &= A_1 \left(1 + \frac{1}{A_1} \cdot \frac{\partial u}{\partial a_1} + \frac{1}{A_2 A_3} \cdot \frac{\partial A_1}{\partial a_1} v + \frac{w}{A_1} \right) \mathbf{e}_1 + \\ &+ \left(\frac{\partial v}{\partial a_1} - \frac{1}{A_2} \cdot \frac{\partial A_1}{\partial a_1} u \right) \mathbf{e}_2 + \left(\frac{\partial w}{\partial a_1} - \frac{A_1}{A_2} u \right) \mathbf{e}_3. \end{aligned} \quad (46.1)$$

Теперь определим скалярное произведение $\left(\frac{\partial \mathbf{L}}{\partial x_1}, \frac{\partial \mathbf{L}}{\partial x_2}\right)$, учитывая, что скалярные произведения единичных векторов \mathbf{e}_1 , \mathbf{e}_2 и \mathbf{e}_3 в силу их ортогональности равны:

$$(\mathbf{e}_1 \cdot \mathbf{e}_1) = 1, \quad (\mathbf{e}_1 \cdot \mathbf{e}_2) = 0,$$

$$(\mathbf{e}_2 \cdot \mathbf{e}_2) = 1, \quad (\mathbf{e}_2 \cdot \mathbf{e}_3) = 0,$$

$$(\mathbf{e}_3 \cdot \mathbf{e}_3) = 1, \quad (\mathbf{e}_3 \cdot \mathbf{e}_1) = 0$$

и что в линейной теории оболочек можно пренебречь произведениями перемещений и их производных в сравнении с их первыми степенями. Получим

$$(A'_1)^2 = \left(\frac{\partial \mathbf{L}}{\partial x_1} \cdot \frac{\partial \mathbf{L}}{\partial x_2}\right) \approx A_1^2 \left(1 + \frac{1}{A_1} \cdot \frac{\partial w}{\partial x_1} + \frac{1}{A_1 A_2} \cdot \frac{\partial A_1}{\partial x_2} w + \frac{w}{K_1}\right)^2,$$

откуда

$$A'_1 \approx A_1 \left(1 + \frac{1}{A_1} \cdot \frac{\partial w}{\partial x_1} + \frac{1}{A_1 A_2} \cdot \frac{\partial A_1}{\partial x_2} w + \frac{w}{K_1}\right). \quad (47.1)$$

Введем обозначение

$$\epsilon_1 = \frac{1}{A_1} \cdot \frac{\partial w}{\partial x_1} + \frac{1}{A_1 A_2} \cdot \frac{\partial A_1}{\partial x_2} w + \frac{w}{K_1}, \quad (48.1)$$

тогда

$$A'_1 \approx A_1 (1 + \epsilon_1). \quad (49.1)$$

Подставив в формуле (44.1) полученные значение A'_1 из формулы (49.1) и $\frac{\partial \mathbf{L}}{\partial x_1}$ из формулы (46.1), будем иметь

$$\mathbf{e}'_1 \approx \mathbf{e}_1 + \frac{1}{A_1(1+\epsilon_1)} \left(\frac{\partial w}{\partial x_1} - \frac{1}{A_2} \cdot \frac{\partial A_1}{\partial x_2} w \right) \mathbf{e}_2 + \frac{1}{A_1(1+\epsilon_1)} \left(\frac{\partial w}{\partial x_1} - \frac{A_1}{K_1} w \right) \mathbf{e}_3.$$

Анализ показывает, что с погрешностью, равной погрешности пренебрежения произведениями перемещений и их производных в сравнении с их первыми степенями, в знаменателе второго и третьего слагаемых можно пренебречь ϵ_1 . Таким образом, окончательно получим

$$\mathbf{e}'_1 \approx \mathbf{e}_1 + \left(\frac{1}{A_1} \cdot \frac{\partial w}{\partial x_1} - \frac{1}{A_1 A_2} \cdot \frac{\partial A_1}{\partial x_2} w \right) \mathbf{e}_2 + \left(\frac{1}{A_1} \cdot \frac{\partial w}{\partial x_1} - \frac{w}{K_1} \right) \mathbf{e}_3. \quad (50.1)$$

Путем совершенно аналогичных рассуждений можно получить

$$\mathbf{e}'_2 = \mathbf{e}_2 + \left(\frac{1}{A_2} \cdot \frac{\partial w}{\partial x_2} - \frac{1}{A_1 A_2} \cdot \frac{\partial A_2}{\partial x_1} w \right) \mathbf{e}_1 + \left(\frac{1}{A_2} \cdot \frac{\partial w}{\partial x_2} - \frac{w}{K_2} \right) \mathbf{e}_3. \quad (51.1)$$

Пользуясь выражениями (50.1) и (51.1), составим векторное произведение векторов \mathbf{e}'_1 и \mathbf{e}'_2 . При этом воспользуемся известными формулами, определяющими векторное произведение взаимно ортогональных единичных векторов:

$$\mathbf{e}_1 \times \mathbf{e}_1 = 0, \quad \mathbf{e}_1 \times \mathbf{e}_2 = \mathbf{e}_3,$$

$$\mathbf{e}_2 \times \mathbf{e}_2 = 0, \quad \mathbf{e}_2 \times \mathbf{e}_3 = \mathbf{e}_1,$$

$$\mathbf{e}_3 \times \mathbf{e}_3 = 0, \quad \mathbf{e}_3 \times \mathbf{e}_1 = \mathbf{e}_2.$$

Тогда, в соответствии с ф-лой (41.1), получим следующее выражение для единичного орта нормали к деформированной срединной поверхности:

$$\mathbf{e}'_n = \mathbf{e}_n + \theta \mathbf{e}_1 + \phi \mathbf{e}_2. \quad (52.1)$$

где параметры θ и ϕ определяются по выражениям

$$\left. \begin{aligned} \theta &= -\frac{1}{K_1} \cdot \frac{\partial x}{\partial z_1} + \frac{a}{K_1} \\ \phi &= -\frac{1}{K_2} \cdot \frac{\partial x}{\partial z_2} + \frac{c}{K_2} \end{aligned} \right\}. \quad (53.1)$$

Для определения вектора перемещений любой точки, не лежащей на срединной поверхности, поставим полученное значение \mathbf{e}'_n в ф-лу (40.1). Получим

$$\mathbf{K}_x = \mathbf{K} + z(\theta \mathbf{e}_1 + \phi \mathbf{e}_2). \quad (54.1)$$

Выражение (54.1) и определяет искомое значение вектора перемещений любой точки оболочки, не лежащей на срединной поверхности, через перемещение соответствующей точки срединной поверхности и отстояние z .

Так как параметры θ и ϕ не зависят от z , можно заключить, что вектор перемещения \mathbf{K}_x есть линейная функция z .

Спроектируем векторное равенство (54.1) на направления \mathbf{e}_1 , \mathbf{e}_2 и \mathbf{e}_n и учитывая ф-лы (37.1) и (38.1), получим

$$\left. \begin{aligned} u_x &= a + z\theta \\ v_x &= c + z\phi \\ w_x &= w \end{aligned} \right\}. \quad (55.1)$$

Формула (55.1) дается математическая формулировка гипотезы прямых нормалей.

Из приведенных формул видно, что компоненты вектора перемещений, касательные к линиям \mathbf{e}_1 и \mathbf{e}_2 , изменяются по толщине оболочки во взаимном знаку, а нормальное перемещение w , не зависит от z , т. е. постоянно по толщине оболочки.

Таким образом, закон перемещения срединной поверхности, можем определить перемещения любой точки, не лежащей на срединной поверхности и отстоящей от последней на расстояния z .

В заключение выясним физический смысл параметров θ и ϕ . Из ф-лы (52.1) следует, что θ — проекция единичного вектора \mathbf{e}'_n на направление \mathbf{e}_1 , а ϕ — такая же проекция этого вектора на направление \mathbf{e}_2 . Но проекция θ вектора \mathbf{e}'_n на направление \mathbf{e}_1 равна модулю этого вектора, умноженному на синус угла поворота Φ'_n вокруг оси \mathbf{e}_1 . Модуль же вектора \mathbf{e}'_n равен единице, а синус угла поворота вектора \mathbf{e}'_n вокруг оси \mathbf{e}_1 , вследствие допущения о малости перемещений оболочки, будет равен самому углу. Следовательно, параметр θ есть угол поворота единичного вектора нормали к срединной поверхности вокруг оси \mathbf{e}_1 . Аналогично ϕ — угол поворота этого же вектора вокруг оси \mathbf{e}_2 .

§ 6. Деформации оболочек

Определенные выше компоненты вектора перемещений u , v и φ вполне определяют деформированную срединную поверхность (срединная поверхность до деформации предполагается заданной), однако их абсолютные величины не являются характерными для оценки деформации оболочки.

Действительно, рассмотрим две круговые цилиндрические оболочки одинаковой толщины и одинакового радиуса, выполненные из одного и того же материала. Длина оболочки A в пять раз превышает длину оболочки B . Обе оболочки равномерно сжаты в осевом направлении (рис. 6).

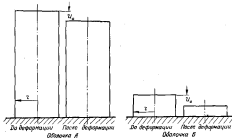


Рис. 6

Допустим, что абсолютные величины перемещений в осевом направлении (перемещения u) для обеих оболочек одинаковы и равны u_0 . Из рисунка видно, что при равенстве абсолютных величин осевого перемещения у обеих оболочек укорочение оболочки B в процессе деформации



Рис. 7

равно почти половине ее первоначальной длины, в то время как укорочение оболочки A не превышает десяти процентов первоначальной длины. Следовательно, степень деформации оболочки B более высокая, чем таковая для оболочки A . Поэтому целесообразно оценивать деформации оболочки не в абсолютных перемещениях, а в их относительных величинах.

Рассмотрим параметры, характеризующие деформации оболочки. Для этого выделим из срединной поверхности оболочки элемент со сторонами ds_1 и ds_2 , причем отметим, что сторона ds_1 совпадает с координатной линией a_1 и имеет радиус кривизны R_1 , а ds_2 совпадает с координатной линией a_2 и имеет радиус кривизны R_2 (рис. 7). Поскольку координатные линии a_1 и a_2 взаимно ортогональны, угол между сторонами элемента ds_1 и ds_2 будет по деформации прямым.

Относительные удлинения

В процессе деформации, прежде всего, могут изменяться размеры элемента, т. е. его стороны, равные до деформации ds_1 и ds_2 , после деформации станут равными ds'_1 и ds'_2 (рис. 8).

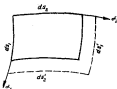


Рис. 8

удлинение. Если же при деформации длина элемента возрастает, то приращение длины будет положительным и, следовательно, положительным будет относительное удлинение. Таким образом, относительные удлинения элемента в направлении a_1 и a_2 характеризуют изменения размеров этого элемента.

Сдвиг

Кроме изменения размеров сторон элемента, в процессе деформации может изменяться его форма. Прямоугольный элемент до деформации оболочки может стать косоугольным после деформации. Следовательно, изменится угол между сторонами ds_1 и ds_2 , который до деформации был прямым (рис. 9).

На рисунке видно, что в результате деформации угол между сторонами ds_1 и ds_2 оказался равным β . Такое изменение формы элемента будет характеризовать деформацию сдвига. Последняя определяется косинусом угла между сторонами элемента после деформации ($\cos \beta$). Сдвиг будет положительным, если угол ме-

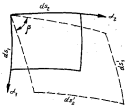


Рис. 9

ида створками элемента после деформации будет меньше $\frac{\pi}{2}$ и, наоборот, сдвиг будет отрицательным, если этот угол будет превышать $\frac{\pi}{2}$.

Изменение кривизны

В процессе деформации может изменяться кривизна элемента, при этом радиус кривизны элемента $d\alpha_1$, ранее R_1 , во деформации, после деформации станет равным R'_1 .

Пусть R'_1 будет радиусом кривизны элемента $d\alpha_1'$ после деформации (рис. 10). Изменение кривизны элемента в направлении координатной линии a_1 будет равно $\frac{1}{R'_1} - \frac{1}{R_1}$, а изменение кривизны в направлении координатной линии a_2 будет равно $\frac{1}{R'_2} - \frac{1}{R_2}$.

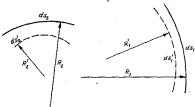


Рис. 10

Изменения кривизны считаются положительными, если после деформации кривизна возрастает (радиусы кривизны уменьшаются). Если же имеет место обратное, т. е. радиусы кривизны в процессе деформации возрастают, то изменения кривизны будут отрицательными.

Кручение

Относительные удлинения, сдвиг, изменения кривизны не полностью характеризуют деформации элемента. Для полной характеристики деформации элемента необходимо еще знать и кручение этого элемента.

Под кручением элемента будем понимать продел относения угла взаимного закручивания двух его противоположных сторон к расстоянию между ними (при стремлении размеров элемента к нулю). Для характеристики кручения рассмотрим рис. 11.

Пусть при деформации элемента точка С перешла в положение C' , точки же A, B и D остались неподвижными. Тогда угол ϕ будет углом взаимного закручивания противоположных сторон элемента AB и CD. Отнеся угол ϕ к расстоянию между сторонами, мы получим относительный угол закручивания или кручение элемента. Можно показать, что относительный угол закручивания сторон AB и CD всегда равен относительному углу закручивания двух других противоположных сторон элемента BC и AD.

Изложенные показывают заключить, что шесть компонентов, а именно: 1) относительное удлинение в направлении a_1 ; 2) относительное удлинение в направлении a_2 ; 3) сдвиг; 4) изгибание кривизны в направлении a_3 ; 5) изменение кривизны в направлении a_4 ; 6) кручение полностью характеризуют деформацию элемента срединной поверхности оболочки. Упомянутые шесть компонентов называются компонентами деформации срединной поверхности оболочки.

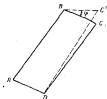


Рис. 11

Определим относительные удлинения элемента срединной поверхности оболочки. Пусть до деформации длина элемента в направлении координатной линии e_1 равна ds_1 , а после деформации равна ds'_1 . При этом

$$ds_1 = A_1 ds_1, \quad \text{а} \quad ds'_1 = A'_1 ds_1.$$

Приращение длины элемента при деформации будет равно

$$\Delta(ds_1) = ds'_1 - ds_1 = (A'_1 - A_1) ds_1.$$

Относительное удлинение разно относительному приращению длины элемента и его длине до деформации, т. е.

$$\frac{\Delta(ds_1)}{ds_1} = \frac{(A'_1 - A_1) ds_1}{A_1 ds_1} = \frac{A'_1}{A_1} - 1.$$

Подставим скла значение A'_1 из ф-лы (49. I), получим

$$\frac{\Delta(ds_1)}{ds_1} = \epsilon_1.$$

Если воспользуемся ф-лой (48. I), то относительное удлинение элемента срединной поверхности в направлении a_1 будет

$$\epsilon_1 = \frac{1}{A_1} \cdot \frac{\partial s}{\partial s_1} + \frac{1}{A_1 A_2} \cdot \frac{\partial A_1}{\partial s_1} n + \frac{n}{A_1}. \quad (56. I)$$

Совершенно аналогично относительное удлинение элементов срединной поверхности оболочки в направлении a_2 равно

$$\epsilon_2 = \frac{1}{A_2} \cdot \frac{\partial s}{\partial s_2} + \frac{1}{A_1 A_2} \cdot \frac{\partial A_2}{\partial s_2} n + \frac{n}{A_2}. \quad (57. I)$$

Перейдем к определению сдвига элемента срединной поверхности α .

Как было отмечено, сдвиг равен косинусу угла между сторонами элемента ds'_1 и ds'_2 . Направление элемента ds'_1 определяется единичным вектором e'_1 . Точно так же единичный вектор e'_2 определяет направление ds'_2 . Очевидно, косинус угла между сторонами ds'_1 и ds'_2 будет равен скалярному произведению векторов e'_1 и e'_2 , т. е.

$$\alpha = (e'_1 \cdot e'_2). \quad (58. I)$$

Подставив в формуле (58. I) значение ϵ'_1 и ϵ'_2 , согласно формулам (50. I) и (51. I), и сделав приведение подобных членов, окончательно получим

$$\nu = \frac{1}{A_1} \cdot \frac{\partial v}{\partial x_1} = \frac{1}{A_1 A_2} \cdot \frac{\partial A_2}{\partial x_2} + \frac{1}{A_2} \cdot \frac{\partial u}{\partial x_2} = \frac{1}{A_1 A_2} \cdot \frac{\partial A_2}{\partial x_2} \varphi \quad (59. I)$$

или

$$v = \frac{A_2}{A_1} \cdot \frac{\partial}{\partial x_1} \left(\frac{u}{A_2} \right) + \frac{A_1}{A_2} \cdot \frac{\partial}{\partial x_2} \left(\frac{u}{A_2} \right). \quad (60. I)$$

Формулы (56. I), (57. I) и (60. I) определяют относительные удлинения и сдвиг элемента срединной поверхности.

Определим теперь, чему будут равны относительные удлинения и сдвиг элемента любой поверхности, параллельной срединной и отстоящей от последней на расстоянии x . Для этого можно воспользоваться формулами (56. I), (57. I) и (60. I), вставив в них вместо параметров Лиме, главных радиусов кривизны и перемещений срединной поверхности, параметры Лиме, главный радиусы кривизны и перемещения параллельной поверхности. Перемещения любой поверхности, параллельной срединной и отстоящей от последней на расстоянии x , уже определены в предыдущем параграфе (см. формулы (56. I)). Остается определить главные радиусы кривизны и параметры Лиме параллельной поверхности.

Двигая отрезок нормали к срединной поверхности длиной τ вдоль координатных линий x_1 и x_2 , мы получим на параллельной поверхности сеть координатных линий, параллельных линиям x_1 и x_2 срединной поверхности. Эти линии являются линиями главной кривизны параллельной поверхности, отстоящей от срединной поверхности на расстоянии x .

Рассмотрим сечение оболочки, нормальное к изображенным линиям x_2 (рис. 12).

Точки m_1 и m_2 принадлежат срединной поверхности, точки n_1 и n_2 — параллельной поверхности. Из рисунка видно, что если радиус кривизны рассматриваемого сечения срединной поверхности равен R_1 , то соответствующий радиус кривизны параллельной поверхности будет

$$R_1^{(1)} = R_1 + x. \quad (61. I)$$

Длина дуги $m_1 m_2$ элемента срединной поверхности

$$ds_1 = A_1 dx_1,$$

длина же дуги $n_1 n_2$ элемента параллельной поверхности

$$ds_1^{(1)} = A_1^{(1)} dx_1. \quad (62. I)$$

Из подобия фигур m_1m_2O и n_1n_2O следует:

$$\frac{ds_1^{(1)}}{ds_1} = \frac{R_1 + z}{R_1} = 1 + \frac{z}{R_1}$$

или

$$ds_1^{(1)} = ds_1 \left(1 + \frac{z}{R_1}\right) = A_1 \left(1 + \frac{z}{R_1}\right) ds_1. \quad (63.1)$$

Сравнив формулы (62.1) и (63.1), получим

$$A_1^{(1)} = A_1 \left(1 + \frac{z}{R_1}\right). \quad (64.1)$$

Аналогично можно получить

$$\left. \begin{aligned} R_2^{(1)} &= R_2 + z \\ A_2^{(1)} &= A_2 \left(1 + \frac{z}{R_2}\right) \end{aligned} \right\}. \quad (65.1)$$

Таким образом, параметры Даме и главные радиусы кривизны параллельной поверхности определены. Подставив их значения, а также значения перемещений u_x , v , w , согласно формулам (56.1) и (57.1), получим относительные удлинения элементов параллельной поверхности. Сделав такую подстановку, после несложных преобразований получим

$$u_1^{(1)} = \frac{1}{1 + \frac{z}{R_1}} (v_1 + z w_1), \quad (66.1)$$

где

$$v_1 = \frac{1}{A_1} \cdot \frac{\partial v}{\partial s_1} + \frac{1}{A_1 A_2} \cdot \frac{\partial A_2}{\partial s_1} \varphi. \quad (67.1)$$

Параметр v_1 , после подстановки значений ψ в φ согласно формулам (53.1) может быть приведен к виду

$$v_1 = -\frac{1}{A_1} \cdot \frac{\partial}{\partial s_1} \left(\frac{1}{A_1} \cdot \frac{\partial w}{\partial s_1} - \frac{w}{R_1} \right) = \frac{1}{A_1 A_2} \cdot \frac{\partial A_2}{\partial s_1} \left(\frac{1}{A_2} \cdot \frac{\partial w}{\partial s_1} - \frac{w}{R_2} \right). \quad (68.1)$$

Параметр $v_1^{(1)}$ есть относительное удлинение элемента параллельной поверхности в направлении s_1 .

Совершенно аналогично можно получить

$$v_2^{(1)} = \frac{1}{1 + \frac{z}{R_2}} (v_2 + z w_2), \quad (69.1)$$

где

$$v_2 = \frac{1}{A_2} \cdot \frac{\partial v}{\partial s_2} + \frac{1}{A_1 A_2} \cdot \frac{\partial A_1}{\partial s_2} \varphi. \quad (70.1)$$

Параметр v_2 , после подстановки ψ и φ приводится к виду

$$v_2 = -\frac{1}{A_2} \cdot \frac{\partial}{\partial s_2} \left(\frac{1}{A_2} \cdot \frac{\partial w}{\partial s_2} - \frac{w}{R_2} \right) = \frac{1}{A_1 A_2} \cdot \frac{\partial A_1}{\partial s_2} \left(\frac{1}{A_1} \cdot \frac{\partial w}{\partial s_2} - \frac{w}{R_1} \right). \quad (71.1)$$

Параметр $v_2^{(1)}$ есть относительное удлинение элемента параллельной поверхности в направлении s_2 .

Подставив значения параметров Лиме, давших радиусы кривизны и перемещений параллельной поверхности в ф-лы (60. I), получим выражение для сдвигов элемента параллельной поверхности

$$\omega^{(n)} = -\frac{1}{1 + \frac{x}{R_1}} (a_1 + x \tau_1) + \frac{1}{1 + \frac{x}{R_2}} (a_2 + x \tau_2), \quad (72. I)$$

т.е.

$$\left. \begin{aligned} a_1 &= \frac{1}{A_1} \cdot \frac{\partial u}{\partial x_1} - \frac{1}{A_1 A_2} \cdot \frac{\partial A_2}{\partial x_1} u \\ a_2 &= \frac{1}{A_2} \cdot \frac{\partial u}{\partial x_2} - \frac{1}{A_1 A_2} \cdot \frac{\partial A_1}{\partial x_2} v \\ \tau_1 &= \frac{1}{A_1} \cdot \frac{\partial v}{\partial x_1} - \frac{1}{A_1 A_2} \cdot \frac{\partial A_2}{\partial x_1} v \\ \tau_2 &= \frac{1}{A_2} \cdot \frac{\partial v}{\partial x_2} - \frac{1}{A_1 A_2} \cdot \frac{\partial A_1}{\partial x_2} v \end{aligned} \right\} \quad (73. I)$$

Учитывая правило тождества

$$\tau_1 + \frac{u_2}{R_1} = \tau_2 + \frac{u_1}{R_2},$$

которое легко проверяется подстановкой вспомогательных в него величин, и обозначки

$$\left. \begin{aligned} a &= a_1 + a_2 \\ z &= \tau_1 + \frac{u_2}{R_1} = \tau_2 + \frac{u_1}{R_2} \end{aligned} \right\}, \quad (74. I)$$

получим

$$\omega^{(n)} = \frac{1}{\left(1 + \frac{x}{R_1}\right)\left(1 + \frac{x}{R_2}\right)} \left\{ \left(1 - \frac{x^2}{R_1 R_2}\right) u + 2 \left[1 + \left(\frac{1}{R_1} + \frac{1}{R_2}\right) \frac{x}{2}\right] z v \right\}, \quad (75. I)$$

т.е.

$$\left. \begin{aligned} u &= -\frac{1}{A_1 A_2} \left(\frac{\partial w}{\partial x_1 \partial x_2} - \frac{1}{A_1} \cdot \frac{\partial A_2}{\partial x_1} \cdot \frac{\partial w}{\partial x_2} - \frac{1}{A_2} \cdot \frac{\partial A_1}{\partial x_1} \cdot \frac{\partial w}{\partial x_2} \right) + \\ &+ \frac{1}{R_1} \left(\frac{1}{A_1} \cdot \frac{\partial u}{\partial x_1} - \frac{1}{A_1 A_2} \cdot \frac{\partial A_2}{\partial x_1} u \right) + \frac{1}{R_2} \left(\frac{1}{A_2} \cdot \frac{\partial u}{\partial x_2} - \frac{1}{A_1 A_2} \cdot \frac{\partial A_1}{\partial x_2} v \right). \end{aligned} \right\} \quad (76. I)$$

Параметр $\omega^{(n)}$, определяемый ф-лой (75. I), есть сдвиг элемента параллельной поверхности.

В формулах, определяющих удлинения и сдвиг элемента параллельной поверхности (ф-лы (66. I), (69. I) и (75. I)), входят шесть различных функций перемещений срединной поверхности:

$$\left. \begin{aligned} \epsilon_1 &= \frac{1}{A_1} \cdot \frac{\partial u}{\partial x_1} + \frac{1}{A_1 A_2} \cdot \frac{\partial A_2}{\partial x_1} u + \frac{w}{R_1} \\ \epsilon_2 &= \frac{1}{A_2} \cdot \frac{\partial u}{\partial x_2} + \frac{1}{A_1 A_2} \cdot \frac{\partial A_1}{\partial x_2} v + \frac{w}{R_2} \\ \alpha &= \frac{A_2}{A_1} \cdot \frac{\partial}{\partial x_1} \left(\frac{w}{A_2} \right) + \frac{A_1}{A_2} \cdot \frac{\partial}{\partial x_2} \left(\frac{w}{A_1} \right) \end{aligned} \right\} \quad (77. I)$$

$$\left. \begin{aligned} x_1 &= -\frac{1}{A_1} \cdot \frac{\partial}{\partial x_1} \left(\frac{1}{A_1} \cdot \frac{\partial w}{\partial x_1} - \frac{u}{R_1} \right) = \frac{1}{A_1 A_2} \cdot \frac{\partial A_2}{\partial x_1} \left(\frac{1}{A_1} \cdot \frac{\partial w}{\partial x_1} - \frac{u}{R_1} \right) \\ x_2 &= -\frac{1}{A_2} \cdot \frac{\partial}{\partial x_2} \left(\frac{1}{A_2} \cdot \frac{\partial w}{\partial x_2} - \frac{u}{R_2} \right) = \frac{1}{A_1 A_2} \cdot \frac{\partial A_1}{\partial x_2} \left(\frac{1}{A_2} \cdot \frac{\partial w}{\partial x_2} - \frac{u}{R_2} \right) \\ \tau &= -\frac{1}{A_1 A_2} \left(\frac{\partial^2 w}{\partial x_1 \partial x_2} - \frac{1}{A_1} \cdot \frac{\partial A_2}{\partial x_1} \cdot \frac{\partial w}{\partial x_2} - \frac{1}{A_2} \cdot \frac{\partial A_1}{\partial x_2} \cdot \frac{\partial w}{\partial x_1} \right) + \right. \\ &\quad \left. + \frac{1}{R_1} \left(\frac{1}{A_2} \cdot \frac{\partial u}{\partial x_1} - \frac{1}{A_1 A_2} \cdot \frac{\partial A_1}{\partial x_2} u \right) + \frac{1}{R_2} \left(\frac{1}{A_1} \cdot \frac{\partial u}{\partial x_2} - \frac{1}{A_1 A_2} \cdot \frac{\partial A_2}{\partial x_1} u \right) \end{aligned} \right\} . \quad (77.1)$$

Геометрический смысл параметров x_1 , x_2 и τ был выяснен уже ранее. Напомним еще раз, что x_1 есть относительное удлинение элемента средней поверхности в направлении x_1 ; x_2 — относительное удлинение элемента средней поверхности в направлении x_2 ; τ — сдвиг этого элемента или, что то же, косинус угла между строками элемента после деформации.

Остается выяснить геометрический смысл параметров x_1 , x_2 и τ . Для этого разложим знаменатели ф-л (66.1), (68.1) и (76.1) в ряды по степеням x , сохранив в рядах члены со степенями x до второй включительно. Получим

$$\left. \begin{aligned} x_1^{(0)} &\approx x_1 + x \left(x_1 - \frac{u_1}{R_1} \right) - \frac{x^2}{R_1} \left(x_1 - \frac{u_1}{R_1} \right) \\ x_2^{(0)} &\approx x_2 + x \left(x_2 - \frac{u_2}{R_2} \right) - \frac{x^2}{R_2} \left(x_2 - \frac{u_2}{R_2} \right) \\ \tau^{(0)} &\approx \tau + 2x \left[\tau - \left(\frac{1}{R_1} + \frac{1}{R_2} \right) \frac{u}{2} \right] - x^2 \left(\frac{1}{R_1} + \frac{1}{R_2} \right) \left[\tau - \left(R_1 - R_2 \right) \frac{u}{2(R_1 R_2)} \right] \end{aligned} \right\} . \quad (78.1)$$

Для тонких оболочек третими членами равенств (78.1) можно пренебречь. Следовательно,

$$\left. \begin{aligned} x_1^{(0)} &\approx x_1 + x \left(x_1 - \frac{u_1}{R_1} \right) \\ x_2^{(0)} &\approx x_2 + x \left(x_2 - \frac{u_2}{R_2} \right) \\ \tau^{(0)} &\approx \tau + 2x \left[\tau - \left(\frac{1}{R_1} + \frac{1}{R_2} \right) \frac{u}{2} \right] \end{aligned} \right\} . \quad (79.1)$$

Из формул (79.1) видно, что относительные удлинения и сдвиг элемента параллельной поверхности изменяются по толщине оболочки по линейному закону. Первые слагаемые этих формул соответствуют деформации, равномерно распределенной по толщине оболочки. Вторые же слагаемые соответствуют деформации, линейно изменяющейся по толщине, т. е. деформации изгиба. Следовательно, коэффициенты при x в первых двух ур-иях (79.1) будут изменениями кривизны элемента в направлении x_1 и x_2 , соответственно, т. е.

$$\left. \begin{aligned} \frac{1}{R_1'} - \frac{1}{R_1} &= x_1 - \frac{u_1}{R_1} \\ \frac{1}{R_2'} - \frac{1}{R_2} &= x_2 - \frac{u_2}{R_2} \end{aligned} \right\} . \quad (80.1)$$

Таким образом, параметры ϵ_1 и ϵ_2 характеризуют изменение кривизны срединной поверхности. Анализ показывает, что с погрешностью, не превышающей погрешность гипотезы Кирхгоффа—Лиля, эти параметры можно отождествлять с изменениями кривизны. Последнее следует из того, что для тонких оболочек в формах (79.1) членами $x \frac{\partial}{\partial x_1}$ и $x \frac{\partial}{\partial x_2}$ можно пренебречь в сравнении с членами ϵ_1 и ϵ_2 соответственно, т. е. считать, что

$$\left. \begin{aligned} \epsilon_1^{(1)} &= \epsilon_1 + 2x_1 \\ \epsilon_2^{(1)} &= \epsilon_2 + 2x_2 \end{aligned} \right\}. \quad (81.1)$$

Подобными рассуждениями можно получить

$$\epsilon^{(1)} = \epsilon + 2x, \quad (82.1)$$

Следовательно, ϵ характеризует кручение элемента срединной поверхности и с упомянутой выше степенью точности его можно отождествлять с кручением этого элемента.

Из изложенного следует, что деформация срединной поверхности оболочки определяется шестью параметрами: ϵ_1 , ϵ_2 , ψ , ϵ_1 , ϵ_2 и ψ , причем первые три параметра характеризуют изменение размеров и сдвиг элемента, а три последних — его искривление и закручивание. Эти шесть параметров называются компонентами деформации срединной поверхности.

§ 7. Уравнения неразрывности деформаций срединной поверхности

Шесть компонентов деформации срединной поверхности (ϵ_1 , ϵ_2 , ψ , ϵ_1 , ϵ_2 , ψ) являются функциями трех компонентов вектора перемещений. Поэтому естественно, что упомянутые шесть компонентов не могут быть величинами произвольными и между ними должны существовать дополнительные зависимости. Эти зависимости именуются в общей теории упругости уравнениями неразрывности деформаций. Геометрический смысл уравнений неразрывности состоит в том, что они обеспечивают сплошность или неразрывность упругого тела. Применимельно к тонким оболочкам произвольной формы уравнения неразрывности получены А. Л. Гольденвейзером* и имеют вид:

$$\begin{aligned} A_2 \frac{\partial \epsilon_2}{\partial x_1} + \frac{\partial A_2}{\partial x_1} (\epsilon_2 - \epsilon_1) - A_1 \frac{\partial \epsilon_1}{\partial x_2} - 2 \frac{\partial A_1}{\partial x_2} \psi + \frac{1}{E_1} \cdot \frac{\partial \epsilon_1}{\partial x_1} + \\ + \frac{1}{E_1} \left[A_1 \frac{\partial \psi}{\partial x_2} + \frac{\partial A_1}{\partial x_2} \psi - A_2 \frac{\partial \psi}{\partial x_1} - \frac{\partial A_2}{\partial x_1} (\epsilon_2 - \epsilon_1) \right] = 0 \\ A_1 \frac{\partial \epsilon_1}{\partial x_2} + \frac{\partial A_1}{\partial x_2} (\epsilon_1 - \epsilon_2) - A_2 \frac{\partial \epsilon_2}{\partial x_1} - 2 \frac{\partial A_2}{\partial x_1} \psi + \frac{1}{E_2} \cdot \frac{\partial \epsilon_2}{\partial x_2} + \\ + \frac{1}{E_2} \left[A_2 \frac{\partial \psi}{\partial x_1} + \frac{\partial A_2}{\partial x_1} \psi - A_1 \frac{\partial \psi}{\partial x_2} - \frac{\partial A_1}{\partial x_2} (\epsilon_1 - \epsilon_2) \right] = 0 \\ \frac{\epsilon_1}{E_1} + \frac{\epsilon_2}{E_2} + \frac{1}{E_1 E_2} \left[\frac{\partial}{\partial x_1} \cdot \frac{1}{E_1} \left[A_2 \frac{\partial \epsilon_2}{\partial x_1} + \frac{\partial A_2}{\partial x_1} (\epsilon_2 - \epsilon_1) - \frac{A_1}{2} \cdot \frac{\partial \psi}{\partial x_1} - \right. \right. \\ \left. \left. - \frac{\partial A_1}{\partial x_2} \psi \right] + \frac{\partial}{\partial x_2} \cdot \frac{1}{E_2} \left[A_1 \frac{\partial \epsilon_1}{\partial x_2} + \frac{\partial A_1}{\partial x_2} \psi - \frac{A_2}{2} \cdot \frac{\partial \psi}{\partial x_2} - \frac{\partial A_2}{\partial x_1} \psi \right] \right] = 0 \end{aligned} \quad (83.1)$$

* А. Л. Гольденвейзер. Уравнения теории оболочек. ПММ. Т. IV. Вып. 2. 1948.

Удлинение ур-ний (83, I) обеспечивает сплошность или неразрывность срединной поверхности оболочки после ее деформации. Таким образом, условия (83, I) являются аналогом условий Коши—Гаусса. Если соблюдение последних обеспечивает сплошность срединной поверхности оболочки до деформации, то соблюдение условий (83, I) обеспечивает ее сплошность после деформации.

§ 8. Напряжения

Приложенные к оболочке внешние усилия вызывают ее деформацию. Деформации оболочки завершаются в тот момент, когда приложенные внешние усилия уравновешиваются внутренними изуругами усилий или напряжений. Переходим к рассмотрению напряжений.

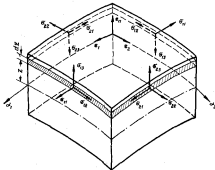


Рис. 13

Выделим из оболочки четырьмя сечениями, перпендикулярными к ее срединной поверхности и проходящими через координатные линии ω_1 , ω_1+dz_1 , ω_2+dz_2 пространственный элемент, высоты которого равны толщине оболочки (рис. 13).

Из этого элемента двумя поверхностями, параллельными срединной поверхности и отстоящими от последней на расстояния z и $z+dz$, выделим элементарный слой толщиной dz и проанализируем напряженное состояние этого слоя. Рассмотрим площадку этого слоя, перпендикулярную координатной линии ω_1 . Вектор напряжений в этой площадке разложен на три составляющие: σ_{11} , σ_{12} и σ_{13} . При этом первая составляющая (σ_{11}), направленная по нормали к площадке, называется нормальными напряжениями. Две других составляющие (σ_{12} и σ_{13}) лежат в плоскости площадки и называются касательными напряжениями. Касательное напряжение σ_{12} действует в направлении координатной линии ω_2 , а касательное напряжение σ_{13} — в направлении нормали

к срединной поверхности. Рассматривая площадку, перпендикулярную к координатной линии α_3 , по аналогии будем иметь три составляющих вектора напряжений в этой площадке: σ_{33} — нормальное напряжение, а τ_{31} и τ_{32} — касательные напряжения. В приведенных обозначениях первый индекс при составляющих напряжений указывает направление нормали к площадке, а второй — направление составляющей напряжений.

В заключение параграфа упомянем о правилах знаков для напряжений. Напряжения в площадках, внешние нормаль к которым совпадают с положительным направлением α_1 или α_2 , будем считать положительными, если они положительным образом проектируются на e_1 , e_2 и e_3 . Напряжения же в площацах, внешние нормаль к которым обратны по направлению α_1 или α_2 , будем считать положительными, если они отрицательным образом проектируются на e_1 , e_2 и e_3 . Положительные составляющие напряжений показаны на рис. 13.

На рисунке видно, что положительные составляющие нормальных напряжений вызывают растяжение элемента. Отрицательные составляющие нормальных напряжений вызывают его сжатие.

§ 9. Усмки и моменты

При рассмотрении перемещений оболочки было показано, что перемещения любой точки оболочки определяются перемещениями соответствующей точки ее срединной поверхности и отстоянием ее α от срединной поверхности. Следовательно, для исследования перемещений оболочки достаточно исследовать перемещения ее срединной поверхности. Эта же идея была проведена при определении деформаций оболочки. Деформации оболочки также определяются деформациями ее срединной поверхности и отстоянием α .

Полученные зависимости, таким образом, давали возможность свести задачу о деформации оболочки как упругого тела трех измерений к задаче о деформации ее срединной поверхности (два измерения). Такое сведение задачи к существенно более простой является прямым следствием принятия гипотезы прямых нормалей.

В предыдущем параграфе мы рассмотрели напряженное состояние элемента оболочки. В общем случае как нормальные, так и касательные напряжения приложены во всех точках сечения оболочки. Следовательно, при рассмотрении равновесия оболочки мы сталкиваемся с задачей о равновесии тела трех измерений. Для того чтобы эту задачу свести к задаче о равновесии срединной поверхности, необходимо действительные напряжения, приложенные по всей толщине оболочки, заменить статическими эквивалентными, ко приложенным уже к срединной поверхности.

Из механики известно, что силу, действующую в любой точке тела, можно привести к другой точке (центру приложения), причем и центр приложения будет действовать уже не только силы той же величины, но и момент, равный произведению силы на отстояние ее от центра приложения. Применив напряжения в отдельной точке сечения оболочки к срединной поверхности, мы также получим силу, равную этому напряжению, и момент, равный произведению напряжения на отстояние α от линии срединной поверхности. Упомянутые сила и момент являются статическими эквивалентными рассматриваемому напряжению.

Применив напряжения, действующие во всем сечении, к линии срединной поверхности, мы получим полное усилие и полный момент в рассматриваемом сечении, статически эквивалентные напряжениям, возникшим

шим в данном сечении реальной оболочки. Следовательно, усилие будет равно равнодействующей всех напряжений в сечении, а момент — моменту этой равнодействующей относительно линии срединной поверхности.

Заменив таким образом действительные напряжения, возникающие в оболочке, статическими эквивалентными усилиями и моментами, мы можем рассматривать уже равновесие только срединной поверхности. Решение этой задачи значительно проще задачи о равновесии оболочки как тела трех измерий.

Перейдем к определению усилий и моментов. Рассмотрим грань элемента оболочки, перпендикулярную координатной линии x_1 (см. рис. 13). Как было отмечено выше, на рассматриваемую грань будут действовать нормальные напряжения σ_{11} и касательные τ_{12} и τ_{13} .

Длина элемента дуги срединной поверхности рассматриваемой грани равна

$$ds_3 = A_3 dx_3.$$

Длина же дуги заштрихованного элемента, отстоящего от срединной поверхности на расстоянии x , будет

$$ds'_3 = A_3 \left(1 + \frac{x}{R_3}\right) dx_3.$$

Следовательно, заштрихованная площадь рассматриваемой грани элемента определяется по выражению

$$dF = A_3 \left(1 + \frac{x}{R_3}\right) ds_3 dx.$$

Усилия, приходящиеся на заштрихованную площадь грани, будут равны:

$$dS_{11} = \sigma_{11} dF = \sigma_{11} A_3 \left(1 + \frac{x}{R_3}\right) ds_3 dx,$$

$$dS_{12} = \tau_{12} dF = \tau_{12} A_3 \left(1 + \frac{x}{R_3}\right) ds_3 dx,$$

$$dS_{13} = \tau_{13} dF = \tau_{13} A_3 \left(1 + \frac{x}{R_3}\right) ds_3 dx.$$

Полные усилия, приходящиеся на всю рассматриваемую грань, очевидно, будут определяться по формулам:

$$S_{11} = \int_{-\frac{L}{2}}^{+\frac{L}{2}} dS_{11} = A_3 dx_3 \int_{-\frac{L}{2}}^{+\frac{L}{2}} \sigma_{11} \left(1 + \frac{x}{R_3}\right) dx,$$

$$S_{12} = \int_{-\frac{L}{2}}^{+\frac{L}{2}} dS_{12} = A_3 dx_3 \int_{-\frac{L}{2}}^{+\frac{L}{2}} \tau_{12} \left(1 + \frac{x}{R_3}\right) dx,$$

$$S_{12} = \int_{-\frac{h}{2}}^{\frac{h}{2}} dS_{12} = A_2 dx_2 \int_{-\frac{h}{2}}^{\frac{h}{2}} z_{12} \left(1 + \frac{x}{R_1}\right) dx.$$

Физический смысл усилий S_{11} , S_{12} и S_{22} состоит в том, что они являются равнодействующими всех напряжений σ_{11} , σ_{12} и σ_{22} , действующих в рассматриваемом сечении. Упомянутые равнодействующие приходятся на элемент дуги срединной поверхности $dx_2 = A_2 dx_2$.

Так же как и в теории пластин, для удобства построения всех зависимостей будем интересоваться усилиями, отнесенными к единице длины срединной поверхности. Отнеся усилия S_{11} , S_{12} и S_{22} к длине дуги элемента срединной поверхности, окончательно получим:

$$\left. \begin{aligned} T_1 &= \frac{S_{11}}{A_2 dx_2} = \int_{-\frac{h}{2}}^{\frac{h}{2}} \sigma_{11} \left(1 + \frac{x}{R_1}\right) dx \\ T_{12} &= \frac{S_{12}}{A_2 dx_2} = \int_{-\frac{h}{2}}^{\frac{h}{2}} \sigma_{12} \left(1 + \frac{x}{R_1}\right) dx \\ N_1 &= \frac{S_{22}}{A_2 dx_2} = \int_{-\frac{h}{2}}^{\frac{h}{2}} \sigma_{22} \left(1 + \frac{x}{R_1}\right) dx \end{aligned} \right\}. \quad (84.1)$$

В выражениях (84.1) T_1 — нормальное, а T_{12} и N_1 — касательные усилия, отнесенные к единице длины срединной поверхности.

Аналогично для сечений, перпендикулярного к координатной линии a_2 , будем иметь:

$$\left. \begin{aligned} T_2 &= \int_{-\frac{h}{2}}^{\frac{h}{2}} \sigma_{22} \left(1 + \frac{x}{R_2}\right) dx \\ T_{21} &= \int_{-\frac{h}{2}}^{\frac{h}{2}} \sigma_{21} \left(1 + \frac{x}{R_2}\right) dx \\ N_2 &= \int_{-\frac{h}{2}}^{\frac{h}{2}} \sigma_{12} \left(1 + \frac{x}{R_2}\right) dx \end{aligned} \right\}. \quad (85.1)$$

Здесь T_1 — нормальное, а T_{12} и N_1 — касательные усилия, отвёртенные к единице длины срединной поверхности.

В технической литературе касательные усилия N_1 и N_2 иногда называют перерезывающими или поперечными усилиями.

Правило знаков, установленное для нормальных и касательных напряжений, сохраняет свою силу и для усилий, а именно: усилия, действующие в площадках, у которых внешняя нормаль совпадает с положительными направлениями a_1 или a_2 , считаются положительными, если они положительным образом проектируются на направления e_1 , e_2 и e_3 . И наоборот, если внешняя нормаль к площадке обратна по направлению a_1 или a_2 , то положительные усилия отрицательным образом проектируются на e_1 , e_2 и e_3 . На рис. 14 показаны положительные усилия.

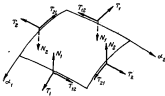


Рис. 14

Перейдём к определению моментов напряжений σ_{11} и σ_{22} (момент напряжений σ_{12} относительно срединной поверхности всегда равен нулю). Обращаясь опять к рис. 13, для эпюры изогнутого сечения получим следующие величины моментов напряжений σ_{11} и σ_{22} относительно срединной поверхности:

$$dS_{11}x = \sigma_{11} A_2 \left(1 + \frac{x}{R_2}\right) z d\sigma_1 dx,$$

$$dS_{22}x = \sigma_{22} A_2 \left(1 + \frac{x}{R_2}\right) z d\sigma_2 dx.$$

Полные величины моментов в рассматриваемом сечении, приходящиеся на единицу дуги срединной поверхности $d\sigma_i = A_2 d\sigma_i$, очевидно, будут равны

$$\int_{-\frac{1}{2}}^{\frac{1}{2}} z dS_{11} = A_2 d\sigma_1 \int_{-\frac{1}{2}}^{\frac{1}{2}} \sigma_{11} z \left(1 + \frac{z}{R_2}\right) dz,$$

$$\int_{-\frac{1}{2}}^{\frac{1}{2}} z dS_{22} = A_2 d\sigma_2 \int_{-\frac{1}{2}}^{\frac{1}{2}} \sigma_{22} z \left(1 + \frac{z}{R_2}\right) dz.$$

Отнеся полученные моменты к $A_2 ds_2$, получим

$$M_1 = \int_{-\frac{h}{2}}^{\frac{h}{2}} a_{11} x \left(1 + \frac{x}{R_1}\right) dx \quad | \quad (86.1)$$

$$M_{12} = \int_{-\frac{h}{2}}^{\frac{h}{2}} a_{12} x \left(1 + \frac{x}{R_1}\right) dx$$

Аналогично для сечения, перпендикулярного к координатной линии a_2 , будем иметь

$$M_2 = \int_{-\frac{h}{2}}^{\frac{h}{2}} a_{21} x \left(1 + \frac{x}{R_2}\right) dx \quad | \quad (87.1)$$

$$M_{23} = \int_{-\frac{h}{2}}^{\frac{h}{2}} a_{22} x \left(1 + \frac{x}{R_2}\right) dx$$

В выражениях (86.1) и (87.1) M_1 и M_2 — изгибающие моменты, отнесенные к единице длины срединной поверхности, M_{12} и M_{23} — крутильные моменты. Изгибающие и крутильные моменты будем обозначать двойными стрелками, причем направление вращения примем совпадающим с направлением часовой стрелки. Положительные направления моментов показаны на рис. 15.

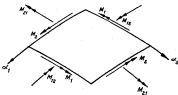


Рис. 15

Шесть усилий: T_1 , T_{12} , N_1 , T_2 , T_{23} , N_2 и четыре момента: M_1 , M_2 , M_{12} , M_{23} , статически эквивалентны всем напряжениям, возникающим в оболочке при ее деформации. Следовательно, вместо рассмотрения условий

равновесия элемента оболочки, достаточно рассмотреть условия равновесия элемента ее срединной поверхности, загруженного соответствующими усилиями и моментами. С другой стороны, значение всех усилий и моментов равносильно влиянию всех напряжений, возникающих в оболочке.

В теории оболочек вместо усилий T_{12} и T_{21} и моментов M_{12} и M_{21} вводят их комбинации:

$$\left. \begin{aligned} S &= T_{12} - \frac{M_{12}}{R_1} = T_{21} - \frac{M_{21}}{R_2} \\ H &= \frac{1}{2} (M_{12} + M_{21}) \end{aligned} \right\} \quad (88,1)$$

§ 10. Условия равновесия элемента оболочки

Как было отмечено выше, в положении равновесия настенные усилия уравновешиваются внутренними напряжениями, возникающими в оболочке. Последние же мы заменили статически эквивалентными усилиями

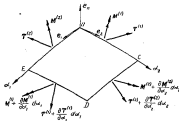


Рис. 16

и моментами, приложенными к срединной поверхности. Для рассмотрение равновесия элемента срединной поверхности оболочки необходимо аналогичную операцию проделать и с настенными усилиями, т. е. заменить внешние усилия статически эквивалентными и приложенными к срединной поверхности.

Все настенные силы можно разделить на две группы:

- 1) объемные силы,
- 2) поверхностные силы.

Объемными силами являются силы веса (в задачах статики) и силы инерции (в задачах динамики), которые приложены ко всем точкам рассматриваемого объема.

Нанду настене гильзами оболочки, объемные силы можно считать равномерно распределенными по толщине оболочки. Следовательно, моментов относительно срединной поверхности объемные силы давать не будут. Таким образом, объемные силы приводятся только к силам, приложенным к срединной поверхности.

Вторую группу сил составляют поверхностные силы, приложенные к верхней и нижней краеволнистым поверхностям оболочки. Из поверхностных сил наибольший практический интерес представляет давление жидкости или газа. Последнее же действует нормально к срединной поверхности оболочки и, следовательно, момента относительно срединной поверхности давить не будет. Таким образом, и поверхностные силы приводятся только к силам.

Обозначим вектор внешней силы, приходящейся на единицу длины срединной поверхности, через \mathbf{q} , причем его, очевидно, можно представить в виде

$$\mathbf{q} = q_1 \mathbf{e}_1 + q_2 \mathbf{e}_2 + q_3 \mathbf{e}_3, \quad (89.1)$$

где q_1 , q_2 и q_3 — компоненты или проекции вектора \mathbf{q} на направления \mathbf{e}_1 , \mathbf{e}_2 , \mathbf{e}_3 .

Теперь перейдем к анализу условий равновесия элемента срединной поверхности оболочки (рис. 1б). Сначала рассмотрим усилия и моменты, приложенные к каждой из сторон рассматриваемого элемента $OCDE$. На сторону OC действуют усилия $T_1 A_1 d\sigma_1$, $T_{12} A_1 d\sigma_2$, и $N_1 A_1 d\sigma_3$, в моменты $M_{12} A_1 d\sigma_2$, $M_{13} A_1 d\sigma_3$. При этом суммарный вектор усилий будет

$$-\mathbf{T}^{(1)} = -(T_1 \mathbf{e}_1 + T_{12} \mathbf{e}_2 + N_1 \mathbf{e}_3) A_1 d\sigma_1, \quad (90.1)$$

а суммарный вектор момента

$$-\mathbf{M}^{(1)} = -(M_{12} \mathbf{e}_2 - M_{13} \mathbf{e}_3) A_1 d\sigma_1. \quad (91.1)$$

На противоположной стороне ED соответствующие векторы усилий и моментов будут иметь приращения

$$\frac{\partial \mathbf{T}^{(1)}}{\partial \sigma_1} d\sigma_1 = \frac{\partial \mathbf{M}^{(1)}}{\partial \sigma_1} d\sigma_1,$$

а полные величины усилий и моментов, приложенных к этой стороне, будут

$$\left. \begin{aligned} & \mathbf{T}^{(1)} + \frac{\partial \mathbf{T}^{(1)}}{\partial \sigma_1} d\sigma_1 \\ & \mathbf{M}^{(1)} + \frac{\partial \mathbf{M}^{(1)}}{\partial \sigma_1} d\sigma_1 \end{aligned} \right\}, \quad (92.1)$$

аналогично на сторону OE действуют:

усилия

$$-\mathbf{T}^{(2)} = -(T_2 \mathbf{e}_2 + T_{12} \mathbf{e}_1 + N_2 \mathbf{e}_3) A_2 d\sigma_2, \quad (93.1)$$

момент

$$-\mathbf{M}^{(2)} = -(M_{21} \mathbf{e}_1 - M_{23} \mathbf{e}_3) A_2 d\sigma_2, \quad (94.1)$$

а на противоположную сторону CD действуют:

усилия

$$\mathbf{T}^{(3)} + \frac{\partial \mathbf{T}^{(3)}}{\partial \sigma_2} d\sigma_2, \quad (95.1)$$

момент

$$\mathbf{M}^{(3)} + \frac{\partial \mathbf{M}^{(3)}}{\partial \sigma_2} d\sigma_2, \quad (96.1)$$

Кроме рассмотренных усилий и моментов, на элемент действует внешние нагрузки

$$qA_1ds_1, A_2ds_2 = (q_1e_1 + q_2e_2 + q_3e_3) A_1A_2ds_1ds_2.$$

При составлении уравнений равновесия будем пренебрегать (из-за малости) изменениями размеров и формы элемента срединной поверхности в процессе деформации.

Знак минус в выражениях (90. I), (91. I), (92. I) и (94. I) является следствием того, что на противоположных сторонах элемента положительные значения проекций усилий и моментов имеют взаимно противоположные направления.

В положении равновесия главный вектор и главный момент всех внешних и внутренних сил, действующих на рассматриваемый элемент срединной поверхности, должны быть равны нулю.

Выпишем условие равенства нулю главного вектора

$$-T^{(1)} + T^{(2)} + \frac{\partial T^{(1)}}{\partial s_1} ds_1 - T^{(3)} + T^{(4)} + \frac{\partial T^{(3)}}{\partial s_2} ds_2 + qA_1A_2ds_1ds_2 = 0$$

или

$$\frac{\partial T^{(1)}}{\partial s_1} ds_1 + \frac{\partial T^{(3)}}{\partial s_2} ds_2 + qA_1A_2ds_1ds_2 = 0. \quad (97. I)$$

Подставляя в ур-ние (97. I) $T^{(1)}$, $T^{(3)}$ и q и учитывая правила дифференцирования единичных векторов, окончательно получим

$$\begin{aligned} & \left(\frac{\partial A_2 T_1}{\partial s_1} + \frac{\partial A_2 T_{21}}{\partial s_2} + \frac{\partial A_1}{\partial s_1} T_{12} - \frac{\partial A_2}{\partial s_1} T_3 + \frac{\partial A_2}{\partial s_1} N_1 + A_1 A_2 q_1 \right) e_1 + \\ & + \left(\frac{\partial A_2 T_{12}}{\partial s_1} + \frac{\partial A_2 T_2}{\partial s_2} + \frac{\partial A_2}{\partial s_2} T_{12} - \frac{\partial A_2}{\partial s_2} T_4 + \frac{A_1 A_2}{R_1} N_1 + A_1 A_2 q_2 \right) e_2 + \\ & + \left[\frac{\partial A_2 N_1}{\partial s_1} + \frac{\partial A_2 N_2}{\partial s_2} - A_1 A_2 \left(\frac{T_1}{R_1} + \frac{T_2}{R_2} \right) + A_1 A_2 q_3 \right] e_3 = 0. \end{aligned} \quad (98. I)$$

Известно, что равенство нулю вектора означает равенство нулю всех его проекций, следовательно,

$$\left. \begin{aligned} & \frac{1}{A_1 A_2} \left(\frac{\partial A_2 T_1}{\partial s_1} + \frac{\partial A_2 T_{21}}{\partial s_2} + \frac{\partial A_1}{\partial s_1} T_{12} - \frac{\partial A_2}{\partial s_1} T_3 \right) + \frac{N_1}{R_1} + q_1 = 0 \\ & \frac{1}{A_1 A_2} \left(\frac{\partial A_2 T_{12}}{\partial s_1} + \frac{\partial A_2 T_2}{\partial s_2} + \frac{\partial A_2}{\partial s_2} T_{12} - \frac{\partial A_2}{\partial s_2} T_4 \right) + \frac{N_2}{R_2} + q_2 = 0 \\ & \frac{1}{A_1 A_2} \left(\frac{\partial A_2 N_1}{\partial s_1} + \frac{\partial A_2 N_2}{\partial s_2} \right) - \frac{T_1}{R_1} - \frac{T_2}{R_2} + q_3 = 0 \end{aligned} \right\}. \quad (99. I)$$

Уравнения (99. I) и выражают равенство нулю главного вектора всех внешних и внутренних сил.

Перейдем к определению главного момента. Главный момент будет разностью суммы всех внутренних моментов и моментов от внутренних усилий и внешней нагрузки.

Сумма внутренних моментов будет

$$-M^{(1)} + M^{(2)} + \frac{\partial M^{(1)}}{\partial s_1} ds_1 - M^{(3)} + M^{(4)} + \frac{\partial M^{(3)}}{\partial s_2} ds_2 = \frac{\partial M^{(1)}}{\partial s_1} ds_1 + \frac{\partial M^{(3)}}{\partial s_2} ds_2.$$

Подставив в это выражение значения $M^{(1)}$ и $M^{(2)}$ из выражений (91.1) и (94.1) и учитывая правила дифференцирования единичных векторов, получим следующее выражение для суммы внутренних моментов:

$$\begin{aligned} \frac{\partial M^{(1)}}{\partial x_1} dx_1 + \frac{\partial M^{(2)}}{\partial x_2} dx_2 = & \left[-\left(\frac{\partial A_1 M_{21}}{\partial x_1} + \frac{\partial A_2 M_{12}}{\partial x_1} + \frac{\partial A_3 M_{31}}{\partial x_1} - \frac{\partial A_1 M_{12}}{\partial x_2} \right) e_1 + \right. \\ & + \left(\frac{\partial A_2 M_{12}}{\partial x_2} + \frac{\partial A_1 M_{21}}{\partial x_2} + \frac{\partial A_3 M_{32}}{\partial x_2} - \frac{\partial A_2 M_{31}}{\partial x_1} \right) e_2 + \\ & \left. + \left(\frac{M_{21}}{R_1} - \frac{M_{31}}{R_2} \right) A_1 A_2 e_3 \right] dx_1 dx_2. \end{aligned} \quad (100.1)$$

Рассмотрим момент от внутренних усилий, действующих на элемент срединной поверхности, относительно точки O . Компоненты усилий, касательные к срединной поверхности (T_1 , T_{12} , T_{21} , T_{31}), дают момент лишь относительно оси e_3 , а компоненты усилий, нормальные к срединной поверхности (N_1 и N_2), дают моменты лишь относительно осей e_1 и e_2 .

Умножая усилия, действующие из стороны элемента длиной A_{123} и A_{231} , на плечи, равные A_{123} и A_{231} , мы получим величины второго порядка малости. Что касается моментов от приращения усилий, то они будут величинами третьего порядка малости, и этиим моментам можно пренебречь. Точно так же момент от внешней нагрузки будет величиной третьего порядка малости, и им тоже следует пренебречь.

Следовательно, момент от усилий будет равен

$$[N_2 e_1 - N_1 e_2 + (T_{12} - T_{21}) e_3] A_1 A_2 dx_1 dx_2. \quad (101.1)$$

Сложив сумму внутренних моментов с моментом от усилий, получим главный момент всех сил. Приравняв его нулю, будем иметь

$$\begin{aligned} & \left[\left(\frac{\partial A_2 M_{21}}{\partial x_1} + \frac{\partial A_1 M_{12}}{\partial x_1} + \frac{\partial A_3 M_{31}}{\partial x_1} - \frac{\partial A_1 M_{12}}{\partial x_2} \right) - A_1 A_2 N_2 \right] e_1 + \\ & + \left[\left(\frac{\partial A_3 M_{12}}{\partial x_2} + \frac{\partial A_2 M_{21}}{\partial x_2} + \frac{\partial A_1 M_{31}}{\partial x_2} - \frac{\partial A_2 M_{31}}{\partial x_1} \right) - A_1 A_2 N_1 \right] e_2 + \\ & + \left(T_{12} - T_{21} + \frac{M_{21}}{R_1} - \frac{M_{31}}{R_2} \right) e_3 = 0. \end{aligned} \quad (102.1)$$

Уравнение (102.1) есть искомое равенство нулю главного момента всех приложенных к элементу сил. Это равенство может иметь место только в том случае, если

$$\left. \begin{aligned} & \frac{1}{A_1 A_2} \left(\frac{\partial A_2 M_{21}}{\partial x_1} + \frac{\partial A_1 M_{12}}{\partial x_1} + \frac{\partial A_3 M_{31}}{\partial x_1} - \frac{\partial A_1 M_{12}}{\partial x_2} \right) - N_2 = 0 \\ & \frac{1}{A_2 A_3} \left(\frac{\partial A_3 M_{12}}{\partial x_2} + \frac{\partial A_2 M_{21}}{\partial x_2} + \frac{\partial A_1 M_{31}}{\partial x_2} - \frac{\partial A_2 M_{31}}{\partial x_1} \right) - N_1 = 0 \\ & T_{12} - T_{21} + \frac{M_{21}}{R_1} - \frac{M_{31}}{R_2} = 0 \end{aligned} \right\}. \quad (103.1)$$

Шесть ур-ий (99.1) и (103.1) являются исковыми дифференциальными уравнениями разностных элементов срединной поверхности об-

дочин. Необходимо отметить, что последнее уравнение системы (103. I), по существу, является тождеством. Действительно, подстановкой в это уравнение значений T_{12} , T_{21} , M_{12} и M_{21} приведем к равенству

$$T_{12} - T_{21} + \frac{M_{12}}{R_1} - \frac{M_{21}}{R_2} = \int_{-\frac{L}{2}}^{\frac{L}{2}} \left(1 + \frac{x}{R_1}\right) \left(1 + \frac{x}{R_2}\right) (z_{12} - z_{21}) dx,$$

но в силу симметрии тензора напряжений (это доказывается в общей теории упругости) $z_{12} = z_{21}$. Следовательно, последнее уравнение системы (103. I) является тождеством.

В полученные шесть уравнений равновесия входит десять неизвестных: шесть усилий T_1 , T_{12} , T_2 , T_{21} , M_1 , M_2 и четыре момента M_{12} , M_{21} , M_3 , M_4 , поэтому задача о равновесии элемента оболочки статически неопределенна. Таким образом, десять неизвестных усилий и моментов не могут быть определены только из уравнений статики. Для определения этих усилий необходимы дополнительные уравнения, которые будут получены в § 12.

Обычно в теории оболочек системы уравнений равновесия (99. I) и (103. I) заменяются одной системой трех уравнений. Для этого из первого и второго уравнений системы (103. I) высчитывают значения M_1 и M_2 (они входят в систему (99. I) в явном виде) и подставляют их в систему (99. I).

В результате с учетом соотношений (88. I) приходим окончательно к следующей системе трех дифференциальных уравнений равновесия:

$$\begin{aligned} \frac{\partial A_2 T_2}{\partial z_1} + \frac{\partial A_2 S}{\partial z_2} + \frac{\partial A_1 S}{\partial z_1} - \frac{\partial A_1}{\partial z_2} T_2 + \frac{1}{R_1} \left(\frac{\partial M_2 M_1}{\partial z_1} - \frac{\partial A_2}{\partial z_1} M_3 + \right. \\ \left. + 2 \frac{\partial A_2 H}{\partial z_2} + 2 \frac{R_1}{R_2} \cdot \frac{\partial A_2}{\partial z_2} H' \right) = - A_1 A_2 f_1, \\ \frac{\partial A_2 S}{\partial z_2} + \frac{\partial A_1 T_2}{\partial z_2} + \frac{\partial A_1}{\partial z_1} S - \frac{\partial A_1}{\partial z_2} T_2 + \frac{1}{R_2} \left(\frac{\partial A_1 M_2}{\partial z_2} - \frac{\partial M_2}{\partial z_2} M_1 + \right. \\ \left. + 2 \frac{\partial A_2 H}{\partial z_1} + 2 \frac{R_2}{R_1} \cdot \frac{\partial A_2}{\partial z_1} H' \right) = - A_1 A_2 f_2, \\ \frac{T_1}{R_1} + \frac{T_2}{R_2} - \frac{1}{A_1 A_2} \left[\frac{\partial}{\partial z_1} \cdot \frac{1}{A_2} \left(\frac{\partial A_2 M_1}{\partial z_1} + \frac{\partial A_2 H}{\partial z_2} + \frac{\partial M_2}{\partial z_1} H - \frac{\partial A_2}{\partial z_1} M_3 \right) + \right. \\ \left. + \frac{\partial}{\partial z_2} \cdot \frac{1}{A_2} \left(\frac{\partial M_2 H}{\partial z_1} + \frac{\partial A_1 M_2}{\partial z_2} + \frac{\partial A_2}{\partial z_2} H - \frac{\partial A_1}{\partial z_2} M_1 \right) \right] = q_3. \end{aligned} \quad (104. I)$$

В полученную систему трех уравнений входят шесть неизвестных: T_1 , T_2 , S , M_1 , M_2 , H , т. е. задача является статически неопределенной.

§ 11. Потенциальная энергия деформации оболочки

Мы уже отметили, что задача о равновесии элемента оболочки статически неопределенна. Необходимо, очевидно, найти те дополнительные зависимости, которые позволили бы раскрыть эту статическую неопределимость.

льность. Определив же все усилия и моменты, мы можем определить величины в объеме напряжения. Однако при этом и тех же напряжениях, оболочки, выполненные из различных материалов (с различными упругими свойствами), будут деформироваться по-разному, поэтому для определения деформаций оболочки необходимо знать зависимости между напряжениями и соответствующими им деформациями. Эти зависимости были получены в общей теории упругости. Однако при изложении теории оболочек мы заменили действительные напряжения статически эквивалентными усилиями и моментами, поэтому необходимо найти зависимость между усилиями и моментами, с одной стороны, и компонентами деформаций срединной поверхности с другой. Эти зависимости позволяют раскрыть статическую неопределенность задачи о равновесии оболочки в низагаемой общей теории.

Известно, что упругие свойства всякого тела, а значит, и оболочен, полностью определяются потенциальной энергией его деформации.

В общей теории упругости показано, что потенциальная энергия деформации тела объема V определяется по выражению

$$V = \frac{1}{2} \int (e_{11}e_{11} + e_{22}e_{22} + e_{33}e_{33} + e_{12}e_{12} + e_{13}e_{13} + e_{23}e_{23}) d\Omega, \quad (105.1)$$

где e_{11}, e_{22}, e_{33} — нормальные напряжения на трех взаимно перпендикулярных площадках элементарного параллелепипеда;

e_{12}, e_{13}, e_{23} — касательные напряжения;

$\epsilon_{11}, \epsilon_{22}, \epsilon_{33}$ — относительные удлинения;

$\epsilon_{12}, \epsilon_{13}, \epsilon_{23}$ — деформации сдвига;

$d\Omega$ — элементарный объем.

Определим потенциальную энергию элемента, выделенного из оболочки четырьмя блоками сечениями, перпендикулярными координатным линиям x_1 и x_2 , а также двумя сечениями, параллельными срединной поверхности и отстоящими друг от друга на расстоянии dx (см. рис. 13).

Объем заштрихованного элемента будет

$$d\Omega = A_1 \left(1 + \frac{x}{R_1}\right) A_2 \left(1 + \frac{x}{R_2}\right) dx_1 dx_2 dz. \quad (106.1)$$

Учитывая, что для тонких оболочек, согласно гипотезам прямых нормалей, нормальными напряжениями σ_{11} и сдвигами ϵ_{12} и ϵ_{13} можно пренебречь, для потенциальной энергии заштрихованного элемента получим следующее выражение:

$$dV = \frac{1}{2} (e_{11}e_{11} + e_{22}e_{22} + e_{33}e_{33}) \left(1 + \frac{x}{R_1}\right) \left(1 + \frac{x}{R_2}\right) A_1 A_2 dx_1 dx_2 dz. \quad (107.1)$$

Потенциальная энергия деформации всей оболочки будет, очевидно, равна интегралу выражения (107.1) по всему объему оболочки. Следовательно,

$$V = \frac{1}{2} \iiint (e_{11}e_{11} + e_{22}e_{22} + e_{33}e_{33}) \left(1 + \frac{x}{R_1}\right) \left(1 + \frac{x}{R_2}\right) A_1 A_2 dx_1 dx_2 dz. \quad (108.1)$$

Согласно закону Гука, для упругих изотропных и однородных материалов имеем:

$$\left. \begin{aligned} \sigma_{11} &= \frac{E}{1+\mu} \left(e_{11} + \frac{\mu}{1-2\mu} e \right) \\ \sigma_{22} &= \frac{E}{1+\mu} \left(e_{22} + \frac{\mu}{1-2\mu} e \right) \\ \sigma_{33} &= \frac{E}{1+\mu} \left(e_{33} + \frac{\mu}{1-2\mu} e \right) \\ \sigma_{12} &= \frac{E}{2(1+\mu)} e_{12} \end{aligned} \right\}, \quad (109.1)$$

где e — объемное расширение, причем $e = e_{11} + e_{22} + e_{33}$.
Поможем e_{33} разным нулю, получим

$$e_{11} + \frac{\mu}{1-2\mu} e = 0$$

или

$$e_{11} + \frac{\mu}{1-2\mu} (e_{11} + e_{22} + e_{33}) = 0,$$

откуда

$$e_{33} = -\frac{\mu}{1-\mu} (e_{11} + e_{22}).$$

Подставив получившее значение e_{33} в первые два выражения (109.1), получим:

$$\left. \begin{aligned} \sigma_{11} &= \frac{E}{1-\mu^2} (e_{11} + \mu e_{22}) \\ \sigma_{22} &= \frac{E}{1-\mu^2} (e_{22} + \mu e_{11}) \\ \sigma_{12} &= \frac{E}{2(1+\mu)} e_{12} \end{aligned} \right\}, \quad (110.1)$$

В нашем случае удлинения e_{11} , e_{22} и сдвиг e_{12} идентичны рассмотренным в § 6 компонентам деформации $\epsilon_1^{(D)}$, $\epsilon_2^{(D)}$, $\epsilon_{12}^{(D)}$, поэтому

$$\left. \begin{aligned} \sigma_{11} &= \frac{E}{1-\mu^2} \left[\epsilon_1^{(D)} + \mu \epsilon_2^{(D)} \right] \\ \sigma_{22} &= \frac{E}{1-\mu^2} \left[\epsilon_2^{(D)} + \mu \epsilon_1^{(D)} \right] \\ \sigma_{12} &= \frac{E}{2(1+\mu)} \epsilon_{12}^{(D)} \end{aligned} \right\}, \quad (111.1)$$

Компоненты деформации $\epsilon_1^{(D)}$, $\epsilon_2^{(D)}$ и $\epsilon_{12}^{(D)}$ выражаются через компоненты деформации элемента средней поверхности зависимостями (81.1) и

(82. I). Подставив эти зависимости в формулы для напряжений (111. I), получим:

$$\left. \begin{aligned} \sigma_{11} &= \frac{E}{1-\mu^2} [(s_1 + 2s_2) + \mu(s_2 + 2s_3)] \\ \sigma_{22} &= \frac{E}{1-\mu^2} [(s_2 + 2s_3) + \mu(s_1 + 2s_2)] \\ s_{12} &= \frac{E}{2(1+\mu)} (\omega + 2\pi z) \end{aligned} \right\} \quad (112. I)$$

Подставим в выражение для потенциальной энергии (106. I) значения σ_{11} , σ_{22} и s_{12} из ф-ла (112. I) и учтём, что компоненты σ_{11} , σ_{22} и s_{12} являются принятых в теории оболочки $\epsilon_1^{(I)}$, $\epsilon_2^{(I)}$ и $\omega^{(I)}$, приведём к выражению

$$V = \frac{E}{2(1-\mu^2)} \int \int \int [(s_1 + 2s_2)^2 + \mu(s_2 + 2s_3)(s_1 + 2s_2) + (s_2 + 2s_3)^2 + \mu(s_1 + 2s_2)(s_2 + 2s_3) + \frac{1-\mu}{2} (\omega + 2\pi z)^2] \left(1 + \frac{x}{R_1}\right) \left(1 + \frac{x}{R_2}\right) A_1 A_2 ds_1 ds_2 dz. \quad (113. I)$$

Выполнив в ф-ле (113. I) интегрирование по x в пределах от $-\frac{1}{2}$ до $+\frac{1}{2}$ и отбросив малые члены, окончательно получим

$$V = \frac{E}{2(1-\mu^2)} \int \int [(s_1 + s_2)^2 - 2(1-\mu)(s_1 s_2 - \frac{\omega^2}{4})] A_1 A_2 ds_1 ds_2 + \frac{E\omega^2}{24(1-\mu^2)} \int \int [(s_1 + s_2)^2 - 2(1-\mu)(s_1 s_2 - \omega^2)] A_1 A_2 ds_1 ds_2. \quad (114. I)$$

Выражение (114. I) и есть искомое выражение для потенциальной энергии деформации оболочки. Интегрирование распространяется по всей срединной поверхности оболочки.

Так как в первый интеграл ф-лы (114. I) походит только удлинение и сдвиг, то эту часть полной потенциальной энергии деформации оболочки можно называть потенциальной энергией удлинения и сдвига. Второй же интеграл называют потенциальной энергией изгиба и кручения.

§ 12. Зависимости между усилиями и моментами и деформациями срединной поверхности оболочки

Воспользуемся полученным выражением потенциальной энергии деформации оболочки для определения аналитических зависимостей между усилиями и моментами и деформациями срединной поверхности.

Допустим, что в положении равновесия мы для оболочки взяли, но возможные перемещения δu , δv и δw . В этом случае относительные удлинения и сдвиг получат соответственно приращения δe_{11} , δe_{22} и δe_{12} , и, если воспользоваться выражением (106. I), приращение потенциальной энергии будет

$$\delta V = \int \int \int (s_{11} \delta e_{11} + s_{22} \delta e_{22} + s_{12} \delta e_{12}) \left(1 + \frac{x}{R_1}\right) \left(1 + \frac{x}{R_2}\right) A_1 A_2 ds_1 ds_2 dz. \quad (115. I)$$

Но, как было отмечено, $\delta e_{11} = \delta e_1^{(1)}$; $\delta e_{22} = \delta e_2^{(1)}$; $\delta e_{33} = \delta e_3^{(1)}$, следовательно,

$$\delta e_{11} = \delta e_1^{(1)}; \quad \delta e_{22} = \delta e_2^{(1)}; \quad \delta e_{33} = \delta e_3^{(1)}. \quad (116.1)$$

Подставив в ф-лы (116.1) $e_i^{(1)}$ из ф-лы (66.1), $e_j^{(1)}$ из ф-лы (69.1) и $e_k^{(1)}$ из ф-лы (72.1), получим

$$\delta e_1^{(1)} = \frac{1}{1 + \frac{x}{R_1}} (k e_1 + z k e_3),$$

$$\delta e_2^{(1)} = \frac{1}{1 + \frac{x}{R_2}} (k e_2 + z k e_1),$$

$$\delta e_3^{(1)} = \frac{1}{1 + \frac{x}{R_3}} (k e_3 + z k e_2) + \frac{1}{1 + \frac{x}{R_3}} (k e_1 + z k e_3).$$

Вводя эти выражения в ф-лу (115.1) вместо δe_{11} , δe_{22} и δe_{33} , будем иметь

$$dV = \iint \left\{ \begin{array}{l} \int_{-\frac{1}{2}}^{\frac{1}{2}} \underline{s_{11} \left(1 + \frac{x}{R_1} \right) dx} \delta e_1 + \int_{-\frac{1}{2}}^{\frac{1}{2}} \underline{s_{22} \left(1 + \frac{x}{R_2} \right) dz} \delta e_2 + \\ + \int_{-\frac{1}{2}}^{\frac{1}{2}} \underline{s_{33} \left(1 + \frac{x}{R_3} \right) dz} \delta e_3 + \int_{-\frac{1}{2}}^{\frac{1}{2}} \underline{s_{23} \left(1 + \frac{x}{R_2} \right) zdz} \delta e_1 + \\ + \int_{-\frac{1}{2}}^{\frac{1}{2}} \underline{s_{13} \left(1 + \frac{x}{R_1} \right) dx} \delta e_2 + \int_{-\frac{1}{2}}^{\frac{1}{2}} \underline{s_{12} \left(1 + \frac{x}{R_1} \right) zdx} \delta e_3 + \\ + \int_{-\frac{1}{2}}^{\frac{1}{2}} \underline{s_{21} \left(1 + \frac{x}{R_2} \right) dz} \delta e_1 + \int_{-\frac{1}{2}}^{\frac{1}{2}} \underline{s_{31} \left(1 + \frac{x}{R_3} \right) dx} \delta e_2 + \end{array} \right. A_1 A_2 d\omega_1 d\omega_2 \quad (117.1)$$

Подчеркнутые интегралы — не что иное, как соответствующие усилия и моменты, что видно из сравнения их с ф-лами (84.1) — (87.1). Вводя в ф-лу (117.1) эти усилия и моменты, получим

$$dV = \iint (T_1 \delta e_1 + T_2 \delta e_2 + T_{23} \delta e_1 + T_{31} \delta e_2 + M_1 \delta e_1 + M_2 \delta e_2 + \\ + M_{21} \delta e_1 + M_{23} \delta e_2) A_1 A_2 d\omega_1 d\omega_2, \quad (118.1)$$

но, согласно формулам (74. I), можно записать

$$\left. \begin{aligned} \delta e_1 &= \delta z - \frac{1}{E_1} \delta u_1 \\ \delta e_2 &= \delta z - \frac{1}{E_2} \delta u_2 \\ \delta e &= \delta u_1 + \delta u_2 \end{aligned} \right\} . \quad (119. I)$$

С учетом формул (119. I) и (88. I) приращение потенциальной энергии можно придать вид

$$dV = \iint (T_1 \delta e_1 + T_2 \delta e_2 + S \delta e + M_1 \delta x_1 + M_2 \delta x_2 + 2H \delta z) A_1 A_2 dx_1 dx_2. \quad (120. I)$$

С другой стороны, выражение для приращения потенциальной энергии можно получить, если взять вариацию потенциальной энергии из формулы (114. I)

$$\begin{aligned} dV = & \iint \left[\frac{E_1}{1-\mu^2} (e_1 + \mu e_2) \delta e_1 + \frac{E_2}{1-\mu^2} (e_2 + \mu e_1) \delta e_2 + \frac{E_3}{2(1+\mu)} \delta e + \right. \\ & \left. + \frac{Ev}{12(1-\mu^2)} (x_1 + \mu x_2) \delta x_1 + \frac{Ev}{12(1-\mu^2)} (x_2 + \mu x_1) \delta x_2 + \frac{Ev}{2\mu(1+\mu)} \delta z \right] A_1 A_2 dx_1 dx_2. \end{aligned} \quad (121. I)$$

Вариации потенциальной энергии, определенные по формулам (120. I) и (121. I), очевидно, равны. Следовательно, равны интегралы, стоящие в правых частях обоих равенств. Поскольку это равенство должно соблюдаться при всех возможных малых приращениях $\delta e_1, \delta e_2, \dots, \delta e$, то коэффициенты при $\delta e_1, \delta e_2, \dots, \delta e$ в обоих равенствах должны быть равны друг другу. Приравняв умноженные коэффициенты, получим:

$$\left. \begin{aligned} T_1 &= \frac{E_1}{1-\mu^2} (e_1 + \mu e_2) \\ T_2 &= \frac{E_2}{1-\mu^2} (e_2 + \mu e_1) \\ S &= \frac{E_3}{2(1+\mu)} \\ M_1 &= \frac{Ev}{12(1-\mu^2)} (x_1 + \mu x_2) \\ M_2 &= \frac{Ev}{12(1-\mu^2)} (x_2 + \mu x_1) \\ H &= \frac{Ev}{2\mu(1+\mu)} \end{aligned} \right\} . \quad (122. I)$$

Формулы (122. I) и определяются исходные зависимости между усилиями и моментами, с одной стороны, и деформациями срединной поверхности, с другой. Анализ показывает, что с погрешностью, не превышающей погрешность гипотез прямых нормалей, можно считать

$$\left. \begin{aligned} T_{12} &= T_{21} = S = \frac{E_3}{2(1+\mu)} \\ M_{12} &= M_{21} = H = \frac{Ev}{12(1+\mu)} \end{aligned} \right\} . \quad (123. I)$$

§ 13. Границные условия

В результате интегрирования уравнений равновесия оболочки мы получим дополнительный ряд произвольных функций интегрирования. Эти функции определяются из граничных условий задачи. Следовательно, до тех пор, пока решение уравнений равновесия не подчинено на границах оболочки определенным условиям (заданным величинам усилий, момента, деформаций, перемещений или соответствующий между этими величинами), задача определения возвращающихся в оболочку усилий и моментов остается неопределенной. Определим число граничных условий, которые должны быть заданы на краях оболочки, и их математическую формулировку.

При формулировке граничных условий необходимо рассмотреть все три возможных случая.

1. Оболочка не имеет границ, т. е. является замкнутой. В этом случае координатные линии α_1 и α_2 являются замкнутыми кривыми. Примером замкнутой оболочки может служить сфера.

2. Оболочка замкнута в одном направлении и имеет границы в другом. В этом случае одна из координатных линий является замкнутой, другая же имеет границы. Примером такой оболочки может служить участок цилиндрической трубы.

3. Оболочка имеет границы как в одном, так и в другом направлении. В этом случае координатные линии α_1 и α_2 имеют границы.

Рассмотрим сначала первый случай. Поскольку замкнутая оболочка не имеет границ и удовлетворять граничным условиям не следует, то возникает вопрос, о каких граничных условиях может идти речь? Однако не всякое решение системы уравнений равновесия является решением задачи. Так как координатные линии α_1 и α_2 являются для замкнутой оболочки замкнутыми, то, двигаясь вдоль координатной линии, мы будем периодически возвращаться в одну и ту же точку срединной поверхности. Перемещения данной точки (или соответствующие им деформации или напряжения) будут вполне определенными, поэтому на решение необходимо наложить условие периодичности функций координат. При этом период должен быть таким, чтобы сохранилась однозначность перемещений или деформаций и напряжений.

Таким образом, в случае замкнутой оболочки граничными условиями можно считать условия периодичности.

Во втором случае, когда оболочка замкнута в отношении одной координаты, граничными условиями будут условия периодичности решения в направлении этой координаты. В направлении же другой координаты необходимо удовлетворить заданным условиям на краях. При этом ограничены рассматриваемым случаю, когда край оболочки совпадает с одной из координатных линий.

Пусть край оболочки совпадает с линией $\alpha_2 = \text{const}$. Действующие на этом краю оболочки напряжения сводятся (как и для всей оболочки) к трем усилиям: T_2 , T_{21} и M_2 и двум моментам: M_2 и M_{21} . Поэтому может показаться, что число граничных условий на краю должно быть равноти. В действительности оказывается, что для решения достаточно иметь на краю только четыре граничных условия. Каждущееся противоречие легко разрешается, так как три величины (усилия T_2 и N_2 и момент M_2) могут быть сведены к двум величинам. Физический смысл такого преобразования состоит в следующем. Крутящий момент на краю оболочки заменяется касательными и перпендикулярными силами. Суммируя эти составляющие крутящего момента с касательными ус-

лиями T_3 и перерезывающими силами N_3 , мы получим условные касательные и перерезывающие силы, эквивалентные силам T_3 и N_3 и моменту M_{31} . Следовательно, вместо трех величин T_3 , N_3 и M_{31} мы получим две величины. А вместе с усилием T_2 и моментом M_2 будем иметь четыре граничных условия.

Выполним замену M_{31} касательной и перерезывающей составляющими. Рассмотрим на краю оболочки некоторую произвольную точку A в отстояние от нее на расстоянии ds_1 точки B и C (рис. 17).

Посредине дуг \widehat{AB} и \widehat{AC} возьмем точки E и F . Расстояние между точками E и F будет так же равно ds_1 . Пусть крутящий момент в точке E равен M_{21} . В точке F крутящий момент будет

$$M_{21} + \frac{\partial M_{21}}{\partial s_1} ds_1.$$

Упомянутые моменты являются моментами, относимыми к единице длины дуги s_1 . Полный крутящий момент, приходящийся на дугу \widehat{AB} , будет равен $M_{21} ds_1$, а полный крутящий момент, приходящийся на дугу \widehat{AC} , равен

$$\left(M_{21} + \frac{\partial M_{21}}{\partial s_1} ds_1 \right) ds_1.$$

Крутящие моменты заменим парой сил, приложенных в точках B и A и точках A и C . При этом сила будет равна частному от деления момента на плечо пары. Следовательно, в точках A и B силы от момента $M_{21} ds_1$ будут равны

$$\frac{M_{21} ds_1}{ds_1} = M_{21},$$

а в точках A и C силы от момента $\left(M_{21} + \frac{\partial M_{21}}{\partial s_1} ds_1 \right) ds_1$ будут

$$\frac{\left(M_{21} + \frac{\partial M_{21}}{\partial s_1} ds_1 \right) ds_1}{ds_1} = M_{21} + \frac{\partial M_{21}}{\partial s_1} ds_1.$$

Направления сил показаны на рис. 17. Таким образом, в точке A имеем две силы: одну — от момента $M_{21} ds_1$ и другую — от момента $\left(M_{21} + \frac{\partial M_{21}}{\partial s_1} ds_1 \right) ds_1$. Спроектируем эти силы из направления нормали к срединной поверхности и на направление, касательное к ней.

Учитывая, что угол φ_1 мал и равен $\frac{ds_1}{2R_1}$, получим:

а) проекцию из нормаль к срединной поверхности

$$\left(M_{21} + \frac{\partial M_{21}}{\partial s_1} ds_1 \right) \cos \varphi_1 - M_{21} \sin \varphi_1 \approx \frac{\partial M_{21}}{\partial s_1} ds_1;$$

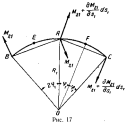


Рис. 17

б) проекцию на направление касательной к a_1 ,

$$M_{11} \sin \varphi_1 + \left(M_{11} + \frac{\partial M_{11}}{\partial s_1} ds_1 \right) \sin \varphi_1 \approx \left(2M_{11} + \frac{\partial M_{11}}{\partial s_1} ds_1 \right) \varphi_1 = \\ = \left(2M_{11} + \frac{\partial M_{11}}{\partial s_1} ds_1 \right) \frac{ds_1}{2R_1} \approx \frac{M_{11}}{R_1} ds_1.$$

Обе подсчитанные выражения приходятся на элемент дуги длиной ds_1 . Поэтому, суммируя полученные выше проекции сил, мы можем выразить моментом M_{11} , отнесенным к единице длины дуги a_1 . Проекция на нормаль к срединной поверхности (от M_{11}), отнесенная к единице длины дуги, равна $\frac{\partial M_{11}}{\partial s_1}$ или $\frac{1}{R_1} \cdot \frac{\partial M_{11}}{\partial s_1}$, а проекции этих же сил на направление касательной к a_1 , также отнесенный к единице длины дуги a_1 , соответственно равна $\frac{M_{11}}{R_1}$.

Таким образом, крутящий момент M_{11} мы заменили перерезывающей силой, распределенной по закону $\frac{1}{R_1} \cdot \frac{\partial M_{11}}{\partial s_1}$, и касательными силами, распределенными по закону $\frac{M_{11}}{R_1}$.

Просуммировав эти составляющие с перерезывающей силой N_1 и касательной силой T_{11} , получим

$$N_1 + \frac{1}{R_1} \cdot \frac{\partial M_{11}}{\partial s_1} + T_{11} + \frac{M_{11}}{R_1}. \quad (124.1)$$

Эти величины статически эквивалентны усилкам N_{11} , T_{11} и моменту M_{11} .

В итоге на краю оболочки $a_1 = \text{сопл}$ будем иметь четыре заданные величины:

$$T_{11}, \quad T_{11} + \frac{M_{11}}{R_1}, \quad N_1 + \frac{1}{R_1} \cdot \frac{\partial M_{11}}{\partial s_1}, \quad M_{11}.$$

Аналогично на краю оболочки $a_1 = \text{сопл}$ будем иметь

$$T_{11}, \quad T_{11} + \frac{M_{12}}{R_1}, \quad N_1 + \frac{1}{R_1} \cdot \frac{\partial M_{12}}{\partial s_2}, \quad M_{12}.$$

Необходимо отметить, что в практических задачах редко бывают заданы все четыре упомянутые величины. Гораздо чаще бывают заданы на краях перемещения или углы поворота.

Приведем наиболее распространенные варианты граничных условий на краю оболочки.

1. Абсолютно свободный край

В случае абсолютно свободного края все усилия и моменты на краю должны быть равны нулю, т. е.

$$T_{11} = 0, \quad T_{11} + \frac{M_{11}}{R_1} = 0, \quad N_1 + \frac{1}{R_1} \cdot \frac{\partial M_{11}}{\partial s_1} = 0, \quad M_{11} = 0.$$

2. Шарнирный, Изводимо смештый край

В этом случае все перемещения на краю равны нулю. Так как край шарнирный, то момент M_1 равен нулю. Следовательно, граничные условия будут

$$M_{11} = 0, \quad n = 0, \quad \varphi = 0, \quad w = 0.$$

3. Шарнирный, свободный в нормальном и неравнинный в касательных направлениях край

В этом случае касательные перемещения ψ и φ на краю будут равны нулю. Поскольку край свободен в нормальном направлении, то усилие $N_3 + \frac{1}{A_1} \cdot \frac{\partial M_3}{\partial x_1}$ должно быть равно нулю. Шарнирность края накладывает условие равенства нулю момента M_3 . В итоге имеем

$$M_3 = 0, N_3 + \frac{1}{A_1} \cdot \frac{\partial M_3}{\partial x_1} = 0, \psi = 0, \varphi = 0.$$

4. Неподвижный и абсолютно заданный край

В этом случае все перемещения ψ , φ , ψ на краю равны нулю. Абсолютная заделка накладывает условие, чтобы угол поворота ψ края был также равен нулю. Следовательно,

$$\psi = 0, \varphi = 0, \psi = 0, \psi = -\frac{1}{A_1} \cdot \frac{\partial \varphi}{\partial x_1} + \frac{\tau}{E_3} = 0.$$

§ 14. Два пути решения задач теории оболочек

Принципиально возможны два пути решения любой задачи общей теории упругости: либо в перемещениях, либо в напряжениях. Поскольку при рассмотрении задачи о деформации оболочки перемещения любой точки оболочки выражаются через перемещения ее срединной поверхности, а фактические напряжения в оболочке заменяются статически или эквивалентными усилиями и моментами, постоянно и в теории оболочек, как и в общем изложениях теории упругости, существуют два пути решения задач:

1) в перемещениях точек срединной поверхности;

2) в усилиях и моментах.

Рассмотрим первый из них — решение задачи теории оболочек в перемещениях. В § 10 мы получена окончательная система трех уравнений равновесия (104. I), выраженная в усилиях и моментах. Если последние (то есть усилия и моменты) с помощью формул обобщенного закона Гука (122. I) выразить через относительные деформации срединной поверхности ψ_1 , ψ_2 , ψ , χ_1 , χ_2 и т. д., то получим систему трех уравнений равновесия, выраженную в компонентах деформации срединной поверхности. Но компоненты деформации ψ_1 , ψ_2 , ψ , χ_1 , χ_2 и т. д. связаны с перемещениями срединной поверхности зависимостями (77. I). Заменив компоненты деформации перемещениями срединной поверхности оболочки, мы придем к системе трех уравнений равновесия с тремя неизвестными перемещениями ψ , φ и ψ , к интегрированию которой при заданных граничных условиях и сводится решение поставленной задачи. Такой первый путь решения задачи теории оболочек.

Рассмотрим второй путь — решение задачи теории оболочек в усилиях и моментах. Как было выше отмечено, система трех уравнений равновесия (104. I) включает в себя шесть неизвестных (три усилия и три момента). Следовательно, система (104. I) недостаточна для решения задачи, и ее необходимо дополнить. Воспользуемся для этого системой уравнений неразрывности срединной поверхности (система 83. I). Если в этой системе заменить компоненты деформации ψ_1 , ψ_2 , ψ , χ_1 , χ_2 и т. д. их выражениями через усилия и моменты, то получим систему трех уравнений неразрывности в усилиях и моментах. Дополнив последнюю системой уравнений равновесия (104. I), мы придем к системе шести уравнений

равновесия — изразрывности с шестью неизвестными усилиями и моментами. К интегрированию этой системы при заданных граничных условиях вводится решение задачи теории оболочек в усилиях и моментах.

Необходимо отметить, что как в первом случае, так и во втором, система имеет восьмой порядок, то есть эквивалентна некоторому уравнению в частных производных восьмого порядка.

Ввиду принятого допущения о малости перемещений система уравнений равновесия в перенесении, равно как и система уравнений разрывности и изразрывности в усилиях и моментах, являются линейными дифференциальными системами, что значительно упрощает решение задачи. Однако и в данной постановке задача слишком сложна. Для всех классов оболочек (исключая круговые цилиндрические оболочки) имеем систему восьмого порядка с переменными коэффициентами, поэтому трудность интегрирования такой системы очевидна. Существенным упрощением задач общей теории оболочек является предложенное ~~автором~~ В. В. Новожиловым комплексное преобразование основных уравнений, позволяющее снизить порядок системы вдвое. Однако рассмотрение этого вопроса выходит за рамки курса.

§ 15. Типы напряженного состояния оболочек

В общем случае при деформации оболочки величины напряжений от усилий (называемые иногда цепными напряжениями) сопаричны с напряжениями от моментов (или изгибными напряжениями). Поэтому такое напряженное состояние оболочки называется симметричным.

На практике часто встречаются случаи, когда напряжения от моментов преобладают мало по сравнению с напряжениями от усилий. Тогда первые напряжения можно преобразовать по сравнению со вторыми, что эквивалентно замене моментов при рассмотрении деформации оболочек. Этот тип напряженного состояния называется близомоментным. Близомоментные состояния оболочек по причинам, изложенным ниже, являются наиболее выгодными.

Имеет место также третий случай, когда напряжения от усилий преобладают мало в сравнении с напряжениями от моментов. Такой тип напряженного состояния называется чисто изгибающим. Так как оболочки, в силу малости толщины, плохо сопротивляются изгибу, чисто изгибный тип напряженного состояния является наиболее неблагодарным, и его необходимо, во избежание, избегать.

§ 16. Основные определения близомоментной теории оболочек

Как видно из самого наименования теории, близомоментная теория построена на допущении об отсутствии моментов (как изгибающих, так и крутящих). Естественно поэтому, что она существенно проще общей теории. Вспоминают вопросы, какое практическое значение имеет близомоментная теория, какой круг задач ею охватываемых, и т. д.? Прежде чем ответить на эти вопросы, необходимо, хотя бы на простом примере, оценить сравнительное влияние на прочность конструкций усилий и моментов.

Рассмотрим две одинаковые консольные балки длиной l , шириной b и толщиной δ . Обе балки выполнены из одного и того же материала. Первая балка загружена на свободном конце поперечной силой, а вторая балка — продольной, причем величина силы P в обоих случаях также одинакова (рис. 16). Определим наибольшие напряжения в обеих балках.

В первой балке наибольшее напряжённое пылется сечение по заделанному краю, причем изгибающий момент в этом сечении $M_{\max} = Pl$. Момент сопротивления балки $W = \frac{4l^3}{3}$ и, следовательно, наибольшее напряжение от изгиба будет

$$\sigma_{\max} = \pm \frac{M}{W} = \pm \frac{6P}{4l^3}.$$

Во второй балке изгибающий момент во всех сечениях будет равен нулю. Эта балка находится в безмоментном состоянии и испытывает только растягивающее усилие P . При этом растягивающие напряжения во всех сечениях одинаковы и равны

$$\sigma_0 = \frac{P}{A_0}.$$

Отношение величин σ_{\max} и σ_0 будет определяться равенством

$$\frac{\sigma_{\max}}{\sigma_0} = \frac{6l}{l}.$$

Как видим, при одинаковых действующих силах в первой балке напряжение σ_{\max} во много раз больше напряжений σ_0 . Действительно, при $l : b = 50$ отношение $\sigma_{\max} : \sigma_0 = 300$, т. е. если в этом частном случае поперечная сила P вызывает $\sigma_{\max} = \sigma_0$, то эта же сила, будучи приложена вдоль стержня, вызывает $\sigma_0 = 0,003\sigma_{\max}$. Из приведенного примера видно, насколько несгодной является работа конструкции, обладающей относительно малой жесткостью на изгиб, в изгибном или моментном состоянии т.е., наоборот, насколько выгодна работа такой конструкции в безмоментном напряженном состоянии.

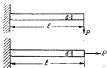


Рис. 18

Праведем другой пример. Известно, что арка произвольной формы, загруженная произвольной нагрузкой, работает как на изгиб, так и на сжатие. Однако, соответствующим выбором формы арки и характера действующей на неё нагрузки можно добиться, чтобы арка работала в безмоментном напряженном состоянии. При этом такая арка будет значительно легче балки, работающей на изгиб, либо при одинаковых с балкой размерах может выдержать существенно большую нагрузку. Отсюда и техническое преимущество арок перед балками.

Тонкие оболочки, в силу малой изгибной жесткости, плохо работают на изгиб, и поэтому основной целью конструктора является стремление достичь путем безмоментного состояния оболочки. Теоретические и экспериментальные исследования показали, что при надлежащем закреплении краев оболочки способна работать в безмоментном напряженном состоянии при многообразии действующих на неё нагрузок.

Таким образом, тонкие оболочки, работающие в безмоментном напряженном состоянии, обладают, наряду с высокой прочностью, еще и минимальным весом. В этом основное преимущество тонких оболочек перед балками и пластинами, работающими на изгиб. Выше с тем безмоментная теория существенно проще общей теории, а круг решени-

ных с её помощью задач значительно шире. Отсюда большое практическое значение безмоментной теории оболочек.

Необходимо отметить, что не всегда удается достигнуть чисто безмоментного напряженного состояния, и в большинстве случаев в оболочке, помимо усилий, будут появляться и моменты. В этих случаях необходимо стремиться ограничить величину моментов, чтобы при смешанном напряженном состоянии напряжения от моментов были, по возможности, незначительны в сравнении с напряжениями от усилий.

Как мы уже упомянули, в безмоментной теории при рассмотрении равновесия элемента оболочки будем пренебречь всеми моментами, т. е. считать

$$M_1 = 0; M_2 = 0; H = 0. \quad (125. I)$$

Так как жесткость оболочки на изгиб является конечной, то равенство нулю моментов эквивалентно в силу равенства (122. I) равенству нулю следующих величин:

$$\tau_1 + \mu \alpha_1 = 0,$$

$$\tau_2 + \mu \alpha_2 = 0,$$

$$\tau = 0.$$

Эти равенства могут иметь место, если

$$\tau_1 = 0; \tau_2 = 0; \tau = 0. \quad (126. I)$$

Таким образом, пренебрежение изгибающим и крутильными моментами эквивалентно пренебрежению изменениями кривизн и кручениям срединной поверхности оболочки.

§ 17. Основные уравнения безмоментной теории оболочек

Рассмотрим систему уравнений равновесия элемента оболочки, полученную в общей теории (99. I) и (103. I). Пренебрегаем в этой системе всеми моментами (M_1, M_2, M_{12} и M_{21}). Тогда из ур-ний (103. I) получим

$$N_1 = 0; N_2 = 0; T_{12} = T_{21} = S^*. \quad (127. I)$$

Видно, что пренебрежение изгибающими и крутильными моментами автоматически приводит к пренебрежению перерезывающими силами N_1 и N_2 . Таким образом, оболочка поддержана действием усилий T_1^* , T_2^* и S^* .

Условимся в дальнейшем усилить в безмоментной теории отмечать знаком $*$.

Подставляя ф-лы (127. I) в первые три уравнения равновесия общей теории оболочек (99. I), получим

$$\left. \begin{aligned} & \frac{1}{A_1 A_2} \left(\frac{\partial A_1 T_1^*}{\partial \alpha_2} + \frac{\partial A_2 S^*}{\partial \alpha_2} + \frac{\partial A_2 T_2^*}{\partial \alpha_1} - \frac{\partial A_1 S^*}{\partial \alpha_1} \right) + q_1 = 0 \\ & \frac{1}{A_1 A_2} \left(\frac{\partial A_2 S^*}{\partial \alpha_1} + \frac{\partial A_1 T_2^*}{\partial \alpha_1} + \frac{\partial A_1 S^*}{\partial \alpha_2} - \frac{\partial A_2 T_1^*}{\partial \alpha_2} \right) + q_2 = 0 \\ & \frac{T_1^*}{R_1} + \frac{T_2^*}{R_2} = q_3 \end{aligned} \right\}. \quad (128. I)$$

Система (128. I) в является системой уравнений равновесия бимоментной теории оболочек. Интегрированию системы (128. I) при заданных граничных условиях и сводится решение задачи о напряженном состоянии безмоментной оболочки.

Из рассмотрения системы (128. I) следует, что число неизвестных усилий (T_1^0 , T_2^0 и S^0) в бимоментной теории соответствует числу уравнений равновесия. Следовательно, задача о равновесии элемента оболочки в бимоментной теории является статически определимой, и мы можем определить все усилия в безмоментной оболочке (а, следовательно, и напряжения), не прибегая к определению ее деформаций. Поэтому во многих задачах бимоментной теории ограничиваются определением усилий, а затем и напряжений, оставляя без рассмотрения определение деформаций безмоментной оболочки. Как будет видно из дальнейшего, возможность определения усилий без определения деформаций представляется не всегда, так как при задании граничных условий не в усилиях, а в перемещениях производят интегрирование системы (128. I) без определения перемещений не представляется возможным, и необходимо придется определять деформации оболочки. Последний вопрос связан с условиями существования безмоментного напряженного состояния оболочки и будет рассматриваться особо.

Здесь же предположим, что система (128. I) промитегрирована, и, следовательно, усилия T_1^0 , T_2^0 и S^0 ами определены. Необходимо определить деформации и перемещения срединной поверхности оболочки.

Для этого выпишем первые три формулы (122. I), дающие связь между усилиями и деформациями:

$$T_1 = \frac{E\delta}{1-\mu^2} (\epsilon_1 + \mu \epsilon_2),$$

$$T_2 = \frac{E\delta}{1-\mu^2} (\epsilon_1 + \mu \epsilon_2),$$

$$S = \frac{E\delta}{2(1+\mu)} \omega.$$

Подставив в эти формулы вместо T_1 , T_2 и S значения T_1^0 , T_2^0 и S^0 , а вместо ϵ_1 , ϵ_2 , и значения δ_1^0 , δ_2^0 , ω^0 в ряде их относительно последних, получим

$$\left. \begin{aligned} \delta_1^0 &= \frac{1}{E\delta} (T_1^0 - \mu T_2^0) \\ \delta_2^0 &= \frac{1}{E\delta} (T_2^0 - \mu T_1^0) \\ \omega^0 &= \frac{2(1+\mu)}{E\delta} S^0 \end{aligned} \right\} \quad (129. I)$$

По формулам (129. I) определяются компоненты деформации срединной поверхности безмоментной оболочки после подстановки в них правые части определенных из системы (128. I) усилий.

Перейдем к определению перемещений безмоментной оболочки.

Связь между компонентами перемещений и компонентами деформаций элемента срединной поверхности оболочки дается зависимостями (77. I). Заменив в последних ϵ_1 , ϵ_2 и ω на δ_1^0 , δ_2^0 и ω^0 соответ-

Следовательно, получим следующую дифференциальную систему для определения перемещений:

$$\left. \begin{aligned} \frac{1}{A_1} \cdot \frac{du}{dx_1} + \frac{1}{A_1 A_2} \cdot \frac{\partial A_1}{\partial x_2} v + \frac{w}{E_1} = \sigma_1^0 = \frac{1}{E_1} (T_1^0 - \nu T_2^0) \\ \frac{1}{A_2} \cdot \frac{dv}{dx_2} + \frac{1}{A_1 A_2} \cdot \frac{\partial A_2}{\partial x_1} u + \frac{w}{E_2} = \sigma_2^0 = \frac{1}{E_2} (T_2^0 - \nu T_1^0) \\ A_1 \cdot \frac{\partial}{\partial x_1} \left(\frac{v}{A_2} \right) + A_2 \cdot \frac{\partial}{\partial x_2} \left(\frac{u}{A_1} \right) = w^0 = \frac{2(1+\nu)}{E} S^0 \end{aligned} \right\}. \quad (130. I)$$

Пронтегрировав систему (130. I), мы получим искомые величины перемещений срединной поверхности оболочки.

Общее решение системы (130. I) можно представить в виде

$$\left. \begin{aligned} u = u^0 + u' \\ v = v^0 + v' \\ w = w^0 + w' \end{aligned} \right\}, \quad (131. I)$$

где u^0, v^0, w^0 — частное решение системы (130. I);
 u', v', w' — общее решение однородной системы

$$\left. \begin{aligned} \frac{1}{A_1} \cdot \frac{\partial u'}{\partial x_1} + \frac{1}{A_1 A_2} \cdot \frac{\partial A_1}{\partial x_2} v' + \frac{w'}{E_1} = 0 \\ \frac{1}{A_2} \cdot \frac{\partial v'}{\partial x_2} + \frac{1}{A_1 A_2} \cdot \frac{\partial A_2}{\partial x_1} u' + \frac{w'}{E_2} = 0 \\ A_1 \cdot \frac{\partial}{\partial x_1} \left(\frac{v'}{A_2} \right) + A_2 \cdot \frac{\partial}{\partial x_2} \left(\frac{u'}{A_1} \right) = 0 \end{aligned} \right\}. \quad (132. I)$$

Левые части системы (132. I) — те что инос. как удлинения и сдвиги. Следовательно, перемещения, соответствующие однородной системе, обращают в нуль все удлинения и сдвиги срединной поверхности оболочки. Поэтому перемещения u', v', w' могут быть либо перемещениями абсолютно твердого тела, либо перемещениями чистого изгиба. Если первые (перемещения оболочки как твердого тела) не нарушают балансментности напряженного состояния, то вторые (перемещения чистого изгиба) прямо противоречат основным допущениям балансментной теории. Поэтому перемещения чистого изгиба должны быть либо совершенно устранины, либо ограничены столь малыми величинами, что соответствующие этим перемещениям напряжения изгиба будут пренебрежимо мелы в сравнении с напряжениями от усилий.

В заключение приведем формулы для определения напряжений в балансментной оболочке:

$$\sigma_1^0 = \frac{T_1^0}{E}; \quad \sigma_2^0 = \frac{T_2^0}{E}; \quad \tau_{12}^0 = \frac{\delta_{12}}{G}. \quad (133. I)$$

§ 18. Границные условия в балансментной теории

Определение усилий в балансментной теории связано с интегрированием дифференциальной системы (128. I), а определение перемещений — с интегрированием дифференциальной системы (130. I). Для того чтобы

как усилия, так и перемещения были определены, необходимо задать на краях оболочки некоторое число граничных условий.

Рассмотрим, какое число граничных условий в крае именно граничные условия должны быть использованы в безмоментной теории.

В § 14 было отмечено, что дифференциальная система (104. I) имеет восмой порядок, т. е. эквивалентна одному разрешающему уравнению восьмого порядка. При этом в общей теории на каждом краю оболочки должно быть задано по четыре граничных условия.

В безмоментной теории системы (128. I) имеет второй порядок, а система (130. I) — четырехт.* Так, как безмоментная система (130. I) имеет вид более низкой порядка, чем система в общей теории, то и число граничных условий в безмоментной теории должно быть видное меньше, а именно: на каждом краю оболочки должно быть задано только по два граничных условия. В этом случае как усилия, так и перемещения безмоментной оболочки будут однозначно определены.

Рассмотрим сначала формулировку граничных условий в усилиях. В общей теории мы имеем следующие граничные условия на краю $\alpha_2 = \text{const}$:

$$T_2, T_{21} + \frac{M_2}{E_1}, N_2 + \frac{1}{A_1} \cdot \frac{\partial M_2}{\partial r_2}, M_2,$$

Поскольку в безмоментной теории все моменты и перерезывающие силы равны нулю, постольку сохраняются только два краевых условия:

$$T_2^0, T_{21}^0 = S^0$$

место четырех в общей теории.

Таким образом, в безмоментной оболочке ее края должны быть свободны как от моментов M_2 , M_{21} , M_{22} , так и от перерезывающих сил N_2 и N_{21} и могут быть загружены только тангенциальными усилиями, а именно: край $\alpha_2 = \text{const}$ — усилия T_2^0 и S^0 , а край $\alpha_1 = \text{const}$ — усилия T_1^0 и S^0 .

Выше мы отметили, что в интеграле однородной системы для определения перемещений входит перемещение чистого изгиба, которые должны быть либо вовсе устранены, либо ограничены таким образом, что напряжения от изгиба будут малы в сравнении с напряжениями от усилий.

Для такого устранения или ограничения перемещений чистого изгиба необходимо ограничить тангенциальные перемещения на краю оболочки. Поэтому одно из граничных условий на краю оболочки должно быть задано в тангенциальных перемещениях (ψ или θ), а другое — либо в тангенциальных усилиях, либо в тангенциальных перемещениях. Следовательно, оба граничных условия на каждом краю оболочки не могут быть заданы в тангенциальных усилиях, так как одно из условий должно быть обязательно задано в тангенциальных перемещениях. Это одно условие на каждом краю иногда называют «принудительным» условием, так как оно обеспечивает безмоментность напряженного состояния по существу.

Рассмотрим случай, когда граничные условия формулируются только в перемещениях. Как было отмечено, в общей теории на краю $\alpha_2 = \text{const}$

* При этом надо, чтобы система (130. I) имела тоже второй порядок, но так как правые части сами являются решениями системы второго порядка, то система (130. I) эквивалентна единому уравнению четвертого порядка.

должны быть заданы четыре условия: x , y , ω и $\phi = -\frac{1}{A_1} \cdot \frac{\partial \omega}{\partial x_1} + \frac{\nu}{E_1}$.
и на краю $a_1 = \text{const}$ — условия x , y , ω и $\phi = -\frac{1}{A_1} \cdot \frac{\partial \omega}{\partial x_1} + \frac{\nu}{E_1}$.

В балансментной теории ограничивать величину нормального перемещения ω и угла поворота θ и ϕ , естественно, нельзя, так как ограничение на краю ω приведет к появление на этом краю перерезывающей силы (N_x или N_y), что уже противоречит балансментной теории. Ограничение же θ или ϕ приводят к появление на краю моментов M_x или M_y , что также противоречит балансментной теории. Таким образом, если формулировать граничные условия в перемещениях, то, на каждом краю могут быть заданы только два тангенциальных перемещения (x и y).

Подводя итог сказанному выше, сформулируем следующие выводы.

В балансментной теории на каждом краю оболочки должно быть задано только два граничных условия. При этом для обеспечения балансментности напряженного состояния одно из этих условий должно быть обязательно задано в тангенциальных перемещениях (x или y). Второе условие на каждом краю может быть задано либо в тангенциальных условиях, либо в трансверсальных перемещениях. При этом могут быть случаи, когда на одном из краев второе условие задано в тангенциальных условиях, а на другом — в трансверсальных перемещениях.

Если второе условие на всех краях оболочки задано в тангенциальных условиях T_x^0 , T_y^0 , S^0 , то задача определения усилий в балансментной оболочке будет статически определимой, и все усилия, в следствии этого, напряжения могут быть определены, не прибегая к определению деформаций или перемещений.

Если хотя бы на одном из краев оболочки второе граничное условие задано в тангенциальных перемещениях, то задача становится статически неопределенной.

§ 10. Условия существования балансментного напряженного состояния

Сформулируем все необходимые условия, которые обеспечивают балансментное напряженное состояние.

1. Балансментная оболочка не может быть нагружена на краю ни моментами (изгибающими или крутизами), ни перерезывающими силами.

2. Нормальные перемещения ω к углу поворота θ и ϕ не должны быть ограничены на краях.

3. На каждом из краев оболочки для исключения или существенного ограничения перемещений чистого изгиба должно быть задано одно прикаспитальное условие в тангенциальных перемещениях.

Все три отмеченные условия являются необходимыми, так как нарушение одного из них приводит к нарушению балансментности напряженного состояния.

Однако эти условия не являются достаточными. Дело в том, что усилия в балансментной оболочке определяются без использования уравнений перекрестности деформаций срединной поверхности. Если полученные из балансментного решения величины усилий попытаться в уравнении перекрестности, то оказывается, что последние не удовлетворяются, т. е. срединная поверхность будет иметь разрывы. В действительности же упругая оболочка не имеет разрывов при деформации. Отметенная противоречивость балансментной теории не является определяющей. Если форма оболочки и действующая на оболочку нагрузка имеют плавный характер, так

что оба главных радиуса кривизны R_1 и R_2 , толщина оболочки δ и нагрузка q_x при дифференцировании по α_1 и α_2 существенно не возрастают, то для строгого соблюдения условий неразрывности деформаций срединной поверхности оболочки можно предположить наличие малых когебающих и крутильных моментов, а также перерезывающих сил, которые в уравнениях равновесия можно пренебречь. Если же отмеченное условие валидности не имеет места, то для соблюдения условий неразрывности деформаций срединной поверхности необходимо в местах разноса изменения R_1 или R_2 , толщины δ и нагрузки q_x загрузить оболочку уже не малыми, а достаточно большими моментами и перерезывающими силами. Последнее несомненно с основным допущением безмоментной теории — пренебрежением моментами и перерезывающими силами.

Следовательно, к трем базисным условиям безмоментного напряженного состояния добавляется четвертое, а именно: форма оболочки и поверхностные нагрузки безмоментной оболочки должны быть плавными, так чтобы при дифференцировании по α_1 и α_2 главные радиусы кривизны R_1 и R_2 , толщина δ и нагрузка q_x существенно не возрастали.

Последнее условие налагает ряд существенных ограничений. В частности, если форма срединной поверхности имеет разрывы непрерывности или оболочка загружена сосредоточенными силами (разрыв непрерывности нагрузки q_x), то такая оболочка, по крайней мере в окрестности точек разрыва непрерывности, будет моментной.

Несмотря на ряд отмеченных условий существования безмоментного напряженного состояния, практическая важность безмоментной теории сохраняется. Выгодность безмоментного напряженного состояния очевидна, и задача конструктора состоит в обеспечении всех необходимых условий. При этом, если не удается полностью соблюсти все отмеченные условия, необходимо стремиться локализовать изгиб尽可能, меньшим рабочим и отграничить величину когебающих моментов. В тех случаях, когда в оболочке появляются существенные моменты, безмоментное решение должно быть дополнено моментными решениями так, что общее решение задачи будет слагаться из двух решений: безмоментного и моментного. Последнее очень важно иметь в виду, так как сфера использования безмоментной теории не ограничивается только безмоментными оболочками.

§ 20. Расчет безмоментной круговой цилиндрической оболочки, загруженной всесторонним равномерным внешним давлением

Использование безмоментной теории вначале с наиболее простого и практически важного случая расчета круговой цилиндрической оболочки конечной длины, загруженной по всей криволинейной поверхности и по торам равномерным внешним давлением интенсивности p .

Рассмотрим круговую цилиндрическую оболочку длиной l , радиусом r и толщиной δ (рис. 19).

Для произвольной точки A с координатами x и z единичные некоторы e_1 , e_2 и e_3 имеют направления, показанные на рис. 19, а. Когебающими линиями будут образующие и направляющие цилиндра, которые являются линиями главной кривизны. Так как проекции длин координатных линий равны прерыванию координат, оба параметра Леме будут равны 1, т. е. $A_1=1$; $A_2=1$.

Главные радиусы кривизны будут равны $R_1 = r/e_1$ (радиус кривизны образующей), $R_2 = \text{const} = r$ (радиус кривизны направляющей).

В соответствии с принятymi обозначениями усилие T_1^0 будет направлено вдоль образующих, а усилие T_2^0 — по направляющей, поэтому

усилие T_1^0 называют осевым, а T_2^0 — кольцевым. Направление усилий показано на рис. 19, б.

Перемещения x , y и φ будут направлены по направлениям e_1 , e_2 и e_3 соответственно.

В рассматриваемом случае компоненты поверхностной нагрузки равны

$$q_1 = 0; q_2 = 0; q_3 = -p. \quad (134.1)$$

Знак минус в выражении q_3 объясняется тем, что внешняя нагрузка p направлена внутрь цилиндра. Необходимо определить усилия, напряжения и перемещения оболочки. Прежде всего сформулируем граничные условия. Краями оболочки являются сечения $x=0$ и $x=l$.

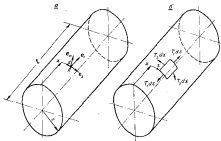


Рис. 19

Первое «принудительное» условие на краях оболочки примем в тангенциальном перемещении φ , причем положим при $x=0$ и $x=l$

$$\varphi = 0. \quad (135.1)$$

Второе условие легко определить из рассмотрения внешней торцевой нагрузки. Полная нагрузка на торец оболочки равна $Q = p\pi r^2$. Эта нагрузка уравновешивается на краях усилиями T_1^0 . Поскольку круговая цилиндрическая оболочка симметрична относительно оси, то и усилия T_1^0 равномерно распределены по периметру направляющей и являются сжимающими. Усилия T_1^0 на краю оболочки равны

$$T_1^0 = -\frac{Q}{2\pi} = -\frac{pr^2}{2}. \quad (136.1)$$

при $x=0, x=l$

Таким образом, граничные условия сформулированы. Поскольку одно из граничных условий на торцах задано в усилиях, задача

является статически определимой, т. е. все усилия и соответствующие им напряжения определяются без рассмотрения деформации оболочки.

Подставив параметры Линея, главные радиусы кривизны и компоненты поверхностной нагрузки в формулы (128. I), получим

$$\left. \begin{aligned} \frac{\partial T_1^0}{\partial x} + \frac{\partial S}{\partial z} &= 0 \\ \frac{\partial S}{\partial x} + \frac{\partial T_2^0}{\partial z} &= 0 \\ \frac{T_2^0}{r} &= -P \end{aligned} \right\}. \quad (137. I)$$

К интегрированию системы (137. I) при заданных граничных условиях и сводится решение поставленной задачи. Система (137. I) интегрируется в замкнутом виде. Из третьего уравнения (137. I) сразу получаем

$$T_2^0 = -Pr. \quad (138. I)$$

Подставив T_2^0 во второе уравнение системы, получаем $\frac{\partial S}{\partial z} = 0$.

Пронтегрируем полученное равенство по z . В результате интегрирования будем иметь

$$S^0 = f_1(z),$$

где $f_1(z)$ — некоторая неизвестная функция.

В среднем по длине сечения оболочки ($x = \frac{l}{2}$),виду симметрии конструкции, нагрузки и граничных условий относительно этого сечения, усилие $S^0 = 0$ и, следовательно, в этом сечении $f_1(z) = 0$. Так как функция $f_1(z)$ не зависит от координаты x , то она должна быть вообще равна нулю, и, следовательно,

$$S^0 = 0. \quad (139. I)$$

Таким образом, касательные усилия во всех точках круговой цилиндрической оболочки, загруженной равномерным внешним давлением, равны нулю.

Подставив $S^0 = 0$ в первое уравнение (137. I), будем иметь $\frac{\partial T_1^0}{\partial x} = 0$.

Пронтегрируем это равенство по x . Получаем $T_1^0 = f_2(z)$. Видно, что T_1^0 не зависит от x , т. е. по длине не меняется. Следовательно, $f_2(z)$ может быть определена из условия равенства T_1^0 на краях оболочки, т. е. $f_2(z) = -\frac{Pz}{2}$. Поэтому

$$T_1^0 = -\frac{Pz}{2}. \quad (140. I)$$

Выпишем выражения для осевого, кольцевого и касательного усилий:

$$\left. \begin{aligned} T_1^0 &= -\frac{Pr}{2}, \\ T_2^0 &= -Pr, \\ S^0 &= 0 \end{aligned} \right\}. \quad (141. I)$$

Из формулы (141. I) видно, что круговая баллонная щелевидная оболочка, загруженная по криволинейной поверхности и по торцу равномерно распределенной внешней нагрузкой интенсивности p , испытывает только осевые и кольцевые усилия, одинаковые во всех точках оболочки, причем осевые усилия вдвое меньше кольцевых. Как осевые, так и кольцевые усилия являются сжимающими. Если бы нагрузка была внутренней, то знак усилий изменился бы. В соответствии с этим напряжения будут равны

$$\left. \begin{aligned} \sigma_1 &= \frac{T_1^0}{2} = -\frac{Pr}{2}, \\ \sigma_2 &= \frac{T_2^0}{2} = -\frac{Pr}{2} \end{aligned} \right\}. \quad (142. I)$$

Перейдем к определению перемещений. Для этого подставим параметры Лине, главные радиусы кривизны и определенные нами усилия T_1^0 , T_2^0 и S^0 в формулы (130. I). В результате будем иметь

$$\left. \begin{aligned} \frac{\partial u}{\partial x} &= \frac{Pr}{EI} \left(r - \frac{l}{2} \right), \\ \frac{\partial v}{\partial x} + \frac{w}{r} &= \frac{Pr}{EI} \left(\frac{r}{2} - 1 \right), \\ \frac{\partial w}{\partial x} + \frac{\partial v}{\partial z} &= 0 \end{aligned} \right\}. \quad (143. I)$$

Пронтегрируем первое уравнение по x :

$$v = \frac{Pr}{EI} \left(r - \frac{1}{2} \right) x + f_1(x). \quad (144. I)$$

В силу симметрии нагрузки и конструкции относительно среднего сечения ($x = \frac{l}{2}$), перемещение v в этом сечении равно нулю. Таким образом,

$$\frac{Pr}{EI} \left(r - \frac{1}{2} \right) \frac{l}{2} + f_1(\frac{l}{2}) = 0,$$

откуда

$$f_1(\frac{l}{2}) = -\frac{Pr}{EI} \left(r - \frac{1}{2} \right) \frac{l}{2}.$$

Подставляя $f_1(x)$ в выражение (144. I), получим

$$v = \frac{Pr}{EI} \left(r - \frac{1}{2} \right) \left(x - \frac{l}{2} \right). \quad (145. I)$$

Из формулы (145. I) следует, что μ не зависит от x , а по длине оболочки изменяется по линейному закону, достигая наибольших значений на торцах, где

$$\mu_{\max} = \pm \frac{P}{Eh} \left(\rho - \frac{1}{2} \right) \frac{l}{2}.$$

Важа производную от μ по x и подставив в третье ур-ние (143. I), будем иметь $\frac{\partial \mu}{\partial x} = 0$, откуда $\Phi = f_4(x)$.

Перемещение v не зависит от x , поэтому оно должно быть равно перемещению ψ на краях оболочки. Но, согласно граничным условиям, $\psi = 0$ (при $x = 0$ и $x = l$), откуда $f_4(x) = 0$.

Следовательно, во всех точках оболочки

$$v = 0 \quad (146. I)$$

Зная v , из второго ур-ния (143. I) определим

$$\psi = - \frac{Px^2}{Eh} \left(1 - \frac{x}{l} \right). \quad (147. I)$$

Как видим, перемещение ψ однаково во всех точках оболочки и направлено внутрь ее.

Таким образом, все три компонента вектора перемещения определены:

$$\left. \begin{aligned} u &= \frac{Px}{Eh} \left(\rho - \frac{1}{2} \right) \left(x - \frac{l}{2} \right) \\ v &= 0 \\ w &= - \frac{Px^2}{Eh} \left(1 - \frac{x}{l} \right) \end{aligned} \right\}. \quad (148. I)$$

§ 21. Расчет безмоментной круговой усеченной конической оболочки, загруженной всесторонним равномерным внешним давлением

Расчет усеченной конической оболочки по безмоментной теории представляет большой практический интерес. Поэтому целесообразно получить расчетные формулы для определения усилий и напряжений в безмоментной круговой усеченной конической оболочке. Так же как и ранее, будем рассматривать оболочку, загруженную по криволинейной поверхности и по торцам равномерно распределенным внешним давлением интенсивности p .

Рассмотрим усеченный конус, симметричный относительно оси (рис. 20).

Введем обозначения:

α — половина угла при вершине конуса;

r_0 — радиус круга малого торцевого сечения;

r_1 — радиус круга большого торцевого сечения;

l — длина оболочки по направлению образующей.

Для симметричного кругового конуса линии главной кривизны являются образующие конуса и направляющие, являющиеся линиями пересечения поверхности конуса сечениями, перпендикулярными оси.

Координаты произвольной точки оболочки будем определять отстоянием x ядоль образующей от малого торцевого сечения и углом ϕ по дуге направляющей от некоторого выбранного положения.

Единичный орт e_1 направлен вдоль образующей, e_2 — по касательной к направляющей и e_3 — по нормали к срединной поверхности.

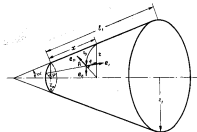


Рис. 20

Так как координатная линия x_1 совпадает с выбранной координатой x , то $A_1 = 1$. С другой стороны, приращение дуги координатной линии x_1 будет $dx = r d\varphi$, следовательно,

$$A_2 = r, \quad (149.1)$$

где r — переменный радиус окружности поперечного сечения конуса в сечении x .

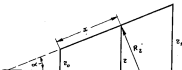


Рис. 21

Из рисунка 21 следует:

$$\left. \begin{aligned} r &= r_0 + x \sin \alpha \\ A_3 &= r = r_0 + x \sin \alpha \end{aligned} \right\}. \quad (150.1)$$

Главные радиусы кривизны будут $R_1 = \infty$ (радиус кривизны образующей) и $R_2 = \frac{r}{\cos \alpha} = \frac{r_0}{\cos \alpha} + x \operatorname{tg} \alpha$ (главный радиус направляющей).

Компоненты поверхности нагрузки соответственно равны

$$q_1 = 0; \quad q_2 = 0; \quad q_3 = -p. \quad (151.1)$$

Сформулируем граничные условия на торцах конической оболочки. Как и ранее, первым граничным условием будет $\sigma = 0$ (при $x = 0$ и $x = l_0$).

Второе граничное условие выражает равенство полного усилия на торцах оболочки горизонтальной составляющей суммарного усилия T_1^0 . Поскольку торцы оболочки различны, постольку и граничные условия будут различными. Для малого торцевого сечения ($x = 0$) будем иметь

$$T_1^0 = -\frac{pr_0^2}{2mr_0 \cos \alpha} = -\frac{Pr_0}{2 \cos \alpha}. \quad (152.1)$$

а для большого торцевого сечения ($x = l_0$)

$$T_1^0 = -\frac{Pr_0}{2 \cos \alpha}. \quad (153.1)$$

Ограничимся в данной задаче определением усилий и напряжений.

Как и в предыдущей задаче, из-за симметрии оболочки относительно оси конуса, касательные усилия S^0 во всех точках оболочки равны нулю. Полставив значение параметров Ламе, главных радиусов кривизны и компонентов поверхностной нагрузки в основные уравнения безмоментной теории (128.1), приходим к следующей системе уравнений:

$$\left. \begin{aligned} &\frac{1}{r} \left[\frac{\partial}{\partial x} (r T_1^0) - \frac{\partial r}{\partial x} T_2^0 \right] = 0 \\ &\frac{1}{r} \cdot \frac{\partial T_2^0}{\partial r} = 0 \\ &\frac{T_1^0}{r} = -p \end{aligned} \right\} \quad (154.1)$$

т.е. $r = r_0 + x \sin \alpha$.

Из системы (154.1) определяем искомые усилия. Третье уравнение системы (154.1) непосредственно дает значение малого усилия T_1^0

$$T_1^0 = -\frac{Pr_0}{2 \cos \alpha} = -\frac{Pr_0}{\cos \alpha} \left(1 + \frac{x}{r_0} \sin \alpha \right). \quad (155.1)$$

Из формулы (155.1) видно, что усилие T_1^0 не зависит от φ , т. е. в любом поперечном сечении конуса кольцевое усилие постоянно по периметру сечения. По длине же оболочки усилие T_1^0 изменяется по линейному закону. Так как r_0 и $\sin \alpha$ — величины постоянные и заданные, то очевидно, что минимальное значение усилия T_1^0 будет при $x = 0$, т. е. на малом торце оболочки.

$$T_1^0 \Big|_{x=0} = -\frac{Pr_0}{2 \cos \alpha}. \quad (156.1)$$

Наибольшее значение T_2^0 будет при $x = l_1$, т. е. на большом торце оболочки

$$T_2^0 \Big|_{x=l_1} = -\frac{Pr_0}{\cos \alpha} \left(1 + \frac{x}{r_0} \sin \alpha \right)$$

или, учитывая, что $r_1 = r_0 + l_1 \sin \alpha$,

$$T_2^0 \Big|_{x=l_1} = -\frac{Pr_0}{\cos \alpha}. \quad (157. I)$$

Подставляя значение T_2^0 из формулы (155. I) в первое уравнение (154. I) и учитывая при этом, что $\frac{dy}{dx} = \sin \alpha$, получим

$$\frac{d}{dx} (r T_1^0) + pr_0 \operatorname{tg} \alpha \left(1 + \frac{x}{r_0} \sin \alpha \right).$$

Пронтегрируем полученное выражение по x . В результате будем иметь

$$r T_1^0 = -pr_0 \operatorname{lg} \alpha x \left(1 + \frac{x}{r_0} \sin \alpha \right) + f_1(x). \quad (158. I)$$

Выше мы отметили, что в сечении $x = 0$ $T_1^0 \Big|_{x=0} = -\frac{Pr_0}{2 \cos \alpha}$. Имея это в виду, определям функцию $f_1(x) = -\frac{Pr_0^2}{2 \cos^2 \alpha}$. Следовательно,

$$r T_1^0 = -pr_0 \frac{\sin \alpha}{\cos^2 \alpha} x \left(1 + \frac{x}{r_0} \sin \alpha \right) - \frac{Pr_0^2}{2 \cos^2 \alpha}$$

или окончательно

$$T_1^0 = -\frac{Pr_0}{2 \cos^2 \alpha} \left(1 + \frac{x}{r_0} \sin \alpha \right). \quad (159. I)$$

Таким образом, все усилия определены.

Приведем сводные формулы для усилий и напряжений в баллонной круговой конической оболочке:

для усилий

$$\left. \begin{aligned} T_1^0 &= -\frac{Pr_0}{2 \cos^2 \alpha} \left(1 + \frac{x}{r_0} \sin \alpha \right) \\ T_2^0 &= -\frac{Pr_0}{\cos^2 \alpha} \left(1 + \frac{x}{r_0} \sin \alpha \right) \\ S^0 &= 0 \end{aligned} \right\}, \quad (160. I)$$

для напряжений

$$\left. \begin{aligned} \sigma_1^0 &= \frac{T_1^0}{2} = -\frac{Pr_0}{2 \cos^2 \alpha} \left(1 + \frac{x}{r_0} \sin \alpha \right) \\ \sigma_2^0 &= \frac{T_2^0}{2} = -\frac{Pr_0}{2 \cos^2 \alpha} \left(1 + \frac{x}{r_0} \sin \alpha \right) \end{aligned} \right\}, \quad (161. I)$$

Наибольшие значения усилий и им соответствующих напряжений имеют место у большого торцевого сечения конуса ($x = l$) и равны:

$$\left. \begin{aligned} T_{l_{\max}}^0 &= -\frac{Pr_1}{2 \cos \alpha} \\ Q_{l_{\max}}^0 &= -\frac{Pr_1}{\cos \alpha} \end{aligned} \right\}, \quad (162.1)$$

$$\left. \begin{aligned} T_{l_{\max}}^0 &= -\frac{Pr_1}{2l \cos \alpha} \\ Q_{l_{\max}}^0 &= -\frac{Pr_1}{l \cos \alpha} \end{aligned} \right\}. \quad (163.1)$$

Сравнение формул для максимальных усилий и напряжений в конической оболочке с таковыми в цилиндрической оболочке, радиус которой равен радиусу большего основания конуса, показывает, что наибольшее усилие и изгибание в конусе в $1/l$ раз больше, чем у цилиндра радиуса r_1 . Это обстоятельство следует иметь в виду, так как иногда ошибочно считают, что расчет конуса по формулам для цилиндрической оболочки радиуса r_1 приводят к погрешности в безопасную сторону. В действительности эта погрешность направлена в опасную сторону.

ГЛАВА II

УСТОЙЧИВОСТЬ ТОНКИХ ОБОЛОЧЕК

§ 22. Устойчивые и неустойчивые формы упругого равновесия

В первой главе рассмотрено определение напряжений и соответствующих им деформаций и перемещений, возникающих в оболочках при действии внешней нагрузки. Сравнение полученных напряжений с допускаемыми или опасными и дает критерий прочности оболочек. Однако для оболочек критерий прочности еще не является определяющим. Действительно, оболочка может разрушаться вследствие потери устойчивости, хотя возникающие в ней напряжения, соответствующие исходной форме упругого равновесия, могут быть весьма малы в сравнении с теми напряжениями, которые могут быть допущены при принятом материале оболочки. Поэтому для скатых оболочек проблема устойчивости оказывается не менее важной, чем проблема прочности.

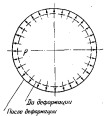


Рис. 22

где p — действующая на оболочку внешняя нагрузка;

p_{cr} — критическая нагрузка.

Поскольку действующая внешняя нагрузка обычно бывает задана, то для проверки условия (I, II) необходимо знать критическую нагрузку оболочек. К разысканию критических нагрузок оболочек и сводится проблема их устойчивости.

Изучение этой проблемы начнем с определения устойчивых и неустойчивых форм упругого равновесия.

Рассмотрим длинную замкнутую круговую цилиндрическую оболочку, загруженную внутренним равномерным давлением (интенсивность p (рис. 22)).

$$p_{cr} \geq p. \quad (I, II)$$

Под действием внутреннего радиомерного давления оболочка равномерно растягивается, причем ее поперечные сечения сохраняют круговую форму. Равновесие оболочки наступает в тот момент, когда давление p уравновешивается возникающими в оболочке внутренними упругими силами или напряжениями. Возникает вопрос, является ли это положение равновесия устойчивым или же оно неустойчиво? Прежде чем ответить на поставленный вопрос, необходимо дать определение устойчивых и неустойчивых форм упругого равновесия.

Упругое равновесие оболочки является устойчивым, если при любом возможном и альном отклонении оболочки от положения равновесия после удаления причин, вызвавших эти малые отклонения, оболочка возвращается к своей исходной форме.

Упругое равновесие оболочки является неустойчивым, если хотя бы при одном возможном методе отклонении от положения равновесия после удаления причин, вызвавших эти малые отклонения, оболочка не возвращается к своей исходной форме упругого равновесия.

Таким образом, для ответа на поставленный вопрос необходимо рассматриваемой оболочке в положении равновесия дать любое малое отклонение от этого положения. Для этой цели приложим к рассмотренной деформированной оболочке произвольную малую нагрузку, например, в виде двух сосредоточенных сил (рис. 23, б). Под действием этой дополнительной нагрузки оболочка получит дополнительные малые перемещения. Поперечные сечения этой оболочки до и после приложения дополнительных сил показаны на рис. 23.

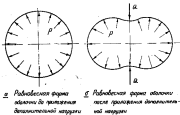


Рис. 23

Предположим, что суммарные напряжения в оболочке, вызванные начальной нагрузкой p и дополнительной Q , не превосходят предела упругости материала. Тогда после снятия дополнительной нагрузки оболочка возвращается к своей исходной форме упругого равновесия (рис. 23, а). Следовательно, такая форма упругого равновесия является устойчивой. При этом важно отметить, что рассмотренная форма упругого равновесия является устойчивой при любом значении величины давления p .

Устойчивость исходной формы упругого равновесия рассмотренной выше оболочки является вполне естественной, так как при внутреннем

давлении все элементы оболочки испытывают растягивающие усилия, а последние, как известно, не приводят к потере устойчивости.

Теперь рассмотрим другой пример. Давим круговую цилиндрическую оболочку, находящуюся под действием в и ш е й равномерно распределенной нагрузки интенсивности p . Под действием этой нагрузки оболочка равномерно сжимается, причем ее поперечные сечения сохранят круговую форму (рис. 24).

Упругое равновесие рассматриваемой оболочки наступит, когда внешняя нагрузка p уравновесится внутренними силами упругости или напряжениями. При этом, в отличие от первого примера, возникающие в оболочке напряжения будут сжимающими. Возникает вопрос, является ли эта равновесная форма устойчивой или она неустойчивая? Оказывается, что до некоторого значения внешнего давления (которое в дальнейшем будем называть критическим) упругое равновесие оболочки является устойчивым. Если такой оболочке в состоянии равновесия дать скользить малые отклонения от равновесной формы (например, приложением сколь-

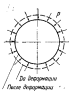


Рис. 24

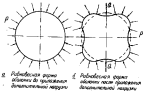


Рис. 25

уходно малых сил), то после удаления причин, вызвавших эти отклонения, оболочка возвращается к своей исходной круговой равновесной форме.

Таким образом, до достижения внешней нагрузкой p критической величины упругое равновесие и для сжатой оболочки является устойчивым.

Перейдем к случаю, когда внешний сжимающий нагрузка достигла критической величины. В этом случае оболочка также равномерно обжимается, сохранив свою круговую форму (рис. 25, а). Для ответа на вопрос об устойчивости равновесной формы давим оболочке скользить уходно малые отклонения от этой формы, например, приложив скользящие малые силы Q . В этом случае оболочка выпучивается и принимает вид, показанный на рис. 25, б. После снятия этих сил оболочка уже не возвращается к исходной круговой форме, а сохраняет новую форму упругого равновесия.

Следовательно, если интенсивность внешней нагрузки на оболочку достигнет критической величины, то круговая форма упругого равновесия оболочки является неустойчивой, и малым возмущением оболочка переходит в новое равновесное состояние. Путем приложения малых возмущений можно показать, что изогнутая равновесная форма является устойчивой.

В реальных условиях малые отклонения от исходной формы можно получить не обязательно за счет приложения дополнительных малых

сил. Эти малые отклонения имеют место вследствие винтажности материала оболочки, неизменности ее исходной формы, и т. д. Следовательно, в реальных оболочках всегда имеются признаки, вызывающие малые отклонения от исходной равновесной формы. Поэтому при достижении нагрузкой критической величины реальные оболочки теряют устойчивость своей исходной формы упругого равновесия (выпучиваются). В результате на поверхности оболочки образуются выпучины и вмятины, число и размеры которых определяются конструктивными размерами оболочки, а также краевыми условиями.

Наложенное позволяет сформулировать следующие основные положения.

1. Если действующая на оболочку сжимающая нагрузка не достигла критической величины, то упругое равновесие оболочки всегда является устойчивым. Таким образом, при одной и той же нагрузке и условиях закрепления оболочка всегда имеет только одну равновесную форму и при этом устойчивую.

2. Если действующая на оболочку сжимающая нагрузка равна критической, то оболочка может иметь несколько возможных равновесных форм.

3. Не все из этих равновесных форм являются устойчивыми, а следовательно, для реальных оболочек и равновероятными.

4. Обычная исходная равновесная форма оболочки при критической нагрузке является неустойчивой, и оболочка выпучивается, переходя в новую форму упругого равновесия.

До достижения сжимающей нагрузкой своей критической величины будет иметь место однозначная зависимость между нагрузкой и соответствующими ей упругими перемещениями оболочки, т. е. при заданной нагрузке и условиях закрепления будет одно единственное положение равновесия. При критической нагрузке наступает разложение решения задачи о перемещениях оболочки, так как одной и той же нагрузке будут соответствовать два положения равновесия. Примерная зависимость между нагрузкой и перемещениями показана на рис. 26. Здесь по оси абсцисс отложено упругое перемещение оболочки, а по оси ординат — внешняя сжимающая нагрузка. Видно, что в зоне $r = (0 - r_{cr})$ имеет место единственность решения, а при $r = r_{cr}$ — наступает момент разложения решения. Поэтому при критической нагрузке два соответствующих положения равновесия будут бесконечно мало отличаться друг от друга.

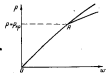


Рис. 26

§ 33. Система уравнений устойчивости

Прежде чем перейти к составлению системы дифференциальных уравнений устойчивости, необходимо изложить общий путь решения задачи. Считаем, что общая теория устойчивости оболочек была дана В. В. Новожиловым.*

* В. В. Новожилов. Общая теория устойчивости оболочек. ДАН СССР. Т. XXXII, № 5, 1941.

Рассмотренные в предыдущей главе вопросы относятся к задачам классической или линейной теории оболочек. Здесь мы переходим к задачам нелинейной теории оболочек, базирующимся на аппарате нелинейной теории упругости. В чем же отличие рассмотренных в предыдущей главе вопросов от рассматриваемой в настоящей главе проблемы устойчивости упругого равновесия?

При определении усилий, напряжений, перемещений и деформаций оболочки, в предыдущей главе мы рассматривали жесткую и ненапряженную оболочку, т. е. оболочку, свободную в начальном состоянии и не от внешней нагрузки. Задача состояла в том, чтобы определить напряженное или деформированное состояние такой оболочки после приложения внешней нагрузки.

Задача устойчивости упругого равновесия принципиально отлична. Если в задачах прочности мы рассматривали переход ненапряженной в начальном состоянии оболочки (при этом оболочка была свободна от внешней нагрузки) в напряженное или деформированное состояние под действием приложенной внешней нагрузки, то в задачах устойчивости упругого равновесия рассматривается переход одного напряженного состояния оболочки (неустойчивого) в другое напряженное состояние (устойчивое), при этом внешняя нагрузка неизменна и равна критической.

В задачах прочности форма напряженной или деформированной оболочки мало отличалась от начальной (недеформированной) формы. Поэтому в линейной постановке задачи, когда перемещения предполагались малыми в сравнении с толщиной оболочки, нет необходимости учитывать такое изменение формы при составлении уравнений равновесия. В соответствии с этим, при составлении уравнений равновесия мы проектировали все усилия на орты начального состояния оболочки, хотя по существу равновесие наступает в деформированном состоянии.

В задачах устойчивости упругого равновесия при том же допущении о малости перемещений в сравнении с толщиной оболочки исходная (неустойчивая) форма оболочки существенно отличается от новой устойчивой формы. Поэтому при проектировании всех усилий необходимо учсть это отличие.

Допустим, что внешняя нагрузка, действующая на оболочку, равна критической. Тогда для оболочки будут возможны два бесконечно близких положения равновесия.

Исходное положение будем называть первым (неустойчивым) положением равновесия. Соответствующее этому положению равновесия перемещения обозначим через v^1 , φ^1 , w^1 .

Новое положение равновесия, в которое переходит оболочка, будем называть вторым (устойчивым) положением равновесия, а соответствующие ему перемещения обозначим через v^2 , φ^2 , w^2 . При этом, поскольку два этих положения равновесия бесконечно близки друг другу, будем иметь следующие равенства:

$$\left. \begin{aligned} v^2 &= v^1 + \bar{v} \\ \varphi^2 &= \varphi^1 + \bar{\varphi} \\ w^2 &= w^1 + \bar{w} \end{aligned} \right\}, \quad (2. III)$$

где \bar{v} , $\bar{\varphi}$, \bar{w} — те дополнительные малые перемещения, которые нужно сообщить точкам оболочки, находящимся в первом (исходном) состоянии, чтобы перевести их во второе состояние.

Напряжения, соответствующие первому или исходному состоянию, обозначим через σ_{ij}^1 , τ_{ij}^1 , τ_{ij}^2 , τ_{ij}^3 , τ_{ij}^4 и τ_{ij}^5 .

Дополнительные напряжения, обусловленные перемещениями α , φ и ψ — через σ_{ij} , τ_{ij} , τ_{ij} , τ_{ij} , τ_{ij} и τ_{ij} .

Углы поворота, соответствующие дополнительным перемещениям, обозначим α_1 , α_2 , α_3 .

Изложим общий путь решения задачи, исходя из общей теории устойчивости упругого равновесия тел трех измерений. Так как положение первое (неустойчивое) и положение второе (устойчивое) являются положениями равновесия, то для них мы можем записать уравнения равновесия. В результате получим две системы дифференциальных уравнений равновесия в напряжениях (одна система для второго положения и одна для первого).

Вычитая из одной системы вторую, мы придем к системе трех однородных уравнений устойчивости, записанной в напряжениях. В кристаллических ортогональных координатах эта система имеет вид:

$$\left. \begin{aligned} & \frac{\partial}{\partial \alpha_1} \left[A_1 \left(1 + \frac{x}{R_1} \right) \hat{\sigma}_{ij} \hat{\sigma}_i \right] + \frac{\partial}{\partial \alpha_2} \left[A_1 \left(1 + \frac{x}{R_1} \right) \hat{\sigma}_{ij} \hat{\sigma}_i \right] + \\ & + A_1 A_2 \frac{\partial}{\partial x} \left[\left(1 + \frac{x}{R_1} \right) \left(1 + \frac{x}{R_2} \right) \hat{\sigma}_{ij} \right] + \frac{\partial A_2}{\partial \alpha_2} \left(1 + \frac{x}{R_2} \right) \hat{\sigma}_{ij} \hat{\sigma}_i - \\ & - \frac{\partial A_2}{\partial \alpha_1} \left(1 + \frac{x}{R_1} \right) \hat{\sigma}_{ij} \hat{\sigma}_i + \frac{A_1 A_2}{R_1} \left(1 + \frac{x}{R_1} \right) \hat{\sigma}_{ij} \hat{\sigma}_i = 0 \\ & \frac{\partial}{\partial \alpha_1} \left[A_2 \left(1 + \frac{x}{R_2} \right) \hat{\sigma}_{ij} \hat{\sigma}_i \right] + \frac{\partial}{\partial \alpha_3} \left[A_2 \left(1 + \frac{x}{R_2} \right) \hat{\sigma}_{ij} \hat{\sigma}_i \right] + \\ & + A_2 A_3 \frac{\partial}{\partial x} \left[\left(1 + \frac{x}{R_2} \right) \left(1 + \frac{x}{R_3} \right) \hat{\sigma}_{ij} \right] + \frac{\partial A_3}{\partial \alpha_3} \left(1 + \frac{x}{R_3} \right) \hat{\sigma}_{ij} \hat{\sigma}_i - \\ & - \frac{\partial A_3}{\partial \alpha_2} \left(1 + \frac{x}{R_2} \right) \hat{\sigma}_{ij} \hat{\sigma}_i + \frac{A_2 A_3}{R_2} \left(1 + \frac{x}{R_2} \right) \hat{\sigma}_{ij} \hat{\sigma}_i = 0 \\ & \frac{\partial}{\partial \alpha_2} \left[A_3 \left(1 + \frac{x}{R_3} \right) \hat{\sigma}_{ij} \hat{\sigma}_i \right] + \frac{\partial}{\partial \alpha_1} \left[A_3 \left(1 + \frac{x}{R_3} \right) \hat{\sigma}_{ij} \hat{\sigma}_i \right] + \\ & + A_3 A_1 \frac{\partial}{\partial x} \left[\left(1 + \frac{x}{R_3} \right) \left(1 + \frac{x}{R_1} \right) \hat{\sigma}_{ij} \right] - \frac{A_1 A_3}{R_1} \left(1 + \frac{x}{R_1} \right) \hat{\sigma}_{ij} \hat{\sigma}_i - \\ & - \frac{A_1 A_3}{R_3} \left(1 + \frac{x}{R_3} \right) \hat{\sigma}_{ij} \hat{\sigma}_i = 0 \end{aligned} \right\} \quad (3. II)$$

Здесь $\hat{\sigma}_{ij}$, ..., $\hat{\sigma}_{ij}$ — компоненты напряжений, определенные через напряжение первого или исходного состояния и дополнительные напряжения следующими зависимостями:

$$\left. \begin{aligned} \hat{\sigma}_{ij} &= \sigma_{ij} - \sigma_{ij} \hat{\sigma}_{ii} + \sigma_{ij} \hat{\sigma}_{ii} \\ \hat{\sigma}_{ij} &= \sigma_{ij} - \sigma_{ij} \hat{\sigma}_{ii} + \sigma_{ij} \hat{\sigma}_{ii} \\ \hat{\sigma}_{ij} &= \sigma_{ij} - \sigma_{ij} \hat{\sigma}_{ii} + \sigma_{ij} \hat{\sigma}_{ii} \end{aligned} \right\} \quad (4. II)$$

$$\left. \begin{aligned} \tilde{s}_1 s_2 &= s_{12} - \omega_1 \dot{\phi}_{12} + \omega_2 \dot{\phi}_{11}, \\ \tilde{s}_2 s_1 &= s_{12} - \omega_1 \dot{\phi}_{12} + \omega_2 \dot{\phi}_{11}, \\ \tilde{s}_3 s_1 &= s_{13} - \omega_1 \dot{\phi}_{13} + \omega_3 \dot{\phi}_{11}, \\ \tilde{s}_1 s_3 &= s_{13} - \omega_1 \dot{\phi}_{13} + \omega_3 \dot{\phi}_{11}, \\ \tilde{s}_3 s_2 &= s_{23} - \omega_2 \dot{\phi}_{23} + \omega_3 \dot{\phi}_{22}, \\ \tilde{s}_2 s_3 &= s_{23} - \omega_2 \dot{\phi}_{23} + \omega_3 \dot{\phi}_{22} \end{aligned} \right\} \quad (4. II)$$

Пронтегрировав систему уравнений устойчивости в напряжениях (3. II) по x в пределах от $-\frac{b}{2}$ до $+\frac{b}{2}$ и учитывая, что для тонких оболочек

$$1 + \frac{x}{R_1} \approx 1 + \frac{x}{R_2} \approx 1,$$

получим следующую систему уравнений устойчивости в усилиях:

$$\begin{aligned} \frac{\partial A_1 T'_1}{\partial s_1} + \frac{\partial A_1 T'_2}{\partial s_2} + \frac{\partial A_1}{\partial s_1} T'_{11} - \frac{\partial \dot{\phi}_{11}}{\partial s_1} T'_1 + \frac{A_1 A_2}{R_1} N'_1 = \\ = - A_1 A_2 \left| \begin{array}{c} \tilde{s}_1 s_2 \\ \tilde{s}_2 s_1 \end{array} \right|_{-\frac{b}{2}}^{+\frac{b}{2}} \\ \frac{\partial A_2 T'_2}{\partial s_2} + \frac{\partial A_2 T'_1}{\partial s_1} + \frac{\partial A_2}{\partial s_2} T'_{22} - \frac{\partial \dot{\phi}_{22}}{\partial s_2} T'_2 + \frac{A_1 A_2}{R_2} N'_2 = \\ = - A_1 A_2 \left| \begin{array}{c} \tilde{s}_3 s_1 \\ \tilde{s}_1 s_3 \end{array} \right|_{-\frac{b}{2}}^{+\frac{b}{2}} \\ \frac{\partial A_3 N'_1}{\partial s_1} + \frac{\partial A_3 N'_2}{\partial s_2} - A_1 A_2 \left(\frac{T'_1}{R_1} + \frac{T'_2}{R_2} \right) = \\ = - A_1 A_2 \left| \begin{array}{c} \tilde{s}_3 s_2 \\ \tilde{s}_2 s_3 \end{array} \right|_{-\frac{b}{2}}^{+\frac{b}{2}} \end{aligned} \quad (5. II)$$

B stock increase:

$$T'_1 = \int_{-\frac{1}{2}}^{\frac{1}{2}} \left(1 + \frac{x}{R_1}\right) \hat{a}_1 \hat{a}_1 dx \approx \int_{-\frac{1}{2}}^{\frac{1}{2}} \hat{a}_1 \hat{a}_1 dx = \int_{-\frac{1}{2}}^{\frac{1}{2}} a_1 dx - a_1 \int_{-\frac{1}{2}}^{\frac{1}{2}} d_1 dx + \\ + a_1 \int_{-\frac{1}{2}}^{\frac{1}{2}} d_1' dx = T_1 - a_1 N_1^1 + a_1 S_1^1$$

$$T'_{11} = \int_{-\frac{1}{2}}^{\frac{1}{2}} \left(1 + \frac{x}{R_1}\right) \hat{a}_1 a_2 dx \approx \int_{-\frac{1}{2}}^{\frac{1}{2}} \hat{a}_1 \hat{a}_2 dx = \int_{-\frac{1}{2}}^{\frac{1}{2}} a_{12} dx - a_1 \int_{-\frac{1}{2}}^{\frac{1}{2}} d_{12} dx + \\ + a_1 \int_{-\frac{1}{2}}^{\frac{1}{2}} d_{12}' dx = S_1 - a_1 T_2^1 + a_1 N_2^1$$

$$T'_{12} = \int_{-\frac{1}{2}}^{\frac{1}{2}} \left(1 + \frac{x}{R_1}\right) \hat{a}_2 \hat{a}_1 dx \approx \int_{-\frac{1}{2}}^{\frac{1}{2}} \hat{a}_2 \hat{a}_1 dx = \int_{-\frac{1}{2}}^{\frac{1}{2}} a_{21} dx - a_2 \int_{-\frac{1}{2}}^{\frac{1}{2}} d_{21} dx + \\ + a_2 \int_{-\frac{1}{2}}^{\frac{1}{2}} d_{21}' dx = S_2 - a_2 N_1^1 + a_2 T_1^1$$

$$T'_2 = \int_{-\frac{1}{2}}^{\frac{1}{2}} \left(1 + \frac{x}{R_2}\right) \hat{a}_2 \hat{a}_2 dx \approx \int_{-\frac{1}{2}}^{\frac{1}{2}} \hat{a}_2 \hat{a}_2 dx = \int_{-\frac{1}{2}}^{\frac{1}{2}} a_{22} dx - a_2 \int_{-\frac{1}{2}}^{\frac{1}{2}} d_{22} dx + \\ + a_2 \int_{-\frac{1}{2}}^{\frac{1}{2}} d_{22}' dx = T_2 - a_2 N_2^1 + a_2 S_2^1$$

(6. II)

$$\begin{aligned}
 N_1' &= \int_{-\frac{L}{2}}^{\frac{L}{2}} \left(1 + \frac{x}{R_1}\right) \hat{s}_1 dx \approx \int_{-\frac{L}{2}}^{\frac{L}{2}} \hat{s}_1 dx = \int_{-\frac{L}{2}}^{\frac{L}{2}} s_{1x} dx = s_1 \int_{-\frac{L}{2}}^{\frac{L}{2}} dx + \\
 &\quad + s_1 \int_{-\frac{L}{2}}^{\frac{L}{2}} \hat{s}_{1x} dx = N_1 - s_1 T_1^1 + s_1 S^1 \\
 N_2' &= \int_{-\frac{L}{2}}^{\frac{L}{2}} \left(1 + \frac{x}{R_2}\right) \hat{s}_2 dx \approx \int_{-\frac{L}{2}}^{\frac{L}{2}} \hat{s}_2 dx = \int_{-\frac{L}{2}}^{\frac{L}{2}} s_{2x} dx = s_2 \int_{-\frac{L}{2}}^{\frac{L}{2}} dx + \\
 &\quad + s_2 \int_{-\frac{L}{2}}^{\frac{L}{2}} \hat{s}_{2x} dx = N_2 - s_2 T_2^1 + s_2 S^1
 \end{aligned} \tag{6. II}$$

Из сравнения ф-л (6. II) с ф-лами (84. I) и (85. I) легко устанавливается физический смысл величин T_1 , T_2 , S , N_1 , N_2 и величин T_1^1 , T_2^1 , S^1 , N_1^1 , N_2^1 . Видно, что T_1 , T_2 , S , N_1 , N_2 — дополнительные усилия в оболочке, вызванные переходом из первого исходного состояния во второе новое состояние. Иначе говоря, эти дополнительные усилия соответствуют дополнительным перемещениям \bar{u} , v и w . Величины же T_1^1 , T_2^1 , S^1 , N_1^1 , N_2^1 — не что иное, как усилия, соответствующие первому исходному состоянию. Эти последние усилия соответствуют перемещениям u^1 , v^1 , w^1 .

Остается определить значения краевых частей системы (6. II). Если считать, что оболочка в первом исходном напряженном состоянии загружена лишь нормальным давлением с выпуклой стороны (а этот случай и представляет наибольший практический интерес), то на криволинейных поверхностях оболочки будем иметь

$$\begin{aligned}
 s_{1x} &= s_{2x} = s_{wz}^1 = 0 \\
 \text{при } z &= -\frac{L}{2} \\
 s_{1x}^1 &= s_{2x}^1 = 0 \\
 \text{при } z &= +\frac{L}{2}
 \end{aligned} \tag{7. II}$$

$$s_{zz}^1 = -p$$

Эта нагрузка будет сохраняться и при отклонении оболочки от исходного состояния, поэтому

$$\left[\begin{array}{c} \hat{s}_{1x} \\ \hat{s}_{2x} \\ \hat{s}_{wz} \end{array} \right]_{-\frac{L}{2}}^{+\frac{L}{2}} = -pw_1, \quad \left[\begin{array}{c} \hat{s}_{1x}^1 \\ \hat{s}_{2x}^1 \\ \hat{s}_{wz}^1 \end{array} \right]_{-\frac{L}{2}}^{+\frac{L}{2}} = pw_1, \quad \left[\begin{array}{c} \hat{s}_{zz}^1 \\ \hat{s}_{zz} \end{array} \right]_{-\frac{L}{2}}^{+\frac{L}{2}} = 0. \tag{8. II}$$

Учитывая формулы (8. II) и (8. III), систему уравнений устойчивости (3. II) можно переписать в виде

$$\left. \begin{aligned} \frac{1}{A_1 A_2} \left(\frac{\partial A_2 T_1}{\partial u_2} + \frac{\partial A_2 S}{\partial v_2} + \frac{\partial A_2}{\partial w_2} S - \frac{\partial A_2}{\partial u_1} T_2 \right) + \frac{R_1}{R'_1} + F_1 = 0 \\ \frac{1}{A_1 A_2} \left(\frac{\partial A_2 S}{\partial u_1} + \frac{\partial A_2 T_2}{\partial v_1} + \frac{\partial A_2}{\partial w_1} S - \frac{\partial A_2}{\partial u_2} T_1 \right) + \frac{R_2}{R'_2} + F_2 = 0 \\ \frac{1}{A_1 A_2} \left(\frac{\partial A_1 R_1}{\partial u_2} + \frac{\partial A_1 N_1}{\partial v_2} \right) - \frac{T_1}{R'_1} - \frac{T_2}{R'_2} + F_3 = 0 \end{aligned} \right\}, \quad (9. II)$$

где величины F_1 , F_2 , F_3 определяются по выражениям:

$$\begin{aligned} F_1 = \frac{1}{A_1 A_2} \left\{ \frac{\partial}{\partial u_2} [A_2 (\omega_2 N_1^1 - \omega_2 S^1)] + \frac{\partial}{\partial v_2} [A_2 (\omega_2 N_1^1 - \omega_2 T_1^1)] + \right. \\ \left. + \frac{\partial A_2}{\partial u_2} (\omega_2 T_1^1 - \omega_2 N_1^1) - \frac{\partial A_2}{\partial v_1} (\omega_2 S^1 - \omega_2 N_2^1) \right\} + \\ + \frac{1}{R'_1} (\omega_2 S^1 - \omega_2 T_1^1) - \rho \omega_2 \end{aligned}$$

$$\begin{aligned} F_2 = \frac{1}{A_1 A_2} \left\{ \frac{\partial}{\partial v_1} [A_2 (\omega_2 T_1^1 - \omega_2 N_1^1)] + \frac{\partial}{\partial u_1} [A_2 (\omega_2 S^1 - \omega_2 N_2^1)] + \right. \\ \left. + \frac{\partial A_2}{\partial v_1} (\omega_2 N_1^1 - \omega_2 T_1^1) - \frac{\partial A_2}{\partial u_2} (\omega_2 N_1^1 - \omega_2 S^1) \right\} + \\ + \frac{1}{R'_2} (\omega_2 T_1^1 - \omega_2 S^1) + \rho \omega_2 \end{aligned}$$

$$\begin{aligned} F_3 = \frac{1}{A_1 A_2} \left\{ \frac{\partial}{\partial u_1} [A_1 (\omega_1 S^1 - \omega_1 T_2^1)] + \frac{\partial}{\partial v_1} [A_1 (\omega_1 T_2^1 - \omega_1 S^1)] \right\} - \\ - \frac{1}{R'_1} (\omega_1 N_1^1 - \omega_1 S^1) - \frac{1}{R'_2} (\omega_1 S^1 - \omega_1 N_2^1) \end{aligned}$$

Система (9. II) выражает равенство нулю главного вектора всех сил, действующих на элемент оболочки, находящейся во втором положении равновесия. Сравнение этой системы с системой уравнений равновесия (9.1) показывает, что по виду эти две системы идентичны. Однако роль компонентов поверхностной нагрузки φ_1 , φ_2 и φ_3 в системе уравнений устойчивости выполняют функции F_1 , F_2 и F_3 , в которые, кроме поверхностной нагрузки, входят проекции усилий первого или исходного состояния на координатные оси второго состояния. И это естественно, так как при переходе из первого (исходного) состояния во второе (новое), кроме проекций дополнительных усилий T_1 , T_2 , S , N_1 , N_2 , соответствующих дополнительным перемещениям u , v и w , необходимо учесть еще и проекции усилий начального состояния T_1^1 , T_2^1 , S^1 , N_1^1 , N_2^1 на новые координатные оси.

Составим равенство нулю главного момента всех сил, действующих на элемент оболочки во втором состоянии равновесия. Умножив два первых уравнения системы (3. II) на x и интегрируя в пределах от $-\frac{b}{2}$ до $+\frac{b}{2}$, получим

$$\left. \begin{aligned} & \frac{1}{A_1 A_2} \left(\frac{\partial A_2 M_1^*}{\partial a_1} + \frac{\partial A_2 M_2^*}{\partial a_2} + \frac{\partial A_1}{\partial a_2} M_{12}^* - \frac{\partial A_1}{\partial a_1} M_2^* \right) - N_1 = 0 \\ & \frac{1}{A_1 A_2} \left(\frac{\partial A_1 M_{12}^*}{\partial a_1} + \frac{\partial A_1 M_2^*}{\partial a_2} + \frac{\partial A_2}{\partial a_1} M_{12}^* - \frac{\partial A_2}{\partial a_2} M_1^* \right) - N_2 = 0 \end{aligned} \right\}, \quad (11, II)$$

then

$$M_1^* = \int_{-\frac{1}{2}}^{\frac{1}{2}} \left(1 + \frac{x}{R_1} \right) x d\hat{a}_1 \hat{a}_1 \approx \int_{-\frac{1}{2}}^{\frac{1}{2}} x \hat{a}_1 \hat{a}_1 dx = \int_{-\frac{1}{2}}^{\frac{1}{2}} a_{11} x dx =$$

$$= a_{11} \int_{-\frac{1}{2}}^{\frac{1}{2}} x dx = M_1 - a_{11} H^1$$

$$M_2^* = \int_{-\frac{1}{2}}^{\frac{1}{2}} \left(1 + \frac{x}{R_1} \right) x \hat{a}_2 \hat{a}_2 dx \approx \int_{-\frac{1}{2}}^{\frac{1}{2}} \hat{a}_2 \hat{a}_2 x dx = \int_{-\frac{1}{2}}^{\frac{1}{2}} a_{22} x dx +$$

$$+ a_{22} \int_{-\frac{1}{2}}^{\frac{1}{2}} x dx = M_2 + a_{22} H^1$$

$$M_{12}^* = \int_{-\frac{1}{2}}^{\frac{1}{2}} \left(1 + \frac{x}{R_1} \right) x \hat{a}_1 \hat{a}_2 dx \approx \int_{-\frac{1}{2}}^{\frac{1}{2}} \hat{a}_1 \hat{a}_2 x dx = \int_{-\frac{1}{2}}^{\frac{1}{2}} a_{12} x dx +$$

$$+ a_{12} \int_{-\frac{1}{2}}^{\frac{1}{2}} x dx = H + a_{12} H^1$$

$$M_{21}^* = \int_{-\frac{1}{2}}^{\frac{1}{2}} \left(1 + \frac{x}{R_1} \right) x \hat{a}_2 \hat{a}_1 dx \approx \int_{-\frac{1}{2}}^{\frac{1}{2}} \hat{a}_2 \hat{a}_1 x dx = \int_{-\frac{1}{2}}^{\frac{1}{2}} a_{21} x dx -$$

$$- a_{21} \int_{-\frac{1}{2}}^{\frac{1}{2}} x dx = H - a_{21} H^1$$

(12, II)

Из сравнения ф-л (12. II) с ф-лами (86. I) и (87. I) видно, что величины

M_1, M_2 и H — дополнительные изгибающие и крутящий моменты, вызванные переходом из первого состояния во второе, т. е. дополнительные моменты, соответствующие дополнительным перемещениям α, Ψ и θ , а величины:

M_1^0, M_2^0, H^0 — изгибающие и крутящий моменты, соответствующие первому (исходному) состоянию, т. е. перемещениям α^0, Ψ^0 и θ^0 .

Пять уравнений систем (9. II) и (11. II) обеспечивают равенство нулю главного вектора и главного момента всех сил, действующих на элемент оболочки, находящейся во втором положении равновесия. В результате умножения третьего уравнения системы (3. II) на ε и интегрирования в пределах от $-\frac{\pi}{2}$ до $+\frac{\pi}{2}$ получим шестое уравнение статики. Это уравнение исследование парности касательных напряжений является тождеством.

Наибольший практический интерес в задачах устойчивости упругого равновесия представляют случаи, когда первое исходное состояние равновесия является безмоментным. В этом случае все моменты и пререзывающие силы в первом исходном состоянии равны нулю, т. е.

$$M_1^0 = M_2^0 = H^0 = N_1^0 = N_2^0 = 0, \quad (13. II)$$

а усилия T_1^0, T_2^0 и S^0 определяются из дифференциальных уравнений равновесия безмоментных оболочек

$$\left. \begin{aligned} \frac{1}{A_1 A_2} \left(\frac{\partial A_2 T_1^0}{\partial \alpha_1} + \frac{\partial A_1 S^0}{\partial \alpha_2} + \frac{\partial A_1}{\partial \alpha_1} S^0 - \frac{\partial A_2}{\partial \alpha_2} T_2^0 \right) &= 0 \\ \frac{1}{A_1 A_2} \left(\frac{\partial A_2 S^0}{\partial \alpha_1} + \frac{\partial A_1 T_1^0}{\partial \alpha_2} + \frac{\partial A_2}{\partial \alpha_1} S^0 - \frac{\partial A_1}{\partial \alpha_2} T_2^0 \right) &= 0 \\ \frac{T_1^0}{K_1} + \frac{T_2^0}{K_2} &= -P \end{aligned} \right\}. \quad (14. II)$$

Ввиду равенства нулю изгибающих и крутящих моментов в исходном безмоментном состоянии системы (11. II), фиксирующая равенство нулю главного момента всех сил, действующих на элемент оболочки во втором состоянии, оказывается не зависимой от усилий исходного состояния и может быть переписана в виде

$$\left. \begin{aligned} \frac{1}{A_1 A_2} \left(\frac{\partial A_2 M_1}{\partial \alpha_1} + \frac{\partial A_1 H}{\partial \alpha_2} + \frac{\partial A_1}{\partial \alpha_1} H - \frac{\partial A_2}{\partial \alpha_2} M_2 \right) &= N_1 \\ \frac{1}{A_1 A_2} \left(\frac{\partial A_2 H}{\partial \alpha_1} + \frac{\partial A_1 M_2}{\partial \alpha_2} + \frac{\partial A_2}{\partial \alpha_1} H - \frac{\partial A_1}{\partial \alpha_2} M_1 \right) &= N_2 \end{aligned} \right\}. \quad (15. II)$$

Вид системы (9. II) в случае безмоментного исходного состояния не изменяется. Однако функции F_1, F_2, F_3 , учитывающие усилия исходного состояния, существенно упрощаются:

$$\begin{aligned}
 F_1 &= -\frac{1}{A_1} \cdot \frac{\partial a_2}{\partial a_1} S^1 - \frac{1}{A_2} \cdot \frac{\partial a_2}{\partial a_2} T_1^1 + \frac{1}{R_1} (a_1 S^1 - a_2 T_1^1) = p a_1 \\
 F_2 &= \frac{1}{A_1} \cdot \frac{\partial a_2}{\partial a_1} T_1^1 + \frac{1}{A_2} \cdot \frac{\partial a_2}{\partial a_2} S^1 + \frac{1}{R_1} (a_1 T_1^1 - a_2 S^1) + p a_2 \\
 F_3 &= \left(-\frac{1}{A_1} \cdot \frac{\partial a_2}{\partial a_1} + \frac{1}{A_2 A_3} \frac{\partial A_1}{\partial a_2} a_2 \right) T_1^1 + \left(\frac{1}{A_1} \cdot \frac{\partial a_2}{\partial a_1} - \frac{1}{A_2 R_1} \frac{\partial A_1}{\partial a_2} a_2 \right) T_1^1 + \\
 &\quad + \left[\frac{A_1}{A_2} \cdot \frac{\partial}{\partial a_2} \left(\frac{a_1}{A_1} \right) - \frac{A_1}{A_2} \cdot \frac{\partial}{\partial a_2} \left(\frac{a_2}{A_2} \right) + \left(\frac{1}{R_1} - \frac{1}{R_2} \right) a_2 \right] S^1
 \end{aligned} \tag{16, III}$$

В результате проделанных преобразований мы пришли к системе пяти дифференциальных уравнений устойчивости:

$$\begin{aligned}
 \frac{1}{A_1 A_2} \left(\frac{\partial A_2 T_1}{\partial a_1} + \frac{\partial A_2 S}{\partial a_2} + \frac{\partial A_1}{\partial a_2} S - \frac{\partial A_2}{\partial a_1} T_1 \right) + \frac{N_1}{R_1} + F_1 &= 0 \\
 \frac{1}{A_1 A_2} \left(\frac{\partial A_2 S}{\partial a_1} + \frac{\partial A_2 T_1}{\partial a_2} + \frac{\partial A_1}{\partial a_2} S - \frac{\partial A_2}{\partial a_1} T_1 \right) + \frac{N_2}{R_2} + F_2 &= 0 \\
 \frac{1}{A_1 A_2} \left(\frac{\partial A_2 N_1}{\partial a_1} + \frac{\partial A_2 N_2}{\partial a_2} \right) - \frac{T_1}{R_1} - \frac{T_2}{R_2} + F_3 &= 0 \\
 \frac{1}{A_1 A_2} \left(\frac{\partial A_2 M_1}{\partial a_1} + \frac{\partial A_2 H}{\partial a_2} + \frac{\partial A_1}{\partial a_2} H - \frac{\partial A_2}{\partial a_1} M_1 \right) - N_1 &= 0 \\
 \frac{1}{A_1 A_2} \left(\frac{\partial A_2 H}{\partial a_1} + \frac{\partial A_2 M_1}{\partial a_2} + \frac{\partial A_1}{\partial a_2} H - \frac{\partial A_2}{\partial a_1} M_1 \right) - N_2 &= 0
 \end{aligned} \tag{17, III}$$

Подставив из двух последних уравнений значения перерезывающих сил в первые три, окончательно придем к следующей системе трех дифференциальных уравнений устойчивости в усилиях и моментах:

$$\begin{aligned}
 \frac{\partial A_2 T_1}{\partial a_1} + \frac{\partial A_2 S}{\partial a_2} + \frac{\partial A_1}{\partial a_2} S - \frac{\partial A_2}{\partial a_1} T_1 + \frac{1}{R_1} \left(\frac{\partial A_2 M_1}{\partial a_1} + \frac{\partial A_2 H}{\partial a_2} + \right. \\
 \left. + \frac{\partial A_1}{\partial a_2} H - \frac{\partial A_2}{\partial a_1} M_1 \right) + A_1 A_2 F_1 &= 0 \\
 \frac{\partial A_2 S}{\partial a_1} + \frac{\partial A_2 T_1}{\partial a_2} + \frac{\partial A_1}{\partial a_2} S - \frac{\partial A_2}{\partial a_1} T_1 + \frac{1}{R_2} \left(\frac{\partial A_2 H}{\partial a_2} + \frac{\partial A_2 M_2}{\partial a_1} + \right. \\
 \left. + \frac{\partial A_1}{\partial a_2} H - \frac{\partial A_2}{\partial a_1} M_2 \right) + A_1 A_2 F_2 &= 0 \\
 \frac{1}{A_1 A_2} \left[\frac{\partial}{\partial a_1} \cdot \frac{1}{A_1} \left(\frac{\partial A_2 M_1}{\partial a_1} + \frac{\partial A_2 H}{\partial a_2} + \frac{\partial A_1}{\partial a_2} H - \frac{\partial A_2}{\partial a_1} M_1 \right) + \right. \\
 \left. + \frac{\partial}{\partial a_2} \cdot \frac{1}{A_2} \left(\frac{\partial A_2 H}{\partial a_2} + \frac{\partial A_2 M_2}{\partial a_1} + \frac{\partial A_1}{\partial a_2} H - \frac{\partial A_2}{\partial a_1} M_2 \right) \right] - \\
 - \frac{T_1}{R_1} - \frac{T_2}{R_2} + F_3 &= 0
 \end{aligned} \tag{18, III}$$

Входящие в систему (18. II) дополнительные усилия и моменты связь с компонентами деформации срединной поверхности оболочки известными зависимостями закона Гука (см. ф-лы (122. I)):

$$\left. \begin{aligned} T_1 &= \frac{Eh}{1-\nu^2} (u_1 + \mu u_2) & M_1 &= \frac{Ev}{12(1-\nu^2)} (u_1 + \mu u_2) \\ T_2 &= \frac{Eh}{1-\nu^2} (u_2 + \mu u_1) & M_2 &= \frac{Ev}{12(1-\nu^2)} (u_2 + \mu u_1) \\ S &= \frac{Ev}{12(1+\nu)} = & H &= \frac{Ev}{12(1+\nu)} \tau \end{aligned} \right\}. \quad (19. II)$$

В формулах (19. II) удлинение u_1 и u_2 , сдвиг τ , изменения краинны x_1 , x_2 и кручение φ — дополнительные удлинения, сдвиг, изменения краинны и кручение элемента оболочки при переходе ее из первого исходного состояния равновесия во второе. Они связаны с дополнительными перемещениями ф-лами (77. I):

$$\left. \begin{aligned} u_1 &= \frac{1}{A_1} \cdot \frac{\partial w}{\partial x_1} + \frac{1}{A_1 A_2} \cdot \frac{\partial A_1}{\partial x_2} \varphi + \frac{w}{R_1} \\ u_2 &= \frac{1}{A_2} \cdot \frac{\partial w}{\partial x_2} + \frac{1}{A_1 A_2} \cdot \frac{\partial A_2}{\partial x_1} \varphi + \frac{w}{R_2} \\ w &= \frac{A_2}{A_1} \cdot \frac{\partial}{\partial x_2} \left(\frac{w}{A_2} \right) + \frac{A_1}{A_2} \cdot \frac{\partial}{\partial x_1} \left(\frac{w}{A_1} \right) \\ x_1 &= -\frac{1}{A_1} \cdot \frac{\partial}{\partial x_2} \left(\frac{1}{A_2} \cdot \frac{\partial w}{\partial x_1} - \frac{v}{R_2} \right) - \frac{1}{A_1 A_2} \cdot \frac{\partial A_1}{\partial x_2} \left(\frac{1}{A_2} \cdot \frac{\partial w}{\partial x_1} - \frac{v}{R_2} \right) \\ x_2 &= -\frac{1}{A_2} \cdot \frac{\partial}{\partial x_1} \left(\frac{1}{A_1} \cdot \frac{\partial w}{\partial x_2} - \frac{v}{R_1} \right) - \frac{1}{A_1 A_2} \cdot \frac{\partial A_2}{\partial x_1} \left(\frac{1}{A_1} \cdot \frac{\partial w}{\partial x_2} - \frac{v}{R_1} \right) \\ \tau &= -\frac{1}{A_1 A_2} \left(\frac{\partial w}{\partial x_1 \partial x_2} - \frac{1}{A_1} \cdot \frac{\partial A_1}{\partial x_2} \cdot \frac{\partial w}{\partial x_1} - \frac{1}{A_2} \cdot \frac{\partial A_2}{\partial x_1} \cdot \frac{\partial w}{\partial x_2} \right) + \\ &+ \frac{1}{R_1} \left(\frac{1}{A_2} \cdot \frac{\partial v}{\partial x_2} - \frac{1}{A_1 A_2} \cdot \frac{\partial A_2}{\partial x_2} v \right) + \frac{1}{R_2} \left(\frac{1}{A_1} \cdot \frac{\partial v}{\partial x_1} - \frac{1}{A_1 A_2} \cdot \frac{\partial A_1}{\partial x_1} v \right) \end{aligned} \right\}. \quad (20. II)$$

Функции F_1 , F_2 и F , определяются по ф-лам (16. II). Входящие в эти формулы усилия исходного состояния определяются непосредственно из безмоментной теории (см. систему (14. III)). Эти усилия не зависят от дополнительных перемещений w , φ и v , а зависят лишь от величин линейной нагрузки и конструктивных размеров оболочки. Однако в выражениях F_1 , F_2 и F , при усилиях первого (исходного) состояния T_1^0 , T_2^0 и S^0 имеются множители — дополнительные углы поворота u_1 , u_2 и φ , и их производные по координатам. Эти дополнительные углы поворота соответствуют переходу из первого исходного состояния равновесия во второе.

Дополнительный угол поворота элемента вокруг касательной к линии x_2 есть u_1 . Как было установлено в главе I, этот угол разен параметру ψ , т. е.

$$u_1 = -\psi = \frac{1}{R_2} \cdot \frac{\partial w}{\partial x_2} - \frac{v}{R_2}. \quad (21. II)$$

Аналогично дополнительный угол поворота элемента вокруг касательной к линии a , есть ω_3 , причем этот угол равен параметру θ , т. е.

$$\omega_3 = \theta = -\frac{1}{A_0} \cdot \frac{\partial u}{\partial \sigma_0} + \frac{s}{E_0}. \quad (22. II)$$

Наконец,

$$w_2 = \left(\frac{1}{A_1} \cdot \frac{\partial v}{\partial \sigma_1} - \frac{1}{A_0 A_1} \cdot \frac{\partial M_1}{\partial \sigma_0} u \right) - \left(\frac{1}{A_2} \cdot \frac{\partial w}{\partial \sigma_2} - \frac{1}{A_0 A_2} \cdot \frac{\partial M_2}{\partial \sigma_0} v \right). \quad (23. II)$$

После подстановки ф-л (21.II)–(23.II) в выражение (16.II) легко убедиться, что в функции F_1 , F_2 и F_3 дополнительные перемещения u , v и w и их производные входят линейным образом. Следовательно, подстановкой в систему уравнений устойчивости (18.II) дополнительных усилий и моментов T_1 , T_2 , S , M_1 , M_2 , H , предварительно выраженных через дополнительные перемещения u , v , w в соответствии с ф-лами (19.II) и (20.II), и выражений для F_1 , F_2 и F_3 мы приведем к системе трех линейных однородных уравнений относительно дополнительных перемещений u , v и w . Последняя система будет иметь отличные от нуля решения лишь при вполне определенных значениях параметра внешней нагрузки. Эти значения, являющиеся характеристическими числами полученной однородной системы, и определяют критические значения нагрузки.

Таким образом, задача определения критических нагрузок оболочек сводится к определению характеристических чисел системы линейных однородных уравнений устойчивости при заданных граничных условиях. Переходим к формулировке этих условий.

§ 24. Граничные условия

Рассмотрим формулировку граничных условий и перемещениях. Граничные условия в задачах устойчивости упругого равновесия могут быть получены с помощью граничных условий первого или исходного состояния с граничными условиями второго состояния.

Пусть на границе оболочки даны заданы перемещения, компоненты которых по касательным к средней поверхности оболочки и по нормали к ней соответственно равны $u_0(a_0, a_0)$; $v_0(a_0, a_0)$; $w_0(a_0, a_0)$, где a_0 и w_0 — заданные функции.

Если перемещения на границе заданы, они должны сохраняться как в первом, так и во втором состояниях равновесия. Следовательно, на рассматриваемой границе будем иметь:

в первом или исходном состоянии

$$\left. \begin{aligned} u^1 &= u_0 \\ v^1 &= v_0 \\ w^1 &= w_0 \end{aligned} \right\}, \quad (24. II)$$

во втором состоянии равновесия

$$\left. \begin{aligned} u^2 &+ u = u_0 \\ v^2 &+ v = v_0 \\ w^2 &+ w = w_0 \end{aligned} \right\}. \quad (25. II)$$

Вычитая равенства (24. II) из равенств (25. II), приходим к следующим граничным условиям для дополнительных перемещений:

$$\left. \begin{array}{l} u = 0 \\ v = 0 \\ w = 0 \end{array} \right\}. \quad (26. II)$$

Таким образом, если на краю оболочки заданы перемещения, то в качестве граничных условий для дополнительных перемещений u , v и w необходимо принять нулевые значения этих перемещений. То же относится и к случаю, если на границе оболочки заданы углы поворота.

§ 25. Энергетический метод определения критических нагрузок

Рассмотренный в § 23 метод определения критических нагрузок является наиболее строгим, и его использование приводит к получению достаточно точных значений критических нагрузок. Однако в ряде случаев использование этого метода, вследствие математических трудностей, оказывается невозможным, и тогда приходится прибегать к менее строгим, но более простым методам. К их числу относится энергетический метод, который нашел самое широкое распространение в задачах устойчивости оболочек. Сформулируем его основные положения.

Пусть дана оболочка, загруженная внешней скжимающей нагрузкой. Будем считать, что внешняя нагрузка достигла критической величины. Как было установлено, при критической нагрузке оболочка может иметь две различные формы: первую или исходную, которую имеет оболочка до потери устойчивости, и вторую или новую, которую приобретает оболочка после потери устойчивости.

Пусть, как и ранее, перемещения, соответствующие первому состоянию, выражены через u^1 , v^1 , w^1 , а перемещения, соответствующие второму состоянию — через u^{II} , v^{II} , w^{II} , причем последние связаны с первыми равенствами (2. II).

Обозначим потенциальную энергию деформации оболочки в первом исходном состоянии через V^1 , а во втором — через V^{II} . Тогда

$$V^{II} = V^1 + U, \quad (27. II)$$

где U — дополнительная потенциальная энергия деформации оболочки при переходе ее из первого исходного состояния во второе.

Работу внешних сил на перемещениях, соответствующих первому состоянию, обозначим через U^1 , а на перемещениях, соответствующих второму состоянию, через U^{II} . В этом случае

$$U^{II} = U^1 + U, \quad (28. II)$$

где U — дополнительная работа внешних сил на перемещениях оболочки при переходе ее из первого состояния во второе.

Теперь воспользуемся началом возможных перемещений. Согласно началу возможных перемещений, работа внешних сил на малых, но возможных перемещениях равна потенциальной энергии. Применим этот принцип ко второму состоянию равновесия оболочки, во вторичных перемещениях будем давать же суммарные перемещения u^1 , v^1 , w^1 , а дополнительные.

Если дополнительным перемещениям u , v и w дать вспомогательные перемещения δu , δv и δw , где δ есть символ вариации, то математическая формулировка принципа возможных перемещений для второго положения равновесия имеет вид

$$\delta U^0 = \delta V^0, \quad (29. II)$$

и

$$\delta U^0 = \delta(U^0 + U) = \delta U^0 + \delta U$$

и

$$\delta V^0 = \delta(V^0 + V) = \delta V^0 + \delta V.$$

Так как мы дали виртуальные перемещения лишь дополнительным перемещениям u , v и w , сохраняя без изменения перемещения первого исходного состояния u^0 , v^0 , w^0 , то, очевидно, вариации δU^0 и δV^0 будут равны нулю, т. е.

$$\delta U^0 = 0, \quad \delta V^0 = 0$$

и, следовательно,

$$\delta U^0 = \delta U, \quad \delta V^0 = \delta V. \quad (30. II)$$

После подстановки равенства (30. II) в ф-лу (29. II) окончательно получим

$$\delta U = \delta V. \quad (31. II)$$

Эта формула и дает вариационную формулировку проблемы упругой устойчивости.

Перенеся все члены равенства (31. II) в левую часть, будем иметь

$$\delta U - \delta V = 0$$

или

$$\delta(U - V) = 0. \quad (32. II)$$

Для решения задач воспользуемся прямым методами вариационного исчисления. Для этого представим перемещения u , v и w в виде

$$\left. \begin{aligned} u &= A_1 f_1(x_1, x_2) + A_2 f_2(x_1, x_2) + A_3 f_3(x_1, x_2) + \dots \\ v &= B_1 \varphi_1(x_1, x_2) + B_2 \varphi_2(x_1, x_2) + B_3 \varphi_3(x_1, x_2) + \dots \\ w &= C_1 \psi_1(x_1, x_2) + C_2 \psi_2(x_1, x_2) + C_3 \psi_3(x_1, x_2) + \dots \end{aligned} \right\} \quad (33. II)$$

В равенствах (33. II) $f_1(x_1, x_2), f_2(x_1, x_2), \dots, f_n(x_1, x_2)$ — некоторые известные функции, а A_1, A_2, \dots, A_n — константы называемые коэффициентами.

Функции $f_1(x_1, x_2), f_2(x_1, x_2), \dots, f_n(x_1, x_2)$ должны быть выбраны таким образом, чтобы все они удовлетворяли граничным условиям задачи. Следовательно, в задачах упругой устойчивости при задании на границах перемещений эти функции должны на границах обращаться в нуль. Поскольку при таком задании перемещений u , v и w варьируются только коэффициенты A_1, A_2, C_3 , равенству (32. II) можно привести вид

$$\begin{aligned} \delta(U - V) &= \frac{\partial(U - V)}{\partial A_1} \delta A_1 + \frac{\partial(U - V)}{\partial A_2} \delta A_2 + \frac{\partial(U - V)}{\partial A_3} \delta A_3 + \dots \\ &\quad + \frac{\partial(U - V)}{\partial B_1} \delta B_1 + \frac{\partial(U - V)}{\partial B_2} \delta B_2 + \frac{\partial(U - V)}{\partial B_3} \delta B_3 + \dots \\ &\quad + \frac{\partial(U - V)}{\partial C_1} \delta C_1 + \frac{\partial(U - V)}{\partial C_2} \delta C_2 + \frac{\partial(U - V)}{\partial C_3} \delta C_3 + \dots = 0. \quad (34. II) \end{aligned}$$

Вариации $\delta A_1, \delta A_2, \dots, \delta C_n$ не равны нулю, равенство же (34. II) должно удовлетворяться тождественно. Поэтому для выполнения равенства (34. II) необходимо, чтобы все производные склонной функции $(U-V)$ были равны нулю, т. е.

$$\left. \begin{array}{l} \frac{\partial(U-V)}{\partial A_1} = 0 \quad \frac{\partial(U-V)}{\partial A_2} = 0 \quad \frac{\partial(U-V)}{\partial A_3} = 0 \\ \frac{\partial(U-V)}{\partial B_1} = 0 \quad \frac{\partial(U-V)}{\partial B_2} = 0 \quad \frac{\partial(U-V)}{\partial B_3} = 0 \\ \frac{\partial(U-V)}{\partial C_1} = 0 \quad \frac{\partial(U-V)}{\partial C_2} = 0 \quad \frac{\partial(U-V)}{\partial C_3} = 0 \end{array} \right\} \quad (35. II)$$

В итоге получается система $3n$ линейных однородных алгебраических уравнений относительно варируемых параметров A_i, B_j и C_k , где n — число членов, удерживаемых в формулах для дополнительных перемещений.

Решением этой системы будет либо равенство нулю коэффициентов A_i, B_j и C_k (что практического интереса не представляет, так как в этом случае будут равны нулю дополнительные перемещения, и, следовательно, будет отсутствовать потеря устойчивости), либо равенство нулю определителя этой системы. Приравниванием нулю определителя системы (35. II) получаем выражение для определения критической нагрузки.

Таков в кратком изложении путь определения критических нагрузок энергетическим методом. Чем лучше выбранная форма дополнительных перемещений соответствует действительной форме потери устойчивости, тем точнее получается результат. С другой стороны, необходимо стремиться, чтобы порядок характеристического определителя был по возможности ниже, что достигается за счет уменьшения числа членов, удерживаемых в выражениях для дополнительных перемещений.

Практические расчеты показывают, что в каждом из рядов достаточно удержать лишь один член. В этом случае характеристический определитель имеет третий порядок.

ГЛАВА III

РАСЧЕТНЫЕ НАГРУЗКИ ДЛЯ ПРОЧНОГО КОРПУСА

§ 26. Основные понятия

Корпус подводной лодки является весьма сложным инженерным сооружением. Задачи проектирования рациональной конструкции корпуса, т. е. конструкции, обладающей достаточной прочностью при минимальном весе, может быть выполнена, если будут решены три основные проблемы строительной механики:

- 1) проблема внешних усилий;
- 2) проблема внутренних усилий или напряжений;
- 3) проблема норм прочности.

Совершенно очевидно, что для выполнения расчета прочности корпуса подводной лодки необходимо, прежде всего, определить те усилия, которые на него действуют. При этом имеется в виду определение не только величины усилий, но и определение характера их действия на конструкцию. Эти вопросы составляют проблему внешних усилий. В результате решения этой проблемы мы приходим к определению величины и характера усилий, действующих на корпус подводной лодки.

Следующая задача состоит в том, чтобы определить те напряжения и деформации, которые возникают в конструкциях корпуса при действии отмеченных выше усилий. Эта задача составляет проблему внутренних усилий или напряжений и решается с помощью расчетных методов строительной механики, базирующихся на достижениях теории оболочек.

Для строгости отметим, что проблема внутренних усилий охватывает задачу определения напряжений и деформаций, возникающих в конструкции не только от действующих на конструкцию усилий, но и от любых усилий, принятых за расчетные.

Однако решение первых двух проблем еще не определяет прочность корпуса подводной лодки. Очевидно, разрушающая нагрузка всегда должна быть больше действующей, ибо и противом явлении корпуса подводной лодки разрушится быстрее до достижения действующими усилиями их максимальной величины. Отмеченное условие не является определенным, так как еще не определена величина этого превышения.

Действительно, в одном случае разрушающая нагрузка может превышать действующую на 5—10 процентов, в другом — в пять и более раз. И здесь мы подходим к решению третьей проблемы — проблемы норм прочности. При решении этой проблемы необходимо учитывать как степень точности определения расчетных усилий, так и возможную погрешность при определении напряжений и деформаций, вытекающую

появляющуюся вследствие условий наших расчетов. Поэтому отдельно разрушающей нагрузки и действующей, определяющие запас прочности, должно быть не меньше некоторой величины, перекрывающей все возможные ошибки и погрешности наших расчетов. С другой стороны, это отношение не должно быть слишком большим, так как в последнем случае конструкция окажется перетянутой и, следовательно, нерациональной.

Из изложенного следует, что только правильное совокупное решение трех основных проблем строительной механики позволит конструировать разумные конструкции корпусов, обладающих высокой прочностью при изменяющей весе.

Прежде чем перейти к изложению вопроса о запасах прочности, давим определение некоторых величин, фактически определяющих запасы прочности. К числу этих величин будем относить:

- а) опасную нагрузку;
- б) допускаемую нагрузку;
- в) опасное напряжение;
- г) допускаемое напряжение.

Опасной нагрузкой будем называть такую нагрузку, при действии которой конструкция либо разрушается, либо получает недопустимые деформации.

По аналогии опасными напряжениями назовем такие напряжения, превышение которых приводит к разрушению или к недопустимым деформациям конструкции.

Таким образом, опасным напряжением — наименьшее напряжение и т. д., исключающие и конструкции при действии на них опасной нагрузки. Последнее определение является вполне строгим, если имеет место однокомпонентное напряженное состояние, т. е. такое напряженное состояние, когда отлично от нуля только одно из главных нормальных напряжений (σ_{11} или σ_{22}), при этом второе нормальное и касательное напряжение σ_{12} равны нулю. В тех случаях, когда напряженное состояние является более сложным, в качестве опасных напряжений или деформаций необходимо принимать комбинации напряжений или деформаций, в зависимости от принятых критерияев или гипотез прочности.

Допускаемой нагрузкой назовем такую нагрузку, которой может быть допущена в конструкции без опасения за ее прочность или сохранность ее формы.

По аналогии допускаемым напряжениям будем определять как такие напряжения, которые могут быть допущены в конструкции без опасения за ее прочность или сохранность ее формы.

Следовательно, допускаемые напряжения — наименьшие напряжения в конструкции при действии на нее допускаемой нагрузки.

Рассмотрим конструкцию, у которой зависимость между действующими на ее усилениями R и возникающими напряжениями σ определяется кривой, показанной на рис. 27.

Пусть на некотором участке кривой зависимость напряжений от нагрузки является линейной, а затем рост напряжений превышает

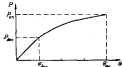


Рис. 27

рост нагрузки. Отметим, что зависимость $\sigma = f(P)$ может быть в отдельных случаях линейной (или нелинейной) на всем протяжении кривой. При этом величина опасной нагрузки есть $P_{\text{оп}}$, а величина допускаемой нагрузки — $P_{\text{доп}}$.

Отношение опасной нагрузки к допускаемой называется истинным запасом прочности, следовательно,

$$\eta_{\text{ист}} = \frac{P_{\text{оп}}}{P_{\text{доп}}}. \quad (1, \text{III})$$

Таким образом, истинный запас прочности показывает, какую долю от опасной должна составлять допускаемая нагрузка или, во сколько раз опасная нагрузка превышает допускаемую.

Предположим, что с помощью соответствующих расчетных методов мы определили величину опасной нагрузки. После анализа возможной погрешности в определении усилий, могущих действовать на конструкцию, анализа погрешности принятых расчетных методов мы устанавливаем запас прочности $\eta_{\text{зап}}$. Отнеся величину опасной нагрузки к величине выбранного запаса прочности, мы определим величину допускаемой нагрузки, т. е.

$$P_{\text{доп}} = \frac{P_{\text{оп}}}{\eta_{\text{зап}}}. \quad (2, \text{III})$$

В этом случае условие прочности имеет вид

$$P_{\text{действ}} < P_{\text{доп}}, \quad (3, \text{III})$$

где $P_{\text{действ}}$ — величина действующей на конструкцию нагрузки.

Условие прочности (3, III) иногда приводят к несколько иному виду. Умножив обе части равенства на величину $\eta_{\text{зап}}$, получим

$$P_{\text{действ}} \eta_{\text{зап}} < P_{\text{оп}}. \quad (4, \text{III})$$

Эквивалентность ф-л (3, III) и (4, III) очевидна. Необходимо отметить, что в строительной механике подобных ядер по причинам, изложенным ниже, условие прочности выражается зависимостью (4, III). Наибольшее значение действующей нагрузки умножается на выбранный запас прочности, и полученная нагрузка принимается за расчетную, при этом она должна быть равна или меньше опасной. Таким образом,

$$P_{\text{расч}} = P_{\text{действ}} \eta_{\text{зап}} < P_{\text{оп}}. \quad (5, \text{III})$$

Отмеченный вариант нормирования по существу является нормированием по нагрузкам.

Теперь рассмотрим другой вариант нормирования — нормирование по напряжениям.

Пусть напряжение, соответствующее опасной нагрузке, есть $\sigma_{\text{оп}}$, а напряжение, соответствующее допускаемой нагрузке, $\sigma_{\text{доп}}$. Тогда отношение опасного напряжения к допускаемому будем называть индуцирующим запасом прочности, т. е.

$$\eta_{\text{инд}} = \frac{\sigma_{\text{оп}}}{\sigma_{\text{доп}}}. \quad (6, \text{III})$$

Из формулы (6, III) видно, что индуцирующий запас прочности характеризует, какую долю от опасных напряжений должны составлять допускаемые или, во сколько раз опасное напряжение превышает допускаемое.

Определив с помощью соответствующих расчетных методов величину опасного напряжения $\sigma_{\text{оп}}^*$ и выбрав необходимый запас прочности, можно найти величину допускаемого напряжения

$$\sigma_{\text{доп}} = \frac{\sigma_{\text{оп}}}{n_{\text{зап}}} . \quad (7. III)$$

Условие прочности при этом будет иметь вид

$$\sigma_{\text{действ}} < \sigma_{\text{доп}} . \quad (8. III)$$

Из формулы (8. III) следует, что величина действующего напряжения должна быть меньше или равна величине допускаемого напряжения.

В чем же заключается разница обеих путей нормирования и почему в одном случае запас прочности называется истинным, а в другом — кажущимся?

Для ответа на этот вопрос обратимся к рис. 27. На рисунке видно, что в рассматриваемом случае опасная нагрузка лишь в два раза больше допускаемой, хотя опасное напряжение превышает допускаемое более чем в четыре раза. Истинная оценка прочности конструкции определяется величиной, показывающей, во сколько раз необходимо увеличить допускаемую нагрузку, чтобы конструкция разрушилась или получила недопустимые деформации. Поэтому, назначив запас прочности по нагрузкам или мы гарантированы, что разрушение конструкции не наступит до тех пор, пока допускаемая нагрузка не будет превышена в $n_{\text{зап}}$ раз. Именно поэтому запас прочности по нагрузкам и называется истинным запасом. В рассмотренном на рис. 27 случае, имея четырехкратный запас прочности по напряжениям, мы не можем в четыре раза увеличить допускаемую нагрузку, так как удвоенная допускаемая нагрузка уже является опасной. Таким образом, отношение опасного напряжения к допускаемому дает не истинную оценку прочности, а лишь кажущуюся. Поэтому запас прочности по напряжениям называется кажущимся запасом.

Очевидно, кажущийся запас прочности будет равен истинному лишь в том случае, если зависимость между нагрузкой и напряжением является линейной вплоть до разрушения или недопустимых деформаций конструкции. В этом единственном случае совершенно безразлично, как производить нормирование: по нагрузкам или по напряжениям. Во всех остальных случаях, когда зависимость между нагрузкой и напряжениями не является линейной, рост напряжений всегда превышает рост нагрузки. Следовательно, кажущийся запас прочности всегда больше истинного.

В конструкциях корпуса подводных лодок имеет место типичная зависимость между нагрузкой и возникающими в конструкциях напряжениями. Более быстрый рост напряжений в сравнении с ростом нагрузки объясняется глянцевым образом неправильности формы корпуса (отклонения от прямолинейной круговой формы), вследствие чего имеет место сложный изгиб конструкции. Поэтому в строительной механике подводных лодок запас прочности вводится в нагрузку.

Умножая наибольшую действующую нагрузку на выбранный запас прочности, мы получаем расчетную нагрузку. Она и является той нагрузкой, за действие которой проверяется прочность конструкции.

§ 27. Высшие силы, действующие на корпус подводной лодки

Все силы, действующие на корпус подводной лодки, можно разделить на две группы:

- 1) силы поверхностные;
- 2) силы объемные.

К числу поверхностных сил относятся: гидростатическое давление на корпус, давление ударной волны и пульсации давления пульса при подводном пиринге. Поверхностные силы приложены непосредственно к наружной поверхности обшивки прочного корпуса.

К числу объемных сил можно отнести силы веса при статическом нагружении корпуса подводных лодок и силы инерции при воздействии на корпус динамических нагрузок. Объемные силы приложены к каждой частице объема, обладающей массой.

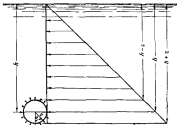


Рис. 28.

Воздействие на корпус динамических нагрузок будет рассмотрено особо. Здесь же ограничимся рассмотрением только статических нагрузок, а именно: гидростатического давления воды и сил веса корпуса лодки и всех находящихся в нем грузов.

Известно, что гидростатическое давление воды, приходящееся на 1 см², в любой точке тела, погруженной на расстояние h см от поверхности воды, равно весу столба воды высотой h , т. е.

$$p = \gamma h. \quad (9, III)$$

Во всех расчетах прочности будем принимать $\gamma = 0,001$ кг/см². Тогда гидростатическое давление будет $p = 0,001 h$.

Ввиду больших глубин погружения подводных лодок величину h удобнее принимать не в сантиметрах, а в метрах, поэтому окончательно гидростатическое давление в кг/см² будет

$$p = 0,1h, \quad (10, III)$$

где h — высота столба воды от поверхности в метрах.

Из формул (9. III) и (10. III) видно, что гидростатическое давление изменяется по глубине по линейному закону. Рассмотрим поперечное сечение прочного корпуса подводной лодки, погруженной на глубину h . При этом глубину погружения h будем отсчитывать от оси корпуса.

На рисунке 29 видно, что гидростатическое давление, действующее на корпус, изменяется по высоте корпуса. Если давление у оси корпуса равно $0,1h$, то в нижней точке оно возрастает до величины $0,1(h+r)$, а в верхней, вкотором, убывает до $0,1(h-r)$, где r — радиус корпуса в метрах.

Представим это давление в виде двух составляющих (рис. 29): давления p , равномерно распределенного по всему периметру корпуса,

$$p = 0,1h, \quad (11. III)$$

и давления p_1 , распределенного по треугольнику,

$$p_1 = 0,1r \cos \alpha. \quad (12. III)$$

Так как речь идет о гидростатическом давлении, то оно направлено по нормали к поверхности обшивки, т. е. в радиальном направлении.

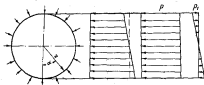


Рис. 29

Равномерно распределенная нагрузка p полностью уравновешивается на прочном корпусе. Нагрузка же p_1 уравновешена на корпусе только в горизонтальном направлении. В вертикальном направлении эта нагрузка сама по себе не уравновешена, она уравновешивается силами веса подводной лодки. Если бы последние, т. е. силы веса, были равномерно распределены по длине подводной лодки, то в этом случае вертикальная составляющая P_1 , приходящаяся на единичный участок длины корпуса, полностью уравновешивалась бы силами веса этого участка длины подводной лодки (P_2). Однако из-за неравномерного распределения сил веса по длине корпуса, вес единичного участка длины подводной лодки (P_2) может быть как больше, так и меньше силы P_1 . При этом разность $P_1 - P_2$ уравновешивается разностью перерезывающих сил $\Delta P_2 = P_1 - P_2$, приложенных к границам рассматриваемого участка (рис. 30), причем

$$\Delta P_2 = P_1 - P_2. \quad (13. III)$$

Таким образом, на одиничный участок длины корпуса подводной лодки, ось которой находится на глубине δ , действуют следующие усилия:

1. Усилие P от равномерно распределенного гидростатического давления интенсивностью $p=0,1\text{h}$.

2. Усилие P_1 от гидростатического давления, распределенного по высоте корпуса по закону треугольника, интенсивностью $p_1=0,1\text{g cos}\alpha$.

3. Усилие P_2 , равное весу рассматриваемого участка длины лодки.

4. Усилие $\Delta P_2=P_1-P_2$, равное разности перерезывающих сил, приложенных к траектории участка.

Как было отмечено, усилие P уравновешено полностью, усилие же P_1 уравновешивается усилиями P_2 и P_3 . Для оценки влияния этих усилий определим отношение интенсивности p_1 к интенсивности p . Получим

$$\frac{p_1}{p} = \frac{0,1g \cos \alpha}{0,1h}.$$

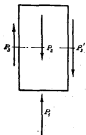


Рис. 30

Таким образом, интенсивность усилия P_1 не превышает пять процентов интенсивности усилия P . Анализ показывает, что при расчетах прочности конструкций прочного корпуса влиянием усилия P_1 и уравновешивающих его усилий P_2 и P_3 можно пренебречь.

В соответствии с этим в качестве действующей нагрузки при расчете прочности прочного корпуса необходимо принимать равномерно распределенное гидростатическое давление интенсивности

$$p=0,1h. \quad (14. III)$$

Величина действующего гидростатического давления, определяемая формулой (15. III), не является определенной до тех пор, пока не будет определена глубина погружения δ оси лодки. Естественно, что для расчетов прочности корпуса интерес представляет наибольший значение глубины погружения, так как обеспечение прочности на наибольшей глубине является гарантней обеспечения прочности на всех промежуточных глубинах. Поэтому будем интересоваться лишь наибольшим значением δ . Последнее определяется предельной глубиной погружения $\delta_{\text{пр}}$, под которой понимается та наибольшая глубина погружения (считая до оси корпуса), на которую лодка может погружаться (например, ложась на грунт) без появления в корпусе остаточных деформаций.

Погружение подводной лодки на предельную глубину происходит ограниченное число раз, причем с большими промежутками времени между отдельными погружениями. В связи с этим гидростатическую нагрузку, соответствующую заданной предельной глубине погружения, будем считать по характеру изменения неизменной, а по характеру действия — случайной. Так как подводная лодка, находящаяся на предельной глубине, может иметь некоторый дифферент ϕ , то наибольшее значение нагрузки, действующей на прочный корпус, будет соответствовать величине A , определяемой по выражению

$$A = A_{sp} + \phi x, \quad (16. III)$$

где x — отстояние рассматриваемого сечения корпуса от мидэли в метрах.

Следовательно, наибольшая величина действующего на корпус разномерного гидростатического давления будет

$$p = 0,1(A_{sp} + \phi x). \quad (17. III)$$

§ 20. Расчетная нагрузка для прочного корпуса

Ввиду линейной зависимости между нагрузкой и изображениями в корпусе подводной лодки, запас прочности будем вводить в нагрузку. Следовательно, умножив действующую нагрузку, определенную по формуле (17. III), на коэффициент запаса n , мы получим расчетную нагрузку. Остается назначить запас прочности n . При определении запаса прочности (или, как иногда называют, коэффициента безопасности) n необходимо учитывать следующие важные факторы:

1. Возможность увеличения нагрузки вследствие аварийных прозволов подводной лодки за предельную глубину.

2. Возможность уменьшения действительных размеров (толщины обшивки, сечение шпангоута) и механических характеристик материала корпуса (предела пропорциональности, предела текучести) в сравнении со спецификационными размерами и механическими характеристиками.

3. Возможность превышения действительных напряжений и деформаций корпуса над вычисленными расчетом, вследствие условности принятых расчетных методов (неучет отклонений от правильной формы, технологических факторов, погрешность расчетных формул и т. д.).

Рассмотрим каждый из упомянутых факторов в отдельности.

Первый фактор — превышение запаса n .

Возможность увеличения нагрузки вследствие аварийных прозволов подводной лодки за предельную глубину может быть учтена двумя путями:

- 1) введением относительного запаса прочности;
- 2) введением абсолютного запаса прочности.

Если принять относительный запас прочности (только аварийное перегрубление лодки) k , равным, например, 1,1, то для подводных лодок с предельными глубинами погружения $A_{sp} = 100, 200$ и 300 м получим следующие значения:

при $A_{sp} = 100$ м $A_1 = 1,1 A_{sp} = 1,1 \cdot 100 = 110$ м,

при $A_{sp} = 200$ м $A_1 = 1,1 A_{sp} = 1,1 \cdot 200 = 220$ м,

при $A_{sp} = 300$ м $A_1 = 1,1 A_{sp} = 1,1 \cdot 300 = 330$ м.

Разница между этими глубинами и предельной глубиной погружения определяет величину аварийного провала или аварийного переуглубления подводной лодки.

Эта величина для рассмотренных случаев будет равна

$$\text{при } h_{\text{ср}} = 100 \text{ м } b_1 - b_{\text{ср}} = 110 - 100 = 10 \text{ м},$$

$$\text{при } h_{\text{ср}} = 200 \text{ м } b_1 - b_{\text{ср}} = 220 - 200 = 20 \text{ м},$$

$$\text{при } h_{\text{ср}} = 300 \text{ м } b_1 - b_{\text{ср}} = 330 - 300 = 30 \text{ м}.$$

Видно, что при назначении однократного относительного запаса на аварийное переуглубление мы получаем существенно разные абсолютные величины аварийного переутягивания для лодок с различными предельными глубинами. Между тем очевидно, что величина аварийного переуглубления не зависит от предельной глубины погружения подводной лодки, а зависит главным образом от скорости подводного хода, длины подводной лодки, состояния систем погружения и испытания и подготовки личного состава. В связи с этим введение относительного запаса прочности на аварийное переуглубление принципиально неправильно. Более правильно в этом случае называть абсолютное аварийное переуглубление подводной лодки.

Учет влияния скорости хода, состояния систем погружения и испытания и подготовки личного состава затруднителен. Поэтому можно, следуя предложению Ю. А. Шиманского,⁷ рекомендовать величину абсолютного аварийного переуглубления лодки принимать равной $0.2L$, где L — длина лодки в метрах.

Таким образом, глубина погружения с учетом возможного дифферента и аварийного переуглубления будет

$$b_1 = b_{\text{ср}} + \varphi x + 0.2L. \quad (18. III)$$

Необходимо отметить, что с ростом скоростей подводного хода и накоплением опытных данных по аварийным провалам подводных лодок величина аварийного переуглубления подлежит корректировке.

Второй фактор — уменьшение действительных размеров и механические характеристики материала по сравнению со спецификационными

Известно, что прокат листового и профильного материала не может быть выполнен абсолютно точно. Поэтому соответствующими ГОСТ или индустриальными стандартами предусмотрены допуски на прокат. Нас будут интересовать лишь инкрустевые допуски на перекат листов и профильного материала, так как в случае недостатка действительная толщина листа и сечение профиля шлангоута будет больше спецификационных. Вычитая из спецификационной толщины величину наибольшего переката листов, установленного ГОСТ или индустриальным стандартом, мы получим минимальную возможную толщину листа, которую и следует принять в качестве расчетной. Аналогично необходимо поступить и в отношении шлангоутов, так как их роль в составе корпуса подводной лодки является весьма важной. Следует отметить, что, кроме переката листов и профилей шлангоутов, предусмотренного ГОСТ, необходимо учитывать дополнительное утонение материала при штамповке, гибке и пескоструй-

⁷ Ю. А. Шиманский. Совершенство судостроению. Т. III. Строительная механика корабля. Госиздатфиниздат, 1954.

ной обработке. Учет отмеченных факторов очень важен, так как дополнительное утонение материала в результате штамповки, гибки и пескоструйной обработки может оказать существенное влияние на прочность и устойчивость корпуса. Таким образом, утонение листового и профильного материалов будем учитывать за увеличением залеса прочности, а введение в расчетные формулы минимальных толщин листов и размеров сечения шлангогутов с учетом предусмотренного ГОСТ переката и дополнительных утонений при штамповке, гибке и пескоструйной обработке.

Что касается механических характеристик материалов, и, в частности, предела текучести, то следует отметить, что, как правило, фактический предел текучести и временное сопротивление всегда выше спецификационных. Поэтому при выполнении расчетов прочности достаточно учитывать заданные в спецификации механические характеристики материала.

Третий фактор — **минимальные погрешности вследствие условности расчетных методов**.

Всякий расчетный метод строительной механики есть математическая абстракция действительности, так как в основу всех расчетных методов положены те или иные гипотезы, допущения и предположения. Естественно, что принятие различных гипотез и допущений приводит к известной условности наших расчетов, и следовательно, и к их погрешности. Так, например, при расчете цилиндрической части прочного корпуса последний рассматривается как круговой цилиндр. Между тем, непосредственным измерениям можно установить отклонения обшивки и шлангогутов от правильной круговой формы. Эти отклонения приводят к тому, что конструкции корпуса под действием равномерно распределенного давления испытывают дополнительные изгибы, вследствие чего в корпусе появляются остаточные деформации еще задолго до разрушения конструкции.

Все возможные погрешности, связанные с условностью наших расчетов, должны учитываться введением в нагрузку дополнительного запаса прочности α_p . Умножив глубину погружения (с учетом дифферента и акваторийного прозала) на коэффициент α_p , получим расчетную глубину погружения k_p . Следовательно, расчетная глубина погружения будет

$$k_p = \alpha_p (k_{sp} + \varphi x + 0,2L). \quad (19. III)$$

Остается определить коэффициент α_p . Величина этого коэффициента выбирается на основании многочисленных опытов с натурными и масштабными отсеками. Ю. А. Шиманский считает,² что при нагрузке, составляющей примерно 70% от разрушающей, в корпусе появляются местные остаточные деформации, которые совершенно недопустимы на предельной глубине. Поэтому, следуя Ю. А. Шиманскому, можно записать следующее условие:

$$0,7k_p = k_{sp} + \varphi x + 0,2L. \quad (20. III)$$

Разделив обе части равенства (20. III) на коэффициент 0,7, получим

$$k_p = \frac{1}{0,7} (k_{sp} + \varphi x + 0,2L). \quad (21. III)$$

² Ю. А. Шиманский. Строительная механика подводных лодок. Судостроение, 1948.

Сумма ф-лу (21, III) с ф-лой (19, III), получим значение коэффициента k_2 ,

$$k_2 = \frac{1}{0,7} \approx 1,4. \quad (22, III)$$

Поэтому расчетная глубина погружения будет

$$h_p = 1,4 (h_{sp} + \phi x + 0,2L). \quad (23, III)$$

Для удобства пользования ф-лой (23, III) и для однозначности расчетов прочности примем угол дифферента ϕ равным 0,2. Окончательно расчетная глубина погружения будет определяться по выражению

$$h_p = 1,4 [h_{sp} + 0,2 (L + x)]. \quad (24, III)$$

Формула (24, III) была предложена Ю. А. Шевченко.

Соответственно, расчетное разномерное распределенное гидростатическое давление будет равно

$$p_p = 0,1 h_p. \quad (25, III)$$

В дальнейшем знак $_p$, при p_p , будем опускать, и расчетное давление будем обозначать через p .

Истинный запас прочности или коэффициент безопасности есть отношение расчетной нагрузки к допускаемой или отношение расчетной глубины погружения к предельной. Для идеального сечения ($x = 0$) истинный запас прочности λ будет равен

$$\lambda = \frac{h_p}{h_{sp}} = 1,4 \left(1 + \frac{\phi M}{h_{sp}} \right). \quad (26, III)$$

Запас прочности λ несколько повышается с увеличением длины подводной лодки и несколько понижается с увеличением предельной глубины, что вполне естественно, так как были заданы абсолютная величина аварийного переутяглубления лодки, равная 0,2L.

В заключение необходимо сделать следующее замечание. Ввиду того, что в расчетах прочности корпуса подводных лодок запас прочности входит в нагрузку или в пропорциональную ей глубину погружения, некоторые специалисты вводят понятие «абсолютный запас прочности», понимая под ним разность между расчетной и предельной глубинами погружения. Однако такая точка зрения является ошибочной. Расчетная глубина погружения определяна как с учетом возможного аварийного переутяглубления лодки, так и с учетом возможных погрешностей и ошибок, вследствие условности принятых расчетных методов. При этом крайнее переутяглубление лодки принято сравнительно небольшим и равным 0,2L.

§ 29. Особенности расчетов прочного корпуса

Расчетной нагрузкой для прочного корпуса подводной лодки является разномерное гидростатическое давление p . Естественно, что первая задача расчета прочности любой конструкции, в том числе и прочного корпуса подводной лодки, состоит в определении напряжений, возникающих при действии расчетной нагрузки, и проверке соблюдения условий прочности по напряжениям.

Однако проверка прочности по напряжениям, как необходимое и обязательное условие расчета прочности корпуса подводных лодок,

еще не гарантируют корпус от разрушения. Дело в том, что гидростатическое давление p является внешним по отношению к корпусу, следовательно, оно вызывает обжатие прочного корпуса. При этом как и обшивке, так и в шпангоутах возникают значительные сжимающие напряжения. В этих условиях имеет место вторая, не менее важная задача — проверка устойчивости обшивки и шпангоутов прочного корпуса. Если жесткость при изгибе обшивки или шпангоутов окажется недостаточной, то даже при относительно небольших сжимающих напряжениях может наступить потеря устойчивости обшивки или шпангоутов вместе с обшивкой. Многократные эксперименты показали, что при напряжениях, меньших места их расчетной глубины, потеря устойчивости обшивки приводит к разрушению прочного корпуса. Следовательно, критическая нагрузка для прочного корпуса оптимальна. В этих условиях необходимо выбрать конструктивные размеры обшивки и шпангоутов прочного корпуса таким образом, чтобы критическая нагрузка была не менее расчетной нагрузки, т. е. обеспечить соблюдение условия

$$P_{cr} > P \quad (27. III)$$

Резюмируя изложенное, можно заключить, что расчет прочности прочного корпуса включает: а) проверку прочности по напряжениям и б) проверку устойчивости.

ГЛАВА IV

РАСЧЕТ ОСНОВНЫХ ЭЛЕМЕНТОВ ПРОЧНОГО КОРПУСА

§ 36. Основные задачи расчета прочности корпуса

Прочный корпус подводных лодок из большей части своей длины конструктируются в виде круговой цилиндрической оболочки постоянной толщины, подкрепленной одинаковыми и равнодействующими упругими вальцами или шпангоутами. Поперечное сечение шпангоутных колец не меняется по периметру цилиндра. Следовательно, такая конструкция прочного корпуса симметрична относительно оси цилиндра.

Как было установлено в третьей главе, расчетной нагрузкой для прочного корпуса является равномерно распределенное давление p , соответствующее расчетной глубине погружения, причем последнее определяется по выражению

$$h_p = 1.4 [A_{sp} + 0.2(L + x)]. \quad (1. IV)$$

Эта внешняя нагрузка симметрична относительно оси цилиндра. Таким образом, как конструкция корпуса, так и внешняя нагрузка симметричны относительно оси цилиндра, а силу чего будет иметь место симметричная деформация круговой цилиндрической оболочки, подкрепленной упругими шпангоутными вальцами. В соответствии с этим и напряженное состояние оболочки будет симметричным относительно оси, так что возникающие в оболочке сжимающие напряжения не будут изменяться в направлении направляющей кругового цилиндра. Естественно, что симметричная деформация оболочки будет иметь место лишь в том случае, если до достижения расчетной нагрузки оболочка не потеряет устойчивость. Поэтому в дополнение к проверке прочности корпуса по напряжениям должна производиться проверка его устойчивости, т. е. проверка соблюдения условия

$$P_{sp} > p. \quad (2. IV)$$

При потере устойчивости оболочки могут встретиться два случая:

1) шпангоуты сохраняют свою круговую форму, а обшивка теряет устойчивость между шпангоутами;

2) обшивка вместе со шпангоутами теряет устойчивость по всей длине отсека между тиребордами.

На изложенного следует, что расчеты прочности и устойчивости прямого корпуса должны включать

- а) проверку прочности обшивки по напряжениям;
- б) проверку прочности шпангоутов по напряжениям;
- в) проверку устойчивости обшивки;
- г) проверку устойчивости шпангоутов.

В соответствии с изложенным планом и перейдем к проверке прочности корпуса по напряжениям.

§ 31. Определение напряжений в обшивке и шпангоутах прямого корпуса

Л. Вантикович Надежда

Дана круговая цилиндрическая оболочка, загруженная по всей боковой поверхности и по торцам внешней равномерно распределенной

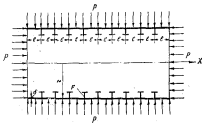


Рис. 31

нагрузкой интенсивности p . Оболочка подкреплена одинаковыми и равноотстоящими упругими шпангоутами постоянного сечения (рис. 31).

Требуется определить напряжения, возникающие в оболочке.

3. Узлы и моменты в круговой цилиндрической оболочке при аксиалетральной ее деформации

Напряжения в оболочке могут быть найдены лишь после определения всех усилий и моментов, в соответствии с чём расчет прочности обшивки и шпангоутов прямого корпуса сводится, во сущности, к определению усилий и моментов. В случае осесимметричной деформации круговой цилиндрической оболочки касательное усилие S и крутящий момент M равны нулю.

Направление нормальных усилий в направлении образующей (действующих в поперечных сечениях оболочки) T_1 , и нормальных усилий, направленных по касательной к направляющей (действующих в продольных сечениях оболочки) T_2 , показано на рис. 32.

Усилия T , часто называют осевыми, а усилия T_r — кольцевыми. На том же рисунке показано направление изгибающих моментов в поперечных сечениях оболочки M_1 и в продольных сечениях M_2 . При этом

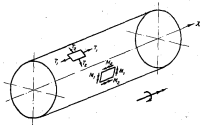


Рис. 32

упомянутые усилия и моменты являются усилиями и моментами, отнесенными к единице длины срединной поверхности.

3. Общий характер деформаций оболочки и шлангутов

Прежде чем перейти к выводам расчетных формул для определения напряжений в оболочке, рассмотрим общий характер деформаций оболочек и шлангутов. В первой главе учебника было показано, что круговая цилиндрическая оболочка постоянной толщины, не подкрепленная шлангутами и загруженная равномерно распределенной нагрузкой в поперечном направлении по торцам, может рассматриваться как безмоментная оболочка. Такая оболочка по всей длине обжимается одинаково, так что нормальное перемещение ψ (которое в данном случае можно называть радиальным обжатием) постоянно во всех точках оболочки и равно

$$\psi = -\frac{P^2}{EI} \left(1 - \frac{r}{R}\right). \quad (3. IV)$$

При этом скжимающие усилия в поперечных сечениях оболочки (осевые усилия) будут

$$T_r = -\frac{Pr}{2}, \quad (4. IV)$$

и соответствующие им осевые скжимающие напряжения

$$\sigma_{zz} = \frac{T_r}{t} = -\frac{P'}{2t}. \quad (5. IV)$$

Сжимающие усилия в продольных сечениях оболочки (кольцевые усилия) определяются по формуле

$$T_1 = -pr, \quad (6. IV)$$

а соответствующие им кольцевые напряжения равны

$$\sigma_{12} = \frac{T_1}{b} = -\frac{pr}{b}. \quad (7. IV)$$

Характер деформации безмоментной круговой цилиндрической оболочки показан на рис. 33:

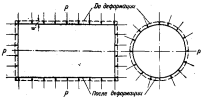


Рис. 33

С точки зрения прочности безреберная оболочка является весьма выгодной, так как отсутствие в ней изгибающих моментов дает возможность наиболее эффективно использовать материал оболочки. Однако спроектировать прочный корпус в виде безреберной оболочки не удается, так как, во-первых, безреберные оболочки оказываются малоустойчивой и, во-вторых, вследствие избыточного наличия начальной технологической погибки, безреберная оболочка плохо сопротивляется изгибу, вызванному наличием погибки. Для устранения этих недостатков обшивку прочного корпуса подкрепляют упругими ребрами или шпангоутами. Таким образом, шпангоуты прочного корпуса призваны выполнять две основные функции: 1) повысить устойчивость оболочки и 2) обеспечивать восприятие изгиба, вызванного начальной погибью.

Постановка упругих кольцевых шпангоутов существенно изменяет общий характер деформации оболочки. Хотя в силу симметрии нагрузки и конструкции оболочки относительно ее оси будет иметь место симметричная деформация, т. е. нормальное перемещение u , а также возникающие усилия по периметру кольца неизменяться не будут, тем не менее по длине оболочки как величина перемещений u , так и величина возникающих усилий и моментов будет меняться. Действительно, в местах установки шпангоутовых колец нормальные перемещения обшивки будут минимальными, а в середине пролета между шпангоутами — максимальными.

Таким образом, кроме радиального перемещения вместе со шпангоутами, обшивка дополнительно прогибается между шпангоутами, в результате чего в ней появляются, кроме сжимающих усилий T_1 и T_2 ,ща и изгибающие моменты M_1 и M_2 . Общий характер деформации

общими, подкрепленной шлангоутами, показан на рис. 34. Такая оболочка уже не является безмоментной, так что возникающие в ней

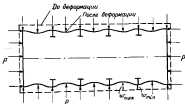


Рис. 34

напряжения будут слагаться из напряжений от усилий (цифровых напряжений), равномерно распределенных по толщине оболочки, и напряжений от моментов (изгибных напряжений), распределенных по толщине по линейному закону.

4. Дифференциальные уравнения равновесия круговой цилиндрической оболочки при оссимметричной деформации

Поскольку толщина обшивки по длине цилиндра не меняется, а шлангоуты, подкрепляющие обшивку, одинаковы и стоят друг от друга на одинаковых расстояниях, то, очевидно, деформация всех пролетов обшивки между шлангоутами будет совершенно одинакова. Поэтому нет необходимости рассматривать задачу о деформации всей оболочки, и достаточно рассмотреть лишь деформацию оболочки в пределах любого пролета по длине, ограниченного двумя соседними шлангоутами (рис. 35). Искомые зависимости получим из соответствующих уравнений общей теории оболочек. В главе I была получена система уравнений равновесия (104.1) для оболочек произвольной формы.

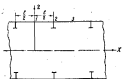


Рис. 35

В качестве криволинейных координат поверхности примем x — отстояние по оси длиного поперечного сечения цилиндра от начала координат и φ — угол, определяющий положение любой точки на направляющей. Тогда параметры Ламе и главные радиусы кривизны будут равны: $A_1 = l$; $A_2 = r$; $R_1 = \infty$; $R_2 = r$. Начало координат примем по середине длины шпанги, так что границами оболочки будут сечения $x = \pm \frac{r}{2}$.

Подставляя в систему (104.1) значения параметров Ламе и главных радиусов кривизны и учитывая, что при оссимметричной деформации

все усилия и моменты от φ не зависят и $\dot{\vartheta} = 0$; $H = 0$, получим следующую систему уравнений равновесия осесимметричной деформации круговой цилиндрической оболочки:

$$\left. \begin{aligned} p \frac{dT_1}{dx} &= 0 \\ \frac{T_1}{r} - \frac{d^2 M_1}{dr^2} &= -P \end{aligned} \right\}. \quad (8. IV)$$

Из первого уравнения системы (8. IV) непосредственно получаем $\frac{dT_1}{dx} = 0$. Интегрируя по x , будем иметь

$$T_1 = \text{const}. \quad (9. IV)$$

Из равенства (9. IV) следует, что осевое усилие T_1 не меняется по длине оболочки, так что во всех точках оболочки усилие T_1 постоянно. Определим это усилие на одном из торцов оболочки. Равнодействующая внешнего давления, действующего на торцевые поверхности оболочки, равна $p\pi r^2$. Эта внешняя нагрузка уравновешивается на краю усилием T_1 , равнодействующая которого равна $T_1 2\pi r$. Приведенная в кружке сумма этих равнодействующих, получим

$$T_1 2\pi r + p\pi r^2 = 0,$$

откуда

$$T_1 = -\frac{Pr}{2}. \quad (10. IV)$$

Усилие T_1 в рассматриваемом случае, так же как и в безмоментной оболочке, равно $-\frac{Pr}{2}$.

Для определения усилий T_2 и изгибающих моментов M_1 и M_2 выражим все усилия и моменты через деформации срединной поверхности.

В главе I были получены следующие зависимости, связывающие усилия и моменты с компонентами деформации срединной поверхности оболочки:

$$\left. \begin{aligned} T_1 &= \frac{Eh}{1-\mu^2} (z_1 + \mu z_2) \\ T_2 &= \frac{Eh}{1-\mu^2} (z_1 + \mu z_1) \\ M_1 &= \frac{Eh}{(1-\mu^2)} (z_1' + \mu z_2') \\ M_2 &= \frac{Eh}{H(1-\mu^2)} (z_2' + \mu z_1') \end{aligned} \right\}. \quad (11. IV)$$

Подставив в первое уравнение системы (11. IV) T_1 из формулы (10. IV), получим

$$-\frac{Pr}{2} = \frac{Eh}{1-\mu^2} (z_1 + \mu z_2).$$

откуда

$$\frac{Eh}{1-\mu^2} z_2 = -\frac{Pr}{2} - \mu \frac{Eh}{1-\mu^2} z_1.$$

Подставив $\frac{E\delta}{1-\mu^2}$ в ω , во второе уравнение системы (11. IV), придём к выражению

$$T_z = EIu_z - p \frac{\delta''}{2}. \quad (12. IV)$$

Но относительное удлинение u_z для круговых цилиндрических оболочек связано с вертикальным перемещением ω (см. ф-лы (77. I)) зависимостью

$$u_z = \frac{\omega}{r}.$$

Таким образом, усилие T_z будет равно

$$T_z = \frac{EI}{r} \omega - p \frac{\delta''}{2}. \quad (13. IV)$$

При осесимметричной деформации круговой цилиндрической оболочки изменение кривизны направляющей x_1 равно нулю и, следовательно,

$$\left. \begin{aligned} M_1 &= \frac{EI}{12(1-\mu^2)} z_1 \\ M_2 &= \frac{EI}{12(1-\mu^2)} z_{1P} \end{aligned} \right\}. \quad (14. IV)$$

Из формулы (14. IV) следует:

$$M_1 = \mu M_2. \quad (15. IV)$$

Для круговых цилиндрических оболочек

$$z_1 = -\frac{d^2\omega}{dx^2}, \quad (16. IV)$$

поэтому

$$M_1 = -\frac{EI}{12(1-\mu^2)} \cdot \frac{d^2\omega}{dx^2}. \quad (17. IV)$$

Подставив во второе уравнение системы (8. IV) M_1 из ф-лы (17. IV) и T_z из ф-лы (13. IV), придём к уравнению

$$\frac{EI}{12(1-\mu^2)} \cdot \frac{d^4\omega}{dx^4} + \frac{EI}{r^2} \omega = -p \left(1 - \frac{\mu}{2}\right). \quad (18. IV)$$

Уравнение (18. IV) есть дифференциальное уравнение осесимметричной деформации круговой цилиндрической оболочки, подкреплённой упругими швагутами. К интегрированию этого уравнения при заданных граничных условиях и сводится решение поставленной задачи.

3. Интегрирование дифференциального уравнения равновесия

Введем обозначения:

$$\left. \begin{aligned} EI &= \frac{EI}{12(1-\mu^2)} \\ k &= \frac{EI}{r^2} \\ q &= -p \left(1 - \frac{\mu}{2}\right) \end{aligned} \right\}, \quad (19. IV)$$

с помощью которых дифференциальному уравнению (18. IV) можно привести вид

$$EI \frac{d^4 w}{dx^4} + kw = q. \quad (20. IV)$$

Уравнение (20. IV) есть квадратное дифференциальное уравнение изгиба призматической балки, лежащей на сплошном упругом основании постоянной жесткости и загруженной равномерно распределенной нагрузкой интенсивности q . Таким образом, дифференциальное уравнение осесимметричной деформации круговой цилиндрической оболочки идентично дифференциальному уравнению изгиба призматической балки на упругом основании, поэтому перейдем к отысканию общего интеграла дифференциального уравнения изгиба балки на упругом основании.

Общий интеграл дифференциального ур-ния (20. IV) состоит из частного решения неоднородного уравнения и общего решения однородного уравнения, т. е.

$$w = w_{sp} + w_{cp}.$$

Частное решение, очевидно, будет равно

$$w_{sp} = \frac{q}{k}. \quad (21. IV)$$

Найдем общий интеграл однородного уравнения

$$EI \frac{d^4 w}{dx^4} + kw = 0. \quad (22. IV)$$

Общий интеграл однородного ур-ния (22. IV) подробно изучен в первой части курса строительной механики корабля, поэтому нет необходимости повторять все выкладки по его определению. Приведем лишь окончательные формулы общего интеграла этого однородного уравнения,

Первая форма

$$w_{cp} = e^{-ix} (B_1 \cos ax + B_2 \sin ax) + e^{ix} (B_3 \cos ax + B_4 \sin ax), \quad (23. IV)$$

где B_1, B_2, B_3, B_4 — произвольные постоянные интегрирования;

$$x = \sqrt{\frac{k}{EI}}. \quad (24. IV)$$

Вторая форма

$$w_{cp} = C_1 \cosh ax \cos ax + C_2 \cosh ax \sin ax + C_3 \sinh ax \cos ax + C_4 \sinh ax \sin ax, \quad (25. IV)$$

где C_1, C_2, C_3, C_4 — произвольные постоянные интегрирования.

Третья форма

$$w_{cp} = D_0 V_0(ax) + D_1 V_1(ax) + D_2 V_2(ax) + D_3 V_3(ax), \quad (26. IV)$$

где D_1, D_2, D_3, D_4 — произвольные постоянные интегрирования;
 V_0, V_1, V_2, V_3 — четыре линейно независимых частных интеграла
 уравнения (22. IV), которые являются функциями Пузыревского. Эти функции имеют вид:

$$\left. \begin{aligned} V_0(ax) &= \operatorname{ch} ax \cos ax \\ V_1(ax) &= \frac{1}{\sqrt{2}} (\operatorname{ch} ax \sin ax + \operatorname{sh} ax \cos ax) \\ V_2(ax) &= \operatorname{sh} ax \sin ax \\ V_3(ax) &= \frac{1}{\sqrt{2}} (\operatorname{ch} ax \sin ax - \operatorname{sh} ax \cos ax) \end{aligned} \right\} . \quad (27. IV)$$

Задача об изгибе симметрических однопролетных балок, опоры которых жестко соединены на концах и лежат на эластичном упругом основании постоянной жесткости E , решена И. Г. Бубновым, при этом были рассмотрены четыре основных случая:

- 1) балка по концам свободно оперта;
- 2) балка по концам жестко заделана;
- 3) балка по концам упруго заделана;
- 4) балка по концам свободно оперта и загружена на один из опор моментом.

П. Ф. Папкович дополнил и обобщил решения И. Г. Бубнова на случай спиральки балке по концам на упругие опоры одинаковой жесткости.

Случай осесимметричной деформации круговой цилиндрической оболочки, опорой на шарниры, соответствует случаю изгиба симметрической балки на упругом основании, жестко заделанной по концам на упругих опорах одинаковой жесткости. Поэтому ограничимся лишь рассмотрением этого последнего случая. Схема загрузки и конструкции балки показана на рис. 36.

Поскольку нагрузка и конструкция балки симметричны относительно ее среднего сечения, то и упругая линия балки будет, очевидно, симметрична относительно этого сечения. Рассмотренное условие симметрии позволяет в общем интеграле (26. IV) положить D_1 и D_3 равными нулю, так как в противном случае прогиб балки не будет симметричным относительно сечения $x = 0$. Следовательно, в рассматриваемом случае общий интеграл уравнения (26. IV) будет иметь вид

$$w = \frac{x^2}{8} + D_0 V_0(ax) + D_2 V_2(ax). \quad (28. IV)$$

Границные условия на правом конце балки определяются равенствами

$$\left. \begin{aligned} \frac{dw}{dx} &= 0 \\ AEI \frac{d^2w}{dx^2} &= w \end{aligned} \right\} \quad (29. IV)$$

при $x = +\frac{l}{2}$

Поставим выражение (28. IV)* в граничные условия (29. IV), получим два уравнения для определения производных постоянных метода гибирования:

$$-V\bar{Q}aD_0V_0(u) + V\bar{Q}aD_0V_1(u) = 0,$$

$$-AEI/2V\bar{Q}a^4[D_0V_1(u) + D_1V_0(u)] - \frac{q}{k} + D_0V_0(u) + D_1V_1(u),$$

где

$$k = a \frac{I}{2} = \sqrt{\frac{EI}{6M}}, \quad (30. IV)$$

Решив эту систему относительно D_0 и D_1 , получим:

$$\left. \begin{aligned} D_0 &= -\frac{q}{k} \cdot \frac{V_1(u)}{[V_0(u)V_1(u) + V_1(u)V_0(u)]} \cdot \frac{1}{1+B_1}, \\ D_1 &= -\frac{q}{k} \cdot \frac{V_0(u)}{[V_0(u)V_1(u) + V_1(u)V_0(u)]} \cdot \frac{1}{1+B_1}, \\ B_1 &= 2V\bar{Q}a^2AEI \cdot \frac{V_1'(u) + V_0'(u)}{[V_0(u)V_1(u) + V_1(u)V_0(u)]} \end{aligned} \right\} \quad (31. IV)$$

Подставив найденные значения D_0 и D_1 в выражение (28. IV), окончательно найдем следующее выражение для прогиба балки:

$$w = \frac{q}{k} \left[1 - \frac{V_1(u)V_0(ux) + V_0(u)V_1(ux)}{V_0(u)V_1(u) + V_1(u)V_0(u)} \cdot \frac{1}{1+B_1} \right]. \quad (32. IV)$$

Изгибающий момент в любом поперечном сечении балки определяется по выражению:

$$M_1 = EI \frac{d^2w}{dx^2} = \frac{qEI}{k} 2x^2 \frac{V_1(u)V_0(ux) - V_0(u)V_1(ux)}{V_0(u)V_1(u) + V_1(u)V_0(u)} \cdot \frac{1}{1+B_1}. \quad (33. IV)$$

Формулы (32. IV) и (33. IV) позволяют определить прогибы и изгибающие моменты в любом сечении по длине балки. Во всем дальнейшем ограничимся определением прогибов и изгибающих моментов в двух наиболее интересных сечениях по длине балки, а именно:

1) в сечении посередине пролета ($x = 0$);

2) в сечении у опоры балки ($x = \frac{l}{2}$).

8. Прогибы балки

В сечении посередине пролета ($x = 0$)

$$w|_{x=0} = \frac{q}{k} \left[1 - \frac{V_1(0)}{V_0(0)V_1(0) + V_1(0)V_0(0)} \cdot \frac{1}{1+B_1} \right] \quad (34. IV)$$

или, если обозначить

$$\varphi_1(u) = \frac{V_1(u)}{V_0(u)V_1(u) + V_1(u)V_0(u)} = \frac{2 \sin u \pm \sin u \cos u}{\sin 2u \mp \cos 2u}, \quad (35. IV)$$

получим

$$w|_{x=0} = \frac{q}{k} \left[1 - \frac{\varphi_1(0)}{1+B_1} \right]. \quad (36. IV)$$

Формулой (36. IV) и определяется прогиб балки посередине пролета. Отметим, что функция $\varphi_1(u)$ протабулирована И. Г. Бубновым и приводится в Приложении 1.

В сечении у опоры ($x = \frac{l}{2}$)

$$M_1 \Big|_{x=\frac{l}{2}} = -\frac{q}{k} \left(1 - \frac{1}{1+B_1} \right) \quad (37, IV)$$

7. Изгибающие моменты

1) Сечение посередине пролета балки ($x = 0$)

$$M_1 \Big|_{x=0} = -\frac{q}{2k^2} \cdot \frac{V_1(u)}{V_0(u)V_1(u) + V_1(u)V_0(u)} \cdot \frac{1}{1+B_1} \quad (38, IV)$$

или, если обозначить

$$x_1(u) = \frac{3}{u^2} \cdot \frac{V_1(u)}{V_0(u)V_1(u) + V_1(u)V_0(u)} = \frac{6}{u^2} \cdot \frac{\sin u \cos u - \sin u \cos u}{\sin 2u + \sin 2u}, \quad (39, IV)$$

получим

$$M_1 \Big|_{x=0} = -\frac{q^2}{24} \cdot \frac{x_1(u)}{1+B_1}. \quad (40, IV)$$

Формулой (40, IV) определяется изгибающий момент посередине пролета балки, причем функция $x_1(u)$ также была протабулирована И. Г. Бубновым и приводится в Приложении I.

2) Сечение у опоры ($x = \frac{l}{2}$)

$$M_1 \Big|_{x=\frac{l}{2}} = \frac{q}{2k^2} \cdot \frac{V_1(u)V_2(u) - V_2(u)V_1(u)}{V_0(u)V_1(u) + V_1(u)V_0(u)} \cdot \frac{1}{1+B_1} \quad (41, IV)$$

или, если обозначить

$$x_2(u) = \frac{3}{2u^2} \cdot \frac{V_1(u)V_2(u) - V_2(u)V_1(u)}{V_0(u)V_1(u) + V_1(u)V_0(u)} = \frac{3}{2u^2} \cdot \frac{\sin 2u - \sin 2u}{\sin 2u + \sin 2u}, \quad (42, IV)$$

получим

$$M_1 \Big|_{x=\frac{l}{2}} = \frac{q^2}{12} \cdot \frac{x_2(u)}{1+B_1}. \quad (43, IV)$$

По формуле (43, IV) определяется изгибающий момент в опорном сечении балки, причем функция $x_2(u)$, протабулированная И. Г. Бубновым, приводится в Приложении I.

В заключение приведем выражение для B_1 в более простом виде. Обозначим

$$p_1(u) = \frac{1}{u\sqrt{2}} \cdot \frac{V_1^2(u) + V_2^2(u)}{V_0(u)V_1(u) + V_1(u)V_0(u)} = \frac{1}{u} \cdot \frac{\sin 2u - \cos 2u}{\sin 2u + \cos 2u}. \quad (44, IV)$$

Тогда функция B_1 может быть представлена в виде

$$B_1 = \frac{AbE}{q} p_1(u). \quad (45, IV)$$

Функция $p_1(u)$ протабулирована П. Ф. Папковичем и также приводится в Приложении I.

Ниже приведены основные формулы, которые будут необходимы для использования в поставленной задаче:

$$\left. \begin{aligned} w &= \frac{x}{k} \left[1 - \frac{\varphi_1(x)}{1 + B_1} \right] & w &= \frac{x}{k} \left(1 - \frac{1}{1 + B_1} \right) \\ M_1 &= -\frac{8x^2}{24} \frac{\varphi_1''(x)}{1 + B_1} & M_1 &= \frac{8x^2}{12} \frac{\varphi_1''(x)}{1 + B_1} \\ \text{при } x = 0 & & \text{при } x = \frac{l}{2} & \end{aligned} \right\} \quad (46. IV)$$

6. Расчетные формулы для определения усилий, контактных и изгибающих в круговой цилиндрической оболочке

Дифференциальное уравнение осесимметричной деформации круговой цилиндрической оболочки подстановкой ф-л (19. IV) свелось к известному дифференциальному уравнению изгиба балки, лежащей на жестко заданных на концах сечениях. При этом для балки, концы которой жестко заданы на упругих опорах с коэффициентом податливости A , были получены расчетные формулы, определяющие прогибы и изгибающие моменты в поперечных сечениях балки.

Обратной постановкой в эти расчетные формулы вместо EI , k и φ их значений, согласно ф-лам (19. IV), мы получим прогиб оболочки w и изгибающий момент в поперечных сечениях оболочки M_1 .

Возникает вопрос, является ли оболочка жестко заданной на шлангоутах и как определить коэффициент податливости шлангоутов A , входящий во все расчетные формулы? Другими словами, возникает вопрос о граничных условиях для случая осесимметричной деформации круговой цилиндрической оболочки, подкрепленной упругими шлангоутами.

Из рассмотрения изгиба оболочки между шлангоутами (см. рис. 34) следует, что угол поворота сечений оболочки по шлангоутам ($x = \pm \frac{l}{2}$) будет равен нулю, т. е.

$$\left. \begin{aligned} \frac{dw}{dx} &= 0, \\ \text{при } x = \pm \frac{l}{2} & \end{aligned} \right\} \quad (47. IV)$$

Это и есть первое граничное условие, определяющее повернут спирально сечение оболочки. Второе граничное условие получим из рассмотрения обжатия шлангоутов и оболочки в месте ее соединения со шлангоутом. Очевидно, прогиб оболочки в сечениях $x = \pm \frac{l}{2}$ будет равен обжатию, или радиальному перемещению, шлангоута.

Пусть $R_{\text{ш}}$ — интенсивность реактивного взаимодействия шлангоута с рассматриваемым участком обшивки (например, с участком 1—2, на рис. 35). Тогда шлангоут может рассматриваться как кольцо, загруженное по всему своему периметру равномерно распределенной скжимающей нагрузкой интенсивности $R_{\text{ш}}$. Обжатие шлангоута равно

$$w_{\text{ш}} = -\frac{R_{\text{ш}} r^2}{E F}.$$

В этом случае коэффициент податливости шлангоута, равный отношению прогиба шлангоута ($w_{\text{ш}}$) к величине реакции шлангоута на обшивку ($-R_{\text{ш}}$), будет $A = \frac{F}{E r^2}$.

В действительности же рассматриваемый шлангут испытывает реактивное усилие не только от рассмотренного участка обшивки $I=2$, но и от смежного участка $2-3$. Вследствие этого действительное обхватие шлангута будет вдвое больше, т. е.

$$W_{\text{из}} = -\frac{\rho R_{\text{шлангута}}^2}{E F}, \quad (48. \text{ IV})$$

и соответствующий этому обхвату коэффициент податливости

$$A = 2 \frac{R^2}{E F}. \quad (49. \text{ IV})$$

Это значение коэффициента податливости и необходимо подставить в полученные расчетные формулы.

Прежде чем перейти к следующим расчетным формулам, определим выражения вспомогательных величин α и B_1 для цилиндрической оболочки.

Параметр α

Для балки на упругом основании параметр α определяется по выражению (30. IV). Подставив в это выражение значения E и EJ согласно ф-лам (19. IV), получим выражение параметра α для оболочки

$$\alpha = \sqrt{\frac{EI - \rho E J K}{EI + \rho J}} = \frac{l}{\sqrt{\rho}} \cdot \frac{1}{2} \sqrt{3(1 - \rho^2)}. \quad (50. \text{ IV})$$

При значении $\rho = 0,3$ параметр α будет

$$\alpha = 0,6425 \frac{l}{\sqrt{\rho}}.$$

Коэффициент B_1

Коэффициент B_1 определяется по ф-ле (45. IV). После подстановки в ф-ль (45. IV) значений A и K получим

$$B_1 = \frac{R}{F} \mu_1(x). \quad (51. \text{ IV})$$

Воспользовавшись ф-лами (46. IV), получим прогибы оболочки w и изгибающие моменты M_1 как посередине пролета между шлангутами, так и в опорном сечении у шлангута.

Подставив в ф-лы (46. IV) значения φ и K согласно ф-лам (19. IV) и значение B_1 , согласно ф-лу (51. IV), получим следующее выражение для прогибов и изгибающих моментов:

В сечении посередине пролета ($x = 0$):

а) прогиб оболочки

$$w|_{x=0} = -\frac{\rho R^2}{E I} \left(1 - \frac{\rho}{2}\right) \left[1 - \frac{\mu_1(0)}{1 + \frac{\rho}{F} \mu_1(0)}\right]. \quad (52. \text{ IV})$$

б) изгибающий момент

$$M_1|_{x=0} = +\frac{\rho R^2}{E I} \left(1 - \frac{\rho}{2}\right) \frac{\mu_1(0)}{1 + \frac{\rho}{F} \mu_1(0)}. \quad (53. \text{ IV})$$

В сечении у шпангоута ($x = \pm \frac{I}{2}$):

а) прогиб оболочки

$$w\Big|_{x=\pm \frac{I}{2}} = -\frac{P^2}{32} \left(1 - \frac{p}{2}\right) \left[1 - \frac{1}{1 + \frac{R}{p} \mu_1(x)}\right]. \quad (54. IV)$$

б) изгибающий момент

$$M_1\Big|_{x=\pm \frac{I}{2}} = -\frac{P^2}{12} \left(1 - \frac{p}{2}\right) \frac{\mu_1(x)}{1 + \frac{R}{p} \mu_1(x)}. \quad (55. IV)$$

Зная прогиб оболочки w и изгибающий момент в ее поперечных сечениях M_1 , можно по формулам (10. IV), (13. IV) и (15. IV) определить остальные усилия и моменты в оболочке.

Ограничимся рассмотрением всех усилий и моментов в оболочке посередине пролета между шпангоутами α на опоре (у шпангоутов).

Сечение посередине пролета ($x=0$)

Осевое усилие T_1 (нормальное усилие в поперечных сечениях оболочки) определяется по формуле (10. IV). Соответствующее этому усилию осевое центральное напряжение σ_1^0 равно

$$\sigma_1^0 = \frac{T_1}{A} = -\frac{P}{32}. \quad (56. IV)$$

Кольцевое усилие T_2 (нормальное усилие в продольных сечениях оболочки) определяется по формуле (13. IV), и соответствующее ему кольцевое центральное напряжение σ_2^0 будет

$$\sigma_2^0 = \frac{T_2}{A} = \frac{E}{r} w - p \frac{P}{32}. \quad (57. IV)$$

Подставив в эту формулу значение w из формулы (52. IV), окончательно получим

$$\sigma_2^0\Big|_{x=0} = \frac{T_2}{A} = -\frac{P^2}{32} \left[1 - \left(1 - \frac{p}{2}\right) \frac{\mu_1(0)}{1 + \frac{R}{p} \mu_1(0)}\right]. \quad (58. IV)$$

Отметим, что напряжения σ_1^0 и σ_2^0 являются симметричными.

Изгибающий момент M_1 (изгибающий момент в поперечных сечениях оболочки) определяется по формуле (53. IV). Соответствующие этому моменту изгибные напряжения распределены по толщине оболочки по линейному закону, при этом наибольшие изгибные напряжения появляются в крайних волокнах и равны

$$\sigma_1^{\text{изг}}\Big|_{x=0} = \pm \frac{4M_1}{I} = \pm \frac{P^2}{48} \left(1 - \frac{p}{2}\right) \frac{\mu_1(0)}{1 + \frac{R}{p} \mu_1(0)}. \quad (59. IV)$$

В формуле (59. IV), как и в последующих формулах, верхний знак относится к внутренним волокнам, а нижний — к наружным.

Изгибающий момент M_2 (изгибающий момент в продольных сечениях оболочки) определяется по формуле (15. IV).

Подставляя в нее значение M_1 из ф-лы (53. IV), окончательно получим

$$M_{\frac{d}{dx} = 0} = \mp \pi \left(1 - \frac{\mu}{2}\right) \frac{E^2}{24} \cdot \frac{x_1(u)}{1 + \frac{\mu}{P} p_1(u)}, \quad (60. IV)$$

поэтому изгибающие напряжение в продольных сечениях оболочки, вызванные изгибающим моментом M_1 , будут равны

$$\sigma_1^{ex} \Big|_{x=0} = \pm \frac{\delta M_1}{B} = \pm \frac{E^2}{48} \mp \left(1 - \frac{\mu}{2}\right) \frac{x_1(u)}{1 + \frac{\mu}{P} p_1(u)}. \quad (61. IV)$$

В заключение перейдем к определению суммарных нормальных напряжений в поперечном и продольном сечениях оболочки.



Рис. 37

Очевидно, суммарные нормальные напряжения будут определяться алгебраическим суммированием цепных и изгибающих напряжений. Суммарные нормальные напряжения в поперечных сечениях оболочки σ_1 будут равны

$$\sigma_1 \Big|_{x=0} = \sigma_1' + \sigma_1^{ex} = -\frac{E^2}{24} \pm \frac{E^2}{48} \left(1 - \frac{\mu}{2}\right) \frac{x_1(u)}{1 + \frac{\mu}{P} p_1(u)}.$$

Приведем эту формулу к более простому виду, для чего выделим общий множитель $-\frac{E^2}{24}$, определяющий осевые напряжения в балансированной оболочке,

$$\sigma_1 \Big|_{x=0} = -\frac{E^2}{24} \left[1 \mp \frac{E^2}{24} \left(1 - \frac{\mu}{2}\right) \frac{x_1(u)}{1 + \frac{\mu}{P} p_1(u)} \right]$$

или

$$\sigma_1 \Big|_{x=0} = -\frac{E^2}{24} \left[1 \mp \frac{2 \left(1 - \frac{\mu}{2}\right)}{\sqrt{3(1-\mu^2)}} \cdot \frac{E^2 p_1(u)}{1 + \frac{\mu}{P} p_1(u)} \right]. \quad (62. IV)$$

По формуле (62. IV) определяются суммарные нормальные напряжения в поперечных сечениях оболочки посередине пролета между шпангоутами.

Эпюры нормальных напряжений по толщине оболочки показаны на рис. 37, а. Из рисунка видно, что в наружном волокне оболочки цепные и изгибные напряжения имеют один и тот же знак. Следовательно, наибольшие суммарные напряжения в поперечном сечении оболочки посередине пролета между шпангоутами возникают в наружных волокнах и равны

$$\sigma_1|_{x=0} = -\frac{F_r}{25} \left[1 + \frac{2(1-\frac{\mu}{2})}{\sqrt{3(1-\mu^2)}} \cdot \frac{\pi^2 I_1(u)}{1 + \frac{B}{F_r} I_1(u)} \right]. \quad (63. IV)$$

Формулой (63. IV) в определяются исходные суммарные осевые напряжения в поперечном сечении оболочки посередине пролета между шпангоутами. Суммарные нормальные напряжения в продольных сечениях оболочки σ_1 при $x = 0$ будут равны

$$\begin{aligned} \sigma_1|_{x=0} &= \sigma_1^t + \sigma_1^{ex} = -\frac{F_r}{3} \left[1 - \left(1 - \frac{\mu}{2}\right) \frac{I_1(u)}{1 + \frac{B}{F_r} I_1(u)} \right] \pm \\ &\quad \pm \frac{F_r^2}{3B} \mu \left(1 - \frac{\mu}{2}\right) \frac{I_1(u)}{1 + \frac{B}{F_r} I_1(u)}. \end{aligned}$$

Приведем эту формулу к более простому виду. Выделим общий множитель, определяющий колышевые напряжения в бессимметричной бесреберной оболочке. В результате получим

$$\sigma_1|_{x=0} = -\frac{F_r}{3} \left[1 - \left(1 - \frac{\mu}{2}\right) \frac{I_1(u)}{1 + \frac{B}{F_r} I_1(u)} \mp \frac{\mu \left(1 - \frac{\mu}{2}\right)}{\sqrt{3(1-\mu^2)}} \cdot \frac{\pi^2 I_1(u)}{1 + \frac{B}{F_r} I_1(u)} \right]. \quad (64. IV)$$

Эпюры нормальных колышевых напряжений показаны на рис. 37, б.

Так как в наружных волокнах оболочки изгибающие напряжения σ_1^{ex} являются сжимающими, то, очевидно, суммарные нормальные колышевые напряжения σ_1 в наружных волокнах будут по абсолютной величине больше напряжений во внутренних волокнах оболочки.

Определением суммарных нормальных напряжений σ_1 и σ_2 исчерпываются расчеты прочности оболочек в сечении посередине пролета между шпангоутами.

Теперь перейдем к определению напряжений в оболочке в сечении у шпангоута.

Сечение у шпангоута $x = \pm \frac{l}{2}$

Осевое усилие T_1 определяется по формуле (10. IV)

$$T_1|_{x=\pm \frac{l}{2}} = -\frac{F_r}{2}. \quad (65. IV)$$

Осевое центральное напряжение σ_1^0 , соответствующее этому усилию, будет

$$\sigma_1^0|_{x=\pm \frac{l}{2}} = \frac{T_1}{B} = -\frac{F_r}{25}. \quad (66. IV)$$

Таким образом, осевое усилие T_1 и соответствующее ему поперечное напряжение σ_1^0 для сечения оболочки у шпангоута ($x = \pm \frac{r}{2}$) равны осевому усилию T_1 и напряжению посередине пролета между шпангоутами ($x = 0$), что является следствием постоянства по длине оболочки осевого усилия T_1 .

Кольцевое усилие T_2 определяется по ф-ле (13. IV). Подставив в эту формулу значение σ из ф-лы (54. IV), получим

$$T_2 \Big|_{x=\pm \frac{r}{2}} = -pr \left[1 - \left(1 - \frac{p}{2} \right) \frac{1}{1 + \frac{R}{p} \mu_1(x)} \right]. \quad (57. IV)$$

Соответствующие этому усилию цепные кольцевые напряжения будут равны

$$\sigma_2^0 \Big|_{x=\pm \frac{r}{2}} = \frac{T_2}{R} = -\frac{p^2}{4} \left[1 - \left(1 - \frac{p}{2} \right) \frac{1}{1 + \frac{R}{p} \mu_1(x)} \right]. \quad (58. IV)$$

Изгибающий момент M_1 определяется по ф-ле (35. IV). Соответствующие этому моменту изгибющие напряжения σ_1^{ex} распре-

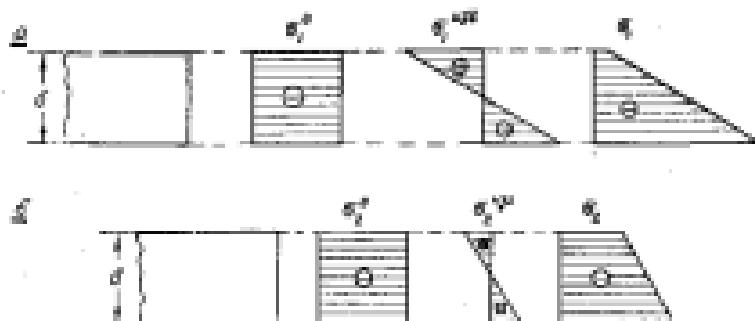


Рис. 38

делены по толщине оболочки по линейному закону, при этом наибольшие изгибающие напряжения показаны в крайних полосках и равны

$$\sigma_1^{ex} \Big|_{x=\pm \frac{r}{2}} = \pm \frac{6M_1}{Rr} = \mp \frac{p^2}{2R^2} \left(1 - \frac{p}{2} \right) \frac{\mu_1(x)}{1 + \frac{R}{p} \mu_1(x)}. \quad (59. IV)$$

Изгибающий момент M_2 определяется по ф-ле (15. IV). Поэтому изгибающие кольцевые напряжения σ_2^{ex} будут равны

$$\sigma_2^{ex} = \pm \frac{6M_2}{Rr} = \mp \frac{p^2}{2R^2} p \left(1 - \frac{p}{2} \right) \frac{\mu_1(x)}{1 + \frac{R}{p} \mu_1(x)}. \quad (70. IV)$$

Теперь перейдем к определению суммарных осевых и кольцевых напряжений в оболочке у шпангоута ($x = \pm \frac{r}{2}$). Суммарные нормаль-

таке напряжение σ_1 в поперечном сечении оболочки (при $x = \pm \frac{P}{2}$) равно

$$\sigma_1|_{x=\pm\frac{P}{2}} = \sigma_0^2 + \sigma_0^{xx} = -\frac{P^2}{2R} \mp \frac{P^2}{2R} \left(1 - \frac{P}{2}\right) \frac{\mu_1(s)}{1 + \frac{R}{P} \mu_1(s)}$$

или

$$\sigma_1|_{x=\pm\frac{P}{2}} = -\frac{P^2}{2R} \left[1 \pm \frac{4 \left(1 - \frac{P}{2}\right)}{\sqrt{3}(1-\mu^2)} \cdot \frac{\mu_1(s)}{1 + \frac{R}{P} \mu_1(s)} \right]. \quad (71. IV)$$

Эпюры нормальных осевых напряжений по толщине оболочки приведены на рис. 38, а. Из рисунка видно, что во внутренних волокнах оболочки шеиные и изгибные напряжения имеют один и тот же знак. Следовательно, в сечении у шлангоута наибольшие по абсолютной величине суммарные напряжения возникают во внутренних волокнах. Суммарные нормальные напряжения σ_1 в продольных сечениях оболочки у шлангоута (при $x = \pm \frac{P}{2}$) будут равны

$$\begin{aligned} \sigma_1|_{x=\pm\frac{P}{2}} &= \sigma_0^2 + \sigma_0^{xx} = -\frac{P^2}{2R} \left[1 - \left(1 - \frac{P}{2}\right) \frac{1}{1 + \frac{R}{P} \mu_1(s)} \right] \mp \\ &\mp \frac{P^2}{2R} \left(1 - \frac{P}{2}\right) \frac{\mu_1(s)}{1 + \frac{R}{P} \mu_1(s)}, \end{aligned}$$

или

$$\sigma_1|_{x=\pm\frac{P}{2}} = -\frac{P^2}{2R} \left[1 - \left(1 - \frac{P}{2}\right) \frac{1}{1 + \frac{R}{P} \mu_1(s)} \pm \frac{2P \left(1 - \frac{P}{2}\right)}{\sqrt{3}(1-\mu^2)} \cdot \frac{\mu_1^2(s)}{1 + \frac{R}{P} \mu_1(s)} \right]. \quad (72. IV)$$

Эпюры нормальных напряжений по толщине оболочки приведены на рис. 38, б.

4. Сводка основных формул

Ниже приводятся окончательные формулы для определения суммарных нормальных напряжений в сечении посередине пролета между шлангоутами ($x = 0$) и в сечении у шлангоута ($x = \pm \frac{P}{2}$).

A. Сечение посередине пролета ($x = 0$)

Осевое напряжение σ_1 определяется по формуле

$$\sigma_1|_{x=0} = -\frac{P^2}{2R} \left[1 \mp \frac{2 \left(1 - \frac{P}{2}\right)}{\sqrt{3}(1-\mu^2)} \cdot \frac{\mu_1^2(s)}{1 + \frac{R}{P} \mu_1(s)} \right],$$

Кольцевое напряжение σ_2 равно

$$\sigma_2|_{x=0} = -\frac{P^2}{2R} \left[1 - \left(1 - \frac{P}{2}\right) \frac{\mu_1(s)}{1 + \frac{R}{P} \mu_1(s)} \mp \frac{P \left(1 - \frac{P}{2}\right)}{\sqrt{3}(1-\mu^2)} \cdot \frac{\mu_1^2(s)}{1 + \frac{R}{P} \mu_1(s)} \right].$$

B. Сечение у шлангоута ($x = \pm \frac{I}{2}$)

Осевое напряжение σ_1 определяется по формуле

$$\sigma_1|_{x=\pm\frac{I}{2}} = -\frac{P'}{2} \left[1 \pm \frac{4\left(1-\frac{\mu}{2}\right)}{\sqrt{3}(1-\mu^2)} \cdot \frac{s^2 \gamma_2(s)}{1 + \frac{\mu}{P'} \mu_1(s)} \right].$$

Кольцевое напряжение σ_3 равно

$$\sigma_3|_{x=\pm\frac{I}{2}} = -\frac{P'}{2} \left[1 - \left(1 - \frac{\mu}{2}\right) \frac{1}{1 + \frac{\mu}{P'} \mu_1(s)} \pm \frac{2\mu\left(1 - \frac{\mu}{2}\right)}{\sqrt{3}(1-\mu^2)} \cdot \frac{s^2 \gamma_2(s)}{1 + \frac{\mu}{P'} \mu_1(s)} \right].$$

В дальнейшем будем интересоваться только наибольшими значениями суммарных корицневых напряжений. Очевидно, наибольшие суммарные напряжения возникают в тех волокнах, где цепные и изгибные напряжения имеют один и тот же знак, т. е. являются синхронными. Поэтому в сечениях посередине пролета между шлангоутами наибольшие суммарные напряжения возникают в наружных волокнах, а в сечении у шлангоутов, наоборот, во внутренних волокнах.

Анализ показывает, что осевые суммарные нормальные напряжения σ_1 в сечении у шлангоута всегда больше таковых в сечении посередине пролета между шлангоутами. Поэтому в практических расчетах целесообразно определять осевые напряжения σ_1 только в сечении у шлангоута и во внутренних волокнах по формуле

$$\sigma_1|_{x=\pm\frac{I}{2}} = -\frac{P'}{2} \left[1 + \frac{4\left(1 - \frac{\mu}{2}\right)}{\sqrt{3}(1-\mu^2)} \cdot \frac{s^2 \gamma_2(s)}{1 + \frac{\mu}{P'} \mu_1(s)} \right]. \quad (73. IV)$$

Наибольшие суммарные кольцевые напряжения возникают в сечении посередине пролета между шлангоутами и против в наружных волокнах. Эти напряжения определяются по формуле

$$\sigma_3|_{x=0} = -\frac{P'}{2} \left[1 - \left(1 - \frac{\mu}{2}\right) \frac{\gamma_1(s)}{1 + \frac{\mu}{P'} \mu_1(s)} + \frac{\mu\left(1 - \frac{\mu}{2}\right)}{\sqrt{3}(1-\mu^2)} \cdot \frac{s^2 \gamma_2(s)}{1 + \frac{\mu}{P'} \mu_1(s)} \right]. \quad (74. IV)$$

Для стали, принимая $\mu = 0,3$, получим

$$\sigma_1|_{x=\pm\frac{I}{2}} = -\frac{P'}{2} \left[1 + 2,05 \frac{s^2 \gamma_2(s)}{1 + \frac{\mu}{P'} \mu_1(s)} \right].$$

$$\sigma_3|_{x=0} = -\frac{P'}{2} \left[1 - 0,85 \frac{\gamma_1(s)}{1 + \frac{\mu}{P'} \mu_1(s)} + 0,154 \frac{s^2 \gamma_2(s)}{1 + \frac{\mu}{P'} \mu_1(s)} \right].$$

Введем обозначения:

$$\beta = \frac{R}{r}$$

$$1 + 2.06 \frac{\mu^2 J_1(\mu)}{1 + J_{11}(\mu)} = k_1 \quad (75. IV)$$

$$1 - 0.85 \frac{\mu J_0}{1 + J_{11}(\mu)} + 0.154 \frac{\mu^2 J_1(\mu)}{1 + J_{11}(\mu)} = k_2 \quad (76. IV)$$

Окончательно суммарные напряжения в оболочке будут равны

$$\sigma_r \Big|_{r=\pm \frac{R}{2}} = -k_1 \frac{P}{2\pi}, \quad (76. IV)$$

$$\sigma_{\theta, \text{сум}} = -k_2 \frac{P}{3}. \quad (77. IV)$$

Коэффициенты k_1 и k_2 имеют простой физический смысл: они определяют то число, на которое необходимо умножить напряжение в безмоментной безреберной оболочке, чтобы определить наибольшие суммарные напряжения в оболочке, подкрепленной шлангоутами.

16. Определение напряжений в шлангоутах

До сих пор мы определяли осевые и кольцевые напряжения в оболочке. Переходим теперь к определению напряжений в шлангоутах. Шлангоуты представляют собой замкнутые круговые кольца, загруженные различными распределенными реактивными усилиями от оболочки оболочки. Естественно, что в шлангоутах кольцах будут возникать только кольцевые ск�зывающие напряжения $\sigma_{\text{шл}}$.

Прогибы или радиальные перемещения шлангоутов будут, очевидно, равны прогибам оболочки в месте притыкания к шлангоутам, поскольку шлангоуты и оболочка соединены между собой при помощи клепки или сварки. Следовательно,

$$\omega_{\text{шл}} = \omega \Big|_{r=\pm \frac{R}{2}},$$

Относительное удлинение цилиндрической оболочки в кольцевом направлении определяется по выражению $\epsilon_r = \frac{\omega}{P}$. Таким образом, относительное удлинение шлангоутов будет

$$\epsilon_{\text{шл}} = \frac{\omega_{\text{шл}}}{P} = \frac{\omega \Big|_{r=\pm \frac{R}{2}}}{P}.$$

Нормальные напряжения, возникающие в шлангоуте, согласно закону Гука будут равны

$$\sigma_{\text{шл}} = E \epsilon_{\text{шл}} = E \frac{\omega \Big|_{r=\pm \frac{R}{2}}}{P}. \quad (78. IV)$$

Подставив в выражение (78. IV) значение σ при $x = \pm \frac{L}{2}$, окончательно получим

$$\sigma_{\text{из}} = - \frac{F}{b} \left(1 - \frac{\rho}{J} \right) \left[1 - \frac{1}{1 + \beta \mu_1(\rho)} \right], \quad (79. IV)$$

где ρ определяется по формуле (78. IV).

Таким образом, напряжения в шпангоутах определяются по формуле (79. IV). Видно, что эти напряжения являются симметричными.

Для стали, принимая $\rho = 0,3$, получим

$$\sigma_{\text{из}} = - 0,85 \frac{F}{b} \left[1 - \frac{1}{1 + \beta \mu_1(\rho)} \right].$$

Обозначив

$$k = 0,85 \left[1 - \frac{1}{1 + \beta \mu_1(\rho)} \right], \quad (80. IV)$$

окончательно будем иметь

$$\sigma_{\text{из}} = - k \frac{F}{b}. \quad (81. IV)$$

II. Практическая схема расчета

Исходные данные: r , δ , J , F и ρ .

Определяются:

1. Параметр α : $\alpha = 0,6425 \frac{J}{\sqrt{r \delta}}$.
2. По таблицам Приложения I для данного параметра α функции Бубнова $\varphi_1(\alpha)$, $\chi_1(\alpha)$, $\chi_2(\alpha)$, а также функция Папковича $\mu_1(\alpha)$.
3. Параметр β : $\beta = \frac{R}{F}$.
4. Коэффициенты k_1 , k_2 и k :

$$k_1 = 1 + 2,06 \frac{\chi_2(\alpha)}{1 + \mu_1(\alpha)},$$

$$k_2 = 1 - 0,85 \frac{\varphi_1(\alpha)}{1 + \mu_1(\alpha)} + 0,154 \frac{\chi^2 \chi_1(\alpha)}{1 + \mu_1(\alpha)},$$

$$k = 0,85 \left[1 - \frac{1}{1 + \beta \mu_1(\rho)} \right].$$

5. Наибольшие суммарные напряжения в оболочке: осевое напряжение σ_1 в сечениях у шпангоутов

$$\sigma_1 \Big|_{x=\pm \frac{L}{2}} = - k_1 \frac{F}{2b},$$

кольцевое напряжение σ_2 посередине пролета между шпангоутами

$$\sigma_2 \Big|_{x=0} = - k_2 \frac{F}{b}.$$

6. Сжимающие напряжения в шпангоутах

$$\sigma_{\text{из}} = - k \frac{F}{b}.$$

§ 32. Более точное решение задачи о напряжениях в обшивке и шпангоутах прочного корпуса

Решение Папковича

Полученное в предыдущем параграфе решение задачи о напряжениях в обшивке прочного корпуса подсводных лодок основано на результатах линейной теории оболочек, и применительно к этой теории такое решение является вполне строгим. П. Ф. Папковичем было предложено более точное решение этой же задачи, основанное на учете одного из факторов нелинейной теории оболочек.*

Предварительно рассмотрим факторы, которые отличают нелинейную теорию оболочек от линейной. В общем случае нелинейность задачи можно разделить на физическую и геометрическую.

Физическая нелинейность задачи состоит в том, что в рассматриваемой области напряжений и деформаций материал не следует закону Гука, так что зависимость между напряжениями и соответствующими им деформациями несетает быть линейной. Особенно ярко проявляется физическая нелинейность при покоянни пластиических деформаций, хотя в общем случае физическая нелинейность имеет место и до появления пластиических деформаций для материалов, у которых зависимость напряжений от деформаций в упругой области не является линейной.

В данном параграфе факторы физической нелинейности задачи рассматриваются не будут.

Геометрическая нелинейность включает в себя учет трех следующих факторов:

1. Учет производных перемещений и их производных в выражениях для компонентов деформации срединной поверхности оболочки.
2. Учет удлинений и сдвигов элемента срединной поверхности при написании уравнений равновесия элемента оболочки.
3. Учет углов поворота при составлении уравнений равновесия оболочки.

В рассматриваемой задаче перемещения u , v и w столь малы, что производными перемещений и их производных можно пренебречь в сравнении с их первыми степенями. Поэтому первый фактор геометрической нелинейности учитываться не будет. Что касается второго фактора геометрической нелинейности (учета удлинений и сдвигов элемента при написании уравнений равновесия), то необходимо отметить, что для большинства материалов относительное удлинение в упругой области не превышает 0,01, а для стальных не превышает 0,006; упругий сдвиг примерно в два раза меньше относительного удлинения. Поэтому при составлении уравнений равновесия изменения размеров элемента при деформации можно также пренебречь.

Остается третий фактор — учет углов поворота при составлении уравнений равновесия оболочки. Совершенно очевидно, что при воздействии на оболочку внешней нагрузки различия между внешней нагрузкой и возникающими в оболочке усилиями и моментами наступает не в начальном (до приложения нагрузки), а в деформированном положении оболочки. Поэтому при составлении уравнений равновесия необходимо при проектировании сил учитывать тот поворот, который получает элемент срединной поверхности при деформации. В линейной же

* П. Ф. Папкович. О изображении в планиграфической оболочке прочного корпуса подводных лодок. Бюллетень НТК УВМС. Вып. I. 1928 (то же см. в книге П. Ф. Папковича „Строительная механика кораблей”, ч. I, т. II. Морской транспорт”, 1947).

теории оболочек проектирование всех сил производится на начальное положение элемента, а не на деформированное. Такое допущение линейной теории оболочек является вполне оправданным, так как в большинстве практических задач получает величинности и приводят к сколько-нибудь значительной погрешности, в результате получается значительно проще и быстрее. В рассматриваемом ниже решении Панковича при составлении уравнения равновесия элемента деформированной срединной поверхности производится учет проекции осевых усилий для деформированной оболочки на нормаль к срединной поверхности до деформации.

Необходимо отметить, что учет проекции усилий на нормаль к срединной поверхности был впервые выполнен С. П. Тимошенко, который и получил дифференциальное уравнение ососимметричной деформации круговой цилиндрической оболочки для данного случая. П. Ф. Панкович пронтегрировал это уравнение для случаев деформации оболочки, подкрепленной упругими ребрами жесткости, претабулировал входящие в решение функции и составил достаточно простую расчетную схему.

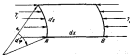


Рис. 39

нет необходимости рассматривать всю задачу сначала. Достаточно получить дополнительный член от усилия T_1 , который необходимо учесть во втором уравнении системы (8. IV), или, в окончательном виде, в ур-ии (18. IV).

Рассмотрим элемент срединной поверхности длиной dx и шириной dz , причем $ds = dr$, где $d\varphi$ — малый центральный угол, ограничивающий рассматриваемый элемент вдоль направляющей (рис. 39).

Если бы оболочка не изгибалась между штангутами, то усилие T_1 было бы направлено вдоль оси X , и составляющей по ось Z (нормаль к срединной поверхности до деформации) это усилие не давало бы. Однако при изгибе оболочки усилие T_1 уже не будет направлено вдоль оси X и поэтому будет давать нормальную составляющую, которую и следует учесть.

Рассмотрим переднюю грань AB элемента до и после деформации (рис. 40). Положение передней грани элемента до деформации оболочки показано пунктиром, а после деформации — сплошной линией. Угол поворота дуги AB в точке A , очевидно, будет равен $\frac{d\varphi}{dx}$, а угол поворота в точке B , отстоящей от точки A на расстояния dx , будет равен

$$\frac{d\varphi}{dx} + \frac{d}{dx} \left(\frac{d\varphi}{dx} \right) dx = \frac{d\varphi}{dx} + \frac{d^2\varphi}{dx^2} dx.$$

Нормальная составляющая усилия T_1 (проекция на ось Z) будет равна произведению усилия на синус угла, образованного усилием с осью X . Однако по малости этого угла его синус может быть принят равным самому углу.

Таким образом, проекция усилий T_1 на ось Z будет

$$+ T_1 \frac{dw}{dx} - T_1 \left(\frac{dw}{dx} + \frac{\partial w}{\partial r} dx \right) = - T_1 \frac{\partial w}{\partial r} dx.$$

Но по определению усилие T_1 есть усилие, приходящееся из единицы длины. Полное усилие, приходящееся на грань элемента dx , будет $T_1 dx = T_1 r d\varphi$. Следовательно, полная нормальная составляющая усилия T_1 , приходящаяся на рассматриваемый элемент, равна

$$- T_1 \frac{\partial w}{\partial r} dx r d\varphi.$$

Отнеся это усилие к площади элемента $r d\varphi dx$, мы и получим искомый дополнительный член, который необходимо учесть в уравнении (18. IV), т. е. член $-T_1 \frac{\partial w}{\partial r}$. Но усилие T_1 (см. ф-лу (10. IV)) равно $T_1 = -\frac{E}{2}$. Тогда дополнительный член будет равен $\frac{E}{2} \cdot \frac{\partial w}{\partial r}$.

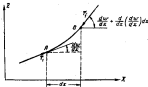


Рис. 40

В итоге дифференциальное уравнение осесимметричной деформации круговой цилиндрической оболочки, подкрепленной упругими кольцевыми ребрами, выражается уравнением

$$\frac{Ew}{12(1-\mu^2)} \cdot \frac{\partial^2 w}{\partial x^2} + \frac{E}{2} \cdot \frac{\partial w}{\partial r} + \frac{E}{r^2} w = -p \left(1 - \frac{p}{2}\right). \quad (82. IV)$$

К интегрированию этого уравнения при принятых граничных условиях и сводится решение поставленной задачи.

Решение ур-ния (82. IV) будет состоять из решения однородного уравнения (без правой части) и частного решения, т. е.

$$w = w_{cp} + w_{sp}.$$

Поскольку в правой части ур-ния (82. IV) стоит постоянная величина, то частное решение будет тем же, что и в ур-нии (18. IV), т. е.

$$w_{cp} = -\frac{pr^2}{E} \left(1 - \frac{p}{2}\right). \quad (83. IV)$$

Перейдем к определению решения однородного уравнения

$$\frac{Ew}{12(1-\mu^2)} \cdot \frac{\partial^2 w}{\partial x^2} + \frac{E}{2} \cdot \frac{\partial w}{\partial r} + \frac{E}{r^2} w = 0. \quad (84. IV)$$

Разделим все члены уравнения на цилиндрическую жесткость, обозначив $\frac{E\psi}{2(1-\mu^2)}$. Получим

$$\frac{d^2w}{dx^2} + \frac{P}{2} \cdot \frac{12(1-\mu^2)}{E\psi} \cdot \frac{dw}{dx} + \frac{\alpha^2}{x^2} \cdot \frac{12(1-\mu^2)}{E\psi} w = 0. \quad (85. IV)$$

Введем следующие обозначения:

$$\left. \begin{aligned} 2m &= \frac{P}{2E\psi} 12(1-\mu^2) \\ \alpha^2 &= \frac{12(1-\mu^2)}{E\psi x^2} \end{aligned} \right\}. \quad (86. IV)$$

В этом случае уравнение (85. IV) примет вид

$$\frac{d^2w}{dx^2} + 2m \frac{dw}{dx} + \alpha^2 w = 0. \quad (87. IV)$$

Характеристическое уравнение дифференциального уравнения $x^2 + 2mx + \alpha^2 = 0$ имеет следующие корни:

$$\left. \begin{aligned} s_1 &= -V -m + V m^2 - \alpha^2 \\ s_2 &= +V -m - V m^2 - \alpha^2 \\ s_3 &= -V -m + V m^2 - \alpha^2 \\ s_4 &= -V -m - V m^2 - \alpha^2 \end{aligned} \right\}. \quad (88. IV)$$

При практических расчетах прочности коробов подводных лодок, как правило, $m^2 < \alpha^2$, поэтому все корни характеристического уравнения являются комплексными. Известно, что в общем виде всякое комплексное число может быть представлено выражением

$$z = a + i\beta. \quad (89. IV)$$

Сравнив корни характеристического уравнения, определенные по формулам (89. IV) и (88. IV), будем иметь

$$\beta^2 - \alpha^2 = -m,$$

$$i\beta\beta = \frac{\beta^2 - \alpha^2}{4},$$

откуда

$$\left. \begin{aligned} a &= V \frac{1}{2} (a - m) = \frac{V 2(1 - \mu^2)}{\sqrt{\alpha^2}} V 1 - \frac{1}{4} \\ \beta &= V \frac{1}{2} (a + m) = \frac{V 2(1 - \mu^2)}{\sqrt{\alpha^2}} V 1 + \frac{1}{4} \end{aligned} \right\}. \quad (90. IV)$$

т.е.

$$\gamma = \frac{m}{\sqrt{\alpha}} = \frac{V 2(1 - \mu^2)}{2} \cdot \frac{Pr^2}{E\psi}. \quad (91. IV)$$

Для стали, если принять $E = 2 \cdot 10^5$ кг/см² и $\nu = 0,3$, будем иметь

$$\alpha = \frac{1,285}{\sqrt{\rho t}} \sqrt{1 - \gamma},$$

$$\beta = \frac{1,285}{\sqrt{\rho t}} \sqrt{1 + \gamma},$$

$$\gamma = \left(\frac{4,200r}{795} \right)^2 \frac{\rho}{t}.$$

Следовательно, корни характеристического уравнения представлены в комплексной форме (89. IV).

Решение однородного ур-ния (87. IV) будет

$w_{sp} = C_1 \operatorname{ch} \alpha x \cos \beta x + C_2 \operatorname{sh} \alpha x \sin \beta x + C_3 \operatorname{ch} \alpha x \sin \beta x + C_4 \operatorname{sh} \alpha x \cos \beta x,$
и общий интеграл ур-ния (82. IV)

$$w = -\frac{\mu^2}{EI} \left(1 - \frac{x}{2} \right) + C_1 \operatorname{ch} \alpha x \cos \beta x + C_2 \operatorname{sh} \alpha x \sin \beta x + C_3 \operatorname{ch} \alpha x \sin \beta x + C_4 \operatorname{sh} \alpha x \cos \beta x. \quad (92. IV)$$

Входящие в общий интеграл постоянные интегрирования C_1, C_2, C_3, C_4 определяются из граничных условий. Поскольку практические условия нами уже сформулированы в § 31, нет необходимости повторять их вывод. Приведем эти условия в окончательном виде:

1. Углы поворота оболочек у шпангоутов ($x = \pm \frac{l}{2}$)

$$\left. \frac{dw}{dx} \right|_{x=\pm \frac{l}{2}} = 0. \quad (93. IV)$$

2. Прогибы оболочек у шпангоутов ($x = \pm \frac{l}{2}$)

$$w \Big|_{x=\pm \frac{l}{2}} = W_{sp},$$

но

$$w_{sp} = AEI \frac{d^2 w}{dx^2},$$

где A — коэффициент податливости шпангоута, который, согласно формуле (49. IV), равен

$$A = 2 \frac{\rho^2}{E^2} t.$$

Таким образом, второе граничное условие будет

$$w \Big|_{x=\pm \frac{l}{2}} = \frac{2\rho^2}{E^2} EI \frac{d^2 w}{dx^2}. \quad (94. IV)$$

Определено из граничных условий (ф-лы (93. IV) и (94. IV)) постоянные интегрирования C_1 , C_2 , C_3 и C_4 , получим

$$\left. \begin{aligned} C_1 &= -\frac{2\rho r^2}{EI} \left(1 - \frac{\mu}{2}\right) \frac{u_1 \sin u_1 \cos u_2 + u_2 \sin u_2 \sin u_1}{u_1 \sin 2u_1 + u_2 \sin 2u_2}, \\ C_2 &= +\frac{2\rho r^2}{EI} \left(1 - \frac{\mu}{2}\right) \frac{u_1 \sin u_1 \sin u_2 - u_2 \sin u_2 \cos u_1}{u_1 \sin 2u_1 + u_2 \sin 2u_2}, \\ C_3 &= 0, \\ C_4 &= 0, \end{aligned} \right\}. \quad (95. IV)$$

где

$$u_1 = \frac{1}{1+R}, \quad (96. IV)$$

Здесь

$$R = \frac{R}{r} F_1(u_1, u_2), \quad (97. IV)$$

причем

$$F_1(u_1, u_2) = \sqrt{1-\gamma^2} \frac{\sin 2u_1 - \cos 2u_2}{u_1 \sin 2u_1 + u_2 \sin 2u_2}, \quad (98. IV)$$

где

$$\left. \begin{aligned} u_1 &= \alpha \sqrt{1-\gamma^2}, \\ u_2 &= \alpha \sqrt{1+\gamma^2}, \end{aligned} \right\}, \quad (99. IV)$$

$$\gamma = \frac{\mu}{\sqrt{\pi}} = \frac{\sqrt{3}(1-\mu^2)}{2} = \frac{\mu^2}{2\sqrt{3}},$$

Для стали: $\mu = 0,6428 \frac{1}{\sqrt{\pi}}$; $\gamma = \left(\frac{0,203^2}{100}\right)^{\frac{1}{2}} = \frac{p}{10}$.

Таким образом, прогиб оболочки w будет равен

$$w = -\frac{\rho r^2}{EI} \left(1 - \frac{p}{2}\right) + C_1 \sin \alpha x \cos \beta x + C_2 \sin \alpha x \sin \beta x, \quad (100. IV)$$

где C_1 и C_2 определяются по ф-лам (95. IV).

По формуле (100. IV) можно определить прогиб в любой точке оболочки. В большинстве случаев прогиб сам по себе практического интереса не представляет, однако значение его необходимо для определения кольцевого усилия T_2 по ф-ле (13. IV).

По формулам (10. IV) и (13. IV) и определяются осевые и кольцевые усилия T_1 и T_2 в любой точке оболочки. Соответствующие этим усилиям кольцевые и осевые цепные напряжения будут

$$\sigma_1' = \frac{T_1}{r}; \quad \sigma_2' = \frac{T_2}{r}. \quad (101. IV)$$

Для определения изгибающих напряжений необходимо знать изгибающие моменты M_1 и M_2 .

Изгибающий момент в поперечных сечениях оболочки M_1 и изгибающий момент в продольных сечениях оболочки M_2 вычисляются по ф-лам (17. IV) и (15. IV).

Всего вторые производные прогиба оболочек от x , можно по этим формулам определить изгибающие моменты в любой точке оболочки.

Соответствующие осевые (σ_1^{os}) и кольцевые (σ_2^{os}) изгибные напряжения в крайних по толщине фибрах находятся по выражениям

$$\sigma_1^{os} = \pm \frac{6M_1}{\pi r}; \quad \sigma_2^{os} = \pm \frac{6M_2}{\pi r}. \quad (102. IV)$$

Таким образом, суммарные напряжения в любой точке оболочки (в крайних по толщине фибрах) будут равны

$$\left. \begin{aligned} \sigma_1 = \sigma_1^0 + \sigma_1^{os} &= \frac{P_1}{r} \pm \frac{6M_1}{\pi r}, \\ \sigma_2 = \sigma_2^0 + \sigma_2^{os} &= -\frac{P_1}{r} \pm \frac{6M_2}{\pi r}, \end{aligned} \right\} \quad (103. IV)$$

Как и ранее, определим осевые и кольцевые напряжения в оболочке в точках посередине пролета между шпангоутами ($x = 0$) и в точках у шпангоута ($x = \pm \frac{l}{2}$), а также кольцевые напряжения в самих шпангоутах.

A. Сечения посередине пролета ($x = 0$)

1. Прогиб оболочки равен

$$\omega \Big|_{x=0} = -\frac{P_1^2}{EI} \left(1 - \frac{\mu}{2}\right) + \frac{P_1^2}{EI} s_4 = -\frac{2-\mu}{\sqrt{2(1-\mu)}} P_1^2 \left(1 - \frac{2}{2-\mu} s_4\right). \quad (104. IV)$$

При $\mu = 0,3$

$$\omega \Big|_{x=0} = -1,0376 (1 - 1,175 s_4).$$

где

$$s_4 = s_4 F_4(\mu_1, \mu_2), \quad (105. IV)$$

причем

$$F_4(\mu_1, \mu_2) = (2-\mu) \frac{s_1 \operatorname{ch} s_1 \sin s_2 + s_2 \operatorname{sh} s_1 \cos s_2}{s_2 \operatorname{sh} 2s_1 + s_1 \operatorname{sin} 2s_2}. \quad (106. IV)$$

2. Осевое усилие P_1 и осевое цепное напряжение σ_1^0 определяются по формулам

$$P_1 \Big|_{x=0} = -\frac{P_1^2}{2}, \quad (107. IV)$$

$$\sigma_1^0 \Big|_{x=0} = -\frac{P_1^2}{2\pi r}. \quad (108. IV)$$

3. Изгибающий момент в поперечном сечении оболочки M_1 и соответствующее ему изгибное напряжение σ_1^{os} будут

$$M_1 \Big|_{x=0} = -\frac{6P_1^2}{\pi r} s_4, \quad (109. IV)$$

где

$$s_4 = s_4 F_4(\mu_1, \mu_2), \quad (110. IV)$$

причем

$$F_4(\mu_1, \mu_2) = \frac{6 \left(1 - \frac{\mu}{2}\right)}{\sqrt{2(1-\mu)}} \cdot \frac{s_1 \operatorname{ch} s_1 \sin s_2 + s_2 \operatorname{sh} s_1 \cos s_2}{s_2 \operatorname{sh} 2s_1 + s_1 \operatorname{sin} 2s_2}. \quad (111. IV)$$

При $\gamma = 0,3$

$$F_1(u_1, u_2) = 3,08 \frac{u_1 \sin u_1 \sin u_2 - u_2 \sin u_1 \cos u_2}{u_1 \sin 2u_1 + u_2 \sin 2u_2}.$$

Основное изгибающее напряжение $\sigma_y^{\text{из}}$ в крайних волокнах обшивки

$$\sigma_y^{\text{из}} \Big|_{x=0} = \mp \frac{P r}{l} u_2. \quad (112. IV)$$

4. Суммарные нормальные напряжения в поперечном сечении определяются по формуле

$$\sigma_y \Big|_{x=0} = \sigma_y^0 + \sigma_y^{\text{из}} = - \frac{P r}{l} (0,5 \pm u_2). \quad (113. IV)$$

5. Колышевое усилие T_1 и колышевое цепное напряжение σ_T^0 равны

$$T_1 \Big|_{x=0} = \frac{P r}{r} w = p \frac{P r}{2} = - p r (1 - u_2), \quad (114. IV)$$

$$\sigma_T^0 \Big|_{x=0} = - \frac{P r}{l} (1 - u_2) = - K_2 \frac{P r}{l}, \quad (115. IV)$$

где

$$K_2 = 1 - u_2. \quad (116. IV)$$

Изменение коэффициента K_2 в зависимости от параметра u и отношения $\frac{p}{r}$ показано на рис. 41.

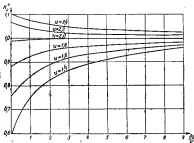


Рис. 41

6. Изгибающий момент M_2 и соответствующие ему напряжения в крайних волокнах $\sigma_y^{\text{из}}$

$$M_2 = - p \frac{P r^2}{l} u_2, \quad (117. IV)$$

$$\sigma_y^{\text{из}} = \mp p \frac{P r}{l} u_2. \quad (118. IV)$$

7. Суммарное кольцевое напряжение σ_3 будет

$$\sigma_3|_{r=a} = \sigma_3^0 + \sigma_3^{ex} = -\frac{Pr}{b}(1 - a_1 \pm \mu a_2). \quad (119, IV)$$

8. Сечение у эпиконуса ($x = \pm \frac{r}{2}$)

1. Против оболочки α равен

$$w|_{x=\pm \frac{r}{2}} = -\frac{Pr^2}{2E} \left(1 - \frac{r}{2}\right) + \frac{Pr^2}{2E} \left(1 - \frac{r}{2}\right) a_1 = -\frac{2\left(1 - \frac{r}{2}\right)}{P^2(1-\mu^2)} r^2 (1 - a_1). \quad (120, IV)$$

При $r = 0,3$

$$w|_{x=\pm \frac{r}{2}} = -1,03p(1 - a_1).$$

2. Осьное усилие T_1 и осевое цепное напряжение σ_1^0 определяются по формулам

$$T_1|_{x=\pm \frac{r}{2}} = -\frac{Pr}{2}, \quad (121, IV)$$

$$\sigma_1^0|_{x=\pm \frac{r}{2}} = -\frac{Pr}{2E}. \quad (122, IV)$$

3. Изгибающий момент в поперечном сечении оболочки M_1 и соответствующее ему изгибное напряжение σ_1^{ex} равны

$$M_1|_{x=\pm \frac{r}{2}} = \frac{Pr^3}{8} a_2, \quad (123, IV)$$

$$\sigma_1^{ex}|_{x=\pm \frac{r}{2}} = \pm \frac{Pr}{V} a_2, \quad (124, IV)$$

где

$$a_2 := a_1 F_2(a_1, a_2), \quad (125, IV)$$

причем

$$F_2(a_1, a_2) = \frac{3\left(1 - \frac{r}{2}\right)}{\sqrt{3(1-\mu^2)}} \cdot \frac{a_2 \sin 2a_1 - a_1 \sin 2a_2}{a_2 \sin 2a_1 + a_1 \sin 2a_2}. \quad (126, IV)$$

При $r = 0,3$

$$F_2(a_1, a_2) = 1,54 \frac{a_2 \sin 2a_1 - a_1 \sin 2a_2}{a_2 \sin 2a_1 + a_1 \sin 2a_2}.$$

4. Суммарные нормальные напряжения в поперечном сечении будут

$$\sigma_1|_{x=\pm \frac{r}{2}} = \sigma_1^0 + \sigma_1^{ex} = -\frac{Pr}{8} (0,5 \mp a_1). \quad (127, IV)$$

5. Кольцевое усилие T_2 и кольцевое цепное напряжение σ_2^0 определяются по формулам

$$T_2|_{x=\pm \frac{r}{2}} = -Pr \left[1 - \left(1 - \frac{r}{2}\right) a_1\right], \quad (128, IV)$$

$$\sigma_2^0|_{x=\pm \frac{r}{2}} = -\frac{Pr}{8} \left[1 - \left(1 - \frac{r}{2}\right) a_1\right]. \quad (129, IV)$$

6. Изгибающий момент M_0 и соответствующее ему напряжение в краиних фибрках обшивки имеют вид

$$M_0|_{x= \pm \frac{l}{2}} = p \frac{P^2}{l} z_0 \quad (130. IV)$$

$$\sigma_0^{\text{изг}}|_{x= \pm \frac{l}{2}} = \pm \mu \frac{P^2}{l} z_0. \quad (131. IV)$$

7. Суммарные нормальные напряжения в продольных сечениях обшивки у шпангоута будут равны

$$\sigma_0|_{x= \pm \frac{l}{2}} = \sigma_0^0 + \sigma_0^{\text{изг}} = - \frac{P^2}{l} \left[1 - \left(1 - \frac{\mu}{2} \right) z_0 \pm \mu z_0 \right]. \quad (132. IV)$$

Таким образом, все расчетные формулы нами получены.

Приведем окончательные расчетные формулы для суммарных нормальных напряжений в поперечных и продольных сечениях обшивки как посередине шпации, так и у шпангоута.

В сечении посередине шпации ($x = 0$) суммарные нормальные напряжения в поперечных сечениях обшивки (осевые напряжения) равны

$$\sigma_0|_{x=0} = - \frac{P^2}{l} (0,5 \pm z_0). \quad (133. IV)$$

Суммарные нормальные напряжения в продольных сечениях обшивки (кольцевые напряжения) имеют вид

$$\sigma_0|_{x=0} = - \frac{P^2}{l} (1 - z_0 \pm \mu z_0). \quad (134. IV)$$

В сечении у шпангоута ($x = \pm \frac{l}{2}$) суммарные нормальные напряжения в поперечных сечениях обшивки (осевые напряжения) определяются по формуле

$$\sigma_0|_{x= \pm \frac{l}{2}} = - \frac{P^2}{l} (0,5 \mp z_0). \quad (135. IV)$$

Суммарные нормальные напряжения в продольных сечениях обшивки (кольцевые напряжения) равны

$$\sigma_0|_{x= \pm \frac{l}{2}} = - \frac{P^2}{l} \left[1 - \left(1 - \frac{\mu}{2} \right) z_0 \pm \mu z_0 \right]. \quad (136. IV)$$

Направления суммарных напряжений показаны на рис. 42.

Функции П., Ф., Папковича $F_1(u_0, u_1)$, $F_2(u_0, u_1)$, $F_3(u_0, u_1)$ и $F_4(u_0, u_1)$ приведены в Приложении III, причем для облегчения пользования таблицами эти функции приведены в зависимости от двух аргументов u и $\vartheta = 2\pi t$, где u и ϑ определяются по формулам (30. IV) и (31. IV).

Кривые функций F_1, F_2, F_3, F_4 приведены на рис. 43.

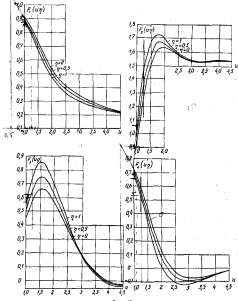


Рис. 43

Перейдем к определению напряжений в шлангутах. Как и ранее (см. формулу (78. IV)), напряжения в шлангутах определяются по формуле

$$\sigma_{xy} = E \frac{\frac{w}{r} - \frac{1}{r}}{r} = -\frac{E}{r} \left(1 - \frac{1}{r}\right) (1 - \epsilon_1) = -k \frac{E}{r}, \quad (137. IV)$$

так

$$k = \left(1 - \frac{1}{r}\right) (1 - \epsilon_1).$$

Приведем практическую схему расчета по методу П. Ф. Папкоевича:

Практическая схема расчета

Исходные данные: r, δ, I, F, p .

Определяются:

- Параметр α : $\alpha = 0,6426 \frac{I}{\sqrt{r\delta}}$.

- Параметр τ : $\tau = \left(\frac{0,203 r^2}{200 I}\right) \cdot \frac{p}{10}$.

- Параметр η : $\eta = 2\pi\tau$.

- По таблицам или графикам в функции от параметров α и η функции Папкоевича: $F_1(u_1, u_2)$, $F_2(u_1, u_2)$, $F_3(u_1, u_2)$, $F_4(u_1, u_2)$.

- Функция R : $R = \frac{\alpha}{p} F_1(u_1, u_2)$.

- Функция u_1 : $u_1 = \frac{1}{1+R}$.

- Функции u_2, u_3, u_4 :

$$u_2 = u_1 F_2(u_1, u_2),$$

$$u_3 = u_1 F_3(u_1, u_2),$$

$$u_4 = u_1 F_4(u_1, u_2).$$

- Суммарные нормальные напряжения в поперечных (σ_1) и в продольных (σ_2) сечениях общины как посередине пролета ($x = 0$), так и у шпангоутов ($x = \pm \frac{I}{2}$):

$$\sigma_1|_{x=0} = -\frac{F'}{b} (0,5 \pm u_2), \quad \sigma_1|_{x=\pm \frac{I}{2}} = -\frac{F'}{b} (0,5 \mp u_2),$$

$$\sigma_2|_{x=0} = -\frac{F'}{b} \left(1 - u_1 \pm \mu u_3\right), \quad \sigma_2|_{x=\pm \frac{I}{2}} = -\frac{F'}{b} \left[1 - \left(1 - \frac{p}{2}\right) u_1 \pm \mu u_3\right].$$

- Цепные напряжения в продольных сечениях посередине пролета

$$\sigma_2^c|_{x=0} = -\frac{F'}{b} (1 - u_1) = -k_2 \frac{F'}{b},$$

- Напряжения в шпангоутах

$$\sigma_{sh} = -\frac{F'}{b} \left(1 - \frac{p}{2}\right) (1 - u_1) = -k \frac{F'}{b},$$

где $k = \left(1 - \frac{p}{2}\right) (1 - u_1)$.

Сравнение величин напряжений, определенных по точному решению П. Ф. Папкоевича, с величинами напряжений, определенных по приближенному решению, показывает, что погрешность, связанная с учетом проекции усилия T_1 на ось Z , не превышает пяти процентов и практически с ней спутаться не следует. Графики функций Папкоевича F_1 , F_2 , F_3 , F_4 показывают, что эти функции мало зависят от параметра η , следовательно, учет проекции осевого усилия T_1 на ось Z может не пренебрежаться.

§ 33. Определение напряжений в обшивке и шпангоутах прочного корпуса по методу Ю. А. Шиманского

Приведенные в § 31 и 32 расчетные схемы получены в результате решений, основанных на интегрировании дифференциального уравнения осесимметричной деформации круговой цилиндрической оболочки, подкрепленной упругими ребрами жесткости. Достоинством этих решений является то, что они получены в замкнутом виде, а входящие в решения функции являются табулированными.

В 1933 г. Ю. А. Шиманский был предложен другой метод определения напряжений в обшивке и шпангоутах, основанный на использовании метода Бубнова—Галеркина, причем выражения для прогиба оболочки и напряжений разыскиваются в бесконечных рядах. Поскольку расчетная схема Ю. А. Шиманского также широко применяется в расчетной практике, целесообразно рассмотреть вывод основных формул этой схемы.

Так же как и Папкович, Шиманский использует осесимметричное дифференциальное уравнение осесимметричной деформации круговой цилиндрической оболочки (§§ 31, IV), полученное С. П. Тихоненко

$$\frac{E\psi}{12(1-\nu^2)} \cdot \frac{d^4\psi}{dx^4} + \frac{\rho r}{2} \cdot \frac{d^2\psi}{dx^2} + \frac{E}{\rho^2} \psi = -\rho \left(1 - \frac{\rho}{2}\right).$$

Как и ранее, обозначим нормальные перемещения обшивки у шпангоутов ψ_m . Оси координат выберем так, как показано на рис. 44. При этом опорные сечения обшивки будут соответствовать $x=0$ и $x=l$.

Границные условия задачи, естественно, повторяют уже рассмотренные ранее и формулируются следующим образом:

$$\left. \begin{array}{l} \psi = \psi_m \\ \text{при } x=0, x=l \\ \frac{d\psi}{dx} = 0 \\ \text{при } x=0, x=l \end{array} \right\} \quad (138. IV)$$

Первое условие системы (138. IV) фиксирует равенство обжатия обшивки у шпангоута обжатию шпангоута, а второе условие (138. IV) фиксирует равенство краю углов поворота обшивки на шпангоутах.

Пусть $R_{\text{шв}}$ — величина реакции обшивки, непосредственно передаваемой шпангоуту. При осесимметричной деформации оболочки величина $R_{\text{шв}}$ не будет меняться по периметру корпуса. Следовательно, шпангоут будет обжиматься как упругое кольцо. Величина радиального обжатия шпангоута определяется известной формулой для колец

$$\psi_m = -\frac{R_{\text{шв}} f^2}{E}, \quad (139. IV)$$

Если бы вся внешняя нагрузка передавалась шпангоуту, то интенсивность реакции шпангоута $R_{\text{шв}}$ была бы в точности равна $R_{\text{шв}} = \rho l$. В действительности же часть внешней нагрузки непосредственно воспринимается обшивкой, вызывая ее радиальное обжатие. При этом в обшивке появляются кольцевые сжимающие усилия T_2 . Проекция такого усилия на нормаль

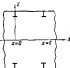


Рис. 44

к поверхности обшивки равна $\frac{T_2}{F}$. Величина этой проекции, приходящаяся на всю ширину, будет $\int \frac{T_2}{F} dx$.

В итоге интенсивность реакции обшивки на шлангут будет

$$R_{\text{об}} = pI - \int_0^L \frac{T_2}{F} dx. \quad (140. IV)$$

Подставим в ф-лу (140. IV) T_2 из ф-лы (13. IV), прилож к выражению

$$R_{\text{об}} = pI \left(1 - \frac{\mu}{2}\right) - \frac{EI}{L^2} \int_0^L w dx.$$

Тогда, согласно ф-ле (139. IV), обжатие шлангута будет

$$w_{\text{об}} = -\frac{P}{EI} \left[pI \left(1 - \frac{\mu}{2}\right) - \frac{EI}{L^2} \int_0^L w dx \right]. \quad (141. IV)$$

Однако прогиб обшивки w , входящий в интеграл выражения (141. IV), пока неизвестен, поэтому остается неизвестным и радиальное обжатие шлангута. Прогиб обшивки w , состоящий из прогиба обшивки вместе со шлангутом $w_{\text{об}}$ и дополнительного прогиба обшивки между шлангутами, можно принять в виде

$$w = w_{\text{об}} + \frac{1}{2} \sum_{n=1}^{\infty} f_n \left(1 - \cos \frac{2\pi n x}{L}\right). \quad (142. IV)$$

Принятое выражение для w удовлетворяет граничным условиям задачи (138. IV).

Подставим выражение для w (142. IV) в ф-лу (141. IV). Получим для обжатия шлангута следующее выражение:

$$\begin{aligned} w_{\text{об}} &= -(1 - k) \left[\frac{P}{EI} I \left(1 - \frac{\mu}{2}\right) - \frac{1}{2} \sum_{n=1}^{\infty} f_n \right], \\ k &= \frac{P}{P + EI}, \end{aligned} \quad (143. IV)$$

где k — коэффициент, характеризующий жесткость шлангутов.

В формулах (142. IV) и (143. IV) неизвестными являются значения f_n , т. е. амплитудные значения дополнительного прогиба обшивки между шлангутами, соответствующие различным формам изгиба по длине ($n = 1, 2, \dots, m = \infty$). К отысканию значений f_n и сводится решение поставленной задачи.

Для вычисления параметров f_m подставим ф-лы (143. IV) в дифференциальное ур-ние (82. IV). Получим

$$\begin{aligned} \frac{EY}{12(1-p^2)} \cdot \frac{1}{2} \sum_{m=1}^{\infty} f_m \left(\frac{2\pi m}{T}\right)^4 \left(-\cos \frac{2\pi mx}{T}\right) + \frac{EY}{2} \cdot \frac{1}{2} \sum_{m=1}^{\infty} f_m \left(\frac{2\pi m}{T}\right)^2 \cos \frac{2\pi mx}{T} + \\ + \frac{Eh}{\rho^2} \left[w_{m0} + \frac{1}{2} \sum_{m=1}^{\infty} f_m \left(1 - \cos \frac{2\pi mx}{T}\right) \right] = -p \left(1 - \frac{p}{2}\right). \end{aligned}$$

Или после подстановки w_{m0} , согласно выражению (143. IV), приходим к уравнению

$$\begin{aligned} \frac{EY}{12(1-p^2)} \cdot \frac{1}{2} \sum_{m=1}^{\infty} f_m \left(\frac{2\pi m}{T}\right)^4 \left(-\cos \frac{2\pi mx}{T}\right) + \frac{EY}{2} \cdot \frac{1}{2} \sum_{m=1}^{\infty} f_m \left(\frac{2\pi m}{T}\right)^2 \cos \frac{2\pi mx}{T} - \\ - (1-k)p \left(1 - \frac{p}{2}\right) - \frac{Eh}{\rho^2} (1-k) \frac{1}{2} \sum_{m=1}^{\infty} f_m + \\ + \frac{Eh}{\rho^2} \cdot \frac{1}{2} \sum_{m=1}^{\infty} f_m \left(1 - \cos \frac{2\pi mx}{T}\right) = -p \left(1 - \frac{p}{2}\right). \end{aligned}$$

После приведения подобных членов получим

$$\begin{aligned} - \frac{EY}{12(1-p^2)} \cdot \frac{1}{2} \sum_{m=1}^{\infty} f_m \left(\frac{2\pi m}{T}\right)^4 \cos \frac{2\pi mx}{T} + \frac{EY}{2} \cdot \frac{1}{2} \sum_{m=1}^{\infty} f_m \left(\frac{2\pi m}{T}\right)^2 \cos \frac{2\pi mx}{T} + \\ + \frac{Eh}{\rho^2} k \cdot \frac{1}{2} \sum_{m=1}^{\infty} f_m - \frac{Eh}{\rho^2} \cdot \frac{1}{2} \sum_{m=1}^{\infty} f_m \cos \frac{2\pi mx}{T} = -kp \left(1 - \frac{p}{2}\right). \end{aligned}$$

Умножим обе части этого равенства на $\left(1 - \cos \frac{2\pi mx}{T}\right)$ и произведем все члены равенства в пределах от 0 до T . В результате интегрирования будем иметь

$$\begin{aligned} f_m \left[4 \frac{EY}{12(1-p^2)} \left(\frac{2\pi m}{T}\right)^4 - \frac{EY}{2} \left(\frac{2\pi m}{T}\right)^2 + \frac{1}{4} \cdot \frac{Eh}{\rho^2} \right] = -kp \left(1 - \frac{p}{2}\right) - \\ - kp \frac{1}{2} \cdot \frac{Eh}{\rho^2} \sum_{m=1}^{\infty} f_m. \end{aligned}$$

откуда

$$f_m = k \frac{-p \left(1 - \frac{p}{2}\right) - \frac{1}{2} \cdot \frac{Eh}{\rho^2} \sum_{m=1}^{\infty} f_m}{4 \frac{EY}{12(1-p^2)} \left(\frac{2\pi m}{T}\right)^4 - \frac{EY}{2} \left(\frac{2\pi m}{T}\right)^2 + \frac{1}{4} \cdot \frac{Eh}{\rho^2}}.$$

Введем следующие обозначения:

$$\left. \begin{aligned} x &= \frac{4\pi^2}{3(1-\mu^2)} \cdot \frac{\rho^2 R^2}{R} \\ \beta &= -\frac{4\pi^2}{E} \cdot \frac{R}{N} \cdot \frac{r^2}{R} \\ \rho &= -\frac{2r}{E} R \left(1 - \frac{\mu}{2}\right) \end{aligned} \right\}, \quad (144, IV)$$

Тогда выражение для f_m можно будет представить в виде

$$f_m = 2k \frac{\nu - 2f_m}{\omega_m^2 - (\mu^2 + 1)}.$$

Просуммируем полученное выражение для f_m от 1 до ∞ . В результате получим

$$\sum_m f_m = 2k\nu r \frac{N}{1 + \frac{2\nu^2}{E^2 N^2}} = 2k\nu N r, \quad (145, IV)$$

т.е.

$$N = \sum_{m=1}^{\infty} \frac{1}{\omega_m^2 - (\mu^2 + 1)}, \quad (146, IV)$$

$$\nu = \frac{R}{1 + \frac{2\nu^2}{E^2 N^2}}. \quad (147, IV)$$

Зная $\sum_m f_m$ и подставив ее в выражение для f_m , окончательно получим формулу для амплитудных значений прогиба обшивки между шпангоутами

$$f_m = \frac{2k\nu r}{\omega_m^2 - (\mu^2 + 1)}. \quad (148, IV)$$

Знание f_m равносильно знанию прогиба обшивки φ , а знание прогиба достаточно для определения всех усилий и моментов в, следовательно, напряжений в оболочке.

Действительно, осевое усилие T_1 во всех поперечных сечениях обшивки, согласно ф-ле (10, IV), равно

$$T_1 = -\frac{\mu R}{2}$$

и соответствующее ему цепное осевое напряжение σ_1^0 равно

$$\sigma_1^0 = \frac{T_1}{A} = -\frac{\mu R}{2A}.$$

Кольцевое усилие T_2 определяется по выражению (см. ф-лу (13, IV))

$$T_2 = \frac{E_1}{r} \varphi = \mu \frac{Rr}{2},$$

а соответствующее ему кольцевое цепное напряжение будет

$$\sigma_2^0 = \frac{T_2}{A} = \frac{E_1}{r} \varphi = \mu \frac{Rr}{2A}.$$

Изгибающие моменты M_1 и M_2 определяются по формулам (17. IV) в (15. IV), т. е.

$$M_1 = -\frac{EY}{12(1-\mu^2)} \cdot \frac{d^2w}{dx^2}, \quad M_2 = -P \frac{EY}{12(1-\mu^2)} \cdot \frac{d^2w}{dx^2},$$

а соответствующие им изгибющие напряжения по выражениям

$$\sigma_1^{xx} = \pm \frac{EM_1}{r^3}, \quad \sigma_2^{xx} = \pm \frac{EM_2}{r^3}.$$

Подставив определенное по формуле (148. IV) значение f_m в формулу (142. IV), получим выражение для прогиба w . По правилам зависимости определения усилия и момента в общем случае прочного корпуса, а затем линейные и изгибные напряжения.

Приложим окончательные расчетные формулы к практическую схему расчета по методу Ю. А. Шиманского.

1. Обжатие шпангоутов

$$w_{\text{обж}} = \frac{1-\mu}{2c} \varphi r. \quad (149. \text{ IV})$$

2. Прогиб обшивки посередине пролета

$$w_{\text{обш}} = w_{\text{обж}} + 2\varphi b/r. \quad (150. \text{ IV})$$

3. Суммарное осевое напряжение в обшивке у шпангоутов

$$\sigma_1|_{x=0} = -\frac{Pr}{2c} \pm \frac{2\pi E}{1-\mu^2} \frac{b}{r} \varphi b/r P. \quad (151. \text{ IV})$$

4. Суммарное кольцевое напряжение в обшивке у шпангоутов

$$\sigma_2|_{x=0} = \frac{Ew_{\text{обж}}}{r} - P\sigma_1|_{x=0}. \quad (152. \text{ IV})$$

5. Суммарное осевое напряжение посередине пролета

$$\sigma_1|_{x=\frac{r}{2}} = -\frac{Pr}{b} \pm \frac{2\pi E}{1-\mu^2} \frac{b}{r} \varphi Q. \quad (153. \text{ IV})$$

6. Суммарное кольцевое напряжение посередине пролета

$$\sigma_2|_{x=\frac{r}{2}} = \frac{Ew_{\text{обж}}}{r} - P\sigma_1|_{x=\frac{r}{2}}. \quad (154. \text{ IV})$$

Входящие в формулы (149. IV)–(154. IV) величины N , M , P , Q определяются по выражениям:

$$\left. \begin{aligned} N &= \sum_{m=1,2,3} \frac{1}{\sin^2 - \frac{m^2}{r^2} + 1} \\ M &= \sum_{m=1,2,3} \frac{1}{\sin^2 - \frac{m^2}{r^2} + 1} \\ P &= \sum_{m=1,2,3} \frac{m^2}{\sin^2 - \frac{m^2}{r^2} + 1} \\ Q &= \sum_{m=1,2,3} \frac{m^2 (-1)^m}{\sin^2 - \frac{m^2}{r^2} + 1} \end{aligned} \right\} \quad (155. \text{ IV})$$

$$\delta_1 = \frac{b}{r}; \quad \gamma = \frac{r}{J}. \quad (156. \text{ IV})$$

Отметим, что функции N , M , P , Q протабулированы Ю. А. Шамансским (см. Приложение III), что значительно упрощает расчеты. В качестве аргументов этих функций приняты параметры a и c , определяемые по формулам:

$$a = \sqrt[3]{\pi}; \quad b = \sqrt[3]{\beta}; \quad c = \frac{b}{a}. \quad (157. IV)$$

Практическая схема расчета

Исходные данные: r , Φ , l , F , p .

Определяются:

1. Вспомогательные величины b_1 , γ и k по выражениям (156. IV) и (143. IV).
2. Вспомогательные величины a , b , c по формулам (144. IV) и параметры a и c по выражениям (157. IV).
3. По таблицам Приложения III для найденных значений a и c величины N , M , P , Q .
4. Значение x по выражению (147. IV).
5. Обжатие шлангутов по формуле (149. IV).
6. Прогиб обшивки посередине шпангоута по формуле (150. IV).
7. Суммарные напряжения σ_1 и σ_2 в обшивке у шлангутов ($x=0$, $x=l$) по формулам (151. IV) и (152. IV).
8. Суммарные напряжения σ_1 и σ_2 в обшивке посередине шпангоута по формулам (153. IV) и (154. IV).
9. Напряжения в шлангутах.

$$\sigma_{sh} = \frac{E}{r} \cdot \Delta_{sh},$$

Сравнение численных результатов, полученных по методу Ю. А. Шаманского, с результатами, получаемыми по методу П. Ф. Папконича, показывает их практическое совпадение, несмотря на существенно разные пути решения задачи. Поэтому обе расчетные схемы с равным успехом могут быть рекомендованы для практического использования.

§ 34. Расчет оболочки, подкрепленной в промежутке между основными шлангутами дополнительными крутонными ребрами жесткости

В ряде практических случаев по конструктивным соображениям расстояние между основными шлангутами признается достаточно большим. Обеспечение устойчивости обшивки в этих случаях может быть достигнуто либо путем ее утолщения, либо путем постановки между шлангутами промежуточных крутонных ребер жесткости. Промежуточные ребра жесткости получили большое применение в связи с использованием сталей с высокими механическими характеристиками в качестве материала для прочного корпуса. Естественно, что с точки зрения прочности применение стальных с высокими механическими характеристиками дает возможность уменьшения толщины обшивки, причем такое уменьшение будет пропорционально увеличению предела текучести материала. Поэтому исходя из расчета по напряжениям, применение стальных с высокими механическими характеристиками является весьма эффективным средством уменьшения массы корпуса. Однако утолщение толщины обшивки неизбежно приводит к снижению ее устойчивости, что

в ряде случаев сводит к минимуму эффективность применения высокопрочных сталей, а в некоторых случаях делает их применение вообще бесполезным.

Расчеты показывают, что в таких случаях установка промежуточных ребер жесткости позволяет существенно повысить устойчивость обшивки и, как следствие этого, использовать упомянутые преимущества сталей с высокими механическими характеристиками. Поскольку промежуточные упругие ребра нашли широкое применение в конструкциях, необходимо иметь расчетные методы для определения напряжений как в самих промежуточных ребрах, так и в обшивке в районе их установки.

Определение напряжений в обшивке и шлангутах с помощью интегрирования дифференциального уравнения осесимметричной деформации круговой цилиндрической оболочки (18, IV) дает практически одинаковые результаты с результатами, полученными при интегрировании более точного дифференциального уравнения (82, IV).



Рис. 45

Следовательно, для решения поставленной задачи нет необходимости в использовании уравнения (82, IV), а достаточно пронтегрировать при соответствующих рассматриваемому случаю граничных условиях более простое уравнение (18, IV) или уравнение (20, IV).

Таким образом, исходное дифференциальное уравнение осесимметричной деформации круговой цилиндрической оболочки имеет вид

$$EI \frac{d^2w}{dx^2} + k w = q,$$

где в соответствии с ф-лами (19, IV)

$$EI = \frac{Eh}{12(1-\mu^2)}; \quad k = \frac{Eh}{R^3}; \quad q = -p \left(1 - \frac{\mu}{\beta}\right).$$

Характер деформации обшивки, подкрепленной основными шлангутами и промежуточными ребрами жесткости, показан на рис. 45.

Будем считать, что промежуточные ребра жесткости установлены строго посередине шлангутов. Как правило, этот случай представляет наибольший практический интерес.

Совместим начало координат с плоскостью основного шлангута. Тогда плоскости $x=0, \pm l, \pm 2l, \pm 3l$ и т. д. будут соответствовать плоскостям основных шлангутов, а плоскости $\pm \frac{1}{2}l, \pm \frac{3}{4}l, \pm \frac{5}{4}l$ и т. д. — плоскостям промежуточных шлангутов.

Общий интеграл дифференциального уравнения (20, IV) можно разыскывать в форме, предложенной Н. П. Пузыревским. Однако в рассмотриваемой задаче наиболее удобно пользоваться расчетной схемой Циммермана—Клинштейна. При использовании этой схемы мы исключим

необходимо вычислять малые разности близких чисел, что часто встречается при расчете оболочки, подкрепленной основными шпангоутами и промежуточными ребрами жесткости.

Пусть R_1 — интенсивность реактивной загрузки обшивкой основных шпангоутов, а R_2 — интенсивность реактивной загрузки обшивкой промежуточных ребер жесткости. В этом случае основные шпангоуты и промежуточные ребра жесткости могут рассматриваться как равномерно обжатые упругие кольца.

Обжатие основных шпангоутов будет равно

$$w_{\text{обш}} = -\frac{R_1 c^2}{E F}. \quad (158. \text{ IV})$$

Обжатие промежуточных ребер жесткости определяется по формуле

$$w_p = -\frac{R_2 c^2}{E F}. \quad (159. \text{ IV})$$

Следовательно, прогиб обшивки будет

$$\left. \begin{array}{l} w = w_{\text{обш}} \\ \text{при } x=0, x \pm l, x \pm 2l \\ w = w_p \\ \text{при } x=\pm \frac{1}{2}l, \pm \frac{3}{2}l, \pm \frac{5}{2}l \end{array} \right\} \quad (160. \text{ IV})$$

Очевидно, интенсивность реактивного воздействия обшивки на шпангоуты и промежуточные ребра будет соответственно равна и противоположна направлениям интенсивности реактивного воздействия основных шпангоутов и ребер на обшивку.



Рис. 46

Таким образом, выделенная из оболочки в направлении ее образующей балка-полоска будет нагружена, кроме внешней равномерно распределенной нагрузки, еще реакциями R_1 , сосредоточенными в сечениях $x=0$, $x=\pm l$, $x=\pm 2l$ и т. д., и R_2 , сосредоточенными в сечениях $x=\pm \frac{1}{2}l$, $\pm \frac{3}{2}l$, $\pm \frac{5}{2}l$. Поэтому расчетная схема нагрузки балки-полоски, выделенной из оболочки, имеет вид, показанный на рис. 46.

Необходимо определить прогиб обшивки по всей длине, а затем и напряжения, возникающие в обшивке, шпангоутах и ребрах.

Прежде чем перейти к изложению расчетной схемы Шиммермана—Клаузенса, определим упругую линию бесконечно длинной балки жесткостью

кости EI , лежащей на упругой основании жесткости k и загруженной в какой-либо точке сосредоточенной силой P (рис. 47).

Решение дифференциального уравнения изгиба балки будем разложить в виде

$$w = B_1 e^{-\mu x} \cos \alpha x + B_2 e^{-\mu x} \sin \alpha x + B_3 e^{\mu x} \cos \alpha x + B_4 e^{\mu x} \sin \alpha x, \quad (161. IV)$$

где

$$\mu = \sqrt{\frac{k}{EI}} = \frac{\sqrt{3(1-\nu^2)}}{\sqrt{Eh}}. \quad (162. IV)$$

При $\nu = 0,3$

$$\mu = \frac{1,385}{\sqrt{Eh}}.$$

Выбрав начальную координату под силой P , можно для правой половины балки записать следующие граничные условия:

$$\left. \begin{array}{l} \frac{dw}{dx} = 0 \\ EI \frac{d^2w}{dx^2} - \frac{P}{Y} \\ \text{при } x=0 \end{array} \right\}. \quad (163. IV)$$

Первое условие системы (163. IV) фиксирует равенство нулю угла изгиба под силой. Это следует из полной симметрии нагрузки и конструкции относительно сечения $x=0$.

Второе условие системы (163. IV) фиксирует, что передающая сила равна половине силы P , что также является следствием симметрии конструкции относительно сечения $x=0$ при условии, что в этом сечении приложена сосредоточенная сила P .

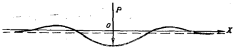


Рис. 47

Что касается граничных условий на бесконечности, то очевидно, что при $x = \infty$ прогиб балки, угол поворота, кривизна и передающая сила будут равны нулю, т. е.

$$w = \frac{dw}{dx} = \frac{d^2w}{dx^2} = \frac{d^3w}{dx^3} = 0. \quad (164. IV)$$

Естественно, что условия (164. IV) могут быть выполнены только в том случае, если постоянные B_3 и B_4 будут равны нулю, так как в противном случае прогибы и другие элементы изгиба обращались бы в бесконечность (при $x = \infty$), поскольку при этих постоянных имеется множитель $e^{+\mu x}$.

Следовательно, прогиб балки будет определяться выражением

$$w = B_1 e^{-\mu x} \cos \alpha x + B_2 e^{-\mu x} \sin \alpha x. \quad (165. IV)$$

Подставляя формулу (165. IV) в граничные условия (163. IV), получим

$$-B_1 + B_3 = 0,$$

$$2x^2 EI (B_1 + B_3) = \frac{P}{2},$$

откуда

$$B_1 = B_3 = \frac{P}{8EI}.$$

В результате прогиб правой половины балки определяется выражением

$$w = \frac{P}{8EI} e^{-ax} (\cos ax + \sin ax). \quad (166. IV)$$

Максимальный прогиб балки будет в сечении под силой, т. е. при $x = 0$

$$w_{\max} = \frac{P}{8EI} = \frac{P_x}{2E}. \quad (167. IV)$$

Рассмотрим теперь левую половину балки. По аналогии граничные условия будут

$$\frac{dw}{dx} = 0,$$

$$EI \frac{d^2w}{dx^2} = -\frac{P}{2},$$

при $x \rightarrow 0$.

$$w = \frac{dx}{dx} = \frac{dw}{dx} = \frac{d^2w}{dx^2} = 0,$$

при $x \rightarrow -\infty$.

Для удовлетворения последнему условию необходимо положить B_1 и B_2 равными нулю, так как при $x = -\infty$ члены, содержащие B_1 и B_2 , содержат e^{+ax} . Поэтому для левой части балки

$$w = B_4 e^{+ax} - B_4 e^{+ax} \sin ax.$$

Подставляя эту формулу в граничные условия, получим

$$B_1 = B_4 = \frac{P}{8EI}.$$

Следовательно, окончательно прогиб левой половины балки будет

$$w = \frac{P}{8EI} e^{+ax} (\cos ax - \sin ax).$$

Сравнение выражение для прогиба правой половины балки (166. IV) с выражением для прогиба левой половины балки, видим, что прогиб по всей длине балки может быть представлен в виде

$$w = \frac{P}{8EI} e^{-|x|} (\cos |x| + \sin |x|), \quad (168. IV)$$

где символ $||$ означает абсолютную величину отстояния точки приложения силы от точки, для которой вычисляется перемещение.

Теперь рассмотрим бесконечно длинную балку на упругом основании, загруженную совокупностью сосредоточенных сил P_i (рис. 46).

Для разыскания упругой линии балки, загруженной рядом сосредоточенных сил P_i , приложенных в сечениях $x = c_i$, необходимо просуммировать прогибы от каждой из сил.

Прогиб балки от сосредоточенной силы P_i , приложенной в точке c_i , согласно ф-ве (168. IV) будет

$$w_i = \frac{P_i}{6\pi EI} e^{-ix/c_i} (\cos x |x - c_i| + \sin x |x - c_i|).$$

Суммируя влияние всех сил, получим суммарный прогиб балки от действия совокупности сосредоточенных сил P_i :

$$w = \sum_i \frac{P_i}{6\pi EI} e^{-ix/c_i} (\cos x |x - c_i| + \sin x |x - c_i|). \quad (169. IV)$$

Выражение (169. IV) и есть общее выражение для прогиба бесконечно длинной балки, загруженной совокупностью сил P_i .

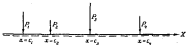


Рис. 48

Введем в рассмотрение функции Циммермана—Кашекевича:

$$\left. \begin{aligned} W_1(ax) &= e^{-ax} \cos ax \\ W_2(ax) &= \frac{1}{\sqrt{2}} e^{-ax} (-\cos ax + \sin ax) \\ W_3(ax) &= -e^{-ax} \sin ax \\ W_4(ax) &= \frac{1}{\sqrt{2}} e^{-ax} (\cos ax + \sin ax) \end{aligned} \right\} \quad (170. IV)$$

Непосредственной подстановкой можно убедиться, что функции W_2 , W_3 , W_4 и W_1 при дифференцировании переходят одна в другую, так что

$$\left. \begin{aligned} \frac{dW_1(ax)}{dx} &= a \sqrt{2} W_2(ax) \\ \frac{dW_2(ax)}{dx} &= a \sqrt{2} W_3(ax) \\ \frac{dW_3(ax)}{dx} &= a \sqrt{2} W_4(ax) \\ \frac{dW_4(ax)}{dx} &= -a \sqrt{2} W_1(ax) \end{aligned} \right\} \quad (171. IV)$$

Функции W_1 , W_2 , W_3 , W_4 табулированы. Таблицы этих функций приводятся в Приложении IV. Поэтому целесообразно получение 10 Н. С. Соловьева и Ю. Н. Румянцева

выражение для прогиба балки представить именно в таких функциях. Тогда прогибы балки равны

$$w = \sum_i \frac{P_i}{4\sqrt{2\pi EI}} W_1(s|x - c_i|), \quad (172. IV)$$

и изгибающие моменты

$$M = -EI \frac{dw}{dx} = \sum_i \frac{P_i}{2\sqrt{2\pi EI}} W_1(s|x - c_i|). \quad (173. IV)$$

Как функции W_1 , так и функции W , являются непрерывными при всяком x и четными функциями относительно $x - c_0$, т. е.

$$W_1(x - c_0) = W_1(c_0 - x),$$

$$W_1(x - c_0) = W_1(c_0 - x).$$

Возвращимся теперь к рассматриваемой задаче, когда выделенная из оболочки балка-полоска на упругом основании загружена, кроме внешней равномерно распределенной нагрузки интенсивности φ , сосредоточенными усилиями R_1 и R_2 , действующими в точках, согласно рис. 46.

Прогиб выделенной балки-полоски будет разностью алгебраической суммы прогибов от внешней нагрузки φ и от сосредоточенных усилий R_1 и R_2 , т. е.

$$w = w_\varphi + w_{R_1} + w_{R_2}, \quad (174. IV)$$

где w_φ — прогиб от внешней нагрузки φ ;

w_{R_1} — прогиб, вызванный суммой реакций основных шпангоутов;

w_{R_2} — прогиб, вызванный суммой реакций промежуточных ребер жесткости.

Внешняя нагрузка φ вызывает равномерное радиальное обжатие оболочки. Следовательно, прогиб выделенной балки-полоски будет

$$w_\varphi = \frac{\mu^2}{25} = -\left(1 - \frac{\mu}{2}\right) \frac{E^2}{25} \quad (175. IV)$$

или при $\mu = 0,3$

$$w_\varphi = -0,85 \frac{E^2}{25}.$$

Прогиб, вызванный суммой реакций основных шпангоутов, согласно формуле (172. IV), равен

$$w_{R_1} = \sum_i \frac{R_i}{4\sqrt{2\pi EI}} W_1(s|x - c_i|).$$

Выделим из этой суммы прогиб от реактивного усилия R_U , приложенного в начале координат ($s = 0$). Получим

$$w_{R_1} = \frac{R_1}{4\sqrt{2\pi EI}} W_1(sx) + \sum_{i=2,3} \frac{R_i}{4\sqrt{2\pi EI}} W_1[s(x - c_i)].$$

Входящие под знак суммы коэффициенты $\frac{R_1}{4\sqrt{2}\pi^2EI}$ не зависят от i и могут быть вынесены за знак суммы. В результате получим

$$w_{1E_i} = \frac{R_1}{4\sqrt{2}\pi^2EI} \left\{ W_1(ax) + \sum_{l=1,2,3} W_l |a(x - c_l)| \right\}.$$

Принимая во внимание четность функции W_1 относительно $x = c_0$, представим эту формулу в виде

$$w_{1E_i} = \frac{R_1}{4\sqrt{2}\pi^2EI} \left[W_1(ax) + \sum_{l=1,2,3} W_l |ac_l - ax| \right]. \quad (176. IV)$$

Шпангоуты, лежащие справа от начала координат, имеют абсциссы

$$c_1 = +I \quad \text{при } l = 1,$$

$$c_2 = +2I \quad \text{при } l = 2,$$

$$c_3 = +3I \quad \text{при } l = 3,$$

.....

а слева от начала координат

$$c_1 = -I \quad \text{при } l = 1,$$

$$c_2 = -2I \quad \text{при } l = 2,$$

$$c_3 = -3I \quad \text{при } l = 3,$$

.....

Таким образом, для правой части балки-полоски

$$c_l = +I \text{ и } ac_l = +lxl = +2Ia, \text{ где } l = 1, 2, 3, \dots,$$

а для левой части

$$c_l = -I \text{ и } ac_l = -lxl = -2Ia, \text{ где } l = 1, 2, 3, \dots$$

Подставляя ac_l в ф-лу (176. IV), получим выражение для прогиба балки-полоски от реактивных условий основных шпангоутов

$$w_{1E_i} = \frac{R_1}{4\sqrt{2}\pi^2EI} \left[W_1(ax) + \sum_{l=1,2,3, \dots} (W_l |2Ia - ax| + W_l |2Ia + ax|) \right]. \quad (177. IV)$$

Остается определить прогиб от реактивных условий промежуточных ребер жесткости. Этот прогиб, согласно ф-ле (172. IV), будет равен

$$w_{1E_i} = \sum_{l=1,2,3} \frac{R_1}{4\sqrt{2}\pi^2EI} W_l |a(x - c_l)| = \frac{R_1}{4\sqrt{2}\pi^2EI} \sum_{l=1,2,3} W_l |ac_l - ax|. \quad (178. IV)$$

Промежуточные ребра жесткости, лежащие справа от начала координат, имеют обобщение

$$c_1 = +\frac{1}{2}l \quad \text{при } i = 1,$$

$$c_2 = +\frac{3}{2}l \quad \text{при } i = 3,$$

$$c_3 = +\frac{5}{2}l \quad \text{при } i = 5,$$

и сдвиг от начала координат

$$c_1 = -\frac{1}{2}l \quad \text{при } i = 1,$$

$$c_2 = -\frac{3}{2}l \quad \text{при } i = 3,$$

$$c_3 = -\frac{5}{2}l \quad \text{при } i = 5.$$

Таким образом, для правой части балки-полоски

$$c_i = +i\frac{l}{2} \text{ и } \omega_i = +i\alpha\frac{l}{2} = +im, \text{ где } i = 1, 3, 5, \dots$$

для левой же части

$$c_i = -i\frac{l}{2} \text{ и } \omega_i = -i\alpha\frac{l}{2} = -im, \text{ где } i = 1, 3, 5, \dots$$

Подставив значения ω_i в ф-ду (178. IV), получим для прогиба балки-полоски от реактивных усилий промежуточных ребер жесткости следующее выражение:

$$w_{\omega_i} = \frac{R_1}{4\sqrt{EI}} \left[\sum_{j=1,3,5} (W_j(m - \alpha x) + W_j(m + \alpha x)) \right]. \quad (179. IV)$$

Таким образом, в соответствии с ф-дой (174. IV) получим следующее выражение для прогиба балки-полоски, выделенной из оболочки, подкрепленной основными шпангоутами и промежуточными ребрами жесткости и загруженной равномерно распределенной внешней нагрузкой:

$$w = -\left(1 - \frac{\rho}{2}\right) \frac{Pr^2}{EI} + \frac{R_1 \sqrt{2}}{8EI} \left[W_1(mx) + \sum_{j=1,3,5} (W_j(2m - \alpha x) + W_j(2m + \alpha x)) \right] + \frac{R_1 \sqrt{2}}{8EI} \left[\sum_{j=1,3,5} (W_j(m - \alpha x) + W_j(m + \alpha x)) \right]. \quad (180. IV)$$

Здесь ρ определяется по ф-де (162. IV)

$$\rho = \frac{d}{2} = \frac{\sqrt{2}(1-\rho^2)}{2} \cdot \frac{l}{\sqrt{Pr}}, \quad (181. IV)$$

$$\frac{1}{EI} = \frac{\sqrt{2}(1-\rho^2)}{E} \left(\frac{r}{6}\right)^{\frac{3}{2}}. \quad (182. IV)$$

Входящие в выражение (180, IV) реакции шпагутов R_1 и R_2 определяются из граничных условий (160, IV) с учетом ф-л (183, IV) и (188, IV).

Подставляя выражение для прогиба (160, IV) в граничные условия (160, IV), получим два уравнения для определения неизвестных R_1 и R_2 :

$$\left. \begin{aligned} R_1 & \left[\frac{t\sqrt{\mu}}{\sqrt{3}(1-\mu^2)f} + \frac{\sqrt{2}}{2} W_1(0) + \sqrt{2} W_1(2u) + \sqrt{2} W_1(4u) + \dots \right] + \\ & + R_2 \left[\sqrt{2} W_1(u) + \sqrt{2} W_1(3u) + \sqrt{2} W_1(5u) + \dots \right] = \left(1 - \frac{\mu}{2}\right) \frac{P}{a} \\ R_1 & \left[\sqrt{2} W_1(u) + \sqrt{2} W_1(3u) + \sqrt{2} W_1(5u) + \dots \right] + \\ & + R_2 \left[\frac{t\sqrt{\mu}}{\sqrt{3}(1-\mu^2)f} + \frac{\sqrt{2}}{2} W_1(0) + \sqrt{2} W_1(2u) + \right. \\ & \quad \left. + \sqrt{2} W_1(4u) + \dots \right] = \left(1 - \frac{\mu}{2}\right) \frac{P}{a} \end{aligned} \right\} . \quad (183, IV)$$

Отметим, что функции $W_1(u)$ с увеличением аргумента u резко убывают. Для оболочек подводных лодок аргументы u обычно достаточно велики, так что ряды, входящие в систему (183, IV), сходятся очень быстро.

Определив из системы (183, IV) значения R_1 и R_2 , мы можем их представить в виде

$$\left. \begin{aligned} R_1 & = \tau_0 \left(1 - \frac{\mu}{2}\right) \frac{P}{a} \\ R_2 & = \tau_0 \left(1 - \frac{\mu}{2}\right) \frac{P}{a} \end{aligned} \right\} . \quad (184, IV)$$

После решения системы (183, IV) коэффициенты τ_0 и τ_1 становятся известными и равны

$$\left. \begin{aligned} \tau_0 & = \frac{R_1}{\left(1 - \frac{\mu}{2}\right) \frac{P}{a}} \\ \tau_1 & = \frac{R_2}{\left(1 - \frac{\mu}{2}\right) \frac{P}{a}} \end{aligned} \right\} . \quad (185, IV)$$

Таким образом, прогиб оболочки, подкрепленной основными шпагутами и промежуточными ребрами жесткости, будет равен

$$\left. \begin{aligned} w & = - \left(1 - \frac{\mu}{2}\right) \frac{P u^2}{24} \left\{ 1 - \tau_0 \frac{\sqrt{2}}{2} \left[W_1(2u) + \sum_{i=1,3,5} (W_1(2u - ix) + \right. \right. \\ & \quad \left. \left. + W_1(2u + ix)) \right] - \tau_1 \frac{\sqrt{2}}{2} \left[\sum_{i=1,3,5} (W_1(ix - ax) + W_1(ix + ax)) \right] \right\} . \end{aligned} \right\} . \quad (186, IV)$$

Знание прогиба оболочки достаточно для определения всех усилий и моментов, а следовательно, и напряжений в любой точке оболочки.

Действительно, осевое усилие T_1 определяется по выражению (10. IV), а соответствующее ему цепное осевое напряжение равно

$$\sigma_1^0 = -\frac{F}{2\delta},$$

Кольцевое усилие T_2 определяется по ф-ле (13. IV) и соответствующее ему кольцевое напряжение σ_2^0 равно

$$\sigma_2^0 = \frac{T_2}{V} = \frac{E}{r} \omega - \nu \frac{F}{2\delta},$$

Подставив сюда значение ω из ф-лы (186. IV), получим

$$\begin{aligned} \sigma_2^0 = & -\left(1 - \frac{\nu}{2}\right) \frac{F}{\delta} \left\{ 1 - \frac{\eta_0}{2} \sqrt{2} \left[W_1(ax) + \sum_{1,2,3} (W_1|2a - ax| + \right. \right. \\ & \left. \left. + W_1|2a + ax|) \right] - \eta_0 \frac{\sqrt{2}}{2} \left[\sum_{1,2,3} (W_1|2a - ax| + W_1|2a + ax|) \right] \right\} - \frac{\nu}{2} \cdot \frac{F}{\delta}. \end{aligned} \quad (187. IV)$$

Для определения изгибающих напряжений необходимо определить изгибающие моменты.

Изгибающий момент в поперечных сечениях оболочки M_1 , определяется по выражению (17. IV), а изгибающий момент в продольных сечениях оболочки M_2 — по ф-ле (13. IV).

Взяв вторую производную от прогиба ω по координате x с учетом дифференциальных зависимостей (171. IV), получим следующие выражения для изгибающего момента M_1 :

$$M_1 = \frac{1}{4} \cdot \frac{1 - \frac{\nu}{2}}{\sqrt{3}(1 - \nu^2)} \rho r \delta \left\{ \eta_0 \sqrt{2} \left[W_1(ax) + \sum_{1,2,3} (W_1|2a - ax| + \right. \right. \\ \left. \left. + W_1|2a + ax|) \right] + \eta_0 \sqrt{2} \left[\sum_{1,2,3} (W_1|2a - ax| + W_1|2a + ax|) \right] \right\}. \quad (188. IV)$$

Изгибающие напряжения в поперечных сечениях (осевые напряжения) будут равны

$$\sigma_1^{ex} = \pm \frac{6M_1}{\pi d^3} = \pm 1,5 \frac{1 - \frac{\nu}{2}}{\sqrt{3}(1 - \nu^2)} \cdot \frac{F}{\delta} \left\{ \eta_0 \sqrt{2} \left[W_1(ax) + \sum_{1,2,3} (W_1|2a - ax| + \right. \right. \\ \left. \left. + W_1|2a + ax|) \right] + \eta_0 \sqrt{2} \left[\sum_{1,2,3} (W_1|2a - ax| + W_1|2a + ax|) \right] \right\}. \quad (189. IV)$$

Изгибающие напряжения в продольных сечениях оболочки (кольцевые напряжения) равны

$$\sigma_2^{ex} = \pm \frac{6M_2}{\pi d^3} = \pm \sigma_2^0. \quad (190. IV)$$

Суммарные осевые и кольцевые напряжения соответственно будут

$$\begin{aligned} \sigma_1 = & \sigma_1^0 + \sigma_1^{ex} \\ \sigma_2 = & \sigma_2^0 + \sigma_2^{ex} \end{aligned} \quad (191. IV)$$

Таким образом, все напряжения в обшивке определены.

В заключение определим напряжения в основных шпангоутах и в промежуточных ребрах жесткости.

Напряжения в основных шпангоутах

$$\sigma_{\text{шп}} = - \frac{R_f r}{F}. \quad (192. IV)$$

Напряжения в промежуточных ребрах жесткости будут равны

$$\sigma_p = - \frac{R_f r}{F}. \quad (193. IV)$$

Для удобства определения напряжений в оболочке, подкрепленной основными шпангоутами и промежуточными ребрами жесткости, составим практическую схему расчета.

Практическая схема расчета

Исходные данные: r , δ , I , F , f , p .

Определяются:

1. Параметр m по ф-ле (181. IV).

2. Слагаемые, входящие в систему (183. IV),

$$\frac{2\sqrt{\delta}}{\sqrt{3}(1-\mu^2)r} \text{ и } \frac{2\sqrt{r\delta}}{\sqrt{3}(1-\mu^2)f}.$$

3. Значение функций Циммермана—Клишевича

$$\sqrt{2} W_3(0), \quad \sqrt{2} W_3(a),$$

$$\sqrt{2} W_3(2a), \quad \sqrt{2} W_3(3a),$$

$$\sqrt{2} W_3(4a), \quad \sqrt{2} W_3(5a).$$

4. Из системы двух ур-ний (183. IV) R_1 и R_2 .

5. Напряжения в основных шпангоутах и в промежуточных ребрах жесткости по ф-лам (192. IV) и (193. IV).

6. Коэффициенты α_1 и α_2 по ф-лам (185. IV).

7. Прогиб обшивки w по ф-ле (186. IV).

8. Осевые и кольцевые шарнирные напряжения в обшивке по выражениям (166. IV) и (187. IV).

9. Осевые и кольцевые изгибающие напряжения в обшивке по формулам (189. IV) и (190. IV).

10. Осевые и кольцевые суммарные напряжения в обшивке по формулам (191. IV).

В заключение сделаем одно замечание. Как видно из таблиц, функции $W_3(u)$ и $W_3(m)$ быстро затухают. Так, при значении m , равном 4, значение $\sqrt{2} W_3(m)$ равно 0,028, а $\sqrt{2} W_3(u)$ равно 0,002. Имея в виду, что практический интерес для строительной механики подводных лодок представляют значения $m=1,2$ и более, в формулах для напряжений (187. IV) и (189. IV) при суммировании достаточно удерживать лишь для членов суммы, соответствующие $J=1$ и $J=2$; остальные члены дают практически преебрежимые добавки. Поэтому для практического

использованием вместо ф-л (187, IV) и (189, IV) можно рекомендовать следующее:

$$\begin{aligned} \varphi_2 = & -\left(1-\frac{\mu}{2}\right) \frac{P}{3} \left\{ 1 - \eta_2 \frac{\sqrt{2}}{2} [W_1(\alpha x) + W_1(2x - \alpha x) + \right. \\ & + W_1(2x + \alpha x)] - \eta_2 \frac{\sqrt{2}}{2} (W_1(u - \alpha x) + W_1(u + \alpha x) + \\ & \left. + W_1(3u - \alpha x)) \right\} - \frac{\mu}{2} \cdot \frac{P}{6}, \end{aligned}$$

$$\sigma_1^{\text{пр}} = \pm 1,5 \frac{1-\frac{\mu}{2}}{\sqrt{3}(1-\mu^2)} \cdot \frac{P}{3} \left\{ \eta_2 \sqrt{2} [W_1(\alpha x) + W_1(2x - \alpha x) + \right.$$

$$+ W_1(2x + \alpha x)] + \eta_2 \sqrt{2} (W_1(u - \alpha x) + W_1(u + \alpha x) + W_1(3u - \alpha x)) \right\}.$$

§ 35. Определение напряжений в обшивке прочного корпуса в районе переборок*

Определение напряжений в обшивке прочного корпуса в районе установки поперечных переборок, рамных шпангоутов или других жестких поперечных связей представляет для строительной механики подобных

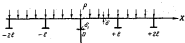


Рис. 49

подобий несомненный практический интерес. Естественно, что такая жесткая связь, как поперечная переборка, приводит к практическому исключению прогиба оболочки в месте соединения ее с прочной переборкой. На некотором удалении от переборки прогибы оболочки будут существенно возрастать, так что в оболочке появятся значительные изгибающие моменты. Поскольку оболочка, вследствие относительно малой жесткости на изгиб, плохо сопротивляется изгибу, появление больших изгибающих моментов приводят к возникновению значительных изгибающих напряжений. В результате последних, суммируясь с цепными напряжениями, могут при расчетной нагрузке превзойти предел текучести материала. В этом случае оболочка может разрушиться вследствие перенапряжений в относительно небольшом районе, поэтому определению напряженного состояния оболочки в районе установки поперечных переборок и рамных шпангоутов необходимо уделить должное внимание.

Рассмотрим круговую цилиндрическую оболочку, загруженную внешним радиоизмерным давлением интенсивности p . Оболочка подкреплена одинарковыми и равноотстоящими шпангоутами, а в сечении $x=0$ сидится на плоскую поперечную переборку (рис. 49).

* Решение этой задачи получено Н. С. Соловьевым.

Пусть R_1 — интенсивность радиальной загрузки обшивкой поперечной переборки;

R_2 — интенсивность радиальной загрузки обшивкой шпангоутов, ближайших к поперечной переборке;

R_3 — интенсивность радиальной загрузки обшивкой остальных шпангоутов;

δ_1 — толщина листов переборки.

Вследствие наличия поперечной переборки реакции R_3 для шпангоутов, удаленных от переборки на разные расстояния, будут различны. Однако, при обычных значениях параметра ε это различие является столь малым, что погрешность, связанная с неучетом различия R_3 для разных шпангоутов, первыми и пренебрежим с ней считаться не следует.

Таким образом, схема загрузки оболочки показана на рис. 50. Определение напряженного состояния круговой цилиндрической оболочки при осесимметричной нагрузке, как известно, сводится к исследованию изгиба призматической балки на узком основании при заданных граничных условиях. При этом изгибная жесткость балки на узком основании EI , коэффициент жесткости упругого основания δ и поперечная нагрузка q связаны с конструктивными размерами оболочки, ее упругими константами и величиной внешнего давления зависимостью (19. IV).

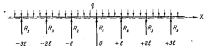


Рис. 50

Радиальное перемещение оболочки w будет равно алгебраической сумме радиальных перемещений от внешней нагрузки q , от реакции переборки R_{p_1} , от реакции шпангоутов R_{M_1} и R_{M_2} , т. е.

$$w = w_q + w_{R_1} + w_{M_1} + w_{M_2}. \quad (194. IV)$$

Внешняя нагрузка q вызывает равномерное радиальное сжатие оболочки. Поэтому прогиб оболочки от нагрузки q будет определяться выражением (175. IV).

Прогиб оболочки от сосредоточенной силы R_1 , приложенной в точке c_1 , будет равен

$$w_1 = \frac{R_1}{4\sqrt{\frac{E}{G}}\delta^2} W_1(z|x - c_1|), \quad (195. IV)$$

где z определяется по ф-ве (162. IV).

Применим ф-ву (195. IV) к действию сосредоточенной силы R_1 . Так как точка приложения R_1 находится в начале координат, то $c_1 = 0$. Следовательно, прогиб оболочки от реакции переборки R_1 будет

$$w_{R_1} = \frac{R_1}{4\sqrt{\frac{E}{G}}\delta^2} W_1(ax). \quad (196. IV)$$

Прогиб оболочки от реакций двух шпангоутов, ближайших к по-переборке, равен

$$w_{R_3} = \sum_{i=1}^4 \frac{R_3}{4\sqrt{2\pi kT}} W_3 [a(x - c_i)] = \frac{R_3}{4\sqrt{2\pi kT}} \sum_{i=1}^4 W_3 [a(x - c_i)]. \quad (197, IV)$$

Известно, что функция W_3 обладает свойством симметрии, поэтому

$$W_3 [a(x - c_i)] = W_3 [x(c_i - x)] = W_3 (xc_i - x).$$

Абсцисса шпангоута, лежащего справа от переборки, будет

$$c_1 = +l, \quad xc_1 = +al = +2a.$$

Абсцисса шпангоута, лежащего слева от переборки, равна

$$c_1 = -l, \quad xc_1 = -al = -2a.$$

Таким образом, прогиб оболочки, вызванный реакциями двух ближайших к переборке шпангоутов, будет равен

$$w_{R_3} = \frac{R_3}{4\sqrt{2\pi kT}} [W_3 (2a - al) + W_3 (2a + al)]. \quad (198, IV)$$

Определим прогиб оболочки, вызванный реакциями остальных шпангоутов w_{R_2} ,

$$w_{R_2} = \sum_{2, 3, 4} \frac{R_2}{4\sqrt{2\pi kT}} W_2 [a(x - c_i)] = \frac{R_2}{4\sqrt{2\pi kT}} \sum_{2, 3, 4} W_2 (ac_i - ax). \quad (199, IV)$$

Шпангоуты, лежащие справа от переборки (исключая уже рассмотренный ближайший к переборке шпангоут), имеют абсциссы

$$c_2 = +2l \quad \text{при } i = 2,$$

$$c_3 = +3l \quad \text{при } i = 3,$$

$$c_4 = +4l \quad \text{при } i = 4,$$

а шпангоуты, лежащие слева от переборки, имеют абсциссы

$$c_2 = -2l \quad \text{при } i = 2,$$

$$c_3 = -3l \quad \text{при } i = 3,$$

$$c_4 = -4l \quad \text{при } i = 4.$$

Следовательно, для шпангоутов правой части оболочки получим

$$ac_i = +al = +il. \quad \begin{matrix} & \\ & i = 1, 2, 3 \end{matrix}$$

Для шпангоутов левой части оболочки

$$ac_i = -al = -il. \quad \begin{matrix} & \\ & i = 1, 2, 4 \end{matrix}$$

Таким образом, прогиб оболочки от реакций R_2 будет равен

$$w_{R_2} = \frac{R_2}{4\sqrt{2\pi kT}} \sum_{2, 3, 4} [W_2 (il - al) + W_2 (il + al)]. \quad (200, IV)$$

Все составляющие радиального перемещения оболочки определены. Поэтому суммарное радиальное перемещение оболочки в соответствии с формулой (194. IV) равно

$$w = - \left(1 - \frac{\nu}{2} \right) \frac{R_1 r^2}{EI} + \frac{R_1}{4 \sqrt{2 \pi EI}} W_3(2x) + \frac{R_3}{4 \sqrt{2 \pi EI}} [W_3(2u - ax) + \\ + W_3(2u + ax)] + \frac{R_3}{4 \sqrt{2 \pi EI}} \sum_{3, 1, 4} [W_3(2u - ax) + W_3(2u + ax)]. \quad (201. IV)$$

Выражение (201. IV) и есть общее выражение для радиального перемещения оболочки при осесимметричной ее деформации. В этом выражении неизвестными остаются реакции переборки R_1 и шлангутов R_3 и R_2 . Эти реакции определяются из граничных условий.

Сформулируем граничные условия.

Прогиб оболочки в месте соприкосновения ее с поперечной переборкой будет равен радиальному смещению края переборки. Из теории упругости известно, что радиальное смещение круглой пластинки радиусом r и толщиной δ_1 , загруженной в своей плоскости равномерно распределенной нагрузкой интенсивности R_1 , определяется по формуле

$$\omega_0 = -(1 - \nu) \frac{R_1 r^3}{EI_1} \quad (202. IV)$$

или для $\nu = 0,3$

$$\omega_0 = 0,7 \frac{R_1 r^3}{EI_1}.$$

Выражение (202. IV) и есть первое граничное условие. Прогиб оболочки в месте соприкосновения с ближайшим к ней шлангутом будет равен обратно этому шлангуту, т. е.

$$\omega_1 = - \frac{R_2 r^3}{EI}. \quad (203. IV)$$

Выражение (203. IV) есть второе граничное условие задачи.

Наконец, прогиб оболочки в месте соприкосновения с оставшимися шлангутами равен обратно этим шлангутам, т. е.

$$\omega_{\infty} = - \frac{R_3 r^3}{EI}. \quad (204. IV)$$

Выражение (204. IV) есть третье и последнее граничное условие.

Имея общее выражение для прогиба оболочки в (201. IV) и принявшие это прогиб в сечении $x = 0$ прогибу переборки ω_1 , в сечении $x = +l$ прогибу первого шлангута ω_1 и в сечении $x = +2l$ прогибу оставшихся шлангутов ω_{∞} , приаем в системе трех линейных алгебраических уравнений относительно неизвестных R_1 , R_2 , R_3 :

$$- \left(1 - \frac{\nu}{2} \right) \frac{R_1 r^2}{EI} + \frac{R_1}{4 \sqrt{2 \pi EI}} W_3(0) + \frac{2 R_3}{4 \sqrt{2 \pi EI}} W_3(2u) + \\ + \frac{2 R_3}{4 \sqrt{2 \pi EI}} \sum_{3, 1, 4} W_3(2u) = - (1 - \nu) \frac{R_1 r^3}{EI_1},$$

$$\begin{aligned}
& - \left(1 - \frac{\mu}{2}\right) \frac{pr^2}{E^2} + \frac{R_1}{4\sqrt{2\pi E^2}} W_1(2u) + \frac{R_2}{4\sqrt{2\pi E^2}} [W_1(0) + W_2(4u)] + \\
& + \frac{R_3}{4\sqrt{2\pi E^2}} [W_3(2u) + W_3(4u) + 2W_3(6u) + 2W_3(8u) + \dots] = - \frac{R_2 r^2}{E^2}, \\
& - \left(1 - \frac{\mu}{2}\right) \frac{pr^2}{E^2} + \frac{R_1}{4\sqrt{2\pi E^2}} W_1(4u) + \frac{R_2}{8\sqrt{2\pi E^2}} [W_3(2u) + W_3(6u)] + \\
& + \frac{R_3}{4\sqrt{2\pi E^2}} [W_3(0) + W_3(2u) + W_3(4u) + W_3(6u) + \dots] = - \frac{R_2 r^2}{E^2}.
\end{aligned}$$

Из этого

$$R_1 \left[1 + \frac{2(1-\mu)}{\sqrt{3}(1-\mu^2)} \cdot \frac{2}{5} \cdot \frac{\sqrt{r^2}}{r} \right] + R_2 2\sqrt{2} W_1(2u) +$$

$$+ R_3 2 \sum_{n=0,4} \sqrt{2} [W_3(2nu)] = \frac{2(1-\frac{\mu}{2})}{\sqrt{3}(1-\mu^2)} p \sqrt{r^2}$$

$$R_1 \sqrt{2} W_1(2u) + R_2 \left[1 + \sqrt{2} W_1(4u) + \frac{2}{\sqrt{3}(1-\mu^2)} \cdot \frac{2\sqrt{r^2}}{r} \right] +$$

$$+ R_3 [\sqrt{2} W_3(2u) + \sqrt{2} W_3(4u) + 2\sqrt{2} W_3(6u) +$$

$$+ 2\sqrt{2} W_3(8u) \dots] = \frac{2(1-\frac{\mu}{2})}{\sqrt{3}(1-\mu^2)} p \sqrt{r^2}$$

$$R_1 \sqrt{2} W_1(4u) + R_2 [\sqrt{2} W_1(2u) + \sqrt{2} W_1(6u)] +$$

$$+ R_3 \left[1 + \sqrt{2} W_1(2u) + \sqrt{2} W_1(4u) + \sqrt{2} W_1(6u) + \dots \right]$$

$$\dots + \frac{2}{\sqrt{3}(1-\mu^2)} \cdot \frac{2\sqrt{r^2}}{r} \right] = \frac{2(1-\frac{\mu}{2})}{\sqrt{3}(1-\mu^2)} p \sqrt{r^2}$$

Решив систему (205, IV) относительно R_1 , R_2 и R_3 , получим значение реакций переборки R_1 и шансгоутов R_2 и R_3 .

Представим значение этих реакций в виде

$$R_1 = \frac{2(1-\frac{\mu}{2})}{\sqrt{3}(1-\mu^2)} k_1 p \sqrt{r^2}$$

$$R_2 = \frac{2(1-\frac{\mu}{2})}{\sqrt{3}(1-\mu^2)} k_2 p \sqrt{r^2}$$

$$R_3 = \frac{2(1-\frac{\mu}{2})}{\sqrt{3}(1-\mu^2)} k_3 p \sqrt{r^2}$$

(206, IV)

Тогда прогиб оболочки w будет определяться по формуле

$$w = - \left(1 - \frac{\mu}{2} \right) \frac{E^2}{2h} \left\{ 1 - k_1 \sqrt{2} W_1(ax) - k_2 [\sqrt{2} W_1(2a - ax) + \right. \\ \left. + \sqrt{2} W_1(2a + ax)] - k_3 \sum_{n=1}^{\infty} [\sqrt{2} W_n(2na - ax) + \sqrt{2} W_n(2na + ax)] \right\}. \quad (207. IV)$$

Это и есть окончательное выражение для прогиба цилиндрической оболочки в любой ее точке. Входящие в него коэффициенты k_1 , k_2 и k_3 определяются из выражений (206. IV).

Определим теперь вторую производную w по x .

Возьмем вторую производную w по x и учитывая правила дифференцирования функций Циммермана—Клишевича, будем иметь

$$\frac{dw}{dx} = \left(1 - \frac{\mu}{2} \right) \frac{E^2}{2h} 2a^2 \left\{ k_1 \sqrt{2} W_1(ax) + k_2 [\sqrt{2} W_1(2a - ax) + \right. \\ \left. + \sqrt{2} W_1(2a + ax)] + k_3 \sum_{n=1}^{\infty} [\sqrt{2} W_n(2na - ax) + \sqrt{2} W_n(2na + ax)] \right\}. \quad (208. IV)$$

Знаки прогиба оболочки w и второй ее производной по координате x достаточно для определения всех усилий и моментов, а следовательно, и напряжений в рассматриваемой оболочке.

Основное условие T_1 и соответствующее ему осевое членное напряжение σ_1^{ch} определяются по формулам (16. IV) и (56. IV).

Кольцевое условие T_2 и соответствующее ему кольцевое членное напряжение определяются по формулам (13. IV) и (57. IV).

* После подстановки w из формулы (207. IV) в формулу (57. IV), будем иметь

$$\sigma_1^{ch} = - \left(1 - \frac{\mu}{2} \right) \frac{E^2}{h} \left\{ 1 - k_1 \sqrt{2} W_1(ax) - k_2 [\sqrt{2} W_1(2a - ax) + \right. \\ \left. + \sqrt{2} W_1(2a + ax)] - k_3 \sum_{n=1}^{\infty} [\sqrt{2} W_n(2na - ax) + \right. \\ \left. + \sqrt{2} W_n(2na + ax)] \right\} = \frac{\mu}{2} \cdot \frac{M_1}{h}. \quad (209. IV)$$

Изгибающие моменты в поперечных сечениях оболочки M_1 и соответствующие им осевые изгибные напряжения σ_1^{ch} определяются по формулам (17. IV) и (102. IV).

Подставив в формулу (17. IV) значение $\frac{dw}{dx}$ из формулы (208. IV), придем к следующему выражению для осевого изгибающего момента в любом поперечном сечении оболочки:

$$M_1 = \frac{1 - \frac{\mu}{2}}{1 - \mu^2} \cdot \frac{\sqrt{3(1 - \mu^2)}}{8} E^2 h^3 \left\{ k_1 \sqrt{2} W_1(ax) + k_2 [\sqrt{2} W_1(2a - ax) + \right. \\ \left. + \sqrt{2} W_1(2a + ax)] + k_3 \sum_{n=1}^{\infty} [\sqrt{2} W_n(2na - ax) + \sqrt{2} W_n(2na + ax)] \right\}. \quad (210. IV)$$

Осевые изгибные напряжения при этом будут равны

$$\sigma_3^{\text{изг}} = \pm \frac{\delta M_1}{2I} = \mp \frac{1 - \mu}{1 - \mu^2} \sqrt{3(1 - \mu^2)} \left[k_1 \sqrt{2} W_1(ax) + k_2 [\sqrt{2} W_1(2a - ax) + \right. \\ \left. + \sqrt{2} W_1(2a + ax)] + k_3 \sum_{n=1,3,5} [\sqrt{2} W_1(2na - ax) + \sqrt{2} W_1(2na + ax)] \right]. \quad (211, IV)$$

Изгибающий момент в продольных сечениях оболочки M_1 , и соответствующие ему колышевые изгибные напряжения $\sigma_3^{\text{изг}}$ определяются по ф-лам (16, IV) и (102, IV).

Наконец, суммарные напряжения в поперечных и продольных сечениях оболочки определяются по ф-лам (103, IV).

Таким образом, могут быть определены все величины, характеризующие деформацию оболочки. В связи с тем, что входящие в расчетные формулы функции W_1 и W_3 , протабулированы, определение прогибов и напряжений не вызывает затруднений. Напомним позволят составить следующую практическую схему расчета оболочки в районе перегородок.

Практическая схема расчета

Исходные данные: $r, h, l, F, I_1, \mu, E, p$.

Определяются:

1. Параметр α по ф-ле (181, IV).

2. Функции Циммермана—Клишевича (см. таблицы Приложения V)

$$\sqrt{2} W_1(2a), \sqrt{2} W_3(4a), \sqrt{2} W_3(6a) \dots$$

$$\sqrt{2} W_1(2a), \sqrt{2} W_1(4a), \sqrt{2} W_1(6a) \dots$$

3. Вспомогательные величины

$$\frac{2}{\sqrt{3}(1-\mu^2)}, \frac{2\sqrt{R}}{F}, \frac{2(1-\mu)}{\sqrt{3}(1-\mu^2)}, \frac{h}{l_1}, \frac{\sqrt{R}}{F} \text{ и т. д.}$$

4. Коэффициенты k_1, k_2, k_3 из системы

$$k_1 \left[1 + \frac{2(1-\mu)}{\sqrt{3}(1-\mu^2)} \cdot \frac{h}{l_1} \cdot \frac{\sqrt{R}}{F} \right] + k_2 2 \sqrt{2} W_3(2a) + k_3 2 \sum_{n=1,3,5} \sqrt{2} W_3(na) = 1,$$

$$k_1 \sqrt{2} W_3(2a) + k_2 \left[1 + \sqrt{2} W_3(4a) + \frac{2}{\sqrt{3}(1-\mu^2)} \cdot \frac{1}{F} \sqrt{R} \right] +$$

$$+ k_3 [\sqrt{2} W_3(2a) + \sqrt{2} W_3(4a) + 2 \sqrt{2} W_3(6a) + 2 \sqrt{2} W_3(8a) + \dots] = 1,$$

$$k_1 \sqrt{2} W_1(4a) + k_2 [\sqrt{2} W_1(2a) + \sqrt{2} W_1(6a)] + k_3 [1 + \sqrt{2} W_1(2a) +$$

$$+ \sqrt{2} W_1(4a) + \sqrt{2} W_1(6a) + \dots + \frac{2}{\sqrt{3}(1-\mu^2)} \cdot \frac{1}{F} \sqrt{R}] = 1.$$

* При $\mu = 0,3$: $\frac{2}{\sqrt{3}(1-\mu^2)} = 1,00$, $\frac{2(1-\mu)}{\sqrt{3}(1-\mu^2)} = 1,00$.

5. Реакции переборки R_1 , ближайшего к переборке шпангоута R_2 , и остальных шпангоутов R_3 по ф-лам (206, IV).

6. Прогиб оболочки в любой ее точке по ф-ле (207, IV).

7. Цепные, изгибные и суммарные напряжения в поперечных сечениях оболочки по ф-лам (58, IV), (211, IV) и (103, IV).

8. Цепные, изгибные и суммарные напряжения в продольных сечениях оболочки по ф-лам (209, IV), (102, IV) и (103, IV).

Анализ показывает, что при значениях параметров $\mu > 1,2$ можно считать, что реакции всех шпангоутов будут одинаковы.

Следовательно,

$$R_1 \approx R_2. \quad (212, IV)$$

Равенство (212, IV) позволяет значительно упростить расчетную схему и исключить необходимость решения системы трех уравнений с тремя неизвестными.

Действительно, выражения R_1 и R_2 , из ур-ния (201, IV) получим следующее значение прогиба оболочки в любой ее точке:

$$\begin{aligned} w = -\left(1 - \frac{\mu}{2}\right) \frac{p r^2}{E I} + \frac{R_1}{4 \sqrt{2} \pi E I} W_2(\alpha x) + \\ + \frac{R_2}{4 \sqrt{2} \pi E I} \sum_{i=1,2,3} [W_2(i 2u - \alpha x) + W_2(i 2u + \alpha x)]. \end{aligned} \quad (213, IV)$$

Приравняв, как и ранее, прогиб оболочки в сечении $x = 0$ обхвату переборки и в сечении $x = l$ — обхвату шпангоута, предем к системе двух линейных алгебраических уравнений относительно реакций R_1 и R_2 . Раскроем определитель системы, получим

$$R_1 = \frac{2\left(1 - \frac{\mu}{2}\right)}{\sqrt{2}(1-\mu^2)} p \sqrt{r I} \frac{1 - \sqrt{2} W_2(2u) - \sqrt{2} W_2(4u) + \frac{2}{\sqrt{2}(1-\mu^2)} \cdot \frac{1}{r} \sqrt{r I}}{\left[1 + \frac{2(1-\mu)}{\sqrt{2}(1-\mu^2)} \cdot \frac{b}{k_1} \cdot \frac{\sqrt{r I}}{r}\right] \left[1 + \sqrt{2} W_2(2u) + \right.} \\ \left. + \sqrt{2} W_2(4u) + \frac{2}{\sqrt{2}(1-\mu^2)} \cdot \frac{1}{r} \sqrt{r I}\right]}, \quad (214, IV)$$

$$R_2 = \frac{2\left(1 - \frac{\mu}{2}\right)}{\sqrt{2}(1-\mu^2)} p \sqrt{r I} \frac{1 - \sqrt{2} W_2(2u) + \frac{2(1-\mu)}{\sqrt{2}(1-\mu^2)} \cdot \frac{b}{k_1} \cdot \frac{\sqrt{r I}}{r}}{\left[1 + \frac{2(1-\mu)}{\sqrt{2}(1-\mu^2)} \cdot \frac{b}{k_1} \cdot \frac{\sqrt{r I}}{r}\right] \left[1 + \sqrt{2} W_2(2u) + \right.} \\ \left. + \sqrt{2} W_2(4u) + \frac{2}{\sqrt{2}(1-\mu^2)} \cdot \frac{1}{r} \sqrt{r I}\right]}. \quad (215, IV)$$

Представим реакции R_1 и R_2 в виде

$$R_1 = \frac{2\left(1 - \frac{\mu}{2}\right)}{\sqrt{3}(1-\mu^2)} k_1 p \sqrt{r\delta}, *$$

$$R_2 = \frac{2\left(1 - \frac{\mu}{2}\right)}{\sqrt{3}(1-\mu^2)} k_2 p \sqrt{r\delta}.$$

где k_1 и k_2 — множители в ф-ах (214, IV) и (215, IV).

Против оболочки в любом сечении x будет равен

$$w = -\left(1 - \frac{\mu}{2}\right) \frac{P^2}{EI} \left[1 - k_1 \sqrt{2} W_1(ax) - k_2 \sum_{l=1,3,5} [V\sqrt{2} W_l(2lu - ax) + V\sqrt{2} W_l(2lu + ax)] \right]. \quad (216, IV)$$

Вторая производная прогиба по координате x определяется по формуле

$$\frac{d^2w}{dx^2} = \left(1 - \frac{\mu}{2}\right) \frac{P^2}{EI} 2a^2 \left\{ k_1 V\sqrt{2} W_1'(ax) + k_2 \sum_{l=1,3,5} [V\sqrt{2} W_l'(2lu - ax) + V\sqrt{2} W_l'(2lu + ax)] \right\}. \quad (217, IV)$$

Приведем практическую схему расчета для случая $\mu > 1/2$.

Практическая схема расчета

Определяются:

1. Параметр μ по ф-ле (181, IV)

2. Функции Циммермана—Клишевича (см. таблицу Приложения V)

$$V\sqrt{2} W_1(0), \quad V\sqrt{2} W_1(0),$$

$$V\sqrt{2} W_1(2u), \quad V\sqrt{2} W_1(2u),$$

$$V\sqrt{2} W_1(4u), \quad V\sqrt{2} W_1(4u).$$

3. Вспомогательные величины

$$\frac{2}{\sqrt{3}(1-\mu^2)}, \quad \frac{2(1-\mu)}{\sqrt{3}(1-\mu^2)} \cdot \frac{1}{k_1} \cdot \frac{\sqrt{r\delta}}{r},$$

4. Коэффициенты k_1 и k_2 по формулам

$$1 - V\sqrt{2} W_1(2u) + \frac{2}{\sqrt{3}(1-\mu^2)} \cdot \frac{2\sqrt{r\delta}}{r} = V\sqrt{2} W_1(4u)$$

$$k_1 = \left[1 + \frac{2(1-\mu)}{\sqrt{3}(1-\mu^2)} \cdot \frac{1}{k_1} \cdot \frac{\sqrt{r\delta}}{r} \right] \left[1 + V\sqrt{2} W_1(2u) + V\sqrt{2} W_1(4u) + \frac{2}{\sqrt{3}(1-\mu^2)} \cdot \frac{2\sqrt{r\delta}}{r} \right]$$

$$* \text{ Для } \mu = 0,3 \quad \frac{2\left(1 - \frac{\mu}{2}\right)}{\sqrt{3}(1-\mu^2)} = 1,33.$$

$$1 - \sqrt{2} W_2(2a) + \frac{2(1-\mu)}{\sqrt{3}(1-\mu^2)} \cdot \frac{1}{r} \cdot \frac{\sqrt{r^2}}{r}$$

$$R_1 = \left[1 + \frac{2(1-\mu)}{\sqrt{3}(1-\mu^2)} \cdot \frac{1}{r} \cdot \frac{\sqrt{r^2}}{r} \right] \left[1 + \sqrt{2} W_2(2a) + \sqrt{2} W_1(4a) + \frac{2}{\sqrt{3}(1-\mu^2)} \cdot \frac{2\sqrt{r^2}}{r} \right]$$

5. Решение переборки R_1 и шлангоутов R_2 .

6. Прогиб оболочки в любой точке по ф-ле (216, IV).

7. Цепные напряжения в поперечных сечениях оболочки σ_1^c по ф-ле (56, IV).

8. Изгибные напряжения в поперечных сечениях оболочки по формуле

$$\sigma_1^{ext} = \mp \frac{\left(1 - \frac{\mu}{2}\right)}{1 - \mu^2} \sqrt{3(1 - \mu^2)} \frac{M}{V} \left[b_1 \sqrt{2} W_1(4a) + \sum_{n=1,3,5} [V\sqrt{2} W_1(2na - ax) + V\sqrt{2} W_1(2na + ax)] \right].$$

9. Суммарные напряжения в поперечных сечениях оболочки по ф-ле (103, IV).

10. Цепные, изгибные и суммарные напряжения в продольных сечениях оболочки по ф-лам (57, IV), (102, IV) и (103, IV).

Практические расчеты показывают, что наличие таких жестких спирей, как поперечные переборки, приводит к появлению больших изгибных напряжений в обшивке прочного корпуса близко к переборкам. Поэтому проверка прочности обшивки в районе установки переборок необходимо уделять должное внимание.

§ 36. О напряжениях в шлангоутах круговой цилиндрической оболочки

Решите Планкович*

При определении напряжений в шлангоутах прочного корпуса мы рассматривали шлангоуты как упругие кольца, находящиеся в состоянии равномерного обжатия. При этом обжатие шлангоутов определялось по формуле

$$w = -\frac{R_{sh} r^2}{E P}.$$

В действительности шлангоут представляет собой неоднородное кольцо с одинаковым напряжением по всему поперечному сечению. Шлангоут состоит из стеки и свободного пояса. При этом стека загружена по линии соприкосновения с обшивкой реактивным усилием от обшивки R_1 , а по линии соприкосновения со свободной полкой — реактивным усилием свободного пояса R_2 . Следовательно, стека шлангоута находится в условиях сосимметричной плоской деформации, т. е. в условиях задачи Ламе (рис. 51).

Пусть r — наружный радиус стеки шлангоута; a — внутренний радиус стеки; b_0 — толщина стеки; b_1 — толщина свободного пояса; R_1 — шириня свободного пояса; R_2 —

* П. Ф. Планкович. О напряжениях в шлангоутах цилиндрической оболочки. Сб. научн. исс. РСКА, № 4, 1925 (то же см. в работе П. Ф. Планковича „Труды по проектированию кораблей“. Судостроение, 1926).

Свободный поясок можно рассматривать как цилиндрическую оболочку длиной $2R_1$, загруженную посередине длины реактивным усилием R_2 от стеки. Естественно, что наибольшие напряжения в свободном пояске возникнут в месте приложения силы R_2 , и по мере удаления от середины пояска эти напряжения будут уменьшаться.

Таким образом, как стекло шлангогута, так и его свободный поясок напряжены неизоморфно, в связи с чем иссникает вопрос о том, насколько точно расчетные формулы для обжатия кольца воспроизводят обжатие реального шлангогута.

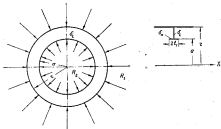


Рис. 51

Рассмотрим деформацию свободного пояска. Задача об осесимметричной деформации круговой цилиндрической оболочки сводится к задаче об изгибе балки-полоски, лежащей на сплошном упругом основании.

Дифференциальное уравнение изгиба этой балки-полоски имеет вид (см. ф-лу (20. IV))

$$EI \frac{d^2w}{dx^2} + kw = 0,$$

где

$$EI = \frac{J_0^2}{W(1-\mu^2)}; \quad k = \frac{R_2}{\sigma^2}.$$

Сформулируем граничные условия задачи. Как видно из рис. 52, нагрузка и конструкция рассмотриваемой балки-полоски симметричны относительно сечения $x=0$. Поэтому

$$\left. \begin{aligned} \frac{dw}{dx} &= 0 \\ EI \frac{d^2w}{dx^2} &= \frac{1}{2} R_2 \end{aligned} \right\} \text{при } x=0. \quad (218. IV)$$

Первое условие системы (218. IV) фиксирует равенство нулю угла поворота балки-полоски, а второе — перерезывающую силу, равную положение действующей внешней силы R_2 . Поскольку края свободного конца $x = \pm l_1$ совершенно свободны, изгибающий момент и перерезывающая сила на концах будут равны нулю. Таким образом, два других граничных условия имеют вид

$$\left. \begin{aligned} \frac{d\omega}{dx} &= 0 \\ \frac{d\omega}{dx} &= 0 \\ \text{при } x &= \pm l_1 \end{aligned} \right\}. \quad (219. IV)$$

Общий интеграл дифференциального уравнения (20. IV) определяется выражением

$$\omega = D_0 V_0(ax) + D_1 V_1(ax) + D_2 V_2(ax) + D_3 V_3(ax), \quad (220. IV)$$

где $V_0(ax)$, $V_1(ax)$, $V_2(ax)$, $V_3(ax)$ — четыре линейно независимых функции Пузыревского; D_0 , D_1 , D_2 , D_3 — производные постоянные интегрирования; коэффициент a определяется по формуле

$$a = \sqrt[4]{\frac{R_2}{4E}} = \frac{\sqrt[4]{3(1-\mu^2)}}{\sqrt{ab_0}}, \quad (221. IV)$$

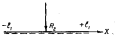


Рис. 32

Подставив решение (220. IV) граничным условиям (218. IV), получим

$$\omega = \frac{R_2}{4El_1^4 T^2} [V_0(ax) + D_0 V_1(ax) + D_2 V_2(ax)], \quad (222. IV)$$

Постоянные D_0 и D_2 определим из двух оставшихся граничных условий (219. IV). Подставив ф-лу (222. IV) в систему (219. IV), имеем следующую систему:

$$V_0(a) + D_0 V_0(a) + D_2 V_0(a) = 0,$$

$$V_1(a) + D_0 V_1(a) + D_2 V_1(a) = 0,$$

где

$$a = \frac{\sqrt[4]{3(1-\mu^2)}}{\sqrt{ab_0}} l_1. \quad (223. IV)$$

Учитывая правило дифференцирования функций Пузыревского, приведем эту систему уравнений к виду

$$V_0(a) - D_0 V_0(a) + D_2 V_0(a) = 0,$$

$$V_1(a) - D_0 V_1(a) + D_2 V_1(a) = 0.$$

В результате решения получим

$$D_0 = \frac{V_1(a)V_0(a) + V_0^2(a)}{V_0(a)V_1(a) + V_0^2(a)V_1(a)},$$

$$D_2 = \frac{V_0(a)V_1(a) - V_1^2(a)}{V_0(a)V_1(a) + V_0^2(a)V_1(a)}.$$

Учитывая, что при $x = 0$ функции $V_1(0)$ и $V_2(0)$ разны между собой, для прогиба свободного пояса в сечении $x = 0$ будем иметь следующее выражение:

$$w|_{x=0} = \frac{R_2}{4EI_y T_{\infty}} D_0.$$

Подставляя сюда выражение для D_0 , будем иметь

$$w|_{x=0} = \frac{R_2}{4EI_y T_{\infty}} \cdot \frac{V_1(a)V_2(0) + V_2^2(a)}{V_1(0)V_2(a) + V_1(a)V_2(0)}$$

или

$$w|_{x=0} = \frac{R_2 a^2}{2EI_y T_{\infty}} \cdot \frac{V_1(a)V_2(0) + V_2^2(a)}{V_1(0)V_2(a) + V_1(a)V_2(0)} \sqrt{2}\pi. \quad (224, IV)$$

С другой стороны, если рассматривать свободный поясок как концо, склоняемое равномерно распределенной нагрузкой интенсивности R_2 , то его прогиб определяется известной формулой

$$w = \frac{R_2 a^3}{E\pi}, \quad (225, IV)$$

где $a = 2l_0 b_0$ — площадь сечения пояска.

Более точное значение прогиба свободного пояска в сечении $x=0$ (см. формулу (224, IV)) может быть представлено в виде

$$w = \frac{R_2 a^3}{E\pi_1}, \quad (226, IV)$$

где π_1 — редукционный коэффициент рассматриваемого свободного пояска, определяемый формулой

$$\pi_1 = \frac{V_1(a)V_2(0) + V_2^2(a)}{[V_1(0)V_2(a) + V_1(a)V_2(0)] \cdot \gamma^2}. \quad (227, IV)$$

Значения редукционного коэффициента π_1 для различных значений a приведены в табл. 1.

Таблица 1

a	0	0,2	0,4	0,6	0,8	1,0	1,20
π_1	1,000	0,996	0,979	0,952	0,916	0,874	0,831

На таблице видно, что до значений $a < 0,4$ редукционный коэффициент π_1 близок к единице. Однако при дальнейшем увеличении a этот коэффициент существенно убывает.

Теперь найдем реакцию взаимодействия свободного пояса и стеки шлангоута R_y . Эту реакцию можно определить из рассмотрения деформации стеки. Стека шлангоута находится в условиях осесимметричной плоской деформации, поэтому для определения радиальных перемещений можно воспользоваться известным из теории упругости решением задачи Ляме (см. рис. 51).

Пусть w_x — радиальное перемещение наружного края стеки шлангоута, а w_y — радиальное перемещение ее внутреннего края. Из решения

задачи Ламе известно, что перемещение наружного края \bar{w}_1 и перемещение внутреннего края \bar{w}_2 определяются по формулам

$$\left. \begin{aligned} \bar{w}_1 &= R_1 \frac{r}{E\kappa_1} \left(\frac{r^2 + a^2}{r^2 - a^2} - \mu \right) = R_1 \frac{r}{E\kappa_1} \cdot \frac{2r^2}{r^2 - a^2} \\ \bar{w}_2 &= R_1 \frac{a}{E\kappa_1} \cdot \frac{2r^2}{r^2 - a^2} = R_1 \frac{a}{E\kappa_1} \left(\frac{r^2 + a^2}{r^2 - a^2} + \mu \right) \end{aligned} \right\}. \quad (228. IV)$$

Применив радиальное перемещение внутренней кромки стены, определенное по ф-ле (228. IV), перемещение свободного конца в месте их сопряжения (228. IV), получим

$$R_1 = R_1 \frac{\tau_0}{\kappa_1 + \kappa_2} \cdot \frac{\tau_0}{\tau_1}, \quad (229. IV)$$

где $\tau = b_c(r - a)$ — площадь сечения стакки,

$$\left. \begin{aligned} \tau_0 &= \frac{a^2 + ar}{2r^2} \\ \tau_1 &= \frac{a^2 + ar}{r^2 + a^2 + \mu(r^2 - a^2)} \end{aligned} \right\}. \quad (230. IV)$$

Подставив определенное по ф-лу (229. IV) значение R_1 в формулу для определения радиального перемещения наружного края стакки (228. IV), получим

$$\bar{w}_1 = R_1 \frac{r^2}{E\mu}, \quad (231. IV)$$

где

$$R_1 = \frac{\mu\tau_1 + \tau_0}{\tau_1 + \frac{3}{\mu}\tau_0} \tau_0. \quad (232. IV)$$

Здесь

$$\left. \begin{aligned} R_1 &= \frac{1 - \mu^2}{r^2 + ar - \mu^2} \\ \tau_0 &= \frac{ar + r^2}{2r^2 + r^2 - \mu(r^2 - a^2)} \end{aligned} \right\}. \quad (233. IV)$$

Формула (233. IV) дает величину R_1 , которую надо вводить в расчетные формулы вместо фактической площади сечения шлангоута. Поэтому величину R_1 называют *крайней площадью сечения шлангоутного кольца*.

§ 37. Об оценке напряженного состояния обшивки и шлангоутов прочного корпуса

Изложенные выше расчетные методы были посвящены определению напряжений, возникающих в обшивке и шлангоутах прочного корпуса при действии внешнего расчетного давления. Очевидно, прочность обшивки и шлангоутов будет обеспечена в том случае, если будет удовлетворен критерий прочности. Последний сводится к тому, что расчетные напряжения не должны превышать допускаемых норм, т. е.

$$\sigma \leq \sigma_{\text{доп.}}$$

Для возможности использования приведенного критерия необходимо регламентировать величины допускаемых напряжений. При этом следует иметь в виду, что исследование неучета влияния начальной и практически независимой неприменимости круговой формы оболочки, выполняемое иным расчетным методом, несет *условный* характер. Поэтому практические нормы для допускаемых напряжений должны быть согласованы с результатами натурных и модельных испытаний.

Рассмотрим сначала выбор расчетных сечений и определение норм допускаемых напряжений в обшивке прочного корпуса. Как было отмечено, суммарные напряжения в обшивку состоят из цепных напряжений (σ_1^c , σ_2^c) и изгибных напряжений (σ_{11}^c , σ_{22}^c).

Цепные напряжения во всех поперечных сечениях обшивки σ_2^c равны $-\frac{F_r}{B}$. Цепные напряжения в продольных сечениях обшивки σ_1^c достигают наибольшей величины (порядка $-\frac{F_r}{t}$) посередине шпангоута, т. е. в месте наибольшего изгиба обшивки, несколько уменьшаясь при приближении к переборкам. Как напряжения σ_1^c , так и напряжения σ_2^c не меняются по толщине обшивки. Таким образом, цепные напряжения σ_1^c и σ_2^c охватывают всю обшивку прочного корпуса, поэтому они относятся к категории общих напряжений. Расчеты показывают, что изгибные напряжения в поперечных сечениях обшивки σ_{11}^c по всей длине шпангоута (исключая небольшие участки доков шпангоутов или у переборок) практически ненелини.

Изгибные напряжения в продольных сечениях обшивки σ_{22}^c , составляющие $\frac{1}{2}$ -ю часть изгибных напряжений σ_{11}^c , естественно, еще меньше. Кроме того, изгибные напряжения меняются по толщине по линейному закону и достигают своих наибольших значений только в краиних фибрах обшивки. Поэтому практически по всей длине шпангоута (исключая небольшие участки длины у шпангоутов или переборок) изгибными напряжениями можно пренебречь. Изгибные же напряжения в поперечных сечениях обшивки у шпангоутов, и особенно у переборок, могут быть достаточно велики, однако они носят явно выраженный местный характер и уже на расстоянии 0,17 от шпангоута уменьшаются практически линейно. Следовательно, учет местных изгибных напряжений в поперечных сечениях обшивки представляет интерес только в сечениях у шпангоута или переборки.

Анализ напряженного состояния обшивки и шпангоутов прочного корпуса позволяет сделать следующие основные выводы в части нормирования допускаемых напряжений.

1. Основными напряжениями, определяющими прочность обшивки, являются цепные напряжения, имеющие общий характер распространения по длине и толщине обшивки.

2. Цепные напряжения в поперечных сечениях обшивки (σ_1^c) меньше цепных напряжений в ее продольных сечениях (σ_2^c) и составляют примерно половину от наибольших значений σ_2^c . Поэтому нормированию подлежат цепные напряжения только в продольных сечениях обшивки, т. е. колышевые скжимающие напряжения σ_2^c .

3. Учитывая, что наибольшие цепные напряжения в продольных сечениях обшивки σ_2^c имеют место посередине длины шпангоута, при проверке прочности по напряжениям достаточно проверить соблюдение условия прочности только посередине длины шпангоута.

4. Ввиду малости изгибных напряжений по всей длине обшивки, исключая сечения у шпангоутов и переборок, изгибными напряжениями при проверке прочности обшивки можно пренебречь (за исключением сечений у шпангоутов и переборок).

5. В сечении у шпангоутов, и особенно у переборок, изгибные напряжения в поперечных сечениях достаточно велики и, хотя они имеют явно выраженный местный характер, тем не менее могут оказать существенное влияние на прочность обшивки. Поэтому при проверке прочности по напряжениям учет изгибных напряжений в поперечных сечениях у шпангоутов или переборок обязательен.

6. Проверка прочности обшивки в ее поперечных сечениях у шпангоутов или переборок должна производиться либо по суммарным нормальным напряжениям ($\sigma_1 = \sigma_1^0 + \sigma_1^{per}$), либо по приведенным напряжениям ($\sigma_1^0 = \sigma_1 - \sigma_{21}$).

Критерии прочности обшивки имеют вид:

а) для ценных напряжений в продольных сечениях обшивки по среднему шпангоуту

$$\sigma_1^0 < a_1 \sigma_{21} \quad (234. IV)$$

где a_1 — предел текучести материала обшивки;

a_1 — коэффициент, показывающий, какую долю предела текучести должны составлять допускаемые ценные напряжения в продольных сечениях;

б) для приведенных напряжений в поперечных сечениях у шпангоутов или переборок

$$\sigma_1^0 < a_1 a_2 \quad (235. IV)$$

где a_2 — коэффициент, показывающий, какую долю предела текучести должны составлять допускаемые приведенные напряжения в поперечных сечениях;

в) для напряжений в шпангоутах

$$\sigma_{21} < a_3 \sigma_{21} \quad (236. IV)$$

где a_3 — коэффициент, показывающий, какую долю предела текучести должны составлять напряжения в шпангоутах.

§ 38. Краткий обзор работ по устойчивости круговой цилиндрической оболочки

Вопросы устойчивости круговых цилиндрических оболочек являются наиболее важными для строительной механики подводных лодок, так как прочный корпус последних на большей части длины выполняется в виде круговой цилиндрической оболочки. Поэтому вопросам устойчивости цилиндрических оболочек посвящено много теоретических и экспериментальных работ.

Одной из первых работ, посвященных этому вопросу, была работа Лоренца,* в которой исследовалась устойчивость круговой цилиндрической оболочки, свободно опертой по концам. При этом были рассмотрены два случая нагружения оболочки:

1. Оболочка загружена только поперечной нагрузкой.
2. Оболочка загружена только осевой нагрузкой.

Случай совместного действия на оболочку поперечной и осевой нагрузок Лоренц не рассматривал.

* E. Lorenz. Rendiconti Accad. Naz. Lincei, 1911.

В 1913 г. Спурсваль опубликовал приближенное решение этой же задачи,* причем, так же как и Лоренц, рассмотрел изолированно-случай воздействия на оболочку осевой и поперечной нагрузок.

Для случая поперечной нагрузки была предложена следующая приближенная формула для определения критического давления:

$$P'_{cr} = E \frac{1}{r} \left[\frac{\mu^2}{\pi(\mu^2 - 1)} \cdot \frac{r^2}{l^2} + \frac{\mu^2 - 1}{E(1 - \mu^2)} \cdot \frac{1}{\pi} \right], \quad (237. IV)$$

где μ — число волн, образующихся по периметру оболочек при потере устойчивости.

В 1914 г. более строгое решение задачи об устойчивости круговой цилиндрической оболочки было получено Мизесом.** При этом для критического давления автором была предложена следующая формула:

$$P'_{cr} = E \frac{1}{r} \left[\frac{1}{(q^2 - 1) \left(1 + \frac{q^2 \mu^2}{\pi^2 r^2} \right)} + \frac{1}{(2(1 - \mu^2))} \cdot \frac{\pi^2}{r^2} \times \right. \\ \left. \times \left(q^2 - 1 + \frac{2\mu^2 - 1 - \mu^2}{1 + \frac{q^2 \mu^2}{\pi^2 r^2}} \right) \right]. \quad (238. IV)$$

Профессор С. П. Тимошенко *** исследовал устойчивость круговой цилиндрической оболочки при осевом сжатии.

В 1916 г. Бубнов привел упрощение полученной Лоренцом расчетной формулы для определения критической нагрузки при поперечном сжатии на оболочку.

В результате проведенного исследования для случаев, когда при потере устойчивости по периметру оболочки образуется более пяти волн, Бубновым предложены следующие формулы:

$$P'_{cr} = \frac{Ea}{1 - \mu^2} \left(\frac{\pi}{r} \right)^2 K \\ \mu = k \sqrt{\frac{a}{r}}, \quad (239. IV)$$

где $a = \frac{\sqrt{2}}{l}$, а K и k — коэффициенты, зависящие от μ и a определяемые по табл. 2.

Таблица 2

μ	K	k	μ	K	k
1,0	3,31	3,18	0,35	1,41	2,48
0,9	2,98	2,94	0,30	1,30	2,49
0,8	2,67	2,60	0,25	1,20	2,51
0,7	2,36	2,23	0,20	1,11	2,54
0,6	2,06	2,04	0,15	1,03	2,56
0,5	1,78	1,74	0,10	0,95	2,53
0,45	1,62	1,51	0,05	0,89	2,66
0,40	1,52	1,49	0,00	0,83	2,74

* R. Spurkwell. Philosophical Magazine, 1913.

** R. Mises. Zeitschrift des Vereines der deutsche Ingenieure, 1914.

*** С. П. Тимошенко. О деформациях и устойчивости цилиндрических оболочек. „Национальный электротехнический институт”, 1924.

С помощью ф-л (239. IV) и табл. 2 легко определить как критическое давление, так и число волн при потере устойчивости.

В 1929 г. Мизес^{*} опубликовал решение задачи об устойчивости круговой цилиндрической оболочки при совместном действии поперечной и осевой нагрузок, представляющее особый интерес для строительной механики подводных лодок. При этом для критического давления Мизесом была предложена следующая формула:

$$P_{cr} = \frac{Eh}{r} \cdot \frac{1}{\mu^2 + \frac{1}{2} \left(\frac{\pi r}{l} \right)^2} \sqrt{\left[\frac{1}{\mu^2 \left(\frac{l}{rh} \right)^2 + 1} \right]^2 + \frac{2}{12 \pi^2 (1 - \mu^2)} \left[\mu^2 + \left(\frac{\pi r}{l} \right)^2 \right]^2}. \quad (240. IV)$$

Это решение нашло широкое применение в расчетной практике.

Исследование устойчивости круговых цилиндрических оболочек было посвящено более поздние работы Зандена^{**} и Томаса^{***} Фликте^{****} Шиманского^{*****} и других авторов.

Ниже приведено решение задачи об устойчивости круговой цилиндрической оболочки, свободно спертым по концам и загруженной осевой и поперечной нагрузками. Это решение получено исходя из изложенной в главе II общей теории устойчивости упругих тонких оболочек.

§ 30. Устойчивость круговой цилиндрической оболочки, свободно спретой по концам, под действием осевого и равномерного поперечного давления

Рассмотрим круговую цилиндрическую оболочку, свободно спретую по концам (рис. 53).

Оболочка загружена по торцам осевым давлением p , и по боковой поверхности поперечным давлением r . Положение любой точки срединной поверхности будем характеризовать координатами x и φ , где x — отстояние точки по образующей от одного из торцов оболочки; φ — угол, определяющий положение точки на направляющей.

В этом случае параметры Лине и главные радиусы кривизны срединной поверхности оболочки соответственно равны

$$A_1 = 1 \quad A_2 = r, \quad (241. IV)$$

$$R_1 = \infty \quad R_2 = r.$$

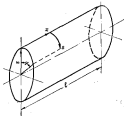


Рис. 53

* R. Mises, *Stokes-Festschrift*, Цюрих, 1929.

** K. Zandén, F. Töreke, *Ingensk-Archiv*, 1932.

*** W. Flügge, *Ingensk-Archiv*, 1932.

**** Ю. А. Шиманский, Устойчивость тонких цилиндрических оболочек и аналогичных систем, Сб. ИИИИК, № 6, 1936 (то же см. в книге Ю. А. Шиманского, *Строительная механика подводных лодок*, Судостроение, 1948).

Кроме того, в силу симметрии оболочки и нагрузки относительно оси цилиндрической оболочки в первом исходном состоянии оболочка не будет испытывать деформации сдвига, т. е.

$$S^1 = 0. \quad (242. IV)$$

Подставив ф-лы (241. IV) и (242. IV) в систему (18. II), получим систему дифференциальных уравнений устойчивости круговой цилиндрической оболочки

$$\left. \begin{aligned} \frac{\partial T_1}{\partial x} + \frac{1}{r} \cdot \frac{\partial S}{\partial \varphi} + F_1 &= 0 \\ \frac{\partial S}{\partial x} + \frac{1}{r} \cdot \frac{\partial T_1}{\partial \varphi} + \frac{1}{r} \cdot \frac{\partial M}{\partial x} + \frac{1}{r^2} \cdot \frac{\partial M_1}{\partial \varphi} + F_2 &= 0 \\ \frac{\partial M_1}{\partial x} + \frac{2}{r} \cdot \frac{\partial M}{\partial \varphi} + \frac{1}{r^2} \cdot \frac{\partial^2 M_1}{\partial \varphi^2} - \frac{1}{r} T_2 + F_3 &= 0 \end{aligned} \right\}, \quad (243. IV)$$

где функции F_1 , F_2 и F_3 определяются по ф-лам (16. III). После подстановки в ур-ние (18. II) ф-л (241. IV) и (242. IV) будем иметь

$$\left. \begin{aligned} F_1 &= -\frac{1}{r} \cdot \frac{\partial \omega_1}{\partial \varphi} T_2 - p \omega_1 \\ F_2 &= \frac{\partial \omega_1}{\partial x} T_1 + \frac{1}{r} \omega_1 T_1 + p \omega_1 \\ F_3 &= -\frac{\partial \omega_1}{\partial x} T_1 + \frac{1}{r} \cdot \frac{\partial \omega_1}{\partial \varphi} T_2 \end{aligned} \right\}. \quad (244. IV)$$

Входящие в ф-лы (244. IV) углы поворота ω_1 , ω_2 и ω_3 определяются из ф-л (21. II)–(23. II), которые после подстановки в них параметров Ляме и сдвиговых радиусов кривизны принимают вид

$$\left. \begin{aligned} \omega_1 &= \frac{1}{r} \cdot \frac{\partial \omega}{\partial \varphi} - \frac{\nu}{r} \\ \omega_2 &= -\frac{\partial \omega}{\partial x} \\ \omega_3 &= \frac{\partial \omega}{\partial x} - \frac{1}{r} \cdot \frac{\partial \omega}{\partial \varphi} \end{aligned} \right\}. \quad (245. IV)$$

Условия T_1^1 и T_2^1 определим из уравнений бимоментной теории. Дифференциальные уравнения равновесия круговой цилиндрической бимоментной оболочки приведены в главе I (ур-ние (28. I)). При $S^1 = 0$ эти уравнения имеют вид

$$\left. \begin{aligned} \frac{\partial T_1^1}{\partial x} &= 0 \\ \frac{T_1^1}{r} &= -p \end{aligned} \right\}. \quad (246. IV)$$

Из второго уравнения системы (246. IV) непосредственно получаем формулу для конькобивного условия

$$T_1^1 = -pr.$$

Интегрируя первое уравнение системы (246, IV), получим формулу для осевого усилия

$$T_1 = \text{const.}$$

Поскольку на торец оболочки действует давление p_1 , то суммарное осевое усилие, передавшееся на оболочку, будет

$$Q = -p_1 \pi r^2.$$

а осевое усилие, приходящееся на единицу длины окружности торца,

$$T_1' = \frac{Q}{2\pi r} = -\frac{p_1 r}{2}.$$

Следовательно, окончательно усилия исходного состояния оболочки равны

$$\left. \begin{aligned} T_1 &= -\frac{p_1 r}{2}, \\ T_2 &= -pr \end{aligned} \right\} \quad (247, IV)$$

Дополнительные усилия и моменты T_3, T_4, S, M_1, M_2, H связаны с компонентами деформации зависимостями (19, II). Последние же определяются через дополнительные перемещения ф-лами (20, II). Подставив в последние параметры Лагре и главные радиусы кривизны для круговой цилиндрической оболочки, придем к следующим выражениям для компонентов деформации:

$$\left. \begin{aligned} u_1 &= \frac{du}{dx}, & u_2 &= -\frac{\partial w}{\partial x}, \\ u_3 &= \frac{1}{r} \cdot \frac{dw}{\partial \varphi} + \frac{w}{r}, & u_4 &= \frac{1}{r^2} \left(-\frac{\partial^2 w}{\partial x^2} + \frac{\partial w}{\partial \varphi} \right), \\ u &= \frac{dv}{dx} + \frac{1}{r} \cdot \frac{dw}{\partial \varphi}, & v &= -\frac{1}{r} \cdot \frac{\partial^2 w}{\partial x \partial \varphi} + \frac{1}{r} \cdot \frac{dw}{\partial x} \end{aligned} \right\} \quad (248, IV)$$

Подстановкой компонентов деформации, определенных по формулам (248, IV), в ф-лы (19, II) получим выражения для дополнительных усилий T_3, T_4, S и дополнительных моментов M_1, M_2, H через дополнительные перемещения оболочки u, v и w .

После подстановки этих усилий и моментов, а также функций F_1, F_2 и F_3 , определенных по ф-лам (244, IV), окончательно приходим к следующей системе линейных однородных дифференциальных уравнений устойчивости круговой цилиндрической оболочки:

$$\left. \begin{aligned} r^2 \frac{d^2 w}{dx^2} + \frac{1+\mu}{2} \cdot \frac{r^2 \partial w}{\partial x \partial \varphi} - p^2 \frac{dw}{dx} + \frac{1-\mu}{2} \cdot \frac{\partial^2 w}{\partial x^2} + r F_2 \left(\frac{\partial w}{\partial x \partial \varphi} - \frac{\partial w}{dx} \right) &= 0, \\ \frac{1+\mu}{2} r \frac{\partial w}{\partial x \partial \varphi} + \frac{1-\mu}{2} r^2 \frac{\partial^2 w}{\partial x^2} + \frac{\partial^2 w}{\partial \varphi^2} - \frac{\partial w}{\partial \varphi} + \\ + \frac{\mu}{12r^2} \left[\frac{\partial^2 w}{\partial \varphi^2} + \frac{\partial^2 w}{\partial x \partial \varphi} + r^2 \frac{\partial^2 w}{\partial x^2 \partial \varphi} + r^2(1-\mu) \frac{\partial^2 w}{\partial x^2} \right] - r^2 F_2 \frac{\partial^2 w}{\partial x^2} &= 0, \\ \mu r \frac{dw}{dx} + \frac{\partial w}{\partial \varphi} - w - \frac{\mu}{12r^2} \left[\frac{\partial^2 w}{\partial \varphi^2} + (2-\mu)r^2 \frac{\partial^2 w}{\partial x^2 \partial \varphi} + r^2 \frac{\partial^2 w}{\partial x^2} + \right. \\ \left. + \frac{\partial^2 w}{\partial \varphi^2} + 2r^2 \frac{\partial^2 w}{\partial x^2 \partial \varphi^2} \right] - F_2 \left(w + \frac{\partial w}{\partial \varphi} \right) - F_1 r^2 \frac{\partial^2 w}{\partial \varphi^2} &= 0 \end{aligned} \right\} \quad (249, IV)$$

Здесь

$$\left. \begin{aligned} x_1 &= \frac{\rho r}{E I} \cdot \frac{1-\mu^2}{2} \\ x_2 &= \frac{\rho r}{E I} (1-\mu^2) \end{aligned} \right\}, \quad (250. IV)$$

Как видно из ф-и (250. IV), величины x_1 и x_2 пропорциональны осевому давлению ρ_1 и креновому давлению ρ соответственно. Интегрирование системы (249. IV) затруднительно. Решение этой системы будем искать в виде

$$\left. \begin{aligned} u &= A \sin \frac{\pi x}{l} \cos \frac{\pi z}{l} \\ v &= B \cos \frac{\pi x}{l} \sin \frac{\pi z}{l} \\ w &= C \sin \frac{\pi x}{l} \sin \frac{\pi z}{l} \end{aligned} \right\}, \quad (251. IV)$$

где $2n$ — число полуволни по периметру оболочки, образующихся при потере устойчивости;

m — число полуволни по длине оболочки, образующихся при потере устойчивости.

Выражения (251. IV) дают дополнительных перемещений удовлетворяют граничным условиям. Подставив выражения (251. IV) в систему (249. IV) мы придём к системе трех линейных однородных алгебраических уравнений относительно коэффициентов A, B и C .

Решением этой системы будет либо равенство нулю A, B и C (что соответствует отсутствию потери устойчивости, так как при $A=B=C=0$ равны нулю и дополнительные перемещения u, v и w), либо равенство нулю определителя этой системы, раскрытия которого получим уравнение для определения критических нагрузок

$$C_3 + \frac{\mu^2}{E^2 I^2} C_1 = C_{43} + C_{44}, \quad (252. IV)$$

где

$$\left. \begin{aligned} C_1 &= (1-\mu^2) \lambda^4, \\ C_3 &= (\lambda^2 + \mu^2)^2 - 2 [\mu^2 + 3k^2 n^2 + (4-\mu) \lambda^2 n^2 + \mu^4] + \\ &\quad + 2 (2-\mu) \lambda^2 n^2 + \mu^4, \\ C_4 &= \mu^2 (\lambda^2 + \mu^2)^2 - 3k^2 n^2 - \mu^4 \\ C_4 &= \lambda^2 (\lambda^2 + \mu^2)^2 + \lambda^2 n^2 \end{aligned} \right\}, \quad (253. IV)$$

$$\lambda = \frac{\pi n l}{l}$$

Поскольку уравнение для определения критических нагрузок (252. IV) одно, а неизвестных два (ρ_1 и ρ_2 или их соответствующие величины x_1 и x_2), то решение является неопределенным. Можно получить бесконечное множество комбинаций критических нагрузок, удовлетворяющих ур-нию (252. IV). Поэтому для определенности решения необходимо, чтобы одно из действующих усилий было задано, либо было задано их отношение.

Отметим также, что числа полуудела 2μ и m при потере устойчивости могут принимать любые значения. Каждой паре значений 2μ и m соответствует одна комбинация критической нагрузки. Практический интерес, естественно, представляют лишь те значения μ и m , которым соответствуют наименьшие значения критических нагрузок.

Наибольший практический интерес для кораблестроения представляет случай, когда оболочка во всей цилиндрической поверхности к торцам загружена одним и тем же давлением интенсивности p , т. е. случай, когда $p_1 = p$. В этом случае

$$X_1 = \frac{1}{3} X_2 \quad (254. IV)$$

Анализ показывает, что в этом практически важном случае наименьшее значение критической нагрузки всегда соответствует $m=1$, т. е. оболочка теряет устойчивость с образованием одной полуволны по длине.

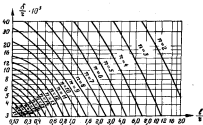


Рис. 54

Подставляя равенство (254. IV) в формулу (252. IV) с учетом зависимостей (253. IV), пренебрегая малыми членами, в формуле Мизеса

$$P'_{cr} = \frac{E}{r} \cdot \frac{1}{m + \frac{1}{2} \left(\frac{m^2}{T} \right)^{\frac{1}{2}}} \left\{ \left[m^2 \left(\frac{1}{m^2} \right)^{\frac{1}{2}} + \frac{m^2}{(2m^2 + 1)^{\frac{1}{2}}} \left[m^2 + \left(\frac{m^2}{T} \right)^{\frac{1}{2}} \right] \right] \right\} \quad (255. IV)$$

Число волн n по периметру оболочки, обращающее P'_{cr} в минимум, зависит от отношения толщины оболочки к радиусу $\left(\frac{t}{r}\right)$ и длины оболочки к радиусу $\left(\frac{l}{r}\right)$.

Значения числа волн n , соответствующие минимуму критической нагрузки, можно определить из рис. 54.*

* Рисунок 54 заимствован из книги С. П. Тимошенко „Устойчивость упругих систем“. Гостехиздат, 1948.

Формула (255. IV) может быть рекомендована для определения критического давления обшивки прочного каркаса между шпангоутами. При этом давления обшивки должна быть принята равной расстоянию между шпангоутами.

Отметим, что рассмотренный общий случай действия на оболочку одновременно осевой и поперечной нагрузок позволяет получить решения как для случая действия осевой, так и для случая действия только поперечной нагрузки. Действительно, положив $\rho_1 = 0$, а следовательно, $x_1 = 0$, из ур-ния (252. IV) определим x_2 и ему соответствующую ρ_{2p} для случая действия только поперечной нагрузки. Напротив, положив $\rho = 0$ я, следовательно, $x_2 = 0$, из ур-ния (252. IV) определим x_1 и соответствующую ему ρ_{1p} для случая только продольной нагрузки.

§ 40. Использование энергетического метода для определения критического давления круговой цилиндрической оболочки

Решение Шиманского

Использование энергетического метода для определения критических нагрузок проиллюстрируем на решении Шиманского. В решении Шиманского также рассматривается круговая цилиндрическая оболочка, свободно сидящая по концам и загруженная осевой и поперечной нагрузками интенсивности ρ .

Существенным отличием этого решения от приведенных выше является учет упругости подкрепляющих оболочку ребер на устойчивость оболочки между ребрами. В рассмотренных выше решениях предполагалось, что в исходном состоянии оболочка равномерно скжата по длине, т. е. радиальное перемещение w по длине постоянно и равно таковому для безреберной оболочки.

Введем следующие дополнительные обозначения:

$k = \frac{\rho}{\rho + k}$ — коэффициент, характеризующий жесткость подкрепляющих оболочку ребер;

$\alpha = \frac{k}{1+2k}$ — коэффициент влияния жесткости подкрепляющих ребер на устойчивость оболочки;

$T_1 = -\frac{\rho w}{2}$ — внешнее осевое усилие, отнесенное к единице длины направляющей.

Компоненты деформации срединной поверхности оболочки связаны с дополнительными перемещениями x_1 , x_2 и w зависимостями:

$$\left. \begin{aligned} x_1 &= \frac{\partial w}{\partial x} + \frac{1}{2} \left(\frac{\partial w}{\partial x} \right)^2 & x_2 &= -\frac{\partial w}{\partial x^2} \\ x_2 &= \frac{1}{r} \cdot \frac{\partial w}{\partial \varphi} + \frac{w}{r} & x_3 &= \frac{1}{r^2} \left(-\frac{\partial^2 w}{\partial \varphi^2} + \frac{\partial w}{\partial r} \right) \\ w &= \frac{\partial w}{\partial x} + \frac{1}{r} \cdot \frac{\partial w}{\partial \varphi} & v &= -\frac{1}{r} \cdot \frac{\partial^2 w}{\partial x \partial \varphi} + \frac{1}{r} \cdot \frac{\partial w}{\partial x} \end{aligned} \right\}. \quad (256. IV)^*$$

* Ю. А. Шиманский в выражении для относительного удлинения v , рассчитывает начальный член $\frac{1}{2} \left(\frac{\partial w}{\partial x} \right)^2$. (Ю. А. Шиманский. Строительные механизмы подводных лодок. Судоремонт, 1948).

Потенциальная энергия деформации оболочки определяется по формуле (114, I)

$$V = \frac{E\alpha}{1-\mu^2} \int \int \left[(\epsilon_1 + \epsilon_2)^2 - 2(1-\mu) \left(\epsilon_1 \epsilon_2 - \frac{\omega^2}{r} \right) \right] r d\varphi dx + \\ + \frac{E\alpha}{12(1-\mu^2)} \int \int \left[(\epsilon_1 + \epsilon_2)^2 - 2(1-\mu) (\epsilon_1 \epsilon_2 - \omega^2) \right] r d\varphi dx, \quad (257, IV)$$

где интегралы берутся по всей срединной поверхности оболочки. Для возможности использования энергетического метода необходимо задать выражения для дополнительных перемещений α , v и ω .

В выражении для дополнительного прогиба оболочки будем удерживать только один член

$$\omega = A \sin \frac{\pi x}{l} \sin \varphi, \quad (258, IV)$$

Основное перемещение v выберем исходя из следующих соображений. Так как при переходе оболочки из первого (исходного) положения во второе внешняя осевая нагрузка не меняется, то сумма осевых усилий, возникающих в любом поперечном сечении, должна равняться нулю, т. е.

$$\int_0^{2\pi} T_1 r d\varphi = 0,$$

но

$$T_1 = \frac{E\alpha}{1-\mu^2} (\epsilon_1 + \mu \epsilon_2).$$

Тогда

$$\frac{E\alpha}{1-\mu^2} r \int_0^{2\pi} (\epsilon_1 + \mu \epsilon_2) d\varphi = 0. \quad (259, IV)$$

Если учесть, что при выбранной форме ω , определяемой по формуле (258, IV), $\int_0^{2\pi} \omega d\varphi = 0$ и пренебречь выражением для ϵ_2 членом $\frac{1}{r} \cdot \frac{dv}{dx}$, то интеграл

$$\int_0^{2\pi} \epsilon_1 d\varphi = 0,$$

поэтому из условия (259, IV) следует:

$$\int_0^{2\pi} \epsilon_2 d\varphi = 0. \quad (260, IV)$$

Подставив в формулу (260, IV) значение ϵ_2 из формулы (258, IV), приводим к равенству

$$\int_0^{2\pi} \frac{dv}{dx} dx = -\frac{1}{2} \int_0^{2\pi} \left(\frac{dv}{dx} \right)^2 dx.$$

Допустим, что поперечные сечения оболочки при выпучивании остаются плоскими, т. е. перемещение v не зависит от φ . Тогда

в результате интегрирования левой и правой частей равенства будем иметь:

$$\frac{du}{dx} = -\frac{1}{4} \cdot \frac{\pi^2 c^2}{l^2} A^2 \cos^2 \frac{\pi x}{l},$$

$$u = -\frac{1}{4} \cdot \frac{\pi^2 c^2}{l^2} A^2 \left(\frac{l}{4\pi c} \sin \frac{2\pi x}{l} + \frac{x}{l} \right) + C,$$

где C — произвольная постоянная интегрирования.

Вследствие симметрии нагрузки и конструкции относительно сечения $x = \frac{l}{2}$ (бесение изображение пролета между опорами), перемещение u в этом сечении должно быть равно нулю

$$u = 0. \quad (261, IV)$$

Из условия (261, IV) и определяется постоянная интегрирования C , которая оказывается равной

$$C = \frac{1}{32} \cdot \frac{\pi^2 c^2}{l^2} A^2.$$

Окончательно осевое перемещение u будет равно

$$u = -\frac{1}{16} \cdot \frac{\pi^2 c^2}{l^2} A^2 \left(\frac{l}{4\pi c} \sin \frac{2\pi x}{l} + \frac{2x}{l} - 1 \right). \quad (262, IV)$$

Остается определить кольцевое перемещение ψ . Это перемещение может быть определено исходя из рассмотрения равновесия элемента оболочки (рис. 56).

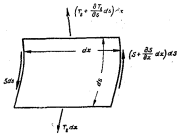


Рис. 56

Спроектируем все усилия на направление направляющей цилиндра. На левую грани выделенного элемента действует касательное усилие

это Sds , равное $Sds = \frac{Eh}{2(1+\mu)} ads$. На правую грань, отстоящую от левой на расстоянии dx , будет действовать, очевидно, касательное усилие

$$-\left(S + \frac{\partial S}{\partial x} dx\right) ds = -\frac{Eh}{2(1+\mu)} \left(s_1 + \frac{\partial s_1}{\partial x} dx\right) ds.$$

На нижнюю грань будет действовать нормальное усилие $T_y dx$, равное

$$T_y dx = \frac{Eh}{1-\mu^2} (s_1 + \mu s_2) dx$$

или, приравняв $s_1 = 0$,

$$T_y dx = \frac{Eh}{1-\mu^2} s_2 dx.$$

На верхнюю грань, отстоящую от нижней на расстоянии ds , будет действовать нормальное усилие

$$-\left(T_y + \frac{\partial T_y}{\partial x} dx\right) ds = -\frac{Eh}{1-\mu^2} \left(s_2 + \frac{\partial s_2}{\partial x} ds\right) dx.$$

Проектируя эти усилия на направление направляющей цилиндра и приравнивая их нулю, будем иметь

$$\frac{E}{1-\mu^2} \cdot \frac{\partial s_1}{\partial x} = -\frac{E}{2(1+\mu)} F \frac{ds}{dx}.$$

Подставив сюда s_1 и s из ф-л (266, IV), приходим к уравнению

$$\frac{2}{(1-\mu)^2} \cdot \frac{\partial s_1}{\partial x} + \frac{\partial s_2}{\partial x} = \frac{2}{(1-\mu)^2} \lambda \cdot \frac{ds}{dx}. \quad (263, IV)$$

Решение дифференциального уравнения (263, IV) принимаем в виде

$$\theta = B \sin \frac{m\pi x}{l} \cos \varphi. \quad (264, IV)$$

Подставляя выражение (264, IV) в дифференциальное ур-ние (263, IV), определим B . В результате получим следующее выражение для вольного перемещения θ :

$$\theta = -A \frac{1}{x} \cdot \frac{1}{1 + \frac{1-\mu}{2} \cdot \frac{\pi^2 m^2}{l^2} \cdot \frac{a^2}{\lambda^2}} \sin \frac{m\pi x}{l} \cos \varphi. \quad (265, IV)$$

Теперь все три компонента вектора дополнительного перемещения найдены, причем в каждый из них входит неизвестный параметр A , являющийся амплитудным значением нормального прогиба ω .

Определив по ф-лам (266, IV) компоненты деформации срединной поверхности оболочки и подставив их в выражение для потенциальной энергии деформации оболочки (257, IV'), после интегрирования получим

$$V = A^2 \frac{E}{1-\mu^2} \cdot \frac{\pi h}{4r} \left\{ \frac{1}{1 + \frac{1-\mu}{2} \cdot \frac{\pi^2 m^2}{l^2} \cdot \frac{a^2}{\lambda^2}} \left[\frac{\pi^2 m^2}{l^2} \left(\frac{r}{l}\right)^4 + \right. \right. \\ \left. \left. + 2\pi^2 m^2 \left(\frac{r}{l}\right)^2 (a^2 - \mu) + (a^2 - 1)^2 \right] \right\}. \quad (266, IV)$$

Формула (266. IV) определяет дополнительную потенциальную энергию деформации оболочки на перемещениях ψ , θ и ϕ .

Перейдем к определению работы внешних сил на этих же перемещениях. Работу внешних сил можно разделять на две составляющие: работу осевых сил T и работу поперечного давления p . Работу осевых сил будет равна произведению полной осевой силы на изменение расстояния между шпангоутами. Определим изменение расстояния между шпангоутами.

Основные перемещения обшивки у шпангоутов определяются подстановкой в выражение (262. IV) значений $x = 0$ и $x = l$, после чего получим

$$w_{0,1} = \pm \frac{1}{3E} \cdot \frac{\pi^2 r^2}{l} A^2.$$

Следовательно, изменение расстояния между шпангоутами будет равно

$$\Delta l = -\frac{1}{6} \cdot \frac{\pi^2 r^2}{l} A^2.$$

Работа осевых сил будет

$$U_1 = T_1 2\pi \Delta l = T_1 \frac{\pi^2 r^2}{4} \cdot \frac{l}{6} A^2. \quad (267. IV)$$

Работу поперечного давления p можно определить вычислением работы сжимающих усилий, вызванных нагрузкой p , в меридианальных сечениях оболочки. Для этого выделим из оболочки кольцо длины попе-речными сечениями, остоящими друг от друга на расстояние, равное единице.

При потере устойчивости оболочки кольцевые усилия T_2 повернутся друг относительно друга на некоторый угол ψ , вследствие чего равнодействующая усилий T_2 получает приращение $\sqrt{T_2}$. Поэтому величина усилия T_2 на устойчивость кольца определяется работой фактической нагрузки жесткостью $\sqrt{T_2}$, приложенной по окружности кольца. Эта работа для элемента кольца длиной $r d\phi$ будет равна $-\frac{1}{2} \pi T_2 r d\phi$, и для всего кольца

$$-\frac{T_2}{2} \int_0^{2\pi} \pi r^2 d\phi. \quad (268. IV)$$

Подставляя в интеграл ф-лу (268. IV), получим полную работу

$$U_2 = -\frac{r}{2} \int_0^l T_2 dx \int_0^{2\pi} \pi r^2 d\phi. \quad (269. IV)$$

Определим относительный угол поворота ψ . Вследствие кольцевых перемещений ψ один конец элемента кольца длиной $ds = rd\phi$ переместится на величину ψ , а другой, отстоящий от первого на расстоянии ds , на величину $\psi + \frac{\partial \psi}{\partial s} ds$. Следовательно, длина элемента увеличится на величину $\frac{\partial \psi}{\partial s} ds$, а относительный угол, соответствующий этому увеличению длины, будет равен $\frac{1}{r} \cdot \frac{\partial \psi}{\partial s} ds$.

Вследствие перемещений φ концы элемента повернутся друг относительно друга на угол $\frac{\partial \varphi}{\partial r} ds$, поэтому суммарный относительный угол поворота, отнесенный к единице длины кольца, будет

$$\theta = \frac{\partial \varphi}{\partial r} + \frac{1}{r} \cdot \frac{\partial \varphi}{\partial s} = \frac{1}{R^2} \left(\frac{\partial \varphi}{\partial r} + \frac{\partial \varphi}{\partial s} \right).$$

Теперь подставим в получившее выражение из ф-лы (268. IV) и в из ф-лы (269. IV), получим

$$z = -\frac{A}{R^2} \left(R^2 - \frac{1}{1 + \frac{1-\mu}{2} \cdot \frac{\partial \varphi}{\partial r} + \frac{\partial \varphi}{\partial s}} \right) \sin \pi \varphi.$$

Интеграл, входящий в ф-лу (269. IV), будет равен

$$\int_0^{2\pi} z \cos \varphi d\varphi = -\frac{\pi A^2}{R^2} \left(R^2 - \frac{1}{1 + \frac{1-\mu}{2} \cdot \frac{\partial \varphi}{\partial r} + \frac{\partial \varphi}{\partial s}} \right) \sin^2 \frac{\pi \varphi}{2}.$$

Учтем T_1 , входящее в интеграл (269. IV). Штаненский принимает соответствующим первому исходному состоянию оболочку

$$T_1 = E b \frac{w'}{r} + p T_0,$$

причем прогиб оболочки w' в исходном состоянии принимается в виде

$$w' = w_{\infty} + \frac{1}{2} \sum_{m=1, 2, 3, \dots} f_m \left(1 - \cos \frac{2\pi m \varphi}{l} \right).$$

Подставляя T_1 в ф-лу (269. IV), после интегрирования имеем

$$U_1 = \frac{\pi l}{4r} [pr(1-x) + \mu s T_0] \left(R^2 - \frac{1}{1 + \frac{1-\mu}{2} \cdot \frac{\partial \varphi}{\partial r} + \frac{\partial \varphi}{\partial s}} \right) A^2. \quad (270. IV)$$

Зная работу осевых сил и поперечного давления и суммируя их, получим суммарную работу вынужденных сил

$$U = T_1 \frac{\partial \varphi}{\partial r} \cdot \frac{l}{r} A^2 + \frac{\pi l}{4r} [pr(1-x) + \mu s T_0] \left(R^2 - \frac{1}{1 + \frac{1-\mu}{2} \cdot \frac{\partial \varphi}{\partial r} + \frac{\partial \varphi}{\partial s}} \right) A^2. \quad (271. IV)$$

Приравняем работу внешних сил U приращению потенциальной энергии V . Тогда после сокращения на A^2 получим следующее окончательное выражение для критической нагрузки:

$$P'_{cr} = \frac{E}{1-\mu^2} \cdot \frac{b}{r} \cdot \left\{ \frac{1}{\frac{(1-\mu^2)(n^2-1) + \frac{\mu^2}{\beta^2}}{(1-0,85\mu)n^2 \frac{1-\mu^2}{2} + \frac{\mu^2}{\beta^2} + \frac{1}{2} + \frac{\mu^2}{\beta^2}}} \times \right. \\ \left. \times \left\{ \frac{\frac{\mu^2 n^2}{\beta^2}}{\frac{2}{1-\mu} n^2 + \frac{\mu^2}{\beta}} + \frac{\mu^2}{12\beta^2} \left[\frac{n^2}{\beta} + 2(n^2 - \mu) \frac{\mu^2}{\beta} + (n^2 - 1)^2 \right] \right\} \right\}. \quad (272, IV)$$

Если при потере устойчивости оболочка разбивается на большое число колец, то $n^2 - 1 \approx n^2$. Положив, кроме того, $\mu = 0,3$, формулу (272, IV) можно привести к виду

$$P'_{cr} = 1,15 \frac{b}{r} \cdot \frac{1}{(1-0,45\mu)n^2 + \frac{1}{2}\left(\frac{n^2}{T}\right)^2} \left\{ \frac{\left(\frac{n^2}{T}\right)^2}{2n^2 + \left(\frac{n^2}{T}\right)^2} + \frac{\mu}{12\beta^2} \left[n^2 + \left(\frac{n^2}{T}\right)^2 \right] \right\}. \quad (273, IV)$$

Множителем $(1-0,45\mu)$ учитывается влияние жесткости подкрепляющих ребер на устойчивость оболочки.

§ 41. Расчетные формулы для определения критического давления обшивки прочного корпуса подводных лодок

Большое количество теоретических исследований устойчивости круговых цилиндрических оболочек привело к большому числу расчетных формул для определения критического давления. Каждая из формул учитывает те или иные факторы и выведена при некоторых допущениях. Поэтому целесообразно произвести сравнение этих расчетных формул, чтобы оценить их относительную погрешность. Такое сравнение формул и их анализ были выполнены Папковичем.* Большое тело, Папкович существенно упростил расчетные формулы Саусвилла и Мукса и привел их к виду, удобному для практического использования.

Основными формулами, получившими широкое распространение в расчетной практике, являются формулы Саусвилла (237, IV)

$$P'_{cr} = E \frac{b}{r} \left[\frac{n^2}{n^2(n^2-1)} \cdot \frac{r^4}{28} + \frac{n^2-1}{12(1-\mu^2)} \cdot \frac{\mu^2}{r^2} \right]$$

и две формулы Мукса (238, IV) и (240, IV)

$$P'_{cr} = E \frac{b}{r} \left[\frac{1}{(n^2-1) \left(1 + \frac{\mu^2}{2n^2} \right)} + \frac{1}{12(1-\mu^2)} \cdot \frac{n^2}{r^2} \left(n^2 - 1 + \frac{2n^2 - 1 - \mu^2}{1 + \frac{\mu^2}{2n^2}} \right) \right],$$

$$P'_{cr} = E \frac{b}{r} \cdot \frac{1}{n^2 + \frac{1}{2} \left(\frac{n^2}{T} \right)^2} \left\{ \frac{1}{\left[n^2 \left(\frac{1}{n^2} + 1 \right) \right]^2} + \frac{\mu^2}{12\beta^2(1-\mu^2)} \left[n^2 + \left(\frac{n^2}{T} \right)^2 \right] \right\}.$$

* П. Ф. Папкович. Расчетные формулы для проверки устойчивости цилиндрической оболочки. Бюлл. НТК, Вып. 2, 1939 (то же см. в работе П. Ф. Папковича, Труды по прочности кораблей. Судостроение, 1939).

Как уже отмечено, формулы (237. IV) и (238. IV) были получены без учета осевой нагрузки на устойчивость оболочки, а формула (240. IV) учитывает и осевую нагрузку. При использовании этих формул для расчета устойчивости обшивки между шпангоутами за величину δ следует принимать расстояние между шпангоутами. Для прочных корабельных подводных лодок характерно большое количество волн, образующихся по периметру Кильвард при потере устойчивости. Это обстоятельство дает возможность существенно упростить формулы (237. IV), (238. IV) и (240. IV).

Упрощение формулы Саусвейла

Если известны обозначения:

$$x = \mu^2 - 1, \quad (274. IV)$$

$$A = \frac{12(1-\mu^2)\pi r^2}{N^2}, \quad (275. IV)$$

то формуле Саусвейла можно придать вид

$$P_{cr} = \frac{E}{12(1-\mu^2)} \cdot \frac{\pi r^2}{r^2} \cdot \left[\frac{A}{x(x+1)^2} + x \right]. \quad (276. IV)$$

Входящее в расчетные формулы число волн при потере устойчивости может быть произвольным, но целым. Каждому из таких чисел соответствует свое значение теоретического критического давления. Естественно, что практический интерес представляют лишь наименьшие значения этого давления, т. е. те наименьшие нагрузки на обшивку прочного корпуса, при которой последняя теряет устойчивость.

Предположим, что числа n могут быть не только целыми, но и любыми дробными числами. Тогда мы можем, пользуясь правилом определения минимума функции, определить как минимальное значение P_{cr} , так и число n , ему соответствующие.

Допустим, что значение n , соответствующее минимуму P_{cr} , оказалось равным 11,2. Тогда, очевидно, P_{cr} соответствующее целым числам n (11 и 12), будет несколько больше определенного минимального значения. Однако при достаточно большом числе n эта погрешность весьма небольшая, направлена в сторону увеличения запаса устойчивости и практически с нею считаться не следует.

Итак, считая, что n может принимать любые вещественные значения (как целые, так и дробные), определим минимальное значение P_{cr} .

Возьмем производную $\frac{dP_{cr}}{dx}$ и приравняв ее нулю, получим то значение x , которое обращает P_{cr} в минимум. Это значение x определяется из формулы

$$\frac{x^2(x+1)^2}{2x+1} = A. \quad (277. IV)$$

Обычно величина A велика в сравнении с единицей. Это позволяет в формулах (276. IV) и (277. IV) пренебречь единицей в сравнении с x . Выполнив это, получим $x = \sqrt{3A}$.

И

$$P_{cr} = \frac{EA^{0.5}}{12(1-\mu^2)} \cdot \frac{\nu}{r^2} \left(\frac{1}{\sqrt{3A}} + 3^{0.5} \right) = 1.75 \frac{EA^{0.5}}{12(1-\mu^2)} \cdot \frac{\nu}{r^2}. \quad (278. IV)$$

Подставив в ф-лу (278. IV) значение A из ф-лы (275. IV), будем иметь

$$P'_{cr} = 1,73\pi E \frac{\sqrt{12(1-\mu^2)}}{12(1-\mu^2)} \cdot \frac{r^2}{r^2} \cdot \frac{r^{12}}{R^{12}} = 0,855 \sqrt{1-\mu^2} \frac{E \cdot 10^{-3}}{1-\mu^2} \left(\frac{100}{r}\right)^{12} \frac{100}{t}$$

или, учитывая, что численное значение радиала $\sqrt{1-\mu^2}$ при μ , отличных по величине от $\mu=0,3$, дает погрешность, не превышающую 2–4%, имеем

$$P'_{cr} = 0,83 \frac{E \cdot 10^{-3}}{1-\mu^2} \left(\frac{100}{r}\right)^{12} \frac{100}{t}. \quad (279. IV)$$

Если принять упругие константы материалов для стали равными $E = 2 \cdot 10^5$ кг/см², $\mu = 0,3$, то ф-ла (279. IV) можно придать вид

$$P'_{cr} = 18,3 \left(\frac{100}{r}\right)^{12} \frac{100}{t}. \quad (280. IV)$$

Как видно, ф-ла (280. IV) достаточно проста и не требует отыскания числа воли n , соответствующего минимуму критической нагрузки. В дальнейшем эту формулу будем называть формулой Саусзона – Панковича.

Упрощение первой формулы Мизеса

Перейдем к упрощению первой формулы Мизеса (238. IV), для чего сделаем следующие обозначения:

$$\left. \begin{array}{l} A = \frac{12(1-\mu^2)+4\mu^2}{R^2} \\ x = R^2 \\ s = \frac{4\mu^2}{R} \end{array} \right\}, \quad (281. IV)$$

Применимтельно к общему прочного корпуса будем считать n достаточно большим, так что можно пренебречь единицей в сравнении с n^2 . В этом случае первая формула Мизеса можно придать вид

$$P'_{cr} = E \frac{V^2}{t^2} \cdot \frac{1}{12(1-\mu^2)} \left[\frac{A}{(x+s)^2} + x + \frac{2ax}{x+s} \right]. \quad (282. IV)$$

Определим минимальное значение P'_{cr} , путем дифференцирования до x и приравнивания производной нулю, будем иметь

$$\frac{A(3x+s)}{x^2(x+s)^2} = 1 + \frac{2as}{(x+s)^2},$$

откуда значение x , обращающее критическое давление в минимум, определяется по формуле

$$x = \sqrt[4]{\frac{3A}{1+2y+3j^2} \cdot \frac{1+\frac{1}{3}y}{1+y}} \quad (283. IV)$$

где $y = \frac{B}{x}$.

Таким образом, величина x входит в левую и правую части равенства (283. IV). Поэтому, зная величины A и y , методом последовательных приближений можно найти x и y , после чего выражение для критической нагрузки примет вид

$$\begin{aligned} P'_{cr} = & \frac{1,75E}{12(1-y^2)} \cdot \frac{w}{x^2} A^{0,25} \cdot \frac{\left(1+\frac{1}{3}y\right)^{0,25}}{(1+2y+3j^2)(1+j)^{0,25}} \times \\ & \times \left[\frac{3}{4}(1+2y) + \frac{1}{4} \cdot \frac{1+2y+3j^2}{1+\frac{1}{3}y} \right]. \end{aligned}$$

Сравнив выражение первой формулы Мизеса с аналогичным выражением формулы Саусселя, получим

$$(P'_{cr})_{\text{по Мизесу}} = c (P'_{cr})_{\text{по Саусселя}}$$

где c — коэффициент, равный

$$c = \frac{1}{1+y} \left[\frac{1+\frac{1}{3}y}{(1+y)(1+2y+3j^2)} \right]^{0,25} \left[\frac{3}{4}(1+2y) + \frac{1}{4} \cdot \frac{1+2y+3j^2}{1+\frac{1}{3}y} \right].$$

При $y = 0$, т. е. при $\left(\frac{xr}{j}\right)^2 + B^2 = 0$, коэффициент $c = 1$, следовательно, обе сравниваемые формулы дают одинаковый результат. Для подводных лодок отношение y лежит обычно в пределах $0 < y < 1$ и, следовательно, коэффициент $c > 1$. Поэтому первая формула Мизеса дает значение критической нагрузки (применительно к корпусу подводной лодки) большее, чем формула Саусселя.

Различие второй формулы Мизеса

Если ввести обозначения:

$$\left. \begin{aligned} x &= \frac{B^2 P}{w j y t} + 1 \\ B &= \frac{w j y t P}{12(1-y^2)t} \end{aligned} \right\}, \quad (284. IV)$$

то второй формуле Мизеса (240. IV) можно придать вид

$$P'_{cr} = E \frac{w^2}{w j t} \cdot \frac{B x^2 + 1}{x^2(x-0,5)}. \quad (285. IV)$$

Дифференцируя $\rho'_{\text{кр}}$ по x и приравнивая производную нулю, получим уравнение для значения x , обращающего $\rho'_{\text{кр}}$ в минимум,

$$\frac{1}{x^2} \left(3 + \frac{2}{x-1} \right) = B, \quad (286, IV)$$

Величина B всегда является заданной. Поэтому, определив x из ф-лы (286, IV), получим следующее значение минимальной критической нагрузки:

$$\rho'_{\text{кр}} = E \frac{M^2}{2r^2} N, \quad (287, IV)$$

где N есть некоторый коэффициент, определенный по формуле

$$N = \frac{Bx + 1}{B(x - 0.3)}.$$

Анализ показывает, что величина B лежит в пределах $0 < B < 0.36$. Поэтому Папкович рекомендует в ф-ле (287, IV) вместо коэффициента N принимать величину $2.46 B^{0.75}$. Возможность такой замены иллюстрируется Папковичем в табл. 3

Таблица 3

x	B	N	$2.46 B^{0.75}$	x	B	N	$2.46 B^{0.75}$
2.00	0.1625	1.000	0.982	5.00	0.00500	0.0480	0.0408
2.25	0.1755	0.634	0.634	6.00	0.00251	0.0277	0.0219
2.50	0.1862	0.425	0.434	7.00	0.00169	0.0186	0.0132
3.00	0.2196	0.225	0.229	8.00	0.000903	0.0093	0.00683
3.50	0.2554	0.131	0.135	9.00	0.000495	0.00418	0.00304
4.00	0.2943	0.0624	0.0601				

Итак, заменив в ф-ле (287, IV) значение N на $2.46 B^{0.75}$ и учитывая ф-лы (284, IV), получаем

$$\begin{aligned} \rho'_{\text{кр}} &= \frac{E M^2}{2r^2} 2.46 B^{0.75} = \frac{2.46}{r^2} \left[\frac{\pi^2}{12(1-\mu^2)} \right]^{0.75} E \left(\frac{1}{r} \right)^2 \left(\frac{M^2}{r^2} \right)^{0.75} = \\ &= 0.89 (1-\mu^2)^{0.25} \frac{E \cdot 10^{-3}}{1-\mu^2} \left(\frac{1000}{r} \right)^2 \left(\frac{r \cdot 1000}{M} \right)^{0.75} \end{aligned}$$

т.е.,

$$\rho'_{\text{кр}} = 0.87 \frac{E \cdot 10^{-3}}{1-\mu^2} \cdot \left(\frac{1000}{r} \right)^2 \left(\frac{r \cdot 1000}{M} \right)^{0.75}. \quad (288, IV)$$

Для стали, принятой $E = 2 \cdot 10^5 \text{ кг/см}^2$ и $\mu = 0.3$, ф-ле (288, IV) можно предать вид

$$\rho'_{\text{кр}} = 19.1 \left(\frac{1000}{r} \right)^2 \cdot \left(\frac{r \cdot 1000}{M} \right)^{0.75}. \quad (289, IV)$$

Эту формулу в дальнейшем будем называть формулой Мизеса—Папковича.

Формула Слусалла—Папковича дает более близкие к опытным результатам, чем формулы Мизеса—Папковича. К тому же она более проста, так как дает линейную зависимость между критическим диаметром и длиной. Следовательно, именно эту формулу можно рекомендовать для практического использования.

В практике иностранных кораблестроения широку используется формула устойчивости цилиндрической оболочки Американского огнестрельного бассейна,^{*} полученная путем несколько иной обработки второй формулы Максса (240, IV).

Введя обозначения:

$$y = p'_{sp} \frac{r}{\pi^2} (1 - \mu^2), \quad a = \frac{\pi r}{l}, \quad x = \frac{1}{l} \left(\frac{1}{2r} \right)^{1/2}, \quad (290, IV)$$

формулу (240, IV) перепишем в виде

$$y = \left[(a^2 + x^2)^2 x + (1 - \mu^2) \frac{x^2}{(a^2 + x^2)^2} \right] \frac{1}{x^2 + \frac{a^2}{2}}, \quad (291, IV)$$

Определим число волн, обращающее y в минимум, из равенства $\frac{dy}{dx} = 0$ или в развернутом виде

$$(a^2 + x^2) x^2 k = (1 - \mu^2) (3a^2 x^2 + 2x^4),$$

откуда

$$a^2 + x^2 = x \sqrt{(1 - \mu^2) \frac{k}{x}}, \quad (292, IV)$$

где $k = 3 + 2 \frac{a^2}{\pi^2}$.

Подставляя формулы (292, IV) в ф-лу (291, IV), получим

$$y = \frac{ax^{1/2} (1 - \mu^2)(k + 3)}{\sqrt{3(1 - \mu^2)} x^2} \cdot \frac{ax^{1/2}}{1 - \frac{2\sqrt{3}(1 - \mu^2)}{4(3 + 2\frac{a^2}{\pi^2})^{1/2}}}. \quad (293, IV)$$

Заменив в ф-ле (290, IV) значение y согласно ф-ле (293, IV), получим

$$p'_{sp} = \frac{\pi (1 + 0.5) E}{3(1 - \mu^2)^{1/2}} \cdot \frac{\left(\frac{a}{r} \right)^{1/2} \frac{b}{l}}{1 - \frac{\pi \sqrt{2k}}{4(3 + 2\frac{a^2}{\pi^2})^{1/2}}}, \quad (294, IV)$$

Из формулы (294, IV) видно, что теоретическое критическое давление цилиндрической оболочки является функцией $\frac{b}{l}$ или отношения $\frac{a}{r}$. Это отношение для встречающихся в практике оболочек находится в пределах $0.6 < \frac{a}{r} < 0.8$, и это влияние на изменение величины $\frac{b}{l}$ не великo. Принимая среднее значение $\frac{a}{r} = 0.75$, получим

$$p'_{sp} = 0.83 \frac{E \cdot 10^{-3}}{1 - \mu^2} \cdot \frac{\left(\frac{1000}{r} \right)^{1/2} \frac{1000}{l}}{1 - 0.02 \frac{\sqrt{2k}}{\sqrt{3}}}, \quad (295, IV)$$

* Винсебург и Триллинг. Устойчивость тонкостенных цилиндрических оболочек под действием изгибающих давлений. ТехникаДав. ASME, Т. 54, № 11, 1934.

Для стали с $E = 2 \cdot 10^5$ кг/см² и $\mu = 0,3$ получим следующую окончательную формулу:

$$\frac{P_{cr}}{P} = \frac{16,5 \left(\frac{1000}{\mu} \right)^{\frac{1}{4}} \times 1000}{1 - \frac{0,62}{\mu} \frac{1}{P^{\frac{1}{4}}}}, \quad (296, IV)$$

§ 42. Причины расхождения теоретических и экспериментальных результатов. Учет величинных факторов

Экспериментальному исследованию устойчивости круговых цилиндрических оболочек, загруженных равномерным внешним давлением, посвящено большое количество работ. При этом исследования охватывают широкий диапазон конструкций, начиная от маленьких моделей, выполненных из бумаги и фольги, до больших натуральных конструкций. Основным и наиболее важным выводом этих исследований является расхождение между теоретическими значениями критических нагрузок и их действительными значениями, зафиксированными в опытах. При этом важно отметить, что опытные значения критических нагрузок оказались меньше теоретических.

В рядах опытов действительные критические давления оказались меньше расчетных в 2—3 раза. Столь большое несоответствие экспериментальных и теоретических результатов заставило ученых многих стран заняться исследованием причин этого несоответствия. Каковы же эти причины?

1. Влияние на устойчивость изменения модуля Юнга.

Во все расчетные формулы для определения критических нагрузок оболочек (как впрочем и в расчетные формулы для определения критических нагрузок стержней и пластин) входит множителем модуль пропорциональности E материала, из которого выполнена оболочка. При использовании теоретическими формулами в последние обычно подставляют модуль продольной упругости, соответствующий начальному линейному участку диаграммы растяжение—сжатие (рис. 56). Такая подстановка является вполне оправданной, если возникающие в оболочке напряжения не превышают при расчетной критической нагрузке предела пропорциональности материала.



Рис. 56

На рисунке 56 по оси абсцисс отложены относительные удлинения

образца, а по оси ординат — соответствующие им напряжения. На диаграмме σ_0 и ϵ_0 — напряжение и деформация, соответствующие пределу пропорциональности, а σ_1 и ϵ_1 — соответствующие пределу текучести материала.

Модуль продольной упругости E есть тангенс угла между касательной к кривой напряжение—деформация и осью абсцисс. Видно, что до предела пропорциональности этот модуль является постоянным и равным таковому в нулевой точке. За пределом пропорциональности

модуль E начинает уменьшаться, что ненебожно приводят к уменьшению жесткости, а следовательно, и к уменьшению устойчивости.

Если при критической нагрузке, определенной по расчетным формулам, напряжение в оболочке лежат за пределом пропорциональности, то фактический модуль Юнга будет ниже модуля, соответствующего линейному участку диаграммы $\sigma-\epsilon$, и, следовательно, действительные критические давления оболочки p_{cr} будут меньше их теоретических значений p_{cr} .

В этом идея из главных причин расхождение опытных и теоретических результатов. Поэтому расхождения теоретических и опытных данных, вызванные отступлениями от закона Гука, являются не погрешностью расчетных формул, а погрешностью, вызванной распространением расчетных формул за предела, до которых эти формулы сохраняют свою строгость.

В связи с тем, что построение теории устойчивости оболочек при нелинейной зависимости между напряжениями и деформациями связано с большими математическими трудностями, целесообразно использовать полученные выше расчетные формулы, входящие в них соответствующий конфигуративный коэффициент, учитывающий отступления от закона Гука.

Для большей наглядности изложения приводим здесь сначала влияние изменения закона Гука на устойчивость стержней. Рассмотрим центрально сжатый прismaticкий стержень, свободно опретый по концам. Пусть сжимающая нагрузка на стержень равна критической, а соответствующие ей напряжения и деформации первого исходного состояния σ_0 и ϵ_0 показаны на рис. 57, а. Будем считать, что вплоть до точки С диаграмма материала стержня упруг, т. е. кривая разгрузки совпадает с кривой нагрузки, хотя точка С и лежит выше предела пропорциональности материала. Таким образом, мы имеем нелинейную зависимость между напряжениями и деформациями, хотя материал остается вполне упругим, и кривая разгрузки повторяет кривую нагрузки.

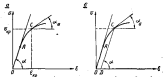


Рис. 57

Модуль Юнга до предела пропорциональности есть $E = \lg \alpha$, а модуль Юнга в точке С есть $E_c = \lg \alpha_c$, где α_c — угол, образованный касательной к кривой напряжение—деформация и осью абсцисс в точке С. В связи с этим модуль E_c часто называют касательным модулем упругости.

Если при напряжениях, соответствующих точке С, произвести малое изменение нагрузки, то связь между напряжением и деформацией будет определяться касательным модулем E_c . При исследовании устойчивости

мы даем бесконечно малое отклонение от исходного положения равновесия, поэтому для стержня, находящегося под кривой нагрузкой, дополнительные тяготения изгиба весьма мало в сравнении с начальными напряжениями сжатия, и связь между напряжениями изгиба и деформациями определяется не модулем E , а касательным модулем E_t . Следовательно, в дифференциальное уравнение изогнутой кривой и в выражение для кратической нагрузки будет входить касательный модуль E_t .

В рассмотренном случае поправочный коэффициент к теоретической формуле устойчивости будет равен

$$\chi_0 = \frac{E_t}{E}, \quad (297, IV)$$

где χ_0 — поправочный коэффициент, учитывающий влияние отступлений от закона Гука на устойчивость.

Рассмотрим теперь более сложный случай, когда при кратической нагрузке напряжения в стержне выше предела упругости материала и им соответствует точка С (рис. 57, б).

В этом случае при увеличении нагрузки рост сжимающих напряжений будет происходить по кривой нагрузки (касательный модуль в точке С есть E_t), а при уменьшении нагрузки уменьшение сжимающих напряжений (разгрузка) происходит по прямой CD , угол наклона которой к оси абсцисс равен углу наклона начального участка диаграммы напряжение—деформация. Следовательно, модуль Юнга при разгрузке будет равен начальному модулю Юнга E . Таким образом, если теперь стержню, находящемуся под действием кратической нагрузки с напряжениями сжатия, соответствующими точке С, дать малое отклонение от прямолинейной формы, то в волокнах, находящихся на выпуклой стороне, вследствие изгиба будет увеличение сжимающих напряжений, причем зависимость напряжений от деформаций будет определяться касательным модулем E_t , а в волокнах, находящихся на выпуклой стороне, будет происходить уменьшение сжимающих напряжений (разгрузка), причем зависимость напряжений от деформаций будет определяться модулем E . Считая, что поперечное сечение стержня при изгибе остается плоским, будем иметь следующую картину распределения дополнительных изгибных напряжений.

Если r — радиус кривизны упругой линии стержня при его отклонении от положения равновесия, то максимальные дополнительные сжимающие напряжения будут равны $\frac{E_t b_0}{r}$, а максимальные дополнительные растягивающие напряжения равны $\frac{E b_1}{r}$, где b_1 и b_2 — отстояния крайних волокон стержня от нейтральной оси его поперечного сечения. Положение нейтральной оси определяется равенством нулю равнодействующей дополнительных растягивающих и сжимающих напряжений. На этого условия для стержня прямоугольного сечения получаем $E b_1^2 - E b_2^2 = 0$. Но $b_1 + b_2 = \delta$, где δ — высота поперечного сечения стержня. Решив эти уравнения относительно b_1 и b_2 , получим

$$b_1 = \frac{\delta \sqrt{E_t}}{\sqrt{E} + \sqrt{E_t}}, \quad b_2 = \frac{\delta \sqrt{E}}{\sqrt{E} + \sqrt{E_t}}.$$

Дополнительный изгибающий момент, определяемый напряжениями, показанными на рис. 58, будет равен

$$M = \frac{E\delta_0}{F} \cdot \frac{W_1}{2} \cdot \frac{2}{3} b = \frac{W_1}{12} \cdot \frac{4E\delta_0}{(\sqrt{E} + \sqrt{E_s})^2},$$

где b — ширина сечения стержня. Но $\frac{W_1}{12} = I$ — момент инерции ю婆речного сечения стержня, поэтому

$$M = \frac{I}{F} \cdot \frac{4E\delta_0}{(\sqrt{E} + \sqrt{E_s})^2}.$$

Сравнивая эту формулу с обычной формулой изгиба стержня $M = \frac{1}{F} IE$, видим, что вместо модуля Юнга E в расчетную формулу входит величина $E_{sp} = \frac{4E\delta_0}{(\sqrt{E} + \sqrt{E_s})^2}$.

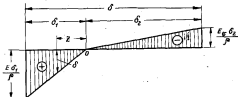


Рис. 58

Эту величину называют приведенным модулем нормальной упругости. В случае превышения напряжениями предела упругости материала в расчетные формулы устойчивости стержня следует вводить не модуль Юнга E , а приведенный модуль E_{sp} . Следовательно, в этом случае поправочный коэффициент φ будет равен

$$\varphi = \frac{E_{sp}}{E} = \frac{4\delta_0}{(\sqrt{E} + \sqrt{E_s})^2}. \quad (295. IV)$$

Если задана диаграмма сжатия образца, то величина касательного модуля E , легко может быть определена для любой точки диаграммы.

Так обстоит дело в отношении устойчивости стержней.

Что касается влияния отступлений от закона Гука на устойчивость оболочек, то необходимо отметить, что это влияние мало изучено. Трудность изучения данного вопроса состоит в том, что даже в наиболее простом случае, когда оболочка в первом исходном состоянии является безизменяемой и равномерно напряженной, при потере устойчивости в оболочке возникает сложное напряженное состояние. Дополнительные напряжения, возникающие при потере устойчивости, состоят из цепных

напряжений (напряжение от усилий) и изгибающих напряжений (напряжение от изогнутости), при этом цепные и изгибающие напряжения действуют в продольных и поперечных сечениях и меняются как по длине оболочки, так и по ее периметру.

Учет влияния отступлений от закона Гука в этих условиях оказывается чрезвычайно трудной задачей. Поэтому можно рекомендовать для определения поправочного коэффициента μ либо пользоваться таб-

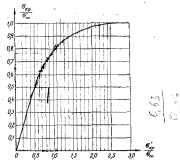


Рис. 59

цей, рекомендованной Ю. А. Шнивашвили (см. Приложение V), либо графиком, приведенным на рис. 59.

2. Влияние на устойчивость других изоморфных факторов (начальная поэзия оболочки, неоднородность материала, пульсирующая нагрузка и другие).

Как было отмечено, одной из причин несоответствия теоретических формул с экспериментальными являются отклонения материала от закона Гука. Однако опыты показывают, что в ряде случаев экспериментальные значения критических нагрузок ниже их теоретических значений даже тогда, когда величины, влияющие на оболочки напряжения не превосходят предела пропорциональности материала. В этих условиях закон Гука удовлетворяется, и причины расхождения опыта с теорией кроются в других факторах, на которых необходимо остановиться.

Отметим, что разобранная нами выше общая теория устойчивости упругого равновесия и все приведенные решения относятся к так называемой классической теории устойчивости. Классическая теория устойчивости исходит из того, что при критической нагрузке два положения равновесия (первое исходное и второе новое) бесконечно близки друг другу, т. е. их перемещения при критической нагрузке отличаются на бесконечно малые величины.

Следовательно, чтобы перевести оболочку из первого исходного состояния равновесия во второе новое, необходимо оболочке в первом исходном состоянии дать бесконечно малые дополнительные перемещения. Поэтому классическую теорию устойчивости иногда называют теорией малых отклонений или теорией малых возмущений, а в последние годы распространяющееся название — теория устойчивости «а-ля Ляпунов».

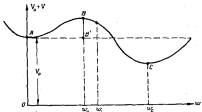


Рис. 60

При исследовании устойчивости оболочек, кроме того, мы исходим из предположения, что оболочка имеет идеальную круговую форму, материал ее вполне однороден и изотропен, толщина оболочки постоянна и равна δ , а действующая нагрузка приложена чисто статически, т. е. совершенно отсутствует пульсация нагрузки. Все эти условия, естественно, являются математической идеализацией действительности, так как реальная оболочка всегда имеет неизбежную начальную погибь, а материал также не может быть совершенно однородным. Толщина оболочки, вследствие неравномерности прокатки или литья, меняется в определенных пределах. Не исключается также при производстве спилтов некоторая пульсация нагрузки. Все эти факторы в той или иной мере влияют на критическую нагрузку оболочки.

Перейдем к рассмотрению устойчивых и неустойчивых форм упругого равновесия оболочек, выходя за пределы классической теории устойчивости, т. е. не ограничиваясь рассмотрением равновесных форм, бесконечно близких друг другу. Напомним при этом, что в положении устойчивого равновесия концентрическая оболочка имеет минимум, а в положении неустойчивого равновесия — максимум.

Определим, имеются ли другие равновесные формы при нагрузках, меньших критической нагрузки, определенной по классической теории. Отметим, что речь будет идти о таких положениях равновесия, которые отличаются друг от друга не на бесконечно малые величины перемещений, а на большие конечные перемещения. На рис. 60 изображена кривая, показывающая зависимость абсолютной и дополнительной потенциальной энергии оболочки от величины дополнительного перемещения u_0 при некотором значении внешнего давления, меньшем критического давления, определенного по классической теории устойчивости.

Пусть критическое давление для оболочки, определенное по формулам классической теории, равно 150 кг/см^2 и пусть кривая, изображенная на рис. 60, соответствует давлению 100 кг/см^2 . На рис. 60 приведены следующие обозначения:

V_0 — потенциальная энергия, соответствующая первому исходному состоянию (дополнительное перемещение ω равно нулю);

V — дополнительная потенциальная энергия;

$V_0 + V$ — суммарная потенциальная энергия.

Из рисунка видно, что оболочка при данной нагрузке имеет три положения упругого равновесия (точки A , B и C). При этом точки A и C соответствуют устойчивому равновесию (потенциальная энергия имеет минимум), а точка B — неустойчивому равновесию (потенциальная энергия имеет максимум).

Если подойти к исследованию устойчивости с точки зрения классической теории, т. е. дать оболочке начальное бесконечно малое отклонение от положения равновесия, то после удаления причин, вызвавших отклонение оболочки, последняя вернется к своей исходной форме.

Теперь перейдем к исследованию устойчивости с точки зрения конечных перемещений, которые могут быть произвольными. Для этого оболочке, находящейся в исходном и устойчивом «в малом» положении равновесия, дадим не бесконечно малое отклонение, а отклонение ω , причем $\omega > \omega_0$. Тогда, после удаления причин, вызвавший отклонение, оболочка уже не вернется в положение A , а перейдет в положение C , которое также является устойчивым. На приведенном рисунке энергетический уровень в точке C ниже, чем в точке A , хотя в принципе он может быть и выше, чем в точке A . На изложенного следует, что оболочка, устойчивая в «малом», оказывается неустойчивой в «большом» и для того чтобы ее вывести из исходного равновесного положения, необходимо дать отклонение $\omega > \omega_0$, т. е. преодолеть энергетический барьер,urdinate которого равна $B\bar{B}$.

Таким образом, можно констатировать, что если имеются условия для преодоления энергетического барьера (соответствующая начальная погребь, возможные дефекты материала, пульсирующая нагрузка), то уже при рассматриваемой нагрузке 100 кг/см^2 оболочка потеряет устойчивость, хотя критическая нагрузка, определяемая классической теорией, равна 150 кг/см^2 .

Теперь дадим общую картину возможных равновесных положений оболочки, причем по оси ординат будем откладывать величину дополнительной потенциальной энергии, а по оси абсцисс — величину дополнительного прогиба при различных значениях параметра внешнего давления (рис. 61).*

Для удобства исследования величины дополнительной потенциальной энергии, дополнительного прогиба, а также величины внешнего давления приведены не в абсолютных, а в относительных единицах. На рис. 61 приведены кривые, соответствующие шести значениям безразмерного параметра нагрузки \bar{r} .

Отметим, что для рассмотренной оболочки критическому давлению, даваемому классической теорией, соответствует безразмерный параметр нагрузки $\bar{r}=7,2$.

* Рисунок 61 заимствован из монографии А. С. Вольфрама «Гибкие панели и оболочки». Госиздат, 1966.

Пусть, например, внешнее давление $\bar{p} = 3,0$ (кривая I). Из графика видно, что при этой нагрузке может быть только одна форма упругого равновесия, соответствующая $\bar{\omega} = 0$. Это положение является устойчивым, так как дополнительная потенциальная энергия V минимальна как по отношению к бесконечно малым перемещениям, так и по отношению к конечным перемещениям.

Рассмотрим кривую II ($\bar{p} = 3,8$). При этой нагрузке возможны уже две формы равновесия, соответствующие первая — дополнительному прогибу $\bar{\omega} = 0$ и вторая — прогибу $\bar{\omega} = 1,65$. Первая форма является устойчивой, а вторая — безразличной. Уровень энергии для второй формы выше, чем для первой, и для перехода оболочки во второе положение необходимо преодолеть энергетический барьер.

Всем значениям \bar{p} , больших 3,8, соответствуют три равновесные формы.

На кривой III (внешнее давление $\bar{p} = 4,2$) две равновесные формы, соответствующие: первая $\bar{\omega} = 0$ и вторая $\bar{\omega} = 2,15$, являются устойчивыми, а третья форма при $\bar{\omega} = 1,05$ — неустойчивой. В данном случае имеем равенство энергетических уровней двух устойчивых форм.

Величина энергетического барьера, необходимого для перехода из первого устойчивого „в малом“ положения равновесия в неустойчивое, здесь меньше, чем у кривой II.

На кривой IV (внешнее давление $\bar{p} = 5,5$), так же как и на кривой III, три равновесные формы: две устойчивые ($\bar{\omega} = 0$ и $\bar{\omega} = 2,8$) и одна неустойчивая ($\bar{\omega} = 0,5$). Нужно отметить, что энергетический уровень, соответствующий второй устойчивой форме ($\bar{\omega} = 2,8$), ниже энергетического уровня для первого них исходного положения, а величина энергетического барьера ниже, чем у кривой III.

Кривая V соответствует критической нагрузке, определенной по классической теории ($\bar{p} = 7,2$). При этом вертикальная форма равновесия будет безразличной по отношению к соседним бесконечно близким формам (энергетический барьер равен нулю).

Наконец, кривая VI соответствует $\bar{p} = 8$. Прогиб $\bar{\omega} = 0$ соответствует неустойчивое равновесие, причем одной из форм (устойчивых) соответствуют отрицательные значения $\bar{\omega}$.

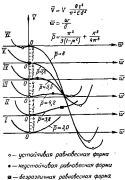


Рис. 61

Изложенные рассуждения позволяют дать полную картину возможных равновесных форм оболочки при различных нагрузках. Так, очевидно, в диапазоне нагрузок, соответствующих $0 < p < 3.8$, исходная форма равновесия является устойчивой при любых отклонениях от положения равновесия как больших, так и малых.

Если какой-либо возмущающий фактор (начальная погибь, дефекты материала, пульсации нагрузки и т. д.) вызывает отклонение оболочки от исходного состояния, то по удалении этого фактора исходная форма равновесия обязательно восстановится.

В диапазоне же нагрузок $3.8 < p < 7.2$ будет иметь место другая картина. Если возмущающий фактор в состоянии преодолеть энергетический барьер, оболочка скачкообразно (с хлопком) перейдет в новое устойчивое равновесное положение (изогнутое), минуя промежуточную неустойчивую форму. Вероятность перехода к изогнутой равновесной форме по мере увеличения нагрузки возрастает, так как энергетический барьер при этом уменьшается. Наконец, при $p = 7.2$ энергетический барьер равен нулю, и оболочка теряет устойчивость без наличия возмущающих факторов.

Изложенное позволяет сделать следующие важные выводы.

1. Оболочка, устойчивая «в малом», т. е. устойчивая в соответствии с классической теорией устойчивости, может быть неустойчивой «в большом», т. е. при некоторых конечных отклонениях от исходного равновесного состояния.

2. Для того чтобы перевести оболочку из исходного равновесного положения в другие равновесные положения, необходимо преодолеть энергетический барьер.

3. Энергетический барьер преодоливается либо приложением внешних возмущений (пульсации нагрузки), либо наличием соответствующей начальной погибь, дефектов материала и т. д.

4. Вообще существует некоторая величина внешнего давления, ниже которой оболочка устойчива как в «малом», так и в «большом». Следовательно, никакие отклонения не могут вывести оболочку из исходной устойчивой равновесной формы.

Эта величина давления называется наимним критическим давлением.

5. По мере возрастания нагрузки от нижнего критического давления до величины критической нагрузки, определенной по классической теории, энергетический барьер уменьшается, следовательно, для его преодоления необходимы меньшие возмущения, и вероятность потери устойчивости возрастает. При этом потеря устойчивости происходит с хлопком, и оболочка, минуя промежуточное неустойчивое положение, переходит в новое изогнутое устойчивое положение.

6. При критической нагрузке, определенной по классической теории, энергетический барьер равен нулю, и оболочка теряет устойчивость практически без внешних возмущений. Поэтому критическое давление, определенное по классической теории, называется верхним критическим давлением.

Нелинейная теория устойчивости оболочек выходит за рамки настоящего курса, поэтому ограничимся некоторыми дополнительными замечаниями.

Прежде всего не у всех оболочек может иметь место картина, изложенная выше. Может оказаться, что оболочка вплоть до верхнего критического давления имеет только одну равновесную форму. Поэтому

в последнем случае критическое давление будет отсутствовать, и оболочка будет терять устойчивость без изгиба.

Наконец, может возникнуть вопрос, почему потеря устойчивости оболочки является опасной, хотя оболочка при погашении устойчивости теряет исходную форму равновесия и приобретает иную устойчивую изогнутую форму? Необходимо сразу же отметить, что критическую нагрузку в общем случае нельзя отождествлять с разрушающей нагрузкой, так как последние всегда выше критической.

Таким образом, потерявшая устойчивость оболочка в принципе может выдержать еще дополнительную нагрузку. Величина этого превышения зависит от того, какие напряжения возникают в оболочке при потере устойчивости. Однако важно иметь в виду, что так как исходное состояния обычно является безмоментным или близким к нему, то при отсутствии потери устойчивости, ведущей до разрушения, состояние оболочки будет безмоментным. Естественно, что безмоментное состояние является наиболее эффективным, так как в наименьшей мере используются прочностные характеристики материала оболочки.

При потере устойчивости оболочки приобретает новую изогнутую форму упругого равновесия, при этом, кроме центральных напряжений от усилий, существенными оказываются напряжения от изгиба. Материал оболочки работает как на центральные напряжения, так и на изгибющие, и, следовательно, несущая способность оболочки уменьшается.

Для корпусов подводных лодок потеря устойчивости особенно опасна. Дело в том, что величины напряжений, возникающих в корпусах подводных лодок при расчетной нагрузке, настолько велики, что при потере устойчивости оболочка не в состоянии воспринять возникающие изгибающие напряжения и разрушается. Таким образом, для корпусов подводных лодок мыправе отождествлять критическую нагрузку с разрушающей.

Таблица 4

Расчетные формулы	δ, см										
	0,4	0,5	0,6	0,7	0,8	0,9	1,0	1,1	1,2	1,3	1,4
(290. IV)	0,45	0,57	0,69	0,80	0,90	0,99	1,06	1,10	1,15	1,18	1,21
(292. IV)	0,42	0,52	0,62	0,72	0,81	0,88	0,93	0,97	1,00	1,03	1,04
(273. IV)	0,30	0,39	0,48	0,56	0,62	0,67	0,72	0,76	0,78	0,80	0,82

Ю. А. Шиманский рекомендует определять критическое давление по теоретическим формулам классической теории устойчивости, вводя в них соответствующие поправочные коэффициенты φ_1 . Для критического давления обшивки в пролете между шпангоутами Шиманский рекомендует определять теоретическое критическое давление по формуле (273. IV), а поправочный коэффициент φ_1 , учитывающий недостатки факторы, по формуле

$$\varphi_1 = 1 - \frac{\delta_3}{\delta}, \quad (293. IV)$$

где δ — толщина обшивки в сантиметрах.

Так как в расчетной практике, кроме формулы (273. IV), используются также формулы (290. IV) и (289. IV), то Ю. А. Шиманским приводится

таблица поправочных коэффициентов (табл. 4), основанные на сравнении теоретических результатов с экспериментальными.*

Существенным недостатком как ф-лы (299. IV), так и табл. 4 является то обстоятельство, что поправочные коэффициенты τ_1 зависят только от толщины обшивки t . Между тем, абсолютная величина толщины не является определяющей для учета величайших факторов. Определяющим будет отношение толщины к радиусу $\left(\frac{t}{r}\right)$ и к расстоянию между ребрами $\left(\frac{t}{l}\right)$, так как очевидно, что для геометрически подобных оболочек поправочные коэффициенты должны быть одинаковыми. Поэтому с погрешностью в безразмерную сторону можно рекомендовать принимать поправочный коэффициент**

$$\begin{aligned} \tau_1 &= 0,70 \text{ при использовании ф-лы (299. IV);} \\ \tau_1 &= 0,60 : : : (299. IV); \\ \tau_1 &= 0,50 : : : (273. IV). \end{aligned}$$

Итак, действительное критическое давление должно определяться по формуле

$$P_{cr} = \tau_1 \tau_2 \rho'_{cr}, \quad (300. IV)$$

где τ_1 — поправочный коэффициент, учитывающий влияние на устойчивость начальной потери иноднородности материала и других факторов;

τ_2 — поправочный коэффициент, учитывающий влияние на устойчивость отклонений от закона Гука.

Для определения коэффициента τ_2 нужно предварительно найти наибольшие цепные напряжения в продольных сечениях обшивки σ_j^0 , соответствующие давлению $\tau_1 \rho'_{cr}$ по формуле

$$\sigma_j^0 = -k_j^0 \frac{P}{t} = -k_j^0 \tau_2 \frac{\rho'_{cr}}{1}, \quad (301. IV)$$

а затем уже по этой величине напряжений с помощью графиков рис. 59 или таблицы Приложения V найти коэффициент τ_2 .

Практическая схема расчета

Исходные данные: r , δ_{in} (спецификационная толщина обшивки), I , F . Определяются:

1. Расчетная толщина обшивки

$$\delta = \delta_{in} - \Delta,$$

2. Теоретическое значение критического давления по формуле Слуцкого—Панковича (290. IV).

3. Коэффициент τ_1 . Для ф-лы (290. IV) он принимается равным 0,7.

4. Из расчета прочности обшивки коэффициент $k_j^0 = 1 - \tau_1$.

* Таблица занесена из книги Ю. А. Шиманского „Строительные машины подводных лодок“. Судостроение, 1948.

** В „Справочнике по строительной механике кораблей“, ч. 2 рекомендуется принимать значение τ_1 равным 0,6—0,8.

5. Наибольшие напряжения в продольных сечениях обшивки потребные шпангоуты, соответствующие нагрузке $\tau_{cr} F_{cr}$.

$$\sigma'_{cr} = -k_2^2 \tau_b \frac{F_{cr}}{b}.$$

6. Поправочный коэффициент τ_b по таблице Приложения V или по графику рис. 59.

7. Действительное критическое давление для обшивки по формуле

$$P_{cr} = \tau_b \tau_0 P'_cr.$$

8. Проверяется удовлетворение критерия устойчивости обшивки $P_{cr} \geq p$, где p — расчетное давление.

§ 43. Устойчивость круговой цилиндрической оболочки, подкрепленной поперечными упругими ребрами жесткости

При исследовании устойчивости круговой цилиндрической оболочки между шпангоутами мы считали, что при потере устойчивости обшивки шпангоуты сохраняют свою круговую форму.

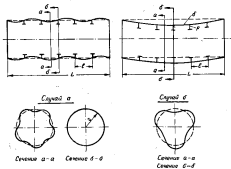


Рис. 62

Это допущение не всегда выполняется, и при недостаточной жесткости шпангоутов оболочка теряет устойчивость вместе со шпангоутами. Отличие этих форм потери устойчивости показано на рис. 62.

На рисунке видно, что в случае «а» теряет устойчивость только обшивка между шпангоутами, а шпангоуты сохраняют свою круговую форму. В случае же «б» шпангоуты теряют устойчивость вместе с обшивкой.

кой, поэтому последний случай иногда называют потерей устойчивости отсека в целом.

Исследование устойчивости круговых цилиндрических оболочек, подкрепленных шпагутами кольцевыми ребрами (шпагутутами), посвящены работы П. А. Соколова,* Ф. Флэгге** и других авторов. Ниже приводится решение этой задачи, приближающее Флэгге, как относительно более простое.

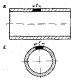


Рис. 63

Пусть оболочка загружена по цилиндрической поверхности внешним давлением p_1 , а по торцам — внешним давлением p_2 . Требуется определить критическую нагрузку для такой оболочки.

Если по длине отсека шпагутутом достаточно много, все они однаковы и стоят на равных расстояниях друг от друга, то реальную оболочку со шпагутутами можно заменить эквивалентной ей оболочкой без шпагутутов. Рассмотрим, как происходит такая замена. Для этого возьмем сначала оболочку без шпагутутов (рис. 63).

Зависимость между усилиями и моментами, с одной стороны, и компонентами деформации срединной поверхности, с другой, определяется формулами (122.1). Праведем их и здесь, так как они необходимы для дальнейших рассуждений:

$$\begin{aligned} T_1 &= \frac{E\delta}{1-\mu^2} (s_1 + \mu s_2), & M_1 &= \frac{Ev}{12(1-\mu^2)} (s_1 + \mu s_2), \\ T_2 &= \frac{E\delta}{1-\mu^2} (s_2 + \mu s_1), & M_2 &= \frac{Ev}{12(1-\mu^2)} (s_2 + \mu s_1), \\ S &= \frac{Ev}{2(1+\mu)^2}, & H &= \frac{Ev}{12(1+\mu)^2}. \end{aligned}$$

Рассмотрим сначала осевое и кольцевое усилия T_1 и T_2 . Эти усилия являются усилиями, отнесёнными к единице длины. Поэтому усилия, передающиеся через сечение оболочки, площадь которого равна 1×1 см, будут равны

$$\begin{aligned} T_1 \cdot 1 &= \frac{E}{1-\mu^2} \delta \cdot 1 (s_1 + \mu s_2), \\ T_2 \cdot 1 &= \frac{E}{1-\mu^2} \delta \cdot 1 (s_2 + \mu s_1). \end{aligned}$$

В данном случае $\delta \times 1$ см есть площадь сечения оболочки длиной 1 см и толщиной δ . В левой части этих равенств стоят усилия, а в правой — соответствующие им деформации. Коэффициенты пропорциональности определяют жесткость при растяжении—сжатии этой оболочки. Таким образом, жесткости при растяжении—сжатии в осевом и кольцевом направлениях равны друг другу и равны $\frac{E}{1-\mu^2} \delta \cdot 1$.

* П. А. Соколов. Устойчивость звенообразной цилиндрической оболочки, подкрепленной кольцевыми ребрами шпагутами. Известия АН СССР, серия техническая, № 1, 1933.

** Ф. Флэгге. Ingénieur Archiv, T. 3, 1932.

т. ф. произведению модуля нормальной упругости (исправлённого на наличие двухосного изнраженного состояния) на площадь рассматриваемого сечения ($\pi \times 1$ см).

Если рассмотреть теперь осевое усилие, передающееся через участок колпса, дуга которого равна I , то это усилие, очевидно, будет равно

$$T_1 I = \frac{E}{1-\mu^2} B (e_1 + \mu e_2).$$

В данном случае жесткость участка оболочки, дуга которой равна I и толщина δ , будет $\frac{E}{1-\mu^2} B$, где B — площадь сечения рассматриваемого участка оболочки (на рис. 63 эта площадь заштрихована).

Аналогично, если взять участок оболочки длиной I , то кольцевое усилие, передающееся через этот участок, будет

$$T_2 I = \frac{E}{1-\mu^2} B (e_2 + \mu e_1).$$

Видно, что в данном случае жесткость при растяжении—сжатии в кольцевом направлении участка оболочки длиной I и толщиной δ равна $\frac{E}{1-\mu^2} B$. Таким образом, жесткость при растяжении—сжатии



Рис. 64



Рис. 65

в осевом и кольцевом направлениях оказалась равной, что является естественным следствием равенства жесткостей оболочки на единицу длины как в кольцевом, так и в осевом направлениях. Совершенно аналогично жесткость при изгибе в осевом и кольцевом направлениях участка оболочки длиной 1 см будет равна

$$\frac{EI \cdot 1}{12(1-\mu^2)} = \frac{E}{1-\mu^2} \cdot \frac{1 \cdot \delta}{12},$$

т. е. равна произведению модуля нормальной упругости (исправлённого на наличие двухосного изнраженного состояния) на главный момент инерции сечения оболочки. Если из оболочки выделить участок с дугой или длиной I , то жесткость при изгибе выделенного участка, как в осевом, так и в кольцевом направлении будет равна $\frac{E}{1-\mu^2} \cdot \frac{\delta}{12} I$.

Пусть теперь рассмотренная оболочка закреплена большим числом одинаковых и равнодistantных шлангутов, площадь поперечного сечения каждого из которых равна R и расстояние между которыми равно I (рис. 64).

Так как шлангуты установлены только в кольцевом направлении, то, очевидно, жесткость оболочки в осевом направлении не изменится.

Следовательно, для выделенного из оболочки участка, длиной дуги которого I , жесткость при растяжении—сжатии и жесткость при изгибе в осевом направлении будут соответственно равны

$$\frac{E}{1-\nu^2} R, \quad \frac{E}{1-\nu^2} \cdot \frac{R^2}{I}.$$

В кольцевом направлении жесткости оболочки при растяжении—сжатии и при изгибе существенно изменятся. Действительно, если мы выделим из оболочки участок длиной I (рис. 65), то при растяжении—сжатии этого участка в кольцевом направлении сопротивление растяжению—сжатию будет оказывать не только обшивка оболочки площадью сечения $I \cdot b$, но и шпангоут площадью сечения R . Таким образом, суммарная площадь сечения, сопротивляющаяся растяжению—сжатию в кольцевом направлении, равна

$$a_0 = I + R. \quad (302. IV)$$

Дополнительная площадь шпангоута R приводит к увеличению жесткости оболочки в кольцевом направлении на величину RF .

Таким образом, полная жесткость на растяжение—сжатие в кольцевом направлении участка оболочки длиной I будет равна

$$K_I = \frac{E}{1-\nu^2} R + RF. \quad (303. IV)$$

Для расчетов удобнее пользоваться не абсолютными значениями жесткостей, усилий и моментов, а относительными, т. е. значениями жесткостей, усилий и моментов, приходящихся на единицу длины срединной поверхности. Поэтому разделив равенство (302. IV) на I , получим

$$\frac{a_0}{I} = I + \frac{R}{I}. \quad (304. IV)$$

Здесь $\frac{a_0}{I}$ — суммарная площадь сечения обшивки и шпангоута, относительная к единице длины оболочки. Величину $I + \frac{R}{I}$ будем называть приведенной толщиной оболочки b_{sp} , т. е.

$$b_{sp} = I + \frac{R}{I}. \quad (305. IV)$$

Площадь сечения участка оболочки длиной I см будет равна

$$a_{sp} = \left(I + \frac{R}{I} \right) \cdot I = b_{sp} \cdot I. \quad (306. IV)$$

Эту площадь будем называть приведенной площадью обшивки со шпангоутом.

Разделив теперь жесткость K_I на длину участка I , получим приведенную жесткость на растяжение—сжатие в кольцевом направлении обшивки со шпангоутом, приходящуюся на единицу длины оболочки

$$k_{sp} = \frac{K_I}{I}. \quad (307. IV)$$

Несложные рассуждения привели нас к замене (при рассмотрении растяжения—сжатия в кольцевом направлении) реальной оболочки толщиной b со шпангоутом площадью сечения R фиктивной оболочкой

кой без шлангоутов, имеющей толщину, равную приведенной толщине
 $\delta_{sp} = \delta + \frac{r}{l}$ (рис. 66).

При деформации растяжения—сжатия в кольцевом направлении обе оболочки эквивалентны друг другу. При этом необходимо отметить, что у фиктивной оболочки при кольцевом растяжении слой толщиной δ сопротивляется как кольцевому удлинению ϵ_2 , так и осевому удлинению ϵ_1 , а слой толщиной $\frac{r}{l}$ сопротивляется только кольцевому удлинению ϵ_2 .

Перейдем теперь к рассмотрению изгиба оболочки в кольцевом направлении. При изгибе в кольцевом направлении в восприятии изгибающего момента будет участвовать как обшивка, так и шлангоут. Для участка оболочки длиной l , кроме жесткости обшивки на изгиб $\frac{E}{1-\mu^2} \cdot \frac{R^3}{12}$, будет жесткость шлангоута на изгиб EI , где I — главный момент инерции шлангоута вместе с присоединенным поясом



Рис. 66

обшивки. Следовательно, суммарная жесткость на изгиб в кольцевом направлении участка обшивки длиной l вместе со шлангоутом будет равна

$$D_l = \frac{E}{1-\mu^2} \cdot \frac{R^3}{12} + EI. \quad (308. IV)$$

Во всех практических случаях жесткость обшивки на изгиб ничтожно мала в сравнении с изгибной жесткостью шлангоутов, так как $\frac{R^3}{12} \ll I$, поэтому в выражении (308. IV) первым слагаемым можно пренебречь в сравнении со вторым. В этом случае изгибная жесткость в кольцевом направлении участка оболочки длиной l будет равна EI .

Определив относительную жесткость, т. е. жесткость единицы длины оболочки со шлангоутами, получим приведенную жесткость на изгиб в кольцевом направлении обшивки со шлангоутами

$$D_{sp} = \frac{EI}{l}. \quad (309. IV)$$

Следовательно, изгибную жесткость шлангоутов мы как бы равномерно распределили по длине оболочки.

Резюмируя изложенное, можно отметить, что установка кольцевых шлангоутов привела к тому, что жесткость оболочки при растяжении—сжатии и изгибе в кольцевом направлении изменилась, а в осевом направлении, равно как и жесткость при сдвиге и кручении, осталась прежней. Таким образом, мы пришли к анизотропной оболочке, причем эта анизотропия создана не материалом, который является изотропным, а конструкционными мероприятиями (уставковкой шлангоутов). Такая анизотропия называется конструкционной анизотропией.

В итоге оболочка со шлангоутами сведена к конструкции из анизотропной оболочки, имеющей в плоском направлении жесткость при растяжении — схематичная $\frac{E_1}{1-\mu_1^2} + E \frac{P}{r}$ и при изгибе $\frac{EI}{r}$. Жесткость же при растяжении — схематичная изгибе в осевом направлении, а также жесткость при сдвиге и кручении остались прежними.

Отметим, что пренебрежение жесткостью при изгибе обшивки в сравнении с жесткостью при изгибе шлангоутов позволяет в уравнениях равновесия временно отбросить изгибающий моментом M_1 и крутящий моментом H в сравнении с изгибающим моментом M_2 .⁸

В итоге получаем следующие формулы для усилий и моментов, которые необходимо ввести в систему уравнений устойчивости:

$$\left. \begin{aligned} T_1 &= \frac{EI}{1-\mu_1^2} (v_1 + \mu v_2) \\ T_2 &= \frac{EI}{1-\mu_1^2} (v_2 + \mu v_1) + \frac{EP}{r} v_2 \\ S &= \frac{EI}{2(1+\mu)} v \\ M_2 &= \frac{EI}{r} v_2 \end{aligned} \right\}, \quad (310. IV)$$

Выпишем теперь систему уравнений устойчивости в усилиях и моментах (см. систему (243. IV)) с учетом пренебрежения моментами M_1 и H в сравнении с моментом M_2 . Получим

$$\left. \begin{aligned} \frac{\partial T_1}{\partial x} + \frac{1}{r} \cdot \frac{\partial S}{\partial \varphi} + F_1 &= 0 \\ \frac{\partial S}{\partial x} + \frac{1}{r} \cdot \frac{\partial T_2}{\partial \varphi} + \frac{1}{r^2} \cdot \frac{\partial M_2}{\partial \varphi} + F_2 &= 0 \\ \frac{1}{r^2} \cdot \frac{\partial^2 M_2}{\partial \varphi^2} - \frac{1}{r} T_2 + F_3 &= 0 \end{aligned} \right\}, \quad (311. IV)$$

где, согласно ф-ции (244. IV),

$$\begin{aligned} F_1 &= -\frac{1}{r} \cdot \frac{\partial v_2}{\partial \varphi} T_1^0 - \mu v_1, \\ F_2 &= -\frac{\partial v_2}{\partial x} T_1^0 + \frac{1}{r} v_1 T_1^0 + \mu v_2, \\ F_3 &= -\frac{\partial v_2}{\partial \varphi} T_2^0 + \frac{1}{r} \cdot \frac{\partial v_1}{\partial \varphi} T_2^0. \end{aligned}$$

Здесь T_1^0 , T_2^0 — осевое и колышевое усилия в первом исходном состоянии, определенные по бимоментной теории. Для цилиндрической оболочки эти усилия равны

$$T_1^0 = -\frac{EY}{r}, \quad T_2^0 = -Pr.$$

⁸ Ф. Фюзетт решает задачу без этого допущения, которое значительно упрощает решение.

Углы возврата ω_1 , ω_2 , ω_3 определяются по формулам (245, IV):

$$\omega_1 = \frac{1}{r} \cdot \frac{d\varphi}{d\eta} = -\frac{\psi}{r},$$

$$\omega_2 = -\frac{du}{dx},$$

$$\omega_3 = \frac{dv}{dx} - \frac{1}{r} \cdot \frac{du}{d\eta}.$$

Подставив углы ω_1 и ω_2 , а также углы ω_1 , ω_2 и ω_3 в формулы (244, IV), получим выражения для F_1 , F_2 , F_3 через перемещения u , φ и w . Заменив в системе уравнений устойчивости (311, IV) условия T_1 , T_2 , S и момент M , их значения согласно формулам (310, IV), придадут системе линейных однородных дифференциальных уравнений устойчивости в переменных u , v и w :

$$\left. \begin{aligned} r^2 \frac{\partial u}{\partial x^2} + \frac{1-\mu}{2} r \frac{\partial u}{\partial x \partial \eta} + \mu r \frac{\partial w}{\partial x} + \frac{1-\mu}{2} \cdot \frac{\partial u}{\partial \eta^2} + \chi_{12} \left(\frac{\partial u}{\partial x \partial \eta} + \frac{\partial w}{\partial x} \right) &= 0 \\ \frac{1+\mu}{2} r \frac{\partial u}{\partial x \partial \eta} + \frac{1-\mu}{2} r^2 \frac{\partial u}{\partial x^2} + s \left(\frac{\partial u}{\partial \eta^2} - \frac{\partial w}{\partial \eta} \right) + \alpha_1 \left(\frac{\partial w}{\partial \eta^2} + \frac{\partial v}{\partial \eta} \right) - r^2 \chi_{12} \frac{\partial w}{\partial x^2} &= 0 \\ \mu r \frac{\partial v}{\partial x} + s \left(\frac{\partial v}{\partial \eta} - w \right) - \alpha_1 \left(\frac{\partial w}{\partial \eta^2} + \frac{\partial v}{\partial \eta} \right) - \chi_{12} \left(\frac{\partial w}{\partial x^2} + w \right) - \chi_1 r^2 \frac{\partial w}{\partial x^2} &= 0 \end{aligned} \right\}. \quad (312, IV)$$

В уравнениях (312, IV):

$$\left. \begin{aligned} \chi_1 &= \frac{E\lambda'}{ES} \cdot \frac{1-\mu^2}{2} \\ \chi_2 &= \frac{M}{ES} (1-\mu^2) \\ s &= \frac{\kappa_0 (1-\mu^2)}{V} \\ \alpha_1 &= \frac{I}{ES^2} (1-\mu^2) \end{aligned} \right\}. \quad (313, IV)$$

Решение дифференциальных уравнений устойчивости будем искать в виде

$$\left. \begin{aligned} u &= A \sin \omega \eta \cos \frac{\pi \eta x}{L} \\ v &= B \cos \omega \eta \sin \frac{\pi \eta x}{L} \\ w &= C \sin \omega \eta \sin \frac{\pi \eta x}{L} \end{aligned} \right\}, \quad (314, IV)$$

где 2ω — число полуволн, образующихся по периметру оболочки при потере устойчивости обшивки со шпангоутами;

m — число полуволн, образующихся по длине оболочки при потере устойчивости обшивки со шпангоутами.

Подстановка выражения для дополнительных перемещений u , v и w , согласно формулам (314, IV), в систему дифференциальных уравнений устойчивости, приведет к системе трех линейных однородных алгебраических уравнений относительно коэффициентов A , B и C . Эта система имеет

отличные от нуля решения лишь в том случае, если определитель, составленный из коэффициентов при A , B и C , обращается в нуль.

Приравняв определитель нулю, приходим к следующему уравнению для определения критических нагрузок:

$$C_1 + C_2 x_1 = C_3 x_1 + C_4 x_2, \quad (315. IV)$$

где

$$\left. \begin{aligned} C_1 &= B^2 \\ C_2 &= (\mu^2 - 1)^2 [x^4 + s(2x^2 + \mu^2) \cdot \mu^2] \\ C_3 &= \lambda^4 \mu^2 + s(2\lambda^2 + \mu^2) \lambda^2 - s(3\lambda^2 + \mu^2) \lambda^2 \\ C_4 &= \lambda^4 + s\lambda^2 \mu^2 (2\lambda^2 + \mu^2 + 1) \end{aligned} \right\} \quad (316. IV)$$

$$k = \frac{\pi r}{L}$$

Так как уравнение устойчивости одно, а неизвестных два (ρ_1 и ρ или пропорциональные им величины x_1 и x_2), то решение остается неоднозначным, т. е. можно подобрать бесконечное множество комбинаций ρ_1 и ρ , при которых оболочка теряет устойчивость. Эти комбинации, удовлетворяющие уравнению (315. IV), и дают критические нагрузки на оболочку, подкрепленную шлангутами. Так как числа полуволны при потере устойчивости могут принимать разные значения, то практический интерес представляют лишь те значения ρ и λ , при которых критические нагрузки являются наименьшими.

Наибольший практический интерес для кораблестроения представляет случай действия на оболочку по всей цилиндрической поверхности и по торцам равномерного давления интенсивности ρ , т. е. случая, когда $\rho_1 = \rho$. Тогда,

$$x_1 = \frac{1}{3} x_2. \quad (317. IV)$$

Подставив ф-лу (317. IV) в выражение (316. IV), получаем следующее выражение для определения критического давления:

$$x_2 = \frac{C_1 + C_2 x_1}{C_3 + \frac{1}{3} C_4}$$

иная с учетом ф-л (313. IV) и (316. IV) имеем

$$\rho_{cr} = \frac{B^2}{(1 - \mu^2)r} \cdot \frac{s^4 + s(\mu^2 - 1)[x^4 + s(2x^2 + \mu^2)\mu^2]}{144\mu^2 + s(2\lambda^2 + \mu^2)\lambda^2 - s(3\lambda^2 + \mu^2)\lambda^2 + \frac{1}{2}[x^2 + s\lambda^2\mu^2(2\lambda^2 + \mu^2 + 1)]}. \quad (318. IV)$$

Формулой (318. IV) определяется теоретическое критическое давление оболочки, подкрепленной узкими шлангутами. Необходимо отметить, что в рассматриваемом нами случае действия на оболочку поверхной и осевой нагрузок интенсивности ρ число полуволны по длине оболочки следует принимать разным единице, так как при больших значениях ρ теоретическое критическое давление возрастает. Тщательный анализ ф-лы (318. IV) показывает, что она может быть существенно упрощена. В большинстве практических случаев величина $\frac{\rho}{r}$

меньше в сравнении с толщиной оболочки. Поэтому, пренебрегая $\frac{P}{L}$ по сравнению с толщиной, мы отождествляем примененную толщину оболочкам с ее фактической толщиной. Фактически пренебрежение $\frac{P}{L}$ по сравнению с b означает неучт дополнительного создания жесткости шлангоутов при растяжении—сжатии в кольцевом направлении. Такое пренебрежение идет в большую сторону и дает небольшую погрешность. Пренебрегая $\frac{P}{L}$ по сравнению с b , получим

$$s = \frac{\left(1 + \frac{P}{L}\right)(1 - \mu^2)}{3} \approx (1 - \mu^2).$$

Подставив значение s , а также a , в формулу (318. IV), после пренебрежения малыми членами получим

$$r_{cr}' = \frac{s}{a^2 - 1 + \frac{1}{2} \left(\frac{EI}{L}\right)^2} \left\{ \frac{1}{\pi^2} (a^2 - 1)^2 + \frac{b}{P} \cdot \frac{\left(\frac{EI}{L}\right)^4}{a^2 + \left(\frac{EI}{L}\right)^2} \right\}. \quad (319. IV)$$

Формула (319. IV) есть окончательная формула для определения критического давления оболочки, подкрепленной упругими шлангоутами. Число волн n , образующихся при потере устойчивости по периметру оболочки, необходимо выбрать таким, чтобы r_{cr}' было наибольшим. Отметим, что в большинстве практических случаев это значение n лежит в пределах $2 < n < 5$. Поэтому расчет выполняется для нескольких значений n , после чего и определяется наименьшее значение r_{cr}' .

Рассмотрим предельный случай, когда длина оболочки L (расстояние между переборками или другими жесткими опорами) бесконечно велика. В этом случае мы имеем бесконечно длинную оболочку, подкрепленную равноотстоящими упругими шлангоутами. Подставив в формулу (319. IV) $L = \infty$, будем иметь

$$r_{cr}' = \frac{EI}{\pi^2} (n^2 - 1). \quad (320. IV)$$

В случае бесконечно длинной оболочки, подкрепленной упругими шлангоутами, теоретическое критическое давление зависит только от изгибной жесткости шлангоутов EI . При этом r_{cr}' всегда будет наименьшим при $n = 2$. Подставляя $n = 2$ в формулу (320. IV), получим

$$r_{cr}' = \frac{3EI}{\pi^2}. \quad (321. IV)$$

Формула (321. IV) известна как формула М. Лези для критического давления кругового кольца, изгибная жесткость которого обозначена через EI , а ширина — через L . Эта формула исторически предшествовала формуле (319. IV).

Установка переборок приводит к тому, что не устойчивость оболочки вместе со шлангоутами, оказывает влияние не только изгибная жесткость шлангоутов, но и жесткость на растяжение—сжатие и сдвиг обшивки. Таким образом, наличие переборок приводят к повышению устойчивости подкрепленной оболочки.

§ 44. Введение поправочных коэффициентов

Сравнение теоретических значений критического давления с экспериментальными показывает, что ф-ла (319. IV) дает завышенные значения критического давления. Причины расхождения теоретических и экспериментальных результатов совершенно аналогичны рассмотренным при исследовании устойчивости обшивки между шпангоутами. Эти причины достаточно подробно изложены в § 42, поэтому вторично производить их подробный анализ нецелесообразно. Отметим лишь основные из них.

1. В результате наличия начальной погибки, неоднородности материала и других дефектов оболочки, подкрепленной упругими шпангоутами, может терять устойчивость при давлении меньшем, чем критическое, определяемое ф-лой (319. IV). Такая возможность связана с тем, что классическая теория устойчивости оболочек дает верное критическое давление. Учет же нелинейных факторов приводит к определению иного критического давления, соответствующего потере устойчивости с большими перемещениями и происходящего с хлопком.

Учет этих факторов будем производить умножением теоретического критического давления на поправочный коэффициент γ_1 . Хотя принципиально поправочный коэффициент γ_1 зависит от конструктивных размеров оболочки и шпангоутов, но начальной погибки и других неучитываемых факторов в каждом частном случае он имеет свое значение, для однозначности будем принимать его таким же, как и для обшивки между шпангоутами.

2. В большинстве случаев возникающие при критической нагрузке напряжения превосходят предел пропорциональности, а иногда и предел текучести материала. Между тем выведенные выше расчетные формулы получены в предположении удовлетворения закону Гука, т. е. эти формулы справедливы до достижения напряжениями предела пропорциональности. Естественно, что уменьшение модуля Юнга приводят к снижению критического давления. Учет влияния отступления от закона Гука на устойчивость будем производить умножением теоретического давления на коэффициент γ_2 . Для нахождения этого коэффициента необходимо определить сжимающие напряжения в шпангоутах при нагрузке $P = \gamma_1 P_{kp}$. Затем, зная величину напряжений, определить по графику рис. 59 или таблице Приложения V поправочный коэффициент γ_2 . Окончательно действительное критическое давление будет равно

$$P_{kp} = \gamma_1 \gamma_2 P'_{kp}. \quad (322. IV)$$

Определение входящего в ф-лу (319. IV) момента инерции шпангоутов с присоединенным поясом обшивки требует некоторых пояснений. Очевидно, при определении главного момента инерции шпангоута с присоединенным поясом обшивки необходимо знать ширину присоединенного пояса, которая будет всегда больше ширины присоединенного пояса при осесимметричном обжатии, т. е.

$$I_{kp} > 1,86 I \sqrt{R}, \quad (323. IV)$$

где I_{kp} — ширина присоединенного пояса обшивки.

На практике же при определении момента инерции шпангоута в расчет вводят не I_{kp} , а I , т. е. считают, что ц. момент инерции шпангоута необходимо внести обшивку на всей длине шпанги. Поскольку I_{kp} может быть меньше I , иногда складывается впечатление, что введение в присоединенный поясок всей площади сечения обшивки

по длине шпации приведет к большой ошибке и притом в опасную сторону. В действительности это не так. Анализ показывает, что увеличение присоединенного пояска обшивки в несколько раз приводят к сравнительно небольшому увеличению момента инерции шпангоута. Из ф-лы (319. IV) видно, что второе слагаемое вообще не зависит от момента инерции шпангоута, поэтому увеличение r'_{sp} будет меньше, чем увеличение I . Наконец, большие значения r'_{sp} соответствуют большим значениям напряжений в шпангоутах и, следовательно, меньшим поправочные коэффициенты χ_0 . Поэтому действительные значения критического давления в обоих рассматриваемых случаях (шпангоуты с полным присоединенным пояском обшивки шириной I_{sp} и шпангоуты с ограниченным пояском обшивки шириной I_{sp}) оказываются близкими. Исходя из этого можно рекомендовать при определении момента инерции шпангоута принимать ширину присоединенного пояска обшивки равной I .

Необходимо также учесть следующее обстоятельство. При выводе расчетных формул устойчивости в качестве расчетного радиуса мы приложили радиус срединной поверхности обшивки. В действительности изгиб обшивки со шпангоутами и колышевыми направляющими происходит относительно нейтральной оси шпангоута вместе с присоединенным пояском обшивки. Поэтому в первое слагаемое ф-лы (319. IV) необходимо вместо радиуса обшивки r вводить радиус шпангоута r_{sp} , т. е. определять r'_{sp} по формуле

$$r'_{sp} = \frac{E}{\pi^2 - 1 + \frac{1}{2} \left(\frac{\pi r}{L} \right)^2} \left[\frac{I}{r_{sp}^2} (n^2 - 1)^2 + \frac{1}{r} \cdot \frac{\left(\frac{\pi r}{L} \right)^2}{\left[n^2 + \left(\frac{\pi r}{L} \right)^2 \right]^{1/2}} \right]. \quad (324. IV)$$

На практике, однако, радиус r_{sp} мало отличается от радиуса обшивки r , так что величина Δr мала в сравнении с радиусом обшивки r . Поэтому в большинстве практических случаев в ф-ле (319. IV) можно сохранять радиус обшивки r в обоих слагаемых. Если же величина Δr достаточно велика в сравнении с радиусом r , то r'_{sp} необходимо определять по ф-ле (324. IV). Очевидно, при установке внутренних шпангоутов использование ф-лы (319. IV) вместо ф-лы (324. IV) дает погрешность в безопасную сторону, а при установке наружных шпангоутов, наоборот, в опасную сторону. Отметим обстоятельство следующее ввиду при проверке устойчивости наружных шпангоутов. Приведем практическую схему расчета устойчивости шпангоутов.

Практическая схема расчета

Исходные данные: r , t_{sp} (спецификационная толщина обшивки), I , E , L , L_s .

Определяются:

1. Расчетная толщина обшивки $\delta = t_{sp} - \delta_0$.
2. Теоретические критические давления для шпангоутов, соответствующий $n = 2, 3, 4$ и 5 по формуле

$$P'_{sp} = \frac{E}{\pi^2 - 1 + \frac{1}{2} \left(\frac{\pi r}{L} \right)^2} \left[\frac{I}{r^2} (n^2 - 1)^2 + \frac{1}{r} \cdot \frac{\left(\frac{\pi r}{L} \right)^2}{\left[n^2 + \left(\frac{\pi r}{L} \right)^2 \right]^{1/2}} \right].$$

3. Расчетное критическое давление p_{cr}' , как наименьшее из рассмотренных значений.

4. Поправочный коэффициент $\chi_1 = 0,7$.

5. Коэффициент k

$$k = \left(1 - \frac{r}{d}\right)(1 - \epsilon_1).$$

6. Напряжение в шлангутах, соответствующее давлению $\chi_1 p_{cr}'$

$$\sigma_{sh} = -k \epsilon_1 \frac{p_{cr}'}{1}.$$

7. Поправочный коэффициент χ_2 по таблице Приложения V или по графику рис. 59 для линейной стали.

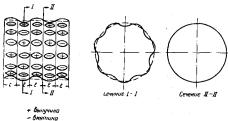


Рис. 67

8. Действительное критическое давление для шлангутов по формуле $P_{cr} = \chi_2 \chi_1 p_{cr}'$.

9. Удовлетворение критерия устойчивости шлангутов $p_{cr} \geq p_r$, где p_r — расчетное давление.

В заключение отметим, что определение критической нагрузки обшивки и шлангутов прочного корпуса имеет очень важное значение. Удовлетворение критерия прочности по напряжениям еще не гарантирует прочный корпус от разрушения, так как при проверке прочности по напряжениям мы исходили из того, что обшивка и шлангуты прочного корпуса после деформации сохраняют свою круговую форму, т. е. не теряют устойчивости. Поэтому критерии прочности, являясь необходимыми критериями, не являются в то же время достаточными. При потере устойчивости обшивки между шлангутами в ней появляется большое число вмятин и выпуклых (рис. 67), чередующихся между собой в шахматном порядке. Вследствие появления вмятин и выпуклых в обшивке возникают большие дополнительные изгибающие напряжения,

сильно снижающие несущую способность обшивки. В общем случае критическую нагрузку нельзя отождествлять с разрушающей, так как последняя может превышать первую в несколько раз. Степень превышения разрушающей нагрузки над критической определяется следованием напряженного состояния обшивки в момент потери устойчивости. Стремление в наибольшей мере добиться рациональной конструкции прочного корпуса привело к относительно высокой норме цепных допускаемых напряжений в продольных сечениях обшивки. Многочисленные эксперименты показывают, что при достаточно больших цепных напряжениях потеря устойчивости обшивки приводит к полному разрушению прочного корпуса. Поэтому в таких случаях критическую нагрузку можно отождествлять с разрушающей. Отсюда то большое внимание, которое уделяется проверке устойчивости обшивки и шпангоутов в расчетной практике.

§ 46. О расчете конических частей прочного корпуса

Рассмотрим круговую цилиндрическую оболочку, подкрепленную шпангоутами. Пусть эта оболочка спроектирована рационально, т. е. при заданных расчетном диаметре r и при выбранных радиусе R , толщине δ , штанги I и профиле шпангоутов удовлетворяет установленным нормам прочности и устойчивости и одновременно не имеет налишних запасов. Уменьшение радиуса такой цилиндрической оболочки при сохранении неизменными ее толщины, штанги и профиля шпангоута приведет к понижению цепных напряжений в оболочке и в шпангоутах и к повышению их устойчивости, т. е. к наименшим против требуемых запасам прочности и устойчивости обшивки и шпангоутов, в следовательно, и к наименьшему утяжелению веса оболочки.

Аналогичная картина имеет место и в конических оболочках, образующих оконечности прочного корпуса. Если оставить δ , I и R без изменения по всей длине конуса, то запасы прочности и устойчивости оконечностей прочного корпуса будут расти с уменьшением радиуса корпуса. Другими словами, по мере приближения к коневым переборкам прочного корпуса его конструкция будет становиться все более нерациональной как по весовым, так и таборитным характеристикам. Поэтому, естественно, встает вопрос о допустимом уменьшении толщины оболочки и площади шпангоута с уменьшением радиуса конусных частей прочного корпуса. Обычно эту задачу решают задачей об определении тех радиусов конуса r_1^{min} и r_2^{min} , начиная с которых возможен переход из заданную меньшую толщину обшивки δ_1 и профиль шпангоута (I_1 , R_1). Строгое решения задачи о напряженном состоянии и об устойчивости конической оболочки, подкрепленной шпангоутами, нет. Поэтому обычно и каждой штанге конической оболочки применяют расчетные формулы, относящиеся к подкрепленной шпангоутами цилиндрической оболочке, принятая за расчетный радиус наибольший радиус в данной штанге.

Рассмотрим сначала определение того наибольшего радиуса конуса в штанге r_1^{min} , начиная с которого можно перейти на ближайшую меньшую спецификационную (по ГОСТ) толщину обшивки δ_1 . На условия прочности, этот радиус должен быть не больше величины r_1^{cr} , где

$$r_1^{\text{cr}} = \omega_2 \cdot \frac{\delta_1 \cos \alpha}{\rho}. \quad (325. IV)$$

В ф-ве (325. IV) α — угол между образующей и осью конуса.

Из условия устойчивости этот радиус в первом приближении может быть определен по выражению

$$r_1^{(0)} = 100k \left(\frac{16.5 \rho_{\text{сп}}}{\rho} \cdot \frac{100}{l} \right)^{\frac{1}{3}}, \quad (326. IV)$$

В первом приближении коэффициент k принимается из расчета цилиндрической части прочного корпуса. Вычислив в первом приближении $r_1^{(0)}$, определяют по графику рис. 41 коэффициент K_2 и по формуле (280, IV) $\rho_{\text{сп}}$. Затем вычисляют

$$\rho'_{\text{сп}} = K_2 \rho_1 \frac{R_1 r_1^{(0)}}{l},$$

По этому значению $\rho'_{\text{сп}}$ определяют новый уточненный коэффициент k и потом уже $r_1^{(0)}$ во втором приближении. Уточнения производят несколько раз, пока значения $r_1^{(0)}$, полученные в двух последовательных приближениях, практически не совпадут. Обычно оказывается достаточно второго приближения.

Из двух значений радиуса $r_1^{(0)}$, определенных по выражениям (325, IV) и (326, IV), за расчетный принимается больший.

Если конус достаточно длинный, то проводят определение радиуса $r_1^{(0)}$, начиная с которого можно перейти из меньшую по ГОСТ спецификационную толщину. Естественно, что действительные радиусы, при которых целесообразен переход к меньшим толщинам, практически будут определяться шириной листов, регламентированной ГОСТ.

Рассмотрим теперь определение радиуса шпандугта конусной части прочного корпуса $r_1^{(0)}$, начиная с которого возможен переход из меньшей по высоте заданный профиль шпандугта с новым собственным моментом инерции I_1 и площадью сечения F_1 . Поскольку обычно $r_1^{(0)} > r_1^{(0)}$, то $r_1^{(0)}$ нужно определять при $\delta = I_1$. Момент инерции нового профиля с присоединенным поясом обшивки I_1 при этом будет

$$I_1 = I_1 + \frac{A_1^2}{12} + \left(z_1 + \frac{A_1}{2} \right) \frac{F_1}{1 + \frac{F_1}{R_1}},$$

Если принять разгружающим влиянием поперечных переборок на устойчивость и принять зоны устойчивости равным 1,5, то из формулы (321, IV) можно получить

$$I_1 > 0,25 \left(\frac{r_1^{(0)}}{0,03} \right)^3 \rho l,$$

откуда

$$r_1^{(0)} = 100 \sqrt[3]{\frac{4 F_1}{\rho l}}, \quad (327. IV)$$

ГЛАВА V

РАСЧЕТ ПРОЧНОСТИ РУБОК

§ 46. Классификация рубок

Все рубки подводных лодок, в зависимости от формы их поперечного сечения можно разделить на три группы:

- 1) круговые;
- 2) эллиптические;
- 3) овальные.

Как следует из приведенных выше схем, поперечные сечения рубок являются окружностями, эллипсами или овалами. Наибольшее распространение получили круговые цилиндрические рубки как наиболее простые конструкции.

В зависимости от конструктивного оформления различают безреберные рубки и рубки, подкрепленные ребрами жесткости. В первом случае устойчивость обшивки рубок оказывается достаточной для восприятия внешнего расчетного давления, а возникающие в обшивке изгибающие моменты есть незначительны, что не требует установки ребер жесткости. Такие рубки рассчитываются по безмоментной теории. Если же устойчивость обшивки рубок мала, а возникающие изгибающие моменты велики и не могут быть восприняты обшивкой, то в этих случаях рубки подкрепляются ребрами жесткости. Следовательно, основным назначением ребер жесткости рубок является распределение больших изгибающих моментов и повышение устойчивости обшивки.

Анализ показывает, что если высота рубок невелика, то вследствие влияния краевых условий по концам рубки (влияние крыши рубки и прочного корпуса) ее обшивка находится в безмоментном напряженном состоянии и может быть рассчитана по формулам безмоментной теории.

Необходимо отметить, что вследствие наличия изгиба расчет по безмоментной теории может привести в некоторых случаях к погрешности, направляемой в опасную сторону. Поэтому окончательный выбор конструктивных элементов рубок должен производиться исходя из общей теории тонких оболочек.

Прежде чем перейти к расчету прочности рубок, необходимо определить расчетные нагрузки. Так же как и прочный корпус, рубки нагружены внешним гидростатическим давлением, которое изменяется с изменением глубины погружения. Поэтому в качестве расчетной нагрузки для рубок принимается расчетное давление, принятое при расчете основных элементов прочного корпуса.

§ 47. Расчет прочности и устойчивости круговых цилиндрических рубок

Круговые цилиндрические рубки являются наиболее распространенным типом рубок. Так же как и для прямого корпуса, круговые сечения рубок являются наиболее рациональными, так как обеспечивает необходимую прочность и устойчивость при наименьшем весе.

Конструктивная схема круговой цилиндрической рубки показана на рис. 68. Круговая рубка представляет собой замкнутую круговую цилиндрическую оболочку, подкрепленную поперечными ребрами жесткости. Роль ребер жесткости состоит в обеспечении устойчивости обшивки и восприятия изгибающих моментов, вызванных начальными отклонениями от правильной круговой формы (то отличие от овальных и эллиптических

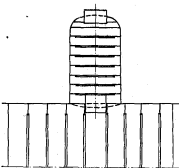


Рис. 68

рубок, ребра которых воспринимают значительные изгибающие моменты, появляющиеся в оболочке эллиптического или овального сечения даже без начальных отклонений). Сверху рубка жестко соединена с крышей рубки, представляющей собой либо сферическую оболочку, либо скатывающую сферическую и торпедообразную оболочки. В нижней части рубка жестко соединена с прочным корпусом.

Вследствие симметрии нагрузки и конструкции относительно оси рубки, последняя по всей своей высоте, исключая лишь небольшой участок в месте присоединения к прочному корпусу, находится в состоянии осевосимметричной деформации. Методы расчета осевосимметричной деформации круговых цилиндрических оболочек, подкрепленных ребрами жесткости, подробно рассмотрены в главе IV, поэтому повторять их здесь нецелесообразно. Странническим приведенем практической схемы расчета круговых цилиндрических рубок.

Для выполнения практических расчетов по круговым цилиндрическим рубкам можно рекомендовать следующую расчетную схему (см. § 32, 42 и 44).

Практическая схема расчета

Исходные данные:

r — радиус рубки;

s — толщина обшивки;

l — расстояние между ребрами жесткости;

L — высота рубки;

F — площадь поперечного сечения ребра жесткости;

I — момент инерции ребра жесткости вместе с присоединенным поясом обшивки относительно нейтральной оси;

p — расчетное давление;

E, ν — упругие константы материала рубки.

Проверка прочности обшивки и ребер жесткости

Определяются:

1. Параметр α : $\alpha = 0,6425 \frac{l}{\sqrt{rs}}$.

2. Параметр τ : $\tau = \left(\frac{0,203r}{1065} \right)^2 \frac{p}{10}$.

3. Параметр η : $\eta = 2\alpha\tau$.

4. Функция Папковича $F_1(u_1, u_2)$, $F_2(u_1, u_2)$ по таблицам или графикам в зависимости от параметров α и τ .

5. Функция R : $R = \frac{R}{p} F_1(u_1, u_2)$.

6. Функции v_1 и v_2 :

$$v_1 = \frac{1}{1+R},$$

$$v_2 = v_1 F_2(u_1, u_2).$$

7. Целое напряжение в продольных сечениях рубок посередине между ребрами жесткости по формуле

$$\sigma_y^* = -\frac{E}{2} (1 - v_2) = -E \frac{E}{2}.$$

8. Напряжение в ребрах жесткости по формуле

$$\sigma_{xy} = -\frac{E}{2} \left(1 - \frac{E}{2} \right) (1 - v_2) = -k \frac{E}{2}.$$

Проверка устойчивости обшивки и ребер жесткости

Определяются:

1. Теоретическое критическое давление обшивки по формуле

$$p_{cr}^* = 18,3 \left(\frac{100t}{r} \right)^{0,2} \frac{100t}{l},$$

2. Теоретическое критическое напряжение обшивки, соответствующее давлению $\tau_0 p_{cr}^*$ по формуле

$$\sigma_{xy}^* = \tau_0 k_2 \frac{p_{cr}^* r}{l}.$$

3. Для данной стали поправочный коэффициент χ_0 по графику рис. 59 или по таблице Приложения V.

4. Действительное критическое напряжение обшивки рубки по формуле

$$P_{cr} = \chi_0 \chi_1 P'_{cr},$$

5. Теоретическое критическое давление для ребер жесткости по формуле

$$P'_{cr} = \frac{E}{n^2 - 1 + \frac{1}{2} \alpha^2} \left[\frac{l}{rH} (n^2 - 1)^2 + \frac{3}{r} \cdot \frac{\alpha^2}{(n^2 + 2\alpha^2)} \right],$$

где $\alpha = \frac{H}{L}$.

6. Теоретическое критическое напряжение для ребер жесткости, соответствующее давлению $\chi_0 P'_{cr}$, по формуле

$$\sigma'_{cr} = \tau_0 \cdot k \frac{P'_{cr}}{k}.$$

7. Для данной стали поправочный коэффициент χ_1 по графику рис. 59 или по таблице Приложения V.

8. Действительное критическое давление для ребер жесткости по формуле

$$P_{cr} = \chi_0 \chi_1 P'_{cr}.$$

§ 48. Расчет цилиндрических оболочек произвольного поперечного сечения по безмоментной теории

Исследование напряженного состояния некруговых цилиндрических оболочек с плоской формой поперечного сечения показывает, что для относительно коротких оболочек изгибающие моменты и соответствующие им изгибные напряжения сравнимы с касательными и расчет таких оболочек можно производить по балансированной теории. Наличие опор в торцевых сечениях (крыши рубки и прочий корпус) обеспечивает цилиндрической оболочке рубки практические безмоментные состояния.

Получим расчетные формулы для определения напряжений в прогибах безмоментной цилиндрической оболочки произвольного поперечного сечения.

Теперь уже нельзя рассчитать прочности оболочки заменить расчетом изгиба балки-полоски, лежащей на сплошном упругом основании, как это делалось для круговой оболочки. Объясняется это тем, что условия работы балки-полоски, вырезанной из некруговой оболочки, будут различны: они будут зависеть от местоположения той обратующей оболочки, краиной которой мы выделили балку-полоску. Для решения таких задач приходится прилагать общую теорию тонких оболочек. При этом имеется в виду, что конструкция оболочки удовлетворяет условию существования безмоментного напряженного состояния, согласно которым цилиндрическая оболочка должна быть достаточно короткой, иметь поперечное сечение плоского очертания с плавно изменяющейся толщиной, радиусом кривизны сечения и плавным изменением нагрузки, действующей на оболочку.

Применив балансированную теорию, т. е. пренебрегая изгибом оболочки, мы тем самым как бы ослабляем ее по сравнению с действительностью, и поэтому определяемые по балансированной теории деформации и напряжения оказываются несколько больше деформаций и щелевых напряжений, определяемых по моментной теории.

Пусть имеем тонкую цилиндрическую оболочку прямолинейного бореального очертания (рис. 69). Линиями главной кривизны в данном случае будут направляющие x и образующие z цилиндра, которые и примем в качестве криволинейных ортогональных координат поверхности (рис. 69, а). При этом криволинейная координата z будет измеряться вдоль образующих от одного из оснований цилиндра, а криволинейная координата x — вдоль направляющих от одной из образующих цилиндра.

Перемещения u , v и w отсчитываются по направлениям касательных к криволинейным координатам x , z и по нормали e_0 .

Пусть длина оболочки L , тогда ее торцевые сечения будут определяться координатами $x=0$ и $x=L$. Обозначим радиус кривизны поперечного сечения оболочки через $r(z)$. Этот радиус будет функцией только криволинейной координаты z .

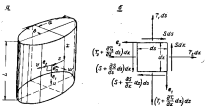


Рис. 69

Пусть оболочка нагружена равномерным внешним давлением p . Под действием этого давления в оболочке возникают усилия, показанные на рис. 69, б. Усилие T_1 направлено вдоль по образующей, а усилие T_2 — по касательной к направляющей.

Для определения возникающих в оболочке усилий воспользуемся полученной в § 17 системой дифференциальных уравнений равновесия элемента оболочки, находящейся в безмоментном напряженном состоянии (128, I). Подставим в эту систему дифференциальные уравнения значений параметров Лине срединной поверхности некруговой цилиндрической оболочки $A_1=A_2=1$, а также значения главных радиусов кривизны $R_1=\infty$, $R_2=r(z)$.

В результате приходим к следующей системе двух дифференциальных и одного алгебраического уравнений:

$$\left. \begin{aligned} \frac{\partial T_1^0}{\partial x} + \frac{\partial S^0}{\partial z} + q_1 &= 0 \\ \frac{\partial S^0}{\partial x} + \frac{\partial T_2^0}{\partial z} + q_2 &= 0 \\ T_2^0 &= q_3 r(z) \end{aligned} \right\} \quad (1. V)$$

Полученная система интегрируется в замкнутом виде. При этом одно из основных усилий безмоментной оболочки T_1^0 дается в явном виде. Это усилие не зависит от x , т. е. по длине оболочки не меняется.

Сделав аналогичную подстановку A_1, A_2 и R_1, R_2 в систему (1. V), получим систему дифференциальных уравнений для определения перемещений безмоментной цилиндрической оболочки:

$$\left. \begin{aligned} q_1' &= \frac{\partial u}{\partial x} = \frac{1}{EI} (T_1^0 - p T_2^0) \\ q_2' &= \frac{\partial v}{\partial x} + \frac{w'}{r(s)} = \frac{1}{EI} (T_2^0 - p T_1^0) \\ w'' &= \frac{\partial u}{\partial s} + \frac{\partial v}{\partial s} = \frac{2(1+\mu)}{EI} S^0 \end{aligned} \right\}, \quad (2. VI)$$

Полученная система также интегрируется в замкнутом виде.

Поскольку на оболочку действует только равномерное внешнее давление, в полученных уравнениях (1. V) и (2. V) следует положить $\varphi_1 = \varphi_2 = 0$; $q_2 = -p$. Тогда вместо системы (1. V) будем иметь:

$$\left. \begin{aligned} \frac{\partial T_1^0}{\partial x} + \frac{\partial S^0}{\partial s} &= 0 \\ \frac{\partial S^0}{\partial x} + \frac{\partial T_2^0}{\partial s} &= 0 \\ T_2^0 &= -pr(s) \end{aligned} \right\}. \quad (3. V)$$

Прежде чем производить интегрирование полученных систем дифференциальных уравнений (2. V) и (3. V), необходимо принять граничные условия на торцевых сечениях некругловой оболочки. Граничные условия могут быть приняты в виде следующих двух вариантов.

Статически определимый вариант

$$\left. \begin{aligned} T_1^0 &= 0 \\ v &= 0 \end{aligned} \right\} \text{ при } x = 0, x = L. \quad (4. V)$$

Статически неопределенный вариант

$$\left. \begin{aligned} u &= 0 \\ v &= 0 \end{aligned} \right\} \text{ при } x = 0, x = L. \quad (5. V)$$

Теперь приступим к интегрированию системы (3. V). Из третьего уравнения системы (3. V) усилие T_2^0 уже определено и равно

$$T_2^0 = -pr(s)^*. \quad (6. V)$$

Подставив (6. V) во второе ур-ние (3. V), получим

$$\frac{\partial S^0}{\partial x} - p \frac{\partial r}{\partial s} = 0.$$

* В дальнейшем $r(s)$ для краткости обозначим через r .

Принеатегрировав получившее равенство по x , придем к следующему выражению для касательного усилия S^x :

$$S^x = \rho x \frac{dx}{ds} + f_1(s),$$

где $f_1(s)$ — неизвестная функция.

В силу симметрии оболочки, граничных условий и нагрузки относительно среднего сечения $x = \frac{L}{2}$, касательные усилия в этом сечении должны отсутствовать, что дает основание записать

$$\rho \frac{L}{2} \cdot \frac{dx}{ds} + f_1(s) = 0,$$

откуда находим значение неизвестной функции

$$f_1(s) = -\rho \frac{L}{2} \cdot \frac{dx}{ds}.$$

Таким образом, функция $f_1(s)$ определена, и касательное усилие будет равно

$$S^x = -\rho \left(\frac{L}{2} - x \right) \frac{dx}{ds}. \quad (7. V)$$

Взяв производную по s от (7. V) и подставив ее в первое ур-ние (3. V), получим

$$\frac{dS^x}{ds} = \rho \left(\frac{L}{2} - x \right) \frac{d^2x}{ds^2} = 0.$$

Принеатегрировав последнее равенство по x , будем иметь

$$T_1^x = \rho \left[x \frac{L-x}{2} \cdot \frac{dx}{ds} + f_2(x) \right], \quad (8. V)$$

где $f_2(x)$ — вторая неизвестная функция. Далее происходит разложение решения, заключающееся в том, какой вариант граничных условий будет принят для определения в последующем неизвестных функций.

Рассмотрим сначала статически определимый вариант граничных условий, а затем статически неопределимый вариант.

Статически определимый вариант граничных условий

Используя граничные условия (4. V), из выражения (8. V) находим $f_2(s) = 0$, и усилие T_1^x оказывается равным

$$T_1^x = \rho x \frac{L-x}{2} \cdot \frac{dx}{ds}. \quad (9. V)$$

Таким образом, при данном варианте граничных условий мы определили все усилия, не прибегая к определению перемещений оболочки. Однако это не всегда оказывается возможным. Выпишем окончательные формулы для усилий цилиндрической оболочки при статически определимом варианте граничных условий:

$$\left. \begin{aligned} T_1^x &= \rho x \frac{L-x}{2} \cdot \frac{dx}{ds} \\ T_1^y &= -\rho r(s) \\ S^x &= -\rho \left(\frac{L}{2} - x \right) \frac{dx}{ds} \end{aligned} \right\}, \quad (10. V)$$

Формулы (10. V) при заданной форме поперечного сечения и размерах оболочки дают возможность определить усилия в любой точке оболочки.

Перейдем теперь к определению перемещений. Для этого подставим полученные значения усилий (10. V) в систему (2. V), получим

$$\left. \begin{aligned} \frac{du}{dx} &= \frac{\mu}{EJ} \left[\mu r + \frac{x(L-x)}{2} \frac{dr}{dx} \right] \\ \frac{dv}{dx} + \frac{w}{r} &= - \frac{\mu}{EJ} \left[r + \mu \frac{x(L-x)}{2} \cdot \frac{dr}{dx} \right] \\ \frac{dw}{dx} + \frac{du}{dx} &= - \frac{2(1+\nu)}{EJ} \mu \left(\frac{L}{2} - x \right) \frac{dr}{dx} \end{aligned} \right\}. \quad (11. V)$$

Пронумеровав первое уравнение по x , находим

$$u = \frac{\mu x}{EJ} \left[\mu r - \frac{x}{2} \left(\frac{1}{3}x - \frac{1}{2}L \right) \frac{dr}{dx} \right] + f_1(x),$$

где $f_1(x)$ — третья неизвестная функция. Эта функция может быть определена из условия отсутствия перемещения u в среднем сечении оболочки в силу симметрии граничных условий, т. е. из условия $u = 0$ при $x = \frac{L}{2}$. Это условие дает

$$f_1(x) = - \frac{\mu L}{2EJ} \left(\mu r + \frac{1}{12}L^2 \frac{dr}{dx} \right).$$

Окончательное выражение для u принимает следующий вид:

$$u = - \mu \frac{\mu x}{EJ} \left(\frac{L}{2} - x \right) - \frac{1}{6} \frac{\mu}{EJ} \left(x^3 - \frac{3}{2}Lx^2 + \frac{1}{4}L^3 \right) \frac{dr}{dx}. \quad (12. V)$$

Подставляя выражение (12. V) в третью из уравнений (11. V) и интегрируя по x , находим

$$v = - \frac{(1+\nu)\mu x(L-x)}{2EJ} \cdot \frac{dx}{dx} + \frac{\mu x}{2EJ} \left(x^3 - 2Lx^2 + L^3 \right) \frac{dr}{dx} + f_2(x).$$

Для того чтобы перемещение v удовлетворяло второму граничному условию (4. V), достаточно привести к нулю четвертую неизвестную функцию

$$f_2(x) = 0.$$

Обычно наибольший интерес представляет величина прогиба цилиндрической оболочки w , которая может быть непосредственно определена из второго уравнения системы (11. V)

$$w = - \frac{\mu}{EJ} \left[r + x(x-L) \frac{dr}{dx} + \frac{x}{24} \left(x^3 - 2Lx^2 + L^3 \right) \frac{dr}{dx} \right]. \quad (13. V)$$

Таким образом определены и перемещения, имеющие место в любой точке некруговой цилиндрической оболочки.

Перейдем теперь к определению напряжений и перемещений для случая жесткой заделки оболочки по краям (отсутствие перемещения u), что соответствует второму варианту граничных условий.

Статически определимый вариант граничных условий

Рассмотрим статически определимый вариант граничных условий (§. V). Естественно, что при этом варианте граничных условий сразу определить неизвестную функцию $f_1(s)$, входящую в выражение (§. V) для усилия T_1^* , поскольку граничные условия заданы с перемещениями. Подставив значение T_1^* и T_2^* в первое ур-ние (§. V), получим

$$\frac{ds}{dx} = \frac{p}{EI} \left[\mu^2 + \frac{x(L-x)}{2} \cdot \frac{d^2r}{dx^2} + f_1(x) \right].$$

Принтегрировав это выражение по x , будем иметь

$$s = \frac{px}{EI} \left[\mu^2 - \frac{x}{2} \left(\frac{x}{L} - \frac{L}{x} \right) \frac{d^2r}{dx^2} + f_1(x) \right] + f_2(x),$$

где $f_2(x)$ — некая известная функция. Для определения $f_1(x)$ и $f_2(x)$ имеем для граничных условий (§. V).

Из условия на краю $x = 0$ получаем

$$f_1(0) = 0.$$

На условии на краю $x = L$ находим

$$f_2(L) = pr + \frac{1}{12} L^2 \frac{d^2r}{dx^2}.$$

Следовательно, перемещение s будет равно

$$s = -\frac{px}{12EI} (2x^2 - 3Lx + L^2) \frac{d^2r}{dx^2}. \quad (14. V)$$

Несколько найденное значение $f_1(x)$ в выражении (§. V), для T_1^* получим

$$T_1^* = -\frac{p}{2} \left[\left(x^2 - Lx + \frac{1}{6} L^2 \right) \frac{d^2r}{dx^2} + 2pr \right]. \quad (15. V)$$

Подставив выражение для s (14. V) в третье ур-ние (§. V), после интегрирования по x приходим к зависимости

$$v = \frac{px^3}{24EI} (x-L)^2 \frac{d^2r}{dx^2} + \frac{(1+\mu)p x}{EI} (x-L) \frac{dr}{dx} + f_3(x), \quad (16. V)$$

в которой для выполнения граничных условий необходимо положить $f_3(L) = 0$.

Далее, из второго уравнения непосредственно определяем

$$\omega = -\frac{p x^2}{EI} \left[r + \frac{3+\mu}{2} x (x-L) \frac{d^2r}{dx^2} + \frac{1}{24} x^2 (x-L)^2 \frac{d^2r}{dx^2} \right]. \quad (17. V)$$

В заключение приведем окончательные формулы для усилий при втором варианте граничных условий:

$$\left. \begin{aligned} T_1^* &= -\frac{p}{2} \left[\left(x^2 - Lx + \frac{1}{6} L^2 \right) \frac{d^2r}{dx^2} + 2pr \right], \\ T_2^* &= -pr(s), \\ S^* &= -p \left(\frac{L}{2} - x \right) \frac{dr}{dx} \end{aligned} \right\}. \quad (18. V)$$

Из формул (10. V) и (18. V) видно, что при стягивании длины оболочки L к бесконечности усилия T^0 и S^0 также стремятся к бесконечности. Поэтому приведенные формулы и оболочки достаточно большой длины неприменимы. При расчете длинных оболочек необходимо учитывать деформации изгиба. Этот результат вполне естественен, так как для достаточно длинных оболочек никакие формулировки граничных условий не может ограничить перемещений чистого изгиба в средней части длины оболочки.

Приведенные формулы неприменимы для оболочек, поперечное сечение которых составлено из цилиндрических пластин постоянного радиуса кривизны, поскольку в этом случае в месте сопряжения радиусов R_1 и R_2 (рис. 70) имеет место разрыв непрерывности и поэтому в таких сечениях возникают значительные напряжения изгиба.

§ 49. Расчет прочности эллиптических трубок*

Применим полученные в предыдущем параграфе формулы для определения усилий, напряжений и перемещений, возникающих в эллиптических трубках. При этом используем формулы статически определимого варианта, как наиболее отвечающего условиям работы прочных трубок, поскольку торцевые сечения последних имеют возможность сближаться.

Примем следующие обозначения (рис. 71):

a — большая полуось эллипса;

b — малая полуось эллипса;

φ — угол, образуемый нормалью к эллипсу с его малой осью;

$r(\varphi)$ — радиус кривизны эллипса;

e — эксцентриситет эллипса

$$e = \frac{c}{a}, \quad e^2 = 1 - \frac{b^2}{a^2};$$

F — фокус эллипса.

Радиус кривизны эллипса $r(\varphi)$ определяется по выражению, известному из аналитической геометрии

$$r(\varphi) = \frac{a^2}{e} \cdot \frac{1}{(1 - e^2 \cos^2 \varphi)^{1/2}}.$$

(19. V)

Все формулы предыдущего параграфа входят производные от радиуса кривизны r по φ

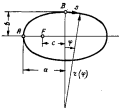


Рис. 71

* В данном параграфе использованы материалы статьи Б. В. Новожилова (Б. В. Новожилов. Определение напряжений в овальных обреберенных трубках. Издательство «Судостроение». № 5, 1946).

до чётвёртого порядка включительно. Определим их с помощью выражения (19. V), приняв во внимание соотношения $dx = r d\varphi$. В результате получим

$$\begin{aligned} r(\varphi) &= \frac{p}{\alpha} + \frac{1}{(1 - e^2 \cos^2 \varphi)^{1/2}} \\ \frac{dr}{d\varphi} &= \frac{1}{r} \cdot \frac{dr}{d\varphi} = -\frac{3}{2} e^2 \frac{\sin 2\varphi}{1 - e^2 \cos^2 \varphi} \\ \frac{d^2r}{d\varphi^2} &= \frac{1}{r} \cdot \frac{d}{d\varphi} \left(\frac{dr}{d\varphi} \right) = -\frac{3e}{2} \cdot \frac{\cos 2\varphi - e^2 \cos^2 \varphi}{(1 - e^2 \cos^2 \varphi)^{3/2}} \\ \frac{d^3r}{d\varphi^3} &= \frac{1}{r} \cdot \frac{d}{d\varphi} \left(\frac{d^2r}{d\varphi^2} \right) = \frac{6e^2}{2} e^2 \left[1 - \frac{3}{4} e^2 - \frac{1}{2} e^2 \left(1 - \frac{3}{4} e^2 \right) \cos^2 \varphi \right] \sin 2\varphi \\ \frac{d^4r}{d\varphi^4} &= \frac{1}{r} \cdot \frac{d}{d\varphi} \left(\frac{d^3r}{d\varphi^3} \right) = \frac{12e^2}{2} e^2 (1 - e^2 \cos^2 \varphi)^{1/2} \left[\left(1 - \frac{3}{4} e^2 \right) \cos 2\varphi - \right. \\ &\quad \left. - \frac{1}{2} e^2 \left(1 - \frac{3}{4} e^2 \right) (\cos^2 \varphi - 3 \sin^2 \varphi) \cos^2 \varphi \right]. \end{aligned} \quad (20. V)$$

Подставив соотношение (20. V) в зависимости (10. V), придем к следующим формулам для усилий:

$$\begin{aligned} T_1^0 &= -px \frac{\frac{L}{2} - x}{\frac{L}{2}} \cdot \frac{2e}{2} \cdot \frac{\cos 2\varphi - e^2 \cos^2 \varphi}{\sqrt{1 - e^2 \cos^2 \varphi}} \\ T_2^0 &= -p \frac{\frac{L}{2}}{\frac{L}{2}} \cdot \frac{1}{(1 - e^2 \cos^2 \varphi)^{1/2}}, \\ S^0 &= p \left(\frac{L}{2} - x \right) \frac{3}{2} e^2 \frac{\sin 2\varphi}{1 - e^2 \cos^2 \varphi}. \end{aligned} \quad (21. V)$$

Так как при расчетах прочности нас интересуют наибольшие значения усилий, напряжений и перемещений, то и произведем их определение.

Усилие T_1^0 достигает максимума при наибольшем значении r , т. е. в концах малой полусоси ($\varphi = 0$)

$$T_{1\max}^0 = -p \frac{e^2}{2}, \quad (22. V)$$

а соответствующее ему максимальное напряжение равно

$$\sigma_{1\max} = -\frac{pe^2}{2}. \quad (23. V)$$

Касательное усилие достигает наибольшего значения в торцевых сечениях ободочки ($x = 0$ и $x = L$). Определим, в какой точке направляющей этих сечений касательное напряжение имеет максимальное значение. Поскольку усилие S^0 пропорционально $\frac{dr}{d\varphi}$, то и максимум S^0 соответствует максимуму $\frac{dr}{d\varphi}$. Взяв производную по φ от $\frac{dr}{d\varphi}$ и про-

равна ее квад. среднему значение φ , при котором условие S^2 имеет максимум. Получим

$$\cos 2\varphi - \epsilon^2 \cos^2 \varphi = 0,$$

откуда

$$\cos \varphi = \frac{1}{\sqrt{2-\epsilon^2}}, \quad \sin \varphi = \frac{\epsilon \sqrt{1-\epsilon^2}}{\sqrt{2-\epsilon^2}}.$$

Подставляя эти значения в третью ф-лу (21. V), находим

$$S_{\max}^2 = \frac{3}{4} \rho L \left(\frac{a}{b} - \frac{b}{a} \right), \quad (24. V)$$

а соответствующее ему касательное напряжение равно

$$\sigma_{\max} = \frac{3}{4} \cdot \frac{\rho L}{b} \left(\frac{a}{b} - \frac{b}{a} \right). \quad (25. V)$$

Что касается усилия T_1^2 , то оно достигает наибольшего значения в среднем поперечном сечении оболочки ($x = \frac{L}{2}$). В поперечном сечении оболочки по длине направляющей являются усилия T_1^2 четырежды меняют свой знак при значениях угла φ , лежащих между 0 и 2π . При этом экстремальные значения усилия принимают в концах большой (точка A) и малой (точка B) полусей, образовавшиеся при этом равны

$$\left. \begin{aligned} T_{1_{\max}}^2 &= \frac{3}{8} \cdot \frac{\rho \rho L^2}{b^2} \epsilon^2 \\ T_{1_{\min}}^2 &= - \frac{3}{8} \cdot \frac{\rho \rho L^2}{b^2} \epsilon^2 \end{aligned} \right\}. \quad (26. V)$$

Соответствующие этим условиям напряжения будут

$$\left. \begin{aligned} \sigma_{1_{\max}}^2 &= \frac{3}{8} \cdot \frac{\rho \rho L^2}{b^2} \epsilon^2 \\ \sigma_{1_{\min}}^2 &= - \frac{3}{8} \cdot \frac{\rho \rho L^2}{b^2} \epsilon^2 \end{aligned} \right\}. \quad (27. V)$$

Наибольшее значение получается в поперечном сечении на конце большой оси, однако в этих сечениях напряжения будут растягивающими, и торцевое сжатие рубки (которое до сих пор не учитывалось, а теперь должно быть учтено) на них в данных сечениях вычитается. Поэтому, чтобы получить максимальное σ_1^2 , надо вычислить его в конце малой оси, зная при этом и требуемое напряжение сжатия от давления на крышу рубки. Последние могут быть определены по формуле

$$\sigma_1^2 = - \alpha \frac{P}{b}, \quad (28. V)$$

в которой коэффициент α ограничен пределами $\frac{1}{2} < \alpha < 1$. Для рассматриваемой щели его можно положить равным среднему значению $\alpha = 0,75$. Суммируя второе выражение (27. VI) с выражением для напряжения от давления на крышу рубки (28. V), получим следующую

окончательную формулу для максимального значения нормального напряжения:

$$\sigma_{\max} = -\frac{3}{4} \cdot \frac{E^2}{b} \left(1 + \frac{1}{2} \cdot \frac{L^4}{B^4} r^2 \right). \quad (29. V)$$

Выпишем формулы для наибольших напряжений, возникающих в звено-валах эллиптического сечения:

$$\left. \begin{aligned} \sigma_{\max}^1 &= -\frac{3}{4} \cdot \frac{E^2}{b} \left(1 + \frac{1}{2} \cdot \frac{L^4}{B^4} r^2 \right) \\ \sigma_{\max}^2 &= -\frac{E^2}{B} \\ \tau_{\max}^2 &= \frac{3}{4} E \frac{L}{B} \left(\frac{a}{b} - \frac{b}{a} \right) \end{aligned} \right\}. \quad (30. V)$$

Из перемещений наибольший интерес представляет перемещение φ (прогиб оболочки). Это перемещение можно определить, подставив зависимость (20. V) в выражение (13. V). В результате получим следующие значения этого перемещения в конце большей ($r = \frac{a}{2}$) и малой ($r = 0$) полусей:

$$w_1 = \frac{E^2}{B^2 D} \left[-\frac{9}{a^2} + \frac{3}{4} \cdot \frac{E^2 M^2}{a^2} r^2 + \frac{5}{32} \cdot \frac{L^4}{B^4 r^2} \left(1 - \frac{3}{4} r^2 \right) \right], \quad (31. V)$$

$$w_2 = -\frac{E^2}{B^2 D} \left[1 + \frac{3}{4} \cdot \frac{L^4}{B^4} r^2 + \frac{5}{32} \cdot \frac{L^4}{a^2} r^2 \left(1 - \frac{r^2}{4} \right) \right]. \quad (32. V)$$

На формула (31. V) и (32. V) видно, что под действием внешнего давления большая полусось увеличивается, а малая укорачивается, т. е. эллиптическое сечение превращается в эллипс большего эксцентриситета.

В заключение необходимо остановиться на расчете устойчивости эллиптических труб.

Приближенно, с ошибкой в безопасную сторону, устойчивость эллиптической рубки можно определять, пользуясь схемой, изображенной на рис. 72. Другими словами, вместо расчета устойчивости овальной оболочки производится расчет эллиптической цилиндрической оболочки, радиус которой равен наибольшему радиусу кривизны оболочки. При этом для расчета используются формулы круговых цилиндрических оболочек. Такой расчет приводит к преуменьшению теоретического критического давления, которое в отдельных случаях доводят до 40–50%. Поэтому Б. И. Савеков рекомендует * для встречающихся на практике соотноше-

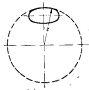


Рис. 72

* Б. И. Савеков. Устойчивость оболочек, имеющих форму эллиптического цилиндра. ЦНИИ Гип. А. И. Крацкав. Л., 1948.

ний геометрических элементов овальных оболочек приближенное значение теоретического критического давления определять по формуле

$$P_{kp} = \frac{P_1 + P_2}{2}, \quad (33. V)$$

где P_1 — критическое давление, определенное по формуле Мизеса для цилиндрической оболочки, имеющей радиус, равный наибольшему радиусу кривизны эллипса;

P_2 — то же для цилиндрической оболочки, имеющей радиус, равный большей полуоси эллипса.

Такое определение критического давления дает погрешность только в 5—10% и притом так же малозамкнутую и безопасную структуру.

Ниже приводится практическая схема расчета прочности и устойчивости эллиптических рубок.

Практическая схема расчета

Исходные данные:

a — большая полуось эллипса, см;

b — малая полуось эллипса, см;

L — высота рубки, см;

t — толщина рубки, см;

p — расчетное внешнее давление, кг/см².

Требуется определить возникающие в рубке наибольшее напряжение и проверить ее устойчивость.

Определение наибольших напряжений и прогибов производится по формулам:

$$\sigma_{\max}^1 = -\frac{3}{4} \cdot \frac{Pb}{t} \left(1 + \frac{1}{2} \cdot \frac{L^2}{at^2} r^2 \right),$$

$$\sigma_{\max}^2 = -\frac{Pb^2}{at},$$

$$\sigma_{\min} = \frac{3}{4} \cdot \frac{Pb^2}{t} \left(\frac{a}{b} - \frac{b}{a} \right),$$

$$w_a = \frac{pat}{64bt^3} \left[-\frac{2a}{b^2} + \frac{3}{4} \cdot \frac{Pba}{at^2} r^2 + \frac{3}{32} \cdot \frac{L^4}{at^2} r^2 \left(1 - \frac{3}{4} r^2 \right) \right],$$

$$w_b = -\frac{pat^3}{64bt^3} \left[1 + \frac{3}{4} \cdot \frac{L^2}{at^2} r^2 + \frac{3}{32} \cdot \frac{L^4}{at^2} r^2 \left(1 - \frac{3}{4} r^2 \right) \right].$$

Проверка устойчивости рубок производится по формулам для круговой цилиндрической оболочки, приведенным выше. Формулы изменяются: наибольший радиус эллипса $r = R = \frac{ab}{b}$ и вместо диаметра — высота рубки L .

При более точном определении устойчивости можно воспользоваться формулой (33. V) или методикой, рекомендованной в работе Б. И. Сахарова.

ГЛАВА VII

РАСЧЕТ СФЕРИЧЕСКИХ ПЕРЕБОРОК

§ 59. Основные понятия

Сферические переборки нашли широкое применение в конструкциях корпуса подводных лодок. Достаточно сказать, что у всех подводных лодок концевые переборки прочного корпуса являются сферическими, сопряженными с конической или цилиндрической частями прочного корпуса либо непосредственно, либо посредством торообразных переходных участков.

Помимо концевых переборок, сферические переборки применяются в качестве межотсечных, ограничивающих водонепроницаемые отсеки. Примерные схемы установки переборок показаны на рис. 73.



Рис. 73

Плоская переборка подводной лодки представляет собой круглую пластины, покрашенную вертикальным и горизонтальным набором. Этот набор разбивает общую переборку на ряд плоских прямоугольных пластин, непосредственно воспринимающих гидростатическое давление и передающих все усилие на набор. Последний представляет собой систему перекрестных балок. Пластины переборки, являясь в большинстве случаев пластинами конечной жесткости, работают как на изгиб, так и на растяжение. Набор же переборок работает в основном на изгиб и на срез, поэтому при достаточно большом толеранции давления для обеспечения прочности плюсения переборок необходимо устанавливать сравнительно большие балки в виде шельфов.

Работа сферических переборок принципиально отлична. Сферическая переборка работает в основном на растяжение или сжатие (а зависимости от направления действия давления), и только в сравнительно небольшой зоне у струнного контура переборка работает и на изгиб. При

итом необходимо отметить, что изгибающие напряжения быстро затухают по мере удаления от симметричного изгиба.

То обстоятельство, что сферические переборки работают в основном в безмоментном состоянии, дает возможность проектировать легкие и достаточно прочные безнаборные сферические переборки. Вместе с тем необходимо отметить, что сферические переборки обладают одним существенным недостатком. При восприятии давления с выпуклой стороны сферы возникающие в переборке напряжение являются растягивающими. В этом случае потеря устойчивости переборки исключена, и переборка может воспринять достаточно большое гидростатическое давление. При действии давления с выпуклой стороны в переборке возникают скжимающие напряжения. При этом переборка может потерять устойчивость, если действующее давление превышает критическую величину. Таким образом, при действии давления с выпуклой стороны определяющим фактором является устойчивость сферической переборки. Анализ показывает, что величина отмеченного обстоятельства, величина давления, которое может воспринять сферическая переборка с выпуклой стороны, в несколько раз меньше величины давления, которое может воспринять переборка с вогнутой стороной. Последнее обстоятельство привело к широкому использованию сферических переборок для отсеков-убежищ. Сферические переборки, ограничивающие отсеки-убежища, устанавливаются таким образом, чтобы их центры кривизны находились вне отсеков-убежищ. Применение сферических переборок для корпусов подводных лодок потребовало разработки методов расчета их прочности и устойчивости. В следующих параграфах приводятся методы расчета прочности сферических переборок, предложенный П. Ф. Папковичем.*

§ 51. Компоненты деформации средней поверхности сферических оболочек

Рассмотрим незамкнутую сферическую оболочку (рис. 74). В качестве координатных линий выберем меридианы и параллели сферы, являющиеся линиями главной кривизны сферической оболочки. При этом оба главных радиуса кривизмы R_1 и R_2 равны друг другу и равны радиусу сферы r_0 , т. е.

$$R_1 = R_2 = r_0. \quad (1. VI)$$

Положение любой точки на меридиане будем определять углом θ , отсчитываемым от вершины сферы, а положение точки на параллельном круге — углом φ , отсчитываемым от выбранного меридиана. Таким образом, углы θ и φ есть координатные параметры s_1 и s_2 .

Приращение дуги меридиана будет равно

$$ds_1 = r_0 d\theta$$

и, следовательно, параметр Лине

$$A_1 = r_0.$$

Приращение дуги параллельного круга равно

$$ds_2 = \overline{OC} d\varphi = r_0 \sin \theta d\varphi$$

* П. Ф. Папкович. Строительная механика корабля. Ч. I. Т. II. „Морской транспорт“, 1947.

и, следовательно, второй параметр Ламе будет

$$A_2 = r_0 \sin \theta.$$

Таким образом,

$$\left. \begin{aligned} A_1 &= r_0 \\ A_2 &= r_0 \sin \theta \end{aligned} \right\} \quad (2. VI)$$

Итак, главные радиусы кривизны и параметры Ламе сферической поверхности определены.

Вектор перемещений любой точки срединной поверхности оболочки разложим на три составляющих:

- v — перемещение в направлении касательной к меридиану;
- u — перемещение в направлении касательной к параллельному кругу;
- w — перемещение в направлении нормали к срединной поверхности (к центру сферы).

Тогда

$$\mathbf{K} = ue_1 + ve_2 + we_3,$$

где e_1 , e_2 и e_3 — единичные орты, направленные по касательной к меридиану, по касательной к параллельному кругу и по нормали к срединной поверхности (к центру сферы) соответственно.

Относительное удлинение в направлении касательной к меридиану обозначим через ϵ_1 , в направлении касательной к параллельному кругу — через ϵ_2 . Аналогично изменение кривизны меридиана обозначим через κ_1 , а изменение кривизны параллельного круга через κ_2 . Кроме того, пусть α — сдвиг элемента срединной поверхности, а τ — его кручение.

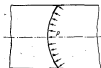


Рис. 75

лекии сферической переборки) также симметричны относительно этой оси. Наконец, гидростатическое давление p на переборку можно также

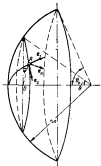


Рис. 74

При решении задачи прочности сферических переборок ограничимся случаем симметричной деформации сферической оболочки под действием равномерно распределенной нагрузки интенсивности p , приложенной с ногтевой стороны переборки (рис. 75). Этот случай представляет наибольший практический интерес. Действительно, конструкция сферической переборки симметрична относительно оси, проходящей через вершину сферы, краевые условия (условия закрепления сферической переборки) также симметричны относительно этой оси. Наконец, гидростатическое давление p на переборку можно также

считать симметричным относительно оси, поскольку при достаточно большом гидростатическом давлении изменением интенсивности давления по высоте переборки можно пренебречь.

В случае осесимметричной деформации сферической оболочки будем иметь

$$\varphi = 0, \alpha = 0, \gamma = 0. \quad (3. VI)$$

Кроме того, при симметричной деформации все перемещения, деформации, усилия и моменты не будут меняться при изменении угла φ , так что производные упомянутых величин по φ будут равны нулю.

Учитывая это обстоятельство, в также выражения (1. VII) и (2. VII), можно легко показать, что, применительно к срединной поверхности сферической оболочки, формулы (3. I) для компонентов деформации из общей теории принимают следующий вид:

$$\left. \begin{aligned} u_1 &= \frac{1}{r_0} \left(\frac{du}{d\theta} - w \right) & u_2 &= \frac{1}{r_0^2} \left(\frac{d^2w}{d\theta^2} + \frac{dw}{d\theta} \right) \\ v_1 &= \frac{1}{r_0} (w \operatorname{cig} \theta - w) & v_2 &= \frac{1}{r_0^2} \operatorname{cig} \theta \left(\frac{dw}{d\theta} + w \right) \end{aligned} \right\}, \quad (4. VI)$$

Таким образом, формула (4. VI) дает связь между компонентами деформации и перемещениями срединной поверхности при симметричной деформации сферической оболочки.

В общей теории были получены формулы для определения угла поворота нормали e_n вокруг осей e_1 и e_2 при деформации срединной поверхности (см. формулы (3. I)). Обозначим угол поворота нормали вокруг e_1 через χ , а угол поворота нормали вокруг e_2 через ψ . Тогда, согласно формуле (3. I), получим

$$\left. \begin{aligned} \chi &= \frac{1}{r_0} \left(\frac{dw}{d\theta} + w \right) \\ \psi &= 0 \end{aligned} \right\}. \quad (5. VI)$$

Угол поворота элемента меридиана вокруг оси e_2 (угол χ) будет использован в качестве одного из основных неизвестных при решении уравнений равновесия сферической оболочки. Сопоставляя выражение (4. VI) и (5. VI), можно заметить, что изменения кривизны v_1 и v_2 связаны с углом χ следующими зависимостями:

$$\left. \begin{aligned} v_1 &= \frac{1}{r_0} \cdot \frac{d\chi}{d\theta} \\ v_2 &= \frac{1}{r_0} \cdot \chi \operatorname{cig} \theta \end{aligned} \right\}. \quad (6. VI)$$

§ 52. Уравнения равновесия симметричной деформации сферических оболочек

При осесимметричной деформации оболочки касательное усилие S и крутизный момент H равны нулю, т. е. $S = 0$, $H = 0$. Кроме того, T_{12} , T_{22} , M_{12} , M_{22} и N_2 также равны нулю.

Таким образом, из всех усилий и моментов при рассмотрении условий равновесия элемента оболочки необходимо учитывать следующие:

1. Нормальное усилие T_1 , направленное по касательной к меридиану, или нормальное усилие в плюндерах, перпендикулярных меридиану.

2. Нормальное усилие T_2 , направленное по касательной к параллельному кругу, или нормальное усилие в плюндерах, перпендикулярных параллельному кругу.

3. Изгибающий момент M_1 , действующий в плюндерах, перпендикулярных меридиану.

4. Изгибающий момент M_2 , действующий в плюндерах, перпендикулярных параллельному кругу.

Подставив в уравнение равновесия тонких оболочек (99. I) и (100. I) параметры Ламе и главные радиусы кривизны, получим систему трех уравнений равновесия симметричной деформации сферической оболочки:

$$\left. \begin{aligned} \frac{d}{ds} (T_1 \sin \theta) - T_2 \cos \theta + N_1 \sin \theta &= 0 \\ \frac{d}{ds} (N_1 \sin \theta) - (T_1 + T_2) \sin \theta - p r_0 \sin \theta &= 0 \\ \frac{d}{ds} (M_1 \sin \theta) - M_2 \cos \theta - N_1 r_0 \sin \theta &= 0 \end{aligned} \right\}. \quad (7. VI)$$

К интегрированию системы (7. VI) и сводится решение поставленной задачи.

Общее решение системы (7. VI) можно представить в виде суммы частного решения и общего интеграла однородной системы. В качестве частного решения можно принять безмоментное решение

$$\left. \begin{aligned} T_1^0 = T_2^0 &= - \frac{C_1}{2} \\ N_1, M_1, M_2 &= 0 \end{aligned} \right\}. \quad (8. VI)$$

Невосредственной подстановкой ф-л. (8. VI) в систему (7. VI) можно убедиться, что безмоментное решение (8. VI) удовлетворяет системе уравнений равновесия осесимметричной деформации сферических оболочек.

Согласно закону Гука

$$\left. \begin{aligned} e_1 &= \frac{1}{E} (T_1 - \mu T_2) \\ e_2 &= \frac{1}{E} (T_1 + \mu T_2) \end{aligned} \right\}. \quad (9. VI)$$

Подставив в ф-лы (9. VI) частные решения T_1^0 и T_2^0 по выражениям (8. VI), получим следующие выражения для компонентов деформации, соответствующие этому частному решению:

$$e_1^0 = e_2^0 = - \frac{C_1}{2E} (1 - \mu). \quad (10. VI)$$

Подставив зависимость (10. VI) в первые два ур-ния (4. VI), найдем

$$w_1 = 0,$$

$$w_2 = \frac{\mu r_0^2}{2EI} (1 - \mu).$$

Таким образом, частное решение уравнений равновесия осесимметричной деформации сферической оболочки (8. VI) дает

$$v_1 = 0$$

$$v_2 = 0$$

$$w_1 = \frac{\mu r_0^2}{2EI} (1 - \mu)$$

(11. VI)

В этом случае радиус сферы изменяется на величину w_2 . Для замкнутой сферы, загруженной равномерно распределенным давлением, безмоментное решение является общим решением, так что безмоментное напряженное состояние является единственным возможным. Если же мы имеем не полную сферу, а лишь ее часть, ограниченную углом θ_0 , то для обеспечения безмоментного состояния этого сферического сегмента необходимо помимо внешнего давления p загрузить сферу на краю $\theta = \theta_0$ распределенными по нему контуру нормальными усилиями, касательными к меридианам и радиусам.

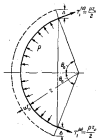


Рис. 76

$$T_1^0 = \frac{E' r_0}{2}, \quad (12. VI)$$

При этом опорная конструкция в виде круговой цилиндрической оболочки, в которую вставляется сферический сегмент, должна обеспечить нормальное перемещение сферической оболочки на ее краю $\theta = \theta_0$ радиусов

$$w = w_2 = \frac{\mu r_0^2}{2EI} (1 - \mu).$$

Обозначим проекцию этого нормального перемещения на направление любого радиуса опорного контура сферической оболочки через δ_0 . Тогда

$$\delta_0 = w_2 \sin \theta_0 = \frac{\mu r_0^2}{2EI} (1 - \mu) \sin \theta_0, \quad (13. VI)$$

Величина δ_0 есть не что иное, как изменение радиуса сферного контура сферической оболочки или, что то же, изменение радиуса окружности соприкосновения сферической оболочки с цилиндрической (рис. 76).

Чтобы опорный контур цилиндрической оболочки воспринял растягивающие усилия T_1^0 , возникающие в сферической оболочке на краю

$\theta = \theta_0$, необходимо идентична в самой цилиндрической оболочке по конфигурации соединения со сферической оболочкой разномерно распределенных сжимающих усилий, величина которых равна

$$T_1 = -\frac{E^2 s}{2}.$$

Однако при действии сжимающих усилий цилиндрическая оболочка не увеличивает своего радиуса, а уменьшает его, поэтому в действительности балансантное состояние сферической оболочки не может иметь места.

Для отыскания истинного напряженного состояния необходимо к частному решению системы добавить решение однородных уравнений, которое позволило бы привести расчетное состояние переборки в соответствие с устройством опорного контура. Поэтому перейдем к отысканию общего интеграла однородных уравнений

$$\left. \begin{aligned} \frac{d}{dt} (T_1 \sin \theta) - T_1 \cos \theta + N_1 \sin \theta &= 0 \\ \frac{d}{dt} (N_1 \sin \theta) - (T_1 + T_2) \sin \theta &= 0 \\ \frac{d}{dt} (M_1 \sin \theta) - M_1 \cos \theta - N_2 r_0 \sin \theta &= 0 \end{aligned} \right\}. \quad (14. VI)$$

Исключив из первых двух уравнений T_2 , получим

$$\frac{d}{dt} (N_1 \sin \theta \cos \theta - T_1 \sin \theta \sin \theta) = 0,$$

откуда

$$T_1 = N_1 \operatorname{ctg} \theta + \frac{C}{\sin \theta}, \quad (15. VI)$$

где C — произвольная постоянная интегрирования.

Для определения T_1 через N_1 подставим форму (15. VI) в первое уравнение системы (14. VI). Получим

$$\frac{dN_1}{d\theta} \cos \theta - N_1 \sin \theta - \frac{C}{\sin \theta} \cos \theta + N_1 \sin \theta - T_1 \cos \theta = 0,$$

откуда

$$T_1 = \frac{dN_1}{d\theta} - \frac{C}{\sin \theta}. \quad (16. VI)$$

Из выражений (15. VI) и (16. VI) видно, что при $\theta = 0$, т. е. в вершине сферы, усилия T_1 и T_2 обращаются в бесконечность при любых заданных на краю условиях, что, естественно, не может иметь места. Поэтому постоянную C следует положить равной нулю.

Таким образом, интересующие нас решения однородных уравнений дают

$$\left. \begin{aligned} T_1 &= N_1 \operatorname{ctg} \theta \\ T_2 &= \frac{dN_1}{d\theta} \end{aligned} \right\}. \quad (17. VI)$$

Теперь обратимся к третьему уравнению системы (14. VI). Известно, что в оболочке изгибающие моменты связаны с изменениями кривизны зависимостью (122. I)

$$M_1 = D(x_1 + \mu x_2),$$

$$M_2 = D(x_2 + \mu x_1),$$

где $D = \frac{E\mu}{12(1-\mu^2)}$ — цилиндрическая жесткость оболочки.

Подставив в третье уравнение (14. VI) эти выражения изгибающих моментов M_1 и M_2 , предварительно заменив в них x_1 и x_2 согласно зависимостям (6. VI), получим

$$\frac{d^2\chi}{dt^2} + \frac{dx}{dt} \operatorname{cig} \theta = \chi(\mu + \operatorname{cig}^2 \theta) = \frac{N_1 r_0^2}{D}. \quad (18. VI)$$

Уравнением (18. VI) устанавливается связь между углом поворота меридиана χ и перерывающим усилием N_1 , вытекающая из условий равновесия оболочки.

Недостающую вторую зависимость получим из рассмотрения условий неразрывности средней поверхности оболочки. Для этого выпишем выражения для компонентов деформации ϵ_1 , ϵ_2 и угла поворота меридиана χ (см. формулы (4. VI) и (5. VI))

$$\left. \begin{aligned} \epsilon_1 &= \frac{1}{r_0} \left(\frac{dx}{dt} - w \right) \\ \epsilon_2 &= \frac{1}{r_0} (\mu \operatorname{cig} \theta - w) \\ \chi &= \frac{1}{r_0} \left(\frac{du}{dt} + u \right) \end{aligned} \right\}. \quad (19. VI)$$

Проанализировав второе равенство (19. VI) по θ , получим

$$r_0 \frac{du}{dt} = \frac{du}{dt} \operatorname{cig} \theta - \frac{u}{\sin \theta} = \frac{dw}{dt}.$$

Сложив это равенство с третьим равенством (19. VI), после исключения w получим

$$r_0 \chi = \left(\frac{du}{dt} - u \operatorname{cig} \theta \right) \operatorname{cig} \theta - r_0 \frac{du}{dt}.$$

Из первых двух равенств (19. VI) следуют:

$$r_0 (\epsilon_1 - \epsilon_2) = \frac{du}{dt} - u \operatorname{cig} \theta$$

и поэтому χ можно представить в виде

$$\chi = (\epsilon_1 - \epsilon_2) \operatorname{cig} \theta - \frac{du}{dt}.$$

Заменив в этом равенстве ϵ_1 и ϵ_2 через усилия T_1 и T_2 с помощью выражений (8. VI), будем иметь

$$E \theta \chi = (1 + \mu) (T_1 - T_2) \operatorname{cig} \theta - \frac{\theta}{dt} (T_2 - \mu T_1).$$

Подставив в полученное равенство T_1 и T_2 из ф-ла (17, VI), окончательно получим

$$\frac{dN_1}{dx} + \frac{dN_2}{dx} \operatorname{ctg} \theta + N_1 (\mu - \operatorname{ctg}^2 \theta) = -E k_x. \quad (20, VI)$$

Уравнение (20, VI) и есть второе уравнение, связывающее перерезывающую силу N_1 с углом наклона θ и вытекающее из условий сложности сферической оболочки.*

Таким образом, мы пришли к следующей системе двух уравнений:

$$\left. \begin{aligned} \frac{dN_1}{dx} + \frac{dN_2}{dx} \operatorname{ctg} \theta + N_1 (\mu - \operatorname{ctg}^2 \theta) &= -E k_x \\ \frac{dT_1}{dx} + \frac{dT_2}{dx} \operatorname{ctg} \theta - \chi (\mu + \operatorname{ctg}^2 \theta) &= -\frac{N_1 r_0^2}{D} \end{aligned} \right\}, \quad (21, VI)$$

к интегрированию которой и сводится решение поставленной задачи. Отметим, что система (21, VI) была получена Райснером. Определив N_1 и x , мы можем легко определить все усилия и моменты, а также изменения кривизны и изменение радиуса опорного контура по формулам:

$$T_1 = N_1 \operatorname{ctg} \theta, \quad T_2 = -\frac{dN_1}{dx}, \quad (22, VI)$$

$$x_1 = \frac{1}{r_0} + \frac{dx}{dt}, \quad x_2 = \frac{1}{r_0} \chi \operatorname{ctg} \theta, \quad (23, VII)$$

$$\left. \begin{aligned} M_1 &= D(x_1 + \mu x_2) = \frac{D}{r_0} \left(\frac{dx}{dt} + \mu \chi \operatorname{ctg} \theta \right) \\ M_2 &= D(x_2 + \mu x_1) = \frac{D}{r_0} \left(\chi \operatorname{ctg} \theta + \mu \frac{dx}{dt} \right) \end{aligned} \right\}. \quad (24, VII)$$

Что касается величины Δ , то если учесть нормальное перемещение $\omega_1 = -T_2 x_2$, а также зависимости (9, VI) и (22, VI), для случая загрузки сферической оболочки только контурными усилиями (рис. 77) она будет равна

$$\Delta_2 = -r_0 \mu_2 \sin \theta_0 = -\frac{r_0}{E} (T_1 - \mu T_2) \sin \theta_0 = -\frac{r_0 \sin \theta_0}{E} \left(\frac{dN_1}{dx} - \mu N_1 \operatorname{ctg} \theta_0 \right). \quad (25, VI)$$

§ 53. Приближенное решение Геккелера

Точное решение системы (21, VI) приводит к выражениям в так называемых гипергеометрических рядах от комплексного аргумента. Упомянутые ряды весьма плохо сходятся, так что их использование для решения практических задач крайне затруднительно. Анализ точного решения показывает, что у сферических оболочек, центральный угол которых превышает $20-30^\circ$, деформации, вызываемые приложенными к ее контуру внешними силами, очень быстро затухают по мере удаления от этого контура. При этом можно отметить, что в том районе, где влияние усилий, приложенных к контуру, заметно, величина $\frac{dx}{dt}$

* Уравнение (20, VI) легко может быть получено из общих уравнений изгибасти (§ 2, I).

всегда в сравнении с $\chi \operatorname{cig} \theta$, величина же $\frac{d\chi}{d\theta}$ велика в сравнении с $\frac{d\chi}{d\theta} \operatorname{cig}^2 \theta$ и $\chi \operatorname{cig}^2 \theta$. Поэтому Генкелер предложила во всех полученных зависимостях отбрасывать величины $(\dots) \operatorname{cig} \theta$ в сравнении с величинами $\frac{d(\dots)}{d\theta}$ и величинами $\frac{d^2(\dots)}{d\theta^2} \operatorname{cig} \theta$ и $(\dots) \operatorname{cig}^2 \theta$ в сравнении с величинами $\frac{d^2(\dots)}{d\theta^2}$. Это позволяет систему (21. VI) и зависимости (22. VI), (24. VI) и (25. VI) привести к виду

$$\left. \begin{aligned} \frac{dN_1}{d\theta} &= -E\chi \\ \frac{d^2N_1}{d\theta^2} &= \frac{r_0^2}{D} N_1 \end{aligned} \right\}, \quad (26. VI)$$

$$T_1 = N_1 \operatorname{cig} \theta, \quad T_2 = \frac{dN_1}{d\theta}, \quad (27. VI)$$

$$M_1 = \frac{D}{r_0} \cdot \frac{d\chi}{d\theta}, \quad M_2 = \frac{D}{r_0} + \frac{d\chi}{d\theta}, \quad (28. VI)$$

$$\alpha_2 = -\frac{r_0 \operatorname{sin} \theta}{E} \cdot \frac{dN_1}{d\theta}. \quad (29. VI)$$

Подстановка χ из первого ур-ния (26. VI) во второе, получим

$$\frac{d^2N_1}{d\theta^2} + \frac{E\chi^2}{D} N_1 = 0. \quad (30. VI)$$

Более для дуги меридиана, измеряемой от вершины сферической оболочки ($\theta = 0$), известно обозначение

$$s = r_0 \theta, \quad (31. VI)$$

то вместо Φ -ыи (30. VI), будем иметь

$$\frac{d^2N_1}{ds^2} + \frac{E\chi^2}{Dr_0^2} N_1 = 0 \quad (32. VI)$$

или, подставив значение цилиндрической жесткости D ,

$$\frac{d^2N_1}{ds^2} + \frac{12(1-\nu^2)}{r_0^2 E} N_1 = 0. \quad (33. VI)$$

Уравнение (33. VI) аналогично дифференциальному уравнению изгиба призматической балки, лежащей на сплошном упругом основании и загруженной внешними силами только на краях. Это уравнение подробно рассмотрено в главе IV и в дополнительных комментариях не нуждается. Таким образом, допущения Генкелера позволили достаточно сложную задачу свести к задаче интегрирования дифференциального уравнения изгиба балки, лежащей на сплошном упругом основании. Разница между ур-нием (33. VI) и уравнением изгиба балки на сплошном упругом основании состоит лишь в том, что в последние в качестве независимого входит нормальный прогиб s , а не перерезывающий силы N_1 . Для приведения рассматриваемой задачи к еще более полному сходству с задачей об изгибе балки, лежащей на сплошном упругом

согласии, П. Ф. Навалко предложил принять за основную неизвестную не переносящую силу N_1 , как это делал Генклер, а нормальный прогиб w .

Заменив в ф-лах (9, VI) v_1 и v_2 их выражениями из ф-л (4, VI), получим

$$\left. \begin{aligned} \frac{dv}{d\theta} - w &= \frac{r_2}{Eh} (T_1 - \mu T_2) \\ w \operatorname{cig} \theta - w &= \frac{r_2}{Eh} (T_1 - \mu T_2) \end{aligned} \right\}, \quad (34, VI)$$

откуда, исключив w , получим

$$\frac{dw}{d\theta} - w \operatorname{cig} \theta = \frac{r_2(1+\mu)}{Eh} (T_1 - \mu T_2).$$

Заменим в этом уравнении T_1 и T_2 их выражениями через переносящую силу N_1 , согласно ф-лам (27, VI). В результате такой замены придем к уравнению

$$\frac{dw}{d\theta} - w \operatorname{cig} \theta = \frac{r_2(1+\mu)}{Eh} \left(\frac{dN_1}{d\theta} - N_1 \operatorname{cig} \theta \right).$$

Интегрируя это уравнение до θ , получим следующее выражение для перемещения w :

$$w = \frac{r_2(1+\mu)}{Eh} N_1 + f_2 \sin \theta, \quad (35, VI)$$

где f_2 — произвольная постоянная.

Из второго уравнения (34, VI) следует:

$$w = - \frac{r_2}{Eh} (T_1 - \mu T_2) + w \operatorname{cig} \theta.$$

Заменив в этой зависимости T_1 и T_2 их выражениями через N_1 из ф-л (22, VI) и учтывая (35, VI), получим

$$w = \frac{r_2}{Eh} \left[\frac{dN_1}{d\theta} - \mu N_1 \operatorname{cig} \theta - (1+\mu) N_1 \operatorname{cig} \theta \right] + f_2 \cos \theta. \quad (36, VI)$$

Но согласно допущениям Генкльера величина $N_1 \operatorname{cig} \theta$ мало в сравнении с $\frac{dN_1}{d\theta}$. Поэтому вместо ф-лы (36, VI) будем иметь

$$w = - \frac{r_2}{Eh} \cdot \frac{dN_1}{d\theta} + f_2 \cos \theta. \quad (37, VI)$$

Выясним физический смысл постоянной f_2 . Для этого спроектируем перемещение w и θ на плоскость параллельных кругов и на ось $\theta = \pi$. Получим

$$\left. \begin{aligned} w &= f_2 \sin \theta \\ w &= - \frac{r_2}{Eh} \cdot \frac{dN_1}{d\theta} + f_2 \cos \theta \end{aligned} \right\}. \quad (38, VI)$$

Пусть δ — уменьшение радиуса параллельного круга, а f — перемещение оболочки вдоль оси $\theta = \pi$. Тогда (см. рис. 77)

$$\delta = w \sin \theta - w \cos \theta,$$

$$f = w \cos \theta + w \sin \theta$$

или, если учсть ф-лы (38. VI),

$$\left. \begin{aligned} \Delta &= -\frac{r_0}{E\delta} \cdot \frac{dN_1}{ds} \sin \theta \\ f - f_0 &= \frac{r_0}{E\delta} \cdot \frac{dN_1}{ds} \cos \theta \end{aligned} \right\}. \quad (39. VI)$$

Из второго ур-ния (39. VI) следует, что f_0 — смещение оболочки как твердого тела.

Условимся отчитывать формальный прогиб φ и перемещение w не от начального положения оболочки, а от смещённого (как твердое тело). Тогда, вместо выражений для перемещений w и φ (38. VI) и их проекций на плоскость параллельных кругов и ось $\theta = \pi$ (39. VI), будем иметь

$$\left. \begin{aligned} w &= 0 \\ w &= -\frac{r_0}{E\delta} \cdot \frac{dN_1}{ds} \end{aligned} \right\}, \quad (40. VI)$$

$$\left. \begin{aligned} \Delta &= w \sin \theta \\ f - f_0 &= w \cos \theta \end{aligned} \right\}. \quad (41. VI)$$

Равенства (40. VI) и (41. VI) позволяют внести в дифференциальное уравнение (32. VI) величину w вместо N_1 .

Действительно, проанализировав ур-ние (32. VI) по θ и умножив полученный результат на $\frac{r_0}{E\delta}$, получим

$$\frac{d^2}{ds^2} \left(-\frac{r_0}{E\delta} \cdot \frac{dN_1}{ds} \right) + \frac{E\delta}{Dr_0^2} \left(-\frac{r_0}{E\delta} \cdot \frac{dN_1}{ds} \right) = 0.$$

Заменив в последнем уравнении $\frac{r_0}{E\delta} \cdot \frac{dN_1}{ds}$ на w , придем к выражению

$$\frac{d^2w}{ds^2} + \frac{E\delta}{Dr_0^2} w = 0 \quad (42. VI)$$

или

$$\frac{d^2w}{s^2} + \frac{E\delta(1-\mu^2)}{r_0^2 w} w = 0. \quad (43. VI)$$

Уравнение (43. VI) совпадает с дифференциальным уравнением изгиба балки на сжатом упругом основании (для случая однородной задачи, т. е. при $\rho = 0$) не только по форме, но и по размерности основных величин, входящих в это уравнение.

Угол поворота φ согласно ф-ли (5. VII) равен

$$\varphi = \frac{1}{r_0} \left(w + \frac{dw}{ds} \right).$$

Так как в нашем случае $w = 0$, то окончательно угол поворота меридиана будет

$$\varphi = \frac{1}{r_0} \cdot \frac{dw}{ds} = \frac{dw}{ds}. \quad (44. VI)$$

Как видим, угол поворота φ связан с нормальным перемещением w оболочки таким же образом, как и для балки.

Аналогично из ф-л (26. VI) и (28. VI) с помощью ф-л (44. VI) можно получить

$$\left. \begin{aligned} M_1 &= D \frac{d^2 w}{dx^2} \\ M_2 &= \mu M_1 = \mu D \frac{d^2 w}{dx^2} \\ N_1 &= D \frac{dw}{dx} \end{aligned} \right\}. \quad (45. VI)$$

Из формулы (45. VI) следует, что и изгибающий момент M_1 и перерезывающая сила N_1 связаны с нормальным прогибом такими же зависимостями, как и для прямых балок.

Согласно ф-лам (27. VI) будем иметь

$$\left. \begin{aligned} T_1 &= N_1 \operatorname{cig} \theta \\ T_2 &= \frac{dN_1}{dx} \end{aligned} \right\}. \quad (46. VI)$$

Спроектируем усилия T_1 и N_1 на плоскость параллельных кругов (рис. 78). Для усилий P , растягивающих переборку в плоскости круга широт, получим

$$P = N_1 \sin \theta + T_1 \cos \theta = \frac{N_1}{\sin \theta}, \quad (47. VI)$$

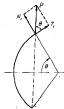


Рис. 78

Таким образом, для сферической переборки, загруженной с помогнутой стороны покречкой (радиальной) равномерно распределенной нагрузкой p , мы получили следующие частные решения:

$$\left. \begin{aligned} w_0 &= \frac{Pr_0^2}{2E} (1 - \mu) \\ T_1^2 &= T_2^2 = -\frac{Pr_0}{2} \\ M_1^2 &= M_2^2 = N_1^2 = 0 \\ P &= T_1^2 \cos \theta = -\frac{Pr_0}{2} \cos \theta \end{aligned} \right\}. \quad (48. VI)$$

а для сферической переборки, загруженной распределенными усилиями и моментами только по краям, следующие общие решения однородных уравнений:

$$\left. \begin{aligned} M_1 &= D \frac{d^2 w}{dx^2} & T_1 &= N_1 \operatorname{cig} \theta \\ M_2 &= \mu D \frac{d^2 w}{dx^2} & T_2 &= \frac{dN_1}{dx} = -\frac{D}{r_0} w \\ N_1 &= D \frac{dw}{dx} & P &= \frac{N_1}{\sin \theta} = \frac{D}{\sin \theta} \cdot \frac{dw}{dx} \end{aligned} \right\}. \quad (49. VI)$$

При этом нормальный прогиб w определяется дифференциальным уравнением

$$D \frac{dw}{dx} + kw = 0, \quad (50. VI)$$

или

$$k = \frac{D}{r_0^2}. \quad (51. VI)$$

Как для частного решения системы (7. VI), так и для общего решения однородной системы углы поворота χ , а также перемещения Δ по направлению, перпендикулярному оси $b = 0$, и f по направлению оси $b = \pi$ связаны с w зависимостями

$$\left. \begin{aligned} \chi &= \frac{dw}{dx} \\ \Delta &= w \sin b \\ f &= w \cos b - w_0 \end{aligned} \right\}, \quad (52. VI)$$

где w_0 — константа, определяемая из условий закрепления координатной системы по отношению к оболочке.

Так как общий интеграл системы дифференциальных уравнений деформации оболочки представляет собой сумму частного решения и общего решения однородной системы, то при симметричной деформации сферической оболочки под действием равномерно распределенной радиальной нагрузки и краевых усилий сначала будем иметь следующие зависимости:

$$\left. \begin{aligned} \chi &= \frac{dw}{dx} & M_1 &= D \frac{d^2w}{dx^2} & T_1 &= N_1 \sin b - \frac{P r_0}{2} \\ \Delta &= w \sin b & M_2 &= p D \frac{d^2w}{dx^2} & T_2 &= -\frac{P_1}{r_0} \left(w - \frac{\pi}{2} \right) - \frac{P r_0}{2} \\ f &= w \cos b - w_0 & N_1 &= D \frac{d^2w}{dx^2} & P &= \frac{N_1}{\sin b} - \frac{P r_0}{2} \cos b \end{aligned} \right\}, \quad (53. VI)$$

в которых w определяется из уравнений

$$\left. \begin{aligned} D \frac{d^2w}{dx^2} + kw &= q \\ q &= p \frac{1-\mu}{2} \\ k &= \frac{E^2}{r_0^2} \end{aligned} \right\}, \quad (54. VI)$$

Приведенные зависимости (53. VI) и (54. VI) позволяют распространять теорию изгиба балок за силоюном упругом основании на общий случай осесимметричной деформации сферических оболочек.

Анализ показывает, что в районе опорного контура в сферической оболочке возникают значительные изгибающие моменты, однако эти моменты и им соответствующие изгибающие напряжения быстро затухают по мере удаления от опорного контура. Поэтому для обеспечения достаточной прочности отсыпателью небольшой участок у опорного контура

сферической переборки делается утолщенным, так что сферическая переборка имеет ступенчато-переменную толщину. Аналогично зачленяясь наливающие моменты и им соответствующие изгибающие напряжения возникают и в цилиндрической оболочке в районе соединения ее со сферической оболочкой. В связи с этим небольшой район цилиндрической оболочки также утолщаются для обеспечения необходимой прочности. Поэтому получение интересующих нас результатов требует предварительного рассмотрения изгиба цилиндрической оболочки ступенчато-переменной толщины.

§ 54. Изгиб цилиндрической оболочки ступенчато-переменной толщиной

Дана бесконечно длинная цилиндрическая оболочка радиусом r и толщиной t_0 , усиленная на протяжении конечного участка длины до толщины t_1 (рис. 79).

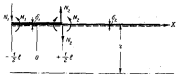


Рис. 79

Требуется определить, какое перерезывающее усилие N_1 к изгибающему моменту M_1 необходимо приложить к утолщенному участку оболочки, чтобы нормальное перемещение оболочки ψ и угол поворота χ приняли заданное значение. Если такие же зависимости существуют и для свободного края сферической оболочки, то, приняв за основные неизвестные радиальное и угловое перемещения, можно определить упругое взаимодействие сферической и цилиндрической оболочек.

В рассматриваемом случае цилиндрическую оболочку можно представить как бесконечное множество одинаковых и одинаково загруженных балок-полосок, не имеющих никаких других опор кроме упругого основания. При этом каждая балка-полоска загружена помимо усилий, приведенных к определенному сечению (см. рис. 79), еще и равномерно распределенной нагрузкой. Необходимые расчетные зависимости для балок-полосок ступенчато-переменной толщины можно получить, комбинируя решение для балок-полоски конечной длины (рис. 80), во включающей никаких опор, кроме упругого основания, с соответствующим решением для бесконечно длинной балки-полоски постоянного сечения. При

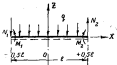


Рис. 80

затем для балки-полоски конечной длины нужно найти зависимости, связывающие усилия, приложенные к ее концам, с перемещениями этих концов. Для балки-полоски бесконечной длины необходимо получить зависимости между перемещениями и загрузкой свободного конца.

Симметрическая деформация балки конечной длины

Перейдем к рассмотрению деформации балки-полоски конечной длины, причем для простоты выкладок рассмотрим отдельно симметрическую деформацию относительно средины ее длины $x=0$ и антисимметрическую относительно этого же сечения.

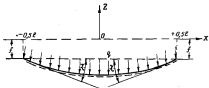


Рис. 81

Допустим, что балка конечной длины, загруженная в дополнение к равномерно распределенной нагрузке интенсивности q усилиями, приложенными к ее концам, получила на обоих концах следующие прогибы и углы поворота (рис. 81):

$$\left. \begin{array}{l} w = f \quad \text{при } x = \pm 0,5L \\ \frac{dw}{dx} = +\chi \quad \text{при } x = -0,5L \\ \frac{dw}{dx} = -\chi \quad \text{при } x = +0,5L \end{array} \right\}, \quad (55. VI)$$

Необходимо определить, какие усилия надо приложить к концам балки, чтобы получить эти прогибы и углы поворота,

В главе IV нами была получена формула для прогиба симметрически загруженной балки-полоски из упругого основания (см. ф-лу (28. IV))

$$w = \frac{q}{k} + D_0 V_0(xz) + D_1 V_1(xz),$$

где V_0 и V_1 — функции Пузыревского.

Подставляя выражение для w в граничные условия (55. VI), легко определить постоянные A_0 и A_1 . В результате для прогиба балки будем иметь

$$\begin{aligned} w = & \frac{q}{k} + \left(f - \frac{q}{k} \right) \frac{V_0(zx) V_1(ax) + V_0(ax) V_1(zx)}{V_0(zx) V_1(ax) + V_1(zx) V_0(ax)} + \\ & + \frac{\chi}{x} \cdot \frac{V_0(zx) V_2(ax) - V_2(zx) V_0(ax)}{\sqrt{2} [V_0(zx) V_1(ax) + V_1(zx) V_0(ax)]}, \end{aligned} \quad (56. IV)$$

где

$$a = \frac{ad}{2}, \quad (57. VI)$$

$$z = \sqrt{\frac{x}{4EI}}. \quad (58. VI)$$

Дифференцируя выражение для прогиба и дождя и троих по x , получим следующие формулы для изгибающего момента и перерезывающей силы:

$$\begin{aligned} M &= 2EIa^3 \left\{ \left(f - \frac{a}{x} \right) \frac{-V_1(u) V_1(u) + V_2(u) V_2(u)}{V_0(u) V_1(u) + V_1(u) V_0(u)} + \right. \\ &\quad \left. + \frac{1}{a} \cdot \frac{-V_2(u) V_1(u) - V_1(u) V_2(u)}{\sqrt[3]{2(V_0(u) V_1(u) + V_1(u) V_0(u))}} \right\}, \end{aligned} \quad (59. VI)$$

$$\begin{aligned} N &= 2EIa^3 \left\{ \left(f - \frac{a}{x} \right) \frac{2[-V_1(u) V_1(u) - V_2(u) V_2(u)]}{\sqrt[3]{2(V_0(u) V_1(u) + V_1(u) V_0(u))}} + \right. \\ &\quad \left. + \frac{1}{a} \cdot \frac{-V_1(u) V_2(u) + V_2(u) V_1(u)}{V_0(u) V_1(u) + V_1(u) V_0(u)} \right\}. \end{aligned} \quad (60. VI)$$

Формулы (59. VI) и (60. VI) дают значения изгибающего момента и перерезывающей силы в любом сечении x . Подставив $x = \pm 0,5L$, получим значения изгибающего момента и перерезывающей силы на концах балки

$$\begin{aligned} M|_{x=\pm 0,5L} &= -2EIa^3 \left[\left(f - \frac{a}{x} \right) b(u) + \frac{1}{a} c(u) \right] \Bigg|, \\ N|_{x=\pm 0,5L} &= \mp 2EIa^3 \left[\left(f - \frac{a}{x} \right) a(u) + \frac{1}{a} b(u) \right] \Bigg|, \end{aligned} \quad (61. VI)$$

где

$$\left. \begin{aligned} a(u) &= \frac{2 [V_1^2(u) + V_2^2(u)]}{\sqrt[3]{2(V_0(u) V_1(u) + V_1(u) V_0(u))}} \\ b(u) &= \frac{V_1^2(u) V_2(u) - V_2^2(u) V_1(u)}{\sqrt[3]{2(V_0(u) V_1(u) + V_1(u) V_0(u))}} \\ c(u) &= \frac{V_2^2(u) + V_1^2(u)}{\sqrt[3]{2(V_0(u) V_1(u) + V_1(u) V_0(u))}} \end{aligned} \right\}, \quad (62. VI)$$

но согласно формулам (42. IV) и (44. IV) имеем

$$\left. \begin{aligned} a(u) &= 2\mu_1(u) \\ b(u) &= \frac{2a^2}{3} \chi_2(u) \\ c(u) &= \frac{1}{2a} \cdot \frac{1}{\mu_0(u)} \end{aligned} \right\}, \quad (63. VI)$$

где $\mu_1(u)$, $\mu_2(u)$ — функции Поттсона, а $\chi_2(u)$ — функция Бубнова, причём

$$\mu_0(u) = \frac{1}{2a} \cdot \frac{\sin 2u + \sin 2u}{\sin 2u + \cos 2u}.$$

Подставив формулы (63. VI) в (61. VI), окончательно получим следующие формулы, связывающие изгибающую силу и изгибающий момент на конце балки с прогибом и углом поворота конца балки, деформированной симметрично относительно ее средины:

$$\begin{aligned} M|_{x=0.5L} &= - \left[\frac{M^2}{12} v_1(u) \left(f - \frac{\alpha}{k} \right) + \frac{2M}{L} \cdot \frac{1}{\mu_1(u)} \right], \\ N|_{x=0.5L} &= \mp \left[\frac{M^2}{2} v_0(u) \left(f - \frac{\alpha}{k} \right) + \frac{M^2}{L^2} v_1(u) \chi \right]. \end{aligned} \quad (64. VI)$$

Вспомогательные функции $v_1(u)$, $v_0(u)$ и $v_2(u)$ протабулированы (см. Приложение I).

Антисимметричная деформация балки конечной длины

Перейдем теперь к рассмотрению случая антисимметричной деформации балки конечной длины, лежащей на упругом основании. Допустим, что с помощью усилий, приложенных только к концам балки, мы вызвали следующие прогибы и углы поворота ее концов (рис. 82):

$$\begin{aligned} w &= \pm \Delta f \\ \frac{dw}{dx} &= \Delta \chi \\ \text{при } x &= 0.5L \end{aligned} \quad (65. VI)$$

Необходимо определить, какие усилия надо приложить к концам балки, чтобы получить заданные Δf и $\Delta \chi$. Для случая антисимметричной

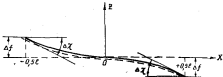


Рис. 82

деформации балки на упругом основании прогиб будет определяться выражением

$$w = A_1 V_1(ux) + A_2 V_2(ux),$$

где V_1 и V_2 — функции Пузыревского. Подставив эту зависимость в граничные условия (65. VI), легко определить постоянные A_1 и A_2 . Окончательно для прогиба балки будем иметь следующее выражение:

$$\begin{aligned} w &= \Delta f \frac{V_1(ux) V_2(ux) - V_1(ux) V_2(ux)}{V_1(ux) V_2(ux) - V_1(ux) V_2(ux)} + \\ &+ \frac{\Delta \chi}{\sigma} \cdot \frac{-V_1(ux) V_2(ux) + V_1(ux) V_2(ux)}{\sqrt{2(V_1(ux) V_2(ux) - V_1(ux) V_2(ux))}}. \end{aligned} \quad (66. VI)$$

Изгибающие моменты и перерезывающие силы в любом сечении x , соответствующем этому прогибу, будут равны

$$\Delta M = 2EIx^2 \left[\Delta f - \frac{V_2(x) V_3(x) - V_1(x) V_0(x)}{V_1(x) V_3(x) - V_2(x) V_0(x)} + \right. \\ \left. + \frac{\delta\chi}{x} - \frac{V_2(x) V_3(x) + V_1(x) V_0(x)}{\sqrt{2} [V_1(x) V_2(x) - V_2(x) V_0(x)]} \right], \quad (67. VI)$$

$$\Delta N = 2EIx^2 \left[-\Delta f \frac{2[V_2(x) V_1(x) + V_0(x) V_3(x)]}{\sqrt{2} [V_1(x) V_2(x) - V_2(x) V_0(x)]} + \right. \\ \left. + \frac{\delta\chi}{x} - \frac{V_2(x) V_3(x) + V_0(x) V_1(x)}{V_1(x) V_3(x) - V_2(x) V_0(x)} \right]. \quad (68. VI)$$

Подставив в ф-лы (67. VI) и (68. VI) значение $x = \pm 0,5L$, получим следующие выражения изгибающих моментов и перерезывающих сил на концах балки:

$$\left. \begin{aligned} \Delta M_{x=\pm 0,5L} &= \pm 2EIx^2 \left[-\Delta f c(u) + \frac{\delta\chi}{u} f(u) \right] \\ \Delta N_{x=\pm 0,5L} &= 2EIx^2 \left[-\Delta f d(u) + \frac{\delta\chi}{u} e(u) \right] \end{aligned} \right\}. \quad (69. VI)$$

где

$$\left. \begin{aligned} d(u) &= \frac{2 [V_0^2(u) + V_1^2(u)]}{\sqrt{2} [V_1(u) V_3(u) - V_2(u) V_0(u)]} \\ e(u) &= \frac{\sqrt{2} [V_2(u) V_1(u) + V_0(u) V_3(u)]}{\sqrt{2} [V_1(u) V_3(u) - V_2(u) V_0(u)]} \\ f(u) &= \frac{V_1^2(u) + V_2^2(u)}{\sqrt{2} [V_1(u) V_3(u) - V_2(u) V_0(u)]} \end{aligned} \right\} \quad (70. VI)$$

или, учитывая зависимости (62. VI) и (63. VI), можно получить

$$\left. \begin{aligned} d(u) &= \frac{3c(u)}{s(u)} = \frac{3}{2u^2} \cdot \frac{1}{\mu_2(u)} \cdot \frac{1}{\mu_3(u)} \\ e(u) &= \frac{1}{F(u)} = \frac{3}{2u^2} \cdot \frac{1}{\mu_1(u)} \\ f(u) &= \frac{s(u)}{2\mu(u)} = \frac{3}{2u} \cdot \frac{\mu_1(u)}{\mu_3(u)} \end{aligned} \right\}, \quad (71. VI)$$

Подставив ф-лы (71. VI) в ф-лы (69. VI), получим

$$\left. \begin{aligned} \Delta M_{x=\pm 0,5L} &= \mp \left[\frac{12EI}{l^3} \cdot \frac{1}{\mu_3(u)} \Delta f - \frac{6EI}{l^3} \cdot \frac{\mu_1(u)}{\mu_3(u)} \Delta \chi \right] \\ \Delta N_{x=\pm 0,5L} &= - \frac{24EI}{l^3} \cdot \frac{1}{\mu_2(u)} \cdot \frac{1}{\mu_3(u)} \Delta f + \frac{12EI}{l^3} \cdot \frac{1}{\mu_2(u)} \Delta \chi \end{aligned} \right\}. \quad (72. VI)$$

Формулы (72. VI) и дают исходную связь между изгибающим моментом и перерезывающей силой на концах балки и перемещением и углом поворота этого конца при антисимметричной деформации относительно средины пролета балки.

Суммарное решение для симметричной деформации (64. VI) с решением для антисимметричной деформации (72. VI), легко определить значения изгибающих моментов и перерезывающей силы в открытиях сечениях балки конечной длины, лежащей на стеклом упругом основании при любом смещении ее концов.

Решение для бесконечно длинной балки, свободный конец которой пронизывает землю схематично

Для определения изгибающего момента и перерезывающей силы в месте перехода одной толщины балки в другую необходимо получить

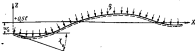


Рис. 83

решение для бесконечно длинной балки (рис. 83), один конец которой имеет смещение и угол поворота, заданные равенствами

$$\left. \begin{aligned} w &= w_0 \\ \frac{dw}{dx} &= \theta_0 \end{aligned} \right\} \quad (73. VI)$$

при $x=0$.

Общее выражение для прогиба бесконечно длинной балки, загруженной равномерно распределенной нагрузкой, имеет вид

$$w = \frac{q}{k} + A_1 e^{-i(x-0,5l)} \cos \alpha (x - 0,5l) + A_2 e^{-i(x+0,5l)} \sin \alpha (x - 0,5l).$$

Определение с помощью граничных условий (73. VII) постоянных A_1 и A_2 , можно выражение для прогиба балки представить в виде

$$\begin{aligned} w = \frac{q}{k} + \left(w_0 - \frac{q}{k} \right) e^{-i(x-0,5l)} [\cos \alpha (x - 0,5l) + \sin \alpha (x - 0,5l)] + \\ + \frac{y_0}{a} e^{-i(x+0,5l)} \sin \alpha (x - 0,5l). \end{aligned} \quad (74. VI)$$

Следовательно, изгибающий момент и перерезывающая сила в любом сечении x будут равны:

$$\begin{aligned} M = 2EIx^2 \left[\left(w_0 - \frac{q}{k} \right) e^{-i(x-0,5l)} [-\cos \alpha (x - 0,5l) + \sin \alpha (x - 0,5l)] - \right. \\ \left. - \frac{y_0}{a} e^{-i(x+0,5l)} \cos \alpha (x - 0,5l) \right]. \end{aligned} \quad (75. VI)$$

$$\begin{aligned} N = 4EIx^3 \left[\left(w_0 - \frac{q}{k} \right) e^{-i(x-0,5l)} \cos \alpha (x - 0,5l) + \right. \\ \left. + \frac{y_0}{a^2} e^{-i(x+0,5l)} [\cos \alpha (x - 0,5l) + \sin \alpha (x - 0,5l)] \right]. \end{aligned} \quad (76. IV)$$

Для конца балки ($x = +0,5l$) будем иметь

$$\left. \begin{aligned} N_1 &= 4EI^2 \left[\left(w_1 - \frac{\delta}{k} \right) + \frac{\chi_1}{2\mu} \right] \\ M_1 &= 2EI^2 \left[- \left(w_1 - \frac{\delta}{k} \right) - \frac{\chi_1}{\mu} \right] \end{aligned} \right\}, \quad (77. VI)$$

С помощью ф-л (64. VI), (72. VI) и (77. VI) можно разыскать те усилы N_1 и M_1 , которые надо приложить к концу равномерно загруженной бесконечно длинной балки ступенчато-переменной толщины, чтобы вызвать у неё края заданные перемещения.

Распространение полученных результатов на края цилиндрической оболочки ступенчато-переменной толщины.

При симметричной относительно оси цилиндра деформации цилиндрической оболочек в расчетные формулы вместо изгибной жесткости балки EI , коэффициента жесткости k и параметра μ необходимо подставить

$$\left. \begin{aligned} EI &= \frac{EI^2}{12(1-\mu^2)} = \frac{EI^2}{10,92} \\ k &= \frac{Ea}{\mu^2} \\ a &= 0,6425 \frac{l}{\sqrt{\mu}} \end{aligned} \right\}, \quad (78. VI)$$

Для утолщенной части оболочки, где $\delta = b_1$, будем иметь

$$EI = \frac{EI^2}{10,92}, \quad k = \frac{Ea}{\mu^2}, \quad a = 0,6425 \frac{l}{\sqrt{\mu}}, \quad (79. VI)$$

На всем оставшемся протяжении оболочки

$$EI = \frac{EI^2}{10,92}, \quad k = \frac{Ea}{\mu^2}, \quad a = \frac{1,995}{\sqrt{\mu}}, \quad (80. VI)$$

Перепишем формулы для изгибающего момента и перерезывающей силы с учетом зависимостей (79. VI) и (80. VI). Для утолщенной части оболочки получим:

$$(IN)_{x=+0,5l} = \pm \left\{ \frac{EI^2}{12} \theta_{P1}(u) - \frac{EI^2}{12\mu} \left[\theta_{P1}(u) \frac{f}{l} + \chi_1(u) \chi \right] \right\}, \quad (81. VI)$$

$$(M)_{x=+0,5l} = \frac{EI^2}{12} \chi_1(u) - \frac{EI^2}{12\mu} \left[\chi_1(u) \frac{f}{l} + \frac{\delta}{(2\mu)^2} \cdot \frac{\chi}{\mu_0(u)} \right], \quad (82. VI)$$

$$(IN)_{x=+0,5l} = \mp \frac{EI^2}{0,91\chi_1(\mu)^2} \left[\frac{2}{\mu_0(u)} \cdot \frac{\Delta f}{l} - \Delta \chi \right], \quad (83. VI)$$

$$(\Delta M)_{x=+0,5l} = \mp \frac{EI^2}{0,91\chi_1(\mu)^2} \left[\frac{\Delta f}{l} - \frac{\mu_0(u)}{2} \Delta \chi \right]. \quad (84. VI)$$

Для неутолщенной части оболочки имеем

$$\left. \begin{aligned} fN_0 &= -\frac{g^2}{12} \cdot \frac{12}{2\pi^2} + \frac{E\delta^3}{32\pi^2} \left(4w^* \frac{w_0}{l} + \chi_0 \right) \\ M_0 &= \frac{g^2}{12} \cdot \frac{2}{(2\pi^2)^2} = \frac{E\delta^3}{32\pi^2} \left(\frac{w_0}{l} + \frac{1}{2\pi^2} \chi_0 \right) \end{aligned} \right\} \quad (83. VI)$$

При выводе ф-л. (81. VI) – (83. VI) принято $\mu = 0,3$. Под величиной q следует понимать

$$q = \left(1 - \frac{\mu}{2} \right) \mu = 0,85\mu.$$

Входящий в ф-лы (83. VI) вспомогательный аргумент $2w^*$ равен

$$2w^* = \frac{128\delta l}{\sqrt{E\delta}}. \quad (84. VI)$$

Определение условий в месте перехода одной толщины оболочки в другую

Принимаем обозначения (см. рис. 79):

N_1 и M_1 — перерезывающая сила и изгибающий момент на свободном краю утолщенной части оболочки;

w_1 и χ_1 — радиальное перемещение и угол поворота свободного края оболочки;

N_2 и M_2 — перерезывающая сила и изгибающий момент в месте перехода одной толщины оболочки в другую;

w_2 и χ_2 — радиальное перемещение и угол поворота в месте перехода одной толщины оболочки в другую.

Все условия и перемещения, перечисленные выше, выражаются через N , ΔN , M , ΔM , f , Δf , χ , $\Delta \chi$ следующим образом:

$$N_1 = (N)_{x=-0,5l} + (\Delta N)_{x=-0,5l}, \quad (85. VI)$$

$$M_1 = (M)_{x=-0,5l} + (\Delta M)_{x=-0,5l}, \quad (86. VI)$$

$$N_2 = (N)_{x=+0,5l} + (\Delta N)_{x=+0,5l}, \quad (86. VI)$$

$$M_2 = (M)_{x=+0,5l} + (\Delta M)_{x=+0,5l}, \quad (86. VI)$$

$$\chi_1 = \chi + \Delta \chi, \quad (87. VI)$$

$$w_1 = f - \Delta f, \quad (87. VI)$$

$$\chi_2 = -\chi + \Delta \chi, \quad (88. VI)$$

$$w_2 = f + \Delta f, \quad (88. VI)$$

Если известны обозначения:

$$\left. \begin{aligned} K &= \frac{E\delta^3}{32G\delta_0(4\pi)^2} \\ k_1 &= \frac{E\delta_0}{12\pi^2} + \frac{E\delta^3}{32G\delta_0(4\pi)^2} = \frac{\mu \cdot 0,31}{12\pi^2} \chi_1(M) = \frac{(2\pi)^2}{32} \chi_1(M) \end{aligned} \right\} \quad (89. VI)$$

то выражение для перерезывающей силы и изгибающего момента в месте перехода толщин оболочки можно будет записать в виде

$$\left. \begin{aligned} IN_1 &= \frac{q^2}{12} b_{\chi_1}(u) - K \left[\delta k_{p_1}(u) \frac{f}{l} + k_{1\chi_2}(u) \chi + \frac{2}{\mu_1(u)} \cdot \frac{M}{l} - \Delta \chi \right] \\ M_1 &= \frac{q^2}{12} \chi_1(u) - K \left[k_{1\chi_2}(u) \frac{f}{l} + \frac{\mu_1}{(\Delta u)^2} \cdot \frac{3}{\mu_1(u)} + \frac{M}{l} - \frac{\mu_1(u)}{2} \Delta \chi \right] \end{aligned} \right\} \quad (90, VI)$$

Основным назначением утолщения цилиндрической оболочки прочного каркаса в районе крепления сферических переборок является передача этому утолщению тех сжимающих усилий, которые должны быть восприняты опорным контуром переборки. При этом переборка будет находиться в состоянии, весьма близком к простому растяжению.

Если утолщенная часть имеет достаточно большую длину, то, очевидно, в восприятии усилий, передаваемых сферической переборкой, будет участвовать не весь утолщенный участок, а лишь его часть. Следовательно, такое утолщение нерационально. С другой стороны, удлинение утолщенной части цилиндра увеличивает заделку контура сферической переборки на шлангере, что избежжко приводит к появление в сферической переборке больших изгибающих моментов. Поэтому чтобы весь материал утолщения участвовал в выполнении своего основного назначения в возможно большей мере, желательно проектировать утолщенную часть обшивки возможно более толстой и короткой. Тогда продольные фибры утолщений не будут искривляться и будут работать в однократных условиях, а заделка сферической переборки окажется минимальной.

При этих условиях у правильно сконструированного утолщения аргумент u должен быть невелик, и разность между углом χ_1 , с одной стороны, и углами $\frac{2}{3} \frac{M}{l}$ и $\Delta \chi$, с другой, невелика по сравнению с углом поворота свободного края χ . Поэтому за основные неизвестные удобнее принимать не $\frac{M}{l}$ и $\Delta \chi$, а малые разности, определяемые равенствами

$$\left. \begin{aligned} 2 \frac{M}{l} - \chi_1 &= 2\gamma \\ \chi_1 - \Delta \chi &= \chi \end{aligned} \right\} \quad (91, VI)$$

Положим в равенствах (90, VI)

$$\left. \begin{aligned} \frac{f}{l} &= \frac{\mu_1}{2} + \frac{M}{l} = \frac{\mu_1}{2} + \frac{1}{2} \chi + \frac{\gamma}{2} \\ \frac{M}{l} &= \frac{1}{2} \chi_1 + \frac{\gamma}{2} \\ \Delta \chi &= \chi_1 - \chi \end{aligned} \right\} \quad (92, VI)$$

тогда эти равенства примут вид

$$\left. \begin{aligned} IN_1 &= \frac{q^2}{12} b_1 - K \left(a_1' \gamma + a_{1\chi} + b_1 \frac{\mu_1}{l} + b_{1\chi_1} \right) \\ M_1 &= \frac{q^2}{12} \chi_1 - K \left(a_1' \gamma + a_{1\chi} + b_1 \frac{\mu_1}{l} + b_{1\chi_1} \right) \end{aligned} \right\} \quad (93, VI)$$

где величины a'_1 , a'_2 и a'_3 определяются по формулам:

$$\left. \begin{aligned} a'_1 &= \frac{2}{\rho_1(u)} + 6k_1 p_1(u) \\ a'_2 &= 1 + k_1 X_1(u) \\ a'_3 &= \frac{p_1(u)}{2} + \frac{1}{u} \cdot \frac{p_1(u)}{\rho_1(u)} \end{aligned} \right\}. \quad (94. VI)$$

Величины K_1 , K'_1 , ..., K'_3 определяются по формулам:

$$\left. \begin{aligned} K'_1 &= 6p_1(u) & K'_2 &= X_1(u) \\ K'_2 &= 6k_1 p_1(u) & K'_3 &= k_1 X_1(u) \\ K'_3 &= \frac{1-p_1(u)}{p_1(u)} + 3k_1 p_1(u) & K'_4 &= \frac{1-p_1(u)}{2} + \frac{k_1}{2} X_1(u) \end{aligned} \right\}. \quad (95. VI)$$

Очевидно, в месте перехода утолщенной части оболочки в неутолщенную должна быть обеспечена непрерывность деформаций. Для этого в равенствах (83. VI) можно положить

$$\left. \begin{aligned} w_1 = w_2 = w_1 + 2\Delta f = w_1 + D_1 + 2k_1 u \\ X_1 = X_2 = X_1 - 2X \end{aligned} \right\}. \quad (96. VI)$$

Для обеспечения условий равновесия необходимо, чтобы

$$\left. \begin{aligned} N_2 &= N_1 \\ M_2 &= M_1 \end{aligned} \right\}. \quad (97. VI)$$

Подставим в ф-лы (83. VI), вместо w_2 , X_2 , N_2 и M_2 их значения согласно ф-лам (96. VI) и (97. VI). Получим

$$\left. \begin{aligned} IN_2 &= -\frac{q^R}{12} K'_1 + K \left(a'_1 \dot{u} + a'_2 \ddot{u} + b'_1 \frac{\dot{u}^2}{2} + b'_2 \ddot{u} \right) \\ M_2 &= \frac{q^R}{12} K'_2 + K \left(a'_1 \dot{u} + a'_2 \ddot{u} + b'_1 \frac{\dot{u}^2}{2} + b'_2 \ddot{u} \right) \end{aligned} \right\}. \quad (98. VI)$$

также

$$\left. \begin{aligned} a'_1 &= 2k_1 4\pi^2 \\ a'_2 &= -2k_1 \\ a'_3 &= 2k_1 \frac{1}{(2\pi)^2} \end{aligned} \right\}, \quad (99. VI)$$

$$\left. \begin{aligned} K'_1 &= \frac{12}{2\pi^2} & K'_2 &= \frac{4}{(2\pi)^2} \\ K'_3 &= k_1 4\pi^2 & K'_4 &= -k_1 \\ b'_1 &= k_1 (1 + 4\pi^2) & b'_2 &= -k_1 \left(1 + \frac{1}{2\pi^2} \right) \end{aligned} \right\}, \quad (100. VI)$$

откуда

$$k_1 = \frac{EJ_1}{120r^4} \cdot \frac{0.917}{EJ_1} X_1(u) = \frac{1}{8} \left(2\pi \frac{b_1}{l_1} \right)^2 X_1(u). \quad (101. VI)$$

Приравняв перерезывающие силы и изгибающие моменты, даваемые формулами (98, VI) и (93, VI), получим для уравнения для определения ϕ и χ :

$$\left. \begin{aligned} a_1\dot{\phi} + a_2\dot{\chi} &= \frac{1}{K} \cdot \frac{d^2\theta}{dx^2} b_1 - \frac{\mu_1}{l} b_1 - \chi_1 b_1 \\ a_3\dot{\phi} + a_4\dot{\chi} &= \frac{1}{K} \cdot \frac{d^2\theta}{dx^2} b_2 - \frac{\mu_1}{l} b_2 - \chi_2 b_2 \end{aligned} \right\}. \quad (102, VI)$$

В формулах (102, VI):

$$\left. \begin{aligned} a_1 &= a'_1 + a'_2 = 2 + s_1 \\ a_2 &= a'_2 + a'_3 = 1 - s_2 \\ a_3 &= a'_3 + a'_4 = \frac{2}{3} + s_3 \end{aligned} \right\}, \quad (103, VI)$$

так

$$\left. \begin{aligned} s_1 &= 2 \frac{1 - \mu_1(u)}{\mu_1(u)} + 6k_2 p_1(u) + 2k_2 4\pi^2 \\ s_2 &= -k_2 \chi_2(u) + 2k_2 \\ s_3 &= -\frac{1}{2} [1 - \mu_1(u)] + \frac{1}{6} \cdot \frac{\chi_2(u) - \mu_1(u)}{\mu_1(u)} + \frac{2k_2}{2\pi^2} \end{aligned} \right\}. \quad (104, VI)$$

Величины b_1 , b_2 , ..., b_4 определяются по выражениям:

$$\left. \begin{aligned} b_1 &= b'_1 + b'_2 = 6p_1(u) + \frac{12}{2\pi^2} \\ b_2 &= b'_2 + b'_3 = \chi_2(u) - \frac{6}{(2\pi^2)^2} \\ b_3 &= b'_3 + b'_4 = 6k_2 p_1(u) + k_2 4\pi^2 \\ b_4 &= b'_4 + b'_1 = k_2 \chi_2(u) - k_2 \\ b_5 &= b'_5 + b'_6 = \frac{1 - \mu_1(u)}{\mu_1(u)} + 3k_2 p_1(u) + k_2 (1 + 4\pi^2) \\ b_6 &= b'_6 + b'_5 = \frac{1 - \mu_1(u)}{2} + \frac{k_2}{2} \chi_2(u) - k_2 \left(1 + \frac{1}{2\pi^2}\right) \end{aligned} \right\}. \quad (105, VI)$$

Необходимо отметить, что разности $1 - \mu_1(u)$ и $1 - \mu_1(v)$, входящие в выражения (104, VI) и (105, VI), при малых значениях аргумента u сопоставимы с величиной b_1 , поэтому отбрасывать в этих выражениях члены, содержащие $1 - \mu_1(u)$ и $1 - \mu_1(v)$, нельзя. Так как величины $1 - \mu_1(u)$ и $1 - \mu_1(v)$ представляют малые разности близких чисел, удобнее эти разности представить в виде рядов от аргумента u . Сделав такие разложения, получим

$$\begin{aligned} 1 - \mu_1(u) &= 1 - \frac{1}{2u} \cdot \frac{\sin 2u + \sin 2v}{\sin 2u + \cos 2v} = 1 - \frac{1 + \frac{(2u)^2}{2!} + \frac{(2u)^4}{4!} + \frac{(2u)^6}{6!} + \dots}{1 + \frac{(2u)^2}{2!} + \frac{(2u)^4}{4!} + \frac{(2u)^6}{6!} + \dots} = \\ &= \frac{\frac{(2u)^2}{4!} \cdot \frac{4}{3} + \frac{(2u)^4}{8!} \cdot \frac{8}{5} + \frac{(2u)^6}{12!} \cdot \frac{12}{7} + \dots}{1 + \frac{(2u)^2}{2!} + \frac{(2u)^4}{4!} + \frac{(2u)^6}{6!} + \dots} \end{aligned}$$

$$1 - p_1(u) = 1 - \frac{1}{u} \cdot \frac{\sin 2u - \cos 2u}{\sin 2u + \cos 2u} = 1 - \frac{\frac{(2u)^2}{2} + \frac{(2u)^4}{8} + \frac{(2u)^6}{48} + \dots}{u \left[\frac{2u}{1!} + \frac{(2u)^2}{2!} + \frac{(2u)^4}{4!} + \dots \right]} =$$

$$= \frac{\frac{2}{3} \cdot \frac{(2u)^2}{3} + \frac{4}{3} \cdot \frac{(2u)^4}{24} + \frac{6}{5} \cdot \frac{(2u)^6}{120} + \dots}{1 + \frac{(2u)^2}{2!} + \frac{(2u)^4}{4!} + \frac{(2u)^6}{12!} + \dots}$$

или, окончательно,

$$1 - p_1(u) = \frac{(2u)^2}{30} \cdot \frac{1 + (2u)^2 \frac{4!}{8!} \cdot \frac{10}{9} + (2u)^4 \frac{4!}{12!} \cdot \frac{35}{13} + \dots}{1 + \frac{(2u)^2}{4!} + \frac{(2u)^4}{8!} + \frac{(2u)^6}{12!} + \dots} \quad | \quad (106, VI)$$

$$1 - p_1(u) = \frac{(2u)^2}{180} \cdot \frac{1 + (2u)^2 \frac{8}{2} \cdot \frac{6}{3} + (2u)^4 \frac{8}{12} \cdot \frac{9}{7} + \dots}{1 + \frac{(2u)^2}{2!} + \frac{(2u)^4}{8!} + \frac{(2u)^6}{12!} + \dots} \quad |$$

Аналогично функцию $\chi_1(u)$ можно представить в виде

$$\chi_1(u) = \frac{3}{2u^2} \cdot \frac{\sin 2u - \cos 2u}{\sin 2u + \cos 2u} =$$

$$= \frac{1 + \frac{6}{6 \cdot 7} \cdot \frac{(2u)^2}{2!} + \frac{6}{10 \cdot 11} \cdot \frac{(2u)^4}{4!} + \frac{6}{14 \cdot 15} \cdot \frac{(2u)^6}{6!} + \dots}{1 + \frac{(2u)^2}{2!} + \frac{(2u)^4}{8!} + \frac{(2u)^6}{12!} + \dots}, \quad (107, VI)$$

а разность функций $\chi_1(u) - p_1(u)$ в виде

$$\chi_1(u) - p_1(u) = \frac{(2u)^2}{24} \left[\frac{1 + (2u)^2 \frac{4!}{8!} \cdot \frac{10}{9} + (2u)^4 \frac{4!}{12!} \cdot \frac{35}{13} + \dots}{1 + \frac{(2u)^2}{4!} + \frac{(2u)^4}{8!} + \frac{(2u)^6}{12!} + \dots} - \right.$$

$$\left. - \frac{1}{14} \cdot \frac{1 + \frac{182}{105} (2u)^2 \frac{5}{9} + \frac{17}{15} (2u)^4 \frac{5}{10} + \dots}{1 + \frac{(2u)^2}{2!} + \frac{(2u)^4}{8!} + \frac{(2u)^6}{12!}} \right]. \quad (108, VI)$$

Определив с помощью ф-л (103, VI) — (108, VI) все коэффициенты, входящие в систему (102, VI), можно легко решить эту систему. Для практических расчетов удобнее решать эту систему в общем виде, т. е. представить ϕ и χ в явном виде. Решив систему (102, VI) относительно ϕ и χ , получим

$$\phi = \frac{b_1 a_1 - b_2 a_2}{a_1 a_2 - a_2^2} \cdot \frac{q^2}{12K} - \frac{b_1 a_1 - b_2 a_2}{a_1 a_2 - a_2^2} \cdot \frac{w_1}{l} -$$

$$- \frac{b_1 a_1 - b_2 a_2}{a_1 a_2 - a_2^2} \chi_1 \quad | \quad (109, VI)$$

$$\chi = \frac{-b_1 a_1 + b_2 a_2}{a_1 a_2 - a_2^2} \cdot \frac{q^2}{12K} - \frac{-b_1 a_1 + b_2 a_2}{a_1 a_2 - a_2^2} \cdot \frac{w_1}{l} -$$

$$- \frac{-b_1 a_1 + b_2 a_2}{a_1 a_2 - a_2^2} \chi_1$$

Определив из ф-л (109. VI) ϕ и χ , из равенства (96. VI) можно будет найти ω_1 и X_1 или равные им значения ω_1 и X_1 .

Найденные же значения ω_1 и X_1 позволяют с помощью ф-л (83. VI) определить N_1 и M_1 или равные им значения N_1 и M_1 , т. е. перерезывающую силу и изгибающий момент в месте перехода утолщенной части оболочки в неутолщенную.

Таким образом, в результате несложных, но очень громоздких преобразований N_1 и M_1 выражены через ω_1 и X_1 . Перейдем к определению связи между усилиями N_1 и M_1 на свободном краю оболочки и перемещениями ω_1 и X_1 этого края.

Определение связи между усилиями N_1 и M_1 и перемещениями ω_1 и X_1 .

Из равенства (85. VI) с учетом ф-л (81. VI), (82. VI) и (89. VI) следует:

$$\begin{aligned} LN_1 = & - \frac{q^2}{12} \delta p_1(u) + K \left[6k_1 p_1(u) \frac{f}{l} + k_1 X_1(u) l - \right. \\ & \left. - \frac{3}{\mu_2(u)} \cdot \frac{M_1}{l} + \Delta X \right] \end{aligned} \quad (110. VI)$$

$$\begin{aligned} M_1 = & \frac{q^2}{12} X_1(u) - K \left[k_1 X_1(u) \frac{f}{l} + \frac{\lambda_1(u)}{\delta p_1(u)} X - \right. \\ & \left. - \frac{M_1}{l} + \frac{\mu_1(u)}{2} \Delta X \right] \end{aligned}$$

изв. приняв во внимание ф-лы (92. VI), получим

$$\begin{aligned} LN_1 = & - d_1 \frac{q^2}{12} + K \left(d_1 \frac{2l}{l} + d_2 X_1 - e_1 \phi - e_2 X \right) \\ M_1 = & d_2 \frac{q^2}{12} - K \left(d_2 \frac{2l}{l} + d_1 X_1 - e_2 \phi - e_3 X \right) \end{aligned} \quad (111. VI)$$

где величины d_1 , d_2 , ..., d_4 определяются по выражениям:

$$\begin{aligned} d_1 &= \delta p_1(u) & d_3 &= X_1(u) \\ d_2 &= 6k_1 p_1(u) & d_4 &= k_1 X_1(u) \\ d_3 &= 3k_1 p_1(u) - \frac{1 - \mu_1(u)}{\mu_2(u)} & d_4 &= k_1 \frac{\lambda_1(u)}{2} - \frac{1 - \mu_1(u)}{2} \end{aligned} \quad (112. VI)$$

а величины e_1 , e_2 , e_3 равны

$$\begin{aligned} e_1 &= \frac{3}{\mu_2(u)} - 6k_1 p_1(u) = 2 - e_1 \\ e_2 &= 1 - k_1 X_1(u) = 1 - e_2 \\ e_3 &= \frac{\lambda_1(u)}{2} - \frac{1}{6} \cdot \frac{\lambda_1(u)}{\mu_2(u)} = \frac{1}{3} - \frac{1 - \mu_1(u)}{2} - \\ & - \frac{1}{6} \cdot \frac{7p_1(u) - \mu_1(u)}{\mu_2(u)} = \frac{1}{3} - e_3 \end{aligned} \quad (113. VI)$$

Входящие в формулы (113, VI) величины ϵ_1 , ϵ_2 и ϵ_3 определяются по выражениям

$$\left. \begin{aligned} \epsilon_1 &= 6\delta_1\mu_1(u) - \frac{2(1-\mu_0(u))}{\mu_0(u)} \\ \epsilon_2 &= b_1\lambda_2(u) \\ \epsilon_3 &= \frac{1-\mu_1(u)}{2} + \frac{1}{6} \cdot \frac{\lambda_1(u)-\mu_0(u)}{\mu_0(u)} \end{aligned} \right\}, \quad (114, VI)$$

Подставив значения ϕ и X из формулы (109, VI) в формулы (111, VI), будем иметь

$$\left. \begin{aligned} D\lambda_1 &= -\frac{q^2}{12}A_1 + K\left(A_2 \frac{\omega_1}{l} + A_3 \lambda_1\right) \\ M_1 &= \frac{q^2}{12}A_2 - K\left(A_1 \frac{\omega_1}{l} + A_3 \lambda_1\right) \end{aligned} \right\}, \quad (115, VI)$$

т.е.

$$\left. \begin{aligned} A_1 &= d_1 + \epsilon_1 \frac{b_1\delta_2 - b_2\delta_1}{a_1a_2 - a_2^2} + \epsilon_2 \frac{-b_1\delta_1 + b_2\delta_2}{a_2a_1 - a_1^2} \\ A_2 &= d_2 + \epsilon_2 \frac{b_2\delta_1 - b_1\delta_2}{a_2a_1 - a_1^2} + \epsilon_3 \frac{-b_1\delta_2 + b_2\delta_1}{a_1a_2 - a_2^2} \end{aligned} \right\}, \quad (116, VI)$$

Если известны обозначения:

$$\left. \begin{aligned} \eta_1 &= \frac{b_1\delta_2 - b_2\delta_1}{a_1a_2 - a_2^2}, & \eta_2 &= \frac{b_2\delta_1 - b_1\delta_2}{a_2a_1 - a_1^2}, \\ \eta_3 &= \frac{b_1\delta_1 - b_2\delta_2}{a_2a_1 - a_1^2}, & \eta_4 &= \frac{b_2\delta_2 - b_1\delta_1}{a_1a_2 - a_2^2} \end{aligned} \right\}, \quad (117, VI)$$

то формулы (116, VI) примут вид

$$\left. \begin{aligned} A_1 &= d_1 + \eta_1 b_1 + \eta_2 b_2 \\ A_2 &= d_2 + \eta_3 b_1 + \eta_4 b_2 \end{aligned} \right\}, \quad (118, VI)$$

Аналогично величины A_3 , A_4 , A_5 и A_6 определяются равенствами:

$$\left. \begin{aligned} A_3 &= d_3 + \eta_5 b_1 + \eta_6 b_2 \\ A_4 &= d_4 + \eta_7 b_1 + \eta_8 b_2 \\ A_5 &= d_5 + \eta_9 b_1 + \eta_{10} b_2 \\ A_6 &= d_6 + \eta_{11} b_1 + \eta_{12} b_2 \end{aligned} \right\}, \quad (119, VI)$$

Равенства (115. VI) и устанавливают исключую связь между усилиями N_1 и M_1 , на свободном краю утолщенной части оболочки и перемещениями ψ_1 и χ_1 этого края.

Формулы (115. VI) относятся к той части цилиндрической оболочки, для которой ось Ox совпадает с внутренней нормалью к сечению, загруженному усилиями N_1 и M_1 (рис. 84, а). Для той части оболочки, по отношению к которой ось Ox направлено в сторону внешней нормали (рис. 84, б), нужно в ф-лах (115. VI) изменить знаки у N_1 и χ_1 , тогда они примут вид

$$\begin{aligned} \Delta N_1^{(b)} &= \frac{\partial^2}{\partial z^2} A_1^{(b)} = K \left[A_1^{(b)} \frac{\psi_1}{z} - A_1^{(b)} \chi_1 \right], \\ \Delta M_1^{(b)} &= \frac{\partial^2}{\partial z^2} A_2^{(b)} = K \left[A_2^{(b)} \frac{\psi_1}{z} - A_2^{(b)} \chi_1 \right]. \end{aligned} \quad (120. VI)$$

В формулах (120. VI) и (115. VI) величины A_1 и $A_2^{(b)}$ зависят от конструкции оболочки, но не зависят от направления оси Ox . Если

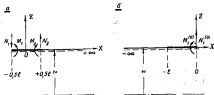


Рис. 84

обе части цилиндрической оболочки, примыкающие к сферической оболочке, однаковы, то $A_2^{(b)} = A_2$. В случае же, когда обе части оболочки не однаковы, то величины $A_2^{(b)}$ определяются по формулам, аналогичным ф-лам (118. VI) и (119. VI).

Преобразование формулы (112. VI) для случая малого аргумента z :

У правильно сконструированных оболочек аргумент z для утолщенной части очень мал. Поэтому величины ψ_1 и χ_1 , а также все величины a_1 и a_2 , входящие в ф-лы (108. VI) и (113. VI), получаются малыми в сравнении с единицей. Поэтому для более точного выражения влияния параметров k_1 и k_2 на величину коэффициентов ψ_1 , входящих в ф-лы (118. VI) и (119. VI), лучше не вычислять ψ_1 непосредственно из ф-л (117. VI), а вычислять путем подстановки в ф-лы (117. VI) величин a_1 и a_2 из ф-л (108. VI) и (113. VI).

Сделав это, получим следующие выражения для η_1 , η_2 , η_3 и η_4 :

$$\begin{aligned}\eta_1 &= \frac{(1-\epsilon_1)\left(\frac{2}{3} + \epsilon_1\right) - (1-\epsilon_2)(1-\epsilon_3)}{(2+\epsilon_1)\left(\frac{2}{3} + \epsilon_1\right) - (1-\epsilon_2)^2} \\ \eta_2 &= \frac{(1-\epsilon_2)\left(\frac{2}{3} + \epsilon_1\right) - \left(\frac{1}{3} - \epsilon_3\right)(1-\epsilon_2)}{(2+\epsilon_2)\left(\frac{2}{3} + \epsilon_1\right) - (1-\epsilon_2)^2} \\ \eta_3 &= \frac{(1-\epsilon_3)(2+\epsilon_2) - (2-\epsilon_1)(1-\epsilon_2)}{(2+\epsilon_1)\left(\frac{2}{3} + \epsilon_1\right) - (1-\epsilon_2)^2} \\ \eta_4 &= \frac{\left(\frac{1}{3} - \epsilon_4\right)(2+\epsilon_1) - (1-\epsilon_2)(1-\epsilon_3)}{(2+\epsilon_2)\left(\frac{2}{3} + \epsilon_1\right) - (1-\epsilon_2)^2}\end{aligned}\quad (121, VI)$$

§ 55. Основные зависимости изгиба сферических переборок ступенчато-переменной толщины

Задача об осесимметричной деформации сферических оболочек, так же как и задача об осесимметричной деформации круговой цилиндрической оболочки, сводится к исследованию изгиба балки на симметричном упругом основании. Поэтому естественно, что полученные результаты по исследованию изгиба цилиндрической оболочки ступенчато-переменной толщины можно распространить на сферические переборки ступенчато-переменной толщины. При этом необходимо иметь в виду следующие особенности сферических переборок ступенчато-переменной толщины. Толщина сферических переборок подводных лодок определяется обычно из условия, что в случае загрузки переборки давлением, соответствующим предельной глубине погружения, цепные растягивающие напряжения в сферической переборке должны быть достаточно велики. Поэтому обычно у сферических переборок отношение радиуса переборки r_s к ее толщине в неутолщенной части H составляет величину порядка 400–500. В этом случае величина a , равная $a = \frac{125}{\sqrt{r_s^2}}$, является величиной порядка $a = \frac{25-28}{r_s}$.

С другой стороны, радиус сферических переборок подводных лодок превышает радиус их опорного контура в 3–3,5 раза, поэтому угол θ_0 для таких переборок близок к величине 0,3, и, следовательно, длина дуги меридиана от полюса до опорного контура является величиной порядка $s_0 = 0,3r_s$. В этом случае величина $e^{-\theta_0}$ близка к $e^{-0.3} = e^{-0.3} = \frac{1}{330}$. Поэтому деформацию оболочки, вызываемую действием усилий, приложенных к опорному контуру, можно считать затухающей в центре оболочки практически до нуля. Это обстоятельство позволяет рассматривать участок сферической оболочки между ее опорным контуром и полюсом как участок бесконечно длинный. Именно поэтому все основные результаты § 54 можно распространить на случай осесимметричной деформации сферических переборок ступенчато-переменной толщины.

Вместе с тем отметим и отличительные особенности расчета сферических переборок.

1. Если для цилиндрических оболочек приведенная нагрузка \bar{q} выражается через внешнее равномерное давление p зависимостью $\bar{q} = p \left(1 - \frac{r}{2}\right)$, то для сферических переборок приведенная нагрузка \bar{q} будет определяться равенством $\bar{q} = p \frac{1-\mu}{2}$.

Таким образом, при $\mu = 0,3$ для цилиндрической оболочки приведенная нагрузка $\bar{q} = 0,85p$, а для сферической переборки $\bar{q} = 0,35p$.

2. Если для цилиндрической оболочки дифференциальным уравнением изгиба балки, лежащей на сплошном упругом основании, определяется перемещение ψ , направление параллельно x -оси оболочки, то для сферической оболочки этим уравнением определяется не перемещение по направлению к оси, которое мы обозначили через λ , а радиальное перемещение φ . При этом последнее связано с λ зависимостью (§§. VI)

$$\lambda = \varphi \sin \theta.$$

3. У цилиндрических оболочек направлена к оси нагрузка свободных кромок определяется непосредственно передающей слой $N_1 = D \frac{\partial^2 \psi}{\partial z^2}$. У сферических же оболочек между нагрузкой P , нормальной к оси оболочки, и перемещением φ имеет место более сложная связь (см. формулу (§§. VI))

$$P = \frac{N_1}{\sin \theta} = \frac{P r_0}{2} \cos \theta.$$

4. При сделанном выборе направления отсчета угла θ (от полосы) направление $d\varphi = r_0 d\theta$ совпадает у сферических оболочек с направлением внешней нормали к коническому сечению, ограничивающему ее протяженность. Поэтому усилия $M_1^{(0)}$ и $M_1^{(1)}$, приложенные к контуру оболочки, должны быть связаны с углом возврата φ_1 и перемещением оконного контура ψ_1 ф-лами (120. VI). Из этого следует, что распределенные надолью контура сферических переборок усилия P и моменты $M_1^{(0)}$ связаны с радиальным перемещением φ_1 и угловым перемещением λ_1 зависимостями

$$\left. \begin{aligned} P &= -\frac{P r_0}{2} \cos \theta_0 + \frac{1}{\sin \theta_0} \left[\frac{a_1^2}{12} A_1 - K \left(\frac{a_1}{T} A_2 - \chi_1 A_3 \right) \right], \\ M_1^{(0)} &= \frac{a_1^2}{12} A_2 - K \left(\frac{a_1}{T} A_3 - \chi_1 A_1 \right) \end{aligned} \right\}. \quad (122. VI)$$

На контуре эти же усилия связаны с перемещением λ_1 и углом χ_1 равенствами

$$\left. \begin{aligned} P &= -\frac{P r_0}{2} \cos \theta_0 + \frac{1}{\sin \theta_0} \left[\frac{a_1^2}{12} A_1 - K \left(\frac{a_1}{T} \cdot \frac{A_2}{\sin \theta_0} - \chi_1 A_3 \right) \right], \\ M_1^{(0)} &= \frac{a_1^2}{12} A_2 - K \left(\frac{a_1}{T} \cdot \frac{A_3}{\sin \theta_0} - \chi_1 A_1 \right) \end{aligned} \right\}. \quad (123. VI)$$

В формулах (122. VI) и (123. VI) θ_0 — угол, определяющий границу сферической переборки, а коэффициенты A_1 , A_2 , A_3 , A_4 и A_5 определяются в соответствии с рекомендациями § 64.

**§ 56. Раскрытие статической неопределенности
взаимодействия прочного корпуса подводных лодок
и их сферических переборок**

Крепление сферических переборок к цилиндрической обшивке прочного корпуса подводных лодок осуществляется так, как показано

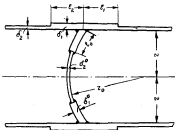


Рис. 85

на рис. 85. В соответствии с приведенным рисунком имеем следующие исходные данные:

- r — радиус цилиндрической части прочного корпуса;
- d_1 — толщина обшивки прочного корпуса;
- t_1 — толщина утолщенной части обшивки прочного корпуса;
- l_1 и l_2 — длины утолщенной части обшивки прочного корпуса;
- r_s — радиус сферической переборки;
- t_s — толщина сферической переборки;
- d_2 — толщина утолщенной части сферической переборки;
- l_s — длина утолщенной части сферической переборки, измеренная по дуге сферы.

Необходимо рассчитать на прочность сферическую переборку, т. е. определить те напряжения, которые возникают в сферической переборке при действии на нее внешнего равномерного давления интенсивности p . Средняя часть сферической переборки рассчитывается по ф-лам (46, VI). Усилия и моменты, возникающие в оторвом сечении переборки и прилегающих к нему сечениях утолщенной части обшивки прочного корпуса, определяются путем приравнивания угловых и линейных перемещений прочного корпуса лодки и вставляемой в него сферической переборки.

Практический интерес представляют два расчетных случая.

1. Авария лодки при погружении на предельную глубину. В этом случае схема загрузки переборки и прилегающей к ней части прочного корпуса показана на рис. 86.

2. Загрузка при испытании отсеков лодки во время ее постройки. В этом случае схема загрузки конструкции показана на рис. 87.

Очевидно, при деформации сферической и цилиндрической оболочек угол соединения этих оболочек будет находиться в равновесии под действием приложенных в этом узле усилий и моментов.

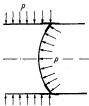


Рис. 86

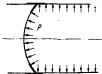


Рис. 87

Введем обозначения (рис. 88):

$N_1^{(1)}$ — перерезывающая сила в сечении цилиндрической оболочки, примыкающем к сферической переборке со стороны ее выпуклости;

$M_1^{(1)}$ — изгибающий момент в этом же сечении цилиндрической оболочки;

$N_1^{(2)}$ — перерезывающая сила в сечении цилиндрической оболочки, примыкающем к сферической переборке со стороны ее выпуклости;

$M_1^{(2)}$ — изгибающий момент в этом же сечении цилиндрической оболочки;

P — усилие, растягивающее опорный контур сферической переборки и направленное перпендикулярно оси;

$M_1^{(3)}$ — изгибающий момент в сечении сферической переборки, примыкающем к цилиндрической оболочке.

Таким образом, удовлетворенные усилия и моменты приложены в точке сопряжения всех трех оболочек или, точнее, в сечениях оболочек, примыкающих к этой точке.

Пусть в результате деформации радиус цилиндрической оболочки в месте установки переборки уменьшился на величину φ , а угол поворота примыкающих к сферической оболочке сечений оказался равным χ . Тогда с помощью зависимостей б. 53 и 54 можно определить для каждой из трех оболочек усилия и моменты



Рис. 88



Допустим, что с помощью этих зависимостей мы получим:

а) для сферической переборки

$$\left. \begin{aligned} P &= -\frac{\varphi_1}{2} \cos \theta_1 + \frac{\varphi_2}{12} \cdot \frac{A_1^{(1)}}{\sin \theta_1} - \frac{K_2}{L_1^2} \cdot \frac{A_1^{(1)}}{\sin^2 \theta_1} \Delta + \frac{K_3}{L_2} \cdot \frac{A_1^{(1)}}{\sin \theta_1} X \\ M_1^{(1)} &= \frac{\varphi_2 L_1^2}{12} A_1^{(1)} - \frac{K_2}{L_1} \cdot \frac{A_1^{(1)}}{\sin \theta_1} \Delta + K_3 A_1^{(1)} X \end{aligned} \right\}, \quad (124. VI)$$

б) для части цилиндрической оболочки, расположенной с вогнутой стороной сферической переборки,

$$\left. \begin{aligned} N_1^{(1)} &= -\frac{\varphi_1}{12} A_1^{(1)} + \frac{K_1}{L_1^2} A_1^{(1)} w_1 + \frac{K_2}{L_1} A_1^{(1)} \chi_1 \\ M_1^{(1)} &= \frac{\varphi_1 L_1^2}{12} A_1^{(1)} - \frac{K_1}{L_1} A_1^{(1)} w_1 - K_2 A_1^{(1)} \chi_1 \end{aligned} \right\}, \quad (125. VI)$$

в) для части цилиндрической оболочки, расположенной с выпуклой стороной сферической переборки,

$$\left. \begin{aligned} N_1^{(2)} &= \frac{\varphi_1}{12} A_1^{(1)} - \frac{K_1}{L_1^2} A_1^{(1)} w_1 + \frac{K_2}{L_1} A_1^{(1)} \chi_1 \\ M_1^{(2)} &= \frac{\varphi_1 L_1^2}{12} A_1^{(1)} - \frac{K_1}{L_1} A_1^{(1)} w_1 + K_2 A_1^{(1)} \chi_1 \end{aligned} \right\}, \quad (126. VI)$$

В формулах (124.VI) — (126.VI):

φ_1 — приведенная нагрузка для сферической переборки;

φ_2 — приведенная нагрузка для части цилиндрической оболочки, расположенной на вогнутой стороне сферической переборки;

φ_3 — приведенная нагрузка для части цилиндрической оболочки, расположенной на выпуклой стороне сферической переборки.

Очевидно, перемещение цилиндрической оболочки по направлению к оси цилиндра в точке соприкосновения со сферической переборкой w_1 будет равно проекции на плоскость широкого круга радиального смещения φ сферической переборки. Точно так же угол поворота сферической переборки в точке соприкосновения с цилиндрической оболочкой χ будет равен углу поворота цилиндрической оболочки в этой же точке χ_1 . Таким образом, условие неизменности деформации

или узла соединения цилиндрической оболочки со сферической имеют вид

$$\left. \begin{aligned} A &= \omega_1 \\ Z &= z_1 \end{aligned} \right\}, \quad (127, VI)$$

Условие равновесия узла соединения сферической оболочки с цилиндрической требует выполнения равенств

$$\left. \begin{aligned} M_1^{(1)} + P &= M_1^{(0)} \\ M_1^{(0)} + M_1^{(2)} &= M_1^{(1)} \end{aligned} \right\}, \quad (128, VI)$$

Подставив в уравнение равновесия (128, VI) значения $M_1^{(0)}$, $M_1^{(1)}$ и P согласно формулям (124, VI)–(126, VI) и учитывая равенства (127, VI), получим следующие два уравнения для определения неизвестных ω_1 и Z_1 :

$$\left[\frac{K_0}{l_0} \cdot \frac{A_1^{(2)}}{\sin l_0} + \frac{K_1}{l_1} A_1^{(1)} + \frac{K_2}{l_2} A_1^{(2)} \right] \omega_1 - \left[\frac{K_0}{l_0} \cdot \frac{A_1^{(0)}}{\sin l_0} - \frac{K_1}{l_1} A_1^{(1)} + \frac{K_2}{l_2} A_1^{(2)} \right] Z_1 = - \frac{q_1^0}{l_1^2} \cos l_1 + \frac{q_0 l_0}{l_1^2} \cdot \frac{A_1^{(0)}}{\sin l_0} + \frac{q_1 l_1}{l_1^2} A_1^{(1)} + \frac{q_2 l_2}{l_1^2} A_1^{(2)}, \quad (129, VI)$$

$$- \left[\frac{K_0}{l_0} \cdot \frac{A_1^{(0)}}{\sin l_0} - \frac{K_1}{l_1} A_1^{(1)} + \frac{K_2}{l_2} A_1^{(2)} \right] \omega_1 + [K_0 A_1^{(0)} + K_1 A_1^{(1)} + K_2 A_1^{(2)}] Z_1 = - \frac{q_1^0}{l_1^2} A_1^{(0)} + \frac{q_1 l_1^2}{l_1^2} A_1^{(1)} - \frac{q_2 l_2}{l_1^2} A_1^{(2)}. \quad (130, VI)$$

В этих уравнениях необходимо положить
при определении коэффициентов $A_1^{(0)}$

$$\left. \begin{aligned} 2u &= \frac{1,285 l_1}{\sqrt{r_0 l_1^2}} & \frac{K_0}{l_0^2} &= \frac{E}{0,91} \left(\frac{l_1^2}{l_0} \right)^2 \frac{1}{2u(0)} \\ 2u^* &= \frac{1,285 l_1}{\sqrt{r_0 l_1^2}} & k_1 &= \frac{1}{6} \left(2u \frac{K_0}{l_0^2} \right)^2 Z_1(0) \end{aligned} \right\}. \quad (131, VI)$$

при определении коэффициентов $A_1^{(1)}$

$$\left. \begin{aligned} 2u &= \frac{1,285 l_1}{\sqrt{r_0 l_1^2}} & \frac{K_1}{l_1^2} &= \frac{E}{0,91} \left(\frac{l_1}{l_0} \right)^2 \frac{1}{2u(0)} \\ 2u^* &= \frac{1,285 l_1}{\sqrt{r_0 l_1^2}} & k_1 &= \frac{1}{6} \left(2u \frac{K_1}{l_1^2} \right)^2 Z_1(0) \end{aligned} \right\}. \quad (132, VI)$$

при определении коэффициентов $A_1^{(2)}$

$$\left. \begin{aligned} 2u &= \frac{1,285 l_1}{\sqrt{r_0 l_1^2}} & \frac{K_2}{l_2^2} &= \frac{E}{0,91} \left(\frac{l_2}{l_0} \right)^2 \frac{1}{2u(0)} \\ 2u^* &= \frac{1,285 l_1}{\sqrt{r_0 l_1^2}} & k_2 &= \frac{1}{6} \left(2u \frac{K_2}{l_2^2} \right)^2 Z_1(0) \end{aligned} \right\}. \quad (133, VI)$$

Что касается величин q_0 , q_1 и q_2 , то при загрузке сферической переборки со стороны вогнутости давлением интенсивности p следует принимать (при $p = 0,3$)

$$q_0 = -0,35 p. \quad (134. VI)$$

При аварийном давлении на переборку (см. рис. 86)

$$\left. \begin{array}{l} q_1 = 0 \\ q_2 = +0,85 p \end{array} \right\}. \quad (135. VI)$$

При испытании переборки на стапеле (см. рис. 87)

$$\left. \begin{array}{l} q_1 = -0,85 p \\ q_2 = 0 \end{array} \right\}. \quad (136. VI)$$

Определение из ур-ний (129. VI) и (130. VI) неизвестные α_i и χ_i можно по ф-лям (124. VI)–(126. VI) легко найти перерезывающие силы и изгибающие моменты, а затем и напряжения. При решении системы ур-ний (129. VI) и (130. VI) гораздо удобнее принять за основные не величины α_i и χ_i , а величины

$$\left. \begin{array}{l} X_0 = \frac{K_0}{I_0} \cdot \frac{\alpha_1}{h_1} \\ Y_0 = \frac{K_0}{I_0} \cdot \chi_1 \end{array} \right\}. \quad (137. VI)$$

Поделив ур-ние (129. VI) на I_0 и ур-ние (130. VI) на I_0^2 , эти уравнения можно привести к виду

$$\left. \begin{array}{l} C_2 X_0 - C_1 Y_0 = p \tilde{\beta}_1 \\ -C_2 X_0 + C_1 Y_0 = p \tilde{\beta}_2 \end{array} \right\}, \quad (138. VI)$$

где

$$\left. \begin{array}{l} C_1 = \frac{A_1^{(0)}}{12 \sin \theta_0} + \frac{(K_1 + I_1^2)}{(K_1 + I_0^2)} A_1^{(1)} + \frac{(K_1 + I_0^2)}{(K_1 + I_0^2)} A_1^{(2)} \\ C_2 = \frac{A_1^{(0)}}{12 \sin \theta_0} - \frac{(K_1 + I_1^2)}{(K_1 + I_0^2)} \cdot \frac{I_1}{I_0} A_1^{(1)} + \frac{(K_1 + I_0^2)}{(K_1 + I_0^2)} \cdot \frac{I_1}{I_0} A_1^{(2)} \\ C_3 = A_1^{(0)} + \frac{(K_1 + I_1^2)}{(K_1 + I_0^2)} \left(\frac{I_1}{I_0} \right)^2 A_1^{(1)} + \frac{(K_1 + I_0^2)}{(K_1 + I_0^2)} \left(\frac{I_1}{I_0} \right)^2 A_1^{(2)} \end{array} \right\}. \quad (139. VI)$$

В величинах $\tilde{\beta}_1$ и $\tilde{\beta}_2$ равны

$$\left. \begin{array}{l} \tilde{\beta}_1 = \frac{q_1}{I_0^2} \cos \theta_0 + \frac{q_1}{p} \cdot \frac{A_1^0}{12 \sin \theta_0} + q_1 \cdot \frac{I_1}{I_0} \cdot \frac{A_1^{(1)}}{12} + \frac{q_1}{p} \cdot \frac{I_1}{I_0} \cdot \frac{A_1^{(2)}}{12} \\ \tilde{\beta}_2 = -\frac{q_2}{p} \cdot \frac{A_1^0}{12} + \frac{q_2}{p} \cdot \frac{I_1^2}{I_0^2} \cdot \frac{A_1^{(0)}}{12} - \frac{q_2}{p} \cdot \frac{I_1^2}{I_0^2} \cdot \frac{A_1^{(1)}}{12} \end{array} \right\}. \quad (140. VI)$$

Определение из уравнений (138. VI) величины $\frac{X_0}{P}$ и $\frac{Y_0}{P}$, можно определить усилия и моменты по формулам:

а) для сферической переборки

$$P = \rho l_0 \left[\frac{q_0}{l_0} \cos \theta_0 + \frac{q_0}{P} \cdot \frac{A_0^{(0)}}{\sin \theta_0} - \frac{X_0}{P} \cdot \frac{A_0^{(0)}}{\sin^2 \theta_0} + \frac{Y_0}{P} \cdot \frac{A_0^{(0)}}{\sin \theta_0} \right], \quad (141. VI)$$

$$M_0^{(0)} = \rho l_0^2 \left[\frac{q_0}{P} \cdot \frac{A_0^{(0)}}{l_0^2} - \frac{X_0}{P} \cdot \frac{A_0^{(0)}}{\sin \theta_0} + \frac{Y_0}{P} \cdot A_0^{(0)} \right]$$

б) для цилиндрической оболочки, расположенной на вогнутой стороне сферической переборки

$$N_0^{(0)} = \rho l_0 \left[- \frac{q_0}{P} \cdot \frac{l_0}{l_0} \cdot \frac{A_0^{(0)}}{l_0^2} + \frac{X_0}{P} \cdot \frac{(K_0 + l_0)}{(K_0 + l_0^2)} A_0^{(0)} + \frac{Y_0}{P} \cdot \frac{(K_0 + l_0)}{(K_0 + l_0^2)} \cdot \frac{l_0}{l_0} A_0^{(0)} \right], \quad (142. VI)$$

$$M_0^{(0)} = \rho l_0^2 \left[\frac{q_0}{P} \cdot \frac{l_0^2}{l_0^2} \cdot \frac{A_0^{(0)}}{l_0^2} - \frac{X_0}{P} \cdot \frac{(K_0 + l_0)}{(K_0 + l_0^2)} \cdot \frac{l_0}{l_0} A_0^{(0)} - \frac{Y_0}{P} \cdot \frac{(K_0 + l_0)}{(K_0 + l_0^2)} \cdot \frac{l_0^2}{l_0} A_0^{(0)} \right]$$

в) для цилиндрической оболочки, расположенной на выпуклой стороне сферической переборки

$$N_0^{(0)} = \rho l_0 \left[\frac{q_0}{P} \cdot \frac{l_0}{l_0} \cdot \frac{A_0^{(0)}}{l_0^2} - \frac{X_0}{P} \cdot \frac{(K_0 + l_0)}{(K_0 + l_0^2)} A_0^{(0)} + \frac{Y_0}{P} \cdot \frac{(K_0 + l_0)}{(K_0 + l_0^2)} \cdot \frac{l_0}{l_0} A_0^{(0)} \right], \quad (143. VI)$$

$$M_0^{(0)} = \rho l_0^2 \left[\frac{q_0}{P} \cdot \frac{l_0^2}{l_0^2} \cdot \frac{A_0^{(0)}}{l_0^2} - \frac{X_0}{P} \cdot \frac{(K_0 + l_0)}{(K_0 + l_0^2)} \cdot \frac{l_0}{l_0} A_0^{(0)} + \frac{Y_0}{P} \cdot \frac{(K_0 + l_0)}{(K_0 + l_0^2)} \cdot \frac{l_0^2}{l_0} A_0^{(0)} \right]$$

После определения усилий и моментов остается найти возникающие в конструкции напряжения. При этом особое внимание следует обратить на

а) напряжения в сварном шве, крепящем сферическую переборку к цилиндрической части прочного корпуса;

б) напряжения в меридиональных сечениях цилиндрической оболочки (центрифугальные напряжения);

в) полные напряжения в поперечных сечениях цилиндрической оболочки в месте соединения ее со сферической переборкой;

- г) растягивающие напряжения в сферической переборке удалы от опорного контура;
д) полные напряжения в опорных сечениях сферической переборки.
Кроме того, необходимо проверить величины напряжений в местах перехода одной толщины в другую.

Напряжения в сварном шве, крепящем сферическую переборку к цилиндрической оболочке

Пусть сварное соединение сферической переборки с цилиндрической оболочкой имеет вид, показанный на рис. 89, причем a — калибр шва, $b = 0,7a$ — опасное сечение шва; a — разнос шва по обе стороны сферической переборки. Тогда напряжения в сварном шве, крепящем сферическую переборку к цилиндрической оболочке, определяются по формуле

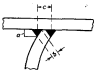


Рис. 89

$$\sigma_{sh} = \frac{P}{2b} \pm \frac{M_1^{sh}}{2a}, \quad (144, VI)$$

Средние по толщине стягивающие напряжения в вертикальных сечениях цилиндрической оболочки

Эти напряжения, если воспользоваться формулой (37, IV) и обозначениями (137, VI), можно вычислить по выражению

$$(\sigma^c)_s = \frac{E}{r} w_1 + r \frac{\partial r}{\partial \zeta} - r \frac{\partial r}{\partial \zeta} + \frac{b}{r} \cdot \frac{E}{[k_1, C]} X_2, \quad (145, VI)$$

где давление p считается положительным при внешнем давлении на рассматриваемую цилиндрическую часть, а напряжения σ^c считаются положительными, если они сжимающие.

Полные напряжения в поперечных сечениях цилиндрической оболочки в месте соединения ее с сферической переборкой

Полные напряжения в поперечных сечениях цилиндрической оболочки в месте соединения ее с сферической переборкой состоят из чистых напряжений в поперечных сечениях (от усилия T_1) и изгибных напряжений (от момента M_1^{sh} или M_2^{sh}) и могут быть вычислены по формуле

$$(\sigma_h)_s = \sigma_1^2 + \sigma_2^{sh} = - \frac{pr}{2a} \pm \frac{6M_1^{sh}}{a^2}. \quad (146, VI)$$

Растягивающие напряжения в сферической переборке удалы от опорного контура

Растягивающие напряжения в сферической переборке удалы от опорного контура определяются по формуле

$$(\sigma^s)_{sh} = \frac{P_1}{2a}. \quad (147, VI)$$

Полные напряжения в сечении сферической переборки

Полные напряжения в опорном сечении сферической переборки состоят из линий напряжений σ_i^0 (от усилия $T_i^{(0)}$) и изгибных напряжений $\sigma_i^{(0)}$ (от момента $M_i^{(0)}$), т. е.

$$(\sigma_i)_{\text{оп}} = \frac{T_i^{(0)}}{r_i} \pm \frac{\sigma_i^{(0)}}{\left(\frac{r_i}{l_i}\right)^2}, \quad (148. \text{VI})$$

где, согласно ф-лам (53. VI),

$$T_i^{(0)} = P - \frac{P r_i}{2} (1 - \cos \theta_i). \quad (149. \text{VI})$$

Для определения полных напряжений в местах перехода одной толщины оболочки в другую необходимо в ф-лам (146.VI) и (148.VI) подставить вместо $M_i^{(0)}$ и $T_i^{(0)}$ значения изгибающих моментов $M_i^{(1)}$ и $T_i^{(1)}$ в этих переходных сечениях. Величина же δ_i и δ_i^0 следует заменить на δ_i и δ_i^0 .

Следует отметить, что в случае, когда сферическая переборка является концевой (рис. 90), уравнения равновесия несколько упрощаются, так как $M_1^{(0)}$ и $M_2^{(0)}$ равны нулю.

В заключение отметим, что утолщенную часть цилиндрической оболочки, которая создает распор сферической переборке, т. е. препятствует смещению ее опорных концов, называют иногда распорным кольцом.

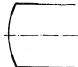


Рис. 90

§ 57. Практическая схема расчета прочности сферической переборки

Для расчета прочности сферической переборки должны быть заданы r , δ_0 , δ_1 , l_1 , l_2 , r_0 , δ_0^0 , δ_1^0 , I_0 и P .

Необходимо определить напряжения в сферической переборке и в цилиндрической оболочке в районе установки переборки.

Определение коэффициентов $A_i^{(0)}$

(Сферическая переборка)

Определяются:

1. Значения параметров α и α^* по формулам

$$\alpha = \frac{0.61954}{\sqrt{\alpha R_i}}, \quad \alpha^* = \frac{0.64254}{\sqrt{\alpha R_j}}.$$

2. Из таблиц функций Бубнова—Папкоевича функции $\varphi_0(\alpha)$, $\varphi_1(\alpha)$, $\chi_1(\alpha)$.

3. Значение

$$\frac{K_0}{l_1^2} = \frac{E}{0.31} \left(\frac{R_i}{l_1} \right)^2 \frac{1}{\chi_1(\alpha)}.$$

4. Значения коэффициентов k_1 и k_2 :

$$k_1 = \frac{(2u)^2}{3!} \chi_2(u), \quad k_2 = \frac{1}{6} \left(2u - \frac{u^2}{2!} \right)^2 \chi_2(u).$$

5. Значения a_1 , a_2 и a_3 по формулам:

$$a_1 = 2 \frac{1 - \mu_2(u)}{\mu_2(u)} + 6k_1 p_1(u) + 2k_2 u^2,$$

$$a_2 = -k_1 \chi_2(u) + 2k_2,$$

$$a_3 = -\frac{1}{2} [1 - \mu_2(u)] + \frac{1}{6} \left[\frac{\chi_2(u) - \mu_2(u)}{\mu_2(u)} \right] + \frac{2k_2}{3u^2}.$$

Примечание. В случае, если разности $1 - \mu_2(u)$, $1 - \mu_1(u)$ и $\chi_2(u) - \mu_2(u)$ окажутся малыми (разности близких чисел), то их значения определяются по формуле (108.VI) — (108.VII).

6. Величины s_1 , s_2 и s_3 :

$$s_1 = 6k_1 p_1(u) - 2 \frac{1 - \mu_2(u)}{\mu_2(u)},$$

$$s_2 = k_1 \chi_2(u),$$

$$s_3 = \frac{1 - \mu_2(u)}{2} + \frac{1}{6} \cdot \frac{\chi_2(u) - \mu_2(u)}{\mu_2(u)}.$$

7. Коэффициенты η_1 , η_2 , η_3 и η_4 по формулам:

$$\eta_1 = \frac{(2 - s_3) \left(\frac{2}{3} + s_1 \right) - (1 - s_2)(1 - s_3)}{(2 + s_1) \left(\frac{2}{3} + s_2 \right) - (1 - s_2)^2},$$

$$\eta_2 = \frac{(1 - s_3) \left(\frac{2}{3} + s_2 \right) - \left(\frac{1}{3} - s_1 \right) (1 - s_3)}{(2 + s_1) \left(\frac{2}{3} + s_3 \right) - (1 - s_3)^2},$$

$$\eta_3 = \frac{(1 - s_3)(2 + s_1) - (2 - s_3)(1 - s_2)}{(2 + s_1) \left(\frac{2}{3} + s_1 \right) - (1 - s_2)^2},$$

$$\eta_4 = \frac{\left(\frac{1}{3} - s_2 \right) (2 + s_2) - (1 - s_3)(1 - s_2)}{(2 + s_1) \left(\frac{2}{3} + s_2 \right) - (1 - s_3)^2}.$$

8. Величины d_1 , d_2 , d_3 , ..., d_6 по формулам:

$$d_1 = 6\mu_1(u), \quad d_2 = \chi_2(u),$$

$$d_3 = 6k_1 p_1(u), \quad d_4 = k_1 \chi_2(u),$$

$$d_5 = 3k_2 \mu_1(u) - \frac{1 - \mu_2(u)}{\mu_2(u)}, \quad d_6 = k_2 \frac{2\chi_2(u)}{3} - \frac{1 - \mu_2(u)}{2}.$$

9. Величины b_1 , b_2 , ..., b_6 :

$$\begin{aligned} b_1 &= 6p_1(u) + \frac{12}{\lambda u^2}, & b_2 &= \chi_1(u) = \frac{6}{(\lambda u^2)^2}, \\ b_3 &= 6k_3 p_1(u) + k_3 4u^2, & b_4 &= k_3 \chi_1(u) - k_3, \\ b_5 &= \frac{1-p_2(u)}{p_2(u)} + 3k_3 p_1(u) + k_3(1+4u^2), \\ b_6 &= \frac{1-p_2(u)}{2} + \frac{k_3}{2} \chi_1(u) - k_3 \left(1 + \frac{1}{\lambda u^2}\right). \end{aligned}$$

10. Искомые коэффициенты $A_i^{(1)}$ по формулам:

$$\begin{aligned} A_1^{(1)} &= d_1 + \eta_1 b_1 + \eta_2 b_2, & A_2^{(1)} &= d_2 + \eta_1 b_1 + \eta_3 b_3, \\ A_3^{(1)} &= d_3 + \eta_1 b_1 + \eta_4 b_4, & A_4^{(1)} &= d_4 + \eta_2 b_2 + \eta_3 b_3, \\ A_5^{(1)} &= d_5 + \eta_2 b_2 + \eta_4 b_4, & A_6^{(1)} &= d_6 + \eta_3 b_3 + \eta_4 b_4. \end{aligned}$$

Определение коэффициентов $A_i^{(1)}$

(Цилиндрическая оболочка, расположенная с выпуклой стороны сферической переборки)

Определяются:

1. Значения параметров μ и μ^* по формулам

$$\mu = \frac{0,64251}{V R_1}, \quad \mu^* = \frac{0,64251}{V R_0}.$$

2. Из таблиц функций Бубнова-Панковича функции $p_0(u)$, $p_1(u)$
и $\chi_1(u)$.

3. Значение

$$\frac{K_3}{I_1^2} = 0,07 \left(\frac{R_0}{R_1}\right)^2 \frac{1}{2\pi(s)},$$

4. Значения коэффициентов k_1 и k_3

$$k_1 = \frac{(2u)^2}{30} \chi_1(u), \quad k_3 = \frac{1}{6} \left(2u \frac{\chi_1}{I_1}\right)^2 \chi_1(u).$$

Далее производятся вычислительные операции 5, 6, 7, 8, 9 и 10, пределенные при определении коэффициентов $A_i^{(1)}$.

В результате операции 10 находятся значения коэффициентов $A_1^{(1)}$, $A_2^{(1)}$, $A_3^{(1)}$, $A_4^{(1)}$, $A_5^{(1)}$ и $A_6^{(1)}$.

Определение коэффициентов $A_i^{(2)}$

(Цилиндрическая оболочка, расположенная с выпуклой стороны сферической переборки)

Определяются:

1. Значения параметров μ и μ^* по формулам

$$\mu = \frac{0,64251}{V R_0}, \quad \mu^* = \frac{0,64251}{V R_1}.$$

2. Из таблиц функций Бубнова—Папковича значения функций $\varphi_1(\mu)$, $\varphi_1(\mu)$, $\chi_1(\mu)$.

3. Значение

$$\frac{K_3}{\beta_1^2} = \frac{E}{k_0 \Omega} \left(\frac{k_0}{\beta_1} \right)^2 \frac{1}{\chi_1(\mu)}.$$

4. Значения коэффициентов k_1 и k_2

$$k_1 = \frac{C_2 \mu}{2} \chi_1(\mu), \quad k_2 = \left(2\mu \frac{\beta_1}{\beta_2} \right)^2 \chi_2(\mu).$$

Далее производятся вычислительные операции 5, 6, 7, 8, 9 и 10.

В результате операции 10 вычисляются значения коэффициентов $A_1^{(2)}$, $A_2^{(2)}$, $A_3^{(2)}$, $A_4^{(2)}$, $A_5^{(2)}$ и $A_6^{(2)}$.

Примечание. Общая сферическая переборка упрощается, исключив изолированной части цилиндрической оболочки, так что $I_1 = I_2$. В этом случае независимость в определении коэффициентов $A_j^{(2)}$ отпадает, або $A_1^{(2)} = A_2^{(2)}$.

Определение нагрузки для сферической переборки в цилиндрической части прочного корпуса

В случае аварийного затопления отсека (см. рис. 86) необходимо принять:

1. Для сферической переборки $\varphi_1 = -0,35\rho$.
2. Для прочного корпуса $\varphi_1 = 0$, $\varphi_2 = +0,85\rho$.

В случае испытаний отсека на стапеле (см. рис. 87) необходимо принять:

1. Для сферической переборки $\varphi_1 = 0,35\rho$.
2. Для прочного корпуса $\varphi_1 = -0,85\rho$, $\varphi_2 = 0$.

Раскрытие статической неопределенности задачи и определение усилий и моментов

Определяются:

1. Коэффициенты C_1 , C_2 и C_3 по формулам:

$$C_1 = \frac{A_1^{(2)}}{\sin^2 \psi_0} + \frac{(K_3 + \beta_1^2)}{(K_3 + \beta_2^2)} A_2^{(2)} + \frac{(K_3 + \beta_1^2)}{(K_3 + \beta_2^2)} A_3^{(2)},$$

$$C_2 = \frac{A_2^{(2)}}{\sin \psi_0} - \frac{(K_3 + \beta_1^2)}{(K_3 + \beta_2^2)} \cdot \frac{I_1}{I_2} A_1^{(2)} + \frac{(K_3 + \beta_1^2)}{(K_3 + \beta_2^2)} \cdot \frac{I_1}{I_2} A_4^{(2)},$$

$$C_3 = A_3^{(2)} + \frac{(K_3 + \beta_1^2)}{(K_3 + \beta_2^2)} \left(\frac{I_1}{I_2} \right)^2 A_1^{(2)} + \frac{(K_3 + \beta_1^2)}{(K_3 + \beta_2^2)} \left(\frac{I_1}{I_2} \right)^2 A_4^{(2)}.$$

2. Значения коэффициентов β_1 и β_2 по формулам

$$\beta_1 = \frac{r_0}{R_0} \cos \theta_0 + \frac{q_1}{P} \cdot \frac{A_1^{(2)}}{12 \sin \psi_0} + \frac{q_2}{P} \cdot \frac{I_1}{I_2} \cdot \frac{A_1^{(2)}}{12} + \frac{q_3}{P} \cdot \frac{I_1}{I_2} \cdot \frac{A_1^{(2)}}{12},$$

$$\beta_2 = -\frac{q_2}{P} \cdot \frac{A_2^{(2)}}{12} + \frac{q_1}{P} \cdot \frac{I_1}{I_2} \cdot \frac{A_1^{(2)}}{12} - \frac{q_3}{P} \cdot \frac{I_1}{I_2} \cdot \frac{A_1^{(2)}}{12}.$$

3. Неизвестные X_0 и Y_0 из системы двух уравнений

$$\begin{aligned} C_1 X_0 - C_2 Y_0 &= p \beta_1, \\ -C_2 X_0 + C_1 Y_0 &= p \beta_2. \end{aligned}$$

4. Отношения

$$\frac{X_0}{p} \text{ и } \frac{Y_0}{p}.$$

5. Усилия и моменты в сферической переборке в узле соединения с цилиндрической частью прочного корпуса.

Усилие P , растягивающее переборку в плоскости спорного круга, по формуле

$$P = \rho I_0 \left[\frac{r_0}{K_0} \cos \theta_0 + \frac{y_0}{p} \cdot \frac{A_0^{(0)}}{12 \sin \theta_0} - \frac{K_0}{p} \cdot \frac{A_0^{(0)}}{\sin^2 \theta_0} + \frac{Y_0}{p} \cdot \frac{A_0^{(0)}}{\sin \theta_0} \right].$$

Изгибающий момент M_1 по формуле

$$M_1^{(0)} = \rho I_0 \left[\frac{q_0}{p} \cdot \frac{A_0^{(0)}}{12} - \frac{K_0}{p} \cdot \frac{A_0^{(0)}}{\sin \theta_0} + \frac{Y_0}{p} A_0^{(0)} \right].$$

6. Перерезывающая сила $N_1^{(0)}$ и изгибающий момент $M_1^{(0)}$ для цилиндрической оболочки, которая расположена с выпуклой стороны сферической переборки, по формулам

$$N_1^{(0)} = \rho I_0 \left[\frac{q_0}{p} \cdot \frac{I_1}{I_0} \cdot \frac{A_1^{(0)}}{12} + \frac{K_0}{p} \cdot \frac{(K_0 + I_0^2)}{(K_0 + I_0^2)} A_0^{(0)} + \frac{Y_0}{p} \cdot \frac{(K_0 + I_0^2)}{(K_0 + I_0^2)} \cdot \frac{I_1}{I_0} A_0^{(0)} \right],$$

$$M_1^{(0)} = \rho I_0 \left[\frac{q_0}{p} \cdot \frac{I_1^2}{I_0^2} \cdot \frac{A_1^{(0)}}{12} - \frac{K_0}{p} \cdot \frac{(K_0 + I_0^2)}{(K_0 + I_0^2)} \cdot \frac{I_1}{I_0} A_0^{(0)} - \frac{Y_0}{p} \cdot \frac{(K_0 + I_0^2)}{(K_0 + I_0^2)} \cdot \frac{I_1^2}{I_0^2} A_0^{(0)} \right].$$

7. Перерезывающая сила $N_1^{(0)}$ и изгибающий момент $M_1^{(0)}$ для цилиндрической оболочки, которая расположена с вогнутой стороны сферической переборки, по формулам

$$N_1^{(0)} = \rho I_0 \left[\frac{q_0}{p} \cdot \frac{I_1}{I_0} \cdot \frac{A_1^{(0)}}{12} - \frac{K_0}{p} \cdot \frac{(K_0 + I_0^2)}{(K_0 + I_0^2)} A_0^{(0)} + \frac{Y_0}{p} \cdot \frac{(K_0 + I_0^2)}{(K_0 + I_0^2)} \cdot \frac{I_1}{I_0} A_0^{(0)} \right],$$

$$M_1^{(0)} = \rho I_0 \left[\frac{q_0}{p} \cdot \frac{I_1^2}{I_0^2} \cdot \frac{A_1^{(0)}}{12} - \frac{K_0}{p} \cdot \frac{(K_0 + I_0^2)}{(K_0 + I_0^2)} \cdot \frac{I_1}{I_0} A_0^{(0)} + \frac{Y_0}{p} \cdot \frac{(K_0 + I_0^2)}{(K_0 + I_0^2)} \cdot \frac{I_1^2}{I_0^2} A_0^{(0)} \right].$$

Определение напряжений

При проверке прочности определению подлежат:

1. Напряжения в сварном шве, крепящем переборку к цилиндрической части прочного корпуса.

2. Колыцевые цепные напряжения в меридиональных сечениях цилиндрической оболочки у спорного контура.

3. Суммарные напряжения в поперечных сечениях цилиндрической оболочки у спорного контура.

4. Цепные напряжения в сферической переборке вдоль от спорного контура.

5. Суммарные напряжения в опорном сечении сферической переборки.

Упомянутые напряжения определяются по формулам:

1. Напряжения в сварном шве

$$\sigma_{sh} = \frac{P}{2\delta} \pm \frac{M_1^{(0)}}{R},$$

2. Колцевые ценные напряжения в меридиональных сечениях цилиндрической оболочки

$$(\sigma_1^0)_{x=0} = P \frac{r}{2\delta_1} + \frac{t_1}{r} \cdot \frac{E}{(K_0 + K_1)} X_0,$$

3. Суммарные напряжения в поперечных сечениях цилиндрической оболочки

$$(\sigma_1)_{x=0} = - \frac{P}{2\delta_1} \pm \frac{\delta M_1^{(0)}}{t_1^2},$$

4. Ценные напряжения в сферической переборке вдоль от опорного контура

$$(\sigma_1^0)_{\phi} = (\sigma_1^0)_{\psi} = \frac{P t_1}{2\delta_1^2},$$

5. Суммарные напряжения в опорном сечении сферической переборки

$$(\sigma_1)_{\phi} = \frac{P_1^{(0)}}{q_1} \pm \frac{\delta M_1^{(0)}}{(q_1)^2},$$

где

$$P_1^{(0)} = P - \frac{P t_1}{2} (1 - \cos \theta_0),$$

После определения напряжений проверяется удовлетворение критерия прочности:

а) для напряжений в сварном шве

$$\sigma_{sh} < \sigma_s,$$

где σ_s — предел текучести материала;

α — коэффициент, показывающий, какую долю предела текучести материала составляют допускаемые напряжения в сварном шве;

б) для ценных напряжений в сферической переборке и в цилиндрической оболочке

$$\sigma_1^0 < \alpha_1 \sigma_s,$$

где α_1 — коэффициент, показывающий, какую долю предела текучести материала составляют допускаемые ценные напряжения;

в) для суммарных напряжений в сферической переборке и цилиндрической оболочке

$$\sigma < \delta \sigma_s,$$

где δ — коэффициент, показывающий, какую долю предела текучести составляют допускаемые суммарные напряжения.

§ 58. Определение теоретического критического давления для сферической переборки

Одной из отличительных особенностей сферических переборок является сравнительно небольшая величина нагрузки, которую может выдержать сферическая переборка со стороны выпуклости. Отмеченная особенность сферических переборок объясняется тем, что при действии на переборку с ее выпуклой стороны давления жидкости или газа в переборке возникают целые сжимающие напряжения, могущие привести к потере устойчивости переборки. Если действующее на переборку давление достигнет критической величины, переборка потеряет устойчивость и на ее поверхности образуются вмятины и выпучины. При принятых достаточно высоких допускаемых значениях целевых напряжений потеря устойчивости сферической переборки приводит к разрушению последней, поэтому критическое давление на переборку является для нее опасной нагрузкой. Для исключения потери устойчивости сферических переборок в эксплуатационных условиях необходимо определить критическое давление и проверять выполнение условия устойчивости

$$P_{cr} \geq p. \quad (150, VI)$$

Здесь p_{cr} — критическая нагрузка на переборку;
 p — действующая нагрузка.

Для возможности использования критерия (150, VI) необходимо знать метод определения критической нагрузки для сферической оболочки.

В главе II была получена следующая система уравнений устойчивости для оболочек произвольной формы (см. ф-лы (9. II) и (15. II)):

$$\begin{aligned} \frac{1}{A_2 A_3} \left(\frac{\partial M_2 T_1}{\partial z_1} + \frac{\partial M_1 S}{\partial z_2} + \frac{\partial M_3}{\partial z_2} S - \frac{\partial M_2}{\partial z_1} T_3 \right) + \frac{N_1}{R_3} + F_1 &= 0 \\ \frac{1}{A_1 A_2} \left(\frac{\partial M_3 S}{\partial z_1} + \frac{\partial M_1 T_2}{\partial z_3} + \frac{\partial M_2}{\partial z_3} S - \frac{\partial M_3}{\partial z_1} T_1 \right) + \frac{N_2}{R_1} + F_2 &= 0 \\ \frac{1}{A_2 A_3} \left(\frac{\partial M_2 N_1}{\partial z_1} + \frac{\partial A_1 N_3}{\partial z_2} \right) - \frac{T_1}{R_1} - \frac{T_3}{R_3} + F_3 &= 0 \\ \frac{1}{A_1 A_2} \left(\frac{\partial A_2 M_3}{\partial z_1} + \frac{\partial A_3 H}{\partial z_2} + \frac{\partial A_2}{\partial z_2} H - \frac{\partial A_3}{\partial z_1} M_1 \right) &= N_1 \\ \frac{1}{A_1 A_3} \left(\frac{\partial A_3 H}{\partial z_2} + \frac{\partial A_2 M_2}{\partial z_3} + \frac{\partial A_3}{\partial z_3} H - \frac{\partial A_2}{\partial z_2} M_1 \right) &= N_2 \end{aligned} \quad (151, VI)$$

где F_1 , F_2 и F_3 определяются ф-лями (10. II).

В задачах устойчивости оболочек напряжения от моментов сопаримы с напряжениями от усилий. В этом случае, как доказал профессор Х. М. Муштари, в формулах для изменения кривизны и кручения можно пренебречь перемещениями x и y . Тогда получим

$$\begin{aligned} z_1 &= -\frac{1}{A_1} \cdot \frac{\partial}{\partial z_1} \left(\frac{1}{A_1} \cdot \frac{\partial w}{\partial z_1} \right) - \frac{1}{A_1 A_2} \cdot \frac{\partial M_2}{\partial z_1} \left(\frac{1}{A_2} \cdot \frac{\partial w}{\partial z_2} \right) \\ z_2 &= -\frac{1}{A_2} \cdot \frac{\partial}{\partial z_2} \left(\frac{1}{A_2} \cdot \frac{\partial w}{\partial z_2} \right) - \frac{1}{A_1 A_2} \cdot \frac{\partial M_3}{\partial z_1} \left(\frac{1}{A_1} \cdot \frac{\partial w}{\partial z_1} \right) \\ z &= -\frac{1}{A_1 A_2} \left(\frac{\partial M_2}{\partial z_1 \partial z_2} - \frac{1}{A_1} \cdot \frac{\partial M_1}{\partial z_2} \cdot \frac{\partial w}{\partial z_1} - \frac{1}{A_2} \cdot \frac{\partial M_3}{\partial z_1} \cdot \frac{\partial w}{\partial z_2} \right) \end{aligned} \quad (152, VI)$$

Из формулы (152. VI) следует:

$$x_1 + x_2 = \Delta w, \quad (153. VI)$$

где символ Δ обозначает оператор Лапласа. Подставив в четвертое и пятое уравнения системы (151. VI) вместо изгибающих и крутящих моментов их выражения через изменения кривизны и кручение (см. формулы (122. I)), получим

$$\left. \begin{aligned} N_1 &= D \left[\frac{1}{A_1} \cdot \frac{\partial(x_1 + x_2)}{\partial \eta_1} - \frac{1-p}{A_1 A_2} \left(\frac{\partial M_{23}}{\partial \eta_1} - \frac{\partial M_2}{\partial \eta_1} x_1 - \frac{\partial M_1}{\partial \eta_2} - \frac{\partial A_1}{\partial \eta_2} \varphi \right) \right], \\ N_2 &= D \left[\frac{1}{A_2} \cdot \frac{\partial(x_1 + x_2)}{\partial \eta_2} - \frac{1-p}{A_1 A_2} \left(\frac{\partial M_{23}}{\partial \eta_2} - \frac{\partial M_1}{\partial \eta_2} x_2 - \frac{\partial M_2}{\partial \eta_1} - \frac{\partial A_2}{\partial \eta_1} \varphi \right) \right]. \end{aligned} \right\}, \quad (154. VI)$$

При $\varphi = 0$ и $v = 0$ относительные удлинения и сдвиг выражаются с помощью следующих зависимостей:

$$x_1 = \frac{w}{R_1}, \quad x_2 = \frac{w}{R_2}, \quad v = 0. \quad (155. VI)$$

В этом случае выражения, стоящими в квадратных скобках формул (154. VI), можно предать вид

$$\frac{\partial M_{23}}{\partial \eta_1} - \frac{\partial M_2}{\partial \eta_1} x_1 - \frac{\partial M_1}{\partial \eta_2} - \frac{\partial A_1}{\partial \eta_2} \varphi = \frac{A_2}{R_1 R_2} \cdot \frac{\partial w}{\partial \eta_1},$$

$$\frac{\partial M_{23}}{\partial \eta_2} - \frac{\partial M_1}{\partial \eta_2} x_2 - \frac{\partial M_2}{\partial \eta_1} - \frac{\partial A_2}{\partial \eta_1} \varphi = \frac{A_1}{R_1 R_2} \cdot \frac{\partial w}{\partial \eta_2}.$$

Следовательно, перерезывающие силы N_1 и N_2 будут равны

$$\left. \begin{aligned} N_1 &= -D \frac{1}{A_1} \left(\frac{\partial \Delta w}{\partial \eta_1} + \frac{1-p}{R_1 R_2} \cdot \frac{\partial w}{\partial \eta_1} \right) \\ N_2 &= -D \frac{1}{A_2} \left(\frac{\partial \Delta w}{\partial \eta_2} + \frac{1-p}{R_1 R_2} \cdot \frac{\partial w}{\partial \eta_2} \right) \end{aligned} \right\}. \quad (156. VI)$$

Далее необходимо отметить, что в задачах о потере устойчивости величина нормального перемещения w при дифференцировании существенно возрастает. Поэтому в формулах (156. VI) вторыми слагаемыми можно пренебречь и сравнить с первыми слагаемыми. Таким образом, окончательные выражения для перерезывающих сил N_1 и N_2 будут иметь следующий вид:

$$\left. \begin{aligned} N_1 &= -D \frac{1}{A_1} \cdot \frac{\partial \Delta w}{\partial \eta_1} \\ N_2 &= -D \frac{1}{A_2} \cdot \frac{\partial \Delta w}{\partial \eta_2} \end{aligned} \right\}. \quad (157. VI)$$

При сделанных допущениях о возможности пренебрежения в формулах для изменения кривизны и кручения перемещения и v оказывается, что в первом и втором уравнениях устойчивости (151. VI) можно пренебречь перерезывающие силы N_1 и N_2 . Подставив N_1 и N_2 из ф-л (157. VI) в третье уравнение системы (151. VI) и прене-

брегая в первых двух уравнениях (151. VI) перерезывающими силами, будем иметь

$$\left. \begin{aligned} \frac{1}{A_1 A_2} \left(\frac{\partial M_1 T_1}{\partial x_1} + \frac{\partial M_2 S}{\partial x_2} + \frac{\partial M_1}{\partial x_2} S - \frac{\partial M_2}{\partial x_1} T_1 \right) + F_1 &= 0 \\ \frac{1}{A_1 A_2} \left(\frac{\partial M_2 S}{\partial x_1} + \frac{\partial M_1 T_2}{\partial x_2} + \frac{\partial M_2}{\partial x_1} S - \frac{\partial M_1}{\partial x_2} T_2 \right) + F_2 &= 0 \\ D \Delta \delta w + \frac{T_1}{R_1} + \frac{T_2}{R_2} + F_3 &= 0 \end{aligned} \right\}. \quad (158. VI)$$

Следуя В. З. Нансону, введем функцию напряжений Φ , связанную с усилиями T_1 , T_2 и S следующими зависимостями:

$$\left. \begin{aligned} T_1 &= -\frac{1}{A_1} \cdot \frac{\partial}{\partial x_2} \left(\frac{1}{A_2} \cdot \frac{\partial \Phi}{\partial x_1} \right) - \frac{1}{A_1 A_2} \cdot \frac{\partial M_2}{\partial x_1} \left(\frac{1}{A_2} \cdot \frac{\partial \Phi}{\partial x_1} \right) \\ T_2 &= -\frac{1}{A_2} \cdot \frac{\partial}{\partial x_1} \left(\frac{1}{A_1} \cdot \frac{\partial \Phi}{\partial x_2} \right) - \frac{1}{A_1 A_2} \cdot \frac{\partial M_1}{\partial x_2} \left(\frac{1}{A_1} \cdot \frac{\partial \Phi}{\partial x_2} \right) \\ S &= \frac{1}{A_1 A_2} \left(\frac{\partial^2 \Phi}{\partial x_1 \partial x_2} - \frac{1}{A_1} \cdot \frac{\partial M_1}{\partial x_2} \cdot \frac{\partial \Phi}{\partial x_1} - \frac{1}{A_2} \cdot \frac{\partial M_2}{\partial x_1} \cdot \frac{\partial \Phi}{\partial x_2} \right) \end{aligned} \right\}. \quad (159. VI)$$

Подставляя формулы (159. VI) в два первых уравнения (158. VI), можно убедиться, что они с точностью до членов величин будут удовлетворены. Что касается третьего уравнения, то оно примет вид

$$D \Delta \delta w = K(\Phi) + F_3 = 0, \quad (160. VI)$$

где K — дифференциальный оператор, определяемый равенством

$$\left. \begin{aligned} K(\Phi) &= \frac{1}{A_1 A_2} \left[\frac{\partial}{\partial x_1} \left(\frac{1}{A_2} \cdot \frac{\partial \Phi}{\partial x_1} \right) + \right. \\ &\quad \left. + \frac{\partial}{\partial x_2} \left(\frac{1}{A_1} \cdot \frac{\partial \Phi}{\partial x_2} \right) \right]. \end{aligned} \right\}. \quad (161. VI)$$

Уравнением (160. VI) дается первое условие, ссылающееся на гипотезу и функцию напряжений Φ . Второе условие, ссылающееся на величины w и Φ , получим из уравнений неразрывности (см. формулы (83. I)). Введя в третье уравнение неразрывности (83. I) вместо величин x_1 , x_2 и w их выражения через ψ согласно формуле (152. VI), а вместо x_1 , x_2 и ψ их выражения через Φ (предварительно выразив x_1 , x_2 и ψ через T_1 , T_2 и S), получим

$$\frac{1}{D} \Delta \delta \Phi + K(w) = 0. \quad (162. VI)$$

Уравнением (162. VI) дается второе условие, ссылающееся на гипотезу и функцию напряжений Φ .

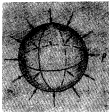


Рис. 51

Таким образом, мы получали два уравнения

$$\left. \begin{aligned} D\Delta w - K(\Phi) + F_r &= 0 \\ \frac{1}{E} \Delta \Delta \Phi + K(w) &= 0 \end{aligned} \right\}. \quad (163. VI)$$

Рассмотрим сферическую оболочку, загруженную внешним равномерным давлением интенсивности p (рис. 91). Для сферической оболочки главные радиусы кривизны R_1 и R_2 равны r_s .

В этом случае оператор K превращается в обычный оператор Лапласа Δ , разделенный на r_s . Поэтому для сферической оболочки будем иметь

$$\left. \begin{aligned} D\Delta w - \frac{1}{r_s} \Delta \Phi + F_r &= 0 \\ \frac{1}{E} \Delta \Delta \Phi + \frac{1}{r_s} \Delta w &= 0 \end{aligned} \right\}. \quad (164. VI)$$

Из первого уравнения (164. VI) имеем

$$\Delta \Phi = r_s D\Delta w + F_r r_s. \quad (165. VI)$$

После подстановки ф-лы (165. VI) во второе уравнение системы (164. VI) получим

$$\Delta(r_s D\Delta w + F_r r_s) + \frac{Eh}{r_s^2} \Delta w = 0$$

или

$$\Delta \left(D\Delta w + F_r + \frac{Eh}{r_s^2} w \right) = 0. \quad (166. VI)$$

При действии внешнего равномерного давления на замкнутую сферическую оболочку исходное или начальное состояние оболочки является безмоментным. При этом

$$\left. \begin{aligned} T_1^i = T_2^i &= -\frac{F_r}{2} \\ S^i &= 0 \end{aligned} \right\}. \quad (167. VI)$$

Тогда, согласно ф-лам (10. II), для величины F_r получим

$$\begin{aligned} F_r &= \left(-\frac{1}{A_1} \cdot \frac{\partial \alpha_1}{\partial n_1} + \frac{1}{A_2 A_3} \cdot \frac{\partial A_3}{\partial n_1} w_2 \right) T_1^i + \left(\frac{1}{A_2} \cdot \frac{\partial \alpha_2}{\partial n_2} - \frac{1}{A_2 A_3} \cdot \frac{\partial A_3}{\partial n_2} w_1 \right) T_2^i = \\ &= -\frac{Eh}{2} \cdot \frac{1}{A_2 A_3} \left[\frac{\partial}{\partial n_1} (A_3 \alpha_1) - \frac{\partial}{\partial n_2} (A_3 \alpha_2) \right], \end{aligned} \quad (168. VI)$$

но согласно ф-лам (21. II) и (22. II)

$$\alpha_1 = \frac{1}{A_2} \cdot \frac{\partial w}{\partial n_1}, \quad \alpha_2 = -\frac{1}{A_1} \cdot \frac{\partial w}{\partial n_2}$$

и, следовательно,

$$F_r = -\frac{Eh}{2} \Delta w. \quad (169. VI)$$

Подставив ф-лу (169. VI) в ур-ние (168. VI), придем к уравнению

$$\Delta \left(D\Delta \omega - \frac{E^2}{2} \Delta \omega + \frac{E^2}{r_0^2} \omega \right) = 0. \quad (170. VI)$$

При потере устойчивости сферической оболочки на ее поверхности образуется большое число волн. Следуя В. З. Власову, примем

$$\Delta \omega = - n^2 \omega, \quad (171. VI)$$

где n^2 — некоторый параметр.

Подставив ф-лу (171. VI) в ур-ние (170. VI), получим

$$\Delta \omega \left(Dn^2 - \frac{E^2}{2} n^2 + \frac{E^2}{r_0^2} \right) = 0. \quad (172. VI)$$

Величина $\Delta \omega$ не может быть равна нулю, ибо при $\Delta \omega = 0$ и пропады оболочки ω будут такие равны нулю. Равенство же прогибов нулю свидетельствует об отсутствии потери устойчивости оболочки, поэтому для удовлетворения ф-лы (172. VI) необходимо положить равной нулю выражение, стоящее в скобках,

$$Dn^2 - \frac{E^2}{2} n^2 + \frac{E^2}{r_0^2} = 0. \quad (173. VI)$$

Уравнение (173. VI) есть исходное уравнение для определения критического давления p сферической оболочки. Решив ур-ние (173. VI) относительно p , будем иметь

$$p'_{\varphi} = \frac{2}{r_0} \left(Dn^2 + \frac{E^2}{r_0^2 n^2} \right). \quad (174. VI)$$

В формуле (174. VI) n — пока неизвестный параметр. Как и ранее, будем интересоваться лишь минимальным значением критического давления.

Взяв производную $\frac{dp'_{\varphi}}{dn}$ и приравняв ее нулю, получим

$$\frac{dp'_{\varphi}}{dn} = \frac{2}{r_0} \left(2Dn - \frac{2E^2}{r_0^2 n^3} \right) = 0,$$

откуда

$$2Dn - \frac{2E^2}{r_0^2 n^3} = 0$$

и n , обращающее критическое давление в максимум, будет равно

$$n^2 = \sqrt{\frac{E^2}{D^2 r_0^2}}. \quad (175. VI)$$

Подставив ф-лу (175. VI) в ф-лу (174. VI) после приведения подобных членов, получим окончательно

$$p'_{\varphi} = \frac{2}{r_0^2 (1 - \mu^2)} E \left(\frac{n}{r_0} \right)^2. \quad (176. VI)$$

По формуле (176, VI) и определяется теоретическое значение критического давления для замкнутой сферической оболочки. Эта формула была впервые предложена Целли^{*} и носит его имя.

Если положить $\mu = 0,3$, то формула (176, VI) можно привести к виду

$$P_{cr} = 1,25 \left(\frac{1}{r_0} \right)^2. \quad (177, VI)$$

Для стальных оболочек при $E = 2,0 \cdot 10^6$ кг/см² получим

$$P_{cr} = 240 \left(\frac{1000^2}{r_0} \right)^2. \quad (178, VI)$$

Последняя формула нашла широкое применение при проверке устойчивости сферических оболочек.

Соответствующее критическому давлению критическое напряжение определяется по формуле

$$\sigma_{cr}' = \frac{P_{cr} r_0}{24} = \frac{1}{\sqrt{2}(1-\mu^2)} E \frac{1}{r_0}. \quad (179, VI)$$

В заключение следует отметить, что при потере устойчивости сферической оболочки, соответствующей приведенной классической или линейной теории устойчивости, на поверхности сферы образуется большое число волн, поэтому решение для замкнутой сферы может быть несколько и для незамкнутой сферы при условии, что на поверхности незамкнутой сферы образуется не менее одной полуволны.

§ 59. Введение поправочных коэффициентов

При исследовании устойчивости цилиндрических оболочек было отмечено, что экспериментальные значения критических нагрузок оказываются много выше теоретических значений критических давлений, определенных по расчетным формулам. Это несоответствие между фактической критической нагрузкой и ее расчетной величиной еще в большей мере свойственно сферическим оболочкам.

Как и ранее, отмеченное несоответствие будем учитывать введением поправочных коэффициентов τ_1 и τ_2 так, что действительное критическое давление следует определять по формуле

$$P_{cr} = \tau_1 \tau_2 P_{cr}', \quad (180, VI)$$

где τ_1 — поправочный коэффициент, учитывающий влияние начальной загрузки, неоднородность материала и другие линейные факторы;

τ_2 — поправочный коэффициент, учитывающий влияние отступлений от закона Гука.

Как показал Т. Карман, для сферических оболочек разница между верхним критическим давлением, определяемым исходя из рассмотренной выше классической теории устойчивости, и нижним критическим давлением, определяемым с учетом возможности больших отклонений от положения равновесия, оказывается очень большой. При этом на поверхности сферы образуется с концом одна вмятина вместо обычного волнобразования, данного классической теорией. Величина же нижнего критического давления примерно в 3—3,5 раза меньше определенного по

* R. Zell. Dissertation. Zürich, 1915.

ф-ле (178. VI). Поэтому Т. Карман предложил определять критическое давление не по формуле Целли (178. VI), а по формуле

$$P_{cr} = 65 \left(\frac{100 \tau_0}{r_0} \right)^{\frac{2}{3}}, \quad (181. VI)$$

что эквивалентно введению в формулу Целли поправочного коэффициента $\tau_0 \approx 0,3$. Таким образом, используя формулу Кармана (181. VI), мы должны ограничиться введением только поправочного коэффициента τ_0 (на отступление от закона Гука).

Определение при заданных размерах оболочки r_0' , находим напряжения в оболочке, соответствующие этой нагрузке,

$$\sigma_{cr}' = - \frac{P_{cr} r_0}{2r_0'}, \quad (182. VI)$$

Затем, в зависимости от марки стали по графику рис. 59 или таблице Приложения V находим поправочный коэффициент τ_0 .

Действительное критическое давление будет равно

$$P_{cr} = \tau_0 P_{cr}'. \quad (183. VI)$$

§ 40. Практическая схема расчета устойчивости сферической переборки

Для построения схемы расчета устойчивости сферических переборок применяются исходные данные:

r_0 — радиус сферической переборки;

δ_0 — толщина сферической переборки;

E и ν — упругие константы материала оболочки.

Необходимо определить действительное критическое давление для сферической переборки.

Определяются:

1. Теоретическое значение критического давления по формуле Кармана

$$P_{cr}' = 65 \left(\frac{100 \tau_0'}{r_0} \right)^{\frac{2}{3}}.$$

(для стали)

или

$$P_{cr}' = 0,3 \frac{2}{\sqrt[3]{2(1-\nu^2)}} E \left(\frac{\delta_0}{r_0} \right)^{\frac{2}{3}}.$$

(для любой материи)

2. Целевые скжимающие напряжения в сферической переборке по формуле

$$\sigma_{cr}' = - \frac{P_{cr}' r_0}{2r_0'}.$$

3. Поправочный коэффициент τ_0 по графику рис. 59 или таблице Приложения V.

4. Исходное значение критического давления для сферической переборки по формуле $P_{cr} = \tau_0 P_{cr}'$.

5. Удовлетворение критерия устойчивости сферической переборки

$$P_{cr} \geq p.$$

ГЛАВА VII

РАСЧЕТ ПЛОСКИХ ПЕРЕБОРОК

§ 61. Классификация переборок

По своему назначению плоские переборки подводных лодок разделяются на следующие виды:

1. Переборки радиопротивные с прочным корпусом (переборки, ограничивающие прочный корпус, переборки прочных цистерн). Они рассчитываются на давление, соответствующее расчетной глубине погружения.

2. Переборки, обеспечивающие водонепроницаемость отсеков до заданного по спецификации давления (переборки изнутри корпуса, которые могут подвергаться действию давления в случае аварийного затопления отсека в подводном положении).

3. Переборки, обеспечивающие водонепроницаемость подводных лодок. Эти переборки рассчитываются на давление 0,5—1,0 атм.

Расчет прочности для каждого вида переборок принципиально остается одинаковым и тем же, за исключением некоторых особенностей.

При расчете плоских переборок должна быть проверена прочность и устойчивость листов переборки и ее стоек. Необходимость такой проверки обуславливается совместностью работы прочного корпуса и переборки, поскольку при обхвате прочного корпуса в листах и наборе переборки появляются напряжения сжатия.

Примем следующий порядок расчета плоской переборки. Сначала рассмотрим расчет прочности жестких пластин и пластин конечной жесткости, считая, что сама теория их расчета известна из курса строительной механики корабля. Затем рассмотрим расчет листов переборок на устойчивость, после чего уже остановимся на расчете балок набора переборок. В заключение расчета переборок коснёмся подбора элементов профилей балок набора.

§ 62. Расчет пластин переборок

Пластинами переборок, в зависимости от характера возникающих в них напряжений, разделяются на жесткие, конечной жесткости и гибкие.

Рассмотрим расчет прочности жестких пластин и пластин конечной жесткости как наиболее типичных для корпусных конструкций.

1. Расчет прочности жестких пластин

В жестких пластинах при действии поперечной нагрузки изгибающие напряжения значительно преобразуют по величине целевые напряжения,

В том случае, когда контур пластины прямоугольный, в поперечной нагрузке равномерно распределена и напряжения на опорных кромках жестким пластин не превосходят предела текучести материала, расчет прочности пластины выполняется по обычной схеме.

Поскольку используемые при этом зависимости потребуются в последующем, приведем формулы для расчета жестких пластин.

Принимаем следующие обозначения:

- a — длинная сторона опорного контура;
- b — короткая сторона опорного контура;
- t — толщина пластины;
- w — максимальная стрелка прогиба в центре пластины;
- M_1 — наибольший изгибающий момент в центре пластины в сечении, параллельном короткой стороне;
- M_2 — то же, но в сечении, параллельном длинной стороне;
- M_3 — наибольший изгибающий момент в сечении коротких кромок;
- M_4 — то же, но посередине длинных кромок.

Расчетные формулы при этом имеют вид

$$\left. \begin{array}{l} M_1 = k_1 p b^2 \quad M_3 = k_3 p b^2 \\ M_2 = k_2 p b^2 \quad M_4 = k_4 p b^2 \\ w = k_5 \frac{p b^4}{E t} \end{array} \right\}, \quad (1, VII)$$

Коэффициенты k_i определяются из таблиц Приложений VI, VII, VIII в зависимости от отношения сторон пластины $a:b$ и условий закрепления ее на опорном контуре. Вычисление напряжений производится по формуле

$$\sigma_i = \frac{M z_i}{I} = \pi p \left(\frac{b}{100 T} \right)^2, \quad (2, VII)$$

где

$$\pi = 6 \cdot 10^4 k_7,$$

Если известна величина давления p и допускаемого напряжение $\sigma_{\text{доп}}$, то толщина пластины может быть определена по формуле

$$t = \frac{6 M_{\text{доп}}}{\sigma_{\text{доп}}} = b \sqrt{\frac{6 \sigma_{\text{доп}} E}{\pi}}, \quad (3, VII)$$

В том случае, когда у жестко заделанной по контуру пластины напряжения в опорных сечениях превосходят предел текучести материала, напряженное состояние пластины будет отличаться от предполагаемого, и приведенными формулами пользоваться уже нельзя. Этот случай был рассмотрен В. Ф. Сагали, который исходил из следующих соображений.

Вначале он рассматривает пластину, вытянутую в одном направлении. Это дает основание исследование изгиба пластины заменять исследованием изгиба выделенной из нее балки-полоски единичной ширины, жестко защелзанной по концам и загруженной равномерно распределенной нагрузкой интенсивности p .

При изгибе балки-полоски в упругой зоне имеем $\sigma = \frac{M}{W} = \frac{6M_L}{\rho}$. Изгибающие напряжения в крайних волокнах спирального сечения балки достигнут величины σ_0 , при изгибающем моменте, равном

$$(M_{\text{z}}^{\text{c}})_{\text{упр}} = W\sigma_0 = \frac{\rho}{6} \sigma_0. \quad (4. \text{ VII})$$

Предельное значение изгибающего момента будет

$$(M_{\text{z}}^{\text{c}})_{\text{пред}} = Tz_T = \frac{\rho}{6} \sigma_0. \quad (5. \text{ VII})$$

Таким образом, до образования в спиральном сечении пластинического шарнира изгибающий момент может быть еще увеличен в 1,5 раза. Отметим, что и действительности такое увеличение недопустимо, поскольку оно связано с чрезмерными прогибами балки-полоски. В процессе дальнейшей деформации принимается, что спиральный изгибающий момент остается постоянным. Это позволяет рассматривать балку как свободно изогнутую и нагруженную помимо равномерного давления еще постоянным моментами по концам M_0 . Тогда изгибающий момент в пролете будет равен

$$M_z = \frac{\rho M_0^2}{8} - M_0. \quad (6. \text{ VII})$$

Предполагая, что напряжения в пролете не превосходят предела текучести, будем иметь

$$\sigma_0 = \frac{M_0}{\frac{W}{3}} = \frac{6M_0}{\rho^2} \quad (7. \text{ VII})$$

или, если воспользоваться выражением (6. VII),

$$\sigma_0 = 0,75 \rho \left(\frac{\delta}{l} \right)^2 - \frac{M_0}{W}. \quad (8. \text{ VII})$$

Если вместо M_0 принять его名义альное значение, даваемое зависимостью (4. VII), то для напряжений в пролете с некоторым преувеличением имеем

$$\sigma_0 = 0,75 \rho \left(\frac{\delta}{l} \right)^2 - \sigma_0. \quad (8. \text{ VII})$$

Приняв вместо M_0 его максимальное значение, даваемое выражением (5. VII), получим преуменьшенный результат

$$\sigma_0 = 0,75 \rho \left(\frac{\delta}{l} \right)^2 - 1,5 \sigma_0. \quad (9. \text{ VII})$$

Затем аналогичная формула выводится В. Ф. Сегаль и для пластины с квадратным отношением сторон. У таких пластин максимальный изгибающий момент будет иметь место в середине длинных сторон.

Допустим, что напряжения в спиральных сечениях пластины достигли предела текучести, а спиральные моменты равны M_0 . Определим максимальный изгибающий момент в пролете, считая пластину свободно изогнутой и нагруженной по кромкам постоянными во времени спиральными моментами M_0 . Закон распределения изгибающих моментов по длине каждой кромки пластины примем таким, какой имеет место по показанию пластических деформаций (рис. 92).

Недостаток этого допущения состоит в том, что обе стороны кромки будут в действительности несколько больше, и зона спорных моментов окажется несколько более полной (см. рис. 92). Таким образом, напряжения в пролете будут определены с некоторым преувеличением.

Задачу решим с использованием метода наложения, рассматривая следующие частные случаи:

1. Пластина свободно сверта и загружена только равномерным поперечным давлением.

2. Пластина загружена равномерным давлением и моментами M_0 , приложенными только по жестко заделанным коротким кромкам.

3. Пластина загружена равномерным давлением и моментами M_0 , приложенными только по длинным жестко заделанным кромкам.

Изгибающий момент в пролете сечения, параллельном длиной стороны, для первого случая определяется выражением

$$M_1^{(1)} = k_1^{(1)} \rho b^2.$$

Коэффициент $k_1^{(1)}$ берется из таблицы Приложения VI.

Определим, какое влияние оказывает озорной момент, действующий по коротким кромкам $M_0^{(1)}$, на изгибающий момент в пролете M_1 , действующий в сечении, параллельном длиной кромке. При этом считается, что длинные кромки свободно открыты. При таком закреплении кромок пластины спорный момент на коротких кромках равен $M_0^{(1)} = k_0^{(1)} \rho b^2$, а изгибающий момент посередине пластины в сечении, параллельном длиной кромке, будет $M_1 = k_1^{(1)} \rho b^2$.

Коэффициенты $k_0^{(1)}$ и $k_1^{(1)}$ берутся из таблицы Приложения VIII при $a > b$.

Таким образом, изгибающие моменты, приложенные по коротким сторонам $M_0^{(1)}$, уменьшают изгибающий момент в пролете на величину

$$\Delta M_1 = [k_0^{(1)} - k_1^{(1)}] \rho b^2.$$

В том случае, если изгибающие моменты на коротких спорных кромках будут равны M_0 , изгибающий момент в пролете M_1 уменьшится на величину

$$\Delta M_1^{(2)} = \frac{\Delta M_0}{M_1^{(1)}} M_1 = \frac{k_0^{(1)} - k_1^{(1)}}{k_1^{(1)}} M_0.$$

При наличии M_0 только на длинных сторонах аналогично получим, что изгибающий момент в пролете уменьшится на величину

$$\Delta M_1^{(3)} = \frac{k_0^{(2)} - k_1^{(2)}}{k_1^{(2)}} M_0,$$

причем коэффициенты $k_0^{(2)}$ и $k_1^{(2)}$ берутся из таблицы Приложения VIII при $a < b$.

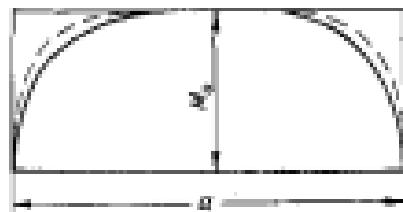


Рис. 92

Таким образом, минимальный изгибающий момент в пролете для рассматриваемого исходного сложного случая можно определить так:

$$M_0 = M_0^{(1)} - \Delta M_0^{(2)} - \Delta M_0^{(3)}$$

или

$$M_0 = E_0^{(1)} p b^2 = \beta_1 M_0,$$

т.е.

$$\beta_1 = \frac{E_0^{(1)} - E_0^{(2)}}{E_0^{(2)}} + \frac{E_0^{(2)} - E_0^{(3)}}{E_0^{(3)}}.$$

Если за M_0 принять его минимальное значение согласно выражению (4. VII), то напряжения в пролете пластины будут

$$\sigma_1 = \sigma_0 p \left(\frac{b}{100} \right)^2 - \beta_1 \sigma_0, \quad (10. VII)$$

где $\sigma_0 = 6 \cdot 10^4 M_0^{(1)}$. Величина напряжений получается с некоторым завышением, так как в действительности опорный момент будет несколько больше M_0 .

Если исходить из максимального значения M_0 согласно ф-ле (5. VII), то напряжения в пролете будут несколько преуменьшены и разны

$$\sigma_1 = \sigma_0 p \left(\frac{b}{100} \right)^2 - 1,5 \beta_1 \sigma_0. \quad (11. VII)$$

Аналогичным путем можно получить выражение для напряжений в пролетном сечении, параллельном торцовой стороне пластины,

$$\sigma_2 = \sigma_0 p \left(\frac{b}{100} \right)^2 - \beta_2 \sigma_0, \quad (12. VII)$$

т.е.

$$\sigma_2 = 6 \cdot 10^4 M_0^{(2)}, \quad \beta_2 = \frac{E_0^{(1)} - E_0^{(2)}}{E_0^{(2)}} + \frac{E_0^{(2)} - E_0^{(3)}}{E_0^{(3)}}.$$

В практических расчетах обычно принимают $M_0 \approx 1,3 \sigma_0 W$ и потому в ф-лах (10. VII) и (12. VII) перед коэффициентами β_1 и β_2 следует поставить множитель 1,3, при этом расчетные формулы будут иметь вид

$$\left. \begin{aligned} \sigma_1 &= \sigma_0 p \left(\frac{b}{100} \right)^2 - 1,3 \beta_1 \sigma_0, \\ \sigma_2 &= \sigma_0 p \left(\frac{b}{100} \right)^2 - 1,3 \beta_2 \sigma_0 \end{aligned} \right\}. \quad (13. VII)$$

Проверка прочности пластики производится по приведенным напряжениям, т. е. напряжениям, соответствующим действительной деформации,

$$\left. \begin{aligned} \sigma_{\text{прив}} &= E \epsilon_1 = \sigma_1 - \mu \sigma_2 < \sigma_1 \\ \sigma_{\text{доп}} &= E \epsilon_1 = \sigma_1 - \mu \sigma_2 < \sigma_1 \end{aligned} \right\}. \quad (14. VII)$$

Поскольку $\sigma_1 > \sigma_2$, то $\sigma_{\text{прив}} > \sigma_{\text{доп}}$ и потому при проверке прочности достаточно воспользоваться только вторым условием соотношений 260

(14. VII). Подставляя в него a_1 и α , из зависимости (13. VII), получим следующее условие прочности для пролетного сечения пластины:

$$a_{sp} = \sigma p \left(\frac{b}{100r} \right)^2 - 1.3\alpha_1 < a_1, \quad (15. VII)$$

где $\alpha = \alpha_1 = \mu\alpha_1$; $\beta = \beta_1 = \mu\beta_1$.

Значения коэффициентов α и β при $\mu = 0.3$ даны в табл. 5.*

В частном случае, когда $\frac{a}{b} = \infty$ и относительное удлинение $a_1 = 0$, получаем следующее условие для проверки прочности:

$$\alpha_{sp} = (1 - \mu^2) a_1 < a_1$$

или, учитывая зависимость (15. VII) и значение $\mu = 0.3$, имеем

$$a_{sp} = 6825p \left(\frac{b}{100r} \right)^2 - 1.180a_1. \quad (16. VII)$$

Из формулы (16. VII) получаем следующее выражение для определения наименьшей толщины пластины, у которой на опорных кромках имеют место пластические деформации:

$$t_{min} = \sqrt{\frac{a_1}{a_1 + 1.3\alpha_1}} \cdot \frac{b}{100} \sqrt{p}. \quad (17. VII)$$

Формулы (15. VII) и (17. VII) используются при расчете прочных межлистовых переборок.

Для того, чтобы убедиться, что рассчитанная пластина относится к классу жестким, пользуются соотношением

$$\frac{\sigma_{pl}}{\sigma} < 0.3. \quad (18. VII)$$

В противном случае пластина относится к пластинам конечной жесткости, и изложенной методикой расчета пользоваться уже нельзя.

2. Расчет пакетов конечной жесткости

К пластинам конечной жесткости относятся пластины, у которых помимо изгибных напряжений возникают значительные шелевые напряжения. Цешные напряжения обычно имеют место при условии, если опорные кромки пластины лишены возможности сближаться.

Прочность листов переборки определяется величиной суммарных напряжений в пролете пластины, а жесткость — величиной наибольшей стрелки прогиба при действии на пластину расчетной нагрузки.

В том случае, когда напряжения на опорных кромках превосходят предел текучести материала, существенно может изменяться величина суммарных расчетных напряжений, возникающих в центре пластины. Поэтому определение напряжений на горных кромках имеет целью проверить, переходит ли там напряжение за предел текучести или нет.

Если напряжения на кромках не превосходят предела текучести, пластину можно рассматривать как жестко закрепленную по кромкам.

* Таблица 5 заимствована из книги В. Ф. Сагала „Строительные машины подводной лодки”, Судостроение, 1940.

Таблица 5

$a : b$	α	β	a_{sp}	a_1	β
1.0	2010	0.391	3.0	5235	0.347
1.1	2430	0.422	3.0	5430	0.340
1.2	2860	0.453	4.0	6770	0.336
1.3	3290	0.483	5.0	6390	0.336
1.4	3720	0.513	10	6825	0.339
1.5	4150	0.527			

Если оказывается, что предел текучести материала на кромках превышен, то за действительные напряжения в пролете и за действительную стрелку прогиба пластины принимают среднее геометрическое из значений, полученных для свободно опорной и жестко закрепленной пластин.

Определение напряжений в пластинах конечной жесткости, свободно опорных на жесткий контур, одна сторона которого велика по сравнению с другой, производится по формулам (при $E = 2,15 \cdot 10^5$ кг/см²; $\nu = 0$; $M = 0$):⁴

$$\sigma = \frac{1600}{\pi^2 k} \cdot \frac{E_1}{F} \left(\frac{t}{b} \right)^4 \approx \frac{38}{\pi^2 k} \left(\frac{100V}{b} \right)^4,$$

$$q = \frac{E_1 E^2}{3} \left(\frac{t}{b} \right)^3 \approx 80 t^3 \left(\frac{100V}{b} \right)^3,$$

$$\sigma_1 = q + \frac{3}{4} P \left(\frac{b}{t} \right)^3 \chi_1(u),$$

$$\omega_1 = \frac{b}{32} \cdot \frac{P}{E_1} \left(\frac{b}{t} \right)^4 I_{20}(u) \approx 6,9pt \left(\frac{b}{100} \right)^4 \varphi_1(u),$$

где b — длина короткой стороны опорного контура;

t — толщина пластины;

P — величина внешней нагрузки;

$E_1 = \frac{E}{1-\nu^2}$ — праведенный модуль Юнга (при $\nu = 0,20$ $E_1 = 1,10E$);

$k = \frac{P}{F+t}$ — коэффициент распора, характеризующий возможность сближения длинных сторон опорного контура, где F — площадь сечения связей (распоров), препятствующих сближению длинных сторон опорного контура, отнесенная к единице длины опорного контура;

χ — коэффициент, характеризующий степень заделки пластины на опорной кромке ($0 < \chi < 1$);

q — линейное напряжение, вызывающее вследствие невозможности свободного сближения длинных сторон опорного контура;

M — момент реактивной пары, приходящийся на единицу длины пластины, определяемый по формуле $M = M_0$. Здесь M_0 — момент реактивной пары в случае полного закрепления пластины на опорном контуре;

$a^2 = \frac{32}{E_1^2 k^2} q$ — аргумент, характеризующий явление изгиба тонкой пластины и служащий мерой ее гибкости;

σ_1 — наибольшее напряжение в середине ненагруженной поверхности пластины;

σ_2 — наибольшее напряжение у опорного контура (при $\chi = 1,0$);

w_1 — наибольшая стрелка прогиба.

Порядок расчета заключается в следующем. По заданным размерам пластины b и t , нагрузке P и коэффициенту распора k вычисляется величина $16pt$. Далее, при помощи таблицы вспомогательных функций Приложения IX находят аргумент a и значения функций $\chi_1(u)$ и $\varphi_1(u)$, соответствующие найденной величине $16pt$. Найдя значения величин σ_1 ,

⁴ Формулы заимствованы из Справочника по строительной механике кораблей, Т. 2. Судостроение, 1958.

$\chi_1(u)$ и $\varphi_1(u)$, по приведенным формулам вычисляют членное напряжение σ_1 и наибольшую стрелку прогиба w_1 .

В том случае, если пластина вполне закреплена за оборонную контура, используются следующие формулы (при $E = 2,15 \cdot 10^4 \text{ кг}/\text{см}^2$; $\nu = 1$; $M = M_0$):

$$\sigma_1 = \frac{160}{\pi^2 E} \cdot \frac{E_1}{F} \left(\frac{t}{b}\right)^4 = \frac{38}{\rho \sqrt{E}} \left(\frac{100u}{b}\right)^4,$$

$$q = \frac{E_1 u^2}{2} \left(\frac{t}{b}\right)^2 = 80u^2 \left(\frac{100u}{b}\right)^2,$$

$$\sigma_1 = q + \frac{\rho}{4} \left(\frac{b}{t}\right)^2 \chi_1(u),$$

$$\sigma_2 = q + \frac{\rho}{2} \left(\frac{b}{t}\right)^2 \chi_2(u),$$

$$w_1 = \frac{1}{32} \cdot \frac{\rho}{E_1} \left(\frac{b}{t}\right)^6 f_{w_1}(u) \approx 1,4\rho t \left(\frac{b}{100u}\right)^6 \chi_1(u).$$

Порядок расчета аналогичен предыдущему случаю. Определив при помощи таблицы Приложения IX по аргументу u значение функций $\chi_1(u)$, $\chi_2(u)$ и $\varphi_1(u)$, соответствующие найденной величине $100u/b$, по приведенным формулам вычисляют членное напряжение σ_1 , полное напряжение у оборонного контура σ_2 , наименьшую пластины σ_1 и наибольшую стрелку прогиба w_1 .

§ 63. Исследование устойчивости листов переборок

При проверке устойчивости отсека прочного корпуса предполагают, что ограничивающие его переборки являются жесткими в своей плоскости. Поэтому для суждения о том, являются ли плоские переборки жесткими опорами для обшивки прочного корпуса, необходимо проверять, не потеряют ли листы переборки устойчивости при обжатии прочного корпуса.

Для исследования устойчивости листов переборок необходимо знать усилия взаимодействия между цилиндрической оболочкой прочного корпуса и переборкой в месте их соединения. Усилия взаимодействия определяются из условия равенства радиального перемещения переборка и перемещения наподкрепленной поперечными ребрами жесткости цилиндрической оболочки. Цилиндрическая оболочка рассматривается неподкрепленной потому, что это значительно упрощает исследование, не внося существенной погрешности в результат.

1. Деформации переборки

При рассмотрении деформации переборки наличием набора будем пренебрегать. Тогда переборку можно будет уподобить круговому диску толщиной t , подвергнутому обжатию приложенными по контуру равномерно распределенными усилиями взаимодействия интенсивности φ . Сжимающие напряжения в таком диске одинаковы во всех точках и во всех площадках и равны $\sigma = -\frac{f}{r}$. Поэтому относительное сжатие в направлении радиуса переборки будет

$$\epsilon = \frac{1}{E} (\sigma - \mu \sigma_1) = -\frac{f}{EI} (1 - \mu) \quad (19. \text{VII})$$

и соответствующее уменьшение радиуса переборки равно

$$\Delta_a = \pi r = -\frac{I^2}{E I} (1 - \mu). \quad (20. VII)$$

2. Деформация цилиндрической оболочки

Перемещение круговой цилиндрической оболочки под действием сил взаимодействия с поперечной переборкой φ определяется выражением

$$\Delta_a = \frac{\pi r^2}{2 E I} \cdot \frac{\sqrt{3(1-\mu^2)}}{\sqrt{r^2}} f(u), \quad (21. VII)$$

где

$$u = \frac{l}{\sqrt{r^2}} \cdot \frac{\sqrt{3(1-\mu^2)}}{2}.$$

При $\mu = 0,3$

$$\Delta_a = 0,8425 \frac{l}{E I} \cdot \frac{r^2}{\sqrt{r^2}} f(u), \quad (22. VII)$$

т.е.

$$u = 0,8425 \frac{l}{\sqrt{r^2}}.$$

Значения функции $f(u)$ приведены в табл. 6.*

Таблица 6

u	0,1	0,2	0,3	0,4	0,5	0,6	0,7	0,8	0,9	1,0	1,5	2,0	2,5	2,7	3,0	4,0
$f(u)$	20,0	10,0	6,0	5,0	4,0	3,14	2,56	2,51	2,24	2,07	1,416	1,371	1,122	1,094	1,089	1,020

Выражение (21. VII) получено путём решения задачи об изгибе круговой цилиндрической оболочки длиной l , загруженной по периметру φ средним сечением нагрузкой интенсивности φ (рис. 93).

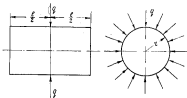


Рис. 93

Эта задача в свою очередь сводится к задаче об изгибе сосредоточенной силой q балки, лежащей на сплошном упругом основании.

* Таблицы единичных изгибов из книги В. Ф. Соколь «Строительные машины подводной лодки». Судостроение, 1940.

Постоянные интегрирования, входящие в выражение общего интеграла, определялись из условия

$$\left. \begin{aligned} w' &= 0 \\ Dw'' &= q \end{aligned} \right| \text{ при } x = 0.$$

Так как влияние переборки на перемещения оболочки затухает быстро, практически на протяжении одной шпации, то для определения Δ_0 можно пользоваться аналогичным решением для бесконечно длинной оболочки, для которой $f(x) = 1$.

Радиальное перемещение круговой цилиндрической оболочки под действием равномерного нормального давления p , как было уже получено ранее (см. ф-лу (147.1)), определяется выражением

$$w = \frac{pr^2}{E\lambda} \left(1 - \frac{r}{2}\right). \quad (23. VII)$$

3. Определение усилий взаимодействия

Уравнение для определения усилий взаимодействия можно записать исходя из равенства радиальных перемещений поперечной переборки и цилиндрической оболочки в месте их соединения

$$\Delta_0 = \delta - \Delta_{\lambda}, \quad (24. VII)$$

или, в развернутом виде,

$$\frac{pr^2}{E\lambda} \left(1 - \frac{r}{2}\right) = \frac{pr}{E\lambda} (1 - \mu) + \frac{qr^2}{2E\lambda} \cdot \frac{\sqrt{2(1-\mu)}}{\sqrt{\lambda}} f(x),$$

откуда находим

$$q = \frac{1 - \frac{\mu}{2}}{\frac{3}{T}(1 - \mu) + \frac{r}{\sqrt{\lambda}} \cdot \frac{\sqrt{2(1-\mu)}}{2} f(x)} pr. \quad (25. VII)$$

При $\mu = 0,3$

$$q = \frac{0.6pr}{0.7 \frac{r}{T} + 0.6425 \sqrt{\frac{r}{\lambda}} f(0)}. \quad (26. VII)$$

В практических расчетах можно принять $f(x) = 1$, и тогда (26. VII) примет вид

$$q = \frac{0.6pr}{0.7 \frac{r}{T} + 0.6425 \sqrt{\frac{r}{\lambda}}}. \quad (27. VII)$$

4. Определение критических напряжений пластин

Теперь можем перейти к определению критических напряжений пластин переборки. Будем рассматривать пластину размерами $a \times b$, как это обычно принимается, свободно опертой на контур и нагруженной по длинице кромкам равномерной нагрузкой интенсивности q (рис. 94). При этом имеет место погрешность, направленная в беззаскую сторону.

Если перпендикулярно сторонам a действуют сжимающие напряжения $\sigma_1 = -\frac{b}{a}$, то сжимающие напряжения σ_3 , перпендикулярные коротким сторонам b и соответствующие моменту потери устойчивости, определяются с помощью одной из трех формул, рассматриваемых ниже.

Если задано сжимающее или растягивающее напряжение σ_1 , то можно определить величину и знак напряжения σ_3 , при котором нарушается устойчивость пластины.

Введем обозначения:

a — длина сторон контура пластины, нагруженных заданной нагрузкой;

b — длина сторон контура пластины, на которую на которое требуется определить.

Если заданное напряжение σ_1 удовлетворяет неравенству

$$\sigma_1 < -\epsilon_b^2 \left(5 + 2 \frac{b^2}{a^2} \right),$$

где

$$\epsilon_b^2 = \frac{\pi^2 E^2}{12(1-\nu^2)} \cdot \frac{b^2}{a^2} \approx 2 \cdot 10^4 \frac{b^2}{a^2},$$

то устойчивость пластины нарушается при напряжении σ_3 , определяемом выражением

$$\sigma_3 = -\frac{\pi^2 a^2}{b^2} \sigma_1 = \epsilon_b^2 \left(\frac{b}{a} + a^2 \frac{a}{b} \right)^2.$$

Входящее в это выражение целое число a должно удовлетворять условию

$$-(\epsilon_b^2 (2a^2 + 2a + 1 + 2 \frac{b^2}{a^2})) < \sigma_1 < -\epsilon_b^2 (2a^2 - 2a + 1 + 2 \frac{b^2}{a^2}).$$

Если заданное напряжение σ_1 удовлетворяет неравенству

$$\sigma_1 > \epsilon_b^2 \left(4 \frac{b^2}{a^2} - 1 \right),$$

то устойчивость пластины нарушается при напряжении σ_3 , определяемом выражением

$$\sigma_3 = -\frac{a^2}{b^2 \sigma_1} \sigma_1 = \epsilon_b^2 \left(a \frac{b}{a} + \frac{a}{b} \right)^2.$$

Входящее в это выражение целое число a должно удовлетворять условию

$$\epsilon_b^2 \left[a^2 (a + 1) \frac{b^2}{a^2} - 1 \right] > \sigma_1 > \epsilon_b^2 \left[a^2 (a - 1) \frac{b^2}{a^2} - 1 \right].$$

Если заданное напряжение σ_1 не удовлетворяет ни одному из приведенных выше неравенств, то устойчивость пластины нарушается при напряжении σ_3 , определяемом выражением

$$\sigma_3 = -\frac{a^2}{b^2} \sigma_1 = \epsilon_b^2 \left(\frac{b}{a} + a^2 \frac{a}{b} \right)^2.$$

Наличие рассмотренных выше трех формул объясняется тем, что существует ряд совокупных значений σ_1 и σ_2 , при которых может быть нарушена устойчивость пластины, в зависимости от размеров пластины и числа получавшихся при потере ее устойчивости полуволни λ .

После того как критическое напряжение σ_c , при котором пластина теряет устойчивость, определено, приступаем к проверке ее устойчивости с учетом совместного сжатия со стойками переборки.

Приближенные значения средних напряжений сжатия в листе переборки со стойками, исходящими площадь поперечного сечения F , будут

$$\sigma_1 = \frac{q^b}{M+F} = \frac{q}{1 + \frac{F}{M}}. \quad (28. VII)$$

На сравнение напряжений σ_1 и σ_c судят об устойчивости рассчитываемой пластины, а следовательно, и переборки.

Критерием устойчивости листов переборки служит неравенство

$$\sigma_1 < \sigma_c. \quad (29. VII)$$

Если это неравенство не выполняется, то толщина листов t должна определяться из условия обеспечения устойчивости пластики переборки при расчётом давлении p .

Заметим, что к моменту проектирования прочного корпуса профиль стоек переборок еще не определен и поэтому площадь их сечения F неизвестна. В первом приближении можно рекомендовать принимать F по прототипу для близкой однотипной конструкции. В последующем, когда F точно будет определено, производят уточнение расчета.

§ 64. Расчет прочности балок набора переборок

Для расчета прочности балок набора переборок необходимо знать приложившуюся на них нагрузку. Распределение нагрузки на балки набора производится обычным порядком, как это принято при расчете перекрытий кадровых кораблей. Если нагрузка воспринимается одновременно и вертикальными стойками (балками главного направления) и горизонтальными шельфами (перекрестные связи), то распределение нагрузки между балками можно принять в соответствии с рис. 96.

Если вся нагрузка непосредственно приходится на стойки (балки главного направления), а последние в свою очередь передают давление в виде сосредоточенных сил на перекрестные связи, то распределение погонной нагрузки для стоек производится по формуле

$$q = pb, \quad (30. VII)$$

где b — давление на переборку в kg/cm^2 ;

b — ширина пластины (расстояние между стойками) в см.

При определении погонной нагрузки на крайнюю стойку учитывается, что половина давления воспринимается контуром переборки, т. е. прочным корпусом. После распределения нагрузки, приходящейся на переборку, между балками набора производится определение усилий взаимодействия между ними, что дает возможность перейти к расчету стоек и шельфа в отдельности.

Вычисление необходимых для расчета изгибающих моментов и перерезывающих сил производится обычным порядком по общим правилам строительной механики.

Несколько проще получается расчет, когда жесткость перекрестной балки скользит вдоль большой по сравнению с жесткостью стоек. В этом случае стойки могут рассматриваться как балки, имеющие жесткие торцы.

Наличие податливости опор может изменять величину реакций взаимодействия между балками набора и существенно повлиять на расчетные значения усилий. В этом случае можно рекомендовать следующий метод последовательных приближений для расчета балок набора.

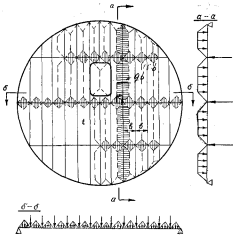


Рис. 35

Определяют реакции взаимодействия между стойками и штыревами, принимая последние за жесткие опоры. При этом предположений производится определение расчетных изгибающих моментов M_1 и передающихся сил N_1 , по которым подбираются профили балок. Имея профили балок набора в первом приближении, можно уточнить усилия взаимодействия между ними исходя из равенства прогибов в точках их пересечения.

Определив уточненные значения реакций, находят новые значения расчетных M_2 и N_2 , которые могут отличаться от ранее определенных.

ных до 30% в зависимости от конструкции переборки. После этого производится подбор профиля балок набора во втором приближении.

Достаточно выполнение одного такого расчета для определенного типа конструкции, чтобы оценить возможные податливости, которые в отдельных случаях (например, мощный шельф) может и не учитываться.

§ 46. Подбор профиля балок набора *

Подбор элементов профиля балок набора производится после того, как окончательно установлена толщина листов переборки и известны расчетные значения изгибающего момента M и перерезывающей силы N . В подавляющем числе случаев балки набора имеют тавровый профиль, который вместе с присоединенным поясом листа переборок образует уже двутавровое сечение. Профиль выбирается таким образом, чтобы нормальные и касательные напряжения не превышали допускаемых для них норм при действии расчетной нагрузки на переборку.

Следует заметить, что на элементы профиля (стенку и пояс) влияет характер воспринимаемых ими усилий. Если определяющей оказывается перерезывающая сила, то возрастает площадь стены при умеренной ее высоте. Если определяющим является изгибающий момент, то возрастают высота стены и площадь свободных поясов.

После того как будут подготовлены необходимые зависимости, рассмотрим каждый из упомянутых случаев загрузки балок в отдельности.

1. Определение минимального момента сопротивления

Для решения задачи о подборе профиля выразим формулу для вычисления минимального момента сопротивления двутаврового профиля. Одновременно представляется возможным исследовать влияние отдельных частей профиля на величину его момента сопротивления.

Введем обозначения (рис. 96):

S — площадь сечения меньшего пояса;

S' — площадь сечения большого пояса;

a — площадь поперечного сечения стены.

Пренебрегая толщиной поясков по сравнению с высотой балки h , измеряемой между центрами тяжести поясов, и приняв за ось симметрии ось меньшего пояса, найдем

а) площадь сечения профиля

$$A = S' + S + a,$$

б) статический момент этой площади относительно оси симметрии

$$B = AS' + \frac{1}{3} Ah^3.$$

в) отстояние нейтральной оси поперечного сечения от оси симметрии

$$h_1 = \frac{B}{A} = h \frac{S' + 0.3a}{S' + S + a},$$

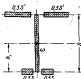


Рис. 96

* Определение минимального момента сопротивления сечения и подбор поперечного сечения составного профиля приведены по П. Ф. Папкоеву (П. Ф. Папкоев. Строительная механика кораблей. Ч. I. Т. II. „Морской транспорт”, [1942]).

г) момент инерции площади сечения относительно нейтральной оси

$$I = S' h^2 + s \left(\frac{h}{3} \right)^2 + \frac{sh^2}{12} - \frac{Sh^2}{A} = S' h^2 + \frac{sh^2}{3} - \frac{Sh^2 (S' + 4s) / 3}{S' + S + s} = \\ = h^2 \frac{\left(S' + \frac{s}{3} \right) (S' + S + s) - \left(S' + \frac{s}{3} \right)^2}{S' + S + s} = h^2 \frac{S' S + \frac{s^2}{3} \left(S' + S + \frac{s}{3} \right)}{S' + S + s}, \quad (31. VII)$$

д) наименьший момент сопротивления сечения

$$W = \frac{I}{k_1} = h \frac{S' S + \frac{s^2}{3} \left(S' + S + \frac{s}{3} \right)}{S' + \frac{s}{3}} = h \frac{2S' S + sS - sS + \frac{2}{3} s \left(S' + S + \frac{s}{3} \right)}{2S' + s} = \\ = h \left(S + \frac{s}{6} + \frac{4S' - 2s + s}{2S' + s} \right). \quad (32. VII)$$

Формулу (32. VII), предложенную И. Г. Бубновым, удобно записать в виде

$$W = h \left(S + \frac{s}{K} \right), \quad (33. VII)$$

где

$$K = 6 \frac{2S' + s}{4S' - 2s + s}. \quad (34. VII)$$

Из формулы (34. VII) видно, что K изменяется в пределах от 3 до 6. Точное значение этого коэффициента в каждом частном случае может быть определено с помощью таблицы Приложения X. Из ф-лы (33. VII) видно, что наибольшее влияние на величину W оказывает площадь меньшего пояса S .

2. Приближенное выражение для приведенной площади стеки профиля

Общем выражением для определения касательных напряжений в стеке профиля является известная формула

$$\tau = \frac{N S}{B}, \quad (35. VII)$$

где t — толщина стенки профиля;

N — величина передаваемой силы в данном сечении;

I — момент инерции сечения относительно поперечной оси;

S — статический момент относительно нейтральной оси части площади сечения, отсекаемого горизонтальной прямой, проходящей через точку, для которой определяются касательное напряжение.

Обозначим

$$\bar{s} = \frac{H}{3}, \quad (36. VII)$$

Тогда ф-л (35. VII) можно будет придать вид

$$\tau = \frac{N}{\bar{s}},$$

Таким образом, \bar{t} является той приведенной площадью сечения стеки, по которой равномерно распределяется перерезывающая сила N , вызываемая в ней касательные напряжения, равные t . На фиг. (35. VII) видно, что касательные напряжения t для различных точек сечения (по высоте профиля) имеют различные значения, так как толщина стеки t и момент инерции I для данного профиля — величины постоянные, а статический момент S — величина переменная. Значение приведенной площади стеки \bar{t} при S_0 вычисляемом относительной центральной оси профиля, оказывается связанным с истинной площадью t зависимостью $\bar{t} = (0,80—0,85) t$, спроецированной при $\frac{\bar{x}}{S} = 3$.

Таким образом, окончательно будем иметь

$$t = \frac{N}{E_{\text{ст}}} \cdot \quad (37. \text{VII})$$

где $k_1 = 0,80—0,85$.

Учитывая некоторые запасы в расчетном давлении, этот коэффициент для расчета в первом приближении никогда не может равняться $k_1 \approx 1,0$.

В. Выбор конструктивных сечений стеки составного профиля находя из выражения со перерезывающей силой

При рассмотрении этого случая подсекают определение высоты h и толщины t стеки. Как высота стеки h , так и ее толщина t являются для данной площади t — величинами, взаимными между собою. Поэтому предел увеличения h лимитируется в какой-то мере уменьшением толщины t . Толщина стеки выбирается, с одной стороны, из соображения износа, т. е. толщина стеки не должна быть меньше некоторого предела t_0 , с другой стороны, из соображения устойчивости стеки, т. е. отложение $t_0 = \frac{h}{f}$ не должно превосходить некоторой определенной величины.

Величина t_0 , вполне гарантирующая устойчивость стеки профиля, определяется в зависимости от предела текучести материала и для наиболее распространенных марок сталей равна

$$\left. \begin{array}{l} t_0 = 2200 \text{ кг/см}^2 \quad m < 80 \\ t_0 = 3000 \text{ кг/см}^2 \quad m < 70 \\ t_0 = 4000 \text{ кг/см}^2 \quad m < 60 \end{array} \right\}. \quad (38. \text{VII})$$

Зная отложение t_0 и площадь сечения стеки профиля, можно определить его высоту. Действительно, $f = \frac{h}{t}$ и одновременно $f = \frac{h}{t_0}$.

Таким образом, $\frac{h}{t} = \frac{h}{t_0}$, откуда

$$h = \sqrt{mt_0}. \quad (39. \text{VIII})$$

Подставив в выражение (39. VII) минимально необходимое значение площади стеки, равное

$$m = \frac{\bar{t}}{0,85} = \frac{N}{7,85 \cdot \sigma_{\text{тек}}}, \quad (40. \text{VII})$$

получим

$$h = h_{\min} = \sqrt{\frac{N_m}{0.85 t_{\max}}}.$$

Соответствующая этой высоте толщина стенки профиля будет

$$t = \frac{h_{\min}}{m} = \sqrt{\frac{N}{0.85 t_{\max} m}}. \quad (41. VII)$$

Если полученная таким образом толщина стенки t будет больше t_0 , назначенной из соображений износа, то из найденных значений h_{\min} и t можно остановиться.

Если же соотношение $t > t_0$ не удовлетворяется, то следует принять $t = t_0$ и максимальную высоту стенки определить по формуле

$$h_{\max} = \frac{N}{t_0} = \frac{N}{0.85 t_{\max} t_0}. \quad (42. VII)$$

4. Выбор поперечного сечения стены составного профиля воздле износарства ее изгибающего момента

До сих пор мы рассматривали расчет двухтаврового профиля, считая, что основное значение имеет перерезывающая сила N . Однако на практике часто бывает, что доминирующее значение имеет не N , а изгибающий момент M . Необходимый момент сопротивления определяется из условия

$$\Psi = \frac{M_{\min}}{c_{\min}}, \quad (43. VII)$$

Далее определим оптимальную высоту стенки профиля, обеспечивающую наименьший вес профиля при заданном Ψ .

Площадь поперечного сечения собственно профиля определяется формулой

$$F = S + a, \quad (44. VII)$$

Момент сопротивления сечения профиля с присоединенными полосами листов переборки, согласно выражению (33. VII), имеет вид

$$\Psi = h \left(S + \frac{a}{k} \right),$$

откуда

$$S = \frac{\Psi}{k} - \frac{a}{k}. \quad (45. VII)$$

Устойчивость стены обеспечивается, если соблюдено условие $\frac{h}{k} = m$ и, следовательно,

$$a = kE = \frac{\Psi}{m}. \quad (46. VII)$$

Подставив в формулу (44. VII) выражение (46. VII), получим

$$F = \frac{\Psi}{k} + \frac{\Psi}{m} \cdot \frac{k-1}{k}.$$

Площадь сечения профиля, определяемая этим равенством, обращается в минимум при δ , удовлетворяющем уравнению

$$\frac{\partial F}{\partial \delta} = -\frac{W}{\delta^2} + \frac{2(k-1)}{k} \cdot \frac{\delta}{m} = 0,$$

откуда

$$h_{opt} = \sqrt{\frac{1}{2} W m \frac{k}{k-1}}. \quad (47. VII)$$

Толщина стекки, соответствующая этой высоте, равна

$$t = \frac{h_{opt}}{k} = \sqrt{\frac{1}{2} W \frac{1}{m} \frac{k}{k-1}}. \quad (48. VII)$$

В том случае, когда $t < t_0$, оптимальную высоту профиля определяем из условия износа его стекки. Тогда равенство (45. VII) принимает вид

$$S = \frac{W}{k} - \frac{s}{k} = \frac{W}{k} - \frac{M_0}{k},$$

следовательно,

$$F = s + S = M_0 + \frac{W}{k} - \frac{M_0}{k} = \frac{W}{k} + \frac{k-1}{k} M_0.$$

Возьмем производную от функции F по k и приравняем ее нулю, получим

$$\frac{\partial F}{\partial k} = -\frac{W}{k^2} + \frac{k-1}{k} t_0 = 0,$$

откуда

$$h_{opt} = \sqrt{\frac{k}{k-1} \cdot \frac{W}{t_0}}. \quad (49. VII)$$

Подставив в ф-лу (49. VII) предельные значения k , равные 6 и 3, получим

$$h_{opt} = 1,10 \sqrt{\frac{W}{t_0}} \quad (50. VII)$$

$$h_{opt} = 1,23 \sqrt{\frac{W}{t_0}}$$

или, при среднем значении коэффициента,

$$h_{opt} = 1,16 \sqrt{\frac{W}{t_0}}. \quad (51. VII)$$

Соответственно подставив значения $k = 6$ и $k = 3$ в ф-лу (47. VII), получим

$$h_{opt} = 0,84 \sqrt{W m} \quad (52. VII)$$

$$h_{opt} = 0,91 \sqrt{W m}$$

или, при этом среднее значение коэффициента перед радикалом, имеем

$$k_{\text{ср}} = 0,88 \sqrt{Wm}. \quad (53. \text{VII})$$

При выполнении практических расчетов можно пользоваться ф-лой (51. VII) в том случае, если толщина стеки определена из условия износа, а ф-лоя (53. VII) — в остальных случаях.

Полученная в результате выполнения этого расчета площадь стеки должна быть проверена на восприятие перерывающей силы N .

Теперь все необходимые зависимости для подбора элементов двутаврового профиля подготовлены. Практический подбор элементов профиля будет приведен в следующем параграфе.

§ 66. Практическая схема расчета плоской переборки

Требуется произвести расчет плоской внутренней переборки, покрепленной стойками и штырями. Расстояние между стойками и положение щельфа известны.

Порядок выполнения расчета может быть следующим:

1. Производится определение толщины пластины по ф-лам (3. VII) или (17. VII) в зависимости от величины напряжений, возникающих в опорных сечениях пластины. После этого по ф-ле (1. VII) вычисляется прогиб $\varphi_{\text{ср}}$.

2. Определяется, к какому классу относится рассчитываемая пластина:

если $\frac{\varphi_{\text{ср}}}{t} < 0,30$, то к жестким пластинам;

если $\frac{\varphi_{\text{ср}}}{t} > 0,30$, то к пластинам ковочной жесткости.

В зависимости от класса пластины и продолжается дальнейший расчет. При этом обращается внимание на напряжения, возникающие на опорных кромках. Если они превосходят предел текучести материала, то за действительные напряжения и прогибы принимается среднее арифметическое для жестко заделанной и свободно опорной пластин.

Расчет считается оконченным, если наибольшее общее напряжение в центре пластины не превосходит $\sigma_{\text{ср}}$.

3. Производится исследование устойчивости листов переборок в таком порядке:

а) по формуле (26. VII) определяются усилия взаимодействия φ между переборкой и прочным корпусом, а затем напряжение $\sigma_1 = \frac{\varphi}{t}$.

Критическое напряжение σ_c определяем, используя неравенство § 63;

б) определяется среднее напряжение сжатия в листе переборки со стойкой a_s по ф-ле (28. VII), причем площадь стойки F в первом приближении принимается по прототипу;

в) производится сравнение напряжений σ_1 и σ_s . Если $\sigma_1 < \sigma_s$, то устойчивость листов переборки считается обеспеченной.

4. В соответствии с методикой расчета балок, изложенной в § 64, производим расчет балок набора. Предварительно между балками расположивается нагрузка, приходящаяся на всю переборку, после чего определяются усилия взаимодействия между балками, считая, что они опоры на жесткие опоры. Находим расчетные значения $M_{\text{рас}}$ и $N_{\text{рас}}$ в результате построения эпюры для каждой балки.

5. В соответствии с § 65 производим подбор профиля двутавровых балок, используя полученные значения $N_{\text{рас}}$ и $M_{\text{рас}}$. Считаем, что опре-

деляющим является изгибающий момент. В этом случае порядок расчета такой:

а) из формулы (40. VII) находим необходимую площадь стены w_2 ;

б) оптимальную высоту стены балки h_{opt} определим по ф-ле (53. VII), если же толщина стены t задана из условия износа, то по ф-ле (54. VII). В этих формулах W находится по выражению (43. VII), в m выбирается в зависимости от t , материалы по соотношениям (38. VII).

Таким образом, находим $w_2 = h_{opt}t$. При этом w_2 должно удовлетворять условию $w_2 \geq w_1$;

в) ширина большого пояска S' принимается равной $0.7h$, но не более $1/6 a$. Площадь меньшего пояска определяется по ф-ле (54. VII)

$$S_2 = \frac{W}{h} - \frac{w_2}{45}. \quad (54. VII)$$

Определив S_2 в первом приближении, уточняем с помощью таблицы Приложения X значение k в зависимости от отношений $\frac{S'}{S}$ и $\frac{w_2}{S}$. После этого находим второе приближение $S_2 = \frac{W}{h} - \frac{w_2}{k}$, из которого обычно и заканчивается подбор площади меньшего пояска.

Таким образом, элементы профилей найдены;

г) определяется момент сопротивления полученного профиля по ф-ле (32. VII), а также его момент инерции, вычисляемый по формуле

$$I = W^2h - k^2 \left(S + \frac{w}{h} \right) \frac{S' + 0.5w}{S' + S + w};$$

д) в том случае, когда определяющим является не изгибающий момент, а перерезывающая сила N , минимальная высота стены вычисляется по ф-ле (40. VII)

$$h = h_{min} = \sqrt{\frac{N}{M_{min}}} = \sqrt{\frac{N_{min}}{0.85M_{min}}},$$

и толщина

$$t = \frac{h_{min}}{n}.$$

В последующем расчет ведется в соответствии с п. „з“ и „т“.

б) После того как элементы профиля балок в первом приближении определены, можно уточнить условия взаимодействия между ними с учетом податливости опор, поскольку теперь имеется профиль балок в первом приближении. До этого такого расчета выполнить было бы нельзя. Для раскрытия статической неопределенности взаимодействия между балками составляют уравнения исходя из равенства прогибов балок в узлах. После этого определяются уточненные значения расчетных усилий M_{min} и N_{min} . По таким значениям M_{min} и N_{min} находятся элементы балок во втором приближении в соответствии с п. б.

7. После уточнения элементов балок производят повторный расчет устойчивости пластики в соответствии с п. 3.

8. После окончательного выбора элементов балок набора производят проверочный расчет прочности по формулам

$$\sigma = \frac{M_{max}}{W} \leq \sigma_s,$$

$$\tau = \frac{N}{0.85A_1} \leq \tau_s.$$

9. Определяем напряжение в сварных швах, соединяющих пакеты со стенкой, по формуле

$$\tau = \frac{N}{0,7ab} \leq \tau_{th},$$

где a — калибр шва.

10. Определим вес переборки, складывающейся из веса листов и набора.

Следует заметить, что доминирующее влияние на вес переборки оказывают листы переборки, а не ее набор. Поэтому необходимо уделить внимание выбору оптимального соотношения размеров пластин. Может оказаться, что увеличение числа стоеч дает возможность снизить толщину листов переборки и получить и результаты выигрыши в весе.

ГЛАВА VIII

РАСЧЕТ СОСТАВНЫХ ШПАНГОУТОВ, СОСТОЯЩИХ ИЗ КРУТОВЫХ СТЕРЖНЕЙ

§ 67. Основные понятия, определения и допущения

При расчете конструкций корпусы подводных лодок возникает необходимость расчета составных шпангоутов, под которыми понимают шпангоуты, состоящие из круговых стержней различного радиуса кривизны. С точки зрения строительной индустрии составные шпангоуты представляют собой сложные криволинейные рамы.

Под сложной криволинейной рамой понимается рама, в одном из узлов которой сходятся более чем два стержня и при этом хотя бы один из них должен быть криволинейным. Такие сложные криволинейные рамы можно встретить в районе средней кастрюны, в районе бортовых отсеков полуповоротных и двухкорпусных подводных лодок.

Прежде чем перейти непосредственно к расчету составных шпангоутов, получим необходимые расчетные зависимости для кругового стержня, жестко заделанного на одном конце и различным образом загруженного на другом.

При выводе этих зависимостей используются следующие допущения, которые положены в основу расчета составных шпангоутов.

1. Каждым шпангоутом воспринимается гидростатическое давление, проходящееся на одну щельницу.

2. Деформации сжатия (растяжения) и сдвига можно пренебречь по сравнению с деформацией изгиба. Это же относится и к потенциальной энергии соответствующей деформации.

3. Круговые стержни, входящие в составной шпангоут, считаются достаточно жесткими. Это дает основание при определении изгибающего момента в текущем сечении кругового стержня исходить из его первоначальной формы.

4. Кницы и бранеты, соединяющие между собой круговые стержни составного шпангоута, считаются бесконечно жесткими по сравнению с жесткостью круговых стержней.

5. При расчете конструкций составных шпангоутов будем учитывать присоединенный зонтик обшивки шириной, равной ширины, для прочного корпуса в ширину 1,55 \sqrt{t} для легкого корпуса.

6. Круговые стержни составного шпангоута считаем стержнями малой кривизны, к исследованию напряженного состояния которых применимы зависимости, полученные для прямых стержней.

Под стержнем малой кривизны понимается такой круговой стержень, для которого имеет место соотношение

$$r' \gg \delta h, \quad (1. VIII)$$

где r' — радиус кривизны нейтральной оси стержня;
 δ — его высота.

При выполнении соотношения (1. VIII) расчет круговых стержней можно производить по формулам для прямых стержней.

Для упрощения расчета составных шпангоутов используются введенные В. Ф. Сегаль леммы об усилиях, вызываемых в круговых стержнях равномерно распределенным по их периметру гидростатическим давлением.

Использование лемм и линейность рассматриваемых ниже задач дает возможность применять метод наложения к расчету составных шпангоутов и, таким образом, сократить исследование сложной задачи к исследованию ряда более простых задач.

В настоящей главе будет изложена методика расчета и приведены основные зависимости для определения напряжений, возникающих в стержнях составного шпангоута, а также те требования, которые должны быть соблюдены конструктором при правильном конструировании составных шпангоутов.

Упомянутые зависимости и выводы будут получены на примере расчета составного шпангоута в районе средней цистерны однокорпусной подводной лодки.

В заключение главы будут рассмотрены различные варианты составных шпангоутов, выведены формулы для исследования устойчивости кругового шпангоута и его частей и приведен пример конструирования и определения напряжений в составном шпангоуте.

§ 68. Некоторые случаи загрузки круговых стержней *

При расчете составного шпангоута прочного корпуса требуется иметь выражения для определения угла поворота и линейного перемещения свободного конца различным образом загруженного кругового стержня постоянного сечения.

Подготовим эти зависимости. Будем считать нагрузку положительной, если она увеличивает кривизну стержня. Определим величину перемещений свободного конца стержня, считая, что потенциальная энергия разности и единичного сечения пренебрежимо мала по сравнению с потенциальной энергией изгиба стержня, которая определяется выражением

$$V = \frac{1}{2} \int_0^l \frac{M^2(x)}{EI} dx, \quad (2. VIII)$$

где l — длина криволинейной оси стержня;

x — координата, отсчитываемая вдоль криволинейной оси стержня;

$M(x)$ — изгибающий момент в сечении, определяемом координатой x ;

EI — жесткость стержня на изгиб.

* В параграфах 68 и 69 использованы зависимости из статьи В. Ф. Сегала «Расчет рам с круговыми стержнями». Сб. НИВК, № 2, 1934 год, см. в книге В. Ф. Папковича «Строительная механика кораблей». Ч. I. Т. II. «Морской транспорт», 1947.

Обозначим:

M — сосредоточенный момент;

X и Y — силы, действующие в направлениях, параллельных нормали и касательной к оси стержня у заделанного конца;

α и ϕ — перемещения свободного конца по направлениям сил X и Y .

Для определения перемещений свободного конца стержня воспользуемся теоремой Кастильяно: «Производная от потенциальной энергии системы по обобщенной силе равняется обобщенному перемещению по направлению действия обобщенной силы».

Первый случай загрузки кругового стержня (рис. 97). Для вычисления потенциальной энергии изгиба стержня по выражению (2. VIII) найдем значение изгибающего момента в текущем сечении $x = x_1$, определившем значением центрального угла β .

Возьмем момент всех сил, расположенных справа относительно рассматриваемого сечения, приведя к следующему выражению для изгибающего момента:

$$M(x) = M + Xr(\sin \alpha - \sin \beta) + Yr(\cos \beta - \cos \alpha). \quad (3. VIII)$$

Используя теорему Кастильяно и учитывая выражения (2. VIII) и (3. VIII), можно определить угол поворота свободного конца кругового стержня по выражению

$$\varphi = \frac{\partial V}{\partial M} = \frac{r}{EI} \int_0^{\pi} M(x) \frac{\partial M(x)}{\partial M} dx.$$

Так как $\frac{\partial M(x)}{\partial M} = 1$, то

$$\varphi = \frac{r}{EI} \int_0^{\pi} M(x) dx$$

или, подставив сюда выражение для $M(x)$ согласно зависимости (3. VIII), будем иметь

$$\begin{aligned} \varphi &= \frac{r}{EI} \int_0^{\pi} [M + Xr(\sin \alpha - \sin \beta) + Yr(\cos \beta - \cos \alpha)] d\beta = \\ &= \frac{Mr}{EI} + \frac{Xr^2}{EI} (\alpha \sin \alpha + \cos \alpha - 1) + \frac{Yr^2}{EI} (\sin \alpha - \alpha \cos \alpha). \end{aligned}$$

Введем обозначения:

$$\left. \begin{aligned} b_1(x) &= \alpha \\ b_2(x) &= \sin \alpha - \alpha \cos \alpha \\ b_3(x) &= \alpha \sin \alpha - 1 + \cos \alpha \end{aligned} \right\} \quad (4. VIII)$$

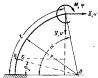


Рис. 97

приаем к следующему окончательному выражению для угла локоротк свободного конца стержня:

$$\varphi = \frac{M r^2}{E I} \theta_1(z) + \frac{X r^2}{E I} \theta_2(z) + \frac{Y r^2}{E I} \theta_3(z). \quad (3. VIII)$$

Определим перемещение стержня во направлении действия силы Y

$$v = \frac{\partial V}{\partial Y} = \frac{r}{E I} \int_0^z M(s) \frac{\partial M(s)}{\partial Y} ds \quad (6. VIII)$$

или, подставив в зависимость (6. VIII) выражение (3. VIII) и учитывая

$$\frac{\partial M(s)}{\partial Y} = r (\cos \beta - \cos \alpha),$$

получим

$$\begin{aligned} v &= \frac{r^2}{E I} \int_0^z [M + Xr(\sin \alpha - \sin \beta) + Yr(\cos \beta - \cos \alpha)] (\cos \beta - \cos \alpha) d\beta = \\ &= \frac{Mr^2}{E I} \int_0^z (\cos \beta - \cos \alpha) d\beta + \frac{Xr^2}{E I} \int_0^z (\sin \alpha - \sin \beta) (\cos \beta - \cos \alpha) d\beta + \\ &\quad + \frac{Yr^2}{E I} \int_0^z (\cos \beta - \cos \alpha)^2 d\beta = \frac{Mr^2}{E I} (\sin \alpha - \alpha \cos \alpha) + \\ &\quad + \frac{Xr^2}{E I} \left(\cos \alpha - \frac{3}{4} \cos 2\alpha - \frac{5}{2} \sin 2\alpha - \frac{1}{4} \right) + \frac{Yr^2}{E I} \left(\alpha + \frac{1}{2} \cos 2\alpha - \frac{3}{4} \sin 2\alpha \right) \end{aligned}$$

или

$$v = \frac{Mr^2}{E I} \theta_1(z) + \frac{Xr^2}{E I} \theta_2(z) + \frac{Yr^2}{E I} \theta_3(z), \quad (7. VIII)$$

так

$$\left. \begin{aligned} \theta_1(z) &= \alpha + \frac{1}{2} \cos 2\alpha - \frac{3}{4} \sin 2\alpha \\ \theta_2(z) &= \cos \alpha - \frac{3}{4} \cos 2\alpha - \frac{5}{2} \sin 2\alpha - \frac{1}{4} \end{aligned} \right\}, \quad (8. VIII)$$

Определим перемещение конца стержня во направлении действия силы X

$$u = \frac{\partial V}{\partial X} = \frac{r}{E I} \int_0^z M(s) \frac{\partial M(s)}{\partial X} ds$$

ких, учитывая зависимость (9. VIII),

$$\begin{aligned} x &= \frac{r^2}{EI} \int_0^{\pi} [M + Xr(\sin \alpha - \sin \beta) + Tr(\cos \beta - \cos \alpha)] (\sin \alpha - \sin \beta) d\beta = \\ &= \frac{Mr^2}{EI} \int_0^{\pi} (\sin \alpha - \sin \beta) d\beta + \frac{Tr^2}{EI} \int_0^{\pi} (\sin \alpha - \sin \beta)^2 d\beta + \frac{Tr^2}{EI} \int_0^{\pi} (\cos \beta - \cos \alpha) \times \\ &\times (\sin \alpha - \sin \beta) d\beta = \frac{Mr^2}{EI} (\alpha \sin \alpha - 1 + \cos \alpha) + \frac{Tr^2}{EI} \left(\alpha - \frac{\pi}{2} \cos 2\alpha + \right. \\ &\left. + \frac{3}{4} \sin 2\alpha - 2 \sin \alpha \right) + \frac{Tr^2}{EI} \left(\cos \alpha - \frac{3}{4} \cos 2\alpha - \frac{1}{3} \alpha \sin 2\alpha - \frac{1}{4} \right). \end{aligned}$$

Окончательное выражение для перемещения свободного конца стержня по направлению действия силы X имеет следующий вид:

$$x = \frac{Mr^2}{EI} \theta_1(x) + \frac{Tr^2}{EI} \theta_2(x) + \frac{Tr^2}{EI} \theta_3(x), \quad (9. VIII)$$

где

$$\theta_1(x) = x - \frac{\pi}{2} \cos 2x - 2 \sin x + \frac{3}{4} \sin 2x, \quad (10. VIII)$$

Функции $\theta_i(x)$ представляют собой функции положения сил на соответствующие им перемещения φ , t и x . Аналитическим путем можно получить выражения для перемещения свободного конца кругового стержня при других видах его загрузки. Приведем некоторые результаты, огускавшиеся выше.

Второй случай загрузки (рис. 98). Круговой стержень на одном конце несетко заделан, а на другом конце загружен сосредоточенным моментом M и силами: T , направленной по касательной к оси стержня, и N , направленной по нормали к его оси.

Выражения для углового перемещения φ в перемещении t и x по направлениям касательной и нормали к оси стержня на его свободном конце имеют следующий вид:

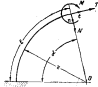


Рис. 98

$$\left. \begin{aligned} \varphi &= \frac{Mr}{EI} H_1(x) + \frac{Tr^2}{EI} H_2(x) + \frac{Nr^2}{EI} H_3(x) \\ t &= \frac{Mr^2}{EI} H_2(x) + \frac{Tr^2}{EI} H_4(x) + \frac{Nr^2}{EI} H_5(x) \\ x &= \frac{Mr^2}{EI} H_3(x) + \frac{Tr^2}{EI} H_5(x) + \frac{Nr^2}{EI} H_6(x) \end{aligned} \right\}, \quad (11. VIII).$$

где

$$\begin{aligned}
 H_1(z) &= z \\
 H_2(z) &= z - \sin z \\
 H_3(z) &= 1 - \cos z \\
 H_4(z) &= \frac{3}{2}z - 2\sin z + \frac{1}{4}\sin 2z \\
 H_5(z) &= \frac{3}{4}z - \cos z + \frac{1}{4}\cos 2z \\
 H_6(z) &= \frac{z}{2} - \frac{1}{4}\sin 2z
 \end{aligned} \quad (12. VII)$$

Третий случай загрузки (рис. 99). Один конец стержня жестко заделан, а другой загружен сосредоточенным моментом M и силами U и V , направленными по зорье и нормали к ней.

Выражения для перемещений в направлении действующих усилий имеют следующий вид:

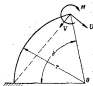


Рис. 99

$$\begin{aligned}
 \varphi &= \frac{Mz^2}{EI} \Phi_1(z) + \frac{Vz^3}{EI} \Phi_2(z) + \frac{Uz^3}{EI} \Phi_3(z) \\
 v &= \frac{Mz^3}{EI} \Phi_4(z) + \frac{Vz^4}{EI} \Phi_5(z) + \frac{Uz^4}{EI} \Phi_6(z) \\
 u &= \frac{Mz^2}{EI} \Phi_2(z) + \frac{Vz^3}{EI} \Phi_4(z) + \frac{Uz^3}{EI} \Phi_5(z)
 \end{aligned} \quad (13. VII)$$

где

$$\begin{aligned}
 \Phi_1(z) &= z \\
 \Phi_2(z) &= 2 \sin \frac{z}{2} - z \cos \frac{z}{2} \\
 \Phi_3(z) &= z \sin \frac{z}{2} \\
 \Phi_4(z) &= z + \frac{z}{2} \cos z - \frac{1}{2} \sin z \\
 \Phi_5(z) &= 1 - \cos z - \frac{z}{2} \sin z \\
 \Phi_6(z) &= z - \frac{z}{2} \cos z - \frac{1}{2} \sin z
 \end{aligned} \quad (14. VIII)$$

Четвертый случай загрузки (рис. 100). Один конец стержня жестко заделан, а другой свободен. Круговой стержень загружен

разномерными значениями длины интенсивности φ . Угловое перемещение и перемещения по направлениям касательной и нормали к оси свободного конца стержня будут следующими:

$$\left. \begin{aligned} \varphi &= \frac{\Omega^2}{EI} \Phi_1(z) \\ t &= \frac{\Omega^2}{EI} \Phi_2(z) \\ u &= \frac{\Omega^2}{EI} \Phi_3(z) \end{aligned} \right\}, \quad (15, VIII)$$

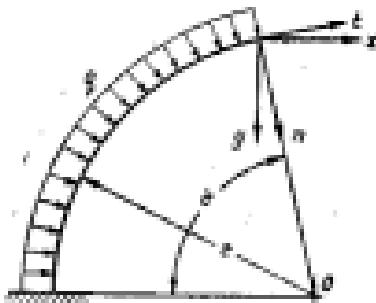


Рис. 106

ГДЗ

$$\left. \begin{aligned} \Phi_1(z) &= a - \sin z = H_1(z) \\ \Phi_2(z) &= \frac{3}{2}z - 2 \sin z + \frac{1}{4} \sin 2z = H_2(z) \\ \Phi_3(z) &= \frac{3}{4}z - \cos z + \frac{1}{4} \cos 2z = H_3(z) \end{aligned} \right\}, \quad (16, VIII)$$

Выражения для углового перемещения свободного конца стержня и перемещений по направлению касательной и нормали к оси у заданного сечения имеют вид

$$\left. \begin{aligned} \varphi &= \frac{\Omega^2}{EI} \Omega_1(z) \\ u &= \frac{\Omega^2}{EI} \Omega_2(z) \\ x &= \frac{\Omega^2}{EI} \Omega_3(z) \end{aligned} \right\}, \quad (17, VIII)$$

ГДЗ

$$\left. \begin{aligned} \Omega_1(z) &= z - \sin z \\ \Omega_2(z) &= \frac{1}{2} \sin z + \frac{1}{2} \sin 2z - \frac{3}{2}z \cos z \\ \Omega_3(z) &= \cos z + \frac{3}{2}z \cos 2z + \frac{3}{2}z \sin z - \frac{3}{2} \end{aligned} \right\}, \quad (18, VIII)$$

Пятым случай загрузки (рис. 101). Круговой стержень загружен по концам моментами M_1 и M_2 , и сжимающим усилием V . Требуется определять углы изгиба φ_1 и φ_2 и сближение концов σ .

Принимая углы изгиба положительными при вращении по часовой стрелке, получаем следующие выражения:

$$\left. \begin{aligned} \varphi_1 &= - \left[\frac{M_1 r}{EI} T_1(z) + \frac{M_2 r}{EI} T_2(z) + \frac{Vr^2}{EI} T_3(z) \right] \\ \varphi_2 &= \frac{M_1 r}{EI} T_1(z) + \frac{M_2 r}{EI} T_2(z) + \frac{Vr^2}{EI} T_3(z) \\ V &= \frac{M_1 r^2}{EI} T_1(z) + \frac{M_2 r^2}{EI} T_2(z) + \frac{Vr^2}{EI} T_3(z) \end{aligned} \right\}, \quad (19, VIII)$$

$$T_1(z) = \frac{2z - a \cos z - \sin z}{4(1 - \cos z)}$$

$$T_2(z) = \frac{\sin z - z \cos z}{4(1 - \cos z)}$$

$$T_3(z) = \sin \frac{z}{2} - \frac{z}{2} \cos \frac{z}{2}$$

$$T_4(z) = z + \frac{z}{2} \cos z - \frac{3}{2} \sin z$$

(20. VIII)

С помощью приведенных зависимостей (4. VIII) — (19. VIII) можно производить расчеты довольно разнообразных криволинейных рам, состоящих из круговых стержней.

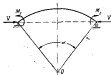


Рис. 201

тогда удобнее пользоваться разложениями по а.

Если требуется определить перемещение стержня в направлении, по которому никакое из приложенных усилий не действует, поступают следующим образом. В этом направлении прикладывают фиктивную (фактически отсутствующую) силу, направление действия которой совпадает с направлением подлежащего определению перемещения. Так, например, если требуется определить угол поворота для данного сечения, то в этом сечении прикладывают со средоточенный момент, если подлежит определению линейное перемещение, то по требующемуся направлению прикладывают со средоточенную силу.

В последующем с фиктивной силой поступают так же, как с фактически действующей: подсчитывают потенциальную энергию с учетом действия фиктивной силы, затем, используя теорему Кастальяно, определяют перемещение. Полагая в полученном выражении для перемещения фиктивную силу равной нулю, находим подлежащее определению перемещение.

§ 68. Использование зависимостей § 68 для решения частных задач

Полученные в § 68 зависимости оказываются весьма полезными при рассмотрении некоторых частных задач, решение которых связано с практикой статической неопределенности.

Пусть жестко заделанный по концам круговой стержень загружен сосредоточенной силой, приложенной посередине (рис. 102).

В силу симметрии достаточно рассмотреть половину стержня (рис. 103). Приведем втулку в точке приложения силы угол поворота

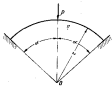


Рис. 102

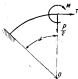


Рис. 103

и перемещение стержня по направлению касательной и используя зависимости (11. VIII), получим систему двух уравнений для определения неизвестных T и M :

$$\frac{M}{r} H_1(z) + TH_2(z) + \frac{P}{2} H_3(z) = 0,$$

$$\frac{M}{r} H_2(z) + TH_1(z) + \frac{P}{2} H_4(z) = 0.$$

Подставляя в эту систему значения функций H_i из ф-ла (12. VIII) и решая ее, получим следующие выражения:

$$\left. \begin{aligned} T &= -\frac{P}{2} \cdot \frac{z \cos 2z - 2 \sin 2z + 4 \sin z - z}{2z^2 + z \sin 2z - 4 \sin^2 z} \\ M &= -\frac{Pr}{2} \cdot \frac{2z + 3 \sin 2z - z \cos 2z - 2z \cos z - 6 \sin z}{2z^2 + z \sin 2z - 4 \sin^2 z} \end{aligned} \right\}. \quad (21. VIII)$$

Таким образом, по заданному значению силы P можно для любого угла z и радиуса r стержня определить изгибающий момент и reaction.

Пусть имеем круговой жестко заделанный стержень, у которого $z = \frac{\pi}{2}$ (рис. 104). Тогда зависимости (21. VIII) примут вид

$$\left. \begin{aligned} T &= -\frac{4-\pi}{2\pi-8} Pr = -0,462Pr \\ M &= -\frac{2\pi+6}{2\pi-8} Pr = -0,152Pr \end{aligned} \right\}. \quad (22. VIII)$$

Изгибающий момент на опоре определяется выражением

$$M_{\text{оп}} = M + Tr + \frac{P}{2} r = -\frac{3\pi-7}{2\pi-8} Pr = -0,111Pr. \quad (23. VIII)$$

В том случае, когда сила приложена к замкнутому круговому стержню ($\varphi = \pi$), получаем следующую схему загрузки (рис. 105) и следующие значения усилий:

$$\left. \begin{aligned} T &= 0 \\ M &= -\frac{1}{\pi} pr \end{aligned} \right\}. \quad (24, VIII)$$

Момент же на концах горизонтального диаметра равен

$$M_1 = \frac{\mu r}{2} - \frac{\mu r}{\pi} = \frac{\pi - 2}{2\pi} \mu r \approx 0,182 \mu r. \quad (25, VIII)$$

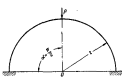


Рис. 104

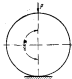


Рис. 105

В качестве второго примера рассмотрим определение усилий в замкнутом круговом стержне сечением F с установленным в нем пиллерсом AB сечением F_1 (рис. 106). Замкнутый круговой стержень загружен

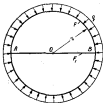


Рис. 106

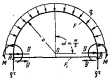


Рис. 107

некоторым равномерным давлением интенсивности φ . Выясним, насколько изменится изгибающий момент в круговом стержне в месте установки пиллерса. В силу симметрии конструкции и нагрузки можно рассматривать лишь половину замкнутого кругового стержня (рис. 107).

Уравнения для определения изгибающего момента M и усилия распора T можно составить, приравнивая, с одной стороны, горизонтальное перемещение кольца обжатию пиллерса и, с другой стороны,

приравнена нулю (вследствие симметрии конструкции в загружен) угол поворота кругового стержня в точках A и B . Поскольку вертикальные силы уравновешиваются с распределенной нагрузкой, разность между углом поворота можно записать так:

$$\varphi = \frac{M r}{E F} z - \frac{Y r^2}{E F} (\sin z - z \cos z) = 0. \quad (26. VIII)$$

Перемещение точки B , к центру вследствие обжатия кругового стержня равномерным давлением можно определить, исходя из закона Гука, по следующему выражению:

$$\Delta x = \frac{\sigma r^2}{E F}.$$

Перемещение в этом же направлении точки B кругового стержня под действием момента M и усилия распора Y согласно выражению (7. VIII), равно

$$v = \frac{M r^2}{E F} (\sin z - z \cos z) - \frac{Y r^2}{E F} \left(z \cos^2 z + \frac{1}{2} z - \frac{3}{4} \sin 2z \right).$$

Обжатие пиллерса за длине \overline{OB} равно

$$\Delta \overline{OB} = \frac{Y r}{E F_1}.$$

Приравнивая перемещение точки B кругового стержня обжатию пиллерса, получаем второе уравнение для определения неизвестных M и Y :

$$\frac{M r^2}{E F} (\sin z - z \cos z) - \frac{Y r^2}{E F} \left(z \cos^2 z + \frac{1}{2} z - \frac{3}{4} \sin 2z \right) + \frac{Y r^2}{E F} = \frac{Y r}{E F_1}. \quad (27. VIII)$$

Подставляя в ур-ния (26. VIII) и (27. VIII) угол $z = \frac{\pi}{2}$, получим

$$\left. \begin{aligned} M &= \frac{1}{\frac{r^2}{E} - 1 + \frac{F}{E F_1} \cdot \frac{r}{2}} \cdot \frac{F}{E} q \\ Y &= \frac{1}{\frac{r}{2} - \frac{r}{E} + \frac{F}{E F_1}} \cdot \frac{F}{E} \cdot \frac{q}{r} \end{aligned} \right\}. \quad (28. VIII)$$

Из выражения (28. VIII) видно, что величина момента возрастает с ростом площади поперечного сечения пиллерса F_1 . При $F_1 \rightarrow \infty$ получаем

$$M_{\max} = \frac{1}{\frac{r^2}{E} - 1} \cdot \frac{F}{E} q \approx 4,3 \frac{F}{E} q. \quad (29. VIII)$$

Величина же изгибающего момента, получающегося вследствие обжатия кругового стержня при отсутствии пиллерса, будет равна

$$M_{\min} = q \frac{r}{F}.$$

В заключение рассмотрим раскрытие статической неопределенности криволинейной рамы (рис. 108). С такого рода рамами приходится сталкиваться при расчете набора шестерн (рис. 109). В последнем случае в расчетной схеме (см. рис. 108) стержень 2—3 считается абсолютно жестким.



Рис. 108

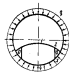


Рис. 109

Как будет показано ниже, для такой криволинейной рамы характерной будет являться нагрузка в виде сосредоточенного момента M и сил P и T .

Для раскрытия статической неопределенности мысленно разрежем раму в узле 2 и заменим действие одной части на другую независимым

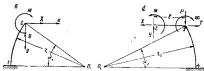


Рис. 110

реактивными усилиями X , Y и M , подлежащими определению. Для определения этих усилий составим три уравнения, приводящие к перемещению стержней в узле 2.

Напишем выражения для перемещения конца стержня 1—2, используя ранее полученные зависимости (рис. 110):

$$\left. \begin{aligned} \varphi_1 &= \frac{M r_1^2}{E J_1} \theta_1(z_1) + \frac{N r_1^2}{E I_1} b_1(z_1) + \frac{P r_1^2}{E I_1} \theta_1(z_1) \\ y_1 &= \frac{M r_1^2}{E J_1} \theta_1(z_1) + \frac{N r_1^2}{E I_1} b_1(z_1) + \frac{P r_1^2}{E I_1} \theta_1(z_1) \\ x_1 &= \frac{M r_1^2}{E J_1} \theta_1(z_1) + \frac{N r_1^2}{E I_1} b_1(z_1) + \frac{P r_1^2}{E I_1} \theta_1(z_1) \end{aligned} \right\} \quad (30, VIII)$$

С другой стороны, перемещение точки 2, стержни 2-3-4 можно определить как сумму перемещений узла 3 стержня 3-4 и стержня

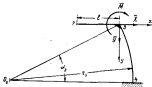


Рис. III

2-3 (см. рис. 110, б). Приведя момент M и силы X и Y к узлу 3, получим момент и усилия, изображенные на рис. III,

$$\left. \begin{array}{l} \bar{M} = M - M + YT \\ \bar{F} = P - Y \\ X = T - X \end{array} \right\}. \quad (31. VIII)$$

Используя зависимости (5. VIII), (7. VIII) и (9. VIII) для кругового стержня, загруженного силами X , Y и \bar{M} , получим следующие выражения для перемещений:

$$\left. \begin{array}{l} \varphi_3 = \frac{\bar{M}r_3^2}{EI_3} \theta_3(z_3) + \frac{\bar{F}r_3^2}{EI_3} \theta_3(z_3) - \frac{\bar{X}r_3^2}{EI_3} \theta_3(z_3) \\ y_3 = -\frac{\bar{M}r_3^2}{EI_3} \theta_3(z_3) + \frac{\bar{F}r_3^2}{EI_3} \theta_3(z_3) - \frac{\bar{X}r_3^2}{EI_3} \theta_3(z_3) \\ z_3 = \frac{\bar{M}r_3^2}{EI_3} \theta_3(z_3) - \frac{\bar{F}r_3^2}{EI_3} \theta_3(z_3) + \frac{\bar{X}r_3^2}{EI_3} \theta_3(z_3) \end{array} \right\}. \quad (32. VIII)$$

При этом считаем угол поворота φ положительным при вращении по часовой стрелке, а перемещения y_3 и z_3 положительными в том случае, если они направлены по положительным направлениям осей x и y .

В силу абсолютной жесткости стержня 2-3 перемещения точки 2 определяются выражениями

$$\left. \begin{array}{l} \varphi_2 = \varphi_3 \\ y_2 = y_3 - h_{23} \\ z_2 = z_3 \end{array} \right\}. \quad (33. VIII)$$

Подставив выражение (31. VIII) в формулы (32. VIII), а последние в выражение (33. VIII) и приравняв полученные значения перемещений «перемещения», определенным по зависимостям (30. VIII) соответственно, получим три уравнения для определения неизвестных реактивных усилий X , Y и M :

$$\begin{aligned} M(a_1 + a'_1) + Y(a_2 + a'_2 - Ia_1) + X(a'_3 - a_3) &= Ma_1 + Pa_2 - Ta_3 \\ M(b_1 + Ia_1 - b'_1) - Y(b_2 + b'_2 + Ib_1 + Rx_1 - Ia_3) &= \\ - X(b_3 + b'_3 - b_1) &= Mb_1 + a_2 + T(b_2 - Ia_3) + P(Ia_3 - b_3) \end{aligned} \quad , (34. VIII)$$

$$M(c'_1 + c) + Y(c'_2 - k_1 - c_1) + X(c'_3 + c_3) = Mc_1 - Pk_1 + Tc_3$$

т.е.

$$\begin{aligned} a_1 &= \frac{r_2}{EI_1} b_1(x_1) & a_2 &= \frac{r_1^2}{EI_2} b_2(x_2) & a_3 &= \frac{r_1^2}{EI_3} b_3(x_3) \\ b_1 &= \frac{r_2^2}{EI_1} b_1(x_1) & b_2 &= \frac{r_1^2}{EI_2} b_2(x_2) & b_3 &= \frac{r_1^2}{EI_3} b_3(x_3) \\ c_1 &= \frac{r_2^2}{EI_1} b_1(x_1) & c_2 &= \frac{r_1^2}{EI_2} b_2(x_2) & c_3 &= \frac{r_1^2}{EI_3} b_3(x_3) \\ a'_1 &= \frac{r_1}{EI_1} b_1(x_1) & a'_2 &= \frac{r_1^2}{EI_2} b_2(x_2) & a'_3 &= \frac{r_1^2}{EI_3} b_3(x_3) \\ b'_1 &= \frac{r_1^2}{EI_1} b_1(x_1) & b'_2 &= \frac{r_1^2}{EI_2} b_2(x_2) & b'_3 &= \frac{r_1^2}{EI_3} b_3(x_3) \\ c'_1 &= \frac{r_1^2}{EI_1} b_1(x_1) & c'_2 &= \frac{r_1^2}{EI_2} b_2(x_2) & c'_3 &= \frac{Tr_1^2}{EI_3} b_3(x_3) \end{aligned} \quad , (35. VIII)$$

Решив полученную систему уравнений (34. VIII) и определив силы X , Y и момент M , можно легко выполнить вычисление изгибающего момента, перерывающихся сил и сжимающих усилий в любом сечении рамы.

Такого рода расчет рекомендуется выполнять в том случае, если изменением длины стержней, входящих в состав рамы, нальяя пренебречь. Если изменением длины стержней, входящих в состав рамы, можно пренебречь, расчет такого рода рам может быть значительно упрощен, что будет показано ниже.

§ 78. Изгиб пологого стержня с жестко заделанными концами*

1. Определение усилий, возникающих в пологом круговом стержне

Под пологими круговыми стержнями понимают такие круговые стержни, у которых длина значительно больше стрелки изгиба, т. е. $I \gg f$.

Рассмотрим задачу по определению усилий, возникающих в пологом стержне, жестко заделанном во концах в нагруженном предельном сжи-

* Метод расчета стержней изложенный из книги П. Ф. Павловича „Строительная механика корабля“. Ч. I. Т. II. „Морской транспорт“. 1947.

Максимум уединен. Решение этой задачи и выводы из нее будут использованы при расчете составных шлангов.

Будем считать пологий стержень (рис. 112) достаточно жестким и пренебречь его упругим перемещением в направлении оси OY по сравнению с начальной стрелкой погиби f . Стрелка текущей погиби u в сечении, определяемом углом θ , находится по выражению

$$u = r(\cos \theta - \cos \alpha).$$

Используя соотношения

$$\cos \theta - 1 = 2 \sin^2 \frac{\theta}{2},$$

$$\cos \alpha - 1 = 2 \sin^2 \frac{\alpha}{2}$$

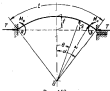


Рис. 112

и имея в виду, что углы α и θ малы, получим

$$u = \frac{r}{2} (\alpha^2 - \theta^2). \quad (36, VIII)$$

Приняв в ф-ле (36, VIII) $\theta = 0$, получим выражение для наибольшей стрелки погиби f

$$u_{\max} = f = \frac{r}{2} \alpha^2. \quad (37, VIII)$$

Изгибающий момент в текущем сечении пологого стержня, определяемом углом θ , равен

$$M = M_s + Tu, \quad (38, VIII)$$

где M_s — неизвестный реактивный момент. Если учесть формулу (36, VIII), то будем иметь

$$M = M_s + T \frac{r}{2} (\alpha^2 - \theta^2). \quad (39, VIII)$$

Произведем определение неизвестного реактивного момента M_s . В силу жесткой заделки концов стержня, используя теорему Кастильяно, можно записать

$$\frac{\delta V}{\delta M_s} = 0, \quad (40, VIII)$$

Выражение потенциальной энергии изгиба кругового стержня имеет вид

$$V = \frac{1}{2} \int_0^{2\pi} \frac{M^2}{EI} r d\theta,$$

и потому уравнение (40. VIII) можно переписать в таком виде:

$$\frac{\delta V}{\delta M_0} = \frac{r}{2I} \int_{-\pi}^{\pi} M \frac{\partial M}{\partial M_0} d\theta = 0$$

или, поскольку коэффициент, стоящий перед интегралом, отличен от нуля, а согласно выражению (38. VIII) $\frac{\partial M}{\partial M_0} = 1$, можем записать

$$\int_{-\pi}^{\pi} M d\theta = 0. \quad (41. VIII)$$

Подставив значение изгибающего момента (39. VIII) в выражение (41. VIII), будем иметь

$$\begin{aligned} \int_{-\pi}^{\pi} \left[M_0 + T \frac{r}{2} (x^2 - \theta^2) \right] d\theta &= 2\pi M_0 + T \frac{r}{2} \left(\left| \frac{x^2}{2} \right|_{-\pi}^{\pi} - \left| \frac{\theta^2}{2} \right|_{-\pi}^{\pi} \right) = \\ &= 2\pi M_0 + \frac{2}{3} Trx^2 = 0, \end{aligned}$$

откуда находим

$$M_0 = -\frac{2}{3} T \frac{r x^2}{3}. \quad (42. VIII)$$

Из, учитывая формулу (37. VIII), получим следующее окончательное выражение для изгибающего момента:

$$M_0 = -\frac{2}{3} Tf. \quad (43. VIII)$$

Подставив формулу (43. VIII) в выражение для текущего значения изгибающего момента (38. VIII), получим

$$M = M_0 + Ty = -\frac{2}{3} Tf + Ty = T \left(y - \frac{2}{3} f \right). \quad (44. VIII)$$

Расчетным изгибающим моментом может быть изгибающий момент как в средней части пролета, так и у опор. Для определения изгибающего момента в середине пролета M , подставим в выражение (44. VIII) значение $y = y_{\text{max}}$. В результате получим

$$M_0 = T \left(y_{\text{max}} - \frac{2}{3} f \right) = T \left(f - \frac{2}{3} f \right) = \frac{1}{3} Tf. \quad (45. VIII)$$

Из рассмотрения значений изгибающих моментов, даваемых выражениями (43. VIII) и (45. VIII), приходим к выводу, что такое же напряженное состояние пологого стержня может быть получено при

следующем его загружении продольной силой T (рис. 113). При такой загрузке в опорных сечениях и в сечениях посередине пролета возникают изгибающие моменты, совпадающие по величине и по знаку с моментами, даваемыми формулами (48. VIII) и (49. VIII) исходной задачи (см. рис. 112).

Таким образом, если использовать схему, приведенную на рис. 113, то отпадает необходимость каждый раз производить раскрытие статической неопределенности при сжатии продольной силой жестко заданных по концам пологих стержней. При таком загружении пологого стержня (см. рис. 113) его концевые сечения не поворачиваются. С этой точки зрения стержень ведет себя как идеально прямой центрально загруженный стержень. Однако концы рассматриваемого стержня сближаются при этом не только под влиянием сжатия, но и под влиянием изгиба. Если стрелка начальной погибки стержня f мала по сравнению с его длиной l , то суммарное укорочение хорды ab получается сопоставимым с укорочением от простого сжатия, а последнее пренебрежимо мало.

Рассмотрим вопрос, при каких соотношениях между стрелкой начальной погибки стержня f и длиной его l можно пренебречь сближением концов стержня, происходящим вследствие его изгиба.

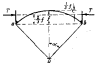


Рис. 113



Рис. 114

Необходимость рассмотрения этого вопроса вызвана тем, что при значительном сближении концов стержня происходит интенсивное увеличение начальной стрелки погибки стержня f , что ведет к существенному изменению возникающих в стержне моментов (рис. 114).

2. Определение сближения концов пологого стержня

Рассматриваемый пологий стержень (см. рис. 113) находится в условиях сложного изгиба. С одной стороны, он сжимается под действием постоянных по величине усилий, с другой стороны, он подвергается деформации изгиба под действием меняющихся по его длине изгибающих моментов.

Таким образом, полное сближение концов стержня будет состоять из двух частей

$$\Delta l = \Delta l_1 + \Delta l_2, \quad (48. VIII)$$

где Δl_1 — сближение концов стержня под действием сжимающих сил; Δl_2 — сближение концов стержня под действием изгибающих моментов.

Сближение концов пологого стержня под действием силы T , как известно, равно

$$\Delta l_1 = \frac{Tl}{EI} = \frac{Tr^2\alpha}{EI}, \quad (47. VIII)$$

где F — площадь поперечного сечения стержня.

Сближение концов стержней, происходящее вследствие его изгиба, можно определить, используя теорему Кастильоно, по выражению

$$\Delta l_2 = \frac{\partial V}{\partial T} = EI \int_{-\pi}^{\pi} M \frac{\partial M}{\partial T} d\theta, \quad (48. VIII)$$

Предварительно, воспользовавшись соотношением (42. VIII), представим выражение для изгибающего момента (39. VIII) в виде

$$M = T \frac{r}{2} \left(\frac{\omega^2}{3} - \theta^2 \right). \quad (49. VIII)$$

Подставляя теперь это выражение в зависимость (48. VIII), будем иметь

$$\Delta l_2 = \frac{Tr^2}{4EI} \int_{-\pi}^{\pi} \left(\frac{\omega^2}{3} - \theta^2 \right)^2 d\theta = \frac{2T}{45} \cdot \frac{r^2 \omega^2}{EI}. \quad (50. VIII)$$

Таким образом, полное сближение концов стержня будет равно

$$\Delta l = \frac{Tr^2 \alpha}{EI} + \frac{2T}{45} \cdot \frac{r^2 \omega^2}{EI} = \frac{Tr^2 \alpha}{EI} \left(1 + \frac{1}{45} \cdot \frac{r^2 \omega^2}{T^2} \right) = \frac{Tr}{EI} \left(1 + \frac{r^2}{180} \cdot \frac{\omega^2}{T^2} \right), \quad (51. VIII)$$

где $\omega^2 = \frac{T}{r^2}$ — радиус инерции поперечного сечения стержня.

Второй член в выражении (51. VIII) характеризует влияние изгиба стержня на сближение его концов.

Определим, какими должны быть соотношения элементов кругового пологого стержня, чтобы этот член составлял не более 10% от первого члена. Полагая $\frac{r^2}{180} \cdot \frac{\omega^2}{T^2} = 0,10$, найдем, что угол α не должен превышать величины

$$\alpha < \sqrt{18} \frac{T}{r} \approx 4,25 \frac{T}{r}. \quad (52. VIII)$$

В том случае, когда сближение концов пологого стержня от изгиба и сжатия однинаково, имеем следующее значение половины центрального угла стержня:

$$\alpha < \sqrt{180} \frac{T}{r} = 13,5 \frac{T}{r}. \quad (53. VIII)$$

Большая часть круговых стержней, входящих в состав шлангопутных рам, имеет угол α , лежащий в пределах, даваемых выражениями (52. VIII) и (53. VIII).

Поскольку при α , определяемом по выражению (53. VIII), сближением концов все еще можно пренебречь, условий, возникающие в стержне, могут быть определены с помощью схемы загрузки стержня, показанной на рис. 113.

При этом возможные в стержне изгибы могут быть подсчитаны по формулам:
для спирального сечения

$$\varphi = -\frac{T}{I} \mp \frac{2}{3} \cdot \frac{M}{W_I}, \quad (54, VIII)$$

для сечения посередине пролета

$$\varphi = -\frac{T}{I} \pm \frac{1}{3} \cdot \frac{M}{W_I}, \quad (55, VIII)$$

где W_I — момент сопротивления поперечного сечения стержня для соответствующего крайнего волокна.

Верхние знаки относятся к наружным (верхним) волокнам, а нижние — к внутренним (нижним) волокнам.

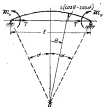


Рис. 115

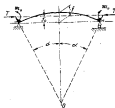


Рис. 116

В том случае, когда значение угла α превышает $13,5^\circ$, для установления влияния изгиба стержня на сближение его концов следует пользоваться более точными зависимостями.

Рассмотрим свободно опорный стержень, находящийся под действием сжимающей силы T и моментов M_0 , приложенных к его концам (рис. 115).

Углы поворота опорных сечений и сближение концов при изгибе кругового стержня определяются с помощью выражений (5. VIII) и (7. VIII).

$$(\varphi)_{h \rightarrow s} = -(\varphi)_{s \rightarrow h} = \frac{1}{EI} [2M_0 r s + Tr^2 (\sin \alpha - \alpha \cos \alpha)], \quad (56, VIII)$$

$$\Delta l_t = \frac{2}{EI} \left[2M_0 r^2 (\sin \alpha - \alpha \cos \alpha) + Tr^2 \left(\alpha + \frac{\pi}{2} \cos 2\alpha - \frac{3}{4} \sin 2\alpha \right) \right], \quad (57, VIII)$$

Заметим, что ф-ла (57. VIII) в отличие от ф-лы (7. VIII) дает сближение концов стержня с центральным углом 2α .

Из формулы (56. VIII) видно, что вращение концевых сечений стержня будет отсутствовать, если к ним приложить момент M_0 , определяемый выражением

$$M_0 = -Tr \left(\frac{\sin \alpha}{r} - \cos \alpha \right) = -Tr \frac{r^2}{2} \left(1 - \frac{\alpha^2}{10} + \frac{\alpha^4}{280} - \dots \right). \quad (58. VIII)$$

Таким образом, чтобы устранить вызываемое силами T вращение опорных сечений, нужно эти силы приложить не по хорде, а по прямой, параллельной этой хорде и отстоящей от нее на расстоянии f_0 (рис. 116), определяемом выражением

$$f_0 = r \frac{r^2}{2} \left(1 - \frac{\alpha^2}{10} + \frac{\alpha^4}{280} - \dots \right).$$

Сравнивая величину f_0 со стрелкой погибы дуги

$$f = r(1 - \cos \alpha) = r \frac{r^2}{2} \left(1 - \frac{\alpha^2}{12} + \frac{\alpha^4}{360} - \dots \right),$$

получим

$$f_0 = \frac{2}{3} f \frac{1 - \frac{\alpha^2}{10} + \frac{\alpha^4}{280} - \dots}{1 - \frac{\alpha^2}{12} + \frac{\alpha^4}{360} - \dots} \approx \frac{2}{3} f \left(1 - \frac{\alpha^2}{60} + \dots \right). \quad (59. VIII)$$

Как видно из ф-лы (59. VIII), если α не превышает одного радиана, то с точностью до 1,5%

$$f_0 \approx \frac{2}{3} f. \quad (60. VIII)$$

Что касается сближения концов стержня, вызываемого только изгибом, то оно может быть определено с помощью ф-л (57. VIII) и (58. VIII) по выражению

$$\delta L_0 = \frac{2T}{EI} r^2 \left[\alpha + \frac{\pi}{2} \cos 2\alpha - \frac{3}{4} \sin 2\alpha - \right. \\ \left. - \frac{1}{2} (\sin \alpha - \alpha \cos \alpha)^2 \right] \approx \frac{2}{45} \cdot \frac{Tr^3}{EI} \left(1 - \frac{1}{3} \alpha^2 + \frac{23}{210} \alpha^4 - \dots \right). \quad (61. VIII)$$

Если α не превышает радиана, то результаты, подсчитанные по этой формуле, отличаются от результатов, данных приближенной ф-лой (50. VIII), не более чем на 13%.

В обычных конструкциях составных шланговотов отношение $\frac{l}{r}$ редко превышает 20. Поэтому при $\alpha < 0,5$ множитель $1 + \frac{\alpha^2}{100} - \frac{\alpha^4}{45}$ выражения (61. VIII) не превышает 1,5, и осевыми деформациями кругового стержня можно пренебречь.

Все это позволяет при раскрытии статической неопределенности составных рам рассматривать круговые стержни как соответствующей длины прямые стержни, если их центральные углы 2α удовлетворяют условием

$$2\alpha < 1 \quad (62. VIII)$$

и

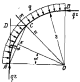
$$2\alpha < 30 \frac{l}{r}. \quad (63. VIII)$$

При несоблюдении первичности (§2. VIII) зависимость (§6. VIII) следует заменить более точной зависимостью (§1. VIII), в выражении (§6. VIII) — выражением (§5. VIII). При несоблюдении условия (§2. VIII) подлежит каждый раз особому рассмотрению вопрос о том, в какой мере можно пренебречь сферической деформацией круговых стержней, входящих в составные штанготуры.

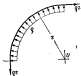
§ 71. Основные леммы о действии равномерного давления, прямого и косого спуска

С помощью лемм действия разномерного гидростатического давления может быть сведено, с одной стороны, к нагрузке, вызывающей простое сжатие или растяжение круговых стержней, а с другой стороны, к нагрузке, вызывающей их изгиб. Это дает возможность сложное деформированное состояние конструкции рассматривать состоящим из ряда простейших деформаций. В настоящем параграфе будут рассмотрены основные леммы, разработанные В. Ф. Сисалем.²

Лемма 1. Круговой стержень радиуса r , загруженный по периметру равномерно распределенным нормальным давлением интенсивности φ , а по торцам сосредоточенными силами q_1 , направленными по касательным к сечениям стержня, находится в условиях простого сжатия (растяжения).



Page 113



Page 1

Для доказательства леммы определим, чому разбіг нигибаючий момент в проміжку вибраною ступенем m — п Крутного стережні радиуса r (рис. 117).

Обозначим через M^q момент от нагрузки q относительно точки C , а через $M^{q\prime}$ — момент от сосредоточенной силы q' относительно той же точки C .

Очевидно, такие моментов M^x и $M^{x'}$ будут различны, а изгибающий момент, действующий в сечении $m-n$, будет равен их сумме. Используя одно из свойств гидростатического давления, можно равномерное давление интенсивности q , приложенное к дуге AC , заменить давлением той же интенсивности, но приложенным к хорде AC , тогда

$$M^2 = qAC \frac{Ae^2}{\pi}. \quad (54, VIII)$$

* Н. Ф. Соколь. Структура языка подростков лесист. Судороги, 1941.

На прямоугольного треугольника AKO имеем

$$AC = 2r \sin \alpha$$

и, следовательно,

$$M^z = 2qr^2 \sin^2 \alpha. \quad (65. VIII)$$

Момент от симметрической силы φ относительно точки C равен

$$M^{z'} = -\varphi r CD.$$

На прямоугольного треугольника ADC имеем

$$CD = AC \sin \alpha = 2r \sin^2 \alpha$$

и, следовательно,

$$M^{z''} = -2qr^2 \sin^2 \alpha.$$

Изгибающий момент в сечении $z-z$ от нагрузки φ и силы φ определяется выражением

$$M = M^z + M^{z''} = 2qr^2 \sin^2 \alpha - 2qr^2 \sin^2 \alpha = 0.$$

Поскольку сечение $z-z$ было выбрано произвольно, то нахождение другое сечение мы не можем, изгибающий момент в нем также будет отсутствовать. Это говорит о том, что рассматриваемый стержень находится в состоянии простого сжатия.

Если рассматриваемый круговой стержень загрузить во внешним, а внутренним равномерным давлением (рис. 118), то он будет находиться в состоянии простого растяжения. Доказательство леммы для этого случая также не отличается от предыдущего. В заключении следует заметить, что в рассмотренной лемме нагрузка, приложенная к круговому стержню, является статически уравновешенной, в чем можно легко убедиться.

Примечание. Следует иметь в виду, что приведенная лемма доказана в предположении недействительности для кругового стержня.

Подобную лемму целиком исследовалась при расчете конструкций подводных лодок, представляют интерес помимо формуле погрешности, получающейся за счет изменения давления практически встречающихся круговых стержней при их нагружении.

Пусть F — площадь концентрического сечения кругового стержня, тогда изгибаемое сечение будет $\omega = \frac{F}{r}$. Относительное укорочение кругового стержня равно

$$\epsilon = \frac{\delta}{E} = \frac{\theta r}{EF}.$$

С другой стороны, $\epsilon = \frac{\theta}{r}$, в конечном результате кругового стержня определяется выражением

$$\omega = \theta r = \frac{\theta r^2}{EF}.$$

Радиальное перемещение ω , определяющее этим выражением, весьма мало во сравнении с радиусом кругового стержня r , что видно из следующего соображения:

$$\frac{\omega}{r} = \frac{\theta r}{EF} = \frac{\theta}{E}.$$

Поскольку в практической инженерии модуль Юнга равен $2 \cdot 10^5$ кг/м 2 , а напряжение в круговых стержнях достигает всего нескольких тысяч атмосфер, то θ составляет от E не более 0,001. И потому изменение длины стержня может не проявляться во внимание.

Лемма 2. Равномерно распределенная нормальная нагрузка интенсивности q , приложенная к двум пересекающимся круговым стержням радиусов r_1 и r_2 , может быть представлена в виде двух составляющих.

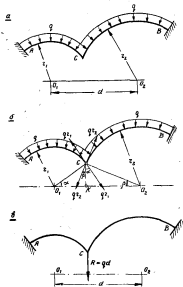


Рис. 119

Первая составляющая будет изымать в стержнях простое сжатие (растяжение) силами qr_1 и qr_2 . Вторая составляющая равномерной нормальной нагрузки может быть представлена в виде сосредоточенной силы R величины qd (где d — расстояние между центрами краинами стержней), приложенной в точке пересечения стержней в направлении перпендикулярно к прямой, соединяющей центры их кривизны (рис. 119, в).

Для доказательства леммы приложим в точке пересечения стержней C две пары взаимно-уравновешивающихся сил φ_1 и φ_2 , направленных по касательным к стержням (рис. 119, б). От этого напряженное состояние стержней не изменяется.

Согласно лемме 1 сосредоточенные силы φ_1 и φ_2 , направленные вправо, соммируясь с равномерно распределенной нормальной нагрузкой интенсивности q , вызывают в стержнях прямое сжатие силами φ_1 и φ_2 .

Равнодействующая оставшихся сил φ_1 и φ_2 направлена по прямой CK , перпендикулярной к $\overline{O_1O_2}$. Убедимся в этом, спроектирув φ_1 и φ_2 на направления CK и $\overline{O_1O_2}$. В результате получим

$$\varphi_1 \cos \alpha + \varphi_2 \cos \beta = q (\overline{O_1K} + \overline{KO_2}) = q \overline{O_1O_2} = qd = R,$$

$$\varphi_1 \sin \alpha - \varphi_2 \sin \beta = q (\overline{CK} - \overline{CK}) = 0.$$

Приведенные выражения подтверждают правильность предположения, что равнодействующая сила φ_1 и φ_2 направлена перпендикулярно к прямой $\overline{O_1O_2}$, а ее величина равна

$$R = qd, \quad (66. VIII)$$

где $d = \overline{O_1O_2}$. Таким образом, лемма доказана.

Разделение действия гидростатического давления на два давления облегчает определение напряжений, возникающих в круговых стержнях. Так, полное напряжение будет складываться из напряжения сжатия (растяжения), которое возникает от первой нагрузки, и напряжения изгиба от действия сосредоточенной силы R и дополнительного напряжения сжатия (растяжения) от этой же силы. Для определения напряжений, возникающих в стержне от действия второй нагрузки, необходимо произвести предварительно раскрытие статической неизвестности задачи (см. рис. 119, в) путем использования выражений § 68 для угла поворота и деформаций, как это было уже показано на частных примерах § 68.

В заключение следует сказать несколько слов в отношении определения направления равнодействующей R для некоторых частных случаев, показанных на рис. 120.

Как видим, равнодействующая R не всегда направлена в сторону прямой, соединяющей центры кривизны круговых стержней. В некоторых частных случаях (см. рис. 120, б и в) она может быть направлена от прямой $\overline{O_1O_2}$. Для определения направления R в частных случаях рекомендуется пользоваться правилом: если угол γ между прямыми $\overline{O_1C}$ и $\overline{O_2C}$ отсчитывается против часовой стрелки, равнодействующая R направлена к прямой $\overline{O_1O_2}$ (см. рис. 120, а), если этот угол отсчитывается по часовой стрелке, то R направлена от прямой $\overline{O_1O_2}$ (см. рис. 120, б).

Случай, приведенный на рис. 120, в, следует рассматривать как исключение. Здесь равнодействующая R направлена всегда в сторону дуги меньшего радиуса.

Выше были рассмотрены случаи внешнего приложения равномерного давления.

Если давление внутреннее, то направление R меняется на обратное (см. рис. 120, б).

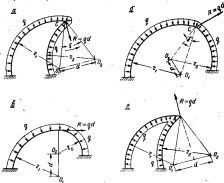


Рис. 120

Частным случаем рассмотренной леммы будет, очевидно, случай, когда один из круговых стержней заменен прямолинейным стержнем (рис. 121). Предстоит интерес, как тогда определяются величина и направление равнодействующей R .

Приможны в точке C по ка-
сательной к круговому стер-
жню две разные и противопо-
ложно направленные силы q_1
и перпендикулярно к прямо-
линейному стержню две силы
 $\frac{q_1}{2}$. Направленная вверх сила q_1
уравновесится равномерным
давлением q , вызвав в круго-
вом стержне сжатие, а силы $\frac{q_1}{2}$
уравновесятся половиной за-
грузки q стержня O_1C . Анало-
гично предшествующему можно по-
казать, что оставшиеся силы
могут быть приведены в силе
 R , направленной к O_1O_2 . При

этом, конечно, прямолинейный стержень находится в сложном напра-
женном состоянии, испытываючи изгиб и сжатие. Величина силы, сжимую-

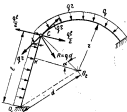


Рис. 121.

шей прямой стержень, будет равняться $\varphi g \cos \alpha$ или, из прямоугольного треугольника O_1KC , φO_1K . Таким образом, симметрическая стержень сила равна произведению интенсивности давления φ на отстояние прямого стержня от центра кругового стержня.

Рассмотренная лемма будет использована при расчете составных шарниров.

Лемма 3. Равномерно распределенное нормальное давление интенсивности φ , приложенное к двум круговым стержням и соединяющему их ригелю,* может быть представлено в виде двух составляющих. Первая составляющая будет вызывать в стержнях простое сжатие (растяжение) силами φt_1 и φt_2 . Вторая составляющая равномерного давления может быть сведена к сосредоточенной силе $R = \varphi d$, приложенной в точке пересечения стержней и направленной перпендикулярно к прямой, соединяющей их центры кривизны (рис. 122).

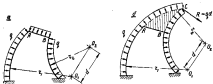


Рис. 122

На основании свойств равномерного гидростатического давления вместо ригеля AB можно рассматривать криволинейный треугольник ACB , загруженный также равномерным давлением φ по внешнему контуру. К полученной таким образом задаче полностью применима лемма 2, чем доказывается справедливость леммы 3.

Перенеси, с соблюдением условий статики, сосредоточенную силу φd в узле A или B , можно прийти к другим случаям усилий, к которым сводится действие равномерного давления интенсивности φ . При этом следует иметь в виду, что такой перенос возможен лишь в области абсолютно твердого тела, за которое в рассматриваемом случае принимается район кинетики ACB .

Проведенная лемма дает возможность легко определить (используя чертеж) усилия, приложенные к концам стержней, соединенных ригелем.

Лемма 4. Равномерно распределенная нормальная нагрузка интенсивности φ , приложенная к двум круговым стержням радиусов t_1 и t_2 , соединенным жестким ригелем (рис. 123, а), может быть представлена в виде двух составляющих. Первая составляющая называет в стержнях простое сжатие или растяжение силами φt_1 и φt_2 . Вторая составляющая может быть сведена к трем сила: двум, направленным по соответствующим хордам круговых стержней, и третьей силе, перпендикулярной одной из хорд.

* Под ригелем понимается абсолютно жесткий стержень.

Прикладывая в точках A и B рамы (рис. 123, б) равные, но противоположно направленные силы от φ_1 и φ_2 , и используя лемму 1, сразу можно выделить первую часть нагрузки, вызывающую в криволинейных стержнях простое сжатие (стержень IA) или растяжение (стержень AB) и являющуюся статически уравновешенной. Таким образом, первая часть леммы оказывается доказанной.

Оставшуюся нагрузку (рис. 123, в) отнесем ко второй составляющей равномерного давления.

Прежде чем продолжить доказательство леммы, введем понятие об определяющих отрезках.

Рассматривая выражения для сил, приложенных к ригелю AB , можно заметить, что они представляют собой произведение одной и той же интенсивности внешнего давления φ на различные линейные размеры r_1 , r_2 , AB . Так, сила φr_1 соответствует отрезок r_1 ; сила φr_2 — отрезок r_2 ; сила φAB — отрезок AB . Поэтому отрезки r_1 , r_2 и AB можно рассматривать как те же силы, уменьшенные в φ раз, т. е. как силы в масштабе φ . Используя эту особенность, рассмотрение сил, приложенных к ригелю AB , можно заменить рассмотрением отрезков r_1 , r_2 и AB , несущих название определяющих отрезков.

Эти величины определяющих отрезков, можно найти приложенными к раме силы путем простого умножения величины отрезка на интенсивность внешнего давления φ . Определяющие отрезки должны быть определенным образом направлены.

Для того чтобы найти направление определяющего отрезка, условимся соответствующую силу поворачивать на 90° против часовой стрелки. И, наоборот, чтобы по направлению определяющего отрезка найти направление силы, условимся поворачивать его на 90° по часовой стрелке.

Таким образом, с определяющими отрезками следует обращаться, как с векторами.

Продолжим доказательство леммы. Итак, сила φr_1 соответствует определяющий отрезок O_1A , сила φr_2 — отрезок BO_2 . При обозначении

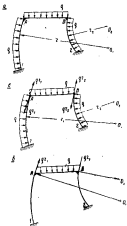


Рис. 123

определенных отрезков будем, как правило, обозначать их от начала к концу.*

Возьмем в середине отрезка \overline{AB} точку C (рис. 124), тогда этот отрезок разобьется на два отрезка: \overline{AC} и \overline{CB} . Соединим точку C с центрами круговых дуг O_1 и O_2 . Тогда \overline{OC} можно рассматривать в качестве равнодействующего отрезков $\overline{O_1A}$ и \overline{AC} , а $\overline{CO_2}$ — равнодействующего отрезков \overline{CB} и $\overline{BO_2}$. Замыкающим же отрезком отрезков $\overline{O_1C}$ и $\overline{CO_2}$ является $\overline{O_1O_2}$. При этом, поскольку бы направления ни раскладывались отрезки $\overline{O_1C}$ и $\overline{CO_2}$, величина $\overline{O_1O_2}$ не изменится, и равновесие системы сил зарушенко не будет.

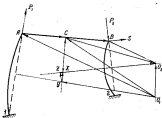


Рис. 124

Разложим отрезки $\overline{O_1C}$ и $\overline{CO_2}$ по направлениям перпендикуляров к хордам IA , $2B$ и ригелю AB . В результате получаем, что замыкающий вектор $\overline{O_1O_2}$ заменен векторами $\overline{O_1Y}$, \overline{YX} и $\overline{XO_2}$.

Выполнив переход от определяющих отрезков к силам путем поворота первых на 90° по часовой стрелке и умножений на φ , получим следующие силы:

$$\begin{aligned} P_1 &= \varphi \overline{O_1Y}, \text{ направленную по хорде } IA; \\ P_2 &= \varphi \overline{XO_2}, \text{ направленную по хорде } 2B; \\ S_1 &= \varphi \overline{YX}, \text{ направленную по ригелю } AB. \end{aligned}$$

Поскольку, согласно лемме, перекинувшую силу S_1 требуется направить перпендикулярно к одной из хорд, разложим вектор \overline{YX} на векторы \overline{FZ} и \overline{ZX} . Тогда определяющий отрезок \overline{FZ} и будет соответствовать перекинувшей силе S_1 , перпендикулярной к хорде $2B$,

* В дальнейшем для упрощения изложения определяющих отрезков будем называть отрезками.

а определяющий отрезок \overline{ZX} добавится и определяющему отрезку $\overline{XO_1}$ отчего величина силы P_1 увеличится. Окончательно имеем

$$\left. \begin{aligned} P_1 &= q\overline{O_1F} \\ P_2 &= q\overline{ZO_1} \\ S &= q\overline{YZ} \end{aligned} \right\}. \quad (67. VIII)$$

Таким образом, лемма доказана. Рассмотренная лемма имеет большое практическое значение. Так, из третьего выражения ф-л (67. VIII) видно, что для того, чтобы перекашивающая сила отсутствовала, необходимо равенство между определяющим отрезком \overline{YZ} . Последнее будет иметь место только в том случае, если вертикальные $\overline{O_1F}$, $\overline{ZO_1}$ и \overline{CY} пересекутся в одной точке, а это будет иметь место в том случае, если точки J , A , B , Z будут лежать на окружности.

Таким образом, для ответа на вопрос наличие или отсутствие перекашивающей силы достаточно убедиться, лежат ли концы круговых стержней на окружности. Если окажется, что какой-либо из четырёх точек не лежит на окружности, необходимо изменять длину одного из стержней так, чтобы все четыре точки оказались на окружности. При этом перекашивающее усилие S пропадет.

Рассмотренная лемма позволяет также легко определить усилия, направленные по хордам круговых стержней. Пусть, например, требуется определить усилия, действующие по хордам круговых стержней конструкции, показанной на рис. 125. Для нахождения этих усилий требуется произвести построение определяющих отрезков, по которым затем можно найти сами усилия.

$$P_1 = q\overline{O_1k}, \quad P_2 = q\overline{O_2k}.$$

Что касается направления усилий, то следует руководствоваться наложенным выше правилом перехода от направляющего отрезка к сило. В случае приложения давления q к рассмотренным круговым стержням с противоположной стороны, направления сил и соответствующих им определяющих отрезков, естественно, должны измениться на обратное.

Практический интерес представляет следующее свойство шарнирных полигонов, в качестве которых можно рассмотреть конструкцию (рис. 126). Конструкция загружена внешним равномерным давлением. Шарнирный полигон, составленный из жестких звеньев, шарниры которых расположены на окружности, в выгруженном равномерным давлением, находится в равновесии (рис. 126, а).

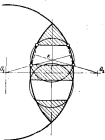


Рис. 125

Косвенно используя рассмотренную лемму, А. А. Курдюмов предложил доказательство приведенного положения, основываясь на следующем.*

1. Равнодействующие равномерного давления, приложенного к дугам, имеющим разные радиусы, равны по величине.

2. Шарнирный полигон, составленный из жестких звеньев произвольной формы и загруженный равномерно распределенным давлением, находится в равновесии, если все шарниры расположены на окружности.

Считая первое положение уже доказанным, а второе его следствием, равномерное давление, приложенное по контуру шарнирного полигона, не нарушая равновесия системы, можно заменить равномерным давлением по колышку. Поскольку в равномерно загруженном колыше изгиб отсутствует, введение шарниров в его сечение равновесия не нарушает.

Из этого следует, что полигон, шарниры которого лежат на окружности, находится в равновесии.

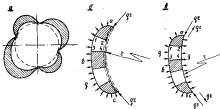


Рис. 126

Для вывода условий отсутствия изгиба рассматрим часть рамы (рис. 126, б), загруженную по наружному контуру давлением σ , действие остальной части заменимо силами σ_1 , направленными по касательным.

Загружен мысленно внутренний контур двумя равными и противоположными силами σ_1 и распределенным давлением σ , видим, что напряженное состояние рамы не изменяется. При этом приходим к выводу, что изгиб рамы вызывается всесторонним равномерным давлением (рис. 126, в).

Рассматривая любую из криволинейных бесраскосных рам, например, $I-2-3-4$, можно заменить давление на периметр $3-4$ давлением на отрезок $3-4$, а давление на периметр $I-2-3$ — давлением на отрезок $I-2$. Таким образом, изгиб бесраскосной рамы $I-2-3-4$ вызывается равномерным давлением, действующим по периметру.

На основании второго положения переход будет отсутствовать, если все узлы будут расположены на окружности.

* А. А. Курдюмов. Нижегородская форма якоря в составных плавсредствах подводных лодок. „Судостроение”, № 2, 1948.

Нами рассмотрены основные леммы о действии гидростатического давления, приложенного к круговым стержням. На их основе можно получить ряд других лемм.

§ 72. Расчет составного шпангоута однокорпусной подводной лодки

1. Конструктивная и расчетная схемы шпангоута

После определения усилий, возникающих в пологом стержне, и рассмотрения основных лемм можно перейти к рассмотрению напряженного состояния составных шпангоутов, расчет которых будет показан на примере расчета шпангоута однокорпусной подводной лодки в районе средней цистерны. Конструктивная схема такого шпангоута показана на рис. 127.

Внешнее давление интенсивности a приложено к круговому шпангоуту ADB с площадью и моментом инерции поперечного сечения F_1 и I_1 и к круговому шпангоуту крыши средней цистерны ACB с площадью и моментом инерции поперечного сечения F_2 и I_2 . К части кругового шпангоута AKB с площадью и моментом инерции поперечного сечения F_3 и I_3 внешнего давления трансвертально не приложено. В узлах A и B установлены усиленные кишки, а по оси симметрии — браншет CK .

Требуется определить те напряжения, которые возникают в стержнях составного шпангоута, находящегося под действием внешнего давления.

Применим следующий метод решения этой задачи.

1. Рассмотрим вначале более простую задачу (рис. 128, а), после рассмотрения которой вернемся к решению исходной сложной задачи (см. рис. 127).

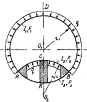


Рис. 127

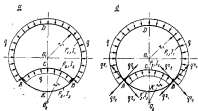


Рис. 128

2. Используя рассмотренные леммы, разложим внешнюю нагрузку рамы (см. рис. 128, а) на составляющие, вызывающие простое скатие

(растяжение) круговых стержней и их изгиб. При этом используем метод наложения, и сложную задачу представим в виде ряда простых задач. При рассмотрении простых задач используем полученные ранее результаты по изгибу круговых стержней.

3. После рассмотрения простых задач рассмотрим вопрос о выборе правильной формы кинц и бракет.

4. Путем наложения заданных выше отдельных решений получим выражение для определения напряжений, изымающих в стержнях исходной сложной задачи.

2. Разложение конструктивной сложной задачи на три простые задачи

Пользуясь методом наложения и леммой 1, представим задачу для упрощенной конструктивной схемы (см. рис. 129, а) в виде трех простых задач. Для этого приложим в узлах A и B по две равные и противоположно направленные силы σ_{fr} и σ_{fr} по направлению касательных к круговым стержням. Равновесие криволинейной рамы от этого нарушено не будет.

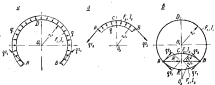


Рис. 129

Выделяя из рассматриваемой схемы загрузки криволинейной рамы группы сил и рассматривая их в отдельности, можно прийти к следующим трем задачам (рис. 129, а, б, в).

Согласно лемме 1, показанные в задаче 1 (см. рис. 129, а) силы взаимно уравновешиваются, вызывая в круговом стержне напряжения сжатия, величина которых равна

$$\sigma_1 = -\frac{\sigma_{\text{fr}}}{R_1}. \quad (68, \text{VIII})$$

В задаче 2 (см. рис. 129, б), согласно той же лемме, силы также взаимно уравновешиваются, вызывая в стержне напряжения растяжения,

$$\sigma_2 = \frac{\sigma_{\text{fr}}}{R_2}. \quad (69, \text{VIII})$$

В задаче 3 (см. рис. 129, в) все оставшиеся силы являются внешними приложенными ко всей криволинейной раме.

Согласно лемме 2, силы σ_{fr} и σ_{fr} , приложенные в точке A , приводятся к одной силе R , разной $R = \sigma_{\text{fr}} R_1$ и направленной перпендикулярно к прямой $O_1 O_2$. Такая же сила будет иметь место и в точке B .

Эти силы равны по величине, действуют по одной и той же прямой AB и направлены в разные стороны. Поэтому силы, отнесенные к задаче 3, также являются статически уравновешенными. Под действием

внем силы R в Круговом стержне составного штабгоута возникают напряжения сжатия и напряжения изгиба. Для определения этих напряжений рассмотрим, как распределяются между круговыми стержнями AKB , ACB , ADB усилия и изгибающие моменты, являющиеся результатом действия силы R (рис. 130).

Для этого задачу З, в свою очередь, разобьем еще на три отдельных задачи (рис. 131).

Для определения неизвестных сил R_1 , R_2 , R_3 и моментов M_1 , M_2 , M_3 требуется раскрыть статическую неопределенность задачи З. Следуя Н. Ф. Папковичу, используем метод деформаций. При этом будем исходить из того, что соединение стержней в узлах A и B можно считать абсолютно жесткими. Поэтому углы поворота стержней, сходящихся в узле, будут

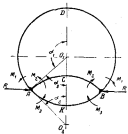
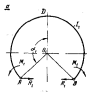


Рис. 130

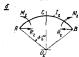


Рис. 131

одинаковыми между собой и равными углу поворота узла A . Сдвиги концов каждого из стержней должны быть равны линейному сближению узлов A и B , которое обозначим через f .

Приравнивая угол поворота узла B углу поворота конца каждого из стержней b_1 , b_2 , b_3 , а также линейное перемещение узла f линейным перемещением конца каждого из стержней f_1 , f_2 , f_3 , получим шесть уравнений для определения шести неизвестных: R_1 , R_2 , R_3 , M_1 , M_2 , M_3 .

3. Составление системы уравнений, раскрывающих статическую неопределенность задачи З

При раскрытии статической неопределенности сложной криволинейной рамы (см. рис. 130) пренебрегаем деформацией от изменения длины осей, а также единицами в стеках составляющих ее стержней.

При рассмотрении деформации каждого из стержней сложной криволинейной рамы в отдельности мы фактически имеем дело с одной и той же задачей, показанной на рис. 132.

При рассмотрении этой задачи представляют интерес выражения для угла поворота и перемещения концевых сечений стержня A и B , происходящих под действием приложенных сил R_i и момента M_i . Для этого случая в § 68 были получены формулы (см. ф-лы (5. VIII) и (7. VIII)), которые записаны применительно к рассматриваемой задаче

$$\theta_i = \frac{M_i r'_i}{EI_i} \theta_0(x_i) + \frac{R_i r_i'^2}{EI_i} \theta_1(x_i),$$

$$f_i = \frac{M_i r_i'^2}{EI_i} \theta_0(x_i) + \frac{R_i r_i'^2}{EI_i} \theta_1(x_i),$$

где r'_i — радиус нейтральной оси кругового стержня, определенный по выражению $r'_i = R_i - \epsilon_i$;

ϵ_i — отстояние нейтральной оси от наружной кромки i -го стержня.

Отстояние считается положительным, если радиус нейтральной оси меньше радиуса загруженной кромки (рис. 133). Функции $\theta_0(x_i)$, $\theta_1(x_i)$ и $\theta_2(x_i)$ определяются по выражениям (4. VIII) и (6. VIII).

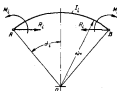


Рис. 132

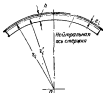


Рис. 133

Как упоминалось, исходя из жесткого крепления между собой концов стержней с помощью клиньев, углы поворота концов стержней θ_0 , θ_1 , θ_2 и линейные перемещения f_0 , f_1 , f_2 можно считать однокомпонентными, на основании чего записаны следующие уравнения равенства угловых и линейных деформаций:

$$\left. \begin{aligned} \theta_1 &= \theta_2 = -\theta_0 = \varphi \\ f_1 &= f_2 = f_0 = f \end{aligned} \right\}. \quad (70. VIII)$$

Записанные в развернутом виде ур-ния (70. VIII) с помощью ф-л (5. VIII) и (7. VIII), получим следующую систему ур-ний для определения неизвестных R_i и M_i :

для стержня ADB

$$\begin{aligned} \frac{M_1(r'_1)}{EI_1} \theta_1(z_1) + \frac{R_1(r'_1)^2}{EI_1} \theta_2(z_1) = \theta_3 = 0 \\ \frac{M_1(r'_1)^2}{EI_1} \theta_2(z_1) + \frac{R_2(r'_1)^2}{EI_1} \theta_3(z_1) + \frac{q(r'_1) f'}{EI_1} = f_2 - f \end{aligned}$$

для стержня ACB

$$\begin{aligned} \frac{M_1(r'_1)}{EI_1} \theta_1(z_1) + \frac{R_2(r'_1)^2}{EI_1} \theta_2(z_1) = \theta_3 = 0 \\ \frac{M_2(r'_2)}{EI_2} \theta_2(z_2) + \frac{R_2(r'_2)^2}{EI_2} \theta_3(z_2) - \frac{q(r'_2) f'}{EI_2} = f_3 - f \end{aligned} \quad (71, VIII)$$

для стержня AKB

$$\begin{aligned} \frac{M_2(r'_2)}{EI_2} \theta_2(z_2) + \frac{R_3(r'_3)^2}{EI_3} \theta_3(z_3) = \theta_3 = 0 \\ \frac{M_3(r'_3)}{EI_3} \theta_3(z_3) + \frac{R_3(r'_3)^2}{EI_3} \theta_1(z_3) = f_2 - f \end{aligned}$$

В системе (71, VIII) содержатся шесть уравнений, в число неизвестных равно восемь: R_1 , R_2 , R_3 , M_1 , M_2 , M_3 , θ_3 , f . Для возможности решения задачи систему (71, VIII) дополним уравнениями равновесия узлов, которые имеют вид

$$\begin{cases} R_1 + R_2 + R_3 = R \\ M_1 + M_2 + M_3 = 0 \end{cases} \quad (72, VIII)$$

Порядок определения неизвестных следующий. Пользуясь системой ур-ний (71, VIII), выражаем неизвестные реакции R_1 , R_2 , R_3 и моменты M_1 , M_2 , M_3 через неизвестные θ и f , то есть получаем зависимости

$$\begin{cases} R_1 = \varphi_1(\theta, f) \\ R_2 = \varphi_2(\theta, f) \\ R_3 = \varphi_3(\theta, f) \end{cases} \quad (73, VIII)$$

Подставляя выражения реакций и моментов (73, VIII) в ур-ния (72, VIII), находим значения θ и f . Используя полученные значения θ и f в выражении (73, VIII), находим реакции R_i и моменты M_j .

Таким образом, статическая неопределенность задачи 3 оказывается раскрыта.

4. Анализ работы составного шарнира и выбор выгодных отрывных линий и бракет

Анализируя решения, полученные для ряда сложных криволинейных рам, обычно встречается с тем фактом, что основная часть силы R и момента M воспринимается на стержне ADB , а стержнями ACB и AKB (см. рис. 130). Это объясняется тем, что жесткость стержня ADB в отношении линейных и угловых деформаций оказывается значительно

* Эти члены учитывают обвязку (удаление) конца стержней за счет их сжатия (растяжения).

меньшей по сравнению с таковой для стержней ACB и AKB с силу того, что центральный угол 2α , первого стержня значительно больше углов $2\alpha_1$ и $2\alpha_2$ остальных двух стержней. Стержнем ADB будет воспринято не более 5% от силы, приложенной ко всей раме. Следовательно, участок стержня ADB в восприятии силы R можно пренебречь, при этом будут иметь место погрешность, направленная в безнапряженную сторону. В дальнейшем будем считать, что сила R воспринимается только стержнями ACB и AKB .

Максимальная величина изгибающего момента (рис. 134) в этих стержнях определяется равной

$$M_{\max} \approx \frac{1}{4} qdc, \quad (74. VIII)$$

где c — наибольшее расстояние между круговыми стержнями ACB и AKB .

Под действием этого изгибающего момента в стержнях ACB и AKB возникают значительные напряжения изгиба. Для уменьшения этих напряжений между стержнями устанавливаются бракеты и усиленные ниппели. При этом конструкция принимает вид балансирной фермы (рис. 135).

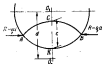


Рис. 134

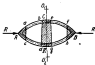


Рис. 135

Расчет этой балансирной фермы сводится к определению усилий, возникающих в стержнях ab , cd , ef и hg . Ввиду симметрии конструкции и нагрузки достаточно рассмотреть усилия, возникающие в стержнях ab и cd . Поэтому будем рассматривать не всю конструкцию $ACBK$, а ее половину ACK (рис. 136). Эта конструкция будет работать в наиболее выгодных условиях с точки зрения прочности лишь тогда, когда сила R , приложенную к криволинейной раме, можно разложить на две составляющие: T_1 и T_2 , направленные по хордам соответствующих стержней ab и cd (см. рис. 136). При этом третья (перекидающая) сила S , направленная перпендикулярно к хорде одного из стержней, должна отсутствовать. Наличие силы S нежелательно по тем соображениям, что под действием ее в стержнях возникают значительные изгибающие моменты даже в том случае, когда сила S значительно меньше сил T_1 и T_2 . Поэтому при конструировании составного шпан-

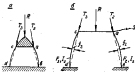


Рис. 136

ней, должна отсутствовать. Наличие силы S нежелательно по тем соображениям, что под действием ее в стержнях возникают значительные изгибающие моменты даже в том случае, когда сила S значительно меньше сил T_1 и T_2 . Поэтому при конструировании составного шпан-

гоута силу S стремятся сделать равной нулю. Последнее может быть выполнено путем выбора соответствующей формы яиц и бракет.

Для отсутствия перекашивающей силы яйцы и бракет должны быть выбраны таким образом, чтобы концы круговых стержней лежали на окружности (см. рис. 125). Сказанное подтверждается линией 4. Сформулированное условие отсутствия перекашивающей силы S и является условием выбора правильных очертаний яиц и бракет.

Рамы, в стержнях которых отсутствуют перекашивающие усилия, будем называть правильно сконструированными рамами в том смысле, что оба криволинейных стержня рамы оказываются в максимальной степени разгруженными от изгиба. При этом в круговых стержнях будут приложены силы T_3 и T_2 , направленные по торцам. Величина этих сил может быть найдена с помощью определяющих отрезков (см. рис. 124 и 125). Считая стержни ab и cd пологими и используя формулу (69) (см. рис. 113), можно по ф-зам (54. VIII) и (55. VIII) легко вычислить напряжения, возникающие в этих стержнях. Однако не следует забывать, что ф-зам (54. VIII) и (55. VIII) справедливы для случая, когда за составной шпагот действует только сосредоточенная сила R , приложенная в узлах A и B (задача 3).

Помимо этого при определении суммарных напряжений в стержнях следует учесть зависимости (56. VIII) и (59. VIII), полученные в результате рассмотрения задач 1 и 2.

5. Расчет правильных сконструированных рам

Будем считать, что составной шпагот (см. рис. 127) сконструирован правильно, и его круговые стержни в районе средней пятерни упоминают условия (51. VIII) и (52. VIII), в силу чего в этих стержнях будут возникать напряжения, определяемые в соответствии с выражениями (54. VIII) и (55. VIII), (см. рис. 113). Однако, как уже говорилось, при определении суммарных напряжений следует дополнительно учесть решения задач 1 и 2.

Выведем расчетные формулы для определения напряжений, возникающих в каждом из круговых стержней ADB , ACB и AKB (см. рис. 127). Напомним, что на рис. 126 стержень ab является частью кругового стержня ACB , нагруженного распределенным давлением φ , а стержень cd — частью стержня AKB , который распределенной нагрузкой не несет. Согласно задаче 1 и принятым допущениям, в стержне ADB возникают только напряжения сжатия

$$\sigma_1 = - \frac{\sigma_1}{P_1}, \quad (76. VIII)$$

Круговой стержень ab испытывает гидростатическое давление, а также действие сжимающего усилия T_2 (задача 2), поэтому возникающие в нем напряжения будут складываться из напряжений, определенных по выражениям (54. VIII), (55. VIII) и (59. VIII), т. е. определяются по формулам:

а) в сечениях яиц в присоединенном конце (σ_2') и в свободном торце профиля (σ_2'')

$$\left. \begin{aligned} \sigma_2' &= \frac{3T_2 - T_3}{P_2} - \frac{2}{3} \cdot \frac{T_2 J_3}{W_3} \\ \sigma_2'' &= \frac{3T_2 - T_3}{P_2} + \frac{2}{3} \cdot \frac{T_2 J_1}{W_1} \end{aligned} \right\}, \quad (76. VIII)$$

где W_1' и W_2' — моменты сопротивления, определенные для крайних волокон присоединенного и свободного поясков бимса об шпангоуты;

б) посередине пролета бимса в присоединенном (σ_3^*) и в свободном (σ_3^{**}) поясах профиля

$$\left. \begin{aligned} \sigma_3^* &= -\frac{\tau r_2 - T_b}{F_2} + \frac{1}{3} \cdot \frac{T_b f_1}{W_1'} \\ \sigma_3^{**} &= \frac{\tau r_2 - T_b}{F_2} - \frac{1}{3} \cdot \frac{T_b f_1}{W_2'} \end{aligned} \right\}, \quad (77. VIII)$$

Круговой стержень cd не испытывает гидростатического давления, и поэтому поднимающие в нем напряжения будут складываться из напряжений, вызываемых лишь сжимающей продольной силой T_b и будут равны:

а) в опорных сечениях нижней части шпангоута в присоединенном (σ_2') и в свободном (σ_2'') поясах профиля

$$\left. \begin{aligned} \sigma_2' &= -\frac{T_b}{F_2} - \frac{2}{3} \cdot \frac{T_b f_1}{W_2'} \\ \sigma_2'' &= -\frac{T_b}{F_2} + \frac{2}{3} \cdot \frac{T_b f_1}{W_2'} \end{aligned} \right\}; \quad (78. VIII)$$

б) посередине пролета в присоединенном (σ_2^*) и в свободном (σ_2^{**}) поясах шпангоута

$$\left. \begin{aligned} \sigma_2^* &= -\frac{T_b}{F_2} + \frac{1}{3} \cdot \frac{T_b f_1}{W_2'} \\ \sigma_2^{**} &= -\frac{T_b}{F_2} - \frac{1}{3} \cdot \frac{T_b f_1}{W_2'} \end{aligned} \right\}, \quad (79. VIII)$$

где W_1' и W_2' — моменты сопротивления стержня cd , определенные для крайних волокон присоединенного и свободного поясков нижней части шпангоута.

Во всех приведенных формулах наибольшая стрелка погиба стержня f_1 связана с центральным углом 2α , рассчитываемой луга каждого из стержней I_1 и его радиусом r_1 следующим соотношением (см. фигуру (37.VIII)):

$$f_1 = \frac{(r_1 - l_1) \alpha_1^2}{2} = \frac{l_1^2}{8(r_1 - \alpha_1)}, \quad (80. VIII)$$

так как $\alpha_1 = \frac{l_1}{2(r_1 - \alpha_1)}$.

Этим соотношением и рекомендуется пользоваться для более точного определения f_1 , поскольку снятые с чертежа значения f_1 (особенно когда они малы) могут иметь значительную погрешность.

Сформулированное выше условие отсутствия перекашивающего усилия, предложенное В. Ф. Сегаль, является приближенным и справедливым.

лины в тех случаях, когда контур, к которому приложено гидростатическое давление, практически совпадает с нейтральной осью кругового стержня. В том случае, когда такого совпадения нет или иначе неты шлангоута по профилю сильно отличаются от профилей бимса крыши мастерны, необходимо подойти к выбору формы книц и бракет более строго, как это предложено П. Ф. Папковичем.*

Рассмотрим более точное решение задачи. Пусть имеется сложная рама, действует гидростатическое давление на которую способствует в результате к двум силам q_{T_1} и q_{T_2} , приложенным к круговым стержням в точках B_1 и B_2 (рис. 137, а).

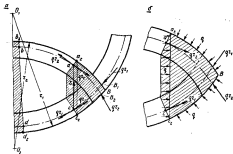


Рис. 137

Равновесие рамы не нарушается, если в точке a приложить две равные и противоположно направленные силы q_{T_1} , касательные в этой точке к дуге B_2ab , и в точке C — силы q_{T_2} , касательные в этой точке к дуге B_1cd . Точно так же равновесие не нарушится, если книзу вдоль всего ее периметра $a_1a_2a_3$ дополнительно загрузить равномерной нагрузкой интенсивности q (см. рис. 137, б). Тогда силы q_{T_1} и q_{T_2} , показанные на рис. 137, б, уравновесят нагрузку q , распределенную вдоль дуг B_2ab и B_1cd , и действие на раму исходных сил q_{T_1} и q_{T_2} , приложенных в точках B_1 и B_2 , сводится к действию двух оставшихся сил q_{T_1} и q_{T_2} , приложенных в точках a и c , и к силе $Q = q_{a_1a_2a_3}$, распределенной равномерно вдоль линии $a_1a_2a_3$, длину которой обозначим через 2π .

Рассмотрим теперь эти три силы на силы T_1 и T_2 , направленные параллельно хордам ab и cd и вызывающие эксцентрическое сжатие круговых стержней, соответствующее рис. 113, и на силу S , направленную вдоль дуги и перекишающую рассматриваемое поле рамы.

* П. Ф. Папкович, Справочник моряка корабля, Ч. I, Т. II, «Морской транспорт», 1947.

Для этого предварительно проведем линию a_1b_1 , параллельную хорде ab и отстоящую от нее на $\frac{2}{3}f_2$, в линии c_1d_1 , параллельную хорде cd и отстоящую от нее на $\frac{2}{3}f_1$ (рис. 136).

Разложим силу Q на две параллельные ей силы Q_1 и Q_2 , приложенные в точках a_1 и c_1 . Кроме того, в эти же точки перенесем силы φr_1 и $\varphi' r_2$.

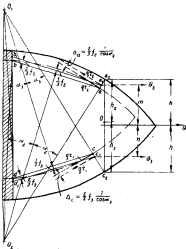


Рис. 136

Таким образом, вместо сил φr_1 и $\varphi' r_2$, приложенных в точках a и c , и силы Q , приложенной поперек отрезка ab , в результате будем иметь систему следующих четырех сил:

φr_1 и Q_1 — в точке a_1 ;

$\varphi' r_2$ и Q_2 — в точке c_1 .

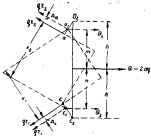


Рис. 139

Величина сиа Q_1 и Q_2 определяется из условий статики; приравнивак сумму моментов старых и новых сил (рис. 139) относительно точек O_1 и O_2 , будем иметь

$$\begin{aligned} qr_2\Delta_2 - mQ + qr_1k_1 &= qr_1(k_1 + \Delta_1) - (m + n)Q_2, \\ -qr_1\Delta_1 - qr_2k_2 + nQ &= -qr_2(k_2 + \Delta_2) + (m + n)Q_1; \end{aligned}$$

откуда

$$Q_1 = qk_1, \quad Q_2 = qk_2, \quad (81. VIII)$$

где

$$\begin{aligned} k_1 &= 2h \left[\frac{\pi}{m+n} + \frac{r_2\Delta_2 - r_1\Delta_1}{2h(m+n)} \right], \\ k_2 &= 2h \left[\frac{\pi}{m+n} + \frac{r_1\Delta_1 - r_2\Delta_2}{2h(m+n)} \right]. \end{aligned} \quad (82. VIII)$$

Для определения Δ_1 и Δ_2 можно воспользоваться выражениями (см. рис. 138)

$$\begin{aligned} \Delta_1 &= \frac{2}{3}f_1 \frac{1}{\cos \alpha_1}, \\ \Delta_2 &= \frac{2}{3}f_2 \frac{1}{\cos \alpha_2}, \end{aligned} \quad (83. VIII)$$

где согласно выражению (80. VIII), времем

$$\begin{aligned} f_2 &= \frac{1}{3} \cdot \frac{r_2^2}{r_1^2}, \\ f_1 &= \frac{1}{3} \cdot \frac{r_1^2}{r_2^2}. \end{aligned} \quad (84. VIII)$$

Тогда

$$\left. \begin{aligned} \delta_x &= \frac{1}{12} \cdot \frac{d_1^2}{r_2} \cdot \frac{1}{\cos \alpha_2} \\ \delta_y &= \frac{1}{12} \cdot \frac{d_1^2}{r_1} \cdot \frac{1}{\cos \alpha_1} \end{aligned} \right\} \quad (85, VIII)$$

Определено δ_x и δ_y , и сила с чертежа величины τ , σ и λ , можно найти по ф-ле (82, VIII) величины k_1 и k_2 и по ф-ле (81, VIII) силы Q_1 .

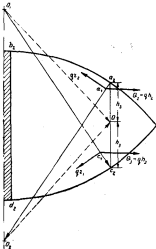


Рис. 140

и Q_1 . Заменим теперь силы, приложенные в точках d_1 и d_3 , определяющими отрезками, представляющими собою в масштабе q (рис. 140) сами силы. Для силы $\sigma\tau$, имеем определяющий отрезок $\overline{O_1P_1}$, для силы $\varphi\lambda$ — отрезок $\overline{O_2P_2}$; силы же Q_1 и Q_2 определяются отрезками $\overline{O_1Q_1}$ и $\overline{O_2Q_2}$.

Сложив геометрически определяющие отрезки $\overline{O_1C_1}$ и $\overline{O_2D_1}$, получим отрезок $\overline{OO_1}$, который будет определять равнодействующую силы q_F и Q_1 . Точно так же равнодействующую силу q_F и Q_2 можно выразить отрезком $\overline{OO_2}$, сложив геометрически определяющие отрезки $\overline{O_2D_2}$ и $\overline{O_1C_2}$.

Для того чтобы определить, какая сила действует вдоль a_1b_1 (рис. 141), сжимая стержень ab , и вдоль c_1d_1 , сжимая стержень cd ,

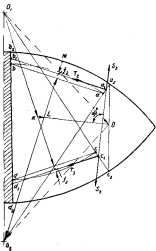


Рис. 141.

и какая сила действует вдоль a_1c_1 , называемая перекос рамы, достаточно разложить по этим направлениям определяющие отрезки $\overline{O_1O}$ и $\overline{OO_2}$ и найти силы, соответствующие этим отрезкам.

Разложение определяющий отрезок $\overline{OO_2}$ на направление, перпендикулярное к a_1c_1 , и направление, перпендикулярное к a_1b_1 . Определяю-

иные отрезки по данным направлениям, очевидно, будут \overline{OL} и $\overline{LO_2}$, в определяемые этими отрезками силы,

$$T_1 = q\overline{LO_2}, \quad (86. VIII)$$

$$S_2 = q\overline{OL}. \quad (87. VIII)$$

Разложив аналогичным образом определяющий отрезок $\overline{O_1O}$, получим

$$T_2 = q\overline{O_1L}, \quad (88. VIII)$$

$$S_3 = q\overline{LO}. \quad (89. VIII)$$

Заметим, что силы S_2 и S_3 направлены в противоположные стороны, и поэтому они могут быть заменены одной силой S

$$S = S_2 - S_3 = q\overline{KL}, \quad (90. VIII)$$

направленной от точки L , к точке K , если точка K лежит левее точки L , и в обратном направлении, если точка K окажется правее точки L .

Чтобы перекишающее усилие S различалось нулю, необходимо так подобрать размеры бракеты и клиньи, ограничивающие рассматриваемое поле рамы, чтобы перпендикуляры, опущенные из точки O_1 на лорду cd , из O_2 на хорду ab и из O на прямую a_2c , пересекались в одной точке. Если этого добиться, то сила S обращается в нуль, и круговые стержни ab и cd будут работать в наиболее благоприятных условиях. Напряжения, возникающие в этих стержнях, определяются по формулам (76. VIII) и (79. VIII), а усилие $qr_2 - T_2$, входящее в числитель, определяется по равенству

$$qr_2 - T_2 = q(r_2 - \overline{LO_2})$$

или

$$qr_2 - T_2 = q\overline{ML}. \quad (91. VIII)$$

Итак, для того чтобы проверить, правильно ли сконструировано поле рассмотренной рамы, следует:

1. Соединить точку пересечения внутренних кромок бимса и клиньи с центром окружности бимса O_2 и на получившем таким образом радиусе-векторе зафиксировать точку a — точку пересечения его с центральной осью бимса, точку a_1 , отстоящую от точки a на величину l_{a_1} , и точку a_2 — точку пересечения радиуса с окружностью, вдоль которой приложена нагрузка q .

2. Соединить точку пересечения внутренних кромок шлангоута и клиньи с центром окружности шлангоута O_1 и зафиксировать на полуциклическом таким образом радиусе-векторе точку c , c_1 и c_2 .

3. На прямой, соединяющей точки a_2 и c_2 , найти с помощью формулы (82. VIII) положение точки O .

4. Опустить перпендикуляры из точки O на прямую, соединяющую точки a и c , а из центров O_1 и O_2 — на лорды cd и ab .

Если все три перпендикуляра пересекутся в одной точке, то можно считать, что поле рамы сконструировано правильно, и для расчета круговых стержней ab и cd можно использовать формулы (76. VIII) — (79. VIII). В противном случае следует либо изменить форму бракеты и клиньи, либо, что менее целесообразно, рассчитать раму с учетом перекишающей силы S .

В большинстве случаев условие перекашиваемости рамы эквивалентно условию пересечения в одной точке трех перпендикуляров, восстановленных из середины отрезков ab_1 , ac_1 , cb_1 . Другими словами, необходимо, чтобы точки a_1 , b_1 , c_1 и d_1 лежали на одной окружности, как показано на рис. 142. Это условие перекашиваемости рамы является приближенным и всегда может быть проверено с помощью изложенного выше строгого условия П. Ф. Папкоевича, который рекомендует следующий практический порядок конструирования рассматриваемых рам.

1. Форма бракет выбирается такой, чтобы точки a_1 , b_1 , c_1 и d_1 были расположены на одной окружности.

2. С помощью изложенных выше построений выясняется, равна ли перекашивающая сила S нулю.

3. Если $S=0$, то расчет рамы выполняют по зависимостям (78, VIII) — (79, VIII). Если $S \neq 0$ и влияние этой силы не выходит за пределы допустимого, то проводят вызванные ею напряжения к изнурению, полученные от сил T_2 и T_3 , и суммарные напряжения сравнивают с допускаемыми. Если сила S чрезмерно велика, то следует изменить форму бракеты или кницы, зафиксировав положение любых трех точек из a_1 , b_1 , c_1 и d_1 и выбрав положение четвертой точки таким образом, чтобы свести силу S к минимуму.

6. Характер работы составного шпангоута при испытании средней кницей на стапеле

Представляет интерес вопрос, как изменится напряженное состояние рассмотренного составного шпангоута при испытании средней кницей на стапеле. Загрузка составного шпангоута при испытании на стапеле показана на рис. 143. Выясним, насколько отличаются условия работы отдельных частей составного шпангоута при погружении подводной лодки (в рабочих условиях прочного корпуса, см. рис. 127) и при испытании на стапеле.

Так в рабочих условиях:

а) круговой стержень ADB работает на простое сжатие силой Φr_1 ;

б) круговой стержень ACB растягивает силой Φr_2 ;

в) круговые стержни ACB и AKB воспринимают сжимающие усилия $\Phi \bar{O}_1 \bar{O}_2$, направленные навстречу друг другу.

В условиях испытания на стапеле:

а) круговой стержень ADB не напряжен;

б) круговой стержень AKB растягивается силой Φr_1 , а круговой стержень ACB — силой Φr_2 ;

в) вся конструкция, состоящая из круговых стержней ACB и AKB , сжимается силами $\Phi \bar{O}_1 \bar{O}_2$, величина и направление которых такие же, как и при погружении подводной лодки.

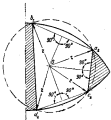


Рис. 142

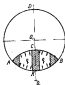


Рис. 140

Таким образом, можно сделать следующий вывод. Испытание на стапеле средней цистерны позволяет проверить прочность кругового стержня АСВ. Что касается кругового стержня АКВ, то возникающие в нем напряжения от действия сжимающего усилия σ_{AB} при погружении подводной лодки в значительной мере компенсируются появлением при испытании на стапеле растягивающей силы σ_1 , что изменяет эти самые условия работы в благоприятную сторону.

Верхняя ветвь составного шлангоута, как уже отмечено, испытанию практически не подвергается.

§ 73. Различные варианты составных шлангоутов подводных лодок

Помимо рассмотренного случая могут встречаться многочисленные другие конструкции составных шлангоутов. Некоторые из них показаны на рис. 144, а, б, в, г.

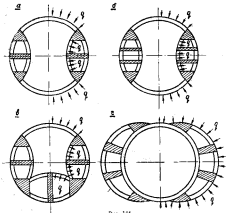


Рис. 144

Расчет этих составных шлангоутов имеет свои особенности, на которых мы и остановимся.

Заметим, что расчет основного шлангоута следует производить не только на действие внешнего давления, соответствующего случаю погружения подводной лодки, но и на внутреннее давление при испытании прочного корпуса, его конструкций или отдельных цистерн на стапеле.

Рассмотрим, как можно производить расчет прочности составных шпангоутов, считая, что они сконструированы правильно, т. е. входящие в их состав стержни в максимальной степени разгружены от изгиба.

1. Составной шпангоут в рабочем состоянии

Расчет такого составного шпангоута (рис. 144, а) ничем не отличается от рассмотренного выше случая. Как и в рассмотренном составном шпангоуте (см. рис. 127), действие равномерного внешнего гидростатического давления можно разделять на две части:

- 1) нагрузку, не вызывающую изгиб составного шпангоута;
- 2) нагрузку, вызывающую его изгиб.

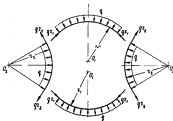


Рис. 145

Первая часть нагрузки вызывает сжатие верхнего и нижнего круговых стержней силой φ_1 и растяжение боковых круговых стержней силой φ_2 (рис. 145). Нагрузка, вызывающая изгиб, состоит из двух сил $\varphi\overline{O_1O_2}$, направленных навстречу друг другу перпендикулярно к прямой $\overline{O_1O_2}$ (рис. 146). При этом круговые стержни ab и cd , концы которых лежат на окружности, оказываются нагруженными продольными сжимающими силами соответственно $T_1 = \varphi\overline{O_1E}$ и $T_2 = \varphi\overline{O_2F}$. Каждый из круговых стержней подвержен изгибу в той же мере, как это имеет место при нагрузке, показанной на рис. 113.

Переходя к рассмотрению составного шпангоута (см. рис. 144, б) можно отметить, что его изгиб будет вызван той же силой $\varphi\overline{O_1O_2}$ (рис. 147). При этом расчет рамы $abed$ и $efgh$ ничем не отличается от рассмотренного случая. Что касается расчета рамы $Algh$, то, поскольку при расчете жестких рам на изгиб мы определим значения действующих на раму усилий, исходя из первоначальной формы рамы, можно считать части рамы, расположенные выше прямой Al и ниже прямой lh , недеформируемыми в той же мере, в какой считаем недеформируемой юницу Agc при расчете рамы $abdc$.

Сказанное дает основания все приведенные рассуждения применять к расчету поля \bar{b}_1 . Основное условие, которое при этом должно быть

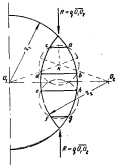


Рис. 146

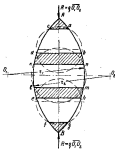


Рис. 147

выполнено, заключается в том, чтобы все бранцы, соединяющие основное шпангоутное кольцо со шпангоутом внутренних пистерн, практически не деформировались под действием приходящихся на них усилий.

3. Составные шпангоуты в районе бортовых и средней пистерн

Эти шпангоуты (рис. 144, б) также можно рассматривать находящимися под действием двух нагрузок:

- не вызывающей изгиба круговых стержней (рис. 148);
- вызывающей изгиб рамы (рис. 149) и состоящей из следующих сил:

$$R_1 = q \bar{Q}_1 \bar{Q}_1, \quad R_2 = q \bar{O}_1 \bar{O}_1,$$

$$R'_1 = q \bar{O}_1 \bar{O}'_1, \quad R'_2 = q \bar{O}'_1 \bar{O}_1.$$

При этом нагрузка каждого из полей бортовых пистерн аналогична нагрузке рассмотренного выше поля составных шпангоутов.

Несколько менее ясным может оказаться вопрос о расчете средней пистерни. Однако на помощь здесь приходит основная предпосылка о неизменности первоначальной формы жестких рам при передачении изгибающих моментов. Эта предпосылка позволяет бортовые пистерны считать недеформируемыми.

При использовании данного предположения загрузки средней пистерны не изменятся от прикладывания к бортовой пистерне любой совокупности взаимно уравновешивающихся сил. Приведем к фактической за-

труже рассчитываемой рамы равномерно распределенное внешнее давление \bar{q} , направленное внутрь бортовой цистерны (рис. 150, а), придан

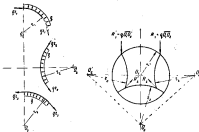


Рис. 150

Рис. 150 б

и нагрузке, изображенной на рис. 150, б. Эта нагрузка вызывает в наборе средней цистерны такой же изгиб, как две противоположные настрему друг другу силы $R = q \Delta O_2 O_3$, приложенные в точках A и B (см. рис. 150, в).

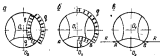


Рис. 150

Сказанное выше о расчете набора бортовых цистерн распространяется и на расчет набора средней цистерны. Аналогично может быть рассчитан и составной шлангоут, показанный на рис. 144, г.

3. Составной шлангоут, состоящий из трех круговых стержней

В заключение рассмотрим расчет шлангоутной рамы, состоящей из трех круговых стержней (рис. 151).

При конструировании такого рода шлангоута важно и значительной мере разгрузить от изгиба его круговые стержни, что можно выполнить путем установки распор. При этом задача сводится к отысканию тех усилий, действию которых подвергается каждая из распор.

Согласно лемме 2 все три дуги будут разгружены от изгиба, если к концам круговых стержней ABD и AEC по направлению касательных будут приложены сжимающие на усилия q_x , а по концам кругового стержня BFC усилия q_y .

Равнодействующая круговых стержней ADB и AEC , складывающаяся, даёт усилие $R_1 = q\overline{O_1O_2}$, направленное перпендикулярно к прямой $\overline{O_1O_2}$. Расследование этого усилия по направлению стержней AB и AC , получим, что усилие, сжимающее распорку AB , равняется $S_1 = q\overline{O_1O_1}$, усилие же, сжимающее распорку AC , есть $S_2 = q\overline{O_2O_2}$, где $\overline{O_1O_1}$ и $\overline{O_2O_2}$ — соответствующие отрезки, снимаемые с перпендикуляров, восстановленных из средин каждой из распорок AB и AC соответственно.

Аналогично равнодействующая давлений круговых стержней ADB и BFC в точке B есть сила $R_2 = q\overline{O_2O_3}$, направленная перпендикулярно к отрезку $\overline{O_2O_3}$.

Эта сила, будучи разложена на составляющие по направлениям BA и BC , дает силу $S_3 = q\overline{O_2O_2}$, сжимающую распорку AB , и силу $S_4 = q\overline{O_3O_3}$, сжимающую распорку BC .

Отрезок $\overline{O_2O_2}$ и $\overline{O_3O_3}$ лежат на нормалих к прямым AB и BC .

Аналогично равнодействующая давлений, приложенных к дугам AEC и CFB в точке C ($R_3 = q\overline{O_3O_4}$), дает в направлении CA силу $S_5 = q\overline{O_3O_3}$, сжимающую распорку AC , и в направлении BC силу $S_6 = q\overline{O_4O_4}$, сжимающую распорку BC .

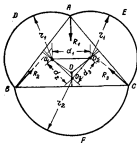


Рис. 151

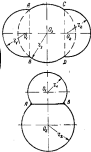


Рис. 152

Таким образом, для определения усилий, воспринимаемых каждой из распорок, достаточно:

а) опустить из концов отрезка $\overline{O_1O_2}$, соединяющего центры дуг ADB и AEC , перпендикуляры на линии AB и AC ;

б) соединить с центром O_1 дуги BFC точку O — точку пересечения продолжений двух только что упомянутых перпендикуляров. Тогда усилие, сжимающее пиллером, выражается формулами:

для пиллера AB

$$S_1 = S_3 = q\overline{O_1O_1}, \quad (92. VIII)$$

для диаметра AC

$$S_0 = S_1 = q\overline{OC}, \quad (93. VIII)$$

для диаметра BC

$$S_0 = S_1 = q\overline{OC}U. \quad (94. VIII)$$

На эти усилия и требуется рассчитать распорки AB , BC и AC , чтобы разгрузить в максимальной мере круговые стены от изгиба.

Точно так же могут быть определены усилия, на которые следует рассчитать распорки AB и CD шлангутных колец, изображенных на рис. 153.

§ 74. Круговой шлангут, одна ветвь которого расположена внутри, а другая снаружи прочного корпуса

Многие по конструкционным соображениям одну часть шлангута устанавливают снаружи, а другую внутри обшивки прочного корпуса (рис. 153, а). При таком выполнении шлангута появляется необходимость более точного определения его напряженного состояния. Круговой шлангут при умеренном внешнем давлении во всем своем сечении испытывает деформации сжатия. В том случае, когда нейтральная ось шлангута не является окружностью, шлангут под действием внешнего давления может испытывать значительные деформации изгиба, несмотря на то, что контур, к которому приложено это давление, и имеет круговую форму (рис. 153, б).

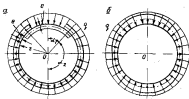


Рис. 153

Рассмотрим наиболее часто встречающийся на практике случай, когда профиль обеих ветвей шлангута одинаков.

Под действием внешнего давления, помимо сжатия в местах соединения ветвей, возникают значительные деформации изгиба, вызванные действием двух пар сил $T=dr$, которые передаются с одной ветви шлангута на другую (рис. 154). Тогда величина изгибающего момента, приложенного в месте соединения ветвей шлангута, определяется выражением:

$$\mathfrak{M} = 27r,$$

(95. VIII)

Под действием этих моментов и будет происходить изгиб шпангоута (рис. 155). Такие изгибающие моменты воспринимаются обеими ветвями шпангоута в одинаковой мере, следовательно, надо определить, в какой мере каждая из ветвей участвует в восприятии этих изгибающих момен-

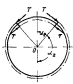


Рис. 154

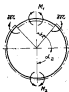


Рис. 155

тов, предполагая, что $\alpha \ll r$.⁴ За основные неизвестные примем изгибающие моменты на концах вертикальной оси шпангоута M_1 и M_2 . Выражение для изгибающего момента в текущем сечении шпангоута можно записать в такой форме:

$$M = M_1 \varphi_1(z) + M_2 \varphi_2(z) + \mathfrak{M} \psi_3(z), \quad (96. VIII)$$

так

$$\left. \begin{aligned} \varphi_1(z) &= \frac{1}{2}(1 + \cos z) \\ \varphi_2(z) &= \frac{1}{2}(1 - \cos z) \\ \psi_3(z) &= -\frac{1}{2}(1 - \cos z) + \mathbb{L}_1 z \end{aligned} \right\}. \quad (97. VIII)$$

При этом угол z отсчитываем от верхней точки кольца.

Используя теорему Кастильяно, можно написать следующие выражения:

$$\frac{\partial V}{\partial M_1} = 0, \quad \frac{\partial V}{\partial M_2} = 0,$$

разделив которые и учитывая, что EI от z не зависит, получим систему для определения M_1 и M_2 :

$$M_1 \int_{-\pi}^{\pi} \varphi_1^2(z) dz + M_2 \int_{-\pi}^{\pi} \varphi_1(z) \varphi_2(z) dz = -\mathfrak{M} \int_{-\pi}^{\pi} \varphi_1(z) \psi_3(z) dz,$$

$$M_1 \int_{-\pi}^{\pi} \varphi_2(z) \varphi_1(z) dz + M_2 \int_{-\pi}^{\pi} \varphi_2^2(z) dz = -\mathfrak{M} \int_{-\pi}^{\pi} \varphi_2(z) \psi_3(z) dz.$$

* Решение задачи при допущении оного круглого сечения также получено П. Ф. Павловичем в книге „Сооружение морских кораблей”, Ч. I, Т. II, „Морской транспорт”, 1947.

Подставив в эти уравнения значения функций φ_1 , φ_2 , φ_3 , согласно формулам (97, VIII), и приняв во внимание, что

$$\int \varphi_1^2(z) dz = \int \varphi_3^2(z) dz = \frac{3}{8} \pi,$$

$$\int \varphi_1(z) \varphi_3(z) dz = \frac{1}{4} \pi,$$

$$\int \varphi_1(z) \varphi_2(z) dz = -\frac{1}{8} \pi + \frac{1}{2} (a_2 - \sin a_2),$$

$$\int \varphi_2(z) \varphi_3(z) dz = -\frac{3}{8} \pi + \frac{1}{2} (a_2 + \sin a_2),$$

окончательно будем иметь

$$2M_1 + M_2 = \left[1 - \frac{4}{\pi} (a_2 - \sin a_2) \right] M,$$

$$M_1 + 3M_2 = \left[3 - \frac{4}{\pi} (a_2 + \sin a_2) \right] M,$$

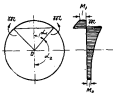
откуда

$$\begin{aligned} M_1 &= \frac{M}{\pi} (2 \sin a_2 - a_2) \\ M_2 &= \frac{M}{\pi} (a_2 - 2 \sin a_2) \end{aligned} \quad | \quad . (98, VIII)$$

Эпюра изгибающего момента имеет вид, показанный на рис. 196. Наибольшего своего значения изгибающий момент достигает в месте соединения ветвей шлангута. При определении напряжений, возникающих в шлангуте, следует к напряжению изгиба прибавить напряжение сжатия, и суммарные напряжения выражать по формуле

$$\sigma = \pm \frac{M}{W} + \frac{\tau}{r}.$$

Рис. 196



§ 75. Устойчивость крутового шлангута и его части

1. Устойчивость крутового шлангута

Под действием внешнего равномерного давления интенсивности φ , приложенного к крутовому шлангуту радиуса r , в последнем возникают усилия сжатия φr . При этом изгибающие моменты и перерезывающие силы в его сечениях отсутствуют.

С увеличением внешнего давления до некоторой определенной величины круговая форма шлангута перестает быть устойчивой формой равновесия.

По аналогии с устойчивостью цилиндрической оболочки та величина внешнего давления, при которой круговая форма шлангута перестает быть устойчивой, называется критической давлением.

Для определения величины критического давления используем метод интегрирования дифференциального уравнения нейтрального равновесия, считая, что имеет место наличие малого отклонения шлангута от его первоначальной круговой формы. При получении шлангутом малого отклонения от первоначальной формы в его попечеренных сечениях появляются изгибающие моменты, величина которых будет определяться изменением кривизны оси шлангута

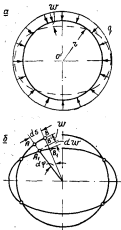


Рис. 157

изменение A_1B' (равномерное обжатие) в последующем относительно точки A_1 . Поэтому и изменения кривизны будут состоять из двух частей, каждая из которых будет соответствовать одному из названных перемещений.

Равномерное обжатие кругового шлангута под действием внешнего давления на величину w приводит к следующему изменению кривизмы:

$$\kappa_1 = \frac{1}{r-w} - \frac{1}{r} = \frac{w}{r(r-w)} \approx \frac{w}{r^2}, \quad (99, VIII)$$

Изменение кривизны за счет поворота элемента A_1B' является результатом неравномерного распределения перемещения w по периметру шлангута при потере им устойчивости. Определим это дополнитель-

$$M = EI \left(\frac{1}{r} - \frac{1}{r_0} \right) = EI\kappa_1 (99, VIII)$$

где r — радиус кривизны после приложения давления;
 r_0 — его начальное значение.

Преобразуем известное выражение (99, VIII) таким образом, чтобы изменение кривизны шлангута $\kappa = \frac{1}{r} - \frac{1}{r_0}$ выражалось через его радиальное перемещение w , положительные направления которых отчитываются к центру шлангута (рис. 157, а).

Будем характеризовать деформации шлангута радиальными перемещениями w , считая их малыми по сравнению с r . Для определения изменения кривизны рассмотрим деформацию элемента шлангута A_1B' (рис. 157, б).

После деформации этот элемент займет положение A_1B' . Это положение элемента может занять путем прихода в положение

тальное изменение кривизны. Согласно общему определению, кривизна вычисляется по формуле

$$\kappa = \frac{d\theta}{dr}. \quad (101. VIII)$$

Угол $d\theta$ в рассматриваемом случае представляет поворот сечения элемента в точке B_1 относительно сечения в точке B' или, что то же самое, угол между касательными к дугам A_1B' и A_1B_1 в точках B_1 и B' (рис. 158).

Определим этот угол, считая, что расстояние между точками A_1 и B' в процессе деформации шпангоута не изменяется.

На рисунке 157 видно, что при перемещении точки A в положение A_1 касательная поворачивается на угол

$$\frac{dw}{dr} = \frac{1}{r} \cdot \frac{dx}{dr}.$$

В точке B_1 , отстоящей от точки A на расстояние $ds = r d\varphi$, угол поворота касательной будет

$$\frac{1}{r} \left(\frac{dw}{dr} + \frac{\partial w}{\partial r} d\varphi \right).$$

Интересующий нас угол поворота касательных $d\theta$ будет равен

$$d\theta = \frac{1}{r} \cdot \frac{\partial w}{\partial r} d\varphi.$$

Рис. 158

При этом, в соответствии с (101. VIII) дополнительное изменение кривизны определяется выражением

$$\kappa_1 = \frac{1}{r^2} \cdot \frac{\partial^2 w}{\partial r^2} \quad (102. VIII)$$

и, следовательно, суммарное изменение кривизны будет

$$\kappa = \kappa_1 + \kappa_2 = \frac{1}{r^2} \left(w + \frac{\partial^2 w}{\partial r^2} \right). \quad (103. VIII)$$

Тогда разностно (99. VIII) можно записать в таком виде:

$$\frac{EI}{r^3} \left(w + \frac{\partial^2 w}{\partial r^2} \right) = -M. \quad (104. VIII)$$

Будем считать, что положительный изгибающий момент увеличивает кривизму стержня. Для согласования знаков перемещения и момента в правой части выражения (104. VIII) поставлен минус, поскольку положительному перемещению w к центру соответствует отрицательный изгибающий момент.

Для дальнейшего решения задачи определим изгибающий момент в произвольном сечении шпангоута, получившего отклонения от первоначального положения. Это отклонение характеризуется появлением нескольких волн по его периметру. Будем предполагать, что образовавшиеся волны имеют одинаковую длину и высоту.

Выразим изгибающий момент, действующий в любом сечении шлангоута, через внешнюю нагрузку.

В узлах, являющихся точками перегиба, изгибающие моменты, очевидно, будут равны нулю. Если узлы лежат на окружности, то в них можно привести шарниры, поскольку в данном случае шарнирный полигон, загруженный равномерным давлением, находится в равновесии. При этом в узлах, лежащих на окружности (которую будем называть узловым кругом шлангоута), будут приложены силы q_f , направленные по касательной к узловому кругу (рис. 159).

Определим изгибающий момент, действующий в сечении B . На основании свойства равномерного давления q можно краину AB заменить ломаной ACB , к которой приложено то же самое давление q . Согласно

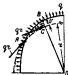


Рис. 159

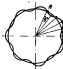


Рис. 160

лемме 1, в точке C будет действовать сосредоточенное усилие q_f , которое совместно с давлением q , приложенными к отрезку BC , вызывает в сечении B изгибающий момент

$$M_B = q_f w + \frac{q w^2}{2}. \quad (105. VIII)$$

Ввиду малости w по сравнению с l второй членом выражения (105. VIII) можно пренебречь и принять

$$M = q_f w. \quad (106. VIII)$$

При этом уравнение изгиба (104. VIII) записывается так:

$$\frac{EI}{R^3} \left(\frac{d^2w}{dx^2} + w \right) = -q_f w. \quad (107. VIII)$$

Введя обозначение:

$$\pi^2 = 1 + \frac{q_f^2}{EI}, \quad (108. VIII)$$

придем к следующему дифференциальному уравнению изгиба:

$$w'' + \pi^2 w = 0, \quad (109. VIII)$$

общим интегралом которого будет

$$w = C_1 \cos \pi x + C_2 \sin \pi x,$$

Поскольку образующимся при потере устойчивости шлангоута по его периметру волны приняты одинаковыми, то w должно быть периодической

ческой функцией угла θ , что будет иметь место, если принять n целым числом.

Для определения постоянных интегрирования C_1 и C_2 примем за начальную отсчета угла точку, например A , лежащую на удалении a (рис. 160). Тогда можно записать следующие граничные условия:

$$\omega = 0 \text{ при } \theta = 0,$$

$$\omega = \omega_{\max} = \omega_0 \text{ при } \theta = \frac{2\pi}{m} = \frac{\pi}{m}.$$

Выражение для изогнутой оси кругового шлангута примет вида

$$\omega = \omega_0 \sin m\theta, \quad (III. VIII)$$

где m — число волн, образующихся по окружности.

Для образования m волн внешнее давление, согласно выражению (III. VIII), должно быть равно

$$q_0 = \frac{(m^2 - 1) EI}{r^3}. \quad (III. VIII)$$

Из выражения (III. VIII) видно, что с увеличением числа волн, образующихся при потере устойчивости, эйлерова нагрузка шлангута возрастает.

Практический интерес представляет единичное давление, при котором может наступить потеря устойчивости. Прокажем его определение.

При $m=1$ отсутствует отклонение кругового шлангута от первоначального положения, т. е. он находится в состоянии устойчивого равновесия. Поэтому минимальному значению q_0 будет соответствовать $m=2$, при котором

$$q_0 = \frac{3EI}{r^3}. \quad (III. VIII)$$

Другие формы потери устойчивости колца, соответствующие случаям $m > 2$, возможны только при наложении на колцо дополнительных связей, которые исключают возможность потери устойчивости с образованием двух волн.

Следует обратить внимание на то, что выражение (III. VIII) дастся значение интенсивности внешнего давления q , могущего вызвать потерю устойчивости изогнутого шлангута.

Поскольку шлангут работает в составе прочного корпуса, то при определении q_0 нужно учесть разгружающее влияние поперечных переборок.

2. Устойчивость изогнутого кругового стержня*

Аналогично решается задача об устойчивости равномерно загруженного кругового стержня (рис. 161).

Истинная форма стержня при потере им устойчивости показана на чертеже пунктиром.

Дифференциальное уравнение изгиба в этом случае имеет вид

$$\omega'' + a[\omega] = 0, \quad (III. VIII)$$

* Определение критического давления для колца показано из книги С. И. Тимофеева „Курс теории упругости“. Ч. II. Петроград, 1911.

$$\dot{\varphi}_1^2 = 1 + \frac{2\pi^2}{EJ}, \quad (114. VIII)$$

а общий интеграл

$$w = C_1 \sin \varphi_1 t + C_2 \cos \varphi_1 t.$$

Поскольку перемещение на левой опоре отсутствует, то, очевидно,

$$C_2 = 0 \text{ и } w = C_1 \sin \varphi_1 t. \quad (115. VIII)$$

Постоянная интегрирования C_1 представляет собой наибольшее отклонение стержня от первоначального положения.

Действительно, так как φ_1 представляет собой число колебаний, образующихся на длине стержня при потере им устойчивости, то величина угла φ_1 определяется выражением

$$\varphi_1 = \frac{2\pi}{4\kappa} = \frac{\pi}{2\kappa},$$

подставляя которое в выражение (115. VIII), получим

$$C_1 \sin \frac{\pi}{2} = w_0.$$

откуда

$$C_1 = w_0.$$

В силу отсутствия перемещения от на правом конце стержня

$$w = C_1 \sin \varphi_1 t = 0, \quad \varphi_1 t = 2\pi k,$$

где k — целое число.

На выражении (114. VIII) находим эйлерово значение внешнего давления

$$q_0 = \frac{EI}{r^2} \left(\frac{4\pi^2 m^2}{l^2} - 1 \right). \quad (116. VIII)$$

Интересующее нас наименьшее критическое давление будет при $k = 1$

$$q_0 = \frac{EI}{r^2} \left(\frac{4\pi^2}{l^2} - 1 \right). \quad (117. VIII)$$

При значении $t = \pi$ получаем результат, совпадающий с ф-лом (112. VIII), что и следовало ожидать.

Однако при небольших значениях t в ф-ле (117. VIII) можно пренебречь единицей по сравнению с большим членом $\frac{4\pi^2}{l^2}$, тогда получим

$$Q_0 = q_0' = \frac{4EI\pi^2}{(rl)^2}. \quad (118. VIII)$$

Сравнив ф-лу (118. VIII) с формулой для прямого, свободно опертого стержня той же длины, сжатого продольной силой,

$$T_0 = \frac{EI\omega^2}{(rl)^2} \quad (119. VIII)$$

находим, что для кругового стержня с малым углом у поверхная критическая нагрузка в четыре раза больше критической сжимающей силы для прямого стержня той же длины. Объясняется это тем, что для первой искривленной формы кругового стержня прогиб φ по середине профиля должен обращаться в нуль.

При беспрепятственном уменьшении у первых искривленных форм для кругового стержня совпадает со второй формой для прямого стержня.

На приведенной формуле видно, что появление шарниров в шлангоутах колыце в значительной степени уменьшает его устойчивость.

§ 76. Практическая схема расчета составного шлангоута

Дано: конструктивная схема и схема нагрузки составного шлангоута (см. рис. 127).

Требуется определить возникающие в шлангоуте напряжения и проверить его устойчивость. Последовательность выполнения расчета может быть принята следующей:

1. Предварительно находим моменты инерции I_1 поперечного сечения круговых стержней с присоединенными к ним поясами обшивки прочного корпуса шириной, равной штанге. После этого производим определение моментов сопротивления для крайних положений присоединенного W' и свободного W , поясов круговых стержней.

2. Проверяем составной шлангоут с точки зрения рациональности его конструкции, а именно:

а) правильности выбора очертаний книц и бракет (§ 71, § 72, п. 5);

б) возможности отнесения внешних круговых стержней к пологим стержням (проверка соотношений (62. VIII), (63. VIII)).

3. Производим вычисление напряжений в стержнях составного шлангоута по ф-лам (76. VIII)—(79. VIII), в которых f_1 определяются по ф-лам (80. VIII). Для определения неизвестных сжимающих усилий T_1 и T_2 необходимо знать из определяющие отрезки, которые находятся согласно рис. 125.

4. Выполним проверку устойчивости шлангоута, заключающуюся в проверке устойчивости шлангоута в целом (см. ф-лу (112. VIII)). При учете разгружающего влияния поперечных переборок используется ф-ла (324. IV). Критическое давление определяется по формуле

$$q_{cr} = \frac{1}{2} \cdot \frac{\sigma_{cr}}{E} \cdot b_2. \quad (120. VIII)$$

При проверке устойчивости стержней, составляющих шлангоут, используются ф-лы (117. VIII). Получающаяся при этом погрешность направлена в большую сторону за счет того, что ф-ла (117. VIII) выведена для случая шарнирного опирания концов стержня, в то время как в действительности имеет место некоторая их заделка. В первую очередь на устойчивость проверяется верхний стержень. Нижние стержни опасений не вызывают, если их профиль одинаков с профилем верхнего стержня.

ГЛАВА IX

РАСЧЕТ НЕКРУГОВЫХ ШПАНГОУТОВ

§ 77. Виды некруговых шпангоутов

Шпангоуты прочного корпуса подводной лодки в оконечностях, исходя из схематической разметки и более полного использования внутреннего объема корпуса, иногда выполняют не круглого очертания, а овального.

Овальное очертание часто имеет также поперечное сечение прочных рубок. Таким образом, появляется необходимость расчета некруговых шпангоутов.

Некруговые шпангоуты могут быть выполнены либо эллиптического очертания, либо состоящими из круговых стержней различного радиуса.

Наиболее часто встречаются овальные шпангоуты, состоящие из двух пар круговых стержней (рис. 162). В технологическом отношении изготовление таких шпангоутов является наиболее простым.

Соотношения, полученные для круговых стержней в § 66, оказываются весьма полезными при расчете такого рода шпангоутов.

В настоящей главе будут рассмотрены расчеты некругового шпангоута, состоящего из круговых стержней, и эллиптического шпангоута. При этом следует помнить, что профиль некругового шпангоута определяется, как правило, исходя из его сопротивления нагибу, в то время как профиль кругового шпангоута определяется его сопротивлением сжатию, т. е., по существу, устойчивостью.

§ 78. Расчет некруговых шпангоутов, состоящих из круговых стержней различного радиуса

1. Раскрытие статической неизрасчленности

Пусть жесткости по отношению к изгибу круговых стержней радиусов r_1 и r_2 соответствуют EI_1 и EI_2 (см. рис. 162).

Высота профилей обоих стержней различна, поэтому действие линий приложения нагрузки φ от нейтральных осей стержней e_1 и e_2 также различны.

Если бы отсутствовал поворот сечений шлангоута в месте перехода одного кругового стержня в другой, то во всех поперечных сечениях кругового стержня радиуса r_1 действовало бы сжимающее усилие σ_{11} , а в поперечных сечениях стержня радиуса r_2 — сжимающее усилие σ_{22} .

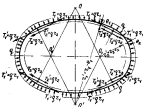


Рис. 163

Наличие поворота переходных сечений шлангоута приводит к появлению в круговых стержнях значительных дополнительных напряжений изгиба. Рассмотрим раздельно деформацию сжатия и деформацию изгиба овального шлангоута.

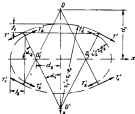


Рис. 164

Для выделения из общей деформации балла простого сжатия приложим в его переходных сечениях равные, но противоположно направленные силы φ_{11} и φ_{22} , касательные к нейтральным осям круговых стержней (рис. 163).

Усилия $T_1 = q r_1$ и $T_2 = q r_2$, совместно с гидростатическим давлением q , согласно лемме I, вызывают в круговых стержнях простое сжатие.

Остальные усилия $T_1' = q r_1'$ и $T_2' = q r_2'$, действующие в четырех переходных сечениях окна (рис. 164), вызывают изгиб и некоторое дополнительное сжатие круговых стержней.

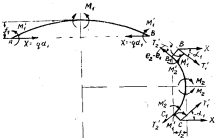


Рис. 163.

Определям горизонтальную составляющую усилий T_1' и T_2' , которые будут восприниматься только круговыми стержнями, очерченными из точек O и O' . Она оказывается равной

$$X = (T_1' - T_2') \cos \alpha_1 = q(r_1 - r_2) \cos \alpha_1 = -qd_1. \quad (1. IX)$$

Вертикальная составляющая усилий T_1' и T_2' , воспринимаемая только стержнями, очерченными из точек O_1 и O'_1 , равняется

$$Y = (T_1' - T_2') \sin \alpha_1 = q(r_1 - r_2) \sin \alpha_1 = qd_1. \quad (2. IX)$$

Используя уравнения статики, можно получить следующее соотношение между изгибающими моментами M_1 и M_1' , действующими в переходном сечении в стержнях радиуса r_1 и r_1' (рис. 163):

$$\begin{aligned} M_1 &= M_1' - (\epsilon_1 - \epsilon_2)(T_1' + X \cos \alpha_1) = \\ &= M_1' - (\epsilon_2 - \epsilon_1)(qr_1 \sin^2 \alpha_1 + qr_1 \cos^2 \alpha_1). \end{aligned} \quad (3. IX)$$

Приравнивая друг другу угол поворота круговых стержней AB и BB_1C_1C в переходном сечении и используя равенство (5. VIII), получаем уравнение для определения неизвестного момента M_1' :

$$\frac{r_1'}{EI_1} [M_1' h_1(x_1) + r_1' \lambda h_2(x_1)] + \frac{r_2'}{EI_2} [M_1' h_1(x_2) + r_2' \lambda h_2(x_2)] = 0, \quad (4. IX)$$

где $r_1' = r_1 - \epsilon_1$; $r_2' = r_2 - \epsilon_2$.

Используя соотношения (1. IX) — (3. IX), можно упростить (4. IX) придать вид

$$M_1' \left[\frac{r_1'}{EJ_1} b_1(z_1) + \frac{r_1'}{EJ_2} b_1(z_2) \right] = (e_2 - e_1) \frac{r_1'}{EJ_2} b_1(z_2) (qr_1 \sin^2 a_1 + qr_1 \cos^2 a_1) + \\ + \frac{(r_1')^2}{EJ_1} q d_2 b_2(z_2) - \frac{(r_1')^2}{EJ_2} q d_2 b_2(z_2). \quad (5. IX)$$

Решив уравнение (5. IX) относительно M_1' , получим

$$M_1' = qr/d_1 \frac{b_1(z_1) - \left(\frac{r_1'}{r_1} \right)^2 \frac{f_1}{f_2} \cdot \frac{d_2}{d_1} b_2(z_2)}{a_1 + \frac{r_1'}{r_1} \cdot \frac{f_1}{f_2} z_2} + \\ + q(e_2 - e_1)(r_1 \sin^2 a_1 + r_1 \cos^2 a_1) \frac{\frac{r_1'}{r_1} \cdot \frac{f_1}{f_2} z_2}{a_1 + \frac{r_1'}{r_1} \cdot \frac{f_1}{f_2} z_2}. \quad (6. IX)$$

Подставляя найденное значение M_1' в выражение (3. IX), найдем значение M_2'

$$M_2' = qr/d_1 \frac{b_1(z_1) - \left(\frac{r_1'}{r_1} \right)^2 \frac{f_1}{f_2} \cdot \frac{d_2}{d_1} b_2(z_2)}{a_1 + \frac{r_1'}{r_1} \cdot \frac{f_1}{f_2} z_2} - q(e_2 - e_1) \frac{a_1(r_1 \sin^2 a_1 + r_1 \cos^2 a_1)}{a_1 + \frac{r_1'}{r_1} \cdot \frac{f_1}{f_2} z_2}. \quad (7. IX)$$

Выражения для изгибающих моментов, действующих на концах полусекций стыка, записываются в виде следующих соотношений:

$$\begin{aligned} M_1 &= M_1' + Xf_1 = M_1' - q d_2 f_1, \\ M_2 &= M_2' + Yf_1 = M_2' + q d_2 f_1. \end{aligned} \quad (8. IX)$$

непосредственно следующих из рис. 165.

2. Выбор сечений элементов стыка

Определим зависимости между элементами стыка и длинами его полусекций, для чего обратимся к рис. 162. Из рассмотрения рисунка следует, что

$$d_1 = d \cos a_1, \quad d_2 = d \sin a_1 \quad (9. IX)$$

$$\begin{cases} r_1 = b + d_1 = b + d \cos a_1 \\ r_2 = a - d_2 = a - d \sin a_1 \end{cases} \quad (10. IX)$$

и

Из выражений (10, IX) можно определить, что

$$d = r_1 - r_2 = \frac{a - b}{\sin \alpha_1 + \cos \alpha_1 - 1}. \quad (11, IX)$$

После этого из выражений (9, IX) можно найти значения d_1 и d_2 . Остальные элементы овала определяются следующими зависимостями:

$$\left. \begin{array}{l} r'_1 = r_1 - c_1 \quad f_1 = r'_1 (1 - \cos \alpha_1) \\ r'_2 = r_2 - c_2 \quad f_2 = r'_2 (1 - \cos \alpha_2) \end{array} \right\} \quad (12, IX)$$

Величины c_1 и c_2 определяются в процессе подбора сечений круговых стержней, из которых образуется овальный шланголт. В первом приближении их можно принять равными нулю.

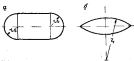


Рис. 166

Изменение a и b функцией угла α (см. ф-лу (11, IX)) и обращается в минимум при $\alpha_1 = 45^\circ$. Поэтому увеличение угла α_1 больше 45° ненадообразовано ни с точки зрения увеличения полноты овала, ни с точки зрения разгрузления его от изгибающих моментов. При достаточно малых значениях отношения b/a увеличить угол α_1 даже до 45° затруднительно. Поэтому угол α_1 выбирают несколько меньше 45° .

3. Определение изменения длины полусосей овала

Изменение длины полусосей овала в результате его деформации можно определить, если воспользоваться соотношениями (9, VIII) и (7, VIII), но выражением:

$$\begin{aligned} \delta a = & - \frac{(r'_1)^2}{EJ_1} [M'_1 \delta_2(z_1) + r'_1 X \theta_1(z_1)] + \\ & + \frac{(r'_2)^2}{EJ_2} [M'_2 \delta_1(z_2) + r'_2 X \theta_2(z_2)], \end{aligned} \quad (13, IX)$$

$$\begin{aligned} \delta b = & \frac{(r'_1)^2}{EJ_1} [M'_1 \delta_2(z_1) + r'_1 X \theta_1(z_1)] - \\ & - \frac{(r'_2)^2}{EJ_2} [M'_2 \delta_1(z_2) + r'_2 X \theta_2(z_2)], \end{aligned} \quad (14, IX)$$

Подставляя в выражения (13.IX) и (14.IX) значения M_1' и M_2' из ф-л (6.IX) и (7.IX), а X и Y из ф-л (1.IX) и (2.IX), будем иметь

$$\left. \begin{aligned} \delta a &= q \frac{(r_1')^2}{EI_1} [(a - b) m_1 + (e_1 - e_2) n_1] \\ \delta b &= q \frac{(r_1')^2}{EI_1} [(a - b) m_2 + (e_2 - e_1) n_2] \end{aligned} \right\}, \quad (15.IX)$$

где m_1 , m_2 , n_1 , n_2 — некоторые определенные отвлеченные числа.

Выражения (15.IX) получены в предположении, что нагрузка q мала, и, следовательно, изменение формы сечала незначительно. Если же она действует значительная внешняя нагрузка q , вызывающая существенное изменение формы сечала, то полученные результаты в первом приближении можно исправить. Для этого подставки в ф-лы (15.IX) вместо исходной разности $a - b$ значение $\bar{a}_1 - \bar{b}_1$, соответствующее нагруженному состоянию сечала, будем иметь

$$\bar{a}_1 - \bar{b}_1 = (a + \delta a) - (b + \delta b).$$

В результате получим следующую систему уравнений для определения δa и δb :

$$\left. \begin{aligned} \delta a &= q (a - b) \frac{(r_1')^2}{EI_1} m_1 + q (e_1 - e_2) \frac{(r_1')^2}{EI_1} n_1 + \\ &\quad + q \frac{(r_1')^2}{EI_1} m_1 (\delta a - \delta b) \\ \delta b &= -q (a - b) \frac{(r_1')^2}{EI_1} m_2 - q (e_2 - e_1) \frac{(r_1')^2}{EI_1} n_2 - \\ &\quad - q \frac{(r_1')^2}{EI_1} m_2 (\delta a - \delta b) \end{aligned} \right\}, \quad (16.IX)$$

которую можно переписать в таком виде:

$$\left[1 - q \frac{(r_1')^2}{EI_1} m_1 \right] \delta a + q \frac{(r_1')^2}{EI_1} m_1 \delta b = q (a - b) \frac{(r_1')^2}{EI_1} m_1 +$$

$$+ q (e_1 - e_2) \frac{(r_1')^2}{EI_1} n_1$$

$$q \frac{(r_1')^2}{EI_1} m_2 \delta a + \left[1 - q \frac{(r_1')^2}{EI_1} m_2 \right] \delta b = -q (a - b) \frac{(r_1')^2}{EI_1} m_2 -$$

$$- q (e_2 - e_1) \frac{(r_1')^2}{EI_1} n_2.$$

В результате получим

$$\delta a = q \frac{(r_1')^2}{EI_1} \left\{ \frac{(a - \delta) m_1}{1 - \frac{q}{q_2}} + \frac{(a_1 - a_2) \left[m_1 - (m_1 m_2 - m_2 m_1) q \frac{(r_1')^2}{EI_1} \right]}{1 - \frac{q}{q_2}} \right\}, \quad (17. IX)$$

$$\delta b = -q \frac{(r_1')^2}{EI} \left\{ \frac{(a - \delta) m_2}{1 - \frac{q}{q_2}} + \frac{(a_2 - a_1) \left[m_2 - (m_1 m_2 - m_2 m_1) q \frac{(r_1')^2}{EI_1} \right]}{1 - \frac{q}{q_2}} \right\}, \quad (18. IX)$$

где

$$q_2 = \frac{EI_2}{(r_1')^2} \cdot \frac{1}{m_1 + m_2}. \quad (19. IX)$$

Из выражений (17. IX) и (18. IX) видно, что с увеличением гидростатического давления q приращение длины полусея смысла пренебречь не пропорционально возрастанию q , в приближительно пропорционально выражению

$$\frac{q}{1 - \frac{q}{q_2}}, \quad (20. IX)$$

где q_2 определяется выражением (19. IX) и является приближенным значением эластичной нагрузки на смы.

Для учета этого обстоятельства изгибающие моменты, определяемые по формулам (6. IX), (7. IX) и (8. IX), следует умножить на множитель $k = \frac{1}{1 - \frac{q}{q_2}}$, который всегда больше единицы.

§ 39. Расчет эллиптических шпангоутов *

1. Определение величины изгибающих моментов без учета изменения длины полусея

Определим величину изгибающих моментов, исключающих в шпангоуте эллиптического очертания, загруженного интенсивным давлением интенсивности q . При определении изгибающих моментов примем следующие предположения.

1. Нейтральная ось шпангоута совпадает с контуром, к которому приложено внешнее давление q .

2. Деформации сдвига и сжатия (растяжения) пренебрегаем по сравнению с деформацией изгиба.

3. Поперечное сечение шпангоута постоянно по всему периметру.

4. При расчете эллиптических шпангоутов будем учитывать присоединенный поиск обшивки шириной $1,55 \sqrt{r}$, где r — наибольший радиус кривизны, но не более ширины.

5. Рассматриваемый шпангоут является достаточно жестким, чтобы изгибющий момент при передаче изгибающего момента исходить из его термомеханической формы.

* Метод расчета эллиптических шпангоутов заимствован из статьи В. В. Новозыбова "Расчет прочности эллиптических шпангоутов плавающих судов". Сб. НИИВК МС РККА, № 4, 1935 (по же сч. в работе Л. Ф. Павловича "Программа строительной механики кораблей. Т. 2. Судороги", 1962).

В силу симметрии как нагрузки, так и конструкции эллиптического шпангоута относительно его осей, будем рассматривать же весь шпангоут, а лишь четвертую его часть, показанную на рис. 167.

Раскрытие статической неизменности эллиптического шпангоута производим с помощью теоремы Кастельяно.

Изгибающий момент в произвольном сечении шпангоута с координатами x и y определяется следующим выражением (см. рис. 167):

$$M = M_1 - R(x - a) + \\ + \frac{q}{2} [(a - x)^2 + y^2]. \quad (21. IX)$$

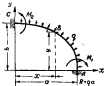


Рис. 167

где a и b — полуоси эллипса.

Учитывая, что $R = qa$, $x^2 = a^2 - \frac{b^2}{y^2} y^2$, выражение (21. IX) можно представить в виде

$$M = M_1 - \frac{q}{2} \cdot \frac{a^2 - b^2}{y^2} y^2. \quad (22. IX)$$

Ненулевой момент M_1 можно определить из условия испытываемости концевых сечений.

Развернув выражение для определения M_1 ,

$$\frac{\delta V}{\delta M_1} = \int_0^l M_1 \frac{\delta M}{\delta M_1} ds = 0,$$

будем иметь

$$M_1 \int_0^l ds - \frac{q}{2} \cdot \frac{a^2 - b^2}{b^2} \int_0^l y^2 ds = 0,$$

откуда

$$M_1 = \frac{q}{2} \cdot \frac{a^2 - b^2}{b^2} \cdot \frac{\int_0^l y^2 ds}{\int_0^l ds}. \quad (23. IX)$$

Для вычисления интегралов выражение (23. IX) воспользуемся параметрической формой задания эллипса

$$x = a \cos \theta, \quad y = b \sin \theta.$$

В этом случае квадрат дифференциала дуги эллипса будет равен

$$(dx)^2 = (a^2 \sin^2 \theta + b^2 \cos^2 \theta) (d\theta)^2 = [a^2 - (a^2 - b^2) \cos^2 \theta] (d\theta)^2.$$

Используя выражение для квадрата эксцентрикитета эллипса $e^2 = 1 - \frac{b^2}{a^2}$, дифференциал дуги эллипса можно записать в виде

$$ds = a \sqrt{1 - e^2 \cos^2 \theta} d\theta. \quad (24. IX)$$

С помощью формулы (24. IX) выражение для момента M_1 (23. IX) можно придать вид,

$$M_1 = \frac{g}{2} \cdot \frac{a^2 - b^2}{b^2} \cdot \frac{K}{L}, \quad (25. IX)$$

где

$$\left. \begin{aligned} K &= \int_a^b y^2 dx = ab^2 \int_{\frac{\pi}{2}}^{\frac{\pi}{4}} \sin^2 \theta \sqrt{1 - a^2 \cos^2 \theta} d\theta \\ L &= \int_a^b dx = a \int_{\frac{\pi}{2}}^{\frac{\pi}{4}} \sqrt{1 - a^2 \cos^2 \theta} d\theta \end{aligned} \right\}. \quad (26. IX)$$

Выражения (26. IX) представляют собою эллиптические интегралы. Эллиптические интегралы в конечном виде не могут быть определены, однако их можно вычислить с любой степенью точности, разложив подинтегральные выражения по правилу бинома Ньютона. Ограничимся малыми порядками ε^2 , получим

$$\left. \begin{aligned} K &= ab^2 \int_{\frac{\pi}{2}}^{\frac{\pi}{4}} \left(1 - \frac{a^2}{2} \cos^2 \theta\right) \sin^2 \theta d\theta = ab^2 \frac{\pi}{4} \left(1 - \frac{a^2}{8}\right) \\ L &= a \int_{\frac{\pi}{2}}^{\frac{\pi}{4}} \left(1 - \frac{a^2}{2} \cos^2 \theta\right) d\theta = a \frac{\pi}{2} \left(1 - \frac{a^2}{4}\right) \end{aligned} \right\}. \quad (27. IX)$$

В результате имеем

$$M_1 = \frac{g}{2} \cdot \frac{a^2 - b^2}{b^2} \cdot \frac{ab^2}{a} \cdot \frac{1}{2} \cdot \frac{1 - \frac{a^2}{8}}{1 - \frac{a^2}{4}} \approx \frac{g}{4} a^4 c^2 \left(1 + \frac{a^2}{8}\right). \quad (28. IX)$$

Изгибющий момент в конце малой оси получим, если в выражение (22. IX) вместо y подставим b ,

Произведя подстановку, будем иметь следующее выражение для M_2 :

$$M_2 = M_1 - \frac{g}{2} (a^2 - b^2) = M_1 - \frac{g}{2} a^2 c^2 = - \frac{g}{4} a^4 c^2 \left(1 - \frac{a^2}{8}\right). \quad (29. IX)$$

Выражения (28. IX) и (29. IX) изгибающих моментов M_1 и M_2 справедливы для достаточно жестких шлангутов, деформацией которых после их нагружения можно пренебречь.

Если же жесткость шлангутов мала и деформации после нагружения шлангутов оказываются значительными, то определение величины изгибающих моментов следует производить с учетом изменения длины полусей эллиптического шлангута.

3. Определение величины изменения длины полусей эллиптического шлангута

Для определения величины изменения полусей эллиптического шлангута воспользуемся теоремой Кастильяно аналогично тому, как определялись перемещения концов круговых стержней.

Окончательные выражения для перемещений эллиптического шарнира в направлении его полуосей будут

$$\delta a = - \int_0^l \left(M_1 y - \frac{q a^2}{2E} c^2 y^2 \right) \frac{dy}{EI},$$

$$\delta b = - \int_0^l \left(\frac{q a^2}{2E} c^2 y^2 x - M_1 x \right) \frac{dy}{EI}.$$

Ограничившись при вычислении интегралов малыми порядками c^2 , можно эти выражения привести к виду

$$\delta a \approx \frac{qa^2 \sqrt{ab}}{12EI} x^2, \quad (30. IX)$$

$$\delta b \approx \frac{qa^2 \sqrt{ab}}{12EI} x^2. \quad (31. IX)$$

Найдём новое значение эксцентриситета эллипса и уточним полученные выражения (30. IX) и (31. IX) путём подстановки в них новых значений длии полуосей. Новое значение эксцентриситета определим по выражению

$$c_1^2 = \frac{(a + \delta a)^2 - (b - \delta b)^2}{(a + \delta a)^2}.$$

Ограничимся, как и раньше, малыми порядками c^2 , получим^{*}

$$\begin{aligned} c_1^2 &= \frac{\left(a + \frac{b}{a} \delta a\right)^2 - (b - \delta b)^2}{\left(a + \frac{b}{a} \delta a\right)^2} = \\ &= \frac{a^2 b^2 + 4 \delta a b}{a^2 + 2 b^2} \approx \frac{a^2 - b^2}{a^2} + \frac{4b}{a^2} \delta a = c_0^2 + \frac{4b}{a^2} \delta a. \end{aligned} \quad (32. IX)$$

Подставляя найденное значение c_1^2 в ϕ -лу (31. IX), получим

$$\delta b = \frac{qa^2 \sqrt{ab}}{12EI} \left(c_0^2 + \frac{4b}{a^2} \delta a \right).$$

Решая это уравнение относительно δa , находим

$$\delta a = \frac{\frac{qa^2 \sqrt{ab}}{12EI} \delta b}{1 - \frac{qa^2 \sqrt{ab}}{3EI}}. \quad (33. IX)$$

Формула (33.IX) даёт результат, близкий к полученному по выражению (31. IX) до тех пор, пока $\frac{qa^2 \sqrt{ab}}{3EI}$ значительно меньше единицы.

* Взято отношение выражений (30. IX) и (31. IX), получим $\frac{\delta a}{\delta b} = \frac{b}{a}$, откуда $\delta a = \frac{b}{a} \delta b$.

Условие равенства между знаменателями выражения (33. IX) определяет критическое давление эллиптического шлангута

$$\varphi_{\text{кр}} = \frac{M^2}{\sqrt{\alpha b}}. \quad (34. \text{ IX})$$

Следует иметь в виду, что соотношения (32. IX) и (33. IX) получены в предположении малости $\frac{M}{a}$ по сравнению с единицей.

3. Определение величины изгибающих моментов с учетом деформации полусдей

Для учета влияния деформации полусдей эллиптика на величину изгибающих моментов в конце большой и малой полусдей, подставив в выражение (28. IX) и (29. IX) коечное значение эксцентриситета. Согласно выражению (32. IX), имеем

$$c_1^2 = c_0^2 + \frac{q^2}{a^2} b^2.$$

Выражение (33. IX) с помощью (34. IX) можно представить в виде

$$b^2 = \frac{\frac{q^2 a^2 \sqrt{a^2 - c_0^2}}{(2M)^2} c_0^2}{1 - \frac{q^2 a^2 \sqrt{a^2 - c_0^2}}{2M^2}} \approx \frac{q^2 a^2}{4M^2} \cdot \frac{\frac{c_0^2}{a^2} - c_0^2}{1 - \frac{q^2}{4\varphi_{\text{кр}}}}, \quad (35. \text{ IX})$$

и, следовательно,

$$c_1^2 = c_0^2 \left(1 + \frac{\frac{q^2}{4\varphi_{\text{кр}}}}{1 - \frac{q^2}{4\varphi_{\text{кр}}}} \right) - \frac{c_0^2}{1 - \frac{q^2}{4\varphi_{\text{кр}}}}. \quad (36. \text{ IX})$$

Подставив форму (36. IX) в выражение (28. IX) и (29. IX), окончательно получим

$$M_1 = \frac{qa^2}{4} \cdot \frac{c_0^2}{1 - \frac{q^2}{4\varphi_{\text{кр}}} \left[1 + \frac{q^2}{8 \left(1 - \frac{q^2}{4\varphi_{\text{кр}}} \right)} \right]}, \quad (37. \text{ IX})$$

$$M_2 = - \frac{qa^2}{4} \cdot \frac{c_0^2}{1 - \frac{q^2}{4\varphi_{\text{кр}}} \left[1 - \frac{q^2}{8 \left(1 - \frac{q^2}{4\varphi_{\text{кр}}} \right)} \right]}. \quad (38. \text{ IX})$$

Формула (37. IX) всегда дает большее значение момента по сравнению со значениями, получаемыми по выражению (28. IX).

Допустим, что эллиптический шлангут имеет двойной запас устойчивости $\varphi_{\text{кр}} = 2q$, тогда результаты, полученные по формулам (28. IX) и (37. IX), могут различаться больше чем в два раза. Учитывая относительную малость принимаемого запаса прочности для рассчитываемых конструкций, легко видеть, насколько большое значение имеет учет деформации, появляющейся после приложения нагрузки.

Если обратиться к выражению (36. IX), то из него следует, что при $q = \varphi_{\text{кр}}$ эксцентриситет c_1 обращается в бесконечность, что невозможно, поскольку $c^2 = 1 - \frac{b^2}{a^2}$.

Такое несоответствие является результатом предположения пре-небрежимости $\delta\varphi$ по сравнению с a и b , что в момент потери устойчивости не выполняется. Поэтому все зависимости этого параграфа следует считать ненормальными вблизи давления $q = \bar{q}_{\text{кр}}$. Но в то же время они достаточно точны при деформациях малых по сравнению с размерами самого шлангоута (например, деформация $\delta\varphi > 0,06$ включается уже недопустимой, поскольку при ней ф-ла (36. IX) приводит к большой погрешности).

Что касается определения напряжений в двух характерных сечениях шлангоутов, то они вычисляются по формуле:

а) на конце большой полуоси эллипса

$$a_1 = -\frac{\bar{q}(a + b)}{F} \pm \frac{M_1}{W_1}, \quad (39. \text{IX})$$

б) на конце малой полуоси эллипса

$$a_2 = -\frac{\bar{q}(b - a)}{F} \pm \frac{M_2}{W_2}, \quad (40. \text{IX})$$

где F — площадь поперечного сечения;

W_1 и W_2 — моменты сопротивления в конце большой и малой полуосей для внутренних и внешних волокон.

В эллиптических шлангоутах с большим эксцентриситетом угловые моменты оказываются настолько значительными, что для их восприятия приходится сильно разширять поперечные сечения колец. При этом $\bar{q}_{\text{кр}}$ оказывается настолько большим, что давлением q по сравнению с $\bar{q}_{\text{кр}}$ можно пренебречь.

Формулы (39. IX) и (40. IX) могут оказаться весьма полезными при оценке жесткости конструкции, являющейся с точки зрения прочности приемлемой.

4. Определение наибольшей перерывающей силы

Аналогично предыдущему рассмотрим четвертую часть эллиптического шлангоута (рис. 168). Перерывающая сила в сечении шлангоута, определяемая нормалью NN' , представляет собою проекцию на эту нормаль сил, действующих справа от этого сечения, а именно:

$$Q = q a \cos \alpha - \int q \cos(N, n) dx,$$

где N, n — угол между нормалью NN' и нормалью к произвольному сечению nn' .

Так как

$$\int q \cos(N, n) dx = q \overline{NA} = q \overline{KA} \cos \alpha,$$

то

$$Q = q(a - \overline{KA}) \cos \alpha = q \overline{OK} \cos \alpha.$$

Расстояние \overline{OK} может быть вычислено по уравнению горизонтали к эллипсу $\overline{OK} = \overline{ex}$, откуда $Q = q \overline{ex} \cos \alpha$.

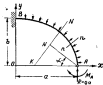


Рис. 168

Из тригонометрии известно, что

$$\cos \alpha = \frac{1}{\sqrt{1 + \tan^2 \alpha}} = \frac{1}{\sqrt{1 + Q^2}} = \frac{1}{\sqrt{1 + \frac{q^2}{\frac{x^2}{a^2} + \frac{y^2}{b^2}}}} = \frac{1}{a \sqrt{1 - \frac{e_0^2 x^2}{x^2 + y^2}}}.$$

Поэтому окончательно получаем следующее выражение для перерезывающей силы:

$$Q = \frac{qxy}{8 \sqrt{1 - e_0^2 \frac{x^2}{x^2 + y^2}}} d_0^2 \quad (41. IX)$$

Перерезывающая сила достигает максимума при $x \approx \frac{a}{\sqrt{3}}$ и $y \approx \frac{b}{\sqrt{3}}$.

Если же хотим определить координаты, где перерезывающая сила достигает максимума, то будем иметь

$$x \approx \frac{a}{\sqrt{3}} \left(1 + \frac{e_0^2}{8}\right); \quad y \approx \frac{b}{\sqrt{3}} \left(1 - \frac{e_0^2}{8}\right).$$

При этом значение перерезывающей силы будет

$$Q_{\max} \approx \frac{qad_0^2}{2 \sqrt{1 - \frac{e_0^2}{2}}} = \frac{qad_0^2}{2} \left(1 + \frac{e_0^2}{4}\right).$$

Подставляя окончательное значение эксцентрикитета во ф-ле (36. IX), получим

$$Q_{\max} \approx \frac{q^2}{2} \cdot \frac{d_0^2}{1 - \frac{e_0^2}{q^2}} \left[1 + \frac{e_0^2}{4 \left(1 - \frac{e_0^2}{q^2}\right)}\right]. \quad (42. IX)$$

3. Задача ожидает узлы пиллерса вдоль осей из всей

Рассмотрим один из вариантов конструктивного выполнения эллиптического шлангогута, когда последний уложен путем установки пиллерса по направлению большой или малой оси эллипса.



Рис. 269

Расчет прочности шлангогута, нагруженного равномерно распределенным внешним давлением интенсивности q , предусматривает определение условий, возникающих в пиллерсе. Последние могут быть легко определены с помощью теоремы Кастильяно, используя, с одной стороны, условия неповорачиваемости сечения у концов большой и малой осей и, с другой стороны, путем приравнивания смещения шлангогута величине

обжатия пиллерса. Пусть ось пиллерса совпадает с большой осью шлангогута. Рассматривая опять четвертую часть эллиптического шлангогута

(рис. 169), найдем, что изгибающий момент в его произвольном сечении определяется выражением

$$M = M_1 - \frac{EI}{2b} d\psi^2 + yQ. \quad (43. IX)$$

Условие невозворачиваемости сечения у конца большой полусы записывается так:

$$\frac{\partial V}{\partial M_1} = \frac{1}{EI} \int_0^l \left(M_1 - \frac{EI}{2b} d\psi^2 + yQ \right) ds = 0.$$

Условие равенства смещения этого сечения шлангута и обжатия пиллерса имеет вид

$$\frac{\partial V}{\partial Q} = \frac{1}{EI} \int_0^l \left(M_1 - \frac{EI}{2b} d\psi^2 + yQ \right) yds = \frac{2Qa}{EI},$$

где P_1 — площадь сечения пиллерса.

Два последующих уравнения образуют систему для определения неизвестных M_1 и Q :

$$\left. \begin{aligned} M_1 \int_0^l ds - \frac{EI}{2b^2} d\psi^2 \int_0^l y^2 ds + Q \int_0^l y ds &= 0 \\ M_1 \int_0^l y ds - \frac{EI}{2b^2} d\psi^2 \int_0^l y^2 ds + Q \int_0^l y^2 ds &= \frac{2Qa^2}{P_1} \end{aligned} \right\}. \quad (44. IX)$$

Решая эти уравнения относительно M_1 и считая, что пиллерс является абсолютно жестким на сжатие и растяжение, получим

$$M_1 = \frac{qa^2 d\psi^2}{2b^2} \cdot \frac{\left(\int_0^l y^2 ds \right)^2 - \int_0^l y ds \int_0^l y^2 ds}{\int_0^l ds \int_0^l y^2 ds - \left(\int_0^l y ds \right)^2}. \quad (45. IX)$$

Приближенные значения интегралов, входящих в выражение (45. IX), равны

$$\left. \begin{aligned} \int_0^l ds &= \frac{a}{2} b \left(1 - \frac{d\psi^2}{4} \right) & \int_0^l y ds &= ab \left(1 - \frac{d\psi^2}{6} \right) \\ \int_0^l y^2 ds &= \frac{a}{4} ab^2 \left(1 - \frac{d\psi^2}{8} \right) & \int_0^l y^2 ds &= \frac{2}{3} ab^2 \left(1 - \frac{d\psi^2}{10} \right) \end{aligned} \right\}. \quad (46. IX)$$

Подставив эти значения интегралов в ф-лу (45. IX), получим

$$M_1 \approx \frac{\pi a^2 e_0^2}{2} \cdot \frac{\frac{a^2}{3} \left(1 - \frac{4}{3}\right) - \frac{2}{3} \left(1 - \frac{4}{13} e_0^2\right)}{\frac{a^2}{3} \left(1 - \frac{2}{3} e_0^2\right) - \left(1 - \frac{e_0^2}{3}\right)} \approx$$

$$\approx -0,105 \varphi a^2 e_0^2 (1 + 0,077 e_0^2) \approx -0,105 \varphi a^2 e_0^2. \quad (47. IX)$$

Если решить ур-зия (44. IX) относительно Q , то получим

$$Q \approx 0,567 \frac{\varphi a^2}{b} e_0^2 (1 + 0,012 e_0^2) \approx 0,567 \frac{\varphi a^2}{b} e_0^2. \quad (48. IX)$$

Нагибающий момент M_2 в сечении у конца малой полусы определяется по ф-ле (43. IX). Подставив в эту формулу b вместо a и значения M_1 и Q , согласно ф-зам (47. IX) и (48. IX), дает

$$M_2 \approx -0,038 \varphi a^2 e_0^2. \quad (49. IX)$$

Из выражений (47. IX) и (49. IX) видно, что наибольшим является изгибающий момент M_2 , действующий в конце большой полусы. Однако напряжения не всегда имеют наибольшие значения именно в этих сечениях. Объясняется это тем, что напряжения, возникающие в шланготуле, обусловлены не только изгибающим моментом, но и сжимающим усилием, являющимся функцией радиуса кривизны и достигающим наибольшего значения в конце малой полусы.

Перераспределяющая сила достигает наибольшего значения в сечении у конца полусы a и определяется по ф-ле (48. IX), а сила, сжимающая пиллерс, по формуле

$$P = 2Q = 1,134 \varphi \frac{a^2}{b} e_0^2. \quad (50. IX)$$

Если пиллерс установлен не по большой, а по малой оси, то будем иметь следующие выражения:

изгибающий момент в месте установки пиллерса

$$M_1 = 0,105 \varphi a^2 e_0^2, \quad (51. IX)$$

силы, сжимающие пиллерс, будет равна

$$P = 2Q = -1,134 \varphi a^2 e_0^2. \quad (52. IX)$$

В этом случае наибольшие напряжения возникают всегда в крайнем внутреннем волокне вблизи пиллерса и определяются по выражению

$$\sigma = \frac{M_2}{\frac{a^2}{3}} + \frac{P b}{a}. \quad (53. IX)$$

Следует отметить, что пиллерс, установленный вдоль малой полусы, находится в состоянии сжатия.

ГЛАВА X

РАСЧЕТЫ МЕСТНОЙ ПРОЧНОСТИ

§ 80. Основные понятия

В корпусе подводной лодки имеются много различного рода местных подкреплений. Эти подкрепления корабля предназначены для выполнения одной из двух основных функций: либо восприятия различных местных загрузок, приложенных к конструкции корпуса, либо восстановления прочности корпуса в районах его ослабления, вызванного теми или иными причинами.

К числу подкреплений, предназначенных для выполнения первой из отмеченных функций, относятся ледовые подкрепления, подкрепление под торпедные аппараты, механизмы и устройства, подкрепление в районе подъемных рымов и т. д. Эти подкрепления ничем не отличаются от подкреплений подводных кораблей, и поэтому в настоящей главе их расчеты прочности не рассматриваются.

Вторую группу подкреплений составляют подкрепления корпуса в районе его ослаблений. Наличие в прочном корпусе подводных лодок различных вырезов для ложб, шахт, а также отдельных вмятин или выпучин, полученных в период постройки Корабля вследствие снаряжения или в период его эксплуатации, также приводят к ослаблению прочного корпуса. Хотя это ослабление и является местным, т. е. охватывает сравнительно небольшой район у выреза или вмятины, тем не менее оно может быть причиной разрушения прочного корпуса. Поэтому расчетам местной прочности корпуса во всех случаях необходимо уделять серьезное внимание.

Рассмотрение влияния начальной погибы в общем и шпангоутах прочного корпуса на его прочность и устойчивость выходит за рамки программы курса. Отметим лишь, что действующими нормами и правилами, регламентируются величины допускаемых начальных отклонений общими и шпангоутами от правильной формы, при которых эти местные отклонения практически не влияют на прочность и устойчивость корпуса. Поэтому расчеты местной прочности в данном случае производятся только в тех районах, где фактическая начальная погибь тренирует допускаемые нормы.

Так как большой практический интерес представляет исследование прочности корпуса в районе ослаблений, вызванных наличием вырезов и выкружек гребных валов, то ограничимся рассмотрением вопросов местной прочности только в узловых районах.

§ 81. Расчет прочности подкрепленных вырезов

Вырезы в обшивке прочного корпуса, как правило, имеют круговое очертание, и только в районе торпедо-грузовых люков вырезы имеют овальную форму.

Все вырезы в прочном корпусе могут быть разделены на три группы:

1. Вырезы, расположенные между шпангоутами.

2. Вырезы, разрезающие один шпангоут.

3. Вырезы, разрезающие несколько шпангоутов.

Естественно, что характер подкреплений корпуса в районе выреза будет зависеть от того, к какой из перечисленных групп принадлежит рассматриваемый вырез.

Вырез, расположенный между шпангоутами

Вырезы этой группы являются наиболее распространенными на подводных лодках. Наличие выреза резко изменяет характер напряженного состояния прочного корпуса в районе выреза. При этом появляются зоны концентрации напряжений, т. е. такие зоны, в которых напряжение превышают значения средних, или номинальных, напряжений в неослабленном вырезом районе. Величина концентрации напряжений характеризуется теоретическим коэффициентом концентрации κ , представляющим собой отношение максимального напряжения в районе концентрации σ_{\max} к среднему, или номинальному, напряжению в неослабленном сечении σ_0 . То есть

$$\kappa = \frac{\sigma_{\max}}{\sigma_0}. \quad (1. X)$$

Обычно расстояние между шпангоутами прочного корпуса мало в сравнении с его радиусом, так что отношение радиуса выреза r_v к радиусу прочного корпуса r ограничено величиной

$$\frac{r_v}{r} < 0.2. \quad (2. X)$$

При таком соотношении концентрация напряжений приближенно может быть определена для случая наличия круглого выреза в плоской пластине, подвергнутой действию сжимающих усилий в двух взаимно перпендикулярных направлениях (рис. 170). Если обшивка прочного корпуса находится в балансированном напряженном состоянии, то кольцевые и осевые цепные напряжения определяются по выражениям

$$\sigma_c^0 = -\frac{P'}{s}, \quad \sigma_r^0 = -\frac{P'}{R}. \quad (3. X)$$

Величины σ_c^0 и σ_r^0 , определяемые по ф-лам (3. X), будем называть средними, или номинальными, напряжениями.

Для случая малого выреза в плоской пластине, загруженной растягивающими или сжимающими равномерно распределенными усилиями в одном направлении, теоретический коэффициент концентрации напряжений равен трем, т. е. максимальные напряжения в районе концентрации в три раза превышают номинальные напряжения. Загрузив плоскую пластину с вырезом цепными усилиями σ_c^0 и σ_r^0 в двух взаимно перпендикулярных направлениях и используя решения Кирха для каждого из этих усилий, получим следующие значения максимальных кольцевых

и осевых напряжений в характерных точках A и B , лежащих на концах продольного и поперечного диаметров выреза (см. рис. 170):

$$\left. \begin{aligned} (\sigma_1^e)_{\max} &= 3\sigma_1^0 - \sigma_2^0 = -\frac{2\sigma}{3} + \frac{E\epsilon}{3} = -2,5 \frac{E\epsilon}{3} \\ (\sigma_2^e)_{\max} &= 3\sigma_2^0 - \sigma_1^0 = -3 \frac{E\epsilon}{2} + \frac{E\epsilon}{3} = -0,5 \frac{E\epsilon}{2} \end{aligned} \right\}. \quad (4. X)$$

Из формулы (4. X) видно, что наличие выреза приводит к концентрации линий кольцевых напряжений или напряжений в продольных сечениях близи точки A . При этом коэффициент концентрации $\alpha=2,5$, т. е. наибольшие напряжения в районе выреза в два с половиной раза превышают名义альное напряжение в не ослабленном вырезом продольном сечении. Из этого, возможно, не следует, что прочность корпуса в результате ослабления вырезом будет снижена в 2,5 раза.

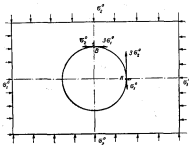


Рис. 170

Действительно, определенный выше коэффициент концентрации напряжений относится к чисто упругой задаче. После достижения напряжения в наиболее опасной точке у выреза предела пропорциональности происходит перераспределение напряжений по ослабленному продольному сечению оболочки. Напряжения в точке A при дальнейшем увеличении нагрузки растут медленнее, чем в ближайших точках (следствие уменьшения модуля Юнга за пределом пропорциональности), происходит некоторое выравнивание напряжений и уменьшение коэффициента концентрации. Поэтому влияние концентрации напряжений на прочность определяется не теоретическим коэффициентом концентрации, а так называемым эффективным коэффициентом концентрации. Под эффективным коэффициентом концентрации понимается отношение разрушающей нагрузки оболочки без выреза к разрушающей нагрузке при наличии выреза. Иначе говоря, эффективный коэффициент

концентрации показывает, во сколько раз наилучше вырез спасает фактическую прочность оболочки. Эффективный коэффициент концентрации всегда меньше теоретического.

Возникает вопрос о тех подкреплениях, которые необходимо иметь для обеспечения необходимой прочности корпуса. Отметим, что в настоящее время нет теоретических решений, позволяющих определить напряженное состояние корпусных конструкций в районе подкрепленного выреза.* Поэтому обычно даются лишь практические рекомендации по подкреплению вырезов, приемлемость которых подтверждена экспериментальным путем. Рассмотрим эти рекомендации.

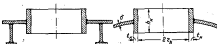


Рис. 171.

При решении вопроса о подкреплении любого выреза в прочном корпусе подводных лодок необходимым и обязательным условием является полная компенсация потерянной площади сечения. Если толщина обшивки в ослабленном сечении равна b , а радиус выреза r_s , то потерявшая площадь сечения обшивки (или площадь ослабления) будет

$$F_s = 2r_s b. \quad (5. X)$$

Таким образом, эта площадь должна быть компенсирована установкой подкрепляющих связей. Неотъемлемой частью подкрепления всех вырезов на подводных лодках являются малые комингсы. Поэтому подкрепление рассматриваемых вырезов может быть осуществлено тремя путями:

- 1) установкой комингса (рис. 171);
- 2) установкой комингса и вынурного утолщенного листа (рис. 172);
- 3) установкой комингса и накладного листа (рис. 173).

В случае, когда подкрепление выреза осуществляется установкой только комингса, потерянная площадь сечения корпуса компенсируется дополнительной площадью сечения комингса. Если радиус выреза равен r_s , а толщина комингса равна t_a , то эффективная высота комингса, засчитываемая в его сечение, оказывается равной

$$b_a = 1,55 \sqrt{r_s t_a}$$

и эффективная площадь сечения комингса

$$F_a = 2b_a t_a = 3,1t_a \sqrt{r_s t_a}. \quad (6. X)$$

* Редукция с напряженным состоянием цилиндрической оболочки в районе кругового вынуренного выреза, получено в работе А. И. Лурье (ЦНИИ, Т. Х. База, 1948) для случая, когда $\frac{r_s}{t} < \sqrt{\frac{1}{\pi}}$, и в квадратной диссертации И. Г. Васильеву (ЦНИИ, 1968) для случая, когда $\frac{r_s}{t} < 0,5$.

Так как эта площадь сечения должна быть равна потерянной пло-
щади F_0 , то

$$3,14_r \sqrt{r_0 f_0} = 2r_0 \delta,$$

откуда для необходимой толщины получим:

$$t_0 = 3 \sqrt[3]{0,4 \frac{f_0}{\delta}}. \quad (7. X)$$

Выполнение условия (7. X) и обеспечит необходимую прочность подкрепления.

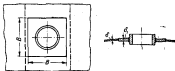


Рис. 172

Наиболее распространенным является подкрепление выреза комингсом и утолщенным вварным листом (см. рис. 172). В рассматриваемом случае площадь сечения подкрепления равна

$$F_1 = 3,14_r \sqrt{r_0 f_0} + (B - 2r_0)(t_1 - \delta), \quad (8. X)$$

где B — ширина вварного утолщенного листа;

t_1 — толщина вварного утолщенного листа.

Приравнивая F_1 потерянной площади сечения обшивки, получим

$$3,14_r \sqrt{r_0 f_0} + (B - 2r_0)(t_1 - \delta) = 2r_0 \delta. \quad (9. X)$$

Из этого равенства и определяются те соотношения t_0 , B и t_1 , которые обеспечивают полную компенсацию потерянной площади сечения. Поскольку неизвестных три, а уравнение одно, можно найти бесконечное множество соотношений между t_0 , B и t_1 , обеспечивающих удовлетворение равенства (9. X). Обычно ширина утолщенного листа B находится в пределах

$$3r_0 < B < 4r_0, \quad (10. X)$$

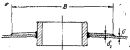


Рис. 173

т. е. ширина утолщенного листа находится в пределах от полутора до двух диаметров выреза.

Подставив формулу (10. X) в формулу (9. X), получим те соотношения между толщиной комингса t_0 и толщиной утолщенного листа t_1 , которые обеспечивают компенсацию потерянной площади.

В том случае, когда устанавливается комингс и накладной лист (см. рис. 173), условие компенсации потерянной площади сечения будет

$$3,14 \cdot \sqrt{r_s l_s} + (B - 2r_s) b_s = 2r_s b, \quad (11. X)$$

где b_s — толщина накладного листа.

Выполненные подкрепления в соответствии с приведенными рекомендациями обеспечивают необходимую местную прочность корпуса в районе выреза.

Вырез, разрезающий один шпангоут

Все изложенные рекомендации по подкреплению вырезов, расположенных между шпангоутами, остаются обязательными и для случая, когда вырез разрезает только один шпангоут.* Однако эти рекомендации, являются необходимыми, не являются достаточными. Действительно, при рассмотрении концентрации напряжений в цилиндрической оболочке, выполненной наличием малого выреза, мы считали, что напряженное состояние оболочки на некотором удалении от выреза является безмоментным и осесимметрическим, а возникющие в оболочке кольцевые и осевые напряжения равны соотношению $-\frac{E}{r}$ и $-\frac{E}{rd}$. Это допущение было вполне оправданным в случае малого выреза между шпангоутами, так как влияние изгиба оболочки, вызванного наличием выреза, было незначительным и росту изгибных прогибов оболочки препятствовали шпангоуты, ограничивающие вырез. Естественно, чем больше отношение радиуса выреза к радиусу оболочки, т. е. чем больше исходное состояние будет отличаться от осесимметричного, тем больше будет влияние изгиба оболочки на концентрацию напряжений. Коэффициент концентрации будет возрастать и за счет дополнительного изгиба оболочки. Однако оболочки в силу малой изгибной жесткости плохо сопротивляются изгибу. Именно этим и объясняется установка шпангоутов или ребер, обеспечивающая необходимую изгибную жесткость оболочки.

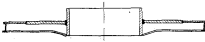


Рис. 174

Следовательно, в случае, когда вырез разрезает один шпангоут, кроме компенсации потерянной площади сечения, необходимо компенсировать потерянную изгибную жесткость шпангоута.

Условие компенсации изгибной жесткости шпангоута имеет вид

$$2 \frac{(b_s h_s^3)}{12} \geq I_{\text{изг}}, \quad (12. X)$$

где h_s — полная высота комингса;

$I_{\text{изг}}$ — главный момент инерции шпангоута с присоединенным поперечным обшивком.

* В рассматриваемом случае в поперечную плоскость необходимо выложить поперечные сечения шпангоута F .

Поскольку $I_{\text{ш}}$ является величиной заданной, в I_1 выбирается исходя из требования компенсации потерянной площади сечения выреза, то ф-ло (13. X) легко определять полную высоту комингса. Отметим, что концы перерезанного вырезом шпангоута должны быть жестко соединены с комингсом либо непосредственно путем приварки к последнему, либо с помощью переходных кинн (рис. 174).

Вырез, разрезающий несколько шпангоутов.

В рассматриваемом случае, как правило, в каждом шпангоуте должны быть установлены съемные бимсы, обеспечивающие компенсацию потерянной площади сечения обшивки и шпангоутов. Однако съемные бимсы не обеспечивают достаточной жесткости оболочки в районе выреза. В то же время потерянная изгибная жесткость вследствие разрезания нескольких шпангоутов оказывается достаточно большой. Условие компенсации изгибной жесткости имеет вид

$$2t_s \frac{K_s^2}{12} > nI_{\text{ш}} \quad (13. X)$$

где n — число разрезанных вырезом шпангоутов.

В некоторых случаях установка съемных бимсов оказывается невозможной, тогда потерявшая площадь сечения компенсируется установкой утолщенного листа.

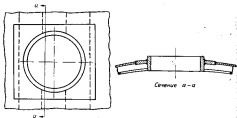


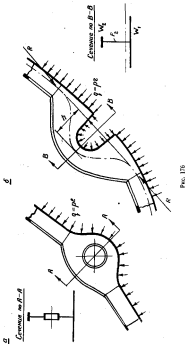
Рис. 175

Конструктивная схема подкрепления вырезов в рассматриваемом случае показана на рис. 175.

Здесь, как и в предыдущем случае, разрезанные шпангоуты должны быть жестко соединены с комингсом выреза.

§ 82. Расчет местной прочности корпуса в районе выкружек

В районе выхода из прочного корпуса гребных валов, а также в районе торпедопогрузочных люков, в обшивке и шпангоутах прочного корпуса устраивают специальные выкружки, т. е. местные выступы или впадины, имеющие круговую или овальную форму. Схема выкружки гребного вала показана на рис. 176.



Выкружки бывают обращены выпуклостью наружу (см. рис. 176, а) и внутрь (см. рис. 176, б) прочного корпуса. В первом случае подкрепление разрезанных шпангоутов сравнительно легко выполнить в виде книц с вырезами для палла. Эти кницы с подкрепленными кромками выполняют роль распора. Если выкружка обращена выпуклостью внутрь прочного корпуса и не лежит в плоскости полупереборки, то конструкция ее подкрепления подлежит расчету прочности. Этот расчет выполняется при следующих двух видах грубых допущений: считается, что шпангоуты работают изолированно и что напряжения в шпангоутах можно вычислить, пользуясь формулами для прямых брусьев. При расчете подкрепленной выкружки следовало бы поступать так же, как при расчете составных шпангоутов в районе прочных инстерн, т. е. считать, что основной шпангоут прочного корпуса сжимается силой σ_f , выкружка растягивается силой R , а конструкция подкрепления нагибается силой $R = q \cdot OO$ (рис. 177). Однако поскольку основной шпангоут гораздо жестче

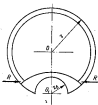


Рис. 177

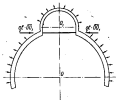


Рис. 178

выкружки, то можно считать, что вся сила R воспринимается только выкружкой. Более того, между приближенности расчета можно преобразовать силой qR , и тогда $R = qR$. В этом случае изгибающий момент в опасном сечении выкружки будет (см. рис. 176, б)

$$M = Rh = qR\bar{y}, \quad (14. X)$$

где \bar{y} — отстояние нейтральной оси опасного сечения выкружки от линии действия сил.

Таким образом, местное подкрепление шпангоутов в районе выкружки должно быть рассчитано на восприятие как сжимающего усилия R , так и изгибающего момента M . Напряжения в общих выкружках и в свободном поле подкрепления выкружки вычисляются при этом по формулам

$$\left. \begin{aligned} \sigma_{\text{одн}} &= -\frac{qR}{R_1} - \frac{qR^2}{W_1} \\ \sigma_{\text{изг}} &= -\frac{qR}{R_1} + \frac{qR^2}{W_2} \end{aligned} \right\}, \quad (15. X)$$

где W_1 и W_2 — моменты сопротивления выкружки в опасном сечении.

При сравнительно малой высоте шпангоутов подкрепление шпангоутов осуществляется местным усиливанием шпангоута, так чтобы суммарные напряжения в нем от сжатия и изгиба не превышали установленных допустимых норм. При сравнительно большой высоте выкружек изгибающий момент оказывается столь значительным, что осуществить местное подкрепление шпангоута затруднительно по конструктивным соображениям (чрезмерно большая высота шпангоута), хотя принципиально такое подкрепление возможно. В этих случаях (применительно к выкружкам для торпедогрузочных люков) рекомендуется устанавливать съемные прямолинейные распорки (съемные бимсы, рис. 178). В этом случае шпангоут в районе выкруженок может иметь уменьшенный профиль, обеспечивающий прочность и устойчивость.

Что касается съемных распорок (съемных бимсов), то они должны быть проверены как на прочность, так и на устойчивость. Сжимающее усилие, действующее на съемную распорку, будет равно

$$R = pI \cdot \overline{OD}, \quad (16. X)$$

При этом важно отметить те требования, которым должно удовлетворять конструктивное оформление распорки. Во-первых, ось распорки должна быть прямолинейной и практически совпадать с хордой, соединяющей центры тяжести концевых сечений перерезанного основного шпангоута. Во-вторых, сжимающее усилие должно передаваться на распорку не через болтовое соединение, а через непосредственное, плотно прилегающее соприкасание поверхностей опорных конструкций.

Таблица функций Бубнова—Падкевича

x	$\varphi_1(x)$	$\varphi_2(x)$	$\psi_1(x)$	$\psi_2(x)$	$\chi_1(x)$	$\chi_2(x)$	$\mu_1(x)$	$\mu_2(x)$
0,0	1,000	1,000	1,000	1,000	1,000	1,000	1,000	1,000
0,1	1,000	1,000	1,000	1,000	1,000	1,000	1,000	1,000
0,2	0,999	1,000	0,999	1,000	1,000	0,999	1,000	1,000
0,3	0,998	0,999	0,998	0,999	0,999	0,998	0,999	1,000
0,4	0,997	0,998	0,997	0,998	0,997	0,997	0,998	0,999
0,5	0,996	0,997	0,996	0,997	0,996	0,996	0,996	0,996
0,6	0,991	0,979	0,919	0,982	0,945	0,936	0,938	0,938
0,7	0,837	0,961	0,895	0,967	0,973	0,982	0,978	0,978
0,8	0,731	0,935	0,791	0,946	0,964	0,959	0,957	0,957
0,9	0,619	0,893	0,689	0,917	0,921	0,935	0,946	0,946
1,0	0,448	0,832	0,691	0,878	0,999	0,978	0,920	0,920
1,1	0,280	0,705	0,494	0,800	0,839	0,802	0,860	0,860
1,2	0,172	0,728	0,406	0,774	0,813	0,821	0,836	0,836
1,3	0,178	0,633	0,397	0,712	0,791	0,870	0,814	0,814
1,4	0,160	0,573	0,282	0,645	0,705	0,817	0,769	0,769
1,5	0,037	0,492	0,208	0,376	0,548	0,573	0,738	0,738
1,6	-0,013	0,411	0,164	0,509	0,381	0,337	0,591	0,591
1,7	-0,032	0,325	0,129	0,444	0,337	0,308	0,639	0,639
1,8	-0,061	0,254	0,101	0,384	0,483	0,385	0,598	0,598
1,9	-0,102	0,201	0,075	0,328	0,439	0,383	0,561	0,561
2,0	-0,117	0,141	0,062	0,279	0,397	0,349	0,527	0,527
2,2	-0,133	0,094	0,087	0,197	0,325	0,224	0,460	0,460
2,4	-0,135	-0,009	0,021	0,135	0,259	0,204	0,424	0,424
2,6	-0,127	-0,051	0,011	0,092	0,226	0,159	0,387	0,387
2,8	-0,114	-0,074	0,005	0,060	0,193	0,177	0,356	0,356
3,0	-0,098	-0,085	0,002	0,038	0,167	0,166	0,323	0,323
3,2	-0,081	-0,087	-0,000	0,023	0,145	0,156	0,311	0,311
3,4	-0,064	-0,082	-0,000	0,012	0,129	0,147	0,290	0,290
3,6	-0,049	-0,073	-0,002	0,006	0,115	0,139	0,278	0,278
3,8	-0,036	-0,063	-0,002	0,002	0,104	0,132	0,263	0,263
4,0	-0,024	-0,052	-0,002	-0,001	0,094	0,123	0,250	0,250
4,2	-0,015	-0,041	-0,002	-0,002	0,085	0,119	0,238	0,238
4,4	-0,006	-0,031	-0,001	-0,003	0,078	0,114	0,217	0,217
4,6	-0,002	-0,022	-0,001	-0,003	0,071	0,109	0,217	0,217
4,8	0,001	-0,013	-0,001	-0,003	0,065	0,104	0,206	0,206
5,0	0,004	-0,009	-0,001	-0,002	0,060	0,100	0,200	0,200

卷之三

Значения функций N , M , P и Q

$\alpha \backslash \beta$	0,0	0,5	0,7	0,8	0,9
Функция N					
0,225	2,916	2,943	2,983	3,063	3,187
0,350	2,963	2,996	2,724	2,750	2,863
0,375	2,453	2,477	2,710	2,590	2,690
0,400	2,236	2,260	2,230	2,176	2,426
0,425	2,116	2,140	2,173	2,200	2,267
0,450	1,963	1,990	2,030	2,107	2,266
0,475	1,894	1,927	1,910	2,000	2,213
0,500	1,723	1,757	1,806	1,917	2,127
0,55	1,527	1,567	1,540	1,773	2,096
0,60	1,269	1,403	1,462	1,526	1,693
0,65	1,215	1,279	1,322	1,396	1,489
0,70	1,096	1,156	1,200	1,268	1,361
0,75	0,982	1,024	1,098	1,163	1,259
0,80	0,888	0,927	1,006	1,072	1,176
0,85	0,800	0,839	0,918	0,988	1,087
0,90	0,720	0,769	0,839	0,906	1,018
0,95	0,646	0,713	0,791	0,871	0,981
1,0	0,580	0,644	0,739	0,799	0,881
1,1	0,464	0,529	0,600	0,675	0,737
1,2	0,363	0,412	0,445	0,509	0,556
1,3	0,285	0,329	0,350	0,393	0,474
1,4	0,229	0,266	0,277	0,313	0,375
1,5	0,181	0,206	0,222	0,248	0,291
1,6	0,145	0,164	0,176	0,196	0,222
1,7	0,117	0,131	0,141	0,156	0,185
1,8	0,0940	0,1048	0,1124	0,128	0,167
1,9	0,0758	0,0874	0,0934	0,1045	0,1285
2,0	0,0632	0,0729	0,0800	0,0844	0,1060
2,1	0,0505	0,0586	0,0624	0,0672	0,0780
2,2	0,0434	0,0478	0,0508	0,0546	0,0622
2,3	0,0364	0,0404	0,0428	0,0456	0,0518
2,4	0,0312	0,0344	0,0364	0,0386	0,0442
2,5	0,0268	0,0292	0,0308	0,0326	0,0376
2,6	0,0232	0,0243	0,0260	0,0274	0,0315
2,7	0,0199	0,0210	0,0229	0,0236	0,0277
2,8	0,0170	0,0182	0,0198	0,0202	0,0230
2,9	0,0148	0,0158	0,0164	0,0178	0,0195
3,0	0,0130	0,0140	0,0144	0,0156	0,0170
3,1	0,0112	0,0120	0,0126	0,0136	0,0150
3,2	0,0092	0,0108	0,0112	0,0120	0,0130
Функция M					
0,225	1,260	1,720	1,749	1,766	1,793
0,350	1,563	1,800	1,632	1,665	1,695
0,375	1,473	1,495	1,525	1,565	1,600
0,400	1,386	1,410	1,440	1,470	1,507
0,425	1,310	1,335	1,357	1,387	1,423
0,450	1,243	1,270	1,290	1,317	1,355
0,475	1,187	1,215	1,240	1,265	1,305
0,500	1,140	1,170	1,195	1,222	1,262
0,55	1,088	1,093	1,117	1,147	1,195
0,60	0,999	1,000	1,003	1,109	1,120

Продолжение таблицы III

<i>a</i>	<i>c</i>	0,5	0,6	0,7	0,8	0,9
0,55	0,926	0,976	1,011	1,054	1,115	
0,70	0,952	0,978	0,998	1,008	1,037	
0,75	0,968	0,982	0,993	0,999	1,040	
0,80	0,973	0,985	0,989	0,999	1,006	
0,85	0,984	0,997	0,993	0,998	0,998	
0,90	0,998	0,999	0,998	0,999	0,994	
0,95	0,997	0,999	0,997	0,994	0,990	
1,00	0,999	0,999	0,999	0,999	0,999	
1,1	0,416	0,472	0,510	0,575	0,684	
1,2	0,394	0,383	0,410	0,464	0,560	
1,3	0,354	0,393	0,396	0,378	0,456	
1,4	0,210	0,249	0,290	0,307	0,356	
1,5	0,188	0,199	0,207	0,224	0,280	
1,6	0,134	0,163	0,166	0,183	0,221	
1,7	0,109	0,123	0,142	0,145	0,178	
1,8	0,0884	0,0946	0,102	0,1185	0,136	
1,9	0,0738	0,0826	0,0888	0,0974	0,1168	
2,0	0,0612	0,0678	0,0729	0,0792	0,0906	
2,1	0,0500	0,0564	0,0602	0,0644	0,0736	
2,2	0,0412	0,0458	0,0488	0,0528	0,0598	
2,3	0,0344	0,0384	0,0408	0,0438	0,0495	
2,4	0,0292	0,0329	0,0338	0,0364	0,0408	
2,5	0,0250	0,0272	0,0286	0,0304	0,0340	
2,6	0,0218	0,0233	0,0244	0,0260	0,0298	
2,7	0,0188	0,0198	0,0208	0,0224	0,0258	
2,8	0,0160	0,0179	0,0178	0,0194	0,0215	
2,9	0,0138	0,0144	0,0152	0,0170	0,0186	
3,0	0,0120	0,0136	0,0142	0,0148	0,0162	
3,1	0,0106	0,0112	0,0118	0,0120	0,0140	
3,2	0,0098	0,0091	0,0104	0,0116	0,0123	
Функция <i>P</i>						
0,305	32,7	39,3	33,5	34,9	34,7	
0,360	26,4	26,9	27,3	27,6	28,0	
0,375	21,1	21,3	21,9	22,3	22,8	
0,400	17,3	17,6	17,8	18,2	18,0	
0,425	14,4	14,7	14,9	15,2	15,3	
0,450	12,2	12,4	12,6	12,9	13,2	
0,475	10,4	10,55	10,75	11,0	11,2	
0,500	8,3	9,00	9,25	9,45	9,65	
0,55	6,45	6,70	6,85	7,00	7,40	
0,60	5,13	5,28	5,24	5,43	5,70	
0,65	4,03	4,17	4,24	4,35	4,59	
0,70	3,24	3,38	3,46	3,56	3,73	
0,75	2,65	2,77	2,85	2,98	3,10	
0,80	2,18	2,30	2,38	2,47	2,60	
0,85	1,83	1,93	1,99	2,04	2,23	
0,90	1,55	1,64	1,70	1,80	1,94	
0,95	1,32	1,39	1,45	1,55	1,67	
1,00	1,13	1,205	1,25	1,34	1,45	
1,1	0,904	0,912	0,908	1,26	1,12	
1,2	0,803	0,884	0,722	0,784	0,874	
1,3	0,490	0,520	0,580	0,688	0,690	
1,4	0,279	0,400	0,450	0,485	0,535	
1,5	0,262	0,312	0,300	0,366	0,414	
1,6	0,238	0,248	0,262	0,298	0,336	
1,7	0,185	0,200	0,211	0,228	0,254	

$\alpha \backslash \beta$	0,0	0,5	0,7	0,9	0,9
1,8	0,1490	0,1806	0,1894	0,1828	0,2048
1,9	0,1290	0,1324	0,1362	0,1432	0,1888
2,0	0,1004	0,1073	0,1131	0,1196	0,1270
2,1	0,0804	0,0876	0,0918	0,0978	0,1080
2,2	0,0624	0,0736	0,0764	0,0864	0,0970
2,3	0,0520	0,0634	0,0676	0,0755	0,0874
2,4	0,0470	0,0590	0,0624	0,0723	0,0858
2,5	0,0404	0,0428	0,0484	0,0468	0,0600
2,6	0,0348	0,0370	0,0389	0,0400	0,0432
2,7	0,0302	0,0320	0,0320	0,0349	0,0384
2,8	0,0264	0,0278	0,0288	0,0302	0,0324
2,9	0,0232	0,0242	0,0252	0,0264	0,0280
3,0	0,0200	0,0210	0,0220	0,0232	0,0242
3,1	0,0174	0,0182	0,0190	0,0200	0,0212
3,2	0,0159	0,0160	0,0163	0,0175	0,0186
Функции Q					
0,225	0,150	0,150	0,150	0,138	0,138
0,250	0,154	0,150	0,223	0,223	0,223
0,275	0,225	0,287	0,275	0,297	0,298
0,300	0,248	0,248	0,204	0,330	0,330
0,315	0,232	0,298	0,201	0,333	0,330
0,350	0,248	0,298	0,220	0,330	0,400
0,375	0,218	0,258	0,234	0,329	0,390
0,400	0,177	0,218	0,262	0,299	0,398
0,425	0,048	0,095	0,125	0,185	0,238
0,450	-0,074	-0,080	-0,035	-0,097	0,045
0,475	-0,172	-0,170	-0,168	-0,193	-0,0143
0,500	-0,263	-0,264	-0,262	-0,278	-0,0294
0,525	-0,312	-0,332	-0,244	-0,373	-0,406
0,550	-0,345	-0,378	-0,401	-0,436	-0,490
0,575	-0,362	-0,404	-0,432	-0,463	-0,522
0,600	-0,360	-0,408	-0,442	-0,466	-0,528
0,625	-0,350	-0,400	-0,436	-0,454	-0,528
1,0	-0,334	-0,383	-0,420	-0,480	-0,582
1,1	-0,280	-0,339	-0,377	-0,430	-0,532
1,2	-0,222	-0,286	-0,312	-0,381	-0,448
1,3	-0,195	-0,239	-0,253	-0,294	-0,369
1,4	-0,160	-0,188	-0,208	-0,240	-0,296
1,5	-0,131	-0,151	-0,167	-0,192	-0,236
1,6	-0,105	-0,122	-0,130	-0,153	-0,186
1,7	-0,085	-0,099	-0,109	-0,123	-0,148
1,8	-0,068	-0,080	-0,088	-0,098	-0,115
1,9	-0,0524	-0,0698	-0,0722	-0,0895	-0,0976
2,0	-0,0476	-0,0548	-0,0608	-0,0676	-0,0788
2,1	-0,0408	-0,0458	-0,0495	-0,0523	-0,0624
2,2	-0,0346	-0,0378	-0,0408	-0,0446	-0,0530
2,3	-0,0292	-0,0310	-0,0330	-0,0362	-0,0421
2,4	-0,0244	-0,0268	-0,0274	-0,0300	-0,0322
2,5	-0,0210	-0,0239	-0,0222	-0,0254	-0,0322
2,6	-0,0181	-0,0195	-0,0200	-0,0215	-0,0248
2,7	-0,0158	-0,0168	-0,0176	-0,0190	-0,0214
2,8	-0,0136	-0,0144	-0,0153	-0,0167	-0,0190
2,9	-0,0115	-0,0124	-0,0122	-0,0144	-0,0165
3,0	-0,0100	-0,0108	-0,0114	-0,0126	-0,0148
3,1	-0,0089	-0,0088	-0,0094	-0,0108	-0,0128
3,2	-0,0079	-0,0088	-0,0095	-0,0092	-0,0102

Таблица функций Шиммермана—Классенса

α	$W_0(\alpha)$	$\sqrt{\pi} W_1(\alpha)$	$W_2(\alpha)$	$\sqrt{\pi} W_3(\alpha)$	α	$W_4(\alpha)$	$\sqrt{\pi} W_5(\alpha)$	$W_6(\alpha)$	$\sqrt{\pi} W_7(\alpha)$
0,00	1,000	-1,000	0,000	1,000	0,51	0,524	-0,234	-0,283	0,617
0,01	0,990	-0,990	-0,000	1,000	0,52	0,516	-0,221	-0,265	0,611
0,02	0,980	-0,980	-0,000	1,000	0,53	0,508	-0,209	-0,258	0,605
0,03	0,970	-0,970	-0,000	0,999	0,54	0,500	-0,198	-0,250	0,600
0,04	0,960	-0,960	-0,008	0,998	0,55	0,492	-0,189	-0,242	0,594
0,05	0,950	-0,950	-0,048	0,998	0,56	0,484	-0,181	-0,235	0,587
0,06	0,940	-0,944	-0,057	0,995	0,57	0,476	-0,173	-0,226	0,581
0,07	0,930	-0,936	-0,065	0,993	0,58	0,468	-0,165	-0,217	0,775
0,08	0,920	-0,946	-0,074	0,994	0,59	0,460	-0,157	-0,208	0,769
0,09	0,910	-0,939	-0,082	0,992	0,60	0,452	-0,149	-0,219	0,763
0,10	0,900	-0,919	-0,090	0,991	0,61	0,443	-0,142	-0,210	0,757
0,11	0,890	-0,792	-0,098	0,989	0,62	0,435	-0,134	-0,211	0,751
0,12	0,881	-0,774	-0,106	0,987	0,63	0,428	-0,126	-0,213	0,750
0,13	0,871	-0,757	-0,114	0,985	0,64	0,420	-0,117	-0,214	0,744
0,14	0,861	-0,740	-0,121	0,983	0,65	0,412	-0,109	-0,215	0,738
0,15	0,851	-0,722	-0,129	0,980	0,66	0,403	-0,100	-0,216	0,732
0,16	0,841	-0,704	-0,136	0,977	0,67	0,395	-0,091	-0,217	0,726
0,17	0,832	-0,686	-0,143	0,974	0,68	0,386	-0,083	-0,218	0,719
0,18	0,822	-0,672	-0,150	0,971	0,69	0,378	-0,075	-0,219	0,713
0,19	0,812	-0,659	-0,156	0,968	0,70	0,369	-0,068	-0,219	0,706
0,20	0,802	-0,649	-0,163	0,965	0,70	0,360	-0,060	-0,220	0,700
0,21	0,793	-0,624	-0,169	0,962	0,71	0,353	-0,052	-0,221	0,693
0,22	0,783	-0,600	-0,175	0,958	0,72	0,346	-0,045	-0,221	0,687
0,23	0,774	-0,582	-0,181	0,955	0,73	0,338	-0,038	-0,221	0,681
0,24	0,764	-0,577	-0,187	0,951	0,74	0,332	-0,031	-0,221	0,674
0,25	0,755	-0,569	-0,193	0,947	0,75	0,324	-0,024	-0,222	0,668
0,26	0,745	-0,547	-0,198	0,943	0,76	0,319	-0,017	-0,222	0,661
0,27	0,736	-0,539	-0,204	0,939	0,77	0,312	-0,010	-0,223	0,655
0,28	0,726	-0,517	-0,209	0,935	0,78	0,305	-0,004	-0,223	0,648
0,29	0,717	-0,503	-0,214	0,931	0,79	0,319	0,003	-0,222	0,642
0,30	0,708	-0,489	-0,219	0,927	0,80	0,313	0,009	-0,222	0,635
0,31	0,699	-0,475	-0,224	0,922	0,81	0,307	0,018	-0,222	0,629
0,32	0,689	-0,461	-0,228	0,918	0,82	0,301	0,022	-0,222	0,623
0,33	0,680	-0,447	-0,233	0,913	0,83	0,294	0,028	-0,222	0,616
0,34	0,671	-0,434	-0,237	0,908	0,84	0,288	0,033	-0,222	0,610
0,35	0,662	-0,420	-0,242	0,904	0,85	0,282	0,039	-0,221	0,603
0,36	0,653	-0,407	-0,246	0,899	0,86	0,276	0,045	-0,221	0,597
0,37	0,644	-0,394	-0,250	0,894	0,87	0,270	0,050	-0,220	0,590
0,38	0,635	-0,381	-0,254	0,889	0,88	0,264	0,055	-0,216	0,584
0,39	0,626	-0,369	-0,257	0,884	0,89	0,259	0,061	-0,219	0,578
0,40	0,617	-0,356	-0,263	0,878	0,90	0,253	0,068	-0,219	0,571
0,41	0,608	-0,345	-0,268	0,873	0,91	0,247	0,071	-0,218	0,565
0,42	0,599	-0,332	-0,268	0,868	0,92	0,241	0,076	-0,217	0,559
0,43	0,591	-0,320	-0,271	0,862	0,93	0,236	0,080	-0,216	0,552
0,44	0,583	-0,308	-0,274	0,857	0,94	0,230	0,085	-0,216	0,546
0,45	0,574	-0,297	-0,277	0,852	0,95	0,223	0,090	-0,215	0,540
0,46	0,565	-0,285	-0,280	0,848	0,96	0,220	0,094	-0,214	0,533
0,47	0,557	-0,274	-0,280	0,840	0,97	0,214	0,099	-0,213	0,527
0,48	0,549	-0,263	-0,286	0,835	0,98	0,209	0,103	-0,212	0,521
0,49	0,541	-0,252	-0,288	0,829	0,98	0,204	0,107	-0,211	0,515
0,50	0,532	-0,242	-0,291	0,823	1,00	0,199	0,111	-0,210	0,508

α	$W_1(\alpha)$	$\sqrt{2} W_2(\alpha)$	$W_3(\alpha)$	$\sqrt{2} W_4(\alpha)$	α	$W_1(\alpha)$	$\sqrt{2} W_2(\alpha)$	$W_3(\alpha)$	$\sqrt{2} W_4(\alpha)$
1,05	0,174	0,129	-0,364	0,476	3,10	-0,045	0,047	-0,002	-0,043
1,10	0,181	0,149	-0,297	0,448	3,20	-0,041	0,038	0,002	-0,043
1,15	0,129	0,160	-0,289	0,418	3,30	-0,036	0,031	0,006	-0,042
1,20	0,106	0,173	-0,281	0,386	3,40	-0,032	0,024	0,009	-0,043
1,25	0,090	0,182	-0,272	0,352	3,50	-0,028	0,018	0,011	-0,039
1,30	0,073	0,199	-0,263	0,326	3,60	-0,025	0,012	0,012	-0,037
1,35	0,057	0,216	-0,252	0,299	3,70	-0,021	0,008	0,013	-0,034
1,40	0,042	0,231	-0,243	0,265	3,80	-0,018	0,004	0,013	-0,031
1,45	0,028	0,245	-0,233	0,231	3,90	-0,015	0,001	0,014	-0,029
1,50	0,016	0,257	-0,223	0,198	4,00	-0,012	-0,003	0,014	-0,026
1,55	0,004	0,268	-0,213	0,177	4,10	-0,009	-0,004	0,014	-0,023
1,60	-0,006	0,268	-0,202	0,156	4,20	-0,006	-0,006	0,013	-0,020
1,65	-0,015	0,267	-0,191	0,136	4,30	-0,005	-0,007	0,012	-0,018
1,70	-0,024	0,265	-0,181	0,116	4,40	-0,004	-0,008	0,012	-0,016
1,75	-0,031	0,262	-0,171	0,140	4,50	-0,002	-0,009	0,011	-0,013
1,80	-0,038	0,259	-0,161	0,153	4,60	-0,001	-0,009	0,010	-0,011
1,85	-0,043	0,255	-0,151	0,133	4,70	-0,000	-0,009	0,010	-0,009
1,90	-0,048	0,250	-0,142	0,103	4,80	0,001	-0,009	0,008	-0,008
1,95	-0,053	0,243	-0,132	0,080	4,90	0,001	-0,009	0,007	-0,006
2,00	-0,056	0,239	-0,123	0,057	5,00	0,002	-0,008	0,007	-0,005
2,05	-0,050	0,174	-0,114	0,056	5,10	0,002	-0,008	0,006	-0,003
2,10	-0,052	0,168	-0,106	0,044	5,20	0,003	-0,008	0,005	-0,002
2,15	-0,054	0,161	-0,098	0,034	5,30	0,003	-0,007	0,004	-0,001
2,20	-0,055	0,155	-0,090	0,024	5,40	0,003	-0,006	0,004	-0,001
2,25	-0,055	0,148	-0,081	0,014	5,50	-0,003	-0,005	0,003	-0,000
2,30	-0,057	0,142	-0,073	0,006	5,60	0,003	-0,005	0,002	0,001
2,35	-0,057	0,135	-0,065	0,001	5,70	0,003	-0,005	0,002	0,001
2,40	-0,057	0,128	-0,056	-0,006	5,80	0,003	-0,004	0,001	0,001
2,45	-0,057	0,122	-0,055	-0,011	5,90	0,003	-0,004	0,001	0,001
2,50	-0,058	0,115	-0,049	-0,017	6,00	0,002	-0,003	0,001	0,001
2,55	-0,055	0,108	-0,044	-0,021	6,10	0,003	-0,001	0,000	0,003
2,60	-0,054	0,102	-0,038	-0,025	6,20	0,001	0,000	-0,001	0,001
2,65	-0,052	0,096	-0,033	-0,029	6,30	0,000	0,000	-0,001	0,001
2,70	-0,051	0,090	-0,029	-0,032	6,40	0,000	0,000	-0,001	0,000
2,75	-0,050	0,084	-0,024	-0,036					
2,80	-0,057	0,078	-0,020	-0,037					
2,85	-0,053	0,072	-0,017	-0,039					
2,90	-0,053	0,067	-0,013	-0,047					
2,95	-0,051	0,061	-0,010	-0,041					
3,00	-0,049	0,056	-0,007	-0,042					

$$W_1(\alpha) = e^{-\alpha} \cos \alpha,$$

$$\sqrt{2} W_2(\alpha) = e^{-\alpha} (\sin \alpha - \cos \alpha),$$

$$W_3(\alpha) = e^{-\alpha} \sin \alpha,$$

$$\sqrt{2} W_4(\alpha) = e^{-\alpha} (\cos \alpha + \sin \alpha).$$

ПРИЛОЖЕНИЕ V

Таблица исправленных критических напряжений и поправочных коэффициентов γ_0 для различных сталей

Теоретические значения критического напряжения	Обыкновенная сталь		Сталь повышенного коррозионной стойкости		Нержавеющая сталь	
	$\sigma_y = 2200 \text{ кг}/\text{мм}^2$	γ_0	$\sigma_y = 3000 \text{ кг}/\text{мм}^2$	γ_0	$\sigma_y = 4000 \text{ кг}/\text{мм}^2$	γ_0
0	0	—	0	—	0	—
200	200	1,00	200	1,00	200	1,00
400	400	1,00	400	1,00	400	1,00
600	500	0,93	550	0,93	550	0,93
800	720	0,90	750	0,90	750	0,90
1000	880	0,88	940	0,84	940	0,84
1200	1020	0,85	1110	0,87	1110	0,89
1400	1150	0,83	1280	0,81	1300	0,81
1600	1280	0,80	1440	0,80	1460	0,81
1800	1360	0,78	1600	0,79	1620	0,80
2000	1480	0,74	1740	0,77	1800	0,78
2200	1570	0,71	1860	0,74	1940	0,78
2400	1640	0,68	2030	0,74	2100	0,77
2600	1720	0,66	2140	0,72	2200	0,75
2800	1780	0,64	2260	0,71	2350	0,75
3000	1840	0,62	2400	0,69	2500	0,70
3200	1890	0,60	2510	0,78	2640	0,82
3400	1940	0,57	2640	0,76	2750	0,81
3600	1990	0,55	2700	0,74	2800	0,80
3800	2050	0,53	2710	0,71	2850	0,79
4000	2060	0,51	2780	0,69	3100	0,77
4200	2100	0,50	2860	0,68	2900	0,76
4400	2140	0,49	2900	0,66	2900	0,75
4600	2180	0,47	2940	0,64	3300	0,74
4800	2200	0,45	3000	0,62	3400	0,72
5000	2220	0,44	3060	0,61	3500	0,70
5200	2260	0,41	3100	0,60	3500	0,69
5400	2280	0,42	3260	0,59	3600	0,67
5600	2320	0,41	3240	0,58	3700	0,66
5800	2340	0,40	3280	0,57	3750	0,65
6000	2380	0,39	3320	0,56	3800	0,64
6200	2420	0,37	3360	0,52	3940	0,60
7000	2480	0,35	3440	0,49	4040	0,57
7500	2500	0,33	3620	0,47	4140	0,55
8000	2540	0,32	3680	0,45	4240	0,53
8500	2580	0,30	3640	0,42	4380	0,51
9000	2600	0,29	3700	0,41	4420	0,49
9500	2640	0,28	3740	0,38	4500	0,47
10 000	2670	0,27	3820	0,38	4580	0,46

TABLE 1
VALUES OF δ_{ij} FOR THE CASE OF A PLANE STRESS PROBLEM

δ_{ij}	δ_{11}	δ_{21}	δ_{31}	δ_{12}	δ_{22}	δ_{32}	δ_{13}	δ_{23}	δ_{33}
1.0	0.0450	0.0459	0.0453	0.0388	0.0384	0.0389	0.0339	0.0335	0.035
1.1	0.0390	0.0391	0.0393	0.0380	0.0380	0.0380	0.0349	0.0349	0.035
1.2	0.0316	0.0316	0.0316	0.0300	0.0300	0.0300	0.0282	0.0282	0.0284
1.3	0.0267	0.0267	0.0267	0.0257	0.0257	0.0257	0.0261	0.0261	0.0261
1.4	0.0210	0.0210	0.0210	0.0191	0.0191	0.0191	0.0205	0.0205	0.0205
1.5	0.0166	0.0166	0.0166	0.0151	0.0151	0.0151	0.0171	0.0171	0.0171
1.6	0.0130	0.0130	0.0130	0.0125	0.0125	0.0125	0.0144	0.0144	0.0144
1.7	0.0094	0.0094	0.0094	0.0087	0.0087	0.0087	0.0101	0.0101	0.0101
1.8	0.0067	0.0067	0.0067	0.0062	0.0062	0.0062	0.0079	0.0079	0.0079
1.9	0.0044	0.0044	0.0044	0.0039	0.0039	0.0039	0.0054	0.0054	0.0054
2.0	0.0026	0.0026	0.0026	0.0021	0.0021	0.0021	0.0033	0.0033	0.0033
4.0	0.0140	0.0140	0.0140	0.0117	0.0117	0.0117	0.0186	0.0186	0.0186
6.0	0.0110	0.0110	0.0110	0.0094	0.0094	0.0094	0.0156	0.0156	0.0156
8.0	0.0085	0.0085	0.0085	0.0071	0.0071	0.0071	0.0131	0.0131	0.0131
10.0	0.0065	0.0065	0.0065	0.0051	0.0051	0.0051	0.0109	0.0109	0.0109
12.0	0.0045	0.0045	0.0045	0.0031	0.0031	0.0031	0.0089	0.0089	0.0089
14.0	0.0030	0.0030	0.0030	0.0017	0.0017	0.0017	0.0070	0.0070	0.0070
16.0	0.0020	0.0020	0.0020	0.0011	0.0011	0.0011	0.0055	0.0055	0.0055
18.0	0.0013	0.0013	0.0013	0.0007	0.0007	0.0007	0.0040	0.0040	0.0040
20.0	0.0008	0.0008	0.0008	0.0004	0.0004	0.0004	0.0027	0.0027	0.0027
22.0	0.0005	0.0005	0.0005	0.0002	0.0002	0.0002	0.0019	0.0019	0.0019
24.0	0.0003	0.0003	0.0003	0.0001	0.0001	0.0001	0.0013	0.0013	0.0013
26.0	0.0002	0.0002	0.0002	0.0000	0.0000	0.0000	0.0009	0.0009	0.0009
28.0	0.0001	0.0001	0.0001	0.0000	0.0000	0.0000	0.0006	0.0006	0.0006
30.0	0.0000	0.0000	0.0000	0.0000	0.0000	0.0000	0.0004	0.0004	0.0004

Positive *negative* *negative* *positive* *positive*

（）（）（）（）（）（）（）（）（）（）（）（）

Многие паспортные таблицы концентратов

n	При $\alpha = 0$			При $\alpha = 1$			
	$\lg \nu$	$\nu_1(\alpha)$	$\nu_2(\alpha)$	$\lg \nu_1$	$\nu_1(\alpha)$	$\nu_2(\alpha)$	$\nu_3(\alpha)$
3,0*	1,937*	-0,386	-0,449	2,300*	11,201	13,49	7,348
2,5*	2,251*	-0,650	-0,750	2,168*	2,703	3,05	2,086
2,0*	2,749*	-1,621	-1,392	2,964*	1,672	1,799	1,426
1,5*	3,713*	11,38	11,580	2,665*	1,291	1,343	1,192
1,0*	3,660*	1,884	1,312	2,177*	1,111	1,130	1,074
0,5*	3,182*	1,113	1,116	2,443*	1,029	1,029	1,017
0	=	1,000	1,000	=	1,000	1,000	1,000
0,5	3,033	0,908	0,905	2,421	0,978	0,972	0,954
1,0	2,987	0,711	0,704	2,090	0,899	0,894	0,898
1,5	2,377	0,532	0,511	1,863	0,817	0,788	0,874
2,0	2,115	0,380	0,307	1,685	0,715	0,673	0,696
2,5	1,888	0,281	0,288	1,524	0,617	0,563	0,536
3,0	1,690	0,213	0,200	1,377	0,539	0,487	0,672
3,5	1,518	0,166	0,153	1,244	0,453	0,388	0,534
4,0	1,359	0,132	0,120	1,120	0,388	0,320	0,383
4,5	1,218	0,107	0,097	1,005	0,335	0,287	0,359
5,0	1,090	0,088	0,079	0,898	0,291	0,234	0,480
5,5	0,972	0,074	0,066	0,798	0,254	0,189	0,449
6,0	0,863	0,063	0,055	0,708	0,223	0,162	0,417
6,5	0,764	0,054	0,042	0,617	0,197	0,139	0,391
7,0	0,671	0,047	0,041	0,538	0,173	0,121	0,367
7,5	0,594	0,041	0,036	0,457	0,150	0,106	0,347
8,0	0,532	0,036	0,031	0,383	0,141	0,093	0,328
8,5	0,473	0,032	0,028	0,313	0,127	0,083	0,311
9,0	0,423	0,029	0,025	0,248	0,115	0,074	0,296
9,5	0,383	0,026	0,022	0,183	0,103	0,066	0,283
10,0	0,358	0,024	0,020	0,122	0,096	0,060	0,270
10,5	0,335	0,021	0,018	0,064	0,088	0,054	0,259
11,0	0,306	0,020	0,017	0,039	0,081	0,050	0,248
11,5	0,289	0,018	0,015	0,025	0,078	0,046	0,238
12,0	0,284	0,016	0,014	0,020	0,069	0,042	0,229

* Отрицательные значения величин n , $\lg \nu$ и $\lg \nu_1$.

STATISTICAL TESTS

$\frac{S}{\sigma}$	0	0.1	0.2	0.3	0.4	0.5	0.6	0.7	0.8	0.9	1.0	1.1	1.2	1.3	1.4	1.5	1.6	1.7	1.8	1.9	2.0	2.1	2.2	2.3	2.4	2.5	2.6	2.7	2.8	2.9	3.0	3.1	3.2	3.3	3.4	3.5	3.6	3.7	3.8	3.9	4.0	4.1	4.2	4.3	4.4	4.5	4.6	4.7	4.8	4.9	5.0	5.1	5.2	5.3	5.4	5.5	5.6	5.7	5.8	5.9	6.0	6.1	6.2	6.3	6.4	6.5	6.6	6.7	6.8	6.9	7.0	7.1	7.2	7.3	7.4	7.5	7.6	7.7	7.8	7.9	8.0	8.1	8.2	8.3	8.4	8.5	8.6	8.7	8.8	8.9	9.0	9.1	9.2	9.3	9.4	9.5	9.6	9.7	9.8	9.9	10.0																																																																																																																																																																																																																																																																																																																																																																																																																																																																																																																																																																																																																																																																																																																																									
0	3.02	3.07	3.14	3.21	3.27	3.33	3.39	3.45	3.50	3.55	3.60	3.65	3.70	3.75	3.80	3.85	3.90	3.95	4.00	4.05	4.10	4.15	4.20	4.25	4.30	4.35	4.40	4.45	4.50	4.55	4.60	4.65	4.70	4.75	4.80	4.85	4.90	4.95	5.00	5.05	5.10	5.15	5.20	5.25	5.30	5.35	5.40	5.45	5.50	5.55	5.60	5.65	5.70	5.75	5.80	5.85	5.90	5.95	6.00	6.05	6.10	6.15	6.20	6.25	6.30	6.35	6.40	6.45	6.50	6.55	6.60	6.65	6.70	6.75	6.80	6.85	6.90	6.95	7.00	7.05	7.10	7.15	7.20	7.25	7.30	7.35	7.40	7.45	7.50	7.55	7.60	7.65	7.70	7.75	7.80	7.85	7.90	7.95	8.00	8.05	8.10	8.15	8.20	8.25	8.30	8.35	8.40	8.45	8.50	8.55	8.60	8.65	8.70	8.75	8.80	8.85	8.90	8.95	9.00	9.05	9.10	9.15	9.20	9.25	9.30	9.35	9.40	9.45	9.50	9.55	9.60	9.65	9.70	9.75	9.80	9.85	9.90	9.95	10.00																																																																																																																																																																																																																																																																																																																																																																																																																																																																																																																																																																																																																																																																																																			
0.1	3.05	3.20	3.36	3.49	3.64	3.84	3.94	4.05	4.16	4.26	4.36	4.46	4.56	4.66	4.76	4.86	4.96	5.06	5.16	5.26	5.36	5.46	5.56	5.66	5.76	5.86	5.96	6.06	6.16	6.26	6.36	6.46	6.56	6.66	6.76	6.86	6.96	7.06	7.16	7.26	7.36	7.46	7.56	7.66	7.76	7.86	7.96	8.06	8.16	8.26	8.36	8.46	8.56	8.66	8.76	8.86	8.96	9.06	9.16	9.26	9.36	9.46	9.56	9.66	9.76	9.86	9.96	10.06																																																																																																																																																																																																																																																																																																																																																																																																																																																																																																																																																																																																																																																																																																																																																																										
0.2	3.13	3.41	3.68	3.94	4.26	4.56	4.86	5.11	5.37	5.62	5.87	6.12	6.37	6.62	6.87	7.12	7.37	7.62	7.87	8.12	8.37	8.62	8.87	9.12	9.37	9.62	9.87	10.12	10.37	10.62	10.87	11.12	11.37	11.62	11.87	12.12	12.37	12.62	12.87	13.12	13.37	13.62	13.87	14.12	14.37	14.62	14.87	15.12	15.37	15.62	15.87	16.12	16.37	16.62	16.87	17.12	17.37	17.62	17.87	18.12	18.37	18.62	18.87	19.12	19.37	19.62	19.87	20.12	20.37	20.62	20.87	21.12	21.37	21.62	21.87	22.12	22.37	22.62	22.87	23.12	23.37	23.62	23.87	24.12	24.37	24.62	24.87	25.12	25.37	25.62	25.87	26.12	26.37	26.62	26.87	27.12	27.37	27.62	27.87	28.12	28.37	28.62	28.87	29.12	29.37	29.62	29.87	30.12	30.37	30.62	30.87	31.12	31.37	31.62	31.87	32.12	32.37	32.62	32.87	33.12	33.37	33.62	33.87	34.12	34.37	34.62	34.87	35.12	35.37	35.62	35.87	36.12	36.37	36.62	36.87	37.12	37.37	37.62	37.87	38.12	38.37	38.62	38.87	39.12	39.37	39.62	39.87	40.12	40.37	40.62	40.87	41.12	41.37	41.62	41.87	42.12	42.37	42.62	42.87	43.12	43.37	43.62	43.87	44.12	44.37	44.62	44.87	45.12	45.37	45.62	45.87	46.12	46.37	46.62	46.87	47.12	47.37	47.62	47.87	48.12	48.37	48.62	48.87	49.12	49.37	49.62	49.87	50.12	50.37	50.62	50.87	51.12	51.37	51.62	51.87	52.12	52.37	52.62	52.87	53.12	53.37	53.62	53.87	54.12	54.37	54.62	54.87	55.12	55.37	55.62	55.87	56.12	56.37	56.62	56.87	57.12	57.37	57.62	57.87	58.12	58.37	58.62	58.87	59.12	59.37	59.62	59.87	60.12	60.37	60.62	60.87	61.12	61.37	61.62	61.87	62.12	62.37	62.62	62.87	63.12	63.37	63.62	63.87	64.12	64.37	64.62	64.87	65.12	65.37	65.62	65.87	66.12	66.37	66.62	66.87	67.12	67.37	67.62	67.87	68.12	68.37	68.62	68.87	69.12	69.37	69.62	69.87	70.12	70.37	70.62	70.87	71.12	71.37	71.62	71.87	72.12	72.37	72.62	72.87	73.12	73.37	73.62	73.87	74.12	74.37	74.62	74.87	75.12	75.37	75.62	75.87	76.12	76.37	76.62	76.87	77.12	77.37	77.62	77.87	78.12	78.37	78.62	78.87	79.12	79.37	79.62	79.87	80.12	80.37	80.62	80.87	81.12	81.37	81.62	81.87	82.12	82.37	82.62	82.87	83.12	83.37	83.62	83.87	84.12	84.37	84.62	84.87	85.12	85.37	85.62	85.87	86.12	86.37	86.62	86.87	87.12	87.37	87.62	87.87	88.12	88.37	88.62	88.87	89.12	89.37	89.62	89.87	90.12	90.37	90.62	90.87	91.12	91.37	91.62	91.87	92.12	92.37	92.62	92.87	93.12	93.37	93.62	93.87	94.12	94.37	94.62	94.87	95.12	95.37	95.62	95.87	96.12	96.37	96.62	96.87	97.12	97.37	97.62	97.87	98.12	98.37	98.62	98.87	99.12	99.37	99.62	99.87	100.12	100.37	100.62	100.87	101.12	101.37	101.62	101.87	102.12	102.37	102.62	102.87	103.12	103.37	103.62	103.87	104.12	104.37	104.62	104.87	105.12	105.37	105.62	105.87	106.12	106.37	106.62	106.87	107.12	107.37	107.62	107.87	108.12	108.37	108.62	108.87	109.12	109.37	109.62	109.87	110.12	110.37	110.62	110.87	111.12	111.37	111.62	111.87	112.12	112.37	112.62	112.87	113.12	113.37	113.62	113.87	114.12	114.37	114.62	114.87	115.12	115.37	115.62	115.87	116.12	116.37	116.62	116.87	117.12	117.37	117.62	117.87	118.12	118.37	118.62	118.87	119.12	119.37	119.62	119.87	120.12	120.37	120.62	120.87	121.12	121.37	121.62	121.87	122.12	122.37	122.62	122.87	123.12	123.37	123.62	123.87	124.12	124.37	124.62	124.87	125.12	125.37	125.62	125.87	126.12	126.37	126.62	126.87	127.12	127.37	127.62	127.87	128.12	128.37	128.62	128.87	129.12	129.37	129.62	129.87	130.12	130.37	130.62	130.87	131.12	131.37	131.62	131.87	132.12	132.37	132.62	132.87	133.12	133.37	133.62	133.87	134.12	134.37	134.62	134.87	135.12	135.37	135.62	135.87	136.12	136.37	136.62	136.87	137.12	137.37	137.62	137.87	138.12	138.37	138.62	138.87	139.12	139.37	139.62	139.87	140.12	140.37	140.62	140.87	141.12	141.37	141.62	141.87	142.12	142.37	142.62	142.87	143.12	143.37	143.62	143.87	144.12	144.37	144.62	144.87	145.12	145.37	145.62	145.87	146.12	146.37	146.62	146.87	147.12	147.37	147.62	147.87	148.12	148.37	148.62	148.87	149.12	149.37	149.62	149.87	150.12	150.37	150.62	150.87	151.12	151.37	151.62	151.87	152.12	152.37	152.62	152.87	153.12	153.37	153.62	153.87	154.12	154.37	154.62	154.87	155.12	155.37	155.62	155.87	156.12	156.37	156.62	156.87	157.12	157.37	157.62	157.87	158.12	158.37	158.62	158.87	159.12	159.37	159.62	159.87	160.12	160.37	160.62	160.87	161.12	161.37	161.62	161.87	162.12	162.37	162.62	162.87	163.12	163.37	163.62	163.87	164.12	164.37	164.62	164.87	165.12	165.37	165.62	165.87	166.12	166.37	166.62	166.87	167.12	167.37	167.62	167.87	168.12	168.37	168.62	168.87	169.12	169.37	169.62	169.87	170.12	170.37	170.62	170.87	171.12	171.37	171.62	171.87	172.12	172.37	172.62	172.87	173.12	173.37	173.62	173.87	174.12	174.37	174.62	174.87	175.12	175.37	175.62	175.87	176.12	176.37	176.62	176.87	177.12	177.37	177.62	177.87	178.12	178.37	178.62	178.87	179.12	179.37	179.62	179.87	180.12	180.37	180.62	180.87	181.12	181.37	181.62	181.87	182.12	182.37	182.62	182.87	183.12	183.37	183.62	183.87	184.12	184.37	184.62	184.87	185.12	185.37	185.62	185.87	186.12	186.37	186.62	186.87	187.12	187.37	187.62	187.87	188.12	188.37	188.62	188.87	189.12	189.37	189.62	189.87	190.12	190.37	190.62	190.87	191.12	191.37	191.62	191.87	192.12	192.37	192.62	192.87	193.12	193.37	193.62	193.87	194.12	194.37	194.62	194.87	195.12	195.37	195.62	195.87	196.12	196.37	196.62	196.87	197.12	197.37	197.62	197.87	198.12	198.37	198.62	198.87	199.12	199.37	199.62	199.87	200.12	200.37	200.62	200.87	201.12	201.37	201.62	201.87	202.12	202.37	202.62	202.87	203.12	203.37	203.62	203.87	204.12	204.37	204.62	204.87	205.12	205.37	205.62	205.87	206.12	206.37	206.62

ИСПОЛЬЗОВАННАЯ ЛИТЕРАТУРА

- Н. Г. Бубнов. Строительные механизмы корабля. Ч. I. СПб., 1912.
- Н. Г. Бубнов. Строительные механизмы корабля. Ч. II. СПб., 1914.
- А. С. Вельмир. Гибкие пластины и оболочки. Гостехиздат, 1938.
- В. В. Новожилов. Теория тонких оболочек. Судоремонт, 1951.
- В. В. Новожилов. Основы нелинейной теории упругости. Гостехиздат, 1968.
- Л. Ф. Папкович. Строительные механизмы корабля. Ч. I. Т. II. „Морской трактор“. 1947.
- Л. Ф. Папкович. Строительные механизмы корабля. Ч. II. Судоремонт, 1941.
- В. Ф. Сегаль. Строительные механизмы воздушной аэрод. Судоремонт, 1940.
- С. П. Тимошенко. Устойчивость упругих систем. ОГИБ, 1946.
- С. П. Тимошенко. Пластины и оболочки. ОГИБ, 1948.
- Ю. А. Шиманский. Строительные механизмы военных лодок. Судоремонт, 1949.
- Ю. А. Шиманский. Справочник по судостроению. Тт. II и III. Техиздат, 1954.
- Справочник по строительной механике кораблей под общим редактором Ю. А. Шиманского. Тт. I, II, III. Техиздат, 1954.

ОГЛАВЛЕНИЕ

Предисловие	3
Введение	3
Обозначения, принятые в книге	9

ГЛАВА I

ОСНОВЫ ТЕОРИИ ТОНКИХ ОБОЛОЧЕК

1. Основные определения, гипотезы и допущения	11
2. Криволинейные координаты поверхности	13
3. Правило интегрирования векторов по криволинейным координатам	14
4. Условия Кирхгофа—Гуасса	20
5. Переходные оболочки	23
6. Деформации оболочек	27
7. Уравнения неизменности деформаций средней поверхности	35
8. Напряжения	36
9. Усилия и моменты	37
10. Условия равновесия элементов оболочки	42
11. Потенциальная энергия деформации оболочки	50
12. Зависимость между усилиями и моментами и деформациями средней поверхности оболочки	49
13. Границные условия	52
14. Два пути решения задач теории оболочек	53
15. Точки квадратурного состояния оболочек	56
16. Основные определения бимоментной теории оболочек	58
17. Основные уравнения бимоментной теории оболочек	58
18. Границные условия в бимоментной теории	60
19. Условия существования бимоментного квадратурного состояния	62
20. Расчет бимоментной круговой цилиндрической оболочки, загруженной всесторонним радиокомпрессионным давлением	63
21. Расчет бимоментной круговой усеченной конической оболочки, загруженной всесторонним радиокомпрессионным давлением	67

ГЛАВА II

УСТОЙЧИВОСТЬ ТОНКИХ ОБОЛОЧЕК

22. Устойчивые и неустойчивые формы второго рода	77
23. Система уравнений устойчивости	78
24. Границные условия	85
25. Динамический метод определения критических нагрузок	87

ГЛАВА III

РАСЧЕТНЫЕ НАГРУЗКИ ДЛЯ ПРОЧНОГО КОРПУСА

26. Основные постулаты	99
27. Балочные силы, действующие на корпус подвесной лодки	99
28. Расчетные нагрузки для прочного корпуса	97
29. Особенности расчетов прочного корпуса	99

ГЛАВА IV

РАСЧЕТ ОСНОВНЫХ ЭЛЕМЕНТОВ ПРОЧНОГО КОРПУСА

	Стр.
§ 30. Основные задачи расчета прочности корпуса	162
§ 31. Определение напряжений в обшивке и шпангоутах прочного корпуса	163
§ 32. Более точное решение задачи о напряжениях в обшивке и шпангоутах прочного корпуса	163
§ 33. Определение напряжений в обшивке и шпангоутах прочного корпуса по методу Ю. А. Шмидтского	165
§ 34. Расчет обшивки, подкрепляемой и проектируемой между основными шпангоутами замкнутыми круговыми ребрами жесткости	166
§ 35. Определение напряжений в обшивке прочного корпуса в районе переворотов	167
§ 36. О концепции и шлангоутах круговой цилиндрической обшивки. Решение Папюсича	161
§ 37. Об оценке напряженного состояния обшивки и шлангоутов прочного корпуса	168
§ 38. Краткий обзор работ по устойчивости круговой цилиндрической обшивки	167
§ 39. Устойчивость круговой цилиндрической обшивки, свободно опорной во концах, под действием осевого и равномерного поперечного давления	169
§ 40. Использование критического метода для определения практической стойкости круговой цилиндрической обшивки. Раймонд Шмидтский	174
§ 41. Расчетные формулы для определения практической давления обшивки прочного корпуса возможных задач	180
§ 42. Правила расхождения теоретических и экспериментальных результатов. Учет погрешностей факторов	186
§ 43. Устойчивость круговой цилиндрической обшивки, подкрепленной поперечными круговыми ребрами жесткости	190
§ 44. Влияние переворотов на коэффициенты	206
§ 45. О расчете величины частей прочного корпуса	209

ГЛАВА V

РАСЧЕТ ПРОЧНОСТИ РУБОК

§ 46. Классификация рубок	211
§ 47. Расчет прочности в устойчивости круговых цилиндрических рубок	212
§ 48. Расчет цилиндрических оболочек произвольного поперечного сечения по бесконечной теории	214
§ 49. Расчет прочности эллиптических рубок	220

ГЛАВА VI

РАСЧЕТ СФЕРИЧЕСКИХ ПЕРЕВОРОТОВ

§ 50. Основные понятия	225
§ 51. Коэффициенты деформации срединной поверхности сферической оболочки	226
§ 52. Уравнения равновесия симметричной деформации сферической оболочки	228
§ 53. Приближенное решение Гильберга	230
§ 54. Круг цилиндрической оболочки сплюснуто-вертикальной толщиной	239
§ 55. Основные зависимости Нигеля сферической переборки сплюснуто-переворотной толщиной	254
§ 56. Раскрытие статической неоднородности воздействиями прочного корпуса надводных зонков и их сферических переборок	266
§ 57. Практические схемы расчета прочности сферической переборки	268
§ 58. Определение теоретического критического давления для сферической переборки	269
§ 59. Влияние переворотных коэффициентов	274
§ 60. Практическая схема расчета устойчивости сферической переборки	275

ГЛАВА VII

РАСЧЕТ ПЛОСКИХ ПЕРЕВОРОТОВ

§ 61. Классификация переборок	276
§ 62. Расчет плавких переборок	276

§ 63. Исследование устойчивости листов переборок	283
§ 64. Расчет прочности балок изборок	287
§ 65. Подбор профиля балок изборок	289
§ 66. Практическая схема расчета плоской переборки	294

ГЛАВА VIII**РАСЧЕТ СОСТАВНЫХ ШПАНГОУТОВ, СОСТОЯЩИХ ИЗ КРУГОВЫХ СТЕРЖНЕЙ**

§ 67. Основные понятия, определение и формулы	297
§ 68. Некоторые случаи загрузки круговых стержней	299
§ 69. Использование зависимостей § 58 для решения частных задач	304
§ 70. Изгиб плоского стержня с жестко защемленными концами	310
§ 71. Основные понятия о действии радиоцентрового давления, приложенного к круговым стержням	317
§ 72. Расчет составного шпангоута однокорпусной подводной лодки	327
§ 73. Различные варианты составных шпангоутов подводных лодок	342
§ 74. Круговой шпангоут, один конец которого расположены внутри, а другой — снаружи прочного корпуса	347
§ 75. Устойчивость кругового шпангоута и его части	349
§ 76. Практическая схема расчета составного шпангоута	355

ГЛАВА IX**РАСЧЕТ НЕКРУГОВЫХ ШПАНГОУТОВ**

§ 77. Виды некруговых шпангоутов	356
§ 78. Расчет некруговых шпангоутов, состоящих из круговых стержней различного радиуса	356
§ 79. Расчет эллиптических шпангоутов	362

ГЛАВА X**РАСЧЕТ МЕСТНОЙ ПРОЧНОСТИ**

§ 80. Основные понятия	377
§ 81. Расчет прочности изогнутой вырезки	372
§ 82. Расчет местной прочности коробов в районе изогнутых	377
Приложения	381
Использованная литература	395
